-47084-

-47084-

Veröffentlichungen des Königlich Preußischen Meteorologischen Instituts

Herausgegeben durch dessen Direktor

G. Hellmann

Nr. 267

Ergebnisse

der

Meteorologischen Beobachtungen in Potsdam

im Jahre 1912

Von

R. Süring

Mit drei Abhandlungen von W. Marten, K. Kähler und E. Barkow

Berlin 1913

Behrend & Co.

Preis 9 ℳ

Inhaltsverzeichnis

	Seite
Einleitung	V
Messungen der Sonnenstrahlung in Potsdam in den Jahren 1909 bis 1912. Von W. Marten	XI
Registrierungen des Emanationsgehalts der Bodenluft in Potsdam mit dem Benndorf-Elektrometer. Von K. Kähler	LVI
Untersuchungen über den Tropfregenmesser. Von E. Barkow	LXVII

Tabellen

Terminbeobachtungen	1
Registrierungen	8
Luftdruck	8
Lufttemperatur	14
Dampfdruck	20
Relative Feuchtigkeit	26
Wind-Richtung und -Geschwindigkeit	32
Niederschlag	44
Sonnenscheindauer	48
Sonstige Beobachtungen	52
Bewölkung	52
Bodentemperaturen	64
Verdunstung	70
Photogrammetrische Wolkenmessungen	71
Gewitterbeobachtungen	74
Wassergehalt der Schneedecke	75
Zusammenstellungen	76
Luftelektrisches Potentialgefälle	82

Einleitung.

Der tabellarische Teil der vorliegenden Ergebnisse gliedert sich wie bisher in fünf Abschnitte: Meteorologische Terminbeobachtungen, Registrierungen, Sonstige Beobachtungen, Zusammenstellungen und Luftelektrizität. Änderungen gegen die Vorjahre weisen die Wiedergabe der Sonnenscheinregistrierungen und die Zusammenstellung der monatlichen Niederschlagsverhältnisse auf.

Die graphischen Darstellungen der Sonnenscheindauer sind jetzt durch Tabellen der Stundenwerte ersetzt. Der Platzersparnis wegen wurden die vier ersten und die vier letzten Monate auf je einer Seite vereinigt; da aber das Format der Veröffentlichung hierzu nicht ganz ausreicht, mußten einige Daten über den Sonnenschein am Beginn und am Ende des Tages in Fußnoten vermerkt werden.

Die Jahreszusammenstellungen des Niederschlags auf S. 77 ff. sind durch einige Tabellen über Häufigkeit, Menge und Dauer der Einzelniederschläge erweitert worden. Bei der geringen Verbreitung von zuverlässigen Registrierapparaten für Schneefall gibt es sehr wenige derartige Angaben für den Winter.

Den Tabellen sind drei Abhandlungen vorangestellt, welche eine Bearbeitung der Potsdamer Messungen von Sonnenstrahlung und Luftelektrizität und die experimentelle Prüfung eines Tropfregenmessers enthalten. Die Abhandlung von Dr. Marten bildet eine Fortsetzung der in den „Ergebnissen der Meteorologischen Beobachtungen in Potsdam im Jahre 1908“ S. XXIII—XXXVI zusammengefaßten Strahlungsmessungen bis August 1909. Instrumentell ist seitdem ein Fortschritt insofern erzielt, als jetzt sehr sorgfältige Vergleichsmessungen mit verschiedenen Typen von Apparaten vorliegen, welche Daten für die Genauigkeit der Meßmethoden geliefert haben. Ferner sind neue Normalwerte für die Intensität der Gesamtstrahlung und für die dadurch dem Boden zugeführten Wärmesummen gegeben. Im Zusammenhang hiermit verdienen die Mitteilungen über die atmosphärische Trübung im Sommer und Herbst 1912 besondere Beachtung.

Die Studie von Dr. Kähler über den Emanationsgehalt der Potsdamer Bodenluft bildet eine wichtige Ergänzung zu den bisherigen luftelektrischen Messungen, da die aus dem Boden austretenden radioaktiven Gase bei Betrachtungen über den elektrischen Austausch in den unteren Luftschichten nicht vernachlässigt werden dürfen. Die Ungunst der örtlichen Lage machte es allerdings unmöglich, die Versuche so anzuordnen, daß sie vollständig den natürlichen Verhältnissen entsprechen. Im allgemeinen ist der Austausch zwischen Boden- und Außenluft bei den Versuchen mehr erleichtert als in Wirklichkeit, jedoch dürften die gefundenen Beziehungen zwischen Schwankungen des Emanationsgehalts und Witterungszuständen einwandfrei sein; desgleichen ist das Ergebnis, daß die Emanation in $^3/_4$ m Tiefe ungefähr 100mal so viele Ionen liefert wie die Außenluft in 1 m Höhe über dem Boden, für Überschlagsrechnungen gut brauchbar.

Schließlich ist noch eine kleine Untersuchung von Dr. Barkow über einen am Observatorium befindlichen Tropfregenmesser beigegeben.

Erläuterungen zu den Tabellen.

I. Terminbeobachtungen (S. 1—7).

Die Terminbeobachtungen wurden in dreiwöchentlichem — während der Sommerurlaube meist in zweiwöchentlichem — Turnus von wissenschaftlichen Beamten des Observatoriums ausgeführt. Beobachter waren Dr. König und Dr. Schindelhauer; außerdem nach einander Dr. Bahr, Dr. Diercks und cand. phil. Berger.

Mit Ausnahme der den Registrierungen eines Sprungschen Wagebarographen (Meereshöhe 84.9 m) entnommenen Luftdruckwerte und der Werte von Windrichtung und -Stärke sind alle Angaben direkte Augenbeobachtungen oder, wie Dampfdruck und relative Feuchtigkeit, aus solchen berechnet. Die Terminwerte der Temperatur sind Ablesungen des trockenen Thermometers, diejenigen der Feuchtigkeit Berechnungen aus den gleichzeitigen Ablesungen des trockenen und feuchten Thermometers eines in der großen „englischen Hütte" auf der Beobachtungswiese aufgestellten Psychrometers (Höhe über dem Erdboden 2.2 m) mit Aßmannscher Aspirationsvorrichtung für das feuchte Thermometer. Zur Berechnung der Feuchtigkeit dienen die vom Kgl. Preußischen Meteorologischen Institut herausgegebenen „Aspirations-Psychrometertafeln".

Die Ablesungen beziehen sich alle auf die volle Stunde des Beobachtungstermins (Ortszeit). Die Extremtemperaturen werden von Extremthermometern in der Hütte auf der Beobachtungswiese erhalten, ihre Daten gelten für den Tag von 9^p des Vortages bis 9^p des Beobachtungstages. Hydrometeore und Sonnenschein im Moment der Terminbeobachtung sind den Bewölkungsangaben in den internationalen Zeichen als Indices hinzugefügt. Die Regen- und Schneemessungen wurden auf der Beobachtungswiese, letztere auf einem Zementfeld gemacht. Die Schneehöhen sind Mittelwerte aus mehreren Messungen. Der Regenmesser Hellmann steht auf der Beobachtungswiese ($h_r = 1.3$ m).

II. Registrierungen (S. 8—53).

Bei allen Registrierungen sind die Tagesextreme, und zwar die Maxima durch hohe, die Minima durch niedrige fette Ziffern hervorgehoben, sekundäre Maxima und Minima aber nirgends berücksichtigt. Ergänzte Werte, die nicht denselben Grad der Genauigkeit wie die übrigen besitzen, sind durch Kursivdruck kenntlich gemacht. Die Tagesmittel der einzelnen Phänomene sind, soweit es sich um Momentwerte handelt, nach der Formel:

$$(12^p + 1^a + 2^a + \ldots\ldots + 11^p + 12^p) : 25$$

gebildet worden. Die Angaben der Windgeschwindigkeit sind, da die einzelnen mitgeteilten Werte wahre Stundenmittel sind, zu 24stündigen Mitteln vereinigt worden.

Luftdruck (S. 8—13). Die Luftdruckwerte werden den Registrierungen des Sprungschen Wagebarographen im Instrumentenzimmer entnommen und durch einmal tägliche Vergleichung auf das in der Nähe hängende Gefäßheberbarometer Wild-Fueß Nr. 248 reduziert. Die Unterschiede sind jedoch so gering, daß es genügt, die mittlere Korrektion jedes Registrierblattes mit meist 4 bis 8 Kurven zu benützen. Die Vergrößerung der Aufzeichnungen auf dem Registrierblatt war während des ganzen Jahres eine zehnfache. Die Korrektion des Gefäßheberbarometers Wild-Fueß Nr. 248, bezogen auf das Hauptbarometer des Kgl. Meteorologischen Instituts zu Berlin Nr. 423 beträgt + 0.004 mm, so daß von der Korrektion auf das Normalbarometer des preußischen Beobachtungsnetzes abgesehen werden kann.

Lufttemperatur (S. 14—19). Diese Angaben liefert ein großer Richardscher Thermograph mit achttägigem Umlauf, der in einem kleinen Ausbau der großen englischen Hütte (Ostseite) auf der Wiese aufgestellt ist. Die Registrierungen werden durch die Terminbeobachtungen auf das Thermometer in der Hütte so reduziert, daß die Korrektionen zwischen den Terminen linear interpoliert und dann angebracht werden.

Dampfdruck (S. 20—25). Die Werte des Dampfdruckes sind durch Zuordnung der entsprechenden Stundenwerte der Lufttemperatur und relativen Feuchtigkeit nach einer Tabelle berechnet.

Relative Feuchtigkeit (S. 26—31). Zur Registrierung der relativen Feuchtigkeit wird ein Richardscher Hygrograph mit eintägiger Umlaufszeit benutzt, der dicht unter dem Dach der Hütte auf der Wiese aufgehängt ist. Die Reduktion der Kurvenwerte auf die Psychrometerangaben der Terminbeobachtungen erfolgt in derselben Weise wie bei der Temperatur. Abweichend von den anderen Elementen sind bei der relativen Feuchtigkeit wegen des häufigen Vorkommens vollständiger Sättigung der Luft mit Wasserdampf nur die Minima durch fetten Druck hervorgehoben. Beim mittleren täglichen Gang ist in der üblichen Weise verfahren; es sind also auch die Maxima fett gedruckt.

Windrichtung und Windgeschwindigkeit (S. 32—43). Die Angaben der Windrichtung beziehen sich seit 1910 auf den mittleren Wert der ganzen Stunde; desgleichen gilt die Geschwindigkeit für das Mittel des ganzen am Kopf der Tabelle angegebenen Stundenintervalls. Da das Schalenkreuz erst

bei der Geschwindigkeit von rund 1 mps die vorhandene Reibung überwindet, wurde bei ruhendem Schalenkreuz für die Geschwindigkeit der Wert 0.5 m als Durchschnitt aller gleich wahrscheinlichen Werte von 0—1 mps angenommen. An Stelle der vom Apparat gezeigten Windrichtung wurde für diese Fälle ein C (Calme) gesetzt.

Die zuverlässige Reduktion der vom Schalenkreuz-Anemographen gelieferten Angaben bereitete wiederum mancherlei Schwierigkeiten. Im Frühjahr 1912 zeigte der Apparat auffallend große Reibung, welche auch alsbald durch eine Eichung bestätigt wurde. Bei dem Auseinandernehmen des Anemometers stellte sich heraus, daß sich das Schalenkreuz samt seiner Führungsstange gesenkt hatte und nun auf dem Rohr der Windfahne schleifte. Nach der am 15. Mai beendigten Reparatur war, wie zu erwarten, der Reibungsfaktor anfangs noch recht groß; die Kugellager liefen sich aber schnell ein, so daß Ende 1912 ungefähr derselbe Wert wie ein Jahr vorher erreicht war. Zur Reduktion wurden 1912 die folgenden Formeln benutzt:

Vom 1. Januar	bis 14. März	$1912 : v = 0.441 + 0.1021\ N$
„ 15. März	bis 13. Mai	$1912 : v = 1.132 + 0.0919\ N$
„ 15. Mai	bis 31. Juli	$1912 : v = 1.019 + 0.0952\ N$
„ 1. Aug.	bis 31. Dez.	$1912 : v = 0.668 + 0.0995\ N$

v bedeutet die Windgeschwindigkeit in mps, N die Länge der Registrierung in einer Stunde.

Niederschlag (S. 44—47). Die Regenmenge und die Regendauer sind den Angaben der Sprung-Fueßschen Registrierwage für Niederschlag und Verdunstung entnommen. Das 200 qcm große Auffanggefäß steht $1^3/_4$ m über dem Boden; im Winter wird der Rand des Gefäßes durch eine kleine Wasserheizung etwas erwärmt, um bei Schneefall oder Rauhreif ein Kleben des Auffanggefäßes an den äußern Wandungen zu vermeiden. Die Registrierwage ist außerordentlich empfindlich für kleine Niederschläge; bei starken Regenfällen reicht jedoch die Eigenbewegung des Laufrades nicht aus, um das Gewicht des gefallenen Regens sofort zu kompensieren und die Mengen der Zeit nach richtig aufzuzeichnen. Es werden daher zur Ergänzung die Registrierungen eines mechanisch registrierenden Regenmessers, System Hellmann-Fueß, benutzt. Die Sprungsche Wage arbeitet mit 23facher Vergrößerung und läßt infolgedessen Anfang und Ende der Niederschläge meist mit einer Genauigkeit von $^1/_{10}$ Stunde erkennen. Es werden daher jetzt auch Dauer und Häufigkeit der einzelnen Niederschläge ausgezählt, aber nur in Monatsmitteln (S. 77) veröffentlicht.

Zu den Tabellen auf S. 44—47 ist zu bemerken, daß am Fuße der Monatstabellen wieder alle Regenfälle aufgeführt sind, bei denen die Regenintensität größer als 0.2 mm in der Minute war.

Sonnenscheindauer (S. 48—51). Die hier mitgeteilten Stundenwerte sind den Angaben eines von J. J. Hicks-London bezogenen Sonnenscheinautographen, System Campbell-Stokes mit Verbesserungen von Curtis, entnommen. Der Apparat registriert mehr Sonnenschein als der bis Ende 1910 benutzte Sonnenschein-Autograph (vergl. die Tabelle in den vorjährigen „Ergebnissen" S. VIII). In den Mittagsstunden liefert der Jordansche Sonnenscheinautograph die richtigeren Werte.

Die Registrierungen der Campbell-Stokes-Apparate werden in Potsdam nach folgender Vorschrift ausgewertet:

1. Bei schwacher Brennspur, d. h. nur bei Verfärbung (Bräunung) des Streifens ist jede, auch die geringste Zeichnung, nach der Zeitskala voll zu berücksichtigen.

2. Bei starken Brennspuren (Brennbändern) mit erkennbarer Aschenbildung ist für jede Andeutung einer Einschnürung eine Zehntelstunde abzuziehen.

3. Zeitlich kurze Brennspuren in Form von Kreisen werden mit einer Minute bewertet. Ist innerhalb eines Stundenintervalls nur eine derartige Spur vorhanden, so muß sie als Zehntelstunde gerechnet werden.

4. Bei starken Brennspuren (Löchern) wird der Innenabstand der Brennspur als Zeitmaß benutzt; der äußere Saum ist also abzuziehen.

Für vergleichende Beobachtungen des Sonnenscheins in Potsdam aus verschiedenen Jahren empfiehlt es sich, nicht die Aufzeichnungen des Campbell-Stokes-Apparats zu benutzen, sondern die des Sonnenschein-Autographen von Jordan (Zusammenstellung der Differenzen beider Apparate auf S. 79).

III. Sonstige Beobachtungen (S. 54—79).

Bewölkung (S. 52 – 63). Die Bewölkungsbeobachtungen sind im Sommer von $6^a - 9^p$, im Winter von $7^a - 9^p$ von wissenschaftlichen Beamten, in der Nacht vom Nachtwächter gemacht. Die Exponenten an den Zahlen der Bewölkungsmenge bezeichnen, wie allgemein üblich, die Dicke der Wolken. Den betreffenden Wolkenformen sind Zugrichtungsbestimmungen in Kursivdruck, Winkelgeschwindigkeitsmessungen mit dem Wolkenspiegel — auf die fingierte Wolkenhöhe 1000 m bezogen — in halbfetten, aufrechten Ziffern hinzugefügt. Die an der rechten Seite der Tabellen angegebenen Tagesmittel sind aus den Beobachtungen zu den geraden Stunden gebildet.

Bodentemperaturen (S. 64 — 69). Die Angaben der Bodentemperatur sind für die Tiefen von 0.02, 0.05, 0.10 und 0.20 m direkt in den Sandboden eingegrabenen Quecksilberthermometern entnommen; in den Tiefen von 0.5 bis 12 m werden die Beobachtungen an Thermometern in Schutzröhren aus Neusilber angestellt.

Verdunstung (S. 70). Die Verdunstungsmengen sind Angaben eines in einer großen Thermometerhütte aufgestellten Wildschen Evaporimeters. Die Tagessummen beziehen sich auf den Tag von 7^a—7^a und werden wie der Regen dem Messungstage zugeschrieben.

Photogrammetrische Wolkenmessungen (S. 71 — 73). Zur Aufnahme diente der Sprungsche Wolkenautomat, welcher vom Observatorium aus automatisch gleichzeitige Zenitaufnahmen der Wolken von den Endpunkten einer 1470 m langen Basis liefert. Aus der parallaktischen Verschiebung der Bilder wird die Höhe und — bei Wiederholung der Aufnahme nach etwa einer Minute — auch Richtung und Geschwindigkeit der Wolken ermittelt. Die Unsicherheit der Messungen wird durchschnittlich weniger als 1 Prozent der Höhe betragen und bei niedrigen Wolken erheblich geringer sein. Wolken von weniger als 1.8 km Höhe lassen sich allerdings nicht mehr messen, weil dann die Parallaxe zu groß für das Plattenformat (15 × 18 cm) wird. Die in den Tabellen mitgeteilten Richtungen und Geschwindigkeiten der Wolken sind, soweit nichts anderes angegeben ist, aus gleichzeitigen relativen Bestimmungen mit dem Sprungschen Nephoskop abgeleitet worden; bei Doppelaufnahmen sind die photogrammetrisch ermittelten Werte eingetragen, und unter „Bemerkungen" sind alsdann die Zeitdifferenz zwischen beiden Expositionen sowie genaue Zugrichtung und Geschwindigkeit aufgeführt. Bei den Ausmessungen wurde auch auf die Streichrichtung der Wolkenfäden und deren Neigung gegen die Horizontale geachtet. Desgleichen finden sich unter „Bemerkungen" mehrere Angaben über Größenverhältnisse von Schichtwolken. In der ersten Spalte der Tabelle ist jetzt außer Datum und Tagesstunde auch die Nummer der photographischen Platte angegeben, weil sie zuweilen die Gruppierung verwandter Wolkenarten erleichtert.

Gewitterbeobachtungen (S. 74). Die Angaben unter „Wirkliche Zugrichtung aus" sind abgeleitet aus Eintritts- und Austrittsbeobachtungen des Gewitters in den Horizont unter Hinzunahme der Himmelsgegend, in der das Gewitter vorüberzog. Die Zeitangaben unter „Ende des Gewitters" und „Niederschlag, Form und Zeit" sind auf Viertelstunden abgerundet.

Wassergehalt der Schneedecke (S. 75). Die Schneehöhen sind Mittelwerte aus mehreren Einzelmessungen auf zwei für Alt- und Neuschnee bestimmten Zementfeldern der Beobachtungswiese. Die Ausstechungen zur Bestimmung des Wassergehalts wurden ebenfalls dort vorgenommen und das Feld für Neuschnee jeden Morgen um 7^a nach der Messung gesäubert. Der Wassergehalt bezieht sich auf die Maßeinheit von 1 cm Schneehöhe, die betreffenden Zahlen sind also unter einander vergleichbar. Ein Sternchen am Datum bedeutet, daß die alte Schneedecke abgeschmolzen war und eine neue sich inzwischen gebildet hatte.

IV. Zusammenstellungen (S. 76—81).

Die meisten Angaben über den jährlichen und täglichen Verlauf der einzelnen Elemente sind schon in den Abschnitten II und III enthalten. Abschnitt IV bringt außer einigen Monatsmitteln, die sich an anderer Stelle nicht finden, nur eine Zusammenstellung der Jahresmittel aller Elemente und eine Übersichtstabelle der Monatsextreme der fünf Elemente Luftdruck, Temperatur, Dampfdruck, relative Feuchtigkeit und Windgeschwindigkeit. Beim Luftdruck, bei der Temperatur und der relativen Feuchtigkeit sind sowohl die Extreme der stündlichen Werte als auch die absoluten Extreme der Kurven mitgeteilt, für die Temperatur außerdem die Extreme nach den Ablesungen der Extrem-

thermometer. Maxima der relativen Feuchtigkeit sind aus naheliegenden Gründen nicht berücksichtigt. Die Maxima und Minima des Dampfdrucks sind stündliche Werte, die Maxima der Windgeschwindigkeit beziehen sich auf ein Stundenintervall.

V. Luftelektrisches Potentialgefälle (S. 82—94).

Zur Messung des luftelektrischen Potentialgefälles dient ein Benndorfsches Elektrometer mit Wassertropf-Elektrode, das in einem Wellblechhäuschen auf der Beobachtungswiese aufgestellt ist. Die Abtropfstelle des Wasserkollektors befindet sich 1.6 m über dem Boden und 1.0 m von der Wand des Wellblechhäuschens entfernt. Das Wassergefäß wird automatisch nachgefüllt, indem bei niedrigem Wasserstand ein Schwimmer den Zuflußhahn elektromagnetisch öffnet. Die Quadrantenpaare des Elektrometers werden durch drei Bittersalz-Batterien von je 100 Elementen, entsprechend einer Gesamtspannung von 300 Volt aufgeladen. Sobald der Zeiger bei stärkeren elektrischen Störungen an die Ränder des Registrierstreifens gelangt, werden ungefähr $^5/_6$ der Batterie ausgeschaltet und die Empfindlichkeit des Systems wird dadurch auf etwa den sechsten Teil verringert. Im Jahre 1912 betrug der Skalenwert des Elektrometers bei der empfindlichen Schaltung 3.3 Volt pro mm, bei der unempfindlichen Schaltung 18 Volt pro mm. Der Reduktionsfaktor der Abtropfstelle auf der Wiese auf ein normales Feld wurde wiederum mehrfach durch korrespondierende Beobachtungen auf einem annähernd normalen Gelände ermittelt. Da sich keine systematischen Unterschiede gegen früher zeigten, wurde der bisherige Faktor 4.6 beibehalten.

Die in den Tabellen S. 84—93 enthaltenen Zahlen sind Mittelwerte der einzelnen Stundenintervalle, die nach einem einfachen graphischen Verfahren gebildet worden sind.

In den Monatstabellen sind die ruhigen Tage (Tage mit Schönwetterelektrizität), d. h. niederschlagsfreie, im allgemeinen heitere Tage, an denen auch die Registrierkurven des Potentialgefälles keine besonderen Störungen zeigten, wieder durch halbfetten Druck hervorgehoben, und nur aus ihnen sind auch die Tages- und Monatsmittel gebildet. *Kursiv* gesetzte Zahlen beziehen sich fast durchweg auf stark „gestörte" Stunden, in denen die Breite des Registrierstreifens zur Aufzeichnung nicht ausreichte, so daß nur eine rohe Schätzung des Mittelwerts möglich war. Auf S. 94 sind die nach der Formel $(a + 2b + c) : 4$ ausgeglichenen Werte für den täglichen und jährlichen Gang des Potentialgefälles enthalten; auch den Kurvendarstellungen auf S. 94 liegen diese zugrunde.

Außer dem Potentialgefälle wurden 1912 auf der Beobachtungswiese die Eigenelektrizität der Niederschläge, die elektrische Leitfähigkeit der Luft und bis Juli 1912 die Bodenluft-Leitfähigkeit registriert. Von den Ergebnissen der Niederschlagsergebnisse sind als Fortsetzung einer früheren Untersuchung (vergl. diese „Ergebnisse" Jahrgang 1908, S. X) nun die Jahre 1909, 1910 und 1911 bearbeitet und in den „Abhandlungen des Königl. Preuß. Meteorol. Instituts Bd. IV Nr. 10" von Dr. Schindelhauer veröffentlicht worden. An instrumentellen Einzelheiten ist aus dieser Abhandlung hervorzuheben, daß eine unmittelbare Vergleichung der Regenintensität mit der Tropfenladung durch Einführung einer Registrierung der in das Kollektorgefäß fallenden Regentropfen erreicht wurde; ferner wurde für eine bessere Ableitung der aufgefangenen Elektrizitätsmenge zur Erde Sorge getragen.

Die Untersuchung von Dr. Schindelhauer hat, wie umstehende Tabelle zeigt, wiederum einen Überschuß an positiver Ladung ergeben, jedoch bestehen charakteristische Differenzen in den einzelnen Jahreszeiten. Allerdings ist zu berücksichtigen, daß die Fälle, wo die Nadel des Elektrometers wegen zu starker Ladungen an den Rändern angelegen hat, ausgeschlossen werden mußten.

Im Frühling enthalten die Niederschläge einen Überschuß an negativer Elektrizität, im Sommer scheinen sich die beiden Vorzeichen aufzuheben, vom Herbst zum Winter steigt die Vorherrschaft des positiven Vorzeichens. Die Dauer des positiven Vorzeichens ist immer größer als die des negativen, und zwar steigt sie vom Frühling zum Winter an. Die elektrische Tätigkeit der Niederschläge ist am größten im Frühling, am kleinsten im Herbst.

Hinsichtlich der Charakteristik der Niederschlagsformen nach Stromstärke und Vorzeichen der Eigenelektrizität ergab sich:

A. Regenfälle. Landregen bewirken geringe Stromdichten von etwa 1—5 Amp. 10^{-15} pro Quadratzentimeter, und zwar allein in positiver Richtung. Die Volumladung ist gering und beträgt etwa 0.4 Einh./ccm. Für Gewitterregen sind hohe Stromdichten und die vollkommene Kompensation der beiden Vertikalströme an Größe und Dauer charakteristisch. Die mittlere Volumladung ist etwa 2—3 Einh./ccm. Böenregen haben hohe Stromdichten von überwiegend negativer Richtung. Die Volumladungen sind ebenso groß wie bei Gewittern.

B. Für Hagel- und Graupelfälle sind große Stromdichten des positiv gerichteten Vertikalstroms charakteristisch. Die Volumladungen entsprechen der Größe nach den bei Gewittern und Böenregen gefundenen.

C. Schneefälle ergeben in allen Stromdichten einen Überschuß des negativen Vorzeichens.

Monatssummen
der Elektrizitätsmengen E und Anzahl der registrierten Zweiminutenintervalle A.

	1909				1910				1911			
	E		A		E		A		E		A	
	+	−	+	−	+	−	+	−	+	−	+	−
Januar	4772	2002	126	115	3384	5920	211	269	4899	1094	417	65
Februar	6729	1791	515	130	3145	2924	570	165	11634	4888	688	117
März	1591	3585	184	390	2125	2281	135	96	5151	2938	203	44
April	6904	5055	264	96	4648	996	290	36	5204	11244	178	138
Mai	5432	11200	183	164	10418	6709	234	131	8689	5615	137	85
Juni	3670	2003	180	117	5544	2499	291	94	6057	7489	129	132
Juli	3114	1565	145	42	5004	5716	169	114	1711	3277	56	48
August	8600	5349	193	149	1984	1213	88	59	1675	3157	61	44
September	2018	391	74	13	3079	1142	181	35	1392	2128	86	34
Oktober	2323	623	87	22	636	107	11	7	1082	1058	55	13
November	7617	4458	717	387	8224	6352	461	311	587	356	25	1
Dezember	6003	635	439	43	2908	1352	241	67	13018	2663	345	85
Jahr	58773	38657	3107	1668	51099	37211	2882	1384	61099	45907	2380	806

E in el. stat. Einh. 10^{-4}.

Regenfälle und Schneefälle zeigen in folgenden Punkten entgegengesetztes Verhalten:

1. Regenfälle mit größeren Geschwindigkeiten des aufsteigenden Luftstroms (Gewitter- und Böenregen) veranlassen bei großer Intensität positiven, bei geringer Intensität negativen Elektrizitätstransport zum Erdboden. Schneefälle veranlassen umgekehrt bei großer Intensität negativen, bei geringer Intensität positiven Elektrizitätstransport zum Erdboden.

2. Bei Regen nimmt die Volumladung mit zunehmender Niederschlagsintensität ab. Die negativen Ladungen sind stets größer als die positiven Ladungen der gleichen Intensität. Mit zunehmender Intensität nehmen die Unterschiede ab. Bei Schnee nimmt die Volumladung zwar auch mit zunehmender Intensität ab, aber die positiven Ladungen sind stets größer als die negativen Ladungen der gleichen Intensität. Jedoch bleiben hier auch bei größeren Intensitäten größere Unterschiede bestehen.

3. Mit zunehmender Einheitsladung nimmt die Dauer des positiven Vorzeichens bei Regen ab; bei Schnee nimmt sie zu.

Diese Ergebnisse, insbesondere das spiegelbildliche Verhalten bei verschiedenen Aggregatzuständen, führen dazu, als Elektrizitätsquelle der Niederschläge einen Influenzierungsvorgang anzunehmen, wie es schon 1890 Elster und Geitel getan haben. Ihre Anschauungen schienen jedoch durch neuere Theorien zurückgedrängt zu sein.

Messungen der Sonnenstrahlung in Potsdam in den Jahren 1909 bis 1912.

Von **W. Marten.**

A) Beschreibung des Instrumentariums.

Bei dem stark zunehmenden Interesse, das die Meteorologie neuerdings den Messungen der Sonnenstrahlung entgegenbringt, macht sich das Fehlen einer kurz zusammenfassenden, dabei leicht zugänglichen Beschreibung der einschlägigen Instrumente und ihrer Meßmethoden immer dringender fühlbar. Für meteorologische Interessenten soll diese Lücke durch Beschreibung der drei am Potsdamer Observatorium benutzten und gut bewährten Apparatetypen Ångström, Abbot und Michelson einigermaßen ausgefüllt werden. Gleichzeitig hoffe ich durch diese Beschreibung das Verständnis und eine richtige Bewertung der in dieser Arbeit diskutierten Meßergebnisse für die den Strahlungsforschungen fernerstehenden Leser zu erleichtern.

1. Das Kompensationspyrheliometer Ångström[1]).

Das Meßprinzip ist kurz folgendes: Von zwei einseitig geschwärzten, in ihren physikalischen Eigenschaften möglichst ähnlichen Manganinstreifen wird einer der zu messenden Strahlung ausgesetzt, der andere durch einen Doppelschirm gegen Strahlung geschützt und durch einen elektrischen Kompensationsstrom auf gleiche Temperatur mit dem bestrahlten gebracht. Bei Temperaturgleichheit beider Streifen muß die durch Strahlung zugeführte Energie des einen Streifens gleich der durch den elektrischen Strom erzeugten Energie des andern sein. Wenn q die Strahlung pro Sekunde und cm^2, b die Breite, a das Absorptionsvermögen, r den Widerstand der Längeneinheit der Streifen und i die Stärke des elektrischen Kompensationsstromes bedeutet, dann ist

$$q = \frac{r\,i^2}{4.19\,b\,.\,a} \text{ Grammkalorien p. Sek. u. cm}^2 \text{ [2])}.$$

Korrektionen für die schwierig zu bestimmende Wärmeabgabe durch Strahlung, Konvektion und Leitung erübrigen sich, weil bei Temperaturgleichheit diese Größen als bei beiden Streifen gleich aus der Rechnung wegfallen. Nach Bestimmung der Konstanten r, b und a müßte man nur durch Messung des Kompensationsstromes die Strahlung nach obiger Gleichung im absoluten Maß berechnen können. In Wirklichkeit gibt der Apparat aber um rund 3—5 % zu niedrige Werte (siehe später).

Montierung des Apparates. Die beiden Meßstreifen sind in einen kleinen Ebonitrahmen gespannt (Fig. 1 in $^9/_8$ natürlicher Größe). An der Hinterseite der beiden Streifen sind in der Mitte 2 Thermoelemente (Kupfer-Konstantan) elektrisch isoliert, aber wärmeleitend angebracht, denen die Aufgabe zufällt, vermittelst eines sehr empfindlichen Galvanometers die Temperaturgleichheit der beiden Streifen anzuzeigen. Die Meßstreifen werden in ein nickelglanzpoliertes Rohr (Fig. 2) eingesetzt,

[1]) In enger Anlehnung an die Beschreibung von Knut Ångström, soweit sie jetzt noch zutrifft. Annalen der Physik und Chemie **67**, S. 633. 1899.

[2]) In England wird die Strahlung neuerdings in Watt angegeben. 1 g Kalorie pro Minute ist = 0.07 Watt.

das innen mit 3 Diaphragmen versehen und gut geschwärzt ist. Das Rohr kann durch Höhen- und Azimutschraube in jeder Richtung auf die Strahlungsquelle eingestellt werden. Ein kleiner, doppelwandiger und umlegbarer Schirm an der vorderen Öffnung des Rohres dient zum Schutze des einen Streifens gegen Strahlung. Die hintere Öffnung des Rohres wird durch einen gut passenden Ebonitstopfen (Fig. 1) geschlossen. Er ist zugleich der Träger für 4 Klemmschrauben und einen Kommutator. Die Kommutatorklemmschraube und die darunter liegende bilden die Stromzuleitungen zu den beiden Meßstreifen. Durch Umlegen des Kommutators an die Stifte rechts und links wird der rechte oder der linke Meßstreifen in den Stromkreis eingeschaltet. Die beiden anderen Klemmschrauben verbinden den Stromkreis der beiden gegeneinander geschalteten Thermoelemente mit einem empfindlichen Galvanometer.

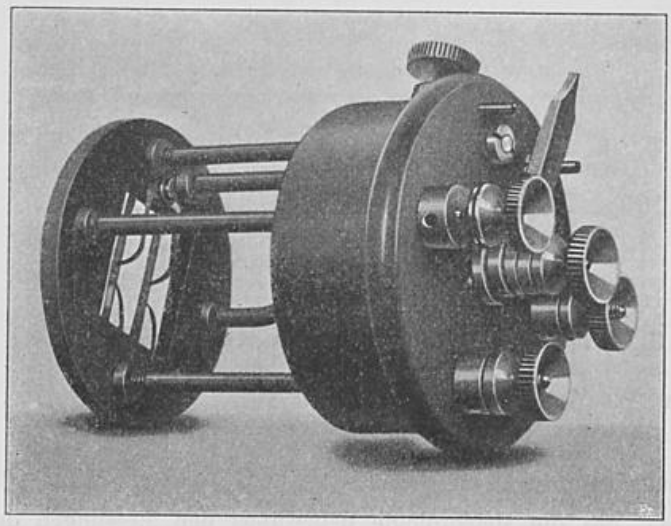

Fig. 1.

Die Beobachtungsmethode. Bei der Ausführung der Messung wird zuerst der Apparat mit Hilfe einer auf dem Rohr angebrachten Visiereinrichtung gegen die Wärmequelle orientiert. Dann läßt man bei neutraler Stellung des Schirmes die Strahlung auf beide Meßstreifen fallen und notiert die Ruhelage des Galvanometers. Der Schirm wird alsdann nach rechts oder links gelegt und gleichzeitig der Strom von einem Akkumulator (Fig. 2, in der Mitte mit Ledergriff) durch Anlegen des Kommutators an den Stift rechts oder links durch den beschatteten Streifen geschickt. Durch einen Gleitwiderstand (Fig. 2, am weitesten rechts) gleicht man den Strom so ab, daß die vorher abgelesene Ruhelage am Galvanometer (Fig. 2, 2. Instrument von rechts) wieder erreicht ist. Die Stärke des Kompensationsstromes ist in diesem Augenblick am Präzisionsamperemeter (Fig. 2, am weitesten links) abzulesen. Um die kleinen Ungleichheiten der beiden Meßstreifen zu eliminieren, sind Schirm und Kommutator auf die andere Seite zu legen, und bei dieser Vertauschung der Streifen ist die Messung zu wiederholen. Beide Ablesungen werden gemittelt und der Zeitmitte der Beobachtung zugeschrieben. Als Beispiel für das Beobachtungsschema gebe ich die Messung vom 17. Juni 1913.

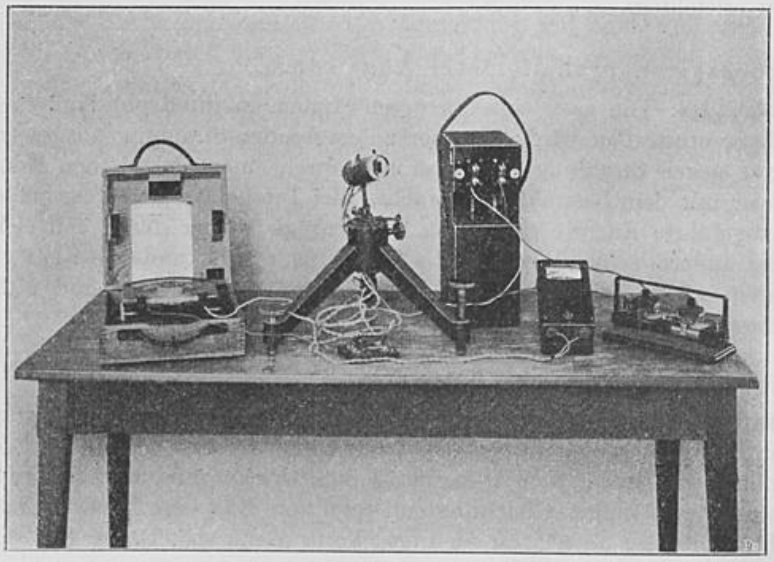

Fig. 2.

		Stromstärke
Ruhelage des Galvanometers . .		1.2
Beschattung rechts	$0^p\,33^m\,30^s$	0.2808 Amp.
„ links	$0^p\,34^m\,30^s$	0.2790 Amp.
Ruhelage des Galvanometers . .		1.2
Mittel beider Ablesungen	$0^p\,34^m\,0^s$	0.2799 Amp.

Strahlungsintensität $Q = 16.2\,i^2 = 1.270$ Grammkalorien pro Minute und cm^2.

Fig. 2 zeigt die Meßanordnung des Apparates mit der Nebenapparatur auf einem kleinen Beobachtungstisch. Das Kompensationspyrheliometer von der Firma Rose & Co. in Upsala steht sehr stabil mit seiner Fußplatte horizontiert auf einem eisernen Dreifuß, der im Observatorium vorhanden war.

Als Nebenapparatur benutzt man am zweckmäßigsten

1. zur Strommessung ein Präzisionsamperemeter mit Nebenschluß von Siemens & Halske mit einem Meßbereich von 0 bis 0.45 Ampere (Fig. 2, am weitesten links). Eine Nachprüfung der Eichung nach 5 Jahren durch die Physikalisch-Technische Reichsanstalt in Charlottenburg ergab keine Veränderung des Instruments. Preis mit Nebenschluß 148 ℳ;

2. als Stromquelle einen transportablen Akkumulator von 2 Volt Spannung (Fig. 2, in der Mitte mit Lederriemen);

3. als Galvanometer ein Messerzeigergalvanometer von Siemens & Halske, Listen-Nr. 16684; Empfindlichkeit 1 Skt $= 1 \times 10^{-5}$ Ampere (Fig. 2, 2. Instrument von rechts). Preis 80 ℳ. Dieses Galvanometer ist dem von Rose mitgelieferten (Typ d'Arsonval) bei weitem vorzuziehen. Es stellt sich schnell ein, ist bedeutend handlicher und gegen Erschütterungen viel weniger empfindlich;

4. als Gleitwiderstand den Spezialwiderstand Nr. 720 für photometrische Zwecke von der Elektrizitätsgesellschaft Gebr. Ruhstrat, Göttingen (Fig. 2, am weitesten rechts). Preis 21.50 ℳ. An Güte übertrifft dieser Widerstand den von Rose & Co. mitgelieferten ebenfalls bei weitem; Kontaktstörungen sind sehr selten.

In Fig. 3 ist das Schaltungsschema gezeichnet bei Bestrahlung links und Beschattung rechts. S ist die Stromquelle, R und R_1 der Regulierwiderstand, A das Präzionsamperemeter, C der Kommutator zu den Streifen. Das Galvanometer G ist mit den in demselben Stromkreis liegenden Thermoelementen an der Rückseite der Meßstreifen verbunden. Der systematische Fehler bei der Konstantenbestimmung kann nach Ångström höchstens 1.3 %, der zufällige Fehler bei der Strommessung höchstens 0.6 % betragen, so daß die Meßgenauigkeit sich innerhalb von 2 % hält (siehe später).

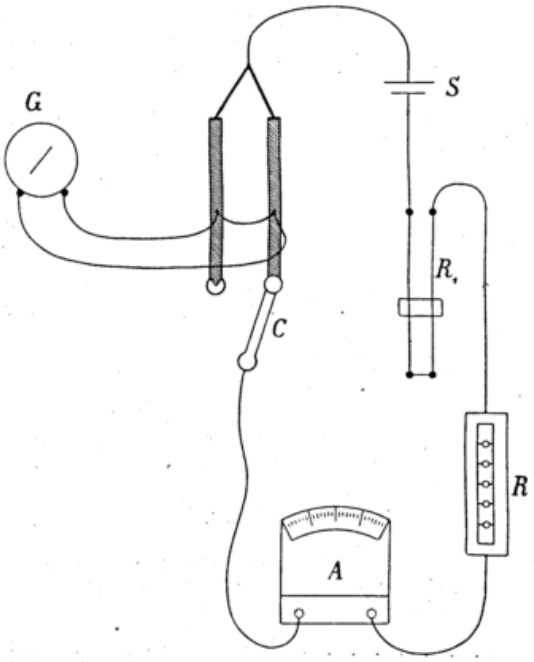

Fig. 3.

2. Silverdisk-Pyrheliometer (Silberscheiben-P.) Abbot[1]).

Dies Instrument ist ein Pyrheliometer vom verbesserten Pouillet-Tyndall-Typ. Es gehört zur Klasse der sekundären Standardinstrumente, muß also durch ein absolutes Instrument geeicht werden. Der einmal gefundene Reduktionsfaktor zeichnet sich dann durch so gute Konstanz aus, daß das Instrument selbständig für absolute Messungen der Strahlung geeignet ist.

Prinzip des Instruments. Man läßt die zu messende Strahlung auf eine geschwärzte Silberscheibe fallen. Die Temperaturerhöhung dieser Scheibe, vermehrt um eine Abkühlungskorrektion gegen die Umgebung bei Beschattung, gibt ein Maß für die Strahlung.

Beschreibung des Instruments (siehe Fig. 4). Die im Querschnitt sichtbare Silberscheibe a hat eine radiale Bohrung, in die ein dünnwandiges, zylindrisches Quecksilbergefäß b eines Thermometers eingelassen ist. Die Innenfläche der Bohrung ist zum Schutze des Silbers mit einer dünnen Stahlschicht überzogen und dann mit Quecksilber ausgefüllt, um eine gut wärmeleitende Verbindung zwischen Thermometer und der Silberscheibe herzustellen. Die Öffnung wird beim Austritt des Thermometers zweckmäßig abgedichtet und mit Klebwachs verschlossen, so daß das Quecksilber nicht entweichen kann. Das sehr empfindliche und genau graduierte Thermometer b ist rechtwinklig gebogen und durch Gummiringe isoliert in eine vernickelte, gut gestützte Messinghülse gelegt, die es vor Er-

[1]) Nach der Originalbeschreibung von Abbot. Smithsonian miscellaneous collections Bd. 56, No. 19, 1911. Washington.

wärmung und vor Zerbrechen schützen soll. Sie wird so weit geschlitzt, daß man die Skala bequem ablesen kann. Der oberste Teil der Schutzhülse kann abgeschraubt werden, so daß etwaige Ansammlungen von Quecksilber, die beim Transport vom Faden abgerissen sind, durch Erwärmung bequem wieder mit dem Faden vereinigt werden können. Die Silberscheibe a ist durch ein Kupfergehäuse c eingeschlossen und in 2 Hälften ineinandergeschoben. Drei in der Figur nicht sichtbare, dünne Stahlstifte in 120° Abstand dienen zur Stütze der Silberscheibe. Für den Transport werden 3 Messingschrauben so lange angezogen, daß sie durch das Kupfergehäuse hindurch die Köpfe dieser Stifte leise berühren und die Silberscheibe durch Klemmung vor dem Abbrechen schützen. Zur Messung sind diese Schrauben, die durch weiße Pflöcke geschützt sind, wieder zu lösen. Das Kupfergehäuse c ist außerdem noch in eine hölzerne, in 2 Hälften auseinandernehmbare Kammer d eingebettet, zum Schutze des Instrumentes gegen Temperaturschwankungen. Die Strahlung fällt durch den Zylinder e und durch 3 Diaphragmen f_1, f_2 und f_3 auf die Silberscheibe a. Das genau ausgemessene Diaphragma f_3 ist kleiner als f_1 und f_2 und auch etwas kleiner als die Silberscheibe a. Das Innere vom Zylinder e und vom Gehäuse c muß wie die Silberscheibe gut geschwärzt sein. Die Beschattungsvorrichtung besteht aus 3 umlegbaren parallelen Metallplatten h h h. Die Stirnseite des Zylinders e trägt noch einen Schirm k, der groß genug ist, um das ganze Holzgehäuse d vor Sonnenstrahlung zu schützen. Eine Visiervorrichtung i am Hülsenträger des Thermometers besorgt die Einstellung des Instrumentes auf die Sonne. Der Apparat ist parallaktisch montiert und läßt sich mit einem Schraubenmechanismus der Sonne leicht nachdrehen.

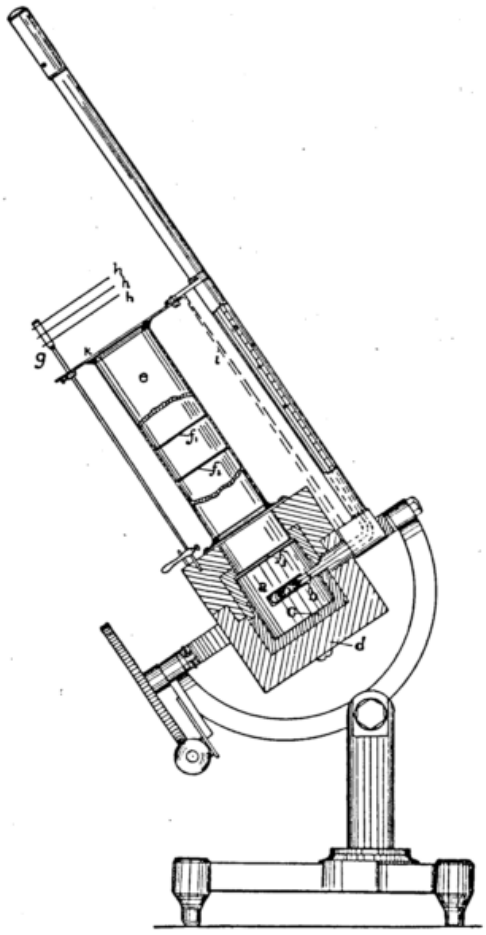

Fig. 4.

Beobachtungsmethode. Mit der Visiervorrichtung stellt man das Instrument zunächst auf die Sonne ein und dreht während der Messung alle halbe Minute nach; der Schutzdeckel muß natürlich vorher geöffnet sein. Die Ablesungen des Thermometers erfolgen nach einem Beobachtungsschema, für das eine Messung vom 18. Dezember 1911 als Beispiel dienen soll.

Ablesung	1	2	3	4	5	6	7	8	9	10
Zeit	$0^h\,45^m\,20^s$	$47^m\,0^s$	$47^m\,20^s$	$49^m\,0^s$	$49^m\,20^s$	$51^m\,0^s$	$51^m\,20^s$	$53^m\,0^s$	$53^m\,20^s$	$55^m\,0^s$
Thermometer-Ablesung	13.62°	13.01°	13.35°	15.07°	14.93°	14.05°	14.33°	15.82°	15.63°	14.59°
Silberscheibe	beschattet		exponiert		beschattet		exponiert		beschattet	

Lufttemperatur 13°, ⊙ wolkenfrei, Himmel weißlichblau.

Die Zeitgenauigkeit bei der Temperaturbestimmung muß $^1/_5$ Sekunde erreichen. Man liest zweckmäßig zuerst die Hundertstel, dann die Zehntel und ganzen Grade bei Vermeidung jeglicher Parallaxe ab. Diese ist vermieden, wenn das Spiegelbild der Teilstriche der Skala im Quecksilberfaden sich mit den Teilstrichen selbst deckt. Zur besseren Beleuchtung der Skala benutzt man zweckmäßig eine schmale und matte Milchglasscheibe, von der man Licht auf die Skala für die kurze Zeit der Ablesung reflektieren läßt. Das Umlegen der Beschattungsvorrichtung erfolgt sofort nach der 2., 4. usw. Ablesung, also scharf bei Beginn der 3., 5., 7. und 9. Minute, in dem Beispiel bei $0^h\,47^m\,0^s$ usw.

Berechnungsmethode. Zur Erlangung der Abkühlungskorrektion bilde man

$$\frac{[(1)-(2)]+[(5)-(6)]}{2} \text{ und } \frac{[(5)-(6)]+[(9)-(10)]}{2}.$$

Zum ersten Ausdruck ist die Temperaturzunahme während der ersten Exposition [(4)—(3)] und zum zweiten [(8)—(7)] während der zweiten zu addieren. Ich benenne die so erhaltenen Werte R_1 und R_2. Dann bildet man das rohe Temperaturmittel aus 3 und 4 und aus 7 und 8 (T_1 und T_2).

An R_1 und R_2 sind nun noch 3 Korrektionen anzubringen. Die erste (Skalenkorrektion) erhält man, indem man mit der Temperatur T_1 und T_2 in eine beigegebene Tabelle eingeht und mit R_1 und R_2 multipliziert. Die zweite (Reduktion auf 30° Thermometergefäßtemperatur) durch $R(T - 30^0)K$; K hat den Wert 0.0011. Die dritte (Reduktion auf Thermometerstabstemperatur von 20°) errechnet sich nach der Formel $R(20^0 - t)K^1$, wo $K^1 = 0.00014$ und t = Lufttemperatur ist. Die endgültigen Ausdrücke R_1^1 und R_2^1 sind mit der ebenfalls beigegebenen Apparat-Konstante zu multiplizieren und geben dann die Strahlung in Grammkalorien pro Minute und cm² in absolutem Maß (Smithsonian Revised pyrheliometry of 1913). Um das Rechenschema zu veranschaulichen, lasse ich die Ausrechnung der oben mitgeteilten Messung hier folgen:

Berechnungsschema.

Ablesung	1	2	3	4	5	6	7	8	9	10
Thermometer-Ablesung	13.62°	13.01°	13.35°	15.07°	14.93°	14.05°	14.33°	15.82°	15.63°	14.59°
Differenzen	0°.61		1°.720		0°.88		1°.490		1°.04	
Abkühlungs-Korrektion			0°.745				0°.960			
R_1 und R_2			2°.465				2°.450			
T_1 und T_2			14°.2				15°.1			
Skalen-Korrektion	$-0.0017 . R_1 =$		$-0°.008$		$-0.0017 . R_2 =$		$-0°.004$			
$KR(T-30^0)$	$-0.0011 . 15.8 . R_1 =$		$-0°.043$		$-0.0011 . 14.9 . R_2 =$		$-0°.040$			
Lufttemperatur-Korrektion	$+0.00014 . 7 . R_1 =$		$+0°.002$		$+0.00014 . 7 . R_2 =$		$+0°.002$			
R_1^1 und R_2^1			2°.416				2°.408			

Die beiden Strahlungswerte dieses Doppelsatzes sind also

2.416 S. K. = 0.908 gr. cal. min. cm² 2.408 S. K. = 0.905 gr. cal. min. cm²,

da die beigegebene Apparat-Konstante S. K. = 0.3760 ist.

3. Das relative Bimetallaktinometer Michelson[1]).

Meßprinzip. Die durch die auffallende Strahlung erzeugte Verbiegung einer geschwärzten bimetallischen Lamelle gibt ein Maß für die Strahlung und wird durch ein Mikroskop mit Okularmikrometer gemessen.

Beschreibung des Instruments (siehe Fig. 5). Eine elektrolytisch hergestellte Bimetalllamelle a b aus Platin-Kupfer oder Platin-Silber oder Invar-Eisen (ungefähr 15—20 mm lang, 1—2 mm breit und 0.04 bis 0.05 mm dick) wird beiderseits schwarz platiniert und in einen Messingträger P eingelötet. An das freie Ende wird ein leichter, steifer Aluminiumzeiger b c mit etwas Schellack befestigt. Der Zeiger trägt einen sehr kleinen, weißen Beleuchtungsspiegel c, der um 45° zur Mikroskopachse geneigt ist und vor dem sich ein ganz dünner Quarzfaden i als Marke befindet. Die Lamelle wird in die achsiale Bohrung eines massiven Kupferzylinders gelagert, der schnelle Temperaturschwankungen verhüten soll. Die Sonnenstrahlen fallen durch eine radiale Bohrung N auf die Breitseite der Lamelle. Die mit einem Glas verschlossene Öffnung B dient nur zur Beleuchtung des Spiegels c. Die Festklemmung des Lamellenhalters P erfolgt durch die Schraube C, die nach der Eichung des Apparates nicht mehr berührt werden darf. Die Schrauben R und R_1 stützen den Lamellenhalter und können kleine Verschiebungen der Lamelle bewirken, falls die Marke aus dem Gesichtsfeld verschwunden ist. Eine Visiervorrichtung O K ermöglicht die Einstellung auf die Sonne. Der massive Kupferzylinder wird durch einen blanken Metallschirm S vor den direkten Sonnenstrahlen geschützt. In ihm sind für den Spalt N und das Beleuchtungsfenster B die nötigen Ausschnitte angebracht. Der Ausschnitt D kann durch ein umklappbares Aluminiumschirmchen T abgedeckt werden und ein Diaphragmenrohr führt vom Schirm S zum Kupferzylinder und umgibt N und D. Alle Innenwände sind geschwärzt.

Beobachtungsmethode. Das Aktinometer wird horizontiert, mit der Visiervorrichtung durch Azimut- und Höhenschraube auf die Sonne eingestellt und dann nach folgendem Schema beobachtet:

[1]) Nach der Originalbeschreibung von W. A. Michelson: Met. Ztschr. Bd. 25, S. 246, 1908 u. Phys. Ztschr. 9, S. 18, 1908.

Beobachtung vom 18. Februar 1913.

	Zeit	Ablesung	Mittel der benachbarten Werte	Differenz	Sonnenstrahlung (Skalenwert 0.0280)
1.	$0^p\,8^m\,0^s$	40.1 (besch.)			
2.	20	81.3 (exp.)	$I = 40.55\ \left(\frac{1+3}{2}\right)$	$2-I = 40.75$	1.141 gr. cal. min. cm²
3.	40	41.0 (besch.)	$II = 81.75\ \left(\frac{2+4}{2}\right)$	$II-3 = 40.75$	1.141
4.	9 0	82.2 (exp.)	$III = 41.35\ \left(\frac{3+5}{2}\right)$	$4-III = 40.85$	1.144
5.	20	41.7 (besch.)	$IV = 82.60\ \left(\frac{4+6}{2}\right)$	$IV-5 = 40.90$	1.145
6.	40	83.0 (exp.)	$V = 42.05\ \left(\frac{5+7}{2}\right)$	$6-V = 40.95$	1.147
7.	10 0	42.4 (besch.)			

Mittel $0^p\,9^m\,0^s = 40.84 = 1.144$ gr. cal. min. cm²

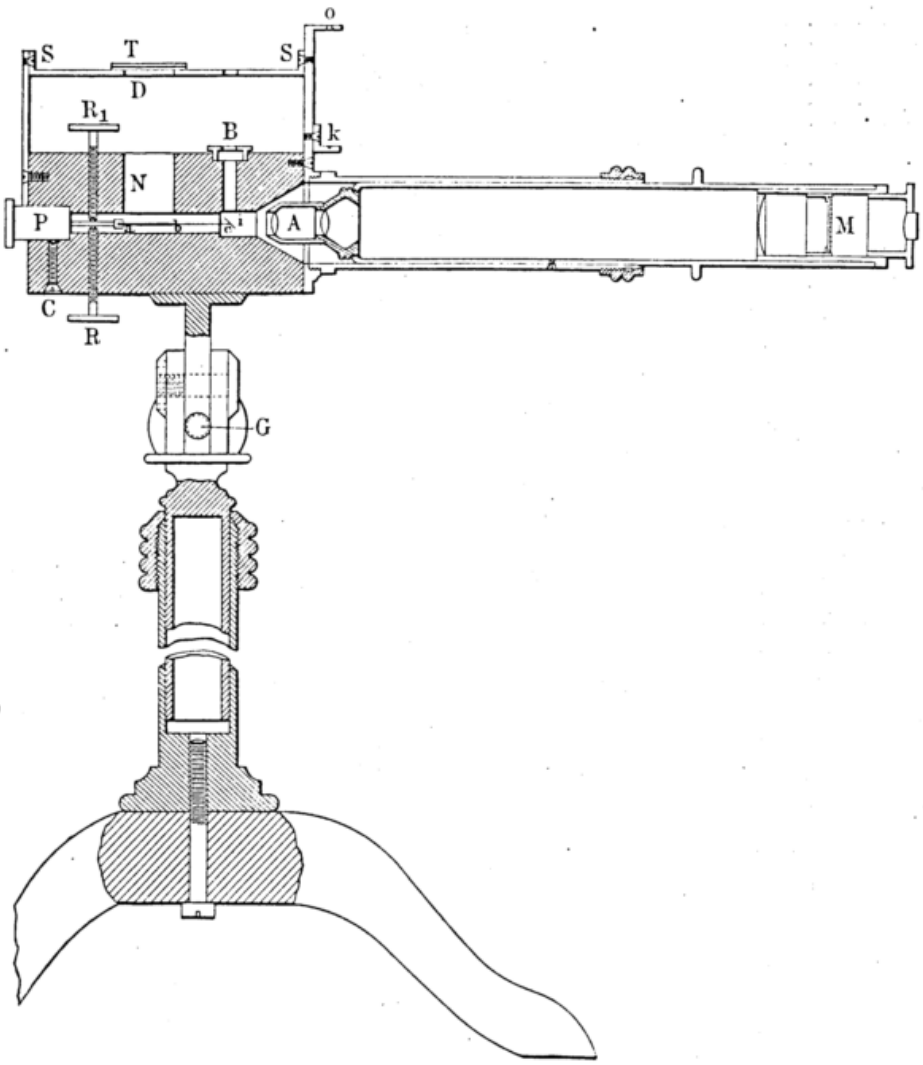

Fig. 5.

Die praktischen Erfahrungen mit dem Bimetallaktinometer machten einige konstruktive Abänderungen wünschenswert, die durch den Mechaniker Schulze in Potsdam ausgeführt wurden. Bei sehr tiefen Temperaturen im Winter trat der Faden infolge der starken Krümmung vom Objektiv so weit zurück, daß er unscharf wurde. Durch einen Trieb wurde daher das Mikroskop als Ganzes in der Längsachse verschiebbar gemacht. Diese Verschiebung kann an einer Teilung der Triebschraube gemessen werden. Der Lamellenträger wurde stärker gebaut und mit einem Scharnier versehen. An Stelle der Schraube R_1 ist eine Federbuchse in den Kupferzylinder eingelassen, die den Träger gegen die Schraube R drückt. Der Träger läuft jetzt in einer Fahrschiene, die sich in P befindet, und kann mit der Lamelle nur in der Strahlungsrichtung verschoben werden. Der Lamellenträger befindet sich außerdem in einer ganz dünnen, geschwärzten Kupferröhre, die gegenüber den Breitseiten in Länge der Lamelle ausgeschnitten ist, so daß an den Schmalseiten der Lamelle nur ganz enge Verbindungsbrücken zum anderen Röhrenende übrigbleiben. Dem Beleuchtungsfenster B gegenüber ist die Röhre unter einem Winkel von 45° abgeschrägt und mit einem sehr schmalen Metallspiegel versehen. Der Aluminiumzeiger mit dem winzigen Spiegel ist fortgefallen, und dafür sind an den Ecken bei b 2 steife Quarzfäden in Längsrichtung der Lamelle mit Schellack befestigt und durch ein Querstück, den schmalen Röhrenspiegel umfassend, verbunden. Dies Querstück vor dem Spiegel dient als Marke. Als Stellschraube wird jetzt nur noch die Schraube R benutzt. Um auch Teilstrahlung durch Absorptionsgläser messen zu können, ist ferner hinter dem Spalt D in das Röhrendiaphragma eine lichtdichte Führungsschiene zur Einschiebung eines Uviolglases mit Fassung eingelassen. Der Ausschlag für diese blauviolette Teilstrahlung beträgt ungefähr 20 % der Gesamtstrahlung. Diese Neuerungen bewähren sich gut. Sobald sie hinreichend ausprobiert sind, soll darüber weiter berichtet werden.

B. Vergleichsmessungen der Instrumente untereinander.

Schon auf der Meteorologen-Versammlung in Leipzig 1872, also seit den ersten Anfängen einer internationalen Organisation, herrscht in Fachkreisen volle Einmütigkeit über die Wichtigkeit von Strahlungsmessungen für die meteorologische Forschung. In der Folgezeit ist dann auf den internationalen Konferenzen immer wieder über die Aufnahme von Strahlungsmessungen in das meteorologische Arbeitsprogramm diskutiert worden, aber bis zur Innsbrucker Tagung 1905 blieb die zuständige Direktorenkonferenz der Ansicht, daß die „aktinometrischen Methoden immer noch nicht genügend sicher gestellt seien, um irgend eine derselben zur Einführung in den regelmäßigen Beobachtungsdienst empfehlen zu können". Erst mit der Konstruktion des Ångströmschen Kompensationspyrheliometers 1893 bereitete sich allmählich ein Umschwung in dieser Anschauung vor. Das neue Meßprinzip bewährte sich derart, daß ein so kompetenter Geophysiker wie Pernter[1]) das Kompensationspyrheliometer als ein „tadelloses und exaktes Instrument" bezeichnen konnte. Damit kamen die Bedenken in Wegfall, die bis dahin einer offiziellen Einführung von Strahlungsmessungen in die Meteorologie im Wege gestanden hatten, und am 11. September 1905 nahm dann auch die Direktorenkonferenz in Innsbruck auf Antrag von Pernter[2]) folgende Beschlüsse an:

„Die Messungen der Gesamtstrahlung der Sonne sollen von Zentralobservatorien und anderen, welche die Möglichkeit dazu haben, regelmäßig täglich wenigstens um 11^a, beziehungsweise 11^a bis 1^p, gemacht werden und zwar ausschließlich mit dem Kompensationspyrheliometer von Ångström. Desgleichen sollen nachts um 10 Uhr, beziehungsweise 10 bis 12 Uhr, Messungen der Ausstrahlung ausschließlich mit dem Kompensationsaktinometer von Ångström gemacht werden."

Diese immer noch giltigen Beschlüsse bedürfen unbedingt einer baldigen Revision, die durch die moderne Entwicklung besonders auf instrumentellem Gebiete geboten erscheint. Die Diskussion darüber ist bereits von der neu organisierten Strahlungskommission des Meteorologischen Komitees, die ja in erster Linie dazu berufen ist, auf ihrer ersten Tagung in Rapperswyl[3]) eröffnet worden. Eine Fortsetzung der dort begonnenen Aussprache ist aber dringend zu wünschen, damit die äußerst wichtige Instrumentenfrage für eine Beschlußfassung auf der nächsten Direktorenkonferenz hinreichend geklärt und endgiltig spruchreif wird, zumal die baldige internationale Annahme einer stabilen pyrheliometrischen Skala im Interesse der Vergleichbarkeit aktinometrischer Angaben ein dringendes Bedürfnis ist.

---

[1]) Bericht über die internationale meteorologische Direktorenkonferenz in Innsbruck. September 1905. S. 18.

[2]) Ebenda, a. a. O.

[3]) Bericht über die erste Tagung der Strahlungskommission des internationalen Komitees in Rapperswyl bei Zürich am 2. und 3. September 1912. Zürich-Seluan 1912. Gebr. Leemann & Co.; Auszug in Meteor. Zeitschr. Bd. 29, S. 530, 1912.

Den Innsbrucker Beschlüssen entsprechend hat auch das meteorologische Institut in Preußen auf seinem Observatorium in Potsdam[1]) seit dem März 1907 Strahlungsmessungen zunächst nur mit Ångströms Kompensationspyrheliometer Nr. 74 ausführen lassen. Als dann besonders durch Kimball Zweifel an der Konstanz des Ångströmschen Apparates laut wurden, sah sich das Institut veranlaßt, durch Beschaffung weiterer Apparate die Vergleichbarkeit der Beobachtungen zu kontrollieren und alle Instrumente an die einzige nachweisbar absolute pyrheliometrische Skala des Smithsonian Instituts anzuschließen. Ein erster Bericht über die Ausführung dieser Arbeiten ist bereits im vorigen Jahrgang[2]) erstattet. Seitdem sind weitere Vergleichsmessungen mit einem vermehrten Instrumentarium ausgeführt, und da ihre Ergebnisse bei dem augenblicklichen Stande der Instrumentenfrage besonderem Interesse begegnen werden, so soll zusammenfassend darüber berichtet werden. In erster Linie ist die Erwerbung eines zweiten „Silver disk pyrheliometer" S. I. 12 vom Smithsonian Institut zu erwähnen. Die Vergleichungen dieses sekundären Standardinstrumentes mit dem früher bezogenen S. I. 10 ermöglichen sowohl ein Urteil über die Übereinstimmung derartiger Instrumente unter sich, als auch über den Genauigkeitsgrad, mit dem der Anschluß der Potsdamer Instrumente an die absolute pyrheliometrische Skala des Smithsonian Instituts vollzogen ist. S. I. 12 hatte den Transport gut überstanden und kam in gebrauchsfähigem Zustand in Potsdam an. Die Messungen wurden am 17. Dezember 1912 begonnen und Ende Februar 1913 abgeschlossen. Die Beobachtung und Berechnung geschah genau nach den von Abbot[3]) angegebenen Vorschriften. Die Resultate sind in Tabelle I und II zusammengestellt. Die Lesungen am Instrument S. I. 12 erfolgten 1 Minute später als bei S. I. 10, die Expositionszeiten decken sich also nur zur Hälfte. Eine Korrektur für den täglichen Gang ist aber nicht angebracht, da die Änderung für diese kleine Zeitdifferenz praktisch bedeutungslos ist, zumal wenn man bedenkt, daß die unregelmäßigen Änderungen in Form von kleinen Zacken selbst an klaren Tagen der Größenordnung nach beträchtlicher sind. Für die Errechnung des Endresultats habe ich den Einzelbeobachtungen verschiedenes Gewicht erteilt. Eine Einzelmessung erhielt das Gewicht 1, ein Doppelsatz das Gewicht 2 und an Tagen mit günstigem Wetter, an denen die Strahlungskurven besonders ruhig waren, wurden diese Gewichtszahlen noch mit 2 multipliziert. Nach Tabelle I ergibt sich als mittlerer Reduktionsfaktor $\frac{\text{S. I. 10}}{\text{S. I. 12}} = 1.007$. S. I. 10 ergibt also um 0.7 % höhere Werte als

Tab. I. Vergleichsmessungen zwischen S. I. 10 und S. I. 12.

Die korrespondierenden Ablesungen erfolgten bei S. I. 12 1 Minute später.

Datum	Mittlere Ortszeit	S. I. 10	S. I. 12	$\frac{\text{S. I. 10}}{\text{S. I. 12}}$	Gewicht	Datum	Mittlere Ortszeit	S. I. 10	S. I. 12	$\frac{\text{S. I. 10}}{\text{S. I. 12}}$	Gewicht
1912 Dezember 17	11^a 31	0.448	0.452	0.991	2	1912 Dezember 23	1^p 39	0.577	0.580	0.995	2
» 21	11^a 24	0.784	0.760	1.032	2	1913 Januar 10	10^a 16	0.642	0.643	0.998	4
» 21	0^p 27	0.749	0.734	1.020	2	» 10	10^a 46	0.711	0.706	1.007	4
» 21	1^p 17	0.598	0.610	0.980	1	» 15	11^a 26	0.740	0.739	1.001	4
» 23	0^p 36	0.662	0.646	1.025	2	Februar 20	10^a 46	1.087	1.063	1.023	1

Mittelwert 1.007.
Mittlerer Fehler der Einzelmessung ∓ 0.014
» » des Mittelwertes ∓ 0.003.

S. I. 12. Der mittlere Fehler einer Einzelmessung beträgt 1.4 % und der des Mittelwerts 0.3 %. Mit noch größerer Sicherheit kann der Reduktionsfaktor aus Tabelle II abgeleitet werden, weil die Mitvergleichung eines dritten Instruments, des relativen Bimetallaktinometers Michelson Nr. 15, die Anbringung der Strahlungsänderung für die verschiedenen Beobachtungszeiten erlaubte. M. 15 gehört Herrn Dr. Dorno in Davos und ist dem Observatorium in dankenswerter Weise zu Studienzwecken überlassen. Die Beobachtungen an M. 15 wurden gleichzeitig von Herrn Berger ausgeführt. Das Instrument gibt aber im Gegensatz zu S. I. 10 und S. I. 12 Momentwerte. Es wurde alle halbe Minuten abgelesen, so daß sich 4 gleichmäßig über das Expositionsintervall verteilte Augenblicksablesungen ergaben, die den Gang der Strahlung während dieser Zeit festlegten. Der unkorrigierte Reduktions-

[1]) W. Marten, Messungen der Sonnenstrahlung auf dem Meteorologischen Observatorium bei Potsdam. Ergebnisse der Meteorol. Beob. in Potsdam im Jahre 1908. Berlin 1909.

[2]) W. Marten, Vergleichsmessungen mit Pyrheliometern. Ergebnisse der Meteorol. Beob. im Jahre 1911. Berlin 1912.

[3]) C. G. Abbot, The silver disk pyrheliometer. Smithsonian Miscellaneous Collections Bd. 56, Nr. 19. Washington 1911.

faktor $\frac{\text{S. I. 10}}{\text{S. I. 12}}$ betrug 1.005 mit einem mittleren Fehler der Einzelmessung von ∓ 0.008 und dem mittleren Fehler des Resultats von ∓ 0.0013. Der Unterschied nach Tabelle I beträgt nur 0.2 %. Nach Anbringung der Korrektion erhält man die entsprechenden Werte 1.007, ∓ 0.006 und ∓ 0.001; also zufällig genau denselben Wert (korrigiert) wie bei Tabelle I (unkorrigiert). Daraus ist zu schließen, daß die nicht strenge Gleichzeitigkeit der Beobachtungen praktisch kaum von Bedeutung ist, da die Korrektion für die Strahlungsänderung in der Minute den Reduktionsfaktor nur um 0.2 % erhöht.

Tab. II. Vergleichsmessungen zwischen S. I. 10, S. I. 12 und M. 15.

Datum	Mittlere Ortszeit	S. I. 10	M. 15	Mittlere Ortszeit	S. I. 12	M. 15	$\frac{\text{S. I. 10}}{\text{S. I. 12}}$	$\frac{\text{S. I. 10}}{\text{S. I. 12}}$ korr.	$\frac{\text{S. I. 10}}{\text{M. 15}}$	$\frac{\text{S. I. 12}}{\text{M. 15}}$	Gewicht
1912 Dezember 17	11^h 12	0.401	14.7	11^h 13	0.406	14.85	0.988	0.998	0.0273	0.0273	2
1913 Januar 10	10^h 40	0.774	27.9	10^h 41	0.770	27.9	1.005	1.005	0.0277	0.0276	4
» 30	9^h 10	0.870	31.85	9^h 11	0.874	31.95	0.995	0.999	0.0273	0.0274	2
» 30	10^h 36	0.934	33.6	10^h 37	0.926	33.65	1.009	1.010	0.0278	0.0275	4
» 30	11^h 15	0.966	35.2	11^h 16	0.974	35.4	0.992	0.998	0.0274	0.0275	4
» 30	11^h 36	0.985	35.7	11^h 37	0.976	35.7	1.009	1.009	0.0276	0.0273	4
Februar 11	0^p 31	1.090	38.65	0^p 32	1.072	38.5	1.017	1.013	0.0282	0.0278	2
» 20	11^h 8	1.058	37.1	11^h 9	1.038	37.0	1.019	1.016	0.0285	0.0281	2
» 22	9^h 53	1.046	36.9	9^h 54	1.038	36.95	1.008	1.009	0.0283	0.0281	4
» 22	10^h 11	1.078	38.55	10^h 12	1.066	38.7	1.011	1.015	0.0280	0.0275	4
» 22	10^h 26	1.101	39.2	10^h 27	1.097	39.2	1.004	1.004	0.0281	0.0280	4

Mittelwert 1.005 1.007 0.0279 0.0277.
Mittlerer Fehler der Einzelmessung $+0.008$ $+0.006$
» » des Resultats $+0.0013$ $+0.001$.

Berechnet man ferner aus den Werten von S. I. 10 einerseits und S. I. 12 andrerseits für die genau sich deckenden Meßintervalle die Skalenwerte von Michelson Nr. 15 aus, so erhält man für $\frac{\text{S. I. 10}}{\text{M. 15}} = 0.0279$ und für $\frac{\text{S. I. 12}}{\text{M. 15}} = 0.0277$. Bei Ausschaltung der Abrundungsfehler ist das Verhältnis beider Skalenwerte rund 1.008; oben war für das direkte Verhältnis $\frac{\text{S. I. 10}}{\text{S. I. 12}}$ 1.007 gefunden. Die nur ganz geringe Abweichung erklärt sich dadurch, daß bei S. I. 10 und S. I. 12 das Strahlungsintegral für 2 Minuten streng ermittelt wird, während bei M. 15 die Kurve durch 4 gleichmäßig über die Expositionszeit verteilte Augenblickswerte festgelegt wurde, also zufällig gefaßte Zacken größere Abweichungen bedingen können. Auf verschiedenem Wege und in sich in guter Übereinstimmung kommt man also zu dem erfreulichen Resultat, daß die beiden „Silverdiskpyrheliometer" S. I. 10 und S. I. 12 in ihren Angaben bis auf 0.7 % übereinstimmen. Kurz vor Abschluß dieser Abhandlung kam ich in den Besitz einer neuen Arbeit von Abbot und Alderich[1]), in der sowohl die absolute pyrheliometrische Skala, als auch die Reduktionsfaktoren der bis dahin abgegebenen „Silver disk pyrheliometer" einer Revision unterzogen sind. Die verbesserten Daten sind durch Konstruktion eines neuen, ebenfalls nachweisbar absoluten Instruments von ganz andrem Typ (Kalorimeterprinzip), des „Standard water-stir pyrheliometer" Nr. 4, erzielt. Dieser neue Apparat stimmt mit den 3 absoluten „Water flow pyrheliometer" innerhalb von 1 % überein. Nach Ansicht der Verfasser muß diese neue absolute Skala auf mindestens 0.5 % genau sein. Nach dieser revidierten Skala sind die Reduktionsfaktoren von S. I. 10 um 1.0 % und von S. I. 12 um 0.5 % zu hoch. Die hiesigen Messungen nach Tabelle I und II ergaben eine Abweichung von 0.7 %. Die Divergenz schrumpft demnach auf 0.2 % zusammen; um diesen Betrag zeigt S. I. 12 niedriger als S. I. 10.

Selbstverständlich ist auch unser seit 1907 ständig benutztes Kompensationspyrheliometer Å. 74 durch Vergleichsmessungen mit S. I. 10 fortlaufend kontrolliert worden. Die Messungen wurden wieder nach demselben Schema ausgeführt, das ich im vorigen Jahrgang bereits beschrieben habe. Auch die Gewichtserteilung bei den Einzelmessungen erfolgte wieder in der gleichen Weise. Die Ergebnisse sind in Tabelle III, in IV unter Hinzunahme von M. 15 zusammengefaßt. Nach Tabelle III ergibt sich eine Erhöhung des früheren Reduktionsfaktors 1.044 auf 1.048 und nach IV auf 1.045. Letzterer Wert verdient bei weitem am meisten Vertrauen. Geht man auf die Einzelwerte in Tabelle IV zurück, so

[1]) C. G. Abbot and L. B. Alderich, Smithsonian pyrheliometry revised. Smithsonian Miscellaneous collections Bd. 60, 18, 7 S. 1913.

erkennt man, daß gerade die allerletzten Beobachtungen aus Januar und Februar 1913, die mit ganz besonderer Sorgfalt mitten von einem geräumigen Zimmer aus an völlig windgeschützter Stelle und unter günstigen Witterungsverhältnissen gewonnen sind, keine Erhöhung, sondern eher eine ganz geringe Abnahme des Reduktionsfaktors zeigen. Eine Alterung von Å. 74, wie Kimball sie bei Ångströmschen Instrumenten konstatiert hat, kann daher wohl nicht gefolgert werden. Die aus den Endzahlen der Tabellen III und IV resultierende geringe Erhöhung erklärt sich zwanglos aus der nicht völlig zureichenden Schärfe der angewandten Vergleichsmethode. Reduziert man den verläßlichsten Wert 1.045 auf die revidierte Skala vom Smithsonian Institut, so erhält man unter Benutzung von S. I. 10 als Vergleichsinstrument 1.035 und von S. I. 12 1.033. Das Mittel aus beiden 1.034 soll in Zukunft zur Reduktion der Angaben von Å. 74 benutzt werden. Die aus Tabelle IV für M. 15 errechneten Skalenwerte stimmen bei Å. 74 besser in sich als bei S. I. 10. Daraus ist zu folgern, daß die Meßgenauigkeit bei Å. 74 größer ist als bei S. I. 10.

Tab. III. Vergleichsmessungen zwischen S. I. 10 und Å. 74.

(Å. 74 ist mit dem früher bestimmten Faktor 1.044 reduziert.)

Datum	Mittlere Ortszeit	S. I. 10	Å. 74	S. I. 10 / Å. 74	Gewicht	Datum	Mittlere Ortszeit	S. I. 10	Å. 74	S. I. 10 / A. 74	Gewicht
1912 Juli 6	5^p 18	0.673	0.672	1.001	1	1912 Oktober 4	0^p 15	0.932	0.924	1.009	2
» 6	6^p 31	0.406	0.405	1.002	2	» 4	0^p 48	0.820	0.811	1.011	1
» 8	1^p 8	0.734	0.733	1.001	4	» 7	11^a 26	0.806	0.798	1.010	1
» 12	10^a 13	0.590	0.591	0.998	1	» 7	0^p 16	0.838	0.848	0.988	2
» 12	10^a 46	0.573	0.568	1.009	1	» 7	0^p 42	0.811	0.810	1.001	2
September 13	9^a 40	0.809	0.802	1.009	2	» 7	1^p 20	0.796	0.791	1.006	2
» 13	9^a 56	0.829	0.816	1.016	1	» 7	2^p 0	0.798	0.802	0.995	2
» 13	0^p 43	0.894	0.896	0.998	2	» 14	0^p 14	0.952	0.942	1.011	2
» 19	10^a 3	0.801	0.804	0.996	2	» 14	0^p 45	0.924	0.899	1.028	2
» 20	9^a 31	0.522	0.525	0.994	2	» 14	1^p 18	0.878	0.873	1.006	2
» 20	9^a 59	0.588	0.590	0.997	2	Dezember 23	2^p 7	0.497	0.482	1.031	1
» 30	1^p 38	0.626	0.642	0.975	2	1913 Januar 15	0^p 10	0.787	0.773	1.018	4
» 30	2^p 1	0.651	0.645	1.009	2	» 30	0^p 30	0.964	0.964	1.000	2

Mittelwert 1.004.
Mittlerer Fehler der Einzelmessung ∓ 0.011
» » des Resultats ∓ 0.0016.

Tab. IV. Vergleichsmessungen zwischen S. I. 10, Å. 74 und M. 15.

(A. 74 wurde mit dem früher bestimmten Faktor 1.044 reduziert).

Datum	Mittlere Ortszeit	S. I. 10	A. 74	M. 15	S. I. 10 / A 74	S. I. 10 / M. 15	A 74 / M. 15	Gewicht
1912 Oktober 4	10^a 3	0.792	0.785	28.75	1.009	0.0276	0.0273	2
» 7	10^a 58	0.778	0.759	27.8	1.025	0.0280	0.0273	2
» 8	10^a 44	0.944	0.941	34.1	1.003	0.0277	0.0276	4
» 8	11^a 7	0.974	0.960	34.6	1.015	0.0282	0.0277	2
Dezember 21	1^p 54	0.558	0.570	20.7	0.979	0.0270	0.0275	2
1913 Januar 30	0^p 52	0.965	0.968	35.05	0.997	0.0275	0.0276	4
Februar 18	11^a 55	1.149	1.145	40.85	1.003	0.0281	0.0280	4
» 20	9^a 42	0.970	0.970	34.9	1.000	0.0278	0.0278	4
» 20	10^a 3	1.009	1.010	36.15	0.999	0.0279	0.0279	4
» 22	10^a 48	1.082	1.091	38.8	0.992	0.0279	0.0281	4
» 22	11^a 12	1.082	1.084	39.1	0.998	0.0277	0.0277	4
» 22	11^a 29	1.115	1.106	39.6	1.008	0.0282	0.0279	4

Mittelwert 1.001 0.0278 0.0277.
Mittlerer Fehler der Einzelmessung ∓ 0.009
» » des Resultats ∓ 0.0015.

Das zweite im Besitz des Observatoriums sich befindliche Kompensationspyrheliometer 140_{bis} mußte in Upsala bei der Lieferungsfirma Rose repariert werden, weil die Schwärzung der Manganinstreifen von unberufener Hand beschädigt war. Der Apparat erhielt nach der Reparatur die Bezeich-

nung Å. 140_{II}. Die Neubestimmung der Konstanten wurde von Lindholm ausgeführt und brachte folgendes Resultat:

Konstanten von Å. 140_{II} (Lindholm Juni 1912).

Widerstand r der Streifen, Mittel	0.1985 Ohm pr. cm
Breite b „ „ „ „	0.2055 cm
Absorptionskoeff. a der Oberfläche	0.98
Konstante k des Instruments	14.12

Tab. V. Vergleichsmessungen zwischen S. I. 10 und Å. 140_{II}.

Datum	Zeit	S. I. 10	Å. 140III	Reduktionsfaktor	Gewicht	Datum	Zeit	S. I. 10	Å. 140III	Reduktionsfaktor	Gewicht
1912 Juli 6	6^p 6	0.510	0.483	1.056	4	1912 September 30	11^a 57	0.740	0.696	1.063	2
» 12	0^p 34	0.872	0.844	1.033	4	» 30	0^p 21	0.710	0.664	1.069	2
September 20	0^p 53	0.645	0.598	1.079	1	» 30	0^p 42	0.700	0.660	1.061	2
» 21	9^a 29	0.680	0.646	1.053	2	» 30	1^p 10	0.742	0.690	1.075	2
» 28	9^a 46	0.686	0.652	1.052	1	Oktober 8	11^a 36	0.970	0.922	1.052	2
» 28	9^a 58	0.724	0.686	1.055	2	» 8	0^p 12	0.895	0.866	1.033	2
» 28	10^a 23	0.774	0.739	1.047	2	» 8	2^p 53	0.612	0.582	1.052	4
» 28	10^a 43	0.810	0.764	1.060	2	1913 Januar 30	1^p 39	0.856	0.820	1.044	4
» 28	11^a 9	0.843	0.805	1.047	2	Februar 11	0^p 49	1.061	1.009	1.052	4
» 30	9^a 38	0.625	0.592	1.056	2	» 18	11^a 5	1.117	1.065	1.049	4
» 30	9^a 50	0.647	0.614	1.054	2	» 18	11^a 26	1.140	1.087	1.049	4
» 30	10^a 6	0.688	0.644	1.068	2						
» 30	11^a 9	0.750	0.724	1.036	1						

Mittelwert 1.052.
Mittlerer Fehler der Einzelmessung ∓ 0.011
» » des Resultats ∓ 0.0014.

Die nach demselben Schema wie bei Å. 74 ausgeführten Vergleichsmessungen mit S. I. 10 ergeben nach Tabelle V für das Verhältnis $\frac{\text{S. I. 10}}{\text{Å. 140}_{II}}$ den Wert 1.052 mit einem mittleren Fehler der Einzelmessung von ∓ 0.011 und von ∓ 0.0014 für den Reduktionsfaktor selbst. Da S. I. 10 nach der neuen revidierten Skala um 1 % zu hoch und außerdem S. I. 12 nach Tabelle I und II um 0.2 % tiefer als S. I. 10 zeigt, so soll fortan der Faktor 1.041 zur Reduktion der Angaben von Å. 140_{II} auf absolutes Maß benutzt werden. Um das Maß von Vertrauen zu kennzeichnen, das man den hier abgeleiteten Reduktionsfaktoren entgegenbringen darf, führe ich die mir in der Literatur zugänglichen Vergleichsdaten an, die an andern Orten gefunden sind. Nach G. Granquist[1]) ist das in Potsdam ständig gebrauchte Å. 74 im April 1906 mit dem in Upsala benutzten Normalinstrument Å. 70 verglichen und damit in völliger Übereinstimmung gefunden. Im Juni 1912 ist Å. 140_{II} ebenfalls mit dem Normalinstrument Å. 70 verglichen und für das Verhältnis $\frac{\text{Å. 70}}{\text{Å. 140}_{II}}$ der Wert 1.009 festgestellt. Reduziert man nach diesen Messungen auf die revidierte Skala der Smithsonian Institution, so erhält man für das Verhältnis

$$\frac{\text{S. I.}}{\text{Å. 74}} = 1.034; \quad \frac{\text{S. I.}}{\text{Å. 70}} = 1.034; \quad \frac{\text{S. I.}}{\text{Å. 140}_{II}} = 1.041.$$

Berücksichtigt man, daß Å. 70 nach Granquist um 0.9 % höher zeigt als Å. 140_{II}, so erhält man eine Übereinstimmung bis auf 0.2 % aus Messungen, die 6 Jahre auseinanderliegen. Im Mai 1906 fand Granquist das Verhältnis $\frac{\text{Å. 70}}{\text{Å. 77}} = 0.998$; eine Wiederholung im Mai 1912 führte zu dem Wert 0.996; bezieht man Å. 77 durch Vermittelung von Å. 70 auf die S. I.-Skala, so folgen daraus für Å. 77 die Reduktionsfaktoren 1.032 und 1.030, im Mittel also 1.031. Trotz eines Zwischenraumes von 6 Jahren weichen diese Faktoren auch nur um 0.2 % von einander ab. Nach Abbot und Alderich hat Savinoff neuerdings für das Verhältnis $\frac{\text{S. I. 2}}{\text{Å. 79}}$ den Wert 1.037 erhalten, Granquist für $\frac{\text{Å. 70}}{\text{Å. 79}}$ im Juni

[1]) Bericht über die erste Tagung der Strahlungskommission des Internationalen Meteorologischen Komitees in Rapperswyl bei Zürich am 2. und 3. September 1912, Anhang IV. Zürich-Seluan 1912. Gebr. Leemann & Co.

1906 0.999. Durch Vermittelung von Å. 74 und Å. 70 errechnet sich daraus für $\frac{\text{S. I.}}{\text{Å. 79}}$ der Wert 1.035, der sich nur um 0.2 % von dem von Savinoff direkt gefundenen Wert unterscheidet. Die Übereinstimmung dieser zeitlich zum Teil weit aus einander liegenden Messungen ist besser, als man eigentlich erwarten kann. Vor allem beweisen sie wohl unbedingt, daß die Ångströmschen Apparate neuester Konstruktion (seit Ende des Jahres 1904) keine nennenswerten Alterungserscheinungen mehr erkennen lassen.

Außer den bisher besprochenen Apparatetypen hat das Observatorium in Potsdam neuerdings auch dem relativen Bimetallaktinometer Michelson sein Interesse zugewandt. Die ersten Untersuchungen betrafen die Konstanz des Skalenwertes. Der Apparat M. 15 (Platin-Kupferlamelle) wurde auf einer Studienreise auf der Schneekoppe am 19. August 1912 bei einer Temperatur von 10° C durch 6 Vergleichsmessungen mit Å. 74 geeicht und der Skalenwert zu 0.0276 bestimmt. Die in Potsdam weiter fortgeführten Vergleichsmessungen mit S. I. 10 sind in Tabelle VI und die mit Å. 74 sind in Tabelle VII zusammengestellt. Die Messungen mit S. I. 10 wurden nach demselben Schema ausgeführt

Tab. VI. Vergleichsmessungen zwischen S. I. 10 und M. 15.

Datum	Mittlere Ortszeit	S. I. 10	M. 15	Skalenwert	Datum	Mittlere Ortszeit	S. I. 10	M. 15	Skalenwert
1912 September 19	8ª 20	0.607	21.9	0.0277	1912 September 21	8ª 59	0.816	29.1	0.0280
» 19	8ª 44	0.666	24.1	0.0276	Oktober 4	10ª 56	0.778	27.8	0.0280
» 19	9ª 12	0.724	25.85	0.0280	» 4	11ª 14	0.806	28.6	0.0282
» 20	8ª 18	0.386	14.2	0.0272	Dezember 5	1ᵖ 31	0.678	24.1	0.0281
» 20	8ª 31	0.438	16.2	0.0270	» 6	1ᵖ 17	0.520	19.5	0.0267*
» 20	8ª 54	0.520	18.6	0.0280	» 13	11ª 41	0.622	22.75	0.0273
» 21	7ª 53	0.574	20.5	0.0280	» 13	0ᵖ 43	0.518	19.15	0.0270
» 21	8ª 17	0.689	24.9	0.0277	1913 Februar 20	8ª 24	0.617	22.25	0.0277
» 21	8ª 38	0.752	27.55	0.0273					

Mittel 0.0276. * starke Schwankung.

Tab. VII. Vergleichsmessungen zwischen Å. 74 und M. 15.

Datum	Mittlere Ortszeit	Å. 74	M. 15	Skalenwert	Datum	Mittlere Ortszeit	A. 74	M. 15	Skalenwert
1912 Oktober 7	10ª 27	0.754	27.3	0.276	1913 Januar 10	9ª 47	0.497	17.8	0.279
» 7	10ª 32	0.750	27.3	0.275	» 10	10ª 41	0.679	24.5	0.277
» 7	10ª 37	0.751	27.3	0.275	» 10	11ª 37	0.746	27.1	0.275
» 8	9ª 47	0.879	31.65	0.278	» 10	11ª 56	0.780	28.15	0.277
» 8	9ª 55	0.893	32.05	0.279	» 15	9ª 40	0.516	18.4	0.280
» 14	10ª 51	0.915	32.8	0.279	» 15	9ª 48	0.542	19.7	0.275
» 14	10ª 55	0.911	33.1	0.275	» 15	9ª 53	0.556	20.0	0.278
» 14	11ª 1	0.940	33.8	0.278	» 15	10ª 20	0.630	22.4	0.281
» 14	11ª 47	0.939	33.6	0.279	» 15	10ª 26	0.645	23.5	0.274
» 14	11ª 51	0.940	33.9	0.277	» 15	10ª 55	0.703	25.5	0.276
» 14	1ᵖ 35	0.853	30.6	0.279	» 30	9ª 47	0.793	29.1	0.273
» 14	1ᵖ 40	0.834	29.6	0.282	» 30	9ª 59	0.830	30.2	0.275
Dezember 6	0ᵖ 37	0.616	22.5	0.274	Februar 22	9ª 29	0.962	34.23	0.281
» 6	0ᵖ 53	0.579	21.4	0.271	» 22	9ª 30	0.966	34.1	0.283
» 6	1ᵖ 0	0.562	20.3	0.277	» 22	9ª 31	0.969	34.28	0.282
» 13	10ª 39	0.469	16.9	0.278	» 22	9ª 32	0.973	34.52	0.282
» 13	11ª 9	0.560	20.8	0.269	» 22	9ª 33	0.976	34.8	0.280
» 13	11ª 56	0.594	21.5	0.276	» 22	9ª 34	0.980	35.35	0.277
» 13	12ª 19	0.556	20.4	0.273	März 1	8ª 48	0.882	31.6	0.279
» 13	12ª 27	0.545	20.45	0.267	» 1	9ª 16	0.956	34.65	0.276
» 13	12ª 45	0.495	18.5	0.268	» 1	0ᵖ 15	1.220	43.3	0.282
» 21	9ª 31	0.554	20.2	0.274	» 1	0ᵖ 20	1.223	43.55	0.281
» 21	9ª 53	0.668	25.5	0.262	» 1	0ᵖ 34	1.192	42.55	0.281
» 21	11ª 12	0.826	30.1	0.274	» 1	0ᵖ 48	1.177	42.07	0.280
» 21	11ª 32	0.774	28.3	0.274	» 1	1ᵖ 10	1.178	41.5	0.284
» 23	1ᵖ 31	0.596	21.8	0.273	» 1	1ᵖ 19	1.179	42.27	0.279
» 23	1ᵖ 49	0.530	19.75	0.268	» 1	1ᵖ 44	1.156	41.9	0.276
1913 Januar 10	9ª 30	0.414	14.8	0.280					

Mittelwert 0.0277.

wie die zwischen Å. 74 und S. I. 10. Sie ergaben einen mittleren Skalenwert 0.0276. Der niedrigste Wert betrug 0.0267 und der höchste 0.0282, das ist eine Schwankung von 5 % zwischen Höchstwert und Niedrigstwert. Die prozentuellen Abweichungen vom Mittelwert überschreiten um etwas — 3 % und + 2 %. Diese extremen Werte sind ohne Zweifel auf die nicht strenge Vergleichsmethode zurückzuführen. Die reellen Abweichungen gehen wohl nicht über die Grenzen von ∓ 2 % hinaus. Für die Vergleichungen von Å. 74 und M. 15 wählte ich folgendes Vergleichsschema. Å. 74 rechts wurde 1 Minute vor und Å. 74 links wurde 1 Minute nach einer Einzelablesung am M. 15 abgelesen. Störungszacken der Strahlungskurve können bei dieser Art der Vergleichung erhebliche Fehler bei Bestimmung des Skalenwertes bedingen. Nach Tabelle VII erhält man aus den 55 Vergleichsmessungen als mittleren Skalenwert 0.0277, der nur wenig von dem auf der Schneekoppe gefundenen abweicht. Der niedrigste Wert war 0.0262, der höchste 0.0284. Die Fehlerschwankung beträgt hier 8 %; — 5.4 % und + 2.5 % Abweichung vom Mittelwert. Schon die unsymmetrische Verteilungskurve der Skalenwerte deutet darauf hin, daß besonders die negativen Extremwerte wohl nur durch die Mängel der Vergleichsmethode verursacht sind, denn 85 % aller Skalenwerte schwanken nur in den Grenzen von 3.2 % — 1.6 und + 1.6 vom Mittelwert 0.0277; die Verteilungskurve der Skalenwerte $\frac{\text{Å. 74}}{\text{M. 15}}$ ist:

	262	263	264	265	266	277	268	269	270	271	272	273	274	275	276	277	278	279	280	281	282	283	284
Zahl der Fälle	1	0	0	0	0	1	2	1	0	1	0	4	4	6	5	5	4	7	4	4	4	1	1
	2 %	0	0	0	0	2 %	4 %	2 %	0	2 %	0	8 %	8 %	11 %	9 %	9 %	8 %	13 %	8 %	8 %	8 %	2 %	2 %
												85 %											

Die beträchtlich größeren Abweichungen nach der negativen Seite, die auch schon bei Tab. VI zu Tage traten, erklären sich dadurch, daß die Störungen einer ruhigen Strahlungskurve überwiegend einseitig in Form von Depressionszacken erfolgen. Schaltet man diese durch die Form der Verteilungskurve erkennbar gestörten Vergleiche aus, so kann man folgern, daß das relative Bimetallaktinometer M. 15 seinen Skalenwert in der Zeit vom 19. August 1912 bis zum 1. März 1913 nur um ∓ 2.0 % geändert hat. Diese Skalenwertsschwankungen werden nach den hiesigen Erfahrungen durch Temperaturänderungen hervorgerufen und lassen sich zum Teil durch konstruktive Änderungen (s. S. XVII) noch verringern. Der Temperatureinfluß ist zweierlei Art, ein direkter und ein indirekter Der erste rührt von der Verbiegung der Lamelle her und ist um so größer, je weiter die Lamellentemperatur sich von ihrer Herstellungstemperatur entfernt. Bei Abweichungen von einigen 20° C trat der Faden bei M. 15 aus der Bildebene so weit zurück, daß er unscharf wurde. Besonders bei Messungen im Ballon, zu dem sich das Instrument gut eignet, müssen daher Vorrichtungen vorgesehen sein, die das Mikroskop wieder an den Faden um den Betrag der Krümmungsverkürzung heranbringen. Der direkte Temperatureinfluß verringert den Skalenwert des Instruments mit wachsender Temperaturabweichung von der Herstellungstemperatur der Lamelle. Die Korrektion läßt sich empirisch bestimmen und anbringen. Der indirekte Temperatureinfluß entsteht durch seitliches Herauswandern des Fadens aus dem Gesichtsfeld durch Temperaturschwankungen. Das freie Lamellenende mit dem Faden muß dann durch Stellschrauben, die an dem biegsamen Lamellenträger angreifen, wieder in die Mitte des Gesichtsfeldes gebracht werden. Infolge technischer Unzulänglichkeiten entstehen dabei neben der beabsichtigten Verschiebung der Lamelle in der Strahlungsrichtung, Drehmomente beim Lamellenträger, die die Lamelle aus der senkrechten Schnittebene des eintretenden Strahlenbündels herausbringen. Zur Beseitigung dieses Fehlers und noch einiger anderer Mängel ist der neue Potsdamer Apparat M. 17 bereits durch den Mechaniker Schulze in Potsdam umgebaut worden. Nach Ausprobierung dieser Neuerungen soll über ihre Zweckmäßigkeit später berichtet werden. So viel kann aber schon heute gesagt werden, das Michelsonsche Meßprinzip erweist sich als durchaus brauchbar und liefert bereits ohne die Abänderungen Werte, die auf ∓ 2 % genau sind. Die Handhabung des Instrumentes erfordert keine besondere physikalische Schulung, wie z. B. bei Ångström, so daß jeder Laienbeobachter ohne Schwierigkeiten messen kann. Wegen der Inkonstanz des Skalenwertes ist einstweilen noch eine häufigere Kontrolle erforderlich, aber diese Mängel lassen sich voraussichtlich auf ein erträgliches Maß zurückführen, so daß dann einer allgemeinen Einführung dieses einfachen Apparates in die meteorologischen Beobachtungsnetze wohl nichts mehr im Wege steht.

Die Ergebnisse der neueren instrumentellen Arbeiten sollen nun, so weit sie für eine Revision der Innsbrucker Beschlüsse von Bedeutung sind, in folgende Leitsätze zusammengefaßt werden.

Die durch Abbot und seine Mitarbeiter geschaffene pyrheliometrische Skala („Smithsonian Revised Pyrheliometry of 1913") ist die einzige Skala, die experimentell nachprüfbare, bis auf $^1/_2$ % genaue absolute Werte verbürgt.

Die Ångströmschen[1]) Kompensationspyrheliometer, deren Angaben bis vor kurzem als absolut angesehen wurden, geben um rund 3—5 % zu niedrige Werte. Wenn dies Instrument in der Meteorologie als Standardinstrument beibehalten werden soll, müßte dafür Sorge getragen werden, daß es an die oben erwähnte verläßlichere Skala angeschlossen wird.

Als sekundäre Standardinstrumente (Apparate mit konstantem Reduktionsfaktor) sind sowohl das Abbotsche „Silver disk pyrheliometer" als auch Ångströms Kompensationspyrheliometer brauchbar. Nach den hiesigen Erfahrungen ist letzteres bei Benutzung einer zweckmäßigen Nebenapparatur ersterem an Meßgenauigkeit überlegen. Die Konstanz des Reduktionsfaktors wird der des Abbotschen Instruments nicht nachstehen, falls man eine ähnliche stabile Schwärzung (vielleicht Platinschwarz unter Verzicht auf Ruß) einführt. Selbst bei der bisherigen Verwendung von Ruß kann von einer nennenswerten Alterung auch nach jahrelangem Gebrauch keine Rede sein. Das Arbeiten mit dem Ångström ist dem mit dem „Silver disk pyrheliometer" vorzuziehen, weil die Messungen sich in viel kürzerer Zeit erzielen lassen. Ferner spricht zu Gunsten von Ångström, daß seine Angaben Augenblickswerte, die mit dem Abbotschen Instrument erzielten Werte dagegen Summenangaben für zwei Minuten sind. Meteorologische Einflüsse (Wind usw.) sind freilich störender beim Ångström als beim „Silver disk pyrheliometer".

Als relatives Instrument leistet das Michelsonsche Bimetallaktinometer unter ständiger Kontrolle eines sekundären Standards ganz ausgezeichnete Dienste. Es eignet sich besonders gut zum Verfolgen kleiner Schwankungen (Störungserscheinungen), weil es sich rasch einstellt und ersetzt daher am besten das bisher noch fehlende Registrierinstrument. Außerdem zeichnet es sich durch große Handlichkeit und Einfachheit der Meßmethode aus. Die Genauigkeit beträgt jetzt schon ∓ 2 % und läßt sich sicherlich noch durch konstruktive Verbesserungen erhöhen.

C. Die Messungen und ihre Verarbeitung.

In Ausführung der Beschlüsse der internationalen Direktorenkonferenz in Innsbruck 1905 nahm das hiesige Observatorium im März 1907 Strahlungsmessungen mit Ångströms Kompensationspyrheliometer in sein Arbeitsprogramm auf. Die ersten Messungen dieser Art sind bereits 1909[2]) veröffentlicht. Die damals publizierten Beobachtungen wurden mit Å. 74 gewonnen und müssen zur Reduktion auf die angenommene absolute „Smithsonian Revised pyrheliometry of 1913"-Skala um 3.4 % erhöht werden; Näheres darüber ist aus dem instrumentellen Teil dieser Arbeit zu ersehen. Die Fortführung der pyrheliometrischen Messungen geschah im wesentlichen in derselben Weise, insofern in den Dienststunden von 9^a bis 2^p bei geeignetem Wetter möglichst häufig beobachtet wurde. Diese Tageszeit ist jedoch besonders im Sommer und Herbst aus noch zu erörternden Gründen zur Ausführung solcher Messungen nicht sonderlich günstig. Ich habe daher an Tagen mit gutem „Strahlungswetter" die Beobachtungen auch auf die frühen Morgen- und späten Nachmittagsstunden ausgedehnt. Da meine Wohnung vom Observatorium aber weit abliegt, konnten außerhalb der Dienststunden die Messungen nicht so häufig ausgeführt werden, wie es wohl im Interesse der Sache gelegen hätte. Die im Anhang veröffentlichten Messungen sind sämtlich auf die neueste absolute Smithsonianskala 1913 reduziert worden. Über die Genauigkeit der Werte gibt der instrumentelle Teil dieser Arbeit näheren Aufschluß. Die in extenso publizierten Werte von Ångströms Kompensationspyrheliometer halten sich in der Genauigkeitsgrenze von 1 %, die übrigen von Michelsons Bimetellaktinometer dürften 2 % im allgemeinen auch nicht überschreiten. Das Beobachtungsmaterial ist in sich sehr homogen, weil etwa 95 % aller Messungen vom Verfasser gemacht sind. An dem Rest sind eine Reihe von Herren beteiligt, die ich im dienstlichen Auftrag in pyrheliometrische Messungen einzuführen hatte. Die hier verarbeiteten Messungen umfassen die Jahre 1909 bis 1912 und verteilen sich zeitlich, wie folgt:

---

[1]) Die zu geringen Angaben der Kompensationspyrheliometer werden nach meinem Dafürhalten durch die verschiedene Erwärmung der Manganinstreifen bedingt. Bei der Erwärmung von außen durch die Sonne ist die Temperaturverteilung im Streifen eine andere, gleichmäßigere, als bei der gleichen Energiezufuhr von innen durch den elektrischen Strom. Letztere hängt von der Widerstandsverteilung im Streifen ab. Macht man die plausible Annahme, daß an der Stelle, wo die Thermoelemente befestigt sind, der Widerstand (vielleicht durch Druck) erhöht ist, so wird die Temperaturgleichheit beider Streifen schon bei einem zu geringen Kompensationsstrom angezeigt; die Angaben fallen dann zu gering aus.

[2]) W. Marten, Messungen der Sonnenstrahlung auf dem Meteorologischen Observatorium bei Potsdam. Ergebnisse der meteorol. Beob. in Potsdam im Jahre 1908. Berlin 1909.

	Januar	Februar	März	April	Mai	Juni	Juli	August	September	Oktober	November	Dezember	Jahr
1909	3	5	4	8	4	2	1	2	2	8	3	4	46
1910	2	0	5	7	5	7	0	0	7	5	3	4	45
1911	1	3	5	4	11	3	9	9	3	7	4	2	61
1912	5	4	2	10	7	9	14	2	9	8	4	8	82
Summe . . .	11	12	16	29	27	21	24	13	21	28	14	18	234

Diese Verteilung ist in erster Linie durch das Wetter bedingt, zum Teil aber auch durch äußere Verhältnisse. Die Lücken im Sommer 1909 und 1910 sind durch meinen Sommerurlaub entstanden. Nach meiner Schätzung sind bei den hiesigen Witterungsverhältnissen Strahlungsmessungen an etwa 100 Tagen im Jahr möglich, unter diesen befinden sich ungefähr 25 bis 35 Tage, zumeist im Frühjahr, die einen ganz normalen Gang der Intensitätskurve erwarten lassen. Die Station liegt bereits in der Nähe der Hauptdepressionsstraßen und hat daher mit Witterungsverhältnissen zu rechnen, die für Strahlungsmessungen wenig günstig sind. Dagegen ist die Lage im Hinblick auf die Umgebung als gut zu bezeichnen. Der Beobachtungsort liegt etwa $1^1/_2$ km südlich von der Stadt Potsdam auf einem bewaldeten Höhenzug, dem sogenannten Telegraphenberge. Die nähere Umgebung ist ziemlich frei von menschlichen Ansiedlungen, so daß Staub- und Rauchstörungen verhältnismäßig selten sind. Die geographischen Koordinaten sind $52^0\,23'$ n. Br. und $13^0\,4'$ östl. Länge von Greenwich. Im Gegensatz zu den früheren Messungen wurde von Herbst 1909 an im Beobachtungsraum des großen Turmes des Observatoriums gemessen. Der Meßort liegt etwa 106 m über dem Meeresspiegel und rund 25 m über dem Erdboden. Die Apparatur stand auf einem kleinen Tisch im Beobachtungsraum und war Windeinflüssen in der Regel entzogen. Die im Anhang mitgeteilten Tabellen enthalten in Spalte 1 das Datum, Spalte 2 die wahre Ortszeit, Spalte 3 die Sonnenhöhe, Spalte 4 die nach Bemporad[1]) berechneten Luftmassen, Spalte 5 die Intensitätswerte in gr. cal. cm^2 pro Minute. Bei den Ångströmwerten ist bei einer Einzelablesung, die nur ganz selten, bei Störungen gemacht werden, eine Korrektion wegen Ungleichheit der Streifen angebracht worden. Bei zwei Ablesungen ist Streifen rechts und links gemittelt und bei drei Ablesungen nach der Formel $r_1 + 2l + r_2$ gerechnet und das Resultat der Zeitmitte zugeschrieben. Am Schluß der Tabellen befindet sich eine Übersicht über die meteorologischen Verhältnisse jedes einzelnen Messungstages. Sie enthält den mittleren Luftdruck (↑ bedeutet Steigen, ↓ Fallen und → neutral), mittleren Dampfdruck, mittlere Windrichtung und mittlere Windgeschwindigkeit in mps für die Dauer der Messung; ferner Wetterlage, Notizen über Bewölkung und Bemerkungen anderer Art. Trotz der ziemlich großen Anzahl der Einzelmessungen ist dieses Rohmaterial gerade noch ausreichend, um in erster Annäherung die normalen Strahlungsverhältnisse für Potsdam im absoluten Maß mit genügender Genauigkeit festzulegen. Solche Angaben in exakter Weise für möglichst viele über die Erde verteilte Stationen auch von verschiedener Höhenlage zu erhalten, erscheint mir vom meteorologischen Standpunkt aus zurzeit noch als eine der wichtigsten Aufgaben auf dem Gebiete der Strahlungsforschung, jedenfalls erstrebenswerter als die mit den heutigen Mitteln noch unzulängliche Extrapolation der Solarkonstanten. Bei dem modernen, gut durchgearbeiteten Instrumentarium ist eine brauchbare Lösung dieser meteorologisch bedeutungsvollen Aufgabe durchaus erreichbar. Um vergleichende Studien dieser Art zu ermöglichen, wäre aber eine baldige internationale Verständigung über eine zweckmäßige Form solcher Veröffentlichungen erwünscht. Durch die Ableitung solcher normaler Daten wird zugleich auch eine geeignete Grundlage für das Studium von bedeutsamen Störungserscheinungen geschaffen ähnlicher Art, wie wir sie jüngst in der Trübung 1912 erlebt haben. Derartige Trübungserscheinungen sind vermutlich häufiger als man bisher annahm, nur erreichen sie nicht immer den enorm hohen Betrag wie im Vorjahr und in den Jahren 1884 und 1902. Zur Ableitung der normalen täglichen Gänge der Sonnenstrahlung sind nur Tageskurven oder Bruchstücke von solchen benutzt worden, die zweifellos einen ungestörten Gang aufwiesen. Um alle gestörten Werte sicher ausmerzen zu können, wurden die Einzelmessungen eines jeden Tages als Funktion der Sonnenhöhe aufgetragen. Aus dem Gesamtbild ersah man auf den ersten Blick, welche Werte sich dem charakteristischen Verlauf der Kurve nicht einfügten und als gestört zu gelten hatten. Bei dieser Sichtung erwiesen sich von insgesamt 186 Messungstagen (48 in der Trübungszeit von Ende Juni bis Dezember 1912 fielen für diesen Zweck aus) nur 131 ganz oder teilweise brauchbar, die 190 Halbtagskurven in folgender Verteilung über das Jahr lieferten.

Januar	Februar	März	April	Mai	Juni	Juli	August	September	Oktober	November	Dezember	Jahr
11	13	22	35	29	14	9	6	14	15	7	15	190

[1]) Bemporad, Atti d. R. Accad. dei Lincei. Rom 1905.

Die Verteilung ist etwas ungleichmäßig, besonders die geringe Anzahl der brauchbaren Halbtage im Juli, August und November ist auffällig. Sie erklärt sich zum Teil aus der Nichtverwendung der Messungstage während der Trübung, für die beiden Sommermonate aber auch aus der ungünstigen Messungszeit von 9^a bis 2^p. Während dieser Zeit ist die Strahlungskurve selbst an wolkenlosen Tagen stark zackig und herabgedrückt und nicht als normal anzusehen. (Typische Abbildungen dieser mittäglichen Strahlungsdepression siehe im Lehrbuch von Hann, 2. Aufl. S. 31.) Nur an Tagen mit anrückender Zyklone bei südlicher bis südwestlicher Luftströmung von größerer Geschwindigkeit sind solche Störungen gar nicht oder nur schwach vorhanden. Das gibt einen Fingerzeig für die richtige Deutung dieser Erscheinung, die auch schon von verschiedenen Seiten ausgesprochen ist. Solche Störungen sind nämlich immer dann stark ausgeprägt, wenn die Tendenz zu einem lebhaften vertikalen Luftaustausch besteht, die typische Wolkenform für derartige Tage ist daher auch der Cu. Die physikalische Ursache der Depressionszacken ist nichts anderes als eine Absorptionswirkung des Wasserdampfs, der sich im aufsteigenden Luftstrom dem Kondensationsstadium nähert. Die Störung wird also nicht durch den absoluten Wasserdampfgehalt an sich, sondern wesentlich durch den Sättigungszustand (hohe relative Feuchtigkeit) hervorgerufen. Diese Wasserdunstwolken, wie ich sie nennen will, sind an den meisten Sommertagen mit dem Auge mehr oder weniger deutlich erkennbar. Auch bei Rückseitenwetter sind sie nicht selten vorhanden und als die letzten unsichtbaren Reste einer zergehenden Cumuluswolke anzusprechen. Bei Ableitung der Normalwerte habe ich alle diese gestörten Kurvenstücke verworfen, wenn ich sie nicht mit Sicherheit eliminieren konnte. Den brauchbaren Kurven $I = f(h)$ (I = Intensität; h = Sonnenhöhe) entnahm ich dann bis zu 15^0 Sonnenhöhe von 3 zu 3^0 und weiterhin von 5 zu 5^0 die Intensitätswerte. Vorhandene Lücken wurden durch Anbringung der mittleren $\frac{dI}{dh}$ aus vollständigen Kurven an die nächsten Werte monatsweise inter- und extrapoliert. Dies Verfahren erwies sich als notwendig, weil der absolute Wert der Strahlung an den einzelnen Tagen in ziemlich weiten Grenzen schwankt und ohne Ausfüllung der Lücken besonders in den Monaten mit wenigen Tagen erhebliche Fälschungen des täglichen Ganges entstanden wären. Das hier benutzte Verfahren kann man ohne Bedenken anwenden, ohne Fehler von Bedeutung befürchten zu müssen, denn die Änderung der Strahlungsintensität mit der Höhe unterliegt für gleiche, nicht allzu große Höhenintervalle nur geringen Schwankungen. Das endgültige Ergebnis ist in Tabelle I enthalten.

Tab. I. Mittlere Sonnenstrahlungsintensität I in Abhängigkeit von der Sonnenhöhe h. $I = f(h)$.

(Grammkalorien pro cm² und Minute.)

Monat	Anzahl der Halbtage	3°	6°	9°	12°	15°	20°	25°	30°	35°	40°	45°	50°	55°	60°
Januar . . .	11	0.382	0.601	0.751	0.885	1.016									
Februar . .	13	0.361	0.622	0.804	0.922	1.007	1.129	1.230							
März	22	0.256	0.458	0.619	0.747	0.843	0.967	1.049	1.114	1.182	1.253				
April	35	0.196	0.457	0.645	0.786	0.880	1.019	1.118	1.183	1.243	1.293	1.342	1.365		
Mai	29	0.129	0.326	0.526	0.650	0.751	0.884	0.986	1.065	1.133	1.192	1.245	1.285	1.312	
Juni	14	0.188	0.374	0.554	0.678	0.784	0.912	1.008	1.088	1.147	1.201	1.243	1.273	1.303	1.322
Juli	9	0.267	0.492	0.659	0.770	0.851	0.952	1.033	1.086	1.135	1.185	1.216	1.251	1.261	
August . .	6	0.130	0.333	0.483	0.616	0.714	0.842	0.964	1.067	1.142	1.192	1.228	1.252	1.278	
September	14	0.114	0.301	0.481	0.623	0.735	0.865	0.968	1.044	1.107	1.167				
Oktober . .	15	0.260	0.475	0.659	0.803	0.903	1.036	1.142	1.224						
November	7	0.370	0.591	0.775	0.922	1.037	1.159								
Dezember	15	0.210	0.438	0.621	0.772	0.892									

Die Ergebnisse der Tabelle I sind in der Literatur häufiger auch in anderer Form mitgeteilt. Um die Vergleichbarkeit dieser Hauptergebnisse mit denen an anderen Stationen wesentlich zu erleichtern, habe ich deshalb die normalen Intensitätswerte von Potsdam noch in Abhängigkeit von der durchsetzten Luftmasse (Tab. II) und von Stunde zu Stunde wahrer Ortszeit (Tab. III) angeordnet. Bei Ableitung der Tabelle II verfuhr ich in enger Anlehnung an die von Kimball[1]) beschriebene Methode.

Nach Tabelle I beträgt die mittlere Strahlungszunahme mit der Sonnenhöhe von

3-6°	6-9°	9-12°	12-15°	15-20°	20-25°	25-30°	30-35°	35-40°	40-45°	45-50°	50-55°	55-60°	
0.217	0.176	0.133	0.103	0.126	0.099	0.076	0.063	0.056	0.042	0.030	0.023	0.019	gr. cal. p. M.

[1]) Herbert H. Kimball, Solar radiation, atmospheric absorption and sky polarisation at Washington, D. C. Bull. of the Mount Weather Obs. Bd. 3, Teil 2, S. 91, 1910.

Tab. II. Mittlere Sonnenstrahlungsintensität I in Abhängigkeit von der Luftmasse m. $I = f(m)$.

(Grammkalorien pro cm² und Minute.)

Monat	1.0	1.5	2.0	2.5	3.0	3.5	4.0	4.5	5.0	5.5	6.0	6.5	7.0	7.5
Januar . . .							0.980	0.918	0.863	0.811	0.767	0.726	0.689	0.653
Februar . . .				1.218	1.144	1.079	1.017	0.963	0.915	0.870	0.827	0.787	0.749	0.714
März			1.117	1.027	0.950	0.880	0.817	0.762	0.712	0.667	0.626	0.589	0.556	0.525
April		1.303	1.191	1.091	1.001	0.928	0.861	0.800	0.742	0.693	0.647	0.605	0.568	0.533
Mai	1.419	1.205	1.061	0.954	0.863	0.787	0.724	0.668	0.616	0.571	0.532	0.499	0.472	0.444
Juni	1.362	1.208	1.081	0.977	0.892	0.819	0.755	0.695	0.641	0.595	0.553	0.514	0.480	0.448
Juli	1.294	1.193	1.104	1.024	0.952	0.887	0.829	0.776	0.728	0.683	0.643	0.610	0.577	0.547
August . . .		1.209	1.056	0.924	0.842	0.759	0.690	0.629	0.575	0.530	0.489	0.453	0.423	0.394
September .		1.175	1.041	0.930	0.847	0.769	0.699	0.637	0.542	0.534	0.491	0.452	0.419	0.388
Oktober . . .			1.216	1.108	1.019	0.943	0.876	0.813	0.758	0.709	0.665	0.625	0.587	0.553
November . .					1.112	1.067	1.000	0.938	0.880	0.828	0.781	0.738	0.700	0.666
Dezember . .							0.857	0.791	0.732	0.680	0.633	0.590	0.551	0.515

Monat	8.0	8.5	9.0	9.5	10.0	10.5	11.0	11.5	12.0	12.5	13.0	13.5	14.0	14.5	15.0
Januar . . .	0.621	0.592	0.566	0.544	0.522	0.503	0.485	0.468	0.453	0.440	0.427	0.415	0.405	0.395	0.384
Februar . . .	0.680	0.634	0.605	0.579	0.553	0.529	0.506	0.485	0.465	0.446	0.428	0.410	0.394	0.374	0.365
März.	0.497	0.472	0.447	0.426	0.406	0.386	0.368	0.352	0.337	0.323	0.309	0.296	0.283	0.271	0.259
April	0.502	0.472	0.445	0.420	0.397	0.377	0.358	0.340	0.323	0.308	0.292	0.278	0.265	0.253	0.240
Mai	0.419	0.396	0.375	0.355	0.337	0.320	0.304	0.288	0.275	0.262	0.249	0.238	0.226	0.215	0.204
Juni	0.420	0.395	0.372	0.350	0.330	0.312	0.295	0.279	0.264	0.250	0.237	0.225	0.213	0.201	0.192
Juli	0.521	0.494	0.472	0.450	0.429	0.410	0.392	0.376	0.360	0.346	0.332	0.319	0.307	0.295	0.285
August . . .	0.369	0.346	0.324	0.305	0.286	0.269	0.254	0.241	0.228	0.216	0.204	0.193	0.183	0.174	0.165
September .	0.360	0.334	0.310	0.288	0.268	0.250	0.234	0.219	0.206	0.192	0.180	0.168	0.157	0.148	0.139
Oktober . . .	0.523	0.495	0.469	0.445	0.423	0.402	0.384	0.366	0.349	0.333	0.318	0.303	0.290	0.277	0.264
November . .	0.634	0.605	0.579	0.554	0.531	0.510	0.490	0.471	0.454	0.439	0.423	0.409	0.396	0.384	0.372
Dezember . .	0.481	0.451	0.423	0.398	0.375	0.353	0.332	0.313	0.296	0.280	0.265	0.250	0.236	0.223	0.211

Tab. III. Mittlere Strahlungsintensität I in Abhängigkeit von der Zeit t. $I = f(t)$.

(Grammkalorien pro cm² und Minute.)

Monat	4ª u. 8ᵖ	5ª u. 7ᵖ	6ª u. 6ᵖ	7ª u. 5ᵖ	8ª u. 4ᵖ	9ª u. 3ᵖ	10ª u. 2ᵖ	11ª u. 1ᵖ	Mg.
Januar					0.007	0.628	0.884	1.024	1.061
Februar					0.665	0.980	1.112	1.198	1.223
März				0.545	0.876	1.032	1.121	1.171	1.190
April			0.562	0.951	1.126	1.240	1.305	1.337	1.344
Mai		0.364	0.747	0.961	1.104	1.208	1.278	1.310	1.316
Juni	0.056	0.577	0.872	1.047	1.166	1.243	1.294	1.320	1.330
Juli	0.038	0.629	0.897	1.038	1.141	1.216	1.252	1.261	1.265
August		0.095	0.564	0.855	1.049	1.167	1.224	1.254	1.258
September			0.078	0.592	0.872	1.015	1.106	1.156	1.176
Oktober				0.120	0.735	0.984	1.120	1.187	1.205
November					0.220	0.779	1.017	1.112	1.140
Dezember						0.345	0.666	0.824	0.864

Der jährliche, nicht auf mittlere Entfernung von der Sonne reduzierte Gang der Durchlässigkeit ist nach Tabelle I recht komplizierter Natur; Maxima der Durchlässigkeit sind im Spätwinter und Spätherbst, ein Minimum Ende Sommer und Anfang Herbst vorhanden. Errechnet man aus der Bouguerschen Formel $I_m = I_{0p}{}^m$ die Durchlässigkeitskoeffizienten für die einzelnen Monate, so erhält man folgende Werte:

Januar	Februar	März	April	Mai	Juni	Juli	August	September	Oktober	November	Dezember
0.84	0.85	0.81	0.82	0.79	0.80	0.82	0.78	0.78	0.82	0.84	0.81

Für die Solarkonstante I_0 ist der neueste von Abbot herrührende Wert von 1.925, reduziert auf die entsprechende Entfernung von der Sonne eingesetzt. Als Intensitätswerte I_m habe ich die der Luftmasse $m = 4$ entsprechenden der Tabelle II entnommen, die in allen Monaten wirklich gemessen sind.

Auch nach diesen auf mittlere Entfernung von der Sonne reduzierten Zahlen ist die Durchlässigkeit der Atmosphäre im Spätwinter und Spätherbst am größten, im Spätsommer und Frühherbst

am geringsten. Neben anderen Faktoren wird dieser jährliche Gang wohl in erster Linie von dem Gesamtwasserdampfgehalt der Atmosphäre beeinflußt. Die Verhältnisse in dieser Beziehung sind jedoch noch sehr wenig geklärt. Von weiteren Schlüssen soll daher abgesehen werden, zumal das benutzte Material zur Ableitung des jährlichen Ganges der Durchlässigkeit in allen Einzelheiten wohl noch nicht ausreichend ist.

Nach Tabelle III werden die größten mittleren Intensitätswerte nicht beim höchsten Sonnenstande im Juni, sondern im April gemessen, ein sekundäres Maximum ist im Oktober vorhanden. Der niedrigste Wert fällt in den Dezember. Ein ähnlicher jährlicher Gang zeigt sich auch, wenn man auf die größten gemessenen Einzelwerte in den verschiedenen Monaten zurückgeht.

Januar	Februar	März	April	Mai	Juni	Juli	August	September	Oktober	November	Dezember
1.229	1.290	1.348	1.437	1.429	1.403	1.366	1.333	1.370	1.385	1.185	0.984

Das Hauptmaximum 1.437 liegt im April, ein sekundäres im Oktober, das Hauptminimum im Dezember, ein sekundäres im August. Der Maximalwert im April übertrifft den Minimalwert im Dezember um rund 50 %.

Aus den Ergebnissen der Tabelle I sollen nun nach derselben Methode, die ich schon früher beschrieben habe, die Wärmemengen abgeleitet werden, die der Flächeneinheit des Beobachtungsortes in verschiedener Orientierung zur Strahlungsrichtung in bestimmten Zeitabschnitten zuströmen. Zu diesem Zweck sind für die Monatsmitten die Strahlungsdiagramme für wolkenlosen Himmel entworfen und die Stundenwerte planimetrisch ausgewertet worden. Das Ergebnis enthält Tabelle IV.

Tab. IV. Mittlere Wärmesummen für cm² bei senkrechter Bestrahlung. Wolkenlose Tage.
(Grammkalorien.)

Datum	3-4ª und 8-9ᵖ	4-5ª und 7-8ᵖ	5-6ª und 6-7ᵖ	6-7ª und 5-6ᵖ	7-8ª und 4-5ᵖ	8-9ª und 3-4ᵖ	9-10ª und 2-3ᵖ	10-11ª und 1-2ᵖ	11-12ª und 12-1ᵖ	Tagessumme
16. Januar						48	104	116	125	393
15. Februar					38	101	126	138	146	549
16. März				30	87	115	129	138	142	641
16. April			28	94	125	142	152	159	161	861
16. Mai		13	69	103	124	139	150	156	158	912
16. Juni	1	39	89	116	133	145	152	157	159	991
16. Juli		46	93	116	131	141	148	151	152	978
16. August		2	42	87	114	134	143	149	151	822
16. September . .			1	42	89	114	127	136	140	649
16. Oktober				2	58	105	127	139	144	575
16. November . . .					3	67	110	129	136	445
16. Dezember . . .						15	63	91	102	271

Zur Ermittlung der Vertikalkomponente der Strahlung wurden die Stundenwerte in Tabelle IV mit den entsprechenden Sinus der Sonnenhöhe multipliziert und für dieselben Tage neue Diagramme gezeichnet und ausgewertet. So entstand Tabelle V.

Tab. V. Mittlere Wärmesummen für cm². Vertikalkomponente der Strahlung. Wolkenlose Tage.
(Grammkalorien.)

Datum	4-5ª und 7-8ᵖ	5-6ª und 6-7ᵖ	6-7ª und 5-6ᵖ	7-8ª und 4-5ᵖ	8-9ª und 3-4ᵖ	9-10ª und 2-3ᵖ	10-11ª und 1-2ᵖ	11-12ª und 12-1ᵖ	Tagessumme
16. Januar					3	15	28	35	81
15. Februar				3	18	37	51	60	169
16. März			3	18	39	59	73	81	273
16. April		3	20	46	71	93	110	117	460
16. Mai	2	13	34	59	85	107	123	130	553
16. Juni	4	22	44	69	95	116	130	138	618
16. Juli	4	20	43	66	90	110	123	129	585
16. August		6	24	48	74	95	110	117	474
16. September . .			6	25	47	67	82	90	317
16. Oktober				7	26	46	61	69	209
16. November . . .					7	23	36	44	110
16. Dezember . . .					1	8	19	24	52

Um nun die wirklichen Wärmesummen unter Berücksichtigung der Bewölkung zu erhalten, multiplizierte ich die Stundenwerte der Tabelle V mit den entsprechenden Stundenwerten der Sonnenscheindauer. Diese Rechnung wurde für die Jahre 1909 bis 1912 getrennt nach den Angaben eines photographisch registrierenden Sonnenscheinautographen Jordan und eines Glaskugelapparates Campbell-Stokes durchgeführt.

Da die Sonnenscheindaten von zwei im Meßprinzip völlig verschiedenen Autographen herrühren, gewinnt man aus den Abweichungen der Ergebnisse schon ein rohes Urteil über die Fehler, die bei dieser Berechnungsmethode möglich sind. Auf das zweite Halbjahr 1912 wurde die Rechnung nicht ausgedehnt, weil die Strahlung in dieser Zeit infolge der Trübung 1912 stark anormal war. Die Tagessummen der Tabellen VI und VII weichen weniger von einander ab, als man bei den vielen Mängeln [1]) unserer Sonnenscheinautographen vermuten sollte. Die prozentuelle Abweichung nach Campbell-Stokes von den Daten nach Jordan beträgt:

	1909	1910	1911	1912
Januar	0 %	—15 %	19 %	8 %
Februar	—7	—22	9	2
März	—4	+ 2	10	2
April	+2	— 2	7	4
Mai	+8	— 1	9	9
Juni	+2	0	9	4
Juli	+6	— 3	8	
August	—5	— 4	6	
September	—8	— 3	4	
Oktober	—3	— 2	6	
November	+6	0	15	
Dezember	+8	—10	20	

Die durchweg positiven Abweichungen der Jahre 1911 und 1912 erklären sich durch den Ersatz unseres alten Campbell-Stokes durch einen viel empfindlicheren Glaskugelapparat (englisches Modell Hicks). Die Mehrangaben entstehen hauptsächlich durch eine große Überleistung dieses Instrumentes zur Mittagszeit und entsprechen nicht der Wirklichkeit. Zum täglichen Gang der Tabellen VI und VII ist zu bemerken, daß die größeren Angaben nach Campbell-Stokes gleich nach Sonnenaufgang und kurz vor Sonnenuntergang zutreffender sind als bei Jordan. Campbell-Stokes beginnt die Registrierung, wenn die Strahlung den Betrag von 0.2 gr. cal. erreicht, Jordan erst bei dem Wert von rund 0.3. Da der Sinus der Sonnenhöhe aber um diese Zeit sehr klein ist, so ist der Ausfall bei Berechnung der Vertikalkomponente nur sehr gering. Nach Beginn und vor Aufhören der Registierung ist eine geringe Überleistung bei Jordan vorhanden, weil die Sonne dann ungefähr senkrecht zum Spalt steht und bei stark wechselnder Bewölkung die Spaltbreite in die Registrierung nicht unbeträchtlich eingeht. Mit der Annäherung der Sonne an die Mittagslinie nimmt dieser Fehler schnell ab. Campbell-Stokes bringt besonders bei stark wechselnder Bewölkung um die Mittagszeit erhebliche Überleistungen hervor, die sich durch Vergleich mit Jordan, der um diese Zeit ziemlich richtige Werte ergibt, einigermaßen abschätzen lassen. Im großen ganzen dürften die in Tabelle VI berechneten Monatssummen der Wirklichkeit sehr nahe kommen, da die Überleistung von Jordan nach Beginn und vor Aufhören der Registrierung den Ausfall bei Sonnenaufgang und Sonnenuntergang ungefähr kompensiert. Die Fehler im täglichen Gang sind bei Jordan ebenfalls beträchtlich geringer als bei Campbell-Stokes. Um die Wärmemengen, die Potsdam im Laufe eines Jahres normaler Weise erwarten darf, ableiten zu zu können, sind in Tabelle VIII die zwanzigjährigen Mittel der Sonnenscheindauer aus den Jahren 1893—1912 nach dem photographischen Apparat Jordan berechnet.

Aus der Kombination der Tabellen V und VIII ergab sich die Tabelle IX. Berechnet man die prozentuellen Abweichungen der Tagessummen in Tabelle VI von den normalen Tagessummen in Tabelle IX, die streng mit einander vergleichbar sind, so ergeben sich folgende Zahlenwerte für die Abweichungen, die in Einzeljahren vorkommen.

---

[1]) W. Marten, Ergebnisse zehnjähriger Sonnenscheinregistrierungen in Potsdam nebst Bemerkungen über die dabei benutzten Sonnenscheinautographen Campbell-Stokes und Jordan. Diese Veröffentl. 1904, S. XVI—XXII, 1908. — J. Maurer, Über die Mängel unserer Glaskugel-Sonnenscheinautographen, Met. Zs. 26, S. 461, 1909. — W. Strub, Über Mängel des Campbell-Stokes'schen Sonnenscheinautographen, Met. Zs. 27, S. 175, 1910. — W. Marten, Zur Frage der Sonnenscheinautographen und der Zuverlässigkeit ihrer Angaben. Bericht über die Tätigkeit des Kgl. Preuß. Met. Inst. im Jahre 1911, S. 168—179, 1912.

	Januar	Februar	März	April	Mai	Juni	Juli	August	Sept.	Oktober	Novbr.	Dezember
1909 . . .	+ 5 %	— 9	— 3	+ 2	+14	—14	—29	+ 2	— 1	+21	—36	0 %
1910 . . .	—35	—20	+24	+ 8	+ 3	+ 9	—27	—13	—11	+16	—32	—17
1911 . . .	—20	+ 2	— 7	+ 5	+ 2	— 1	+18	+35	— 1	— 4	—14	—17
1912 . . .	+30	+24	— 2	+22	—20	—25	—	—	—	—	—	—

Die Abweichungen schwanken zwischen +35 % im August 1911 und —36 % im November 1909. Der Überschuß und Ausfall an Energie in den einzelnen Monaten kann also $^2/_5$ des normalen Energiezuflusses durch die direkte Sonnenstrahlung erreichen.

Tab. VI. Wärmesummen für cm². Vertikalkomponente der Strahlung mit Berücksichtigung der Bewölkung. (Grammkalorien.)

Sonnenscheindaten nach Jordan.

Monat	4–5ᵃ	5–6ᵃ	6–7ᵃ	7–8ᵃ	8–9ᵃ	9–10ᵃ	10–11ᵃ	11–12ᵃ	12–1ᵖ	1–2ᵖ	2–3ᵖ	3–4ᵖ	4–5ᵖ	5–6ᵖ	6–7ᵖ	7–8ᵖ	Tagessumme
1909																	
Januar . . .					0.1	1.5	3.8	4.6	4.9	4.2	2.0	0.2					21
Februar . . .				0.0	1.8	4.6	7.1	7.5	7.5	7.6	4.6	1.4	0.1				42
März			0.0	1.5	8.0	13.6	15.3	15.4	14.2	12.4	10.9	8.0	2.3	0.0			102
April		0.0	3.6	9.9	18.8	25.6	27.0	24.6	25.7	24.8	20.9	16.7	9.7	2.6	0.0		210
Mai		1.3	9.0	19.2	27.6	35.8	36.9	33.8	37.7	33.2	31.0	24.2	17.4	8.3	1.7		317
Juni	0.1	4.0	11.0	16.9	22.8	30.1	29.2	24.8	26.9	27.3	28.4	22.3	16.6	10.3	3.5	0.1	274
Juli	0.0	2.0	6.4	14.5	19.4	22.6	22.1	21.3	19.4	22.8	19.8	17.1	12.2	5.4	1.0	0.0	206
August . . .		0.2	3.6	11.8	19.2	23.8	29.2	33.3	31.0	28.6	25.6	19.6	11.8	4.8	0.6		243
September .		0.0	0.6	5.2	10.6	15.4	18.0	18.0	17.6	18.9	14.7	9.2	4.6	0.5	0.0		133
Oktober . . .				0.6	6.2	13.1	17.1	18.3	14.5	14.0	9.2	4.4	0.5				98
November . .					0.3	2.2	3.1	3.5	4.0	3.2	1.5	0.3					18
Dezember . .					0.0	0.6	1.8	2.9	3.6	2.5	0.7	0.0					12
1910																	
Januar . . .					0.1	2.0	3.8	2.6	1.8	1.4	0.9	0.1					13
Februar . . .				0.0	1.9	4.4	7.1	8.4	6.6	4.6	2.8	0.8	0.0				37
März			0.1	3.6	9.8	15.6	17.2	19.0	18.6	17.2	14.8	9.8	3.3	0.1			129
April		0.1	3.9	12.0	20.6	25.6	29.7	28.7	25.7	24.2	20.9	17.8	10.6	3.6	0.0		223
Mai	0.0	2.1	7.5	16.8	24.6	31.6	33.8	32.5	31.8	35.1	25.7	20.0	14.5	7.1	1.8		285
Juni	0.1	5.7	13.2	21.7	30.9	38.3	41.6	40.0	39.3	35.8	34.2	26.6	17.2	8.4	3.3	0.0	356
Juli	0.0	1.6	8.0	11.9	14.8	17.0	19.7	23.2	25.8	23.4	21.4	18.9	14.2	7.5	2.9	0.0	210
August . . .		0.2	2.3	7.9	17.4	23.8	25.8	26.3	24.0	25.3	23.3	17.0	9.6	3.6	0.4		207
September .			0.4	5.2	10.8	16.8	23.0	18.9	18.0	16.0	12.7	8.9	4.1	0.6			135
Oktober . . .			0.0	0.7	4.6	9.7	13.1	15.9	16.6	15.9	11.0	5.7	0.8	0.0			94
November .					0.1	1.5	3.8	5.3	4.2	2.3	1.3	0.2					19
Dezember . .					0.0	0.7	2.3	2.5	2.0	1.8	0.5	0.0					10
1911																	
Januar . . .					0.1	1.2	2.9	3.7	3.5	2.9	1.4	0.0					16
Februar . . .				0.1	2.1	5.7	8.2	8.1	8.4	8.9	4.4	1.4	0.0				47
März			0.0	2.1	7.8	13.0	15.0	13.0	14.2	13.1	10.6	6.8	2.7	0.0			98
April		0.0	3.0	10.8	16.7	21.9	26.4	27.5	29.2	27.0	23.2	16.3	10.4	3.3	0.0		216
Mai		1.2	8.2	17.7	24.6	30.0	35.1	29.9	29.9	31.4	28.4	22.1	15.6	8.3	1.6		284
Juni	0.1	5.5	13.2	21.0	29.0	35.4	38.4	33.8	33.8	33.8	30.2	22.8	14.8	9.7	3.6	0.0	325
Juli	0.1	3.7	12.5	21.4	31.5	38.0	38.1	36.1	29.0	33.2	34.1	29.2	21.4	10.7	3.1	0.0	342
August . . .		0.7	8.3	17.8	27.8	34.7	39.0	39.2	39.2	35.2	30.4	24.4	17.0	7.8	0.6		322
September .			0.7	5.4	11.5	17.1	20.5	20.2	22.5	19.7	14.7	11.5	6.0	0.6			150
Oktober . . .				0.5	5.6	9.9	11.3	12.4	13.1	12.2	8.3	4.6	0.5				78
November .					0.2	2.4	4.5	5.1	4.2	5.0	2.6	0.3					24
Dezember . .					0.0	0.5	1.8	2.4	3.2	2.0	0.5	0.0					10
1912																	
Januar . . .					0.0	1.6	3.8	5.2	6.5	6.0	2.5	0.1					26
Februar . . .				0.0	2.1	5.9	9.2	11.1	10.8	9.7	6.7	1.9	0.0				57
März			0.1	3.0	8.8	15.0	18.2	16.6	11.3	12.0	10.6	5.7	1.4	0.0			103
April		0.3	5.3	13.1	20.6	27.9	34.6	33.9	32.2	28.6	23.7	16.0	10.4	3.8	0.2		251
Mai		1.6	5.8	11.8	19.1	25.7	24.6	25.4	24.7	25.8	21.9	19.1	12.1	5.3	1.6	0.0	224
Juni	0.1	3.0	8.8	13.5	21.4	27.3	28.6	26.2	22.8	24.0	25.5	20.0	14.5	8.4	2.9	0.0	247

In Tabelle X lasse ich nun noch eine Zusammenstellung folgen, die über die Strahlungsverhältnisse Auskunft gibt, wie sie sich im Laufe eines Normaljahres gestalten. Die tägliche Bestrahlung erreicht für die Flächeneinheit normal zur Strahlungsrichtung und bei wolkenlosem Himmel ihr Maximum im Juni mit 991, ihr Minimum im Dezember mit 271 Gramm-Kalorien p. Minute; im Jahr beträgt sie insgesamt rund 246100. Davon entfallen nur 618, 52 und 118900, also 62, 19 und 48 % auf die horizontale Flächeneinheit. Zieht man die mittleren Bewölkungsverhältnisse von Potsdam in Betracht, so vermindert sich die wirklich zugestrahlte Wärmeenergie in den beiden extremen Monaten Juni und Dezember auf 328 und 12, im Jahr auf 54431 Gramm-Kalorien, das sind 53, 23 und 46 % der möglichen horizontalen und 33 und 4.4 und 22 % der überhaupt möglichen Strahlungsenergie bei senkrechtem Einfall.

Tab. VII. Wärmesummen für cm². Vertikalkomponente der Strahlung mit Berücksichtigung der Bewölkung. (Grammkalorien.)

Sonnenscheindaten nach Campbell-Stokes.

Monat	4–5ᵃ	5–6ᵃ	6–7ᵃ	7–8ᵃ	8–9ᵃ	9–10ᵃ	10–11ᵃ	11–12ᵃ	12–1ᵖ	1–2ᵖ	2–3ᵖ	3–4ᵖ	4–5ᵖ	5–6ᵖ	6–7ᵖ	7–8ᵖ	Tagessumme
1909																	
Januar . . .					0.2	1.6	3.9	4.2	4.9	4.0	2.0	0.2					21
Februar . . .				0.1	1.8	3.9	6.9	7.5	7.2	6.1	3.7	1.4	0.1				39
März			0.0	1.4	7.4	12.1	14.6	16.2	15.4	11.7	10.3	6.8	2.4	0.0			98
April		0.2	3.8	9.2	17.0	24.6	28.0	27.5	28.8	24.8	20.9	16.7	9.4	2.9	0.1		214
Mai	0.0	2.6	9.5	18.9	28.5	36.4	40.0	39.0	41.6	37.5	33.7	23.8	17.1	9.4	2.9	0.0	341
Juni	0.4	4.2	11.0	15.5	22.3	29.6	31.6	29.6	31.0	29.2	26.1	20.4	14.5	10.1	4.3	0.4	280
Juli	0.2	2.2	6.9	13.5	18.9	22.6	24.6	27.1	24.5	24.0	19.2	15.8	11.6	5.2	1.2	0.1	218
August . . .		0.2	3.2	10.3	14.8	22.8	27.0	35.7	33.3	28.6	24.2	17.0	9.8	4.0	0.4		231
September .			0.3	3.8	10.1	14.4	16.8	19.4	16.6	16.4	13.1	7.8	3.5	0.4			123
Oktober . . .				0.5	5.7	12.0	15.9	19.0	14.8	13.7	8.7	3.9	0.5				95
November . .					0.4	2.3	3.4	4.0	4.0	3.2	1.5	0.4					19
Dezember . .					0.0	0.7	1.8	2.9	3.8	2.6	1.1	0.0					13
1910																	
Januar . . .					0.1	1.7	3.2	2.6	1.2	1.1	0.8	0.1					11
Februar . . .				0.0	1.0	2.6	5.4	7.8	6.0	3.3	2.0	0.8	0.0				29
März			0.1	3.2	9.6	15.6	16.8	19.8	20.6	18.2	15.0	9.6	3.4	0.2			132
April		0.0	3.6	10.6	18.1	24.2	28.6	31.0	29.2	23.1	20.9	17.8	10.1	3.0	0.0		220
Mai	0.0	2.1	7.0	16.5	23.4	29.4	33.8	33.8	35.1	35.6	25.7	19.6	12.1	6.0	1.8	0.0	282
Juni	0.5	6.0	12.8	21.4	29.9	37.7	41.6	41.4	44.2	37.7	34.2	24.2	15.8	7.0	3.4	0.2	358
Juli	0.0	1.8	6.4	10.2	12.6	14.3	18.4	23.9	29.0	24.6	22.0	18.0	12.9	6.9	3.0	0.2	204
August . . .	0.0	0.2	2.1	6.5	14.4	21.4	26.4	28.7	26.3	24.2	21.8	14.8	8.2	3.4	0.4		199
September .			0.4	4.2	10.1	15.7	23.4	18.9	18.9	14.8	11.7	8.0	4.0	0.6			131
Oktober . . .			0.0	0.8	4.2	9.0	12.5	15.9	16.9	15.9	10.4	5.6	1.0	0.0			92
November . .					0.1	1.3	3.4	5.7	4.8	2.5	1.3	0.1					19
Dezember . .						0.2	1.8	2.4	2.0	1.8	0.6	0.0					9
1911																	
Januar . . .					0.1	1.3	3.2	4.4	4.9	3.2	1.7	0.2					19
Februar . . .				0.2	1.9	5.4	8.2	9.0	9.9	8.9	4.8	2.6	0.0				51
März			0.0	2.0	7.6	13.0	16.0	15.4	16.2	15.4	10.9	7.6	3.4	0.1			108
April		0.0	3.2	10.6	16.0	22.8	29.7	31.6	34.0	29.2	23.2	16.7	10.4	3.9	0.2		232
Mai	0.1	2.8	8.8	17.4	24.6	30.0	36.9	37.0	37.0	35.0	29.4	22.5	16.2	9.2	3.2	0.2	310
Juni	0.8	6.4	13.4	21.0	29.9	38.3	42.2	40.7	40.7	37.0	31.3	22.8	15.2	10.1	4.6	0.5	355
Juli	0.5	5.3	13.1	21.4	32.0	39.0	40.6	40.6	36.1	36.3	34.6	29.2	22.4	12.0	4.3	0.4	368
August . . .	0.0	1.5	8.6	17.5	27.0	34.2	40.7	43.9	43.9	39.6	31.4	25.5	17.3	8.8	1.4	0.0	341
September .		0.0	1.1	5.5	11.3	17.1	21.3	22.0	25.2	20.1	13.7	11.3	6.6	0.8	0.0		156
Oktober . . .			0.0	0.8	5.5	10.4	11.3	15.5	14.1	12.8	8.5	4.9	0.9	0.0			83
November .				0.0	0.3	2.3	4.5	6.2	5.5	5.6	2.9	0.6	0.0				28
Dezember . .				0.0	0.0	0.8	2.0	2.6	3.5	2.2	0.8	0.0					12
1912																	
Januar . . .					0.1	1.9	3.9	5.8	6.5	6.3	3.0	0.3					28
Februar . . .				0.0	2.0	5.8	8.9	11.4	11.1	10.0	6.6	2.2	0.1				58
März			0.1	2.5	8.0	14.4	18.6	18.2	13.0	12.0	10.6	5.8	1.6	0.0			105
April		0.4	5.2	13.4	21.3	27.9	35.8	37.4	35.7	30.2	24.6	15.6	9.9	3.8	0.4		262
Mai	0.0	2.1	6.0	10.9	18.7	25.7	26.4	31.2	29.9	28.3	23.0	19.6	12.4	6.0	2.2	0.2	243
Juni	0.2	3.6	8.6	13.1	20.9	26.7	29.2	29.6	25.6	25.4	25.5	20.0	14.0	8.6	4.4	0.3	256

Tab. VIII. 20jährige Mittel der Sonnenscheindauer in Potsdam. (Nach Jordan 1893—1912.)

Monat	4–5ª	5–6ª	6–7ª	7–8ª	8–9ª	9–10ª	10–11ª	11–12ª	12–1ᵖ	1–2ᵖ	2–3ᵖ	3–4ᵖ	4–5ᵖ	5–6ᵖ	6–7ᵖ	7–8ᵖ	Tages-summe
Januar . . .					0.04	0.20	0.26	0.25	0.27	0.27	0.21	0.05	0.00				1.55
Februar . . .				0.03	0.23	0.26	0.27	0.29	0.29	0.30	0.28	0.21	0.04				2.20
März		0.00	0.05	0.28	0.39	0.43	0.42	0.40	0.38	0.39	0.39	0.36	0.26	0.06			3.81
April		0.04	0.32	0.43	0.49	0.51	0.49	0.44	0.42	0.44	0.45	0.45	0.44	0.32	0.05		5.29
Mai	0.01	0.26	0.45	0.53	0.55	0.55	0.52	0.50	0.48	0.52	0.51	0.50	0.49	0.45	0.26	0.01	6.59
Juni	0.06	0.39	0.50	0.55	0.58	0.58	0.56	0.52	0.51	0.54	0.55	0.53	0.52	0.47	0.36	0.06	7.28
Juli	0.03	0.28	0.44	0.50	0.54	0.55	0.52	0.49	0.47	0.50	0.51	0.52	0.50	0.46	0.30	0.05	6.66
August . . .		0.11	0.40	0.50	0.54	0.57	0.54	0.51	0.48	0.49	0.52	0.51	0.49	0.40	0.13	0.00	6.19
September .		0.00	0.17	0.41	0.48	0.53	0.53	0.48	0.47	0.49	0.47	0.46	0.42	0.17	0.00		5.08
Oktober . . .			0.00	0.14	0.34	0.39	0.41	0.41	0.40	0.41	0.39	0.35	0.15	0.00			3.39
November .				0.00	0.10	0.24	0.27	0.27	0.27	0.29	0.25	0.12	0.00				1.81
Dezember . .					0.01	0.14	0.24	0.25	0.25	0.26	0.16	0.01					1.32

Tab. IX. Mittlere Wärmesummen für cm² der Vertikalkomponente der Strahlung 1909—1912 mit Berücksichtigung der Bewölkung 1893—1912.

(Grammkalorien)

Monat	4–5ª	5–6ª	6–7ª	7–8ª	8–9ª	9–10ª	10–11ª	11–12ª	12–1ᵖ	1–2ᵖ	2–3ᵖ	3–4ᵖ	4–5ᵖ	5–6ᵖ	6–7ᵖ	7–8ᵖ	Tages-summe
Januar . . .					0.1	1.5	3.6	4.4	4.7	3.8	1.6	0.1	0.0				19.8
Februar . . .				0.0	2.1	4.8	6.9	8.7	8.7	7.6	5.2	1.9	0.1				46.0
März		0.0	0.1	2.5	7.6	12.7	15.3	16.2	15.4	14.2	11.5	7.0	2.3	0.1			104.9
April		0.1	3.2	9.9	17.4	23.7	27.0	25.7	24.6	24.2	20.9	16.0	10.1	3.2	0.1		206.1
Mai	0.0	1.7	7.6	15.6	23.4	29.4	32.0	32.5	31.2	32.0	27.3	21.2	14.5	7.6	1.7	0.0	277.7
Juni	0.1	4.3	11.0	19.0	27.6	33.6	36.4	35.9	35.2	35.1	31.9	25.2	17.9	10.3	4.0	0.1	327.6
Juli	0.1	2.8	9.5	16.5	24.3	30.2	32.0	31.6	30.3	30.8	28.0	23.4	16.5	9.9	3.0	0.1	289.0
August . . .		0.3	4.8	12.0	20.0	27.1	29.7	29.8	28.1	27.0	24.7	18.9	11.8	4.8	0.4	0.0	239.4
September .		0.0	0.5	5.1	11.3	17.8	21.7	21.6	21.2	20.1	15.7	10.8	5.2	0.5	0.0		151.5
Oktober . . .			0.0	0.5	4.4	9.0	12.5	14.1	13.8	12.5	9.0	4.6	0.5	0.0			80.9
November .				0.0	0.4	2.8	4.9	5.9	5.9	5.2	2.9	0.4	0.0				28.4
Dezember . .					0.0	0.6	2.3	3.0	3.0	2.5	0.6	0.0					12.0

Tab. X. Jahresübersicht über die normalen Strahlungsverhältnisse in Potsdam.

Nach Strahlungsmessungen der Jahre 1909—1912 und der Sonnenscheindauer 1893—1912.

	Jan.	Febr.	März	April	Mai	Juni	Juli	Aug.	Sept.	Okt.	Nov.	Dez.	Jahr
Monatssumme in Grammkalorien pro cm² senkrechter Bestrahlung (wolkenlose Tage) . . .	12183	15372	19871	25830	28272	29730	30318	25482	19470	17825	13350	8401	246104
Mittlere Tagessumme	393	549	641	861	912	991	978	822	649	575	445	271	
Monatssumme in Grammkalorien pro cm² horiz. Fläche (wolkenlose Tage)	2511	4732	8463	13800	17143	18540	18135	14694	9510	6479	3300	1612	118919
Mittlere Tagessumme	81	169	273	460	553	618	585	474	317	209	110	52	
% der senkrechten Bestrahlung	20.6	30.8	42.6	53.4	60.6	62.4	59.8	57.7	48.8	36.3	24.7	19.2	48.3 %
Wirkliche Monatssumme bei Bewölkung	614	1288	3252	6183	8609	9828	8959	7421	4545	2508	852	372	54431
Mittlere Tagessumme	20	46	105	206	278	328	289	239	152	81	28	12	
% der Bestrahlung für horiz. Fläche	24.4	27.2	38.4	44.8	50.2	53.0	49.4	50.5	47.8	38.7	25.8	23.1	45.8 %
% der senkrechten Bestrahlung	5.0	8.4	16.4	24.0	30.5	33.1	29.5	29.1	23.3	14.1	6.4	4.4	22.1 %

Die wirklich zugestrahlten Wärmesummen für die Jahre 1909, 1910, 1911 und 1912 errechnen sich nach Tabelle VI in Gramm-Kalorien p. Minute für

	Januar	Febr.	März	April	Mai	Juni	Juli	August	Sept.	Oktbr.	Nov.	Dezbr.	Jahr
1909 . . .	656	1176	3162	6300	9827	8220	6386	7533	3990	3038	540	372	51200
1910 . . .	403	1036	3999	6690	8835	10680	6510	6417	4005	2914	570	310	52369
1911 . . .	496	1316	3038	6480	8804	9750	10602	9982	4500	2418	720	310	58416
1912 . . .	806	1653*	3193	7530	6944	9410	—	—	—	—	—	—	—
Normal . .	614	1288	3252	6183	8609	9828	8959	7421	4545	2508	852	372	54431

* Schaltjahr.

Das Jahr 1911 steht als außergewöhnlich sonniges Jahr wohl einzig da. Die in diesem Jahr dem cm² des Erdbodens von der Sonne direkt zugeführte Wärmeenergie dürfte so leicht nicht wieder überboten werden, so daß man wohl 60 Kilogramm-Kalorien als obere Grenze der möglichen direkten Einstrahlung in Potsdam im Jahr ansehen kann.

Leider liegen für andere Stationen noch keine Zahlen vor, die mit den Potsdamer Ergebnissen sich in aller Strenge vergleichen lassen. Für einen angenäherten Vergleich entnehme ich folgende Zahlen einer Arbeit von J. Westman[1]), die ich durch die Angaben für Potsdam und Davos erweitert habe.

Die Jahressummen der Strahlung in verschiedenen Breiten.

Beobachtungsort	Geogr. Breite	Periode der Sonnenscheindauer	Periode der Strahlungsmessungen	Wirklich zugestrahlte Wärmesummen für cm² Horizontalfläche im Jahr Kilogramm-Kalorien
Treurenberg . .	79.9	1899—1900	1899—1900	16.8
Stockholm . . .	59.3	1905—1910	1901	51.9
Stockholm . . .	59.3	1910	1901	50.8
Häfringe . . .	58.4	1910	—	54.2
Potsdam . . .	52.4	1893—1912	1909—1912	54.4
Wien	48.2	1881—1906	1904—1906	52.3
Davos	46.8	1899—1908	Mai 1909—Okt. 1910	78.1
Washington . .	38.9	—	1905—1910	83.2

Bei allen Stationen der Tabelle ist mit Ångströms Kompensationspyrheliometern gemessen.

Bei dem Vergleich ist zu berücksichtigen, daß nur die Potsdamer Strahlungswerte auf wirklich absolutes Maß reduziert sind. Alle anderen Werte sind um 3—5 % zu erhöhen, weil der Ångström um diesen Betrag zu niedrige Werte gibt. Die Werte von Washington sind noch nicht definitiv und um wenige Prozente (2—3 ?) zu hoch.

Die weitverbreitete Trübung der Atmosphäre im Jahre 1912 hat auch die Potsdamer Strahlungswerte stark beeinflußt. Die Strahlungsdepression ist zum ersten Male scharf erkennbar in den Messungen des 27. Juni 1912 und hat mit wechselnder, allmählich abnehmender Intensität bis zum Schluß des Jahres 1912 fortgedauert. Um für die Stärke der Störung zahlenmäßige Unterlagen zu geben, sind die Messungen während der Trübungsperiode als Funktion der Sonnenhöhe in Tabelle XI zusammengestellt. Der Vergleich dieser Tabelle mit den normalen Werten der Tabelle I läßt die Wirkung der Trübung abschätzen. Die in Klammern beigefügten Zahlen beziehen sich auf die Anzahl der Tage, an denen in dem betreffenden Höhenintervall gemessen worden ist. Die Werte im Juli von 3° bis 35° sind als Trübungswerte anormal hoch, weil sie in der kurzen Aufhellungsperiode vom 5. zum 6. Juli gewonnen sind. Da das Strahlungsniveau an den einzelnen Messungstagen stark geschwankt hat, ist der normale tägliche Gang infolge Verwendung verschiedener Messungstage bei der Mittelbildung stark gefälscht. Ein gutes Bild von der Abnahme der Strahlung in den einzelnen Monaten bekommt man aus der Berechnung der Transmissionskoeffizienten nach der Bouguerschen Formel $I_m = I_0 p^m$.

Tab. XI. Mittlere Sonnenstrahlungsintensität I in Abhängigkeit von der Sonnenhöhe h während der Trübung 1912. $I = f(h)$.

(Tausendstel Grammkalorien pro cm² und Minute.)

Monat	3°	6°	9°	12°	15°	20°	25°	30°	35°	40°	45°	50°	55°	60°
Juni . . .											772 (2)	826 (3)	859 (3)	877 (3)
Juli	98 (1)	210 (1)	341 (1)	415 (1)	523 (1)	628 (1)	728 (1)	808 (1)	808 (1)	785 (1)	707 (9)	782 (10)	851 (12)	858 (8)
August . .									862 (1)	731 (2)	799 (2)			
Sept. . . .					561 (1)	563 (3)	639 (4)	661 (5)	722 (8)	705 (5)	876 (2)			
Oktober .	141 (1)	187 (1)		273 (1)	340 (1)	532 (4)	765 (6)	836 (6)	849 (1)	914 (1)				
November			280 (1)	432 (2)	664 (4)	708 (2)	879 (1)							
Dezember		281 (3)	385 (6)	533 (7)	605 (3)									

[1]) J. Westman, Sonnenscheindauer und Insolation in Stockholm und auf Häfringe. Kungl. Svenska Vetenskapsakad. Handlingar, Bd. 47, Nr. 8, 1911.

Zur Einsetzung von I_0 habe ich wieder den Wert von Abbot für die Solarkonstante 1.925 benutzt. I_m wurde monatsweise aus dem Höhenintervall entnommen, das sich auf die meisten Messungstage stützen konnte, für Juni und Juli 55°, August 40°, September 35°, Oktober 25°, November 15°, Dezember 12°.

Die normalen Transmissionskoeffizienten, berechnet nach Tabelle I für die Luftmasse 4, und die für die Trübungsperiode gültigen setze ich zum Vergleich untereinander.

	Juni	Juli	August	September	Oktober	November	Dezember
Normal	0.80	0.82	0.78	0.78	0.82	0.84	0.81
Trübung	0.53	0.52	0.53	0.60	0.67	0.75	0.75
Abweichung in % . . .	—34	—37	—32	—23	—18	—11	—7

Die Strahlungsdepression hat im Juli den größten Betrag erreicht, hat sich im August noch auf ungefähr gleicher Höhe gehalten und ist dann im September stärker bis zum Ende des Jahres hin abgeklungen. Bei Jahresschluß war der normale Strahlungswert noch nicht wieder ganz erreicht, die Abnahme betrug noch etwa 7%. Leider liegt bisher noch sehr wenig Material über die Strahlungsdepression von 1912 vor. Die einzigen von Kimball[1]) herrührenden Messungen vom Mount Weather bei Washington setze ich zum Vergleich hierher. Die Trübung begann auf dem Mount Weather am 10. Juni 1912.

Maximale Strahlungsintensitäten bei der Luftmasse 2.

	Mai	Juni (1-9)	Juni (10-30)	Juli	August	Septbr.	Oktober	Novbr.	Dezbr.
1911	1.06	1.12	1.27	1.31	1.23	1.29	1.39	1.39	—
1912	1.19	1.24	1.05	0.96	0.86	1.05	1.24	1.24	1.33
Abweichung von 1911 in %	+12	+11	—17	—26	—30	—19	—11	—11	—

Die Abnahme ist am größten im August, die Größenordnung der Zahlen und auch der Verlauf mit der Zeit stimmen im großen und ganzen überein.

Auf eine Untersuchung der Verwertung von Strahlungsbeobachtungen zu prognostischen Zwecken habe ich zunächst verzichtet; die Beziehungen zwischen der Durchlässigkeit der Atmosphäre und der Wetterlage sollen den Gegenstand einer späteren Bearbeitung bilden, sobald hinreichendes Material vorliegt.

Zum Schluß sei noch auf einzelne Messungstage besonders hingewiesen, an denen typische Störungserscheinungen der normalen Strahlungskurve ihrer Größenordnung nach bestimmt wurden. Am 12. April 1910 war die Sonne bis 9^{44}a wolkenfrei, dann zog eine ci-str-Fläche von großer Ausdehnung und verschiedener Dicke vor der Sonne vorbei, die einen Sonnenring erzeugte. Einer der dichtesten Wülste verursachte eine Strahlungsabnahme von rund 1.25 auf 0.38 Gramm-Kalorien; von 10^{53}a bis 11^{33}a war die Sonne wieder wolkenfrei, dann zog ein scharf begrenzter ci-Wulst vor der Sonne vorbei, der bei seiner Annäherung ein beträchtliches Anwachsen der Strahlung über normal durch Reflexion erzeugte. Am 13. April 11^{21}a: Effekt einer plötzlich entstehenden und schnell wieder vergehenden hellweißen Föhnwolke (Abschmelzwolke). 26. Mai 1910: Starke Mittagsdepression, verursacht durch Wasserdunstwolken in Verbindung mit einer schmutzigen Rauchwolke, die wahrscheinlich von dem 30 km entfernten Berlin herrührte. 27. Mai 1910: Bis 10^{45}a Sonne frei, dann Störung zunächst durch feinen, später mäßig dichten ci-str-Schleier mit Sonnenring. 21. Juni 1910: Sonne wolkenfrei bis 11^{40}a, dann Störung durch immer dichter werdenden ci-str-Schleier. Am 17. April 1912: Ringförmige Sonnenfinsternis. Messungen bei wolkenlosem Himmel bis zur größten Phase, dann ci-Störung (siehe Bearbeitung von Süring[2]).

---

[1]) Herbert H. Kimball, The effect of the atmospheric turbidity of 1912 on solar radiation intensities and skylight polarisation. Bull. of the Mount Weather Observatory Bd. 5, S. 295—312. 1913.

[2]) R. Süring, Messungen von Sonnenstrahlung und Temperaturunruhe zu Potsdam gelegentlich der Sonnenfinsternis am 17. April 1912. Met. Zs. 29, S. 440—442, 1912.

Einzelmessungen

der Sonnenstrahlung in Potsdam von September 1909 bis Dezember 1912.

1. Mit Ångströms Kompensationspyrheliometer.

Datum	Wahre Ortszeit der Beobachtung	Scheinbare Sonnenhöhe	Durchsetzte Luftmasse	Strahlungswert in Grammkalorien pro Minute
1909		°		
22. Sept.	9ᵃ 46	31.0	1.91	1.004
	10ᵃ 1	32.5	1.83	1.036
	10ᵃ 17	33.8	1.77	1.048
	10ᵃ 35	35.2	1.71	1.060
	10ᵃ 55	36.4	1.66	1.062
	0ᵖ 21	37.9	1.61	1.057
	3ᵖ 33	21.7	2.66	0.950
	3ᵖ 53	19.0	3.01	0.902
	4ᵖ 15	16.0	3.54	0.756
	4ᵖ 26	14.4	3.92	0.728
	4ᵖ 35	13.1	4.29	0.722
	4ᵖ 44	11.8	4.73	0.687
	5ᵖ 0	9.4	5.86	0.624
	5ᵖ 8	8.2	6.65	0.554
	5ᵖ 18	6.7	7.97	0.463
	5ᵖ 37	3.9	12.51	0.263
	5ᵖ 46	2.4	17.49	0.142
24. Sept.	9ᵃ 43	30.0	1.97	0.815
	9ᵃ 52	30.9	1.92	0.838
	9ᵃ 59	31.5	1.89	0.847
	10ᵃ 25	33.7	1.78	0.861
	10ᵃ 37	34.5	1.74	0.886
	10ᵃ 52	35.4	1.70	0.912
	11ᵃ 5	36.1	1.67	0.921
	11ᵃ 34	37.0	1.64	0.941
	11ᵃ 51	37.3	1.63	0.958
	0ᵖ 7	37.3	1.63	0.958
	0ᵖ 23	37.1	1.63	0.967
	0ᵖ 45	36.5	1.66	0.974
	0ᵖ 59	35.9	1.68	0.969
	1ᵖ 17	34.9	1.72	0.938
	1ᵖ 52	32.4	1.84	0.889
2. Okt.	0ᵖ 47	33.3	1.80	0.902
	0ᵖ 58	32.9	1.81	0.895
7. Okt.	9ᵃ 52	26.2	2.23	0.933
	10ᵃ 6	27.4	2.14	0.941
	10ᵃ 26	29.0	2.03	0.984
	10ᵃ 43	30.0	1.97	0.996
	10ᵃ 56	30.7	1.93	1.020
	11ᵃ 19	31.7	1.88	1.031
	11ᵃ 50	32.3	1.84	1.036
	0ᵖ 5	32.3	1.84	1.031
	0ᵖ 50	31.3	1.90	1.018
	1ᵖ 49	27.7	2.12	0.977
	1ᵖ 59	26.9	2.18	0.974
	2ᵖ 8	26.1	2.24	0.969
	2ᵖ 25	24.5	2.37	0.940
	2ᵖ 41	22.9	2.52	0.886
7. Okt.	3ᵖ 3	20.2	2.84	0.869
	3ᵖ 15	19.0	3.01	0.815
	3ᵖ 28	17.4	3.27	0.796
	3ᵖ 45	15.2	3.72	0.741
	3ᵖ 53	14.2	3.97	0.722
	4ᵖ 7	12.3	4.55	0.657
	4ᵖ 18	10.8	5.15	0.587
	4ᵖ 27	9.5	5.80	0.516
	4ᵖ 39	7.8	6.96	0.425
	4ᵖ 48	6.5	8.19	0.343
	4ᵖ 59	4.9	10.43	0.250
	5ᵖ 6	3.9	12.51	0.193
	5ᵖ 14	3.0	15.14	0.101
14. Okt.	0ᵖ 9	29.6	2.00	0.989
	0ᵖ 33	29.2	2.02	0.948
	0ᵖ 54	28.5	2.06	0.897
	1ᵖ 11	27.7	2.12	0.907
	1ᵖ 24	27.0	2.17	0.933
	1ᵖ 36	26.2	2.23	0.889
15. Okt.	9ᵃ 47	23.0	2.52	1.136
	10ᵃ 10	24.9	2.34	1.170
	10ᵃ 26	26.1	2.24	1.165
	10ᵃ 39	26.8	2.18	1.191
	0ᵖ 31	28.9	2.04	1.185
	0ᵖ 42	28.6	2.06	1.182
	1ᵖ 2	27.8	2.11	1.177
18. Okt.	10ᵃ 26	24.9	2.34	1.096
	11ᵃ 9	27.1	2.16	1.124
	11ᵃ 24	27.6	2.12	1.119
	11ᵃ 32	27.8	2.11	1.113
	11ᵃ 47	28.1	2.09	1.115
	0ᵖ 10	28.1	2.09	1.119
	0ᵖ 29	27.8	2.11	1.105
	0ᵖ 41	27.5	2.13	1.110
	0ᵖ 54	27.0	2.17	1.095
	1ᵖ 3	26.7	2.19	1.085
	1ᵖ 14	26.1	2.24	1.064
	1ᵖ 35	24.9	2.34	1.073
	1ᵖ 44	24.2	2.40	1.050
	2ᵖ 1	23.0	2.52	0.987
	2ᵖ 25	20.8	2.76	0.933
	2ᵖ 48	18.5	3.09	0.847
	3ᵖ 5	16.6	3.42	0.791
	3ᵖ 17	15.2	3.72	0.793
	3ᵖ 27	14.0	4.03	0.756
	3ᵖ 44	11.9	4.70	0.691
	3ᵖ 55	10.5	5.29	0.648
	4ᵖ 25	8.7	6.29	0.420

1. Mit Ångströms Kompensationspyrheliometer.

Datum	Wahre Ortszeit der Beobachtung	Scheinbare Sonnenhöhe	Durchsetzte Luftmasse	Strahlungswert in Grammkalorien pro Minute
19. Okt.	9ᵃ 52	22.1°	2.61	0.977
	10ᵃ 4	23.0	2.52	1.013
	11ᵃ 49	27.8	2.11	0.991
	0ᵖ 24	27.6	2.12	0.938
	1ᵖ 7	26.2	2.23	0.921
21. Okt.	10ᵃ 29	24.2	2.40	1.075
	10ᵃ 39	24.7	2.35	1.087
	10ᵃ 52	25.5	2.29	1.110
	11ᵃ 5	26.0	2.25	1.121
	11ᵃ 20	26.5	2.21	1.126
	11ᵃ 56	27.0	2.17	1.150
	0ᵖ 15	26.9	2.18	1.175
	0ᵖ 27	26.8	2.18	1.156
	0ᵖ 50	26.1	2.24	1.150
	1ᵖ 13	25.1	2.32	1.126
	1ᵖ 38	23.6	2.46	1.080
	1ᵖ 55	22.4	2.58	1.044
	2ᵖ 26	19.7	2.91	1.016
	2ᵖ 44	17.9	3.19	0.951
	3ᵖ 17	14.3	3.94	0.824
	3ᵖ 42	11.2	4.97	0.706
	3ᵖ 59	9.0	6.10	0.600
	4ᵖ 17	6.6	8.08	0.468
	4ᵖ 27	5.2	9.93	0.365
	4ᵖ 39	3.5	13.57	0.202
22. Okt.	9ᵃ 21	18.1	3.15	0.879
	10ᵃ 7	22.2	2.60	0.996
	10ᵃ 18	23.0	2.52	1.009
	10ᵃ 31	23.9	2.43	1.062
	10ᵃ 43	24.6	2.36	1.050
	0ᵖ 4	26.7	2.19	1.044
	0ᵖ 15	26.6	2.20	1.048
	0ᵖ 51	25.8	2.26	1.011
	2ᵖ 1	21.7	2.66	0.946
4. Nov.	9ᵃ 42	16.1	3.52	1.044
	10ᵃ 3	17.8	3.20	1.100
	10ᵃ 19	19.0	3.01	1.144
	10ᵃ 34	19.9	2.88	1.165
	11ᵃ 5	21.4	2.69	1.185
	11ᵃ 16	21.7	2.66	1.177
19. Nov.	0ᵖ 45	17.6	3.24	1.129
	0ᵖ 57	17.1	3.33	1.113
	1ᵖ 19	16.2	3.50	1.038
23. Nov.	9ᵃ 56	12.4	4.52	0.897
	10ᵃ 23	14.3	3.94	0.982
	10ᵃ 43	15.4	3.68	1.038
	11ᵃ 4	16.3	3.48	1.029
	11ᵃ 25	17.1	3.33	1.075
	1ᵖ 24	15.0	3.77	1.026
4. Dez.	9ᵃ 34	8.9	6.16	0.707
	9ᵃ 50	10.2	5.43	0.758
	10ᵃ 25	12.6	4.45	0.840
	10ᵃ 45	13.6	4.14	0.861
	11ᵃ 8	14.5	3.89	0.905
	11ᵃ 22	14.9	3.79	0.921
	11ᵃ 41	15.3	3.70	0.960
	11ᵃ 57	15.4	3.68	0.969
	0ᵖ 12	15.4	3.68	0.974
	0ᵖ 26	15.2	3.72	0.984
	0ᵖ 42	14.8	3.82	0.958
16. Dez.	8ᵃ 50	3.7	13.02	0.185
	9ᵃ 48	9.0	6.10	0.591
	10ᵃ 7	10.4	5.33	0.675
	10ᵃ 22	11.3	4.93	0.722
	11ᵃ 7	13.4	4.20	0.850
	11ᵃ 58	14.3	3.94	0.907
	0ᵖ 9	14.3	3.94	0.910
	0ᵖ 59	13.2	4.26	0.810
	1ᵖ 21	12.3	4.55	0.764
16. Dez.	2ᵖ 0	9.9°	5.58	0.624
	2ᵖ 41	6.5	8.19	0.490
	3ᵖ 6	4.1	12.03	0.322
	3ᵖ 23	2.4	17.49	0.192
17. Dez.	9ᵃ 50	9.1	6.04	0.441
	10ᵃ 0	9.8	5.63	0.514
	10ᵃ 37	11.5	4.85	0.633
	11ᵃ 20	13.7	4.11	0.734
	0ᵖ 5	14.2	3.97	0.782
21. Dez.	9ᵃ 49	9.0	6.10	0.624
	10ᵃ 27	11.5	4.85	0.746
	10ᵃ 41	12.3	4.55	0.720
	10ᵃ 57	13.0	4.32	0.744
	11ᵃ 25	14.0	4.03	0.744
	11ᵃ 50	14.2	3.97	0.742
	0ᵖ 30	14.0	4.03	0.778
	1ᵖ 4	12.9	4.35	0.764
	1ᵖ 35	11.4	4.89	0.644
	1ᵖ 55	10.2	5.43	0.532
1910				
28. Jan.	9ᵃ 17	11.6	4.81	0.999
31. Jan.	9ᵃ 7	10.7	5.19	0.687
	9ᵃ 30	12.9	4 35	0.815
	10ᵃ 1	15.4	3.68	0.967
	10ᵃ 18	16.6	3.42	1.006
	11ᵃ 42	19.9	2.88	1.052
5. März	11ᵃ 25	30.8	1.92	1.271
	11ᵃ 39	31.1	1.91	1.263
	11ᵃ 59	31.3	1.90	1.268
	0ᵖ 35	30.8	1.92	1.266
	1ᵖ 30	28.3	2.08	1.228
6. März	11ᵃ 33	31.4	1.89	1.198
	11ᵃ 43	31.6	1.88	1.200
	0ᵖ 0	31.7	1.88	1.191
	0ᵖ 24	31.5	1.89	1.209
	0ᵖ 51	30.7	1.93	1.215
	1ᵖ 20	29.3	2.01	1.218
	1ᵖ 35	28.3	2.08	1.200
	1ᵖ 55	26.8	2.18	1.165
	2ᵖ 5	26.0	2.25	1.119
	2ᵖ 28	23.8	2.44	1.177
	2ᵖ 46	21.9	2.63	1.129
	3ᵖ 13	18.9	3.03	1.067
	3ᵖ 27	17.1	3.33	1.048
	3ᵖ 58	13.2	4.26	0.938
	4ᵖ 23	9.8	5.63	0.789
	4ᵖ 34	8.2	6.65	0.732
	4ᵖ 46	6.5	8.19	0.637
	5ᵖ 1	4.3	11.59	0.498
	5ᵖ 10	3.0	15.14	0.403
16. März	11ᵃ 45	38.5	1.58	0.852
	0ᵖ 2	38.6	1.58	0.882
18. März	10ᵃ 31	35.6	1.69	1.136
	11ᵃ 8	37.7	1.61	1.167
	11ᵃ 40	38.6	1.58	1.142
21. März	9ᵃ 20	27.8	2.11	1.105
	9ᵃ 32	29.1	2.02	1.113
	9ᵃ 42	30.1	1.96	1.139
	9ᵃ 52	31.1	1.91	1.157
	10ᵃ 4	32.3	1.84	1.166
	10ᵃ 12	32.9	1.81	1.160
	10ᵃ 22	33.7	1.78	1.185
	11ᵃ 10	36.6	1.65	1.220
	0ᵖ 6	37.6	1.62	1.241
	0ᵖ 38	37.0	1.64	1.231
	1ᵖ 4	35.9	1.68	1.204
	1ᵖ 27	34.5	1.74	1.189
	1ᵖ 43	33.3	1.80	1.124

1. Mit Ångströms Kompensationspyrheliometer.

Datum	Wahre Ortszeit der Beobachtung	Scheinbare Sonnenhöhe	Durchsetzte Luftmasse	Strahlungswert in Grammkalorien pro Minute
		°		
1. April	9ᵃ 44	34.4	1.74	1.117
	9ᵃ 54	35.4	1.70	0.997
	10ᵃ 9	36.7	1.65	0.995
	10ᵃ 29	38.4	1.59	0.900
	11ᵃ 2	40.4	1.52	0.842
	11ᵃ 47	41.8	1.48	0.832
	0ᵖ 9	41.8	1.48	0.806
	0ᵖ 57	40.5	1.52	1.029
	0ᵖ 59	40.4	1.52	1.089
	1ᵖ 1	40.3	1.52	1.185
	1ᵖ 3	40.2	1.53	1.161
	1ᵖ 5	40.1	1.53	1.123
	1ᵖ 35	38.1	1.60	1.158
	1ᵖ 37	37.9	1.61	1.129
	1ᵖ 39	37.8	1.61	1.163
	1ᵖ 41	37.6	1.62	1.166
	1ᵖ 43	37.4	1.62	1.182
2. April	9ᵃ 57	36.0	1.68	1.226
	10ᵃ 14	37.5	1.62	1.248
	10ᵃ 32	39.0	1.57	1.261
	10ᵃ 47	40.0	1.53	1.285
	10ᵃ 14	41.4	1.49	1.268
	11ᵃ 28	41.9	1.48	1.270
	11ᵃ 42	42.2	1.47	1.266
	11ᵃ 57	42.3	1.47	1.238
	0ᵖ 37	41.7	1.48	1.238
	0ᵖ 45	41.4	1.49	1.242
	1ᵖ 10	40.2	1.53	1.235
	1ᵖ 29	38.9	1.57	1.227
	1ᵖ 47	37.5	1.62	1.198
	2ᵖ 15	35.0	1.72	1.178
	2ᵖ 31	33.2	1.80	1.182
	2ᵖ 56	30.3	1.95	1.177
	3ᵖ 20	27.2	2.15	1.134
	3ᵖ 43	24.2	2.40	1.057
	4ᵖ 0	21.8	2.64	1.003
	4ᵖ 21	18.8	3.04	0.904
	4ᵖ 36	16.6	3.42	0.861
	4ᵖ 53	13.9	4.05	0.802
	5ᵖ 17	10.3	5.38	0.746
	5ᵖ 32	8.0	6.80	0.687
	5ᵖ 40	6.8	7.87	0.613
	5ᵖ 48	5.6	9.32	0.521
	5ᵖ 55	4.5	11.18	0.441
	6ᵖ 4	3.2	14.47	0.319
11. April	9ᵃ 15	34.4	1.74	1.249
	9ᵃ 33	36.5	1.66	1.260
	9ᵃ 50	38.3	1.59	1.305
	10ᵃ 0	39.3	1.56	1.312
	11ᵃ 54	45.7	1.38	1.331
	0ᵖ 29	45.3	1.39	1.312
	0ᵖ 45	44.8	1.40	1.323
	1ᵖ 26	42.4	1.46	1.310
12. April	9ᵃ 31	36.7	1.65	1.207
	9ᵃ 44	38.1	1.60	1.226
	9ᵃ 57	39.4	1.55	1.167
	9ᵃ 58	39.5	1.55	1.191
	9ᵃ 59	39.6	1.55	1.209
	10ᵃ 0	39.7	1.54	1.138
	10ᵃ 1	39.8	1.54	1.156
	10ᵃ 12	40.9	1.51	0.832
	10ᵃ 13	40.9	1.51	0.958
	10ᵃ 14	41.0	1.50	0.946
	10ᵃ 15	41.1	1.50	0.886
	10ᵃ 20	41.6	1.49	0.526
	10ᵃ 21	41.6	1.49	0.985
	10ᵃ 22	41.7	1.48	0.689
	10ᵃ 23	41.8	1.48	0.813
	10ᵃ 34	42.7	1.46	0.378
	10ᵃ 35	42.7	1.46	0.382
	10ᵃ 36	42.8	1.45	0.548
12. April	10ᵃ 37	42.9	1.45	0.451
	10ᵃ 38	43.0	1.45	0.441
	10ᵃ 39	43.0	1.45	0.506
	10ᵃ 40	43.1	1.44	0.566
	10ᵃ 41	43.2	1.44	0.572
	10ᵃ 53	44.0	1.42	1.250
	11ᵃ 15	45.1	1.39	1.254
	11ᵃ 26	45.5	1.38	1.246
	11ᵃ 32	45.6	1.38	1.246
	11ᵃ 33	45.7	1.38	1.246
	11ᵃ 34	45.7	1.38	0.784
	11ᵃ 35	45.7	1.38	0.685
	11ᵃ 36	45.7	1.38	1.156
	1ᵖ 2	44.3	1.41	0.923
	1ᵖ 3	44.3	1.41	1.026
13. April	11ᵃ 1	44.8	1.40	1.197
	11ᵃ 11	45.3	1.39	1.189
	11ᵃ 21	45.7	1.38	0.711
16. April	11ᵃ 5	46.1	1.37	0.893
	11ᵃ 17	46.6	1.36	1.103
	0ᵖ 16	47.4	1.34	1.082
18. April	0ᵖ 6	48.2	1.32	0.999
21. Mai	9ᵃ 55	49.6	1.30	1.273
	10ᵃ 28	53.0	1.24	1.302
	11ᵃ 8	56.1	1.19	1.331
	11ᵃ 47	57.6	1.17	1.332
	11ᵃ 56	57.7	1.17	1.333
	2ᵖ 44	44.8	1.40	1.254
	3ᵖ 0	42.7	1.46	1.231
	3ᵖ 21	39.7	1.54	1.192
	3ᵖ 29	38.6	1.58	1.195
	3ᵖ 52	35.2	1.71	1.155
	4ᵖ 24	30.4	1.95	1.120
	4ᵖ 45	27.2	2.15	1.074
	5ᵖ 8	23.7	2.45	1.036
	5ᵖ 26	20.9	2.75	0.946
23. Mai	8ᵃ 59	42.7	1.45	1.274
	9ᵃ 19	45.5	1.38	1.305
	9ᵃ 33	47.3	1.34	1.310
	11ᵃ 12	56.7	1.18	1.330
	11ᵃ 22	57.2	1.17	1.336
	11ᵃ 52	58.1	1.16	1.328
	0ᵖ 20	57.9	1.16	1.329
	0ᵖ 41	57.1	1.18	1.307
	1ᵖ 7	55.6	1.20	1.345
	1ᵖ 32	53.4	1.23	1.303
	1ᵖ 52	51.4	1.26	1.313
	2ᵖ 9	49.6	1.30	1.278
	2ᵖ 13	49.0	1.31	1.314
	2ᵖ 37	46.0	1.37	1.291
	2ᵖ 51	44.2	1.42	1.256
	3ᵖ 1	42.8	1.45	1.253
	3ᵖ 15	40.9	1.51	1.237
	3ᵖ 28	39.0	1.57	1.199
	3ᵖ 43	36.8	1.65	1.171
	4ᵖ 0	34.3	1.75	1.175
	4ᵖ 18	31.6	1.88	1.098
	4ᵖ 48	27.0	2.17	1.040
	5ᵖ 25	21.4	2.69	0.948
	5ᵖ 45	18.4	3.10	0.802
	5ᵖ 53	17.2	3.31	0.798
	6ᵖ 9	14.8	3.82	0.741
	6ᵖ 46	9.4	5.86	0.553
	6ᵖ 57	7.8	6.96	0.443
	7ᵖ 6	6.6	8.08	0.349
	7ᵖ 15	5.5	9.47	0.254
	7ᵖ 24	4.5	11.18	0.206
24. Mai	9ᵃ 51	49.6	1.30	1.344
	10ᵃ 14	52.2	1.25	1.345
	10ᵃ 39	54.5	1.21	1.343

1. Mit Ångströms Kompensationspyrheliometer.

Datum	Wahre Ortszeit der Beobachtung	Scheinbare Sonnenhöhe	Durchsetzte Luftmasse	Strahlungswert in Grammkalorien pro Minute
		°		
24. Mai	11ª 6	56.5	1.18	1.357
	11ª 29	57.7	1.17	1.345
	0ᵖ 2	58.2	1.16	1.352
	0ᵖ 49	56.9	1.18	1.307
	1ᵖ 16	55.1	1.20	1.328
26. Mai	9ª 42	48.9	1.31	1.081
	10ª 4	51.5	1.26	1.089
	10ª 31	54.2	1.22	1.056
	10ª 39	54.9	1.21	0.935
	10ª 40	55.0	1.20	0.910
	10ª 41	55.1	1.20	0.999
	10ª 42	55.2	1.20	0.989
	10ª 43	55.3	1.20	1.016
	10ª 44	55.4	1.20	0.994
	10ª 45	55.4	1.20	1.026
	10ª 46	55.5	1.20	1.020
	10ª 47	55.6	1.20	1.080
	10ª 48	55.7	1.20	1.038
	10ª 49	55.8	1.19	1.040
	10ª 50	55.8	1.19	1.016
	10ª 51	55.9	1.19	1.050
	10ª 52	56.0	1.19	1.031
	10ª 53	56.1	1.19	1.080
	11ª 18	57.6	1.17	0.996
	11ª 57	58.6	1.16	0.991
	0ᵖ 27	58.2	1.16	1.040
	0ᵖ 28	58.2	1.16	1.029
	0ᵖ 29	58.1	1.16	1.052
	0ᵖ 30	58.1	1.16	1.070
	0ᵖ 31	58.1	1.16	1.090
	0ᵖ 32	58.0	1.16	1.070
	0ᵖ 33	58.0	1.16	1.096
	0ᵖ 34	57.9	1.16	1.070
	0ᵖ 35	57.9	1.16	1.085
	0ᵖ 36	57.8	1.17	1.073
	0ᵖ 37	57.8	1.17	1.098
	0ᵖ 38	57.8	1.17	1.075
	0ᵖ 39	57.7	1.17	1.139
	0ᵖ 40	57.7	1.17	1.124
	0ᵖ 41	57.6	1.17	1.146
	0ᵖ 42	57.6	1.17	1.124
	0ᵖ 43	57.5	1.17	1.141
	0ᵖ 44	57.5	1.17	1.119
	0ᵖ 45	57.4	1.17	1.151
	0ᵖ 46	57.4	1.17	1.138
	0ᵖ 47	57.3	1.17	1.154
	0ᵖ 58	56.7	1.18	1.159
	1ᵖ 27	54.5	1.21	1.195
27. Mai	9ª 45	49.5	1.30	1.349
	10ª 19	53.3	1.23	1.379
	10ª 45	55.6	1.20	1.365
	0ᵖ 42	57.8	1.17	1.182
	1ᵖ 7	56.3	1.19	0.938
	1ᵖ 8	56.2	1.19	1.055
	1ᵖ 9	56.1	1.19	1.055
	1ᵖ 10	56.0	1.19	1.040
	1ᵖ 11	56.0	1.19	1.048
	1ᵖ 12	55.9	1.19	1.026
	1ᵖ 13	55.8	1.19	1.002
	1ᵖ 14	55.7	1.20	0.994
	1ᵖ 15	55.6	1.20	0.989
	1ᵖ 16	55.6	1.20	0.929
	1ᵖ 17	55.5	1.20	0.893
	1ᵖ 18	55.4	1.20	0.905
	1ᵖ 19	55.3	1.20	0.943
3. Juni	9ª 10	45.8	1.38	1.108
	9ª 33	48.8	1.31	1.126
	10ª 26	54.9	1.21	1.141
	11ª 24	59.0	1.15	1.176
	11ª 56	59.8	1.14	1.199
4. Juni	0ᵖ 21	59.7	1.14	1.289
	1ᵖ 9	57.3	1.17	1.288
6. Juni	10ª 7	53.2	1.23	1.268
	10ª 50	57.3	1.17	1.288
	11ª 19	59.2	1.15	1.311
	11ª 48	60.1	1.14	1.305
	0ᵖ 27	59.8	1.14	1.292
7. Juni	10ª 21	54.8	1.21	1.080
	10ª 32	58.8	1.15	1.042
10. Juni	10ª 17	54.6	1.21	1.259
	11ª 17	59.5	1.15	1.249
	1ᵖ 0	58.4	1.16	1.241
11. Juni	9ª 13	46.8	1.35	1.245
	9ª 29	48.9	1.31	1.262
	9ª 56	52.3	1.25	1.276
	11ª 14	59.3	1.15	1.269
	0ᵖ 53	58.9	1.15	1.279
21. Juni	9ª 45	51.3	1.26	1.347
	10ª 2	53.4	1.23	1.366
	10ª 27	56.1	1.19	1.372
	10ª 54	58.4	1.16	1.368
	11ª 14	59.7	1.14	1.366
	11ª 41	60.8	1.13	1.369
	0ᵖ 21	60.7	1.13	1.362
	0ᵖ 45	59.8	1.14	1.233
	0ᵖ 46	59.7	1.14	1.296
	0ᵖ 47	59.7	1.14	1.175
	0ᵖ 48	59.6	1.14	1.126
	0ᵖ 49	59.6	1.14	1.002
12. Sept.	11ª 29	41.6	1.49	1.208
14. Sept.	10ª 31	37.9	1.61	0.890
	10ª 43	38.8	1.57	0.911
	10ª 50	39.2	1.56	0.947
	10ª 58	39.7	1.54	0.980
	1ᵖ 8	39.3	1.56	1.088
	1ᵖ 15	38.9	1.57	1.083
	1ᵖ 24	38.2	1.60	1.081
	1ᵖ 32	37.6	1.62	1.094
	1ᵖ 44	36.6	1.65	1.125
15. Sept.	7ª 46	18.7	3.06	0.698
	7ª 52	19.5	2.94	0.725
	8ª 15	22.6	2.56	0.811
	8ª 27	24.2	2.40	0.843
	8ª 41	26.1	2.24	0.890
	8ª 53	27.6	2.12	0.923
	8ª 59	28.4	2.07	0.914
	9ª 18	30.6	1.94	0.959
	9ª 28	31.7	1.88	0.972
	9ª 40	33.0	1.81	0.978
	9ª 53	34.3	1.75	1.000
	11ª 9	39.8	1.54	1.071
	11ª 16	40.1	1.53	1.008
	11ª 27	40.4	1.52	1.104
	11ª 41	40.8	1.51	1.097
	12ª 0	40.9	1.51	1.137
	0ᵖ 46	40.0	1.53	1.156
	0ᵖ 58	39.5	1.55	1.153
	1ᵖ 25	37.9	1.61	1.104
	2ᵖ 39	30.9	1.92	1.077
	2ᵖ 53	29.2	2.02	1.059
	3ᵖ 19	26.0	2.25	1.003
	3ᵖ 28	24.8	2.34	0.982
	3ᵖ 54	21.3	2.70	0.912
	4ᵖ 3	20.0	2.86	0.865
	4ᵖ 44	14.1	4.00	0.673
	4ᵖ 53	12.8	4.38	0.606
	5ᵖ 3	11.3	4.93	0.496
	5ᵖ 14	9.7	5.69	0.425

1. Mit Ångströms Kompensationspyrheliometer.

Datum	Wahre Ortszeit der Beobachtung	Scheinbare Sonnenhöhe	Durchsetzte Luftmasse	Strahlungswert in Grammkalorien pro Minute
		°		
15. Sept.	5p 31	7.0	7.67	0.289
	5p 40	5.6	9.32	0.210
	5p 47	4.6	10.98	0.155
16. Sept.	10a 11	35.6	1.69	1.018
	10a 20	36.3	1.67	1.036
	10a 35	37.5	1.62	1.049
	10a 41	37.9	1.61	1.016
	0p 2	40.5	1.52	1.018
	0p 12	40.4	1.52	1.030
	1p 24	37.5	1.62	1.095
	1p 44	36.0	1.68	1.075
26. Sept.	10a 54	34.8	1.73	1.331
	11a 3	35.3	1.71	1.331
	11a 12	35.7	1.69	1.332
	11a 35	36.4	1.66	1.340
	11a 44	36.5	1.66	1.342
	0p 4	36.6	1.65	1.344
	0p 38	36.0	1.68	1.318
	0p 56	35.3	1.71	1.297
	1p 6	34.8	1.73	1.297
	1p 27	33.6	1.78	1.278
	1p 37	32.9	1.81	1.272
	1p 48	32.0	1.86	1.265
27. Sept.	9a 21	26.8	2.18	1.021
	9a 28	27.6	2.12	1.038
	9a 40	28.8	2.04	1.013
	9a 48	29.6	2.00	1.010
	10a 27	32.9	1.81	1.028
	10a 47	34.1	1.76	0.996
	11a 6	35.0	1.72	0.893
29. Sept.	10a 52	33.7	1.78	1.079
	11a 9	34.5	1.74	1.086
	11a 19	34.8	1.73	1.052
	0p 28	35.1	1.72	1.148
	0p 53	34.3	1.75	1.180
	1p 22	32 7	1.82	1.024
	1p 43	31.3	1.90	1.065
8. Okt.	9a 53	26.1	2.24	1.085
	10a 9	27.4	2.14	1.124
	10a 19	28.2	2.08	1.148
	10a 30	29.0	2.03	1.108
	10a 39	29.5	2.00	1.117
	10a 46	29.9	1.98	1.127
	10a 53	30.3	1.95	1.137
	11a 2	30.7	1.93	1.161
	11a 9	31.0	1.91	1.160
	11a 20	31.4	1.89	1.151
	0p 1	32.0	1.86	1.162
	0p 11	32.0	1.86	1.122
	1p 22	31.8	1.87	1.069
	1p 30	31.7	1.88	1.087
	1p 40	31.4	1.89	1.080
14. Okt.	9a 31	21.9	2.63	1.171
	9a 42	22.9	2.52	1.200
	9a 55	24.1	2.41	1.179
	10a 11	25.4	2.29	1.184
	10a 19	26.0	2.25	1.158
	10a 32	26.9	2.18	1.132
	10a 53	28.0	2.10	1.124
	11a 18	29.1	2.02	1.128
	0p 14	29.6	2.00	1.121
	1p 3	28.2	2.08	1.025
	1p 21	27.3	2.15	1.031
	1p 48	25.5	2.29	1.069
	1p 54	25.0	2.33	1.023
15. Okt.	0p 42	25.5	2.29	1.222
17. Okt.	10a 37	26.1	2.24	1.151
	10a 58	27.2	2.15	1.198
	11a 18	28.0	2.10	1.191
17. Okt.	11a 30	28.3	2.08	1.206
	11a 52	28.6	2.06	1.192
	0p 14	28.5	2.06	1.205
	0p 27	28.4	2.07	1.207
	0p 33	28.2	2.08	1.211
	0p 40	28.0	2.10	1.206
	0p 54	27.5	2.13	1.209
	1p 19	26.3	2.22	1.211
	1p 27	25.9	2.26	1.232
	1p 51	24.2	2.40	1.149
	2p 5	23.0	2.52	1.125
25. Okt.	1p 34	22.6	2.56	1.028
	1p 43	22.0	2.62	1.015
	1p 52	21.3	2.70	0.998
	2p 2	20.6	2.79	1.004
17. Nov.	9a 52	13.6	4.14	0.673
	10a 0	14.2	3.97	0.722
	10a 6	14.6	3.87	0.732
	10a 14	15.2	3.72	0.724
	10a 25	15.9	3.57	0.768
	10a 34	16.4	3.46	0.795
	10a 39	16.7	3.40	0.817
	10a 46	17.0	3.35	0.801
	10a 51	17.3	3.29	0.793
	11a 0	17.6	3.24	0.794
	11a 5	17.8	3.20	0.798
	11a 12	18.1	3.15	0.806
	11a 17	18.2	3.14	0.842
	11a 24	18.4	3.10	0.836
24. Nov.	1p 1	16.0	3.54	0.874
	1p 4	15.9	3.57	0.863
26. Nov.	0p 27	16.2	3.50	0.735
6. Dez.	0p 19	15.1	3.75	0.831
	0p 26	15.0	3.77	0.834
	0p 31	14.9	3.79	0.822
	0p 36	14.8	3.82	0.830
10. Dez.	10a 34	12.2	4.59	0.807
	10a 36	12.3	4.55	0.827
	10a 45	12.8	4.38	0.893
	10a 56	13.2	4.26	0.890
	11a 1	13.4	4.20	0.914
	11a 10	13.7	4.11	0.906
	11a 17	13.9	4.05	0.901
	11a 24	14.1	4.00	0.909
12. Dez.	0p 17	14.5	3.89	0.828
	0p 24	14.4	3.92	0.836
	0p 29	14.4	3.92	0.840
	0p 38	14.2	3.97	0.807
	0p 41	14.1	4.00	0.797
	0p 46	14.0	4.03	0.811
	0p 50	13.8	4.08	0.819
	1p 4	13.3	4.23	0.819
13. Dez.	9a 30	7.7	7.04	0.500
	9a 37	8.3	6.57	0.551
	9a 42	8.7	6.29	0.574
	10a 0	10.1	5.48	0.644
	10a 4	10.4	5.33	0.655
	10a 10	10.8	5.15	0.678
	10a 17	11.2	4.97	0.701
	10a 36	12.3	4.55	0.713
	10a 41	12.6	4.45	0.734
	10a 51	13.0	4.32	0.761
	10a 54	13.1	4.29	0.756
	11a 2	13.5	4.17	0.752
	11a 7	13.6	4.14	0.774
	11a 14	13.9	4.05	0.776
	11a 18	14.0	4.03	0.781
	1p 7	13.1	4.29	0.752
	1p 15	12.8	4.38	0.756

I. Mit Ångströms Kompensationspyrheliometer.

Datum	Wahre Ortszeit der Beobachtung	Scheinbare Sonnenhöhe	Durchsetzte Luftmasse	Strahlungswert in Grammkalorien pro Minute
		°		
13. Dez.	1p 21	12.5	4.48	0.750
	1p 28	12.1	4.62	0.742
	1p 32	11.9	4.70	0.737
	1p 39	11.5	4.85	0.741
1911				
23. Jan.	11a 36	17.7	3.22	0.914
	11a 46	17.9	3.19	0.979
6. Febr.	9a 39	15.3	3.70	1.045
	9a 51	16.3	3.48	1.077
	10a 46	19.9	2.88	1.116
	10a 53	20.2	2.84	1.176
11. Febr.	9a 3	13.3	4.23	0.798
	9a 19	14.9	3.79	0.851
	10a 3	18.7	3.06	0.990
	10a 17	19.7	2.91	1.032
	10a 35	20.9	2.75	1.051
	10a 45	21.4	2.69	1.038
	11a 13	22.5	2.57	1.054
27. Febr.	9a 3	18.3	3.12	1.022
	9a 12	19.3	2.97	1.048
	9a 16	19.7	2.91	1.043
17. März	9a 9	25.2	2.31	0.945
	9a 13	25.7	2.27	0.952
	9a 26	27.0	2.17	0.958
	9a 44	28.9	2.04	0.954
	9a 58	30.2	1.96	0.972
	10a 43	33.6	1.78	1.030
	11a 0	34.5	1.74	1.028
	11a 7	34.8	1.73	1.028
	11a 20	35.3	1.71	1.043
	11a 47	35.8	1.69	1.043
	0p 37	35.4	1.70	1.049
	1p 14	33.7	1.78	1.069
	1p 27	32.9	1.81	1.065
	1p 46	31.5	1.89	1.024
20. März	9a 13	26.6	2.20	1.212
	9a 19	27.3	2.15	1.238
	9a 34	28.9	2.04	1.263
	10a 43	34.7	1.73	1.337
	11a 0	35.6	1.69	1.338
	11a 16	36.3	1.67	1.343
	11a 48	37.0	1.64	1.348
	0p 2	37.1	1.63	1.327
	0p 54	35.9	1.68	1.333
	1p 29	33.9	1.77	1.328
	1p 41	33.0	1.81	1.319
	1p 53	32.0	1.86	1.307
22. März	9a 4	26.2	2.23	0.820
	9a 8	26.7	2.19	0.831
	9a 36	29.8	1.98	0.899
	9a 52	31.4	1.89	0.940
	10a 4	32.6	1.83	0.988
	10a 16	33.6	1.78	0.995
	11a 6	36.7	1.65	1.010
	11a 36	37.7	1.61	1.022
	11a 40	37.7	1.61	1.031
	0p 5	37.9	1.61	1.025
	0p 47	37.0	1.64	1.004
	1p 40	33.9	1.77	0.988
	1p 48	33.2	1.80	0.952
29. März	9a 16	30.1	1.96	0.905
	9a 23	30.9	1.92	0.911
	9a 36	32.3	1.84	0.941
	10a 5	35.2	1.71	1.015
	10a 19	36.4	1.66	1.043
	10a 44	38.2	1.60	1.077
	11a 2	39.2	1.56	1.083
	0p 9	40.6	1.52	1.115
29. März	0p 46	39.7	1.54	1.119
	0p 56	39.3	1.56	1.115
	1p 20	38.0	1.60	1.108
	1p 35	36.9	1.64	1.101
	1p 50	35.7	1.79	1.072
31. März	9a 14	30.6	1.94	0.567
5. April	9a 7	31.4	1.89	1.214
	10a 51	41.2	1.50	1.366
	0p 48	42.3	1.47	1.287
19. April	8a 27	30.4	1.95	1.238
	8a 35	31.6	1.88	1.251
	8a 55	34.2	1.75	1.284
	9a 2	35.1	1.72	1.289
	9a 48	40.6	1.52	1.277
	9a 54	41.3	1.50	1.268
	10a 3	42.2	1.47	1.274
	10a 27	44.4	1.41	1.285
	10a 48	45.9	1.37	1.284
	11a 2	46.9	1.35	1.283
	11a 26	47.9	1.33	1.288
	0p 46	47.5	1.34	1.297
	1p 11	46.1	1.37	1.271
	4p 45	20.0	2.87	0.751
	4p 50	19.3	2.97	0.717
	4p 56	18.3	3.12	0.696
	5p 2	17.4	3.27	0.672
	5p 40	11.6	4.81	0.519
	5p 45	10.9	5.10	0.483
	5p 51	10.0	5.53	0.442
20. April	9a 13	36.9	1.64	1.183
	9a 21	37.9	1.61	1.192
	9a 26	38.5	1.58	1.197
	10a 5	42.8	1.45	1.208
	10a 11	43.3	1.44	1.220
	10a 18	44.1	1.42	1.227
	10a 53	46.7	1.36	1.214
	11a 22	48.1	1.33	1.209
	0p 26	48.5	1.32	1.142
	0p 40	48.0	1.33	1.154
	0p 48	47.5	1.34	1.130
21. April	9a 21	38.2	1.60	1.079
	9a 29	39.2	1.56	1.122
	9a 35	39.9	1.54	1.155
	10a 13	43.8	1.43	1.219
2. Mai	8a 45	36.5	1.66	1.071
	9a 14	40.4	1.52	1.141
	9a 37	43.2	1.44	1.178
	9a 58	45.6	1.38	1.219
	10a 24	48.1	1.33	1.238
	11a 16	51.7	1.26	1.239
	0p 54	52.7	1.24	1.192
3. Mai	8a 14	32.3	1.84	0.981
	8a 20	33.2	1.80	0.998
	8a 29	34.5	1.74	1.014
	8a 36	35.5	1.70	1.032
	8a 44	36.6	1.65	1.055
	9a 7	39.7	1.54	1.072
	9a 34	43.1	1.44	1.073
	10a 1	46.2	1.37	1.121
	10a 9	47.0	1.35	1.126
	10a 30	49.0	1.31	1.125
	11a 8	51.6	1.26	1.163
	11a 18	52.1	1.25	1.175
	3p 40	33.3	1.80	1.031
	3p 46	32.4	1.84	1.004
	3p 54	31.3	1.90	0.934
	3p 59	30.5	1.94	0.961
	4p 19	27.6	2.12	0.873
	4p 28	26.4	2.22	0.841

1. Mit Ångströms Kompensationspyrheliometer.

Datum	Wahre Ortszeit der Beobachtung	Scheinbare Sonnenhöhe	Durchsetzte Luftmasse	Strahlungswert in Grammkalorien pro Minute
		°		
3. Mai	4p 37	24.9	2.34	0.826
	4p 46	23.5	2.47	0.802
	4p 54	22.3	2.59	0.770
	5p 4	20.8	2.76	0.727
	5p 27	17.3	3.29	0.599
	6p 2	11.9	4.70	0.451
	6p 19	9.4	5.86	0.353
	6p 26	8.3	6.57	0.303
4. Mai	6a 55	20.7	2.78	0.810
	7a 6	22.4	2.58	0.850
	7a 12	23.3	2.49	0.869
	7a 34	26.6	2.20	0.927
	7a 43	27.9	2.10	0.951
	7a 53	29.4	2.01	0.981
	8a 0	30.5	1.94	0.990
	8a 10	31.8	1.87	1.012
	8a 18	33.2	1.80	1.039
	8a 31	35.1	1.72	1.081
	8a 42	36.6	1.65	1.089
	8a 52	38.0	1.60	1.114
	9a 2	39.3	1.56	1.124
	9a 12	40.6	1.52	1.125
	9a 40	44.1	1.42	1.174
	9a 47	44.9	1.40	1.163
	9a 56	45.8	1.38	1.182
	10a 29	49.1	1.31	1.200
	11a 37	53.0	1.24	1.188
	11a 50	53.3	1.23	1.107
	0p 1	53.3	1.23	1.227
9. Mai	8a 4	32.3	1.85	0.986
	8a 10	33.2	1.80	1.008
	8a 24	35.2	1.71	1.028
	8a 33	36.5	1.66	1.032
	8a 45	38.2	1.60	0.932
	8a 55	39.5	1.55	0.913
	9a 24	43.3	1.44	1.019
	9a 50	46.5	1.36	1.119
	9a 56	47.1	1.35	1.110
	10a 2	47.9	1.33	1.081
	10a 41	51.5	1.26	1.183
	10a 56	52.6	1.24	1.209
	11a 43	54.6	1.21	1.191
10. Mai	7a 2	23.0	2.52	0.887
	7a 10	24.2	2.40	0.914
	7a 16	25.1	2.32	0.942
	7a 21	25.9	2.26	0.963
	7a 31	27.4	2.14	0.982
	7a 38	28.5	2.06	1.008
	7a 46	29.8	1.98	1.021
	7a 58	31.5	1.89	1.035
	11a 8	53.6	1.23	1.190
	11a 16	54.0	1.22	1.209
11. Mai	10a 49	52.5	1.24	1.265
16. Mai	8a 7	34.1	1.76	0.790
	8a 27	37.0	1.64	0.863
	8a 37	38.4	1.59	0.900
	8a 53	40.7	1.51	0.931
	8a 58	41.4	1.49	0.940
	9a 4	42.2	1.47	0.954
	9a 14	43.5	1.43	1.003
	9a 21	44.4	1.41	0.953
22. Mai	8a 10	35.6	1.69	1.134
	8a 17	36.6	1.65	1.189
	8a 22	37.3	1.63	1.190
	8a 38	39.7	1.54	1.198
	9a 0	42.8	1.45	1.202
	9a 5	43.5	1.43	1.206
	9a 11	44.2	1.42	1.222
	9a 22	45.7	1.38	1.241
	9a 40	48.0	1.33	1.251

Datum	Wahre Ortszeit der Beobachtung	Scheinbare Sonnenhöhe	Durchsetzte Luftmasse	Strahlungswert in Grammkalorien pro Minute
		°		
22. Mai	9a 51	49.3	1.30	1.251
	9a 56	49.9	1.29	1.261
	10a 2	50.6	1.28	1.265
	11a 16	56.7	1.18	1.295
	0p 36	57.1	1.18	1.345
	0p 43	56.7	1.18	1.344
29. Mai	8a 5	35.8	1.69	1.046
	8a 23	38.5	1.58	1.090
	8a 35	40.2	1.53	1.093
	8a 42	41.2	1.50	1.089
	9a 2	44.1	1.42	1.120
30. Mai	8a 26	39.0	1.57	1.032
	8a 32	39.9	1.54	1.040
	8a 44	41.6	1.49	1.067
	9a 3	44.3	1.41	1.078
	9a 39	49.0	1.31	1.133
	9a 54	50.8	1.27	1.138
	10a 27	54.4	1.21	1.152
	11a 26	58.5	1.16	1.202
	11a 37	58.9	1.15	1.194
31. Mai	9a 54	51.0	1.27	0.453
	10a 1	51.8	1.26	0.475
	10a 46	56.3	1.19	0.501
1. Juni	7a 40	32.3	1.84	1.131
	8a 2	35.6	1.69	1.143
	8a 10	36.8	1.65	1.155
	8a 18	38.0	1.60	1.164
	8a 25	39.1	1.56	1.185
	8a 40	41.2	1.50	1.202
	8a 47	42.3	1.47	1.208
	8a 54	43.2	1.44	1.211
	9a 9	45.3	1.39	1.238
	9a 22	47.1	1.35	1.239
	9a 41	49.5	1.30	1.284
	9a 47	50.3	1.28	1.267
	10a 11	53.0	1.24	1.275
	10a 18	53.8	1.23	1.269
	10a 41	55.9	1.19	1.283
	10a 58	57.3	1.17	1.290
	11a 17	58.4	1.16	1.302
	11a 41	59.3	1.15	1.297
	11a 50	59.4	1.15	1.311
	11a 58	59.5	1.15	1.317
	0p 38	58.6	1.16	1.307
	0p 53	57.8	1.17	1.303
	1p 18	56.0	1.19	1.312
	1p 47	53.2	1.23	1.288
	2p 8	50.9	1.27	1.274
	2p 21	49.3	1.30	1.269
	2p 31	48.1	1.33	1.262
	2p 40	46.9	1.35	1.245
	2p 56	44.7	1.40	1.246
	3p 3	43.8	1.43	1.222
	3p 8	43.1	1.44	1.213
	3p 14	42.2	1.47	1.208
	3p 20	41.3	1.50	1.197
	3p 26	40.5	1.52	1.171
	3p 32	39.6	1.55	1.181
	3p 39	38.6	1.58	1.166
	3p 45	37.7	1.61	1.112
	3p 50	36.9	1.64	1.119
	3p 56	36.0	1.68	1.125
	4p 4	34.8	1.73	1.108
	4p 15	33.2	1.80	1.051
	4p 20	32.4	1.84	1.064
	4p 27	31.4	1.89	1.078
	4p 36	30.0	1.97	1.037
	4p 42	29.1	2.02	1.056
	4p 57	26.8	2.18	1.018
	5p 0	26.3	2.22	1.004
	5p 4	25.7	2.27	1.005

1. Mit Ångströms Kompensationspyrheliometer.

Datum	Wahre Ortszeit der Beobachtung	Scheinbare Sonnenhöhe	Durchsetzte Luftmasse	Strahlungswert in Grammkalorien pro Minute
1. Juni	5p 19	23.4°	2.48	0.957
	5p 26	22.3	2.59	0.924
	5p 35	21.0	2.74	0.916
	5p 40	20.2	2.84	0.910
	5p 52	18.4	3.10	0.854
	6p 4	16.7	3.40	0.825
	6p 15	15.0	3.77	0.761
	6p 34	12.3	4.55	0.672
	6p 52	9.8	5.63	0.556
	6p 58	8.9	6.16	0.517
	7p 9	7.4	7.30	0.424
	7p 17	6.3	8.42	0.360
	7p 23	5.5	9.47	0.322
	7p 34	3.9	12.51	0.232
2. Juni	4a 28	4.3	11.59	0.368
	4a 40	5.9	8.92	0.467
	4a 46	6.7	7.97	0.533
	4a 57	8.2	6.65	0.608
	5a 23	11.9	4.70	0.772
	5a 34	13.4	4.20	0.828
	5a 40	14.3	3.94	0.902
	6a 7	18.3	3.12	0.947
	6a 15	19.5	2.94	0.988
	6a 29	21.6	2.67	1.034
	7a 16	28.9	2.04	1.133
	7a 26	30.4	1.95	1.155
	7a 38	32.2	1.85	1.184
	7a 57	35.1	1.72	1.208
	8a 12	37.3	1.63	1.223
	8a 22	38.8	1.57	1.238
	8a 28	39.7	1.54	1.238
	8a 36	40.9	1.51	1.234
	8a 42	41.7	1.48	1.251
	8a 48	42.6	1.46	1.256
	8a 53	43.3	1.44	1.259
	9a 0	44.3	1.41	1.259
	9a 6	45.1	1.39	1.258
	9a 14	46.2	1.37	1.265
	9a 18	46.7	1.36	1.268
	9a 38	49.3	1.30	1.274
	9a 46	50.3	1.28	1.283
	9a 54	51.3	1.26	1.296
	10a 2	52.2	1.25	1.311
	10a 7	52.8	1.24	1.309
	10a 39	56.0	1.19	1.310
	11a 3	57.8	1.17	1.303
	11a 17	58.6	1.16	1.299
	11a 26	59.0	1.15	1.300
	11a 31	59.2	1.15	1.319
	0p 19	59.5	1.15	1.317
	0p 38	58.8	1.15	1.318
	0p 43	58.6	1.16	1.316
3. Juni	10a 22	47.4	1.34	1.338
	10a 33	48.8	1.31	1.340
	10a 40	49.7	1.29	1.347
12. Juli	8a 16	37.9	1.61	1.243
	8a 22	38.8	1.57	1.253
	8a 50	42.9	1.45	1.277
	8a 59	44.1	1.42	1.275
	9a 13	46.1	1.37	1.285
	9a 32	48.6	1.32	1.290
	9a 47	50.5	1.28	1.311
	9a 57	51.7	1.26	1.305
	10a 28	55.0	1.20	1.311
	10a 59	57.5	1.17	1.318
	4p 52	27.6	2.12	1.030
	5p 22	23.0	2.52	0.957
	5p 29	22.0	2.62	0.930
	5p 35	21.0	2.74	0.903
	5p 47	19.3	2.97	0.844
	5p 54	18.2	3.14	0.814
14. Juli	10a 57	57.1°	1.18	1.264
	11a 4	57.6	1.17	1.284
	11a 10	57.9	1.17	1.284
	11a 38	59.1	1.15	1.287
	0p 12	59.3	1.15	1.299
	0p 23	59.1	1.15	1.291
20. Juli	8a 0	34.6	1.74	0.881
	8a 10	36.1	1.67	0.897
	8a 17	37.1	1.63	0.906
	8a 25	38.3	1.59	0.906
	8a 34	39.6	1.55	0.917
	8a 48	41.6	1.49	0.935
	8a 58	43.0	1.45	0.911
	9a 8	44.4	1.41	0.905
	9a 21	46.1	1.37	0.938
	9a 55	50.4	1.28	0.988
	10a 1	51.0	1.27	0.997
	10a 8	51.8	1.26	0.996
22. Juli	9a 39	48.1	1.33	1.191
	10a 1	50.6	1.28	1.184
	10a 30	53.6	1.23	1.189
	10a 48	55.2	1.20	1.216
	0p 13	57.9	1.16	1.299
	0p 23	57.7	1.17	1.291
26. Juli	0p 24	56.9	1.18	1.057
	0p 35	56.5	1.18	1.039
	0p 51	55.7	1.20	1.010
	1p 0	55.2	1.20	0.997
27. Juli	10a 20	51.7	1.26	1.046
	10a 32	52.9	1.24	1.066
	10a 40	53.5	1.23	1.075
28. Juli	9a 45	47.7	1.34	1.099
	9a 52	48.6	1.32	1.096
	10a 7	50.1	1.29	1.079
	10a 13	50.8	1.27	0.979
	10a 32	52.7	1.24	0.817
	0p 42	55.8	1.19	1.060
	0p 48	55.5	1.20	1.057
	1p 19	53.4	1.23	1.073
	1p 23	53.1	1.23	1.082
29. Juli	10a 30	52.3	1.25	1.160
	10a 44	53.5	1.23	1.192
31. Juli	10a 43	52.9	1.24	1.339
	10a 52	53.6	1.23	1.348
	0p 1	56.1	1.19	1.358
	0p 7	56.1	1.19	1.366
	1p 7	53.7	1.22	1.348
	1p 12	53.3	1.23	1.341
	1p 19	52.8	1.24	1.338
1. Aug.	10a 55	53.6	1.23	1.267
2. Aug.	10a 14	49.8	1.29	1.185
	10a 24	50.8	1.27	1.191
27. Aug.	10a 14	42 9	1.45	1.085
28. Aug.	10a 59	45.9	1.38	1.189
	11a 7	46.4	1.36	1.199
31. Aug.	0p 8	46.6	1.36	1.333
	1p 13	44.1	1.42	1.333
7. Sept.	0p 37	43.4	1.44	1.176
	0p 44	43.1	1.44	1.156
	1p 1	42.4	1.46	1.154
8. Sept.	9a 51	36.7	1.65	1.052
11. Sept.	9a 52	35.7	1.79	1.289
	10a 17	38.0	1.60	1.296
	10a 33	39.2	1.56	1.348
	10a 49	40.3	1.52	1.333

1. Mit Ångströms Kompensationspyrheliometer.

Datum	Wahre Ortszeit der Beobachtung	Scheinbare Sonnenhöhe	Durchsetzte Luftmasse	Strahlungswert in Grammkalorien pro Minute
		°		
11. Sept.	11ᵃ 7	41.3	1.50	1.357
	0ᵖ 35	42.0	1.47	1.370
	1ᵖ 5	40.7	1.51	1.338
	1ᵖ 16	40.0	1.53	1.329
	1ᵖ 38	38.4		1.279
4. Okt.	11ᵃ 36	33.4	1.79	1.183
	11ᵃ 48	33.5	1.79	1.207
5. Okt.	0ᵖ 56	31.6	1.88	1.313
	1ᵖ 9	30.9	1.92	1.317
16. Okt.	9ᵃ 24	20.6	2.79	1.226
	9ᵃ 32	21.4	2.69	1.247
	9ᵃ 40	22.1	2.61	1.282
	10ᵃ 6	24.4	2.38	1.314
	10ᵃ 26	25.9	2.26	1.337
	11ᵃ 1	27.7	2.12	1.347
	11ᵃ 27	28.6	2.06	1.371
	11ᵃ 31	28.7	2.05	1.380
	11ᵃ 47	29.0	2.03	1.385
	0ᵖ 6	29.0	2.03	1.371
	0ᵖ 10	29.0	2.03	1.372
	0ᵖ 43	28.3	2.08	1.332
	0ᵖ 47	28.2	2.08	1.328
	1ᵖ 6	27.4	2.14	1.319
	1ᵖ 21	26.6	2.20	1.344
	1ᵖ 31	26.0	2.25	1.348
	1ᵖ 41	25.3	2.30	1.315
17. Okt.	10ᵃ 14	24.7	2.35	1.219
	10ᵃ 21	25.2	2.31	1.229
	11ᵃ 25	28.3	2.08	1.227
	0ᵖ 11	28.7	2.05	1.232
	0ᵖ 35	28.3	2.08	1.198
	0ᵖ 43	28.0	2.10	1.178
18. Okt.	0ᵖ 22	28.1	2.09	1.089
	0ᵖ 27	28.1	2.09	1.092
	0ᵖ 33	27.9	2.10	1.063
19. Okt.	9ᵃ 1	17.3	3.29	0.756
	9ᵃ 6	17.8	3.20	0.779
	9ᵃ 41	21.3	2.70	0.842
	10ᵃ 7	23.5	2.47	0.896
	10ᵃ 16	24.2	2.40	0.926
	10ᵃ 21	24.5	2.37	0.935
	10ᵃ 41	25.8	2.26	0.980
	10ᵃ 45	26.0	2.25	0.987
	11ᵃ 9	27.0	2.17	1.043
	11ᵃ 38	27.7	2.12	1.025
	11ᵃ 59	27.9	2.10	1.038
	0ᵖ 15	27.8	2.11	1.049
	0ᵖ 21	27.8	2.11	1.049
	0ᵖ 38	27.4	2.14	1.035
	0ᵖ 52	26.9	2.18	1.010
20. Okt.	9ᵃ 23	19.1	3.00	0.740
	10ᵃ 34	24.9	2.34	0.762
	10ᵃ 50	25.8	2.26	0.731
1. Nov.	10ᵃ 28	20.6	2.79	0.941
	11ᵃ 2	22.3	2.59	1.075
	11ᵃ 38	23.4	2.48	1.052
6. Nov.	9ᵃ 26	14.2	3.97	0.844
	9ᵃ 38	15.3	3.70	0.918
	9ᵃ 56	16.8	3.38	0.905
	10ᵃ 0	17.1	3.33	0.903
	10ᵃ 32	19.3	2.97	0.994
	10ᵃ 44	20.0	2.87	0.986
	10ᵃ 51	20.3	2.83	1.003
	11ᵃ 8	21.0	2.74	1.042
8. Nov.	11ᵃ 54	21.3	2.70	1.156
	0ᵖ 23	21.1	2.73	1.172
	1ᵖ 24	18.9	3.03	1.110
21. Nov.	0ᵖ 28	17.7	3.22	1.040
	0ᵖ 32	17.6	3.24	1.011
	0ᵖ 46	17.2	3.31	1.038
	0ᵖ 55	16.9	3.37	1.056
	1ᵖ 1	16.7	3.40	1.030
	1ᵖ 8	16.4	3.46	1.011
15. Dez.	10ᵃ 1	10.1	5.48	0.745
	10ᵃ 6	10.4	5.33	0.771
	10ᵃ 14	10.9	5.10	0.799
	10ᵃ 23	11.5	4.85	0.819
	10ᵃ 46	12.7	4.42	0.855
	10ᵃ 52	13.0	4.32	0.861
	11ᵃ 0	13.3	4.23	0.848
	11ᵃ 10	13.6	4.14	0.859
	11ᵃ 15	13.8	4.08	0.868
	11ᵃ 28	14.1	4.00	0.868
	11ᵃ 32	14.2	3.97	0.873
	11ᵃ 38	14.3	3.94	0.879
18. Dez.	9ᵃ 56	9.5	5.80	0.751
	10ᵃ 2	9.9	5.58	0.771
	10ᵃ 20	11.1	5.02	0.829
	10ᵃ 39	12.2	4.59	0.883
	0ᵖ 35	13.9	4.05	0.919
	0ᵖ 39	13.8	4.08	0.905
	0ᵖ 54	13.3	4.23	0.895
1912				
11. Jan.	1ᵖ 42	12.5	4.48	0.442
13. Jan.	10ᵃ 32	13.5	4.17	0.948
	10ᵃ 47	14.2	3.97	0.988
	10ᵃ 55	14.6	3.87	1.016
	11ᵃ 1	14.8	3.82	1.027
	11ᵃ 11	15.1	3.75	1.037
	11ᵃ 16	15.3	3.70	1.042
	11ᵃ 24	15.5	3.65	1.040
	11ᵃ 38	15.8	3.59	1.071
	11ᵃ 43	15.8	3.59	1.063
	11ᵃ 53	15.9	3.57	1.072
	11ᵃ 58	15.9	3.57	1.091
	0ᵖ 3	15.9	3.57	1.099
	0ᵖ 17	15.8	3.59	1.081
	0ᵖ 27	15.7	3.61	1.101
	0ᵖ 39	15.4	3.68	1.087
	0ᵖ 46	15.2	3.72	1.090
	0ᵖ 54	15.0	3.77	1.081
	1ᵖ 10	14.4	3.92	1.079
	1ᵖ 20	13.9	4.05	1.070
	1ᵖ 28	13.5	4.17	1.063
17. Jan.	9ᵃ 43	10.8	5.15	0.601
	9ᵃ 54	11.7	4.77	0.642
	10ᵃ 3	12.3	4.55	0.686
	10ᵃ 28	13.9	4.05	0.782
	10ᵃ 33	14.2	3.97	0.788
	10ᵃ 48	15.0	3.77	0.815
	10ᵃ 53	15.2	3.72	0.831
	11ᵃ 51	16.6	3.42	0.878
20. Jan.	11ᵃ 41	17.1	3.33	0.868
	11ᵃ 45	17.1	3.33	0.866
	11ᵃ 54	17.2	3.31	0.889
	0ᵖ 10	17.2	3.31	0.862
	0ᵖ 16	17.1	3.33	0.861
	0ᵖ 22	17.0	3.35	0.842
30. Jan.	9ᵃ 21	11.6	4.81	0.832
	9ᵃ 31	12.6	4.45	0.890
	10ᵃ 3	15.2	3.72	0.986
	10ᵃ 15	16.0	3.54	1.057
	10ᵃ 44	17.7	3.22	1.112
	10ᵃ 58	18.3	3.12	1.136
	11ᵃ 7	18.7	3.06	1.151
	11ᵃ 14	18.9	3.03	1.187

1. Mit Angströms Kompensationspyrheliometer.

Datum	Wahre Ortszeit der Beobachtung	Scheinbare Sonnenhöhe	Durchsetzte Luftmasse	Strahlungswert in Grammkalorien pro Minute
30. Jan.	11^a 48	19.6°	2.92	1.228
	0^p 1	19.6	2.92	1.227
	0^p 8	19.6	2.92	1.229
2. Febr.	9^a 45	14.5	3.89	1.067
	9^a 53	15.2	3.72	1.071
	10^a 5	16.2	3.50	1.080
	0^p 19	20.4	2.82	1.195
	0^p 25	20.3	2.83	1.170
	0^p 48	19.7	2.91	1.135
	0^p 59	19.3	2.97	1.082
	1^p 7	19.0	3.01	1.110
	1^p 12	18.8	3.04	1.104
	1^p 33	17.6	3.24	1.030
	1^p 40	17.2	3.31	1.038
3. Febr.	10^a 30	18.0	3.17	1.165
	10^a 39	18.6	3.07	1.198
	10^a 48	19.1	3.00	1.214
	11^a 9	19.9	2.88	1.214
	11^a 29	20.5	2.80	1.228
	11^a 34	20.6	2.79	1.232
	11^a 44	20.7	2.78	1.226
	0^p 0	20.8	2.76	1.225
	0^p 6	20.8	2.76	1.242
	0^p 15	20.7	2.78	1.246
	0^p 39	20.3	2.83	1.247
	0^p 58	19.7	2.91	1.209
	1^p 6	19.4	2.95	1.198
	1^p 35	17.8	3.20	1.154
5. Febr.	9^a 37	14.6	3.87	0.908
	10^a 1	16.6	3.42	0.945
	10^a 8	17.2	3.31	0.975
	10^a 17	17.8	3.20	0.982
	10^a 26	18.4	3.10	0.992
	10^a 36	18.9	3.03	1.009
	10^a 44	19.4	2.95	1.025
	10^a 50	19.7	2.91	1.031
	11^a 15	20.6	2.79	1.054
	11^a 24	20.9	2.75	1.043
	11^a 32	21.1	2.73	1.042
	11^a 39	21.2	2.72	1.058
	1^p 37	18.3	3.12	0.924
	1^p 46	17.6	3.24	0.901
8. Febr.	9^a 24	14.3	3.94	0.916
	9^a 52	16.8	3.38	1.000
	10^a 8	18.0	3.17	1.024
	10^a 18	18.7	3.06	1.039
	10^a 36	19.8	2.90	1.064
	10^a 53	20.7	2.78	1.081
	11^a 10	21.5	2.68	1.111
	11^a 18	21.7	2.66	1.112
	11^a 26	21.9	2.63	1.127
	11^a 32	22.1	2.61	1.131
	11^a 54	22.3	2.59	1.124
	0^p 10	22.3	2.59	1.116
	0^p 26	22.1	2.61	1.105
	0^p 36	21.9	2.63	1.094
	0^p 59	21.1	2.73	1.080
	1^p 9	20.7	2.78	1.065
	1^p 23	20.0	2.87	1.051
	1^p 35	19.3	2.97	1.039
	1^p 45	18.6	3.07	1.006
	1^p 52	18.1	3.15	0.995
13. März	9^a 29	26.2	2.23	1.154
	9^a 44	27.6	2.12	1.180
	10^a 2	29.3	2.01	1.179
	10^a 17	30.5	1.94	1.189
	10^a 32	31.6	1.88	1.188
	11^a 2	33.3	1.80	1.176
	11^a 29	34.2	1.75	1.214
	11^a 43	34.5	1.74	1.208
13. März	0^p 6	34.6°	1.74	1.235
	0^p 24	34.4	1.74	1.239
	0^p 40	34.0	1.76	1.195
	1^p 0	33.2	1.80	1.150
	1^p 3	33.0	1.81	1.140
	1^p 7	32.8	1.82	1.135
	1^p 20	32.1	1.86	1.183
	1^p 24	31.7	1.88	1.158
21. März	0^p 7	36.0	1.68	1.287
3. April	10^a 26	39.1	1.56	1.424
	10^a 42	40.3	1.52	1.410
	10^a 56	41.1	1.50	1.407
	11^a 0	41.3	1.50	1.409
	11^p 16	42.1	1.47	1.419
	11^a 20	42.2	1.47	1.423
	11^a 41	42.8	1.45	1.418
	0^p 3	42.9	1.45	1.432
	0^p 43	42.1	1.47	1.416
	1^p 2	41.2	1.50	1.437
	1^p 6	40.9	1.51	1.423
	1^p 9	40.7	1.51	1.419
	1^p 22	39.9	1.54	1.413
	1^p 34	39.0	1.57	1.396
	1^p 48	37.8	1.61	1.407
	1^p 52	37.5	1.62	1.386
	2^p 22	34.5	1.74	1.366
	2^p 40	32.5	1.83	1.346
13. April	9^a 32	37.3	1.63	1.386
	9^a 48	39.0	1.57	1.401
	9^a 58	40.0	1.53	1.389
	11^a 37	46.4	1.36	1.403
	11^a 56	46.6	1.36	1.406
	0^p 20	46.4	1.36	1.404
	0^p 54	45.2	1.39	1.359
	1^p 7	44.5	1.41	1.344
16. April	11^a 0	46.0	1.37	1.313
	11^a 6	46.3	1.36	1.328
	11^a 33	47.4	1.34	1.354
	11^a 43	47.6	1.34	1.357
	11^a 49	47.7	1.34	1.356
	0^p 12	47.6	1.34	1.321
	0^p 18	47.6	1.34	1.346
	0^p 22	47.5	1.34	
17. April	10^a 7	42.2	1.47	1.366
	10^a 16	43.1	1.44	1.364
	10^a 25	43.9	1.42	1.360
	10^a 34	44.6	1.41	1.374
	10^a 44	45.3	1.39	1.360
	10^a 53	45.9	1.37	1.371
	11^a 2	46.4	1.36	1.370
	11^a 9	46.8	1.35	1.377
	11^a 27	47.5	1.34	1.373
	11^a 33	47.7	1.34	1.396
	11^a 40	47.8	1.33	1.399
	11^a 49	48.0	1.33	1.391
	11^a 55	48.0	1.33	1.382
	0^p 2	48.0	1.33	1.382
	0^p 8	48.0	1.33	1.342
	0^p 13	47.9	1.33	1.296
	0^p 17	47.9	1.33	1.228
	0^p 21	47.8	1.33	1.180
	0^p 26	47.7	1.34	1.091
	0^p 33	47.5	1.34	0.968
	0^p 37	47.4	1.34	0.890
	0^p 42	47.2	1.35	0.787
	0^p 46	47.0	1.35	0.708
	0^p 50	46.8	1.35	0.608
	0^p 55	46.6	1.36	0.509
	1^p 1	46.2	1.37	0.379
	1^p 5	46.0	1.37	0.294

1. Mit Ångströms Kompensationspyrheliometer.

Datum	Wahre Ortszeit der Beobachtung	Scheinbare Sonnenhöhe	Durchsetzte Luftmasse	Strahlungswert in Grammkalorien pro Minute
17. April	1p 10	45.7°	1.38	0.188
	1p 13	45.5	1.38	0.139
	1p 18	45.2	1.39	0.065
18. April	10a 6	42.5	1.46	1.274
	10a 33	44.8	1.40	1.291
	10a 52	46.2	1.37	1.305
	11a 26	47.8	1.33	1.313
	11a 41	48.2	1.32	1.304
	0p 5	48.4	1.32	1.303
	0p 10	48.4	1.32	1.282
20. April	11a 37	48.9	1.31	1.191
	11a 39	48.9	1.31	1.194
23. April	10a 7	44.2	1.42	1.304
	10a 26	45.9	1.37	1.270
	11a 56	50.1	1.29	1.351
	0p 3	50.1	1.29	1.342
	1p 33	46.0	1.37	1.282
25. April	9a 56	43.6	1.43	1.316
27. April	11a 10	50.1	1.29	1.229
	1p 29	47.5	1.34	1.170
	1p 50	45.6	1.38	1.169
30. April	10a 48	49.7	1.29	1.158
	10a 59	50.4	1.28	1.134
	0p 8	52.3	1.25	1.298
	0p 14	52.2	1.25	1.295
1. Mai	9a 29	42.2	1.47	1.170
	9a 38	43.2	1.44	1.198
	9a 44	43.9	1.42	1.196
	11a 13	51.5	1.26	1.279
	0p 30	52.2	1.25	1.336
	1p 57	46.1	1.37	1.258
	2p 3	45.5	1.38	1.248
2. Mai	9a 16	40.8	1.51	1.326
	9a 32	42.8	1.45	1.335
	9a 38	43.5	1.43	1.339
	9a 47	44.6	1.41	1.344
	10a 4	46.4	1.36	1.356
	10a 26	48.5	1.32	1.332
	11a 30	52.5	1.24	1.344
	0p 0	52.9	1.24	1.336
	1p 55	46.6	1.36	1.209
4. Mai	10a 34	49.7	1.29	1.380
	0p 18	53.3	1.23	1.403
	0p 38	52.7	1.24	1.403
	1p 47	47.8	1.33	1.345
10. Mai	11a 6	53.6	1.23	1.290
14. Mai	0p 32	55.6	1.20	1.288
	0p 42	55.2	1.20	1.298
7. Juni	10a 12	53.8	1.22	1.131
	10a 31	55.7	1.20	1.182
	10a 42	56.7	1.18	1.152
	11a 0	58.1	1.16	1.196
	11a 9	58.7	1.16	1.164
27. Juni	10a 27	56.0	1.19	0.953
	10a 33	56.5	1.18	0.958
	10a 49	57.9	1.16	0.965
	10a 55	58.4	1.16	0.958
	0p 26	60.5	1.13	0.963
	1p 6	58.3	1.16	0.912
	1p 16	57.5	1.17	0.853
	1p 40	55.3	1.20	0.854
	1p 48	54.4	1.21	0.884
	1p 59	53.2	1.23	0.884
28. Juni	9a 48	51.6	1.26	0.781
	9a 56	52.6	1.24	0.806
	10a 29	56.1	1.19	0.837
28. Juni	10a 39	57.1°	1.18	0.826
	10a 45	57.6	1.17	0.818
	11a 45	60.8	1.13	0.799
	11a 55	60.9	1.13	0.807
	11a 59	60.9	1.13	0.818
	0p 6	60.9	1.13	0.803
	1p 31	56.1	1.19	0.824
	1p 36	55.7	1.20	0.824
5. Juli	0p 2	60.4	1.14	0.950
	0p 29	59.9	1.14	0.934
	0p 36	59.6	1.14	0.927
	1p 27	56.0	1.19	0.973
	1p 29	55.8	1.19	0.950
	1p 39	54.9	1.20	1.022
	1p 45	54.2	1.20	0.989
6. Juli	5a 51	16.4	3.46	0.592
	6a 1	17.9	3.19	0.629
	6a 9	19.1	3.00	0.673
	6a 17	20.3	2.83	0.699
	6a 25	21.5	2.68	0.728
	6a 33	22.7	2.55	0.747
	6a 41	23.9	2.43	0.768
	6a 50	25.2	2.31	0.792
	7a 0	26.8	2.18	0.804
	7a 5	27.5	2.13	0.824
	7a 17	29.3	2.01	0.852
	9a 41	50.2	1.28	1.093
	10a 13	53.9	1.22	1.098
	10a 25	55.2	1.20	1.115
	10a 31	55.7	1.20	1.134
	10a 42	56.7	1.18	1.086
	11a 15	59.1	1.15	1.040
	1p 2	58.0	1.16	1.020
	1p 16	56.9	1.18	0.986
	1p 27	55.9	1.19	0.982
	5p 10	25.2	2.31	0.673
	5p 17	24.2	2.40	0.665
	5p 42	20.4	2.82	0.598
	5p 51	19.1	3.00	0.584
	5p 58	18.0	3.17	0.543
	6p 5	16.8	3.38	0.510
	6p 19	15.1	3.75	0.456
	6p 31	13.2	4.26	0.400
	6p 44	11.4	4.89	0.347
	6p 51	10.4	5.33	0.324
8. Juli	1p 7	57.4	1.17	0.723
11. Juli	11a 26	59.0	1.15	0.710
	11a 51	59.7	1.14	0.724
	0p 32	59.1	1.15	0.691
	0p 46	58.4	1.16	0.671
	0p 57	57.8	1.17	0.681
	1p 38	54.4	1.21	0.657
12. Juli	11a 14	58.3	1.16	0.929
	11a 20	58.6	1.16	0.916
	11a 33	59.2	1.15	0.875
	0p 34	58.9	1.15	0.972
29. Aug.	10a 17	42.2	1.47	0.543
	10a 26	43.0	1.45	0.601
	11a 19	46.2	1.37	0.717
	11a 33	46.7	1.36	0.697
	11a 46	46.9	1.35	0.626
	11a 51	47.0	1.35	0.743
	11a 56	47.0	1.35	0.759
	0p 8	47.0	1.35	0.784
	0p 14	46.9	1.35	0.715
	1p 27	43.5	1.43	0.691
	1p 31	43.2	1.44	0.665
30. Aug.	9a 25	36.6	1.65	0.862
	10a 14	41.7	1.48	0.913

1. Mit Ångströms Kompensationspyrheliometer.

Datum	Wahre Ortszeit der Beobachtung	Scheinbare Sonnenhöhe	Durchsetzte Luftmasse	Strahlungswert in Grammkalorien pro Minute
		°		
30. Aug.	10ᵃ 22	42.4	1.46	0.925
	10ᵃ 28	42.9	1.45	0.922
	10ᵃ 34	43.7	1.43	0.918
	11ᵃ 8	45.4	1.39	0.908
	11ᵃ 25	46.1	1.37	0.917
	0ᵖ 49	45.6	1.38	0.905
	1ᵖ 34	42.6	1.46	0.819
1. Sept.	9ᵃ 49	38.6	1.58	0.729
	10ᵃ 39	42.3	1.47	0.822
	11ᵃ 0	44.4	1.41	0.842
4. Sept.	9ᵃ 28	35.3	1.71	0.800
	9ᵃ 33	35.9	1.68	0.810
12. Sept.	10ᵃ 6	36.5	1.66	0.611
	10ᵃ 14	37.2	1.63	0.582
	10ᵃ 18	37.5	1.62	0.576
	10ᵃ 44	39.4	1.55	0.562
	10ᵃ 48	39.7	1.54	0.582
	11ᵃ 24	41.2	1.50	0.580
13. Sept.	9ᵃ 13	30.5	1.94	0.747
	9ᵃ 20	31.3	1.90	0.758
	9ᵃ 26	32.0	1.86	0.789
	9ᵃ 37	33.2	1.80	0.796
	9ᵃ 41	33.6	1.78	0.792
	9ᵃ 55	35.1	1.72	0.808
	10ᵃ 19	37.2	1.63	0.798
	11ᵃ 22	40.9	1.51	0.893
	11ᵃ 41	41.4	1.49	0.901
	11ᵃ 43	41.4	1.49	0.902
	11ᵃ 47	41.4	1.49	0.896
	11ᵃ 57	41.5	1.49	0.903
	0ᵖ 4	41.5	1.49	0.891
	0ᵖ 32	41.0	1.50	0.895
	0ᵖ 35	40.9	1.51	0.886
	0ᵖ 40	40.7	1.51	0.877
	0ᵖ 44	40.6	1.52	0.892
19. Sept.	9ᵃ 40	31.4	1.89	0.768
	10ᵃ 0	33.4	1.79	0.786
	10ᵃ 4	33.7	1.78	0.783
	10ᵃ 40	36.5	1.66	0.783
20. Sept.	9ᵃ 28	29.8	1.98	0.521
	9ᵃ 32	30.3	1.95	0.520
	9ᵃ 50	32.1	1.86	0.566
	9ᵃ 56	32.7	1.82	0.584
	10ᵃ 0	33.0	1.81	0.584
	10ᵃ 8	33.7	1.78	0.591
	10ᵃ 12	34.1	1.76	0.592
	10ᵃ 50	36.8	1.65	0.689
	10ᵃ 53	36.9	1.64	0.653
	0ᵖ 27	38.4	1.59	0.623
	0ᵖ 58	37.3	1.63	0.623
21. Sept.	9ᵃ 24	29.0	2.03	0.649
	9ᵃ 28	29.4	2.01	0.698
28. Sept.	9ᵃ 41	28.4	2.07	0.661
	9ᵃ 45	28.8	2.04	0.680
	9ᵃ 55	29.7	1.99	0.707
	9ᵃ 59	30.1	1.96	0.723
	10ᵃ 20	31.8	1.87	0.765
	10ᵃ 24	32.1	1.86	0.774
	10ᵃ 40	33.2	1.80	0.795
	10ᵃ 44	33.4	1.79	0.796
	11ᵃ 6	34.4	1.74	0.835
	11ᵃ 10	34.6	1.74	0.842
30. Sept.	9ᵃ 35	27.1	2.16	0.610
	9ᵃ 39	27.5	2.13	0.622
	9ᵃ 49	28.4	2.07	0.640
	10ᵃ 3	29.7	1.99	0.667
	10ᵃ 7	30.0	1.97	0.675
	11ᵃ 8	33.8	1.77	0.755

Datum	Wahre Ortszeit der Beobachtung	Scheinbare Sonnenhöhe	Durchsetzte Luftmasse	Strahlungswert in Grammkalorien pro Minute
		°		
30. Sept.	11ᵃ 54	34.9	1.72	0.729
	11ᵃ 58	34.9	1.72	0.722
	0ᵖ 18	34.8	1.73	0.691
	0ᵖ 39	34.2	1.75	0.692
	0ᵖ 43	34.1	1.76	0.690
	1ᵖ 7	33.0	1.81	0.719
	1ᵖ 11	32.8	1.82	0.718
	1ᵖ 34	31.4	1.89	0.672
	1ᵖ 45	30.6	1.94	0.635
	1ᵖ 58	29.5	2.00	0.629
	2ᵖ 2	29.1	2.02	0.648
4. Okt.	9ᵃ 40	26.0	2.25	0.770
	9ᵃ 44	26.4	2.22	0.785
	10ᵃ 0	27.9	2.10	0.775
	10ᵃ 4	28.2	2.08	0.778
	10ᵃ 52	31.5	1.89	0.837
	10ᵃ 58	31.8	1.87	0.851
	11ᵃ 3	32.0	1.86	0.761
	11ᵃ 8	32.3	1.84	0.870
	11ᵃ 13	32.4	1.84	0.871
	11ᵃ 23	32.8	1.82	0.895
	11ᵃ 32	33.0	1.81	0.883
	11ᵃ 37	33.1	1.80	0.905
	11ᵃ 50	33.3	1.80	0.901
	0ᵖ 4	33.3	1.80	0.912
	0ᵖ 12	33.2	1.80	0.922
	0ᵖ 16	33.2	1.80	0.908
	0ᵖ 49	32.4	1.84	0.802
7. Okt.	10ᵃ 32	29.3	2.01	0.771
	10ᵃ 39	29.7	2.00	0.747
	10ᵃ 44	30.0	1.97	0.743
	10ᵃ 48	30.2	1.96	0.743
	10ᵃ 55	30.6	1.94	0.751
	10ᵃ 59	30.8	1.92	0.750
	11ᵃ 25	31.7	1.88	0.790
	11ᵃ 29	31.8	1.87	0.794
	0ᵖ 13	32.0	1.86	0.842
	0ᵖ 17	32.0	1.86	0.839
	0ᵖ 39	31.5	1.89	0.805
	0ᵖ 43	31.4	1.89	0.798
	1ᵖ 17	29.8	1.98	0.775
	1ᵖ 21	29.6	2.00	0.790
	1ᵖ 57	27.0	2.17	0.798
	2ᵖ 1	26.6	2.20	0.790
	2ᵖ 3	26.5	2.21	0.776
8. Okt.	9ᵃ 59	26.4	2.22	0.870
	10ᵃ 7	27.1	2.16	0.884
	10ᵃ 23	28.3	2.08	0.904
	10ᵃ 41	29.5	2.00	0.930
	10ᵃ 45	29.7	1.99	0.934
	11ᵃ 4	30.6	1.94	0.949
	11ᵃ 8	30.8	1.92	0.951
	11ᵃ 33	31.5	1.89	0.967
	11ᵃ 37	31.6	1.88	0.952
	11ᵃ 59	31.8	1.87	0.910
	0ᵖ 9	31.8	1.87	0.894
	0ᵖ 13	31.8	1.87	0.910
	2ᵖ 50	21.5	2.68	0.599
	2ᵖ 54	21.0	2.74	0.611
14. Okt.	9ᵃ 39	22.4	2.58	0.741
	9ᵃ 45	23.0	2.52	0.767
	9ᵃ 50	23.5	2.47	0.776
	10ᵃ 21	25.9	2.26	0.824
	10ᵃ 29	26.5	2.21	0.843
	10ᵃ 35	26.8	2.18	0.848
	10ᵃ 42	27.3	2.15	0.870
	10ᵃ 46	27.5	2.13	0.875
	10ᵃ 55	27.9	2.10	0.889
	11ᵃ 5	28.4	2.07	0.906
	11ᵃ 9	28.5	2.06	0.902

1. Mit Ångströms Kompensationspyrheliometer. — 2. Mit Michelsons Bimetallaktinometer.

Datum	Wahre Ortszeit der Beobachtung	Scheinbare Sonnenhöhe	Durchsetzte Luftmasse	Strahlungswert in Grammkalorien pro Minute
14. Okt.	11ᵃ 15	28.8°	2.04	0.931
	0ᵖ 1	29.5	2.00	0.930
	0ᵖ 5	29.5	2.00	0.931
	0ᵖ 12	29.5	2.00	0.933
	0ᵖ 42	28.9	2.04	0.897
	0ᵖ 46	28.7	2.05	0.884
	1ᵖ 18	27.3	2.15	0.865
	1ᵖ 49	25.2	2.31	0.844
	1ᵖ 54	24.8	2.34	0.826
1. Nov.	1ᵖ 36	20.1	2.86	0.836
	1ᵖ 42	19.7	2.91	0.845
	2ᵖ 1	18.3	3.12	0.802
	2ᵖ 6	17.9	3.19	0.804
	2ᵖ 11	17.4	3.27	0.789
29. Nov.	11ᵃ 55	16.1	3.52	0.629
	1ᵖ 51	12.2	4.59	0.490
	2ᵖ 30	9.2	5.98	0.280
3. Dez.	9ᵃ 31	8.7	6.29	0.266
	9ᵃ 40	9.5	5.80	0.305
5. Dez.	1ᵖ 2	14.0	4.03	0.726
	1ᵖ 9	13.7	4.11	0.718
	1ᵖ 15	13.4	4.20	0.709
	1ᵖ 28	12.8	4.38	0.664
6. Dez.	0ᵖ 46	14.4	3.92	0.610
	1ᵖ 2	13.9	4.05	0.573
	1ᵖ 9	13.6	4.14	0.557
	1ᵖ 42	11.9	4.70	0.429
13. Dez.	10ᵃ 45	12.8	4.38	0.464
	11ᵃ 15	13.8	4.08	0.551
	0ᵖ 2	14.5	3.89	0.588
	0ᵖ 25	14.3	3.94	0.550
	0ᵖ 33	14.1	4.00	0.540
	0ᵖ 51	13.6	4.14	0.490
21. Dez.	9ᵃ 26	7.1	7.57	0.516
	9ᵃ 33	7.7	7.04	0.548
	9ᵃ 46	8.7	6.29	0.598
	9ᵃ 55	9.4	5.86	0.661
	10ᵃ 6	10.2	5.43	0.678
	10ᵃ 22	11.2	4.97	0.694
	11ᵃ 14	13.5	4.17	0.818
	11ᵃ 34	13.9	4.05	0.766
	11ᵃ 45	14.1	4.00	0.753

2. Mit Michelsons Bimetallaktinometer.

Datum	Wahre Ortszeit der Beobachtung	Scheinbare Sonnenhöhe	Durchsetzte Luftmasse	Strahlungswert in Grammkalorien pro Minute
1911				
1. Aug.	0ᵖ 39	55.1°	1.20	1.346
	6ᵖ 19	11.5	4.85	0.579
	6ᵖ 24	10.8	5.15	0.531
	6ᵖ 29	10.1	5.48	0.483
	6ᵖ 34	9.3	5.92	0.425
	6ᵖ 51	6.9	7.77	0.289
2. Aug.	10ᵃ 50	53.0	1.24	1.190
	11ᵃ 5	54.0	1.22	1.169
	11ᵃ 40	55.4	1.20	1.156
3. Aug.	9ᵃ 45	46.5	1.36	1.067
	9ᵃ 55	47.6	1.34	1.069
	10ᵃ 7	49.0	1.30	1.027
8. Aug.	9ᵃ 22	42.5	1.46	1.188
	9ᵃ 25	42.9	1.45	1.203
	9ᵃ 35	44.1	1.42	1.217
	9ᵃ 45	45.3	1.39	1.245
	9ᵃ 55	46.4	1.36	1.237
	10ᵃ 5	47.5	1.34	1.235
	10ᵃ 12	48.2	1.32	1.234
	10ᵃ 19	48.9	1.31	1.210
	10ᵃ 25	49.5	1.30	1.228
8. Aug.	10ᵃ 35	50.3°	1.28	1.244
	10ᵃ 45	51.1	1.27	1.257
	10ᵃ 55	51.8	1.26	1.263
	11ᵃ 9	52.6	1.24	1.273
	11ᵃ 24	53.3	1.23	1.315
	11ᵃ 39	53.8	1.22	1.309
	11ᵃ 54	54.0	1.22	1.283
	0ᵖ 9	54.0	1.22	1.277
	0ᵖ 24	53.7	1.22	1.273
	4ᵖ 59	22.3	2.59	0.884
	5ᵖ 14	20.0	2.87	0.821
	5ᵖ 29	17.7	3.22	0.774
	5ᵖ 44	15.4	3.68	0.740
	5ᵖ 59	13.2	4.26	0.672
	6ᵖ 14	10.9	5.10	0.582
	6ᵖ 29	8.7	6.29	0.491
	6ᵖ 39	7.2	7.48	0.427
	6ᵖ 49	5.8	9.05	0.356
	6ᵖ 54	5.1	10.09	0.309
	6ᵖ 59	4.3	11.59	0.267
	7ᵖ 4	3.6	13.29	0.217
	7ᵖ 9	2.9	15.49	0.153
10. Aug.	9ᵃ 52	45.6	1.38	1.171
	10ᵃ 50	51.0	1.27	1.140
	11ᵃ 5	51.9	1.25	1.186
	11ᵃ 16	52.5	1.24	1.200
	0ᵖ 0	53.4	1.23	1.177
	0ᵖ 20	53.2	1.23	1.208
11. Aug.	9ᵃ 17	41.2	1.50	0.974
	9ᵃ 41	44.1	1.42	0.965
4. Okt.	8ᵃ 54	21.4	2.70	0.978
	9ᵃ 0	22.0	2.62	0.993
	9ᵃ 52	27.5	2.13	1.101
	11ᵃ 25	33.1	1.80	1.191
	11ᵃ 50	33.6	1.78	1.202
16. Okt.	8ᵃ 31	14.6	3.87	1.099
	8ᵃ 40	15.7	3.61	1.143
	8ᵃ 50	16.9	3.37	1.161
	9ᵃ 7	18.8	3.04	1.216
	10ᵃ 7	24.5	2.37	1.318
	4ᵖ 5	9.9	3.58	0.943
	4ᵖ 6	9.8	5.63	0.934
	4ᵖ 47	4.0	12.27	0.518
	4ᵖ 48	3.9	12.51	0.506
	4ᵖ 52	3.3	14.16	0.449
	4ᵖ 53	3.2	14.47	0.433
	5ᵖ 11	0.5	—	0.130
	5ᵖ 12	0.4	—	0.109
17. Okt.	8ᵃ 18	12.7	4.42	1.000
	8ᵃ 23	13.3	4.24	1.011
	8ᵃ 32	14.4	3.92	1.039
	8ᵃ 40	15.4	3.68	1.028
	8ᵃ 55	17.2	3.31	1.109
19. Okt.	8ᵃ 42	15.0	3.77	0.700
	8ᵃ 51	16.1	3.52	0.729
	9ᵃ 3	17.4	3.25	0.762
20. Okt.	8ᵃ 42	14.6	3.86	0.633
1912				
5. Febr.	9ᵃ 9	12.0	4.68	0.750
13. März	8ᵃ 46	21.2	2.72	1.060
	9ᵃ 4	23.4	2.48	1.098
	9ᵃ 24	25.6	2.28	1.132
17. April	1ᵖ 19	45.2	1.39	1.059
	1ᵖ 21	45.0	1.40	1.050
	1ᵖ 23	44.9	1.40	1.056

2. Mit Michelsons Bimetallaktinometer.

Datum	Wahre Ortszeit der Beobachtung	Scheinbare Sonnenhöhe	Durchsetzte Luftmasse	Strahlungswert in Grammkalorien pro Minute
17. April	1p 27	44.5°	1.41	1.122
	1p 32	44.1	1.42	1.202
11. Mai	0p 3	55.5	1.20	1.352
	0p 10	55.5	1.20	1.355
14. Mai	10a 38	52.6	1.24	1.356
20. Mai	9a 52	49.1	1.31	1.013
1. Juni	9a 17	46.5	1.36	0.824
	0p 10	59.5	1.15	0.923
4. Juni	9a 14	46.5	1.36	1.303
	9a 20	47.4	1.34	1.296
	9a 29	48.5	1.32	1.279
	9a 40	49.9	1.29	1.286
	9a 49	51.0	1.27	1.294
	10a 30	55.4	1.20	1.292
	10a 49	57.1	1.18	1.279
6. Juni	9a 46	50.7	1.28	1.254
	9a 53	51.5	1.26	1.190
	10a 3	52.7	1.24	1.255
	10a 8	53.3	1.23	1.256
	10a 18	54.3	1.21	1.280
	10a 36	56.1	1.19	1.265
7. Juni	9a 21	47.6	1.34	1.162
	9a 31	48.9	1.31	1.164
	10a 4	52.9	1.24	1.147
	10a 12	53.8	1.22	1.138
	10a 18	54.4	1.21	1.126
	10a 31	55.7	1.20	1.191
	10a 42	56.7	1.18	1.148
20. Juni	0p 12	60.9	1.13	1.176
	0p 20	60.8	1.13	1.176
22. Juni	9a 4	45.9	1.37	1.109
	9a 12	47.0	1.35	1.134
	10a 8	54.1	1.22	1.241
	11a 0	58.9	1.15	1.246
	11a 24	60.3	1.14	1.179
	0p 44	59.9	1.14	1.194
	1p 26	56.7	1.18	1.208
	1p 58	53.4	1.23	1.165
27. Juni	9a 34	49.9	1.29	0.918
	9a 52	52.1	1.25	0.903
	10a 0	53.0	1.23	0.910
	10a 15	54.7	1.21	0.926
	10a 25	55.8	1.19	0.911
	10a 32	56.4	1.18	0.962
	10a 53	58.2	1.16	0.958
	11a 46	60.8	1.13	0.964
	0p 24	60.6	1.13	0.964
	0p 34	60.2	1.14	0.953
	1p 16	57.5	1.17	0.964
	1p 34	55.9	1.20	0.857
	1p 43	54.9	1.21	0.872
	1p 57	53.4	1.23	0.894
28. Juni	9a 5	46.0	1.37	0.790
	9a 17	47.6	1.34	0.792
	9a 25	48.7	1.31	0.792
	9a 37	50.3	1.28	0 763
29. Juni	9a 5	46.0	1.37	0.755
	9a 16	47.5	1.34	0.773
	9a 32	49.6	1.30	0.780
	9a 39	50.5	1.28	0.796
	9a 52	52.1	1.25	0.792
	10a 4	53.5	1.23	0.814
	10a 37	56.9	1.18	0.858
	10a 53	58.2	1.16	0.888
	11a 16	59.7	1.14	0.879
	11a 46	60.8	1.13	0.859
	11a 56	60.9	1.13	0.832
5. Juli	9a 27	48.4°	1.32	0.678
	9a 45	50.8	1.27	0.751
	10a 3	52.9	1.24	0.758
	11a 38	60.1	1.14	0.947
	11a 53	60.4	1.14	0.967
6. Juli	4a 44	7.0	7.67	0.204
	4a 45	7.2	7.48	0.216
	4a 47	7.5	7.21	0.238
	4a 48	7.6	7.12	0.255
	4a 52	8.1	6.72	0.312
	4a 54	8.4	6.50	0.342
	4a 57	8.8	6.23	0.359
	4a 59	9.1	6.04	0.368
	5a 2	9.5	5.80	0.380
	5a 5	9.9	5.58	0.398
	5a 9	10.5	5.29	0.416
	5a 13	11.1	5.02	0.449
	5a 16	11.5	4.85	0.472
	5a 23	12.5	4.48	0.499
	5a 31	13.6	4.14	0.534
	4p 16	33.5	1.79	0.808
	4p 25	32.1	1.86	0.797
	4p 47	28.7	2.05	0.733
	7p 13	7.5	7.21	0.244
	7p 22	6.3	8.42	0.205
	7p 26	5.8	9.05	0.184
	7p 38	4.2	11.81	0.110
	7p 41	3.8	12.76	0.086
10. Juli	11a 45	59.8	1.14	0.662
	0p 18	59.7	1.14	0.698
	0p 24	59.6	1.14	0.680
11. Juli	9a 7	45.3	1.39	0.600
	9a 23	47.5	1.34	0.624
	9a 44	50.2	1.28	0.658
	10a 3	52.4	1.25	0.678
	10a 9	53.1	1.23	0.656
	10a 17	54.0	1.22	0.639
	11a 11	58.3	1.16	0.687
12. Juli	8a 49	42.6	1.46	0.801
	9a 1	44.3	1.41	0.833
	9a 10	45.6	1.39	0.833
	9a 33	48.6	1.32	0.900
	9a 52	51.0	1.27	0.931
	10a 16	53.6	1.23	0.922
	1p 23	55.7	1.19	0.926
	1p 33	54.8	1.21	0.885
13. Juli	8a 22	38.6	1.58	0.778
	8a 28	39.5	1.55	0.783
	8a 37	40.9	1.50	0.795
	8a 52	43.0	1.45	0.817
	9a 18	46.5	1.36	0.846
	9a 30	48.3	1.33	0.844
	9a 48	50.3	1.28	0.896
	10a 10	52.9	1.24	0.912
	10a 33	55.2	1.20	0.903
	10a 48	56.5	1.18	0.867
	0p 14	59.4	1.15	0.912
15. Juli	9a 14	45.8	1.38	0.668
	9a 26	47.4	1.34	0.615
	9a 44	49.6	1.30	0.549
	10a 0	51.5	1.26	0.573
	11a 21	58.3	1.16	0.817
	11a 29	58.6	1.16	0.867
	11a 54	59.2	1.15	0.817
	0p 15	59.1	1.15	0.813
	0p 38	58.3	1.16	0.811
	1p 4	56.8	1.18	0.810
16. Juli	9a 28	47.4	1.34	0.587
	11a 32	58.6	1.16	0.784

2. Mit Michelsons Bimetallaktinometer.

Datum	Wahre Ortszeit der Beobachtung	Scheinbare Sonnenhöhe	Durchsetzte Luftmasse	Strahlungswert in Grammkalorien pro Minute
		°		
16. Juli	11ª 42	58.8	1.15	0.776
	0ᵖ 9	59.0	1.15	0.737
	1ᵖ 6	56.5	1.18	0.787
22. Juli	10ª 41	54.5	1.21	0.805
	10ª 54	55.5	1.20	0.799
25. Juli	9ª 21	45.2	1.39	0.698
	9ᵖ 46	48.2	1.32	0.719
	1ᵖ 2	55.1	1.20	0.900
26. Juli	9ª 30	46.1	1.37	0.767
	9ª 50	48.5	1.32	0.811
	10ª 0	49.7	1.29	0.692
	10ª 33	53.0	1.24	0.814
	10ª 48	54.2	1.22	0.827
	1ᵖ 33	52.4	1.25	0.820
30. Juli	9ª 27	44.9	1.40	0.734
	9ª 39	46.4	1.36	0.743
	9ª 54	48.2	1.32	0.758
	10ª 15	50.4	1.28	0.812
	10ª 23	51.2	1.27	0.757
	0ᵖ 2	56.2	1.19	1.028
	0ᵖ 34	55.6	1.20	0.941
31. Juli	9ª 16	43.3	1.44	0.692
	9ª 38	46.1	1.37	0.692
	9ª 48	47.3	1.34	0.704
	9ª 56	48.2	1.32	0.713
	10ª 27	51.4	1.26	0.737
19. Sept.	8ª 19	21.7	2.66	0.594
	8ª 43	24.8	2.34	0.658
	9ª 11	28.2	2.08	0.704
20. Sept.	8ª 17	21.2	2.72	0.388
	8ª 30	22.9	2.52	0.442
	8ª 41	24.3	2.39	0.499
	8ª 53	25.8	2.26	0.510
21. Sept.	7ª 52	17.3	3.29	0.561
	8ª 16	20.6	2.79	0.680
	8ª 37	23.4	2.48	0.758
	8ª 58	26.0	2.25	0.796
	9ª 58	32.5	1.83	0.706
	10ª 4	33.0	1.81	0.688
	0ᵖ 40	37.7	1.61	0.754
1. Okt.	9ª 49	28.0	2.10	0.772
	10ª 8	29.7	1.99	0.828
4. Okt.	9ª 20	24.6	2.36	0.732
	9ª 30	25.6	2.28	0.745
5. Okt.	8ª 30	17.9	3.19	0.559
	8ª 40	19.1	3.00	0.602
7. Okt.	9ª 35	24.5	2.37	0.692
	9ª 43	25.3	2.30	0.727
	9ª 47	25.7	2.27	0.738
	10ª 25	28.8	2.04	0.751
8. Okt.	9ª 22	22.9	2.52	0.799
	9ª 30	23.7	2.45	0.805
	9ª 35	24.2	2.40	0.814
	9ª 48	25.4	2.29	0.830
	2ᵖ 39	22.7	2.55	0.623
	3ᵖ 16	18.5	3.09	0.554
	3ᵖ 27	17.1	3.33	0.506
	3ᵖ 34	16.3	3.48	0.475
	3ᵖ 46	14.8	3.82	0.452
	3ᵖ 56	13.5	4.17	0.386
	4ᵖ 5	12.2	4.59	0.335
	4ᵖ 12	11.2	4.97	0.298
	4ᵖ 19	10.0	5.50	0.273
12. Okt.	11ª 38	30.1	1.96	0.661
	0ᵖ 36	29.7	1.99	0.691
12. Okt.	1ᵖ 31	27.2	2.15	0.672
	1ᵖ 43	26.3	2.22	0.693
	1ᵖ 48	25.9	2.26	0.742
	2ᵖ 1	24.9	2.34	0.775
	4ᵖ 45	5.4	9.62	0.187
	4ᵖ 51	4.4	11.81	0.156
	4ᵖ 54	4.0	12.27	0.126
14. Okt.	9ª 19	20.5	2.80	0.673
	9ª 28	21.4	2.69	0.700
15. Okt.	9ª 27	21.0	2.74	0.631
	9ª 46	22.8	2.54	0.676
	10ª 9	24.8	2.34	0.784
	10ª 37	26.6	2.20	0.836
	0ᵖ 24	28.9	2.04	0.609
1. Nov.	9ª 20	14.8	3.82	0.604
	9ª 25	15.3	3.70	0.625
	9ª 42	16.8	3.38	0.663
	9ª 51	17.5	3.26	0.695
	9ª 58	18.2	3.14	0.723
	10ª 19	19.8	2.90	0.815
	0ᵖ 26	23.0	2.52	0.879
	1ᵖ 31	20.4	2.82	0.842
	1ᵖ 57	18.5	3.09	0.825
	2ᵖ 11	17.4	3.27	0.794
	2ᵖ 22	16.5	3.44	0.764
	2ᵖ 33	15.5	3.65	0.724
	2ᵖ 42	14.6	3.87	0.673
6. Nov.	11ª 43	15.0	3.77	0.852
	11ª 58	15.1	3.75	0.863
	0ᵖ 59	14.0	4.03	0.854
14. Nov.	9ª 33	12.5	4.48	0.374
	9ª 39	13.1	4.29	0.391
	10ª 6	15.2	3.72	0.478
	10ª 35	17.0	3.35	0.525
	10ª 44	17.5	3.26	0.536
	11ª 11	18.6	3.07	0.552
	11ª 46	19.2	2.98	0.565
3. Dez.	9ª 17	7.5	7.21	0.205
	9ª 22	8.0	6.80	0.235
	9ª 36	9.1	6.04	0.294
13. Dez.	9ª 13	6.2	8.54	0.167
	9ª 20	6.8	7.87	0.214
	9ª 36	8.2	6.65	0.248
	9ª 53	9.6	5.74	0.341
	10ª 8	10.7	5.19	0.377
	10ª 32	12.1	4.62	0.424
	11ª 13	13.7	4.11	0.565
	11ª 39	14.3	3.94	0.616
	11ª 49	14.4	3.92	0.623
	11ª 56	14.5	3.89	0.603
17. Dez.	11ª 11	13.5	4.17	0.397
	11ª 16	13.7	4.11	0.421
	11ª 29	13.9	4.05	0.446
	11ª 33	14.0	4.03	0.459
	11ª 36	14.1	4.00	0.470
19. Dez.	0ᵖ 29	14.0	4.03	0.377
	0ᵖ 54	13.5	4.17	0.287
	1ᵖ 13	12.5	4.48	0.194
	1ᵖ 35	11.4	4.89	0.188
23. Dez.	1ᵖ 16	12.4	4.52	0.605
	1ᵖ 26	11.9	4.70	0.596
	1ᵖ 32	11.7	4.77	0.593
	1ᵖ 50	10.5	5.29	0.537
	2ᵖ 1	9.7	5.69	0.514
	2ᵖ 14	8.7	6.29	0.452

Bemerkungen

zu den einzelnen Messungstagen.

Datum	Luftdruck	Abs. Feucht.	Wind-Richtung	Wind-Geschw.	Wetterlage der Station	Lage zum Kern	Himmelsschau
1909							
Sept. 22	758→	11.6	E	4	Hoch	SW	Morgens ≡, dann wolkenlos, Himmel milchig-weiß, mittags cu-Entwicklung und Wasserdunstwolken.
» 24	760→	11.7	ESE	2	Hoch	S	Himmel milchig-weiß, ci im SW, morgens ≡, nachmittags zieht ci- und a-cu-Schicht von SE herauf.
Okt. 2	751↑	11.2	ESE	2	Teiltief	C	Sehr dunstig, Himmel milchig-weiß und teilweise mit ci-st-Schleier bedeckt, auch vor ⊙.
» 7	759↓	8.4	ESE	4	Hoch	SW	Morgens ≡, am Horizont Dunst, sonst klar; mittags starke cu-Entwicklung und Wasserdunstwolken.
» 14	755→	11.5	SSW	4	Neutral (Sattel)	—	Bew. 3⁰, ci, ci-st, ⊙ frei, nachmittags zieht a-cu-Decke von W herauf.
» 15	758↓	7.9	SW	5	Tief	SE	Abends vorher Gewitter, sehr klar; im Westen ci-Bank, die zum Zenit zieht, mittags mäßige cu-Entwicklung, nachmittags bedeckt sich der Himmel völlig.
» 18	753↑	10.6	S	3	Hoch	NW	Dunst am Horizont, sonst klar, a-cu im NW 1⁰, nachmittags verschwindet ⊙ hinter a-st-Schleier.
» 19	755↑	10.0	WSW	2	Hoch	NW	Dunst am Horizont, sonst klar, a-st und a-cu im SW, Strahlung sehr schwankend; Polarbanden entstehen spontan und vergehen ebenso schnell.
» 21	756→	9.9	SSE	4	Hoch	SW	Vereinzelte ci, sonst sehr klar.
» 22	761↑	7.1	W	7	Neutral (Sattel)	—	Fr-cu-Fetzen, die sich auflösen, Wasserdunst, Strahlung schwankend, stürmisches Rückseitenwetter, teilweise sehr klar.
Nov. 4	756↑	5.5	NW	5	Hoch	E	Vereinzelte fr-cu.
» 19	757↓	3.6	W	6	Hoch (Keil)	SE	Morgens bewölkt, mittags völlig klar, nur ci-Bank im N, die nach mittags heraufzieht.
» 23	756↑	3.3	WNW	5	Hoch	SE	Bew. 1⁰, a-cu am Horizont, sonst klar, mittags schwache cu-Entwicklung.
Dez. 4	737→	4.9	SSW	7	Tief	SE	Schwach dunstig, sonst wolkenlos, Strahlung schwankt mittags infolge von Wasserdunstwolken.
» 16	763↓	3.0	ESE	5	Hoch	NW	Nebelartige Dunstwolken am Horizont, sonst klar.
» 17	752↓	3.0	SSW	2	Hoch	NW	Himmel wolkenlos, aber milchig-weiß.
» 21	749↑	3.1	WSW	7	Hoch	N	Strahlung schwankend, Wasserdunstwolken, sonst wolkenlos.
1910							
Jan. 28	749→	2.3	SSE	3	Tief	E	Bew. 1⁰, ci-Polarbande.
» 31	754↑	3.5	SW	7	Tief	S	Zunächst Bewölkung 0, später a-cu im NW; Himmel bezieht sich nach und nach.
März 5	762→	4.7	E	6	Hoch	SW	Wolkenlos und klar.
» 6	762→	5.1	E	5	Hoch	SW	Wolkenlos und klar, nachmittags schwache Wasserdunstwolken.
» 16	757→	4.8	WNW	4	Teiltief	W	Himmel milchig-weiß, dunstig, mittags starke cu-Entwicklung.
» 18	746↓	3.9	W	6	Tief	S	Zwischen cu-Lücken gemessen, Wasserdunstwolken, später a-cu-Decke vor ⊙.
» 21	757↓	4.2	WNW	3	Hoch (Keil)	E	Am Horizont dunstig, sonst klar, mittags schwache cu-Entwicklung, Wasserdunstwolken.

Datum		Luftdruck	Abs. Feucht.	Wind-Richtung	Wind-Geschw.	Wetterlage der Station	Lage zum Kern	Himmelsschau
April	1	765→	3.4	NNE	3	Hoch	SE	Bei Beginn völlig wolkenlos, nachmittags schwache cu-Entwicklung, deutlich erkennbare Wasserdunstwolken.
»	2	761↓	4.0	E	9	Hoch	W	Wolkenlos, mittags nur ganz schwache cu-Entwicklung.
»	11	757↓	3.4	W	4	Hoch	Centrum	Sehr klar, mittags starke cu-Entwicklung und vereinzelte Cirren.
»	12	750↓	3.4	SE	5	Tief	E	Bis $9^3/_4$ ⊙ frei, dann Sonne hinter dichter werdendem ci-st- und a-st-Schleier, später um $11^1/_2$ ⊙ wieder frei.
»	13	743↓	7.2	S	7	Tief	E	Depression im Anzug, ci-Bank im W, erste Messung ⊙ noch frei, später ⊙ hinter ci-st und a-st.
»	16	745↑	7.9	W	5	Teiltief	S	Bew. 2^0, ⊙ zwischen cu- und a-cu-Lücken, starke Wasserdunstwolken.
»	18	758↑	5.6	WNW	7	Hoch (Sattel)	—	Bew. 6^1, cu, fr-cu, Himmel milchig-weiß.
Mai	21	754↑	6.8	ENE	8	Hoch	S	Wolkenlos und klar, am Abend ci-Bank im NW.
»	23	757↓	5.7	ENE	5	Hoch (Sattel)	—	Wolkenlos, aber starke Wasserdunstwolken.
»	24	755↓	4.7	ENE	3	Hoch (Sattel)	—	Wolkenlos und völlig klar, bis auf feine ci-Polarbande, Strahlungsschwächung beim Vorüberzug etwa 3 %.
»	26	757↓	6.2	ENE-NW umlaufd.	3	Hoch (Keil)	E	Wolkenlos, aber dunstig, Wasserdunstwolken.
»	27	750→	6.3	W	7	Tief	S	Bei Beginn der Messung wolkenlos, nachher kommt eine ci-Bank von N herauf, später ⊙ Strahlung durch ci-Schleier gemessen; Sonnenring.
Juni	3	752→	11.9	W	4	Neutral	—	Himmel weiß-grau, später starke cu-Entwicklung und ⊲, Dunstwolken.
»	4	748↓	10.3	SE	4	Neutral	—	Zunächst wolkenlos, später cu-castell., Gewitter, Wasserdunstwolken.
»	6	750↑	10.0	ENE	9	Tief	NE	Bew. 0, Himmel weißlich, schwache cu-Entwicklung und Wasserdunstwolken.
»	7	756→	12.8	NE	5	Teiltief	N	Himmel weißlich, mittags starke cu-Entwicklung, letzte Messung durch fr-cu.
»	10	750↓	12.2	ESE	6	Tief	NE	Zunächst Bew. 0, später mäßige cu-Entwicklung, schwache Wasserdunstwolken.
»	11	748→	11.4	ESE	7	Tief	NE	Zunächst wolkenlos, später mäßige cu-Entwicklung, nur ganz schwache Wasserdunstwolken erkennbar.
»	21	758↓	5.4	SE	4	Hoch	Centrum	Ziemlich klar, später zieht ci-st herauf, der dichter wird, bei den letzten Messungen ⊙ hinter ci-st.
Sept.	12	756→	9.2	W	2	Teiltief	S (Rand eines Hochsattels)	Vor der Messung fr-st-Fetzen am Himmel, während der Messungen ⊙ frei, nach der Messung zieht a-cu-Decke herauf.
»	14	756↑	9.5	ESE	6	Teiltief	NE (Rand eines Hochsattels)	Himmel wolkenlos, aber milchig-weiß.
»	15	758↑	7.7	E	5	Teiltief	N (Rand eines Hochsattels)	Himmel milchig-weiß, sonst wolkenlos; besonders nachmittags stark dunstig, Intensität schwankt stark.
»	16	761→	8.1	NW	2	Hoch (Sattel)	—	Etwas dunstig, mittags schwache cu-Entwicklung, Wasserdunstwolken.
»	26	764↓	6.1	SE	5	Hoch	W	Sehr klar; am Horizont ci, die zum Zenit wandern.
»	27	759→	8.2	SW	3	Teiltief	SE	Himmel wolkenlos, aber milchig-weiß, starke Wasserdunstwolken nach 9^a, später zieht a-cu-Decke herauf.
»	29	757↓	8.8	W	6	Hoch	NW	Himmel milchig-weiß, am Horizont cirrös, starke Wasserdunstwolken.
Okt.	8	754↓	9.5	ESE	5	Teiltief	E	Im SE etwas cirrös, sonst wolkenlos, Wasserdunstwolken, ci mehren sich bis Bewölkung 2^0.
»	14	771→	4.5	NE	4	Hoch	SE	Wolkenlos bis auf ganz schwache cu-Entwicklung mittags; sehr deutlich sichtbare Wasserdunstwolken.
»	15	770↓	5.3	E	4	Hoch	SE	Leichter ci-Schleier; ⊙ frei.
»	17	761↓	7.5	ESE	5	Hoch	SW	Wolkenlos.
»	25	760↑	5.6	E	6	Hoch	SW	ci und a-cu am Horizont, weißlicher Himmel und Wasserdunstwolken.
Nov.	17	749→	3.9	SW	7	Tief	S	Zu Beginn der Messung fast wolkenlos, später fr-cu-Fetzen, dann a-cu-Decke von SW; Intensität sehr wechselnd.
»	24	760→	4.2	WNW	4	Hoch (Keil)	S	Morgens st-Decke, dann wolkenlos; Himmel weißlich.
»	26	754↑	3.3	ENE	5	Tief	N	Bew. 1^0, a-cu, starke Wasserdunstwolken Himmel weißlich.

Datum		Luftdruck	Abs. Feucht.	Wind-Richtung	Wind-Geschw.	Wetterlage der Station	Lage zum Kern	Himmelsschau
Dez.	6	747 ↓	5.2	ESE	5	Teiltief	E	ci am Horizont; Himmel blau-weiß.
»	10	744 →	6.0	SSE	3	Neutral	—	ci und ci-st am Himmel; ⊙ frei.
»	12	749 ↑	6.8.	SW	4	Teiltief	S	⊙ zunächst frei, später hinter ci-st und a-st.
»	13	752 →	5.8	SSW	6	Tief	SW	Vereinzelte ci und a-cu, sonst klar, Himmel weißlich; Intensität schwankt etwas, ⊙ frei.
1911								
Jan.	23	764 ↓	2.6	NNW	2	Hoch	SE	Bew. 1^0, ci, starke Wasserdunstwolken, Reste von fr-cu-Fetzen aus dem Nuthetal.
Febr.	6	766 ↑	3.2	NNE	4	Hoch (Keil)	SW	Zunächst wolkenlos, mittags starke cu-Entwicklung, Wasserdunstwolken; Intensität sehr wechselnd.
»	11	757 →	2.9	W	2	Teiltief	E	Wolkenlos bis auf ci-Bank im SW, Dunst am Horizont.
»	27	752 ↑	3.9	NW	10	Tief	SW	Rückseitenwetter; wechselnde cu- und fr-cu-Bewölkung.
März	17	753 ↑	4.3	E	3	Tief	E	Zunächst wolkenlos, später ziemlich starke cu-Entwicklung.
»	20	759 ↓	3.1	SSE	5	Hoch	SW	Zunächst völlig klar und wolkenlos, mittags ganz schwache cu-Entwicklung.
»	22	755 →	5.5	S	3	Teiltief	E	Zunächst wolkenlos und stark dunstig, später a-cu von W und ci-Schleier, auch vor ⊙, bei Schlußmessungen ⊙ wieder frei.
»	29	753 →	7.9	E	5	Hoch (Sattel)	—	Himmel cirrös; ⊙ scheinbar frei, nach 10^a ci verschwunden.
»	31	748 ↑	7.4	WNW	7	Teiltief	S	Sehr dunstig; nach der Messung ziehen fr-cu-Fetzen vorüber, Himmel bedeckt sich bald ganz.
April	5	757 ↑	1.9	NW	3	Teiltief	W	Rückseitenwetter; klar und wechselnde cu-Bewölkung, mittags Wasserdunstwolken.
»	19	751 ↓	5.8	SE	5	Tief	E	Himmel bis 2 Uhr völlig klar und wolkenlos, dann heftige cu-Entwicklung, so daß Messungen unterbrochen werden mußten, nachmittags starke Wasserdunstwolken und a-cu, von $5^1/_2{}^p$ ab ⊙ wieder frei.
»	20	754 ↑	7.2	SSE	5	Teiltief	E	Himmel weißlich; ⊙ frei, Polarbanden, a-cu, Bew. 3^0; Intensität wechselnd; a-cu entstehen und vergehen schnell.
»	21	768 →	6.0	WNW	4	Hoch (Keil)	NE	Himmel milchig-weiß, ci-st am Horizont; ⊙ frei,
Mai	2	758 →	5.0	W	4	Hoch (Sattel)	—	Rückseitenwetter und Übergang zu neuer Depression, wechselnde cu-, fr-cu- und a-st-Bewölkung.
»	3	756 ↓	5.1	S	5	Hoch (Sattel)	—	Zunächst fast wolkenlos, ci im NE, später cu-Entwicklung und Wasserdunstwolken, a-st und a-cu; Polarbanden wandern wellenweise über den Himmel; abends Himmel cirrös und milchig-weiß.
»	4	752 ↓	6 9	NE	3	Teiltief	NE	Zunächst wolkenlos, nach 10^a beginnt starke cu- und cu-ni-Entwicklung; Wasserdunstwolken.
»	9	756 →	11.1	ESE	5	Hoch	SW	Zunächst ganz wolkenlos, fr-cu-Fetzen aus dem Nuthetal; starke cu-Entwicklung und Wasserdunstwolken.
»	10	754 →	9.1	E	6	Hoch	SW	Zunächst fast wolkenlos, im S a-cu und ci, später starke Wolkenbildung, a-cu, a-st und cu, Wasserdunstwolken.
»	11	753 →	8.5	ESE	7	Hoch	SW	Bew. 5^0, a-cu und ci-st; ⊙ frei.
»	16	751 →	10.8	E	3	Neutral	—	Himmel weißlich, stark dunstig, vereinzelte ci-st; später starke cu-Entwicklung, Gewitterwolken, Wasserdunstwolken.
»	22	752 →	5.0	NNW	6	Tief	W	Mäßige cu-Bewölkung, schwache Wasserdunstwolken.
»	29	759 →	9.2	ESE	7	Hoch	S	Himmel milchig-weiß und cirrös, ⊙ scheinbar frei von ci, später zieht ci-Schleier vor ⊙ vorüber, mittags starke cu-Entwicklung.
»	30	757 →	11.5	E	8	Hoch	S	Zunächst wolkenlos, später mäßige cu-Entwicklung; Himmel weißlich.
»	31	756 →	10.5	ENE	7	Hoch	S	Zunächst wolkenlos, aber sehr dunstig, mäßige cu-Entwicklung.
Juni	1	761 ↑	7.3	ENE	6	Hoch	S	Wolkenlos, besonders nachmittags deutlich erkennbare Wasserdunstwolken.
»	2	764 ↓	6.1	E	5	Hoch	SW	Bis auf vereinzelte ci wolkenlos und ziemlich klar.
»	3	760 ↓	5.9	ESE	6	Hoch	SW	Vereinzelte ci, sonst wolkenlos und klar.
Juli	12	760 →	10.3	NW	5	Neutral	—	Zunächst wolkenlos, später mittelmäßige cu-Entwicklung, am Spätnachmittag cu-ni.
»	14	758 ↓	10.4	WNW	3	Hoch (Keil)	E	Himmel morgens cirrös, von Beginn der Messung an ⊙ frei, nur schwache cu-Entwicklung.

Datum		Luftdruck	Abs. Feucht.	Wind-Richtung	Wind-Geschw.	Wetterlage der Station	Lage zum Kern	Himmelsschau
Juli	20	761→	8.1	W	4	Hoch	E	Himmel cirrös; nach 10ᵃ wird die Cirrusbedeckung dichter und überzieht den ganzen Himmel, so daß Messung abgebrochen werden mußte.
»	22	762↓	11.0	NW	4	Hoch	SW	Polarbandenwellen, a-cu ziehen über den Himmel.
»	26	754→	13.4	NW	3	Teiltief	SE	Cu-Bewölkung, Wasserdunstwolken.
»	27	757↑	16.4	NW	4	Teiltief	S	Ci- und cu-Bewölkung; Messung wegen ci abgebrochen.
»	28	759→	10.8	NE	4	Teiltief	W	Wolkenlos, aber kräftige Wasserdunstwolkenentwicklung.
»	29	758→	11.9	E	5	Hoch	SW	Fast wolkenlos, nur ganz schwache cu-Entwicklung, aber starke Wasserdunstwolken.
»	31	758→	6.3	E	6	Hoch	S	Himmel wolkenlos.
Aug.	1	759→	7.3	E	5	Hoch	S	Zunächst wolkenlos, dann kräftige cu-Entwicklung.
»	2	759→	8.6	ESE	3	Neutral	—	Himmel cirrös, ⊙ frei.
»	27	758→	10.1	W	5	Hoch	N	Ci-Bewölkung, stark dunstig, ⊙ frei.
»	28	757↓	10.9	SW	6	Hoch	NW	Ci-Bewölkung, Strahlung teilweise durch ci gemessen.
»	31	761→	6.5	WNW	7	Hoch	NE	Mäßige cu-Bewölkung, sehr klar.
Sept.	7	758→	10.0	WNW	7	Hoch	NE	Fr-cu-Bewölkung; Wasserdunstwolken.
»	8	756↓	9.5	NW	3	Hoch	NE	Himmel cirrös; ⊙ frei.
»	11	761→	4.9	NNW bis ENE umlaufd.	2	Hoch	Centrum	Klar und wolkenlos, aber Wasserdunstwolken.
Okt.	4	754→	6.2	ESE	5	Tief	E	Mäßige ci- und a-cu-Bewölkung; ⊙ frei.
»	5	756→	7.3	ENE	4	Hoch (Sattel)	—	Zunächst ganz feiner cirröser Schleier vor ⊙, nachher ⊙ frei; klar, mäßige ci- und a-cu-Bewölkung.
»	16	767→	3.4	E	9	Hoch	SW	Sehr klar und fast wolkenlos; nur ci-st-B.
»	17	767↓	3.5	E	6	Hoch	SW	Himmel mit sehr feinem ci-Schleier überzogen, zeitweise auch vor ⊙; Intensität schwankend.
»	18	762↓	5.5	ENE	5	Hoch	W	Himmel stark cirrös; ci-st-Schleier vor ⊙.
»	19	758↓	5.8	SSE	2	Teiltief	E	Wolkenlos, aber stark dunstig; Himmel milchig-weiß, Wasserdunstwolken.
»	20	756↓	7.9	WSW	3	Tief	E	Vereinzelte ci, ⊙ frei, Himmel milchig-weiß; nach 11ᵃ zieht a-cu-Decke von W herauf (Depression).
Nov.	1	756↑	5.8	WSW	9	Tief	S	Himmel weißlich-blau, von 11ᵃ an starke cu- und fr-cu-Entwicklung, Wasserdunstwolken.
»	6	747↑	5.0	WSW	12	Tief	S	Zunächst wolkenlos und sehr klar, dann fr-cu; Intensität schwankt stark, Rückseitenwetter.
»	8	756↓	5.0	SSW	6	Tief	SE	Himmel weißlich, etwas cirrös; ⊙ frei.
»	21	739↑	4.4	W	9	Tief	S	Zwischen cu-Lücken gemessen.
Dez.	15	754→	5.4	SSE	3	Teiltief	SE	Vereinzelte ci im SW, die nachher vor ⊙ vorüberziehen; Messung abgebrochen.
»	18	761↓	4.6	SE	3	Tief	SE	Mäßige ci- und a-cu-Bewölkung; ⊙ frei.
1912								
Jan.	11	769→	2.1	SE	3	Hoch	SW	Morgens ≡, vereinzelt ci, sonst wolkenlos.
»	13	768→	1.4	E	8	Hoch	SW	Vereinzelte ci, ⊙ frei.
»	17	768↑	1.4	E	8	Hoch	SW	Völlig wolkenlos, Himmel aber milchig-weiß.
»	20	758↓	2.1	SE	4	Teiltief	E	Mäßige ci- und a-cu-Bewölkung, ⊙ frei.
»	30	760→	2.7	E	3	Hoch (Keil)	E	Zunächst wolkenlos, mittags mäßige cu-Bildung; Intensität schwankt sehr, Wasserdunstwolken.
Febr.	2	739→	1.3	NNE	3	Tief	S	Mäßige fr-cu- und ci-Bewölkung, Wasserdunstwolken.
»	3	742↑	1.2	NW	4	Tief	NW	Schwache cu- und fr-cu-Bewölkung.
»	5	745↓	1.1	E	6	Tief	E	Bis auf kleine ci-Bank im S wolkenlos.
»	8	745↓	4.8	ESE	5	Tief	E	Wolkenlos.
März	13	763↓	3.6	SE	3	Hoch (Keil)	S	Zunächst mäßige ci-Bewölkung, wegen Zunahme der ci Messung abgebrochen; ⊙ frei, Intensität schwankt, Wasserdunstwolken.
»	21	746↓	4.3	SW	3	Teiltief	S	Bew. 5, ci- und cu-Bewölkung; ⊙ frei.

Datum		Luftdruck	Abs. Feucht.	Wind-Richtung	Wind-Geschw.	Wetterlage der Station	Lage zum Kern	Himmelsschau
April	3	764 ↑	2.4	NW	5	Hoch	NE	Sehr klar, mäßige cu-Entwicklung; Intensität schwankt, Wasserdunstwolken.
»	13	764 ↓	2.9	WNW	6	Hoch (Keil)	E	Mäßige ci- und a-cu-Bewölkung.
»	16	764→	4.6	E	5	Hoch	Centrum	Wolkenlos, mittags schwache cu-Bildung.
»	17	762 ↓	4.9	E	7	Hoch	SW	Sonnenfinsternis, mittags tauchen die ersten ci auf, die sich schnell vermehren; bis 1^{18}p ⊙ frei.
»	18	758 ↓	5.3	E	6	Hoch	SW	Wolkenlos und klar, im S kleine ci-Bank.
»	20	761→	5.3	ENE	7	Hoch	S	Starke cu-Bildung, Wasserdunstwolken, vereinzelt auch ci.
»	23	764→	4.2	E	8	Hoch	S	Schwache cu-Bildung.
»	25	758 ↓	4.9	NW	4	Neutral	—	Ganz geringe ci- und cu-Bewölkung; ⊙ frei.
»	27	748→	4.7	W	6	Neutral	—	Mäßige cu-Entwicklung, vereinzelte ci und a-cu; ⊙ frei.
»	30	758 ↑	3.0	NE	5	Hoch	E	Starke cu-Bildung, Wasserdunstwolken.
Mai	1	761 ↓	2.7	E	4	Hoch (Keil)	—	Mäßige cu-Bildung, Wasserdunstwolken.
»	2	757 ↓	2.8	W	5	Hoch	N	Himmel sehr cirrös; ⊙ bis 2^{p} frei.
»	4	753 ↑	5.2	W	10	Tief	SW	Rückseitenwetter, starke cu- und fr-cu-Bewölkung, zwischen Lücken gemessen.
»	10	755→	8.0	WNW	8	Tief	SW	Zwischen cu-Lücken gemessen; ⊙ frei.
»	14	756 ↓	5.6	NW	6	Hoch	NE	Zwischen cu-Lücken gemessen, vereinzelte ci; ⊙ frei.
Juni	7	753 ↓	11.8	ENE	4	Teiltief	NE	Gewitterneigung; ci- und a-cu-Bewölkung, cu-Bildung beginnt um 10^{a}.
»	27	759→	9.9	WNW	5	Hoch (Keil)	NE	Himmel weißlich verschleiert (Trübung); schwache cu-Entwicklung.
»	28	758 ↓	9.2	SSW bis E umlaufd.	3	Hoch (Keil)	NE	Himmel weißlich verschleiert (Trübung); mittags schwache cu-Entwicklung.
Juli	5	761→	7.3	NNE	4	Hoch (Keil)	NW	Trübungsschleier, mäßige cu-Entwicklung.
»	6	758 ↓	8.8	E	4	Hoch	Centrum	Schwacher Trübungsschleier, um $8^{1}/_{2}{}^{a}$ beginnt cu-Bildung, die sich in mäßigen Grenzen hält.
»	8	754 ↑	12.5	NW	4	Hoch (Keil)	NE	Trübungsschleier, cu-cast., Gewitterneigung.
»	11	758 ↑	11.1	ESE	4	Neutral	—	Trübungsschleier und dunstig.
»	12	760 ↓	8.8	SE	5	Hoch	S	Zunächst wolkenlos, später ganz schwache cu-Bildung, Trübungsschleier.
Aug.	29	754 ↓	7.4	S	6	Hoch	NW	Ci- und fr-cu-Bewölkung; ⊙ frei, Trübungsschleier.
»	30	750→	11.7	S-NNW umlaufd.	3	Tief	SE	Gewitterneigung; zwischen cu gemessen.
Sept.	1	756 ↓	7.8	W	3	Hoch (Keil)	NE	Starke cu-Entwicklung; Trübungsschleier.
»	4	756 ↓	9.8	WSW	5	Hoch (Keil)	NE	Zwischen cu-Lücken gemessen.
»	12	760 ↑	8.0	NNW	2	Neutral	—	Starke cu-Entwicklung, Wasserdunst.
»	13	763 ↓	8.3	NW	3	Hoch (Keil)	E	Starke cu-Entwicklung, Wasserdunst.
»	19	763 ↑	5.8	NNW	4	Tief	W	Rückseitenwetter, zwischen cu-Lücken gemessen, Wasserdunst.
»	20	765→	5.9	NNE	3	Hoch	SE	Starke cu-Entwicklung, Trübungsschleier?, Wasserdunst.
»	21	766→	6.3	N	2	Hoch	SE	Zwischen cu-Lücken gemessen.
»	28	763→	6.8	E	3	Hoch	S	Dunstig, mittags starke cu-Entwicklung, Trübungsschleier.
»	30	755 ↓	6.4	SE	5	Tief	E	Mäßige ci- und cu-Bewölkung.
Okt.	4	768 ↑	3.3	NNW	4	Hoch (Keil)	E	Mittags starke cu-Entwicklung, Wasserdunst.
»	7	762→	4.3	W	2	Hoch (Sattel)	—	Wolkenlos, aber Trübungsschleier.
»	8	762→	4.8	WNW	2	Hoch	Centrum	Zunächst wolkenlos, um 3^{p} taucht im N st-cu-Schicht auf.
»	14	763 ↓	5.7	SE	4	Hoch	N	Zunächst wolkenlos, nachmittags bezieht sich der Himmel mit ci.
Nov.	1	753 ↑	3.7	NW	11	Tief	SW	Rückseitenwetter, mäßige cu-Bewölkung.
»	29	748 ↓	4.1	SE	5	Tief	E	Himmel cirrös; ⊙ frei.
Dez.	3	757 ↑	4.6	W	8	Tief	SW	Starke a-cu- und st-cu-Bewölkung; zwischen Wolkenlücken gemessen.
»	5	762 ↓	4.2	SE	3	Hoch	NW	Ci-st-Bewölkung; ⊙ scheinbar frei.

Datum		Luftdruck	Abs. Feuchtk.	Wind-Richtung	Wind-Geschw.	Wetterlage der Station	Lage zum Kern	Himmelsschau
Dez.	6	759→	3.6	S	5	Hoch	NW	Himmel mit ci-st-Schleier überzogen.
»	13	757→	5.3	WSW	8	Tief	SE	Zu Beginn der Messung wolkenlos, nachmittags Himmel mit st-cu-Decke überzogen.
»	21	760↓	4.1	S	5	Tief	SE	Himmel milchig-weiß, im S cirrös.

Michelson.

1911								
Aug.	3	757↓	11.3	NNW	3	Hoch (Sattel)	—	Mäßige cu-Entwicklung, außerdem a-cu; mäßig klar.
»	8	762→	10.3	NE	3	Hoch	SE	Vereinzelte ci und cu; ⊙ frei.
»	10	759→	10.1	E	4	Hoch	SW	Vereinzelte ci und cu.
»	11	759→	12.6	ENE	3	Hoch	SW	Wolkenfrei, aber dunstig.
1912								
Mai	11	756↓	6.0	NW	5	Hoch	NE	Himmel milchig-weiß, a-cu und später ganz cirrös.
»	20	755↓	7.4	SE	3	Teiltief	NE	Starke cu-Bildung, vereinzelte ci und a-cu.
Juni	1	750↓	7.8	E	3	Teiltief	NE	Himmel weißlich, starke cu-Bildung, Wasserdunstwolken.
»	4	751→	7.0	SW	5	Tief	SE	Am Horizont a-st; starke cu-Entwicklung.
»	6	754→	9.0	S	4	Teiltief	E	Zunächst fast wolkenlos, später Himmel völlig bedeckt durch ci und a-cu.
»	20	751↑	12.6	W	8	Hoch (Keil)	NE	Himmel milchig-weiß, starke cu-Bewölkung 6^1.
»	22	757→	7.4	NW	4	Hoch	NE	Himmel weißlich, starke cu Entwicklung, Wasserdunstwolken, zwischen 1 und 2 a-cu-Decke vor ⊙.
»	29	752↓	11.7	SE	5	Tief	E	Himmel wolkenlos; Trübungsschleier, um 11^a beginnt cu-Entwicklung.
Juli	10	757→	11.3	NW	2	Hoch	NE	Zwischen cu-Lücken gemessen, Himmel ganz weißlich, Trübungsschleier.
»	13	759→	10.9	E	3	Hoch	SW	Zunächst wolkenlos, mittags mäßige cu-Entwicklung, dunstig, Trübungsschleier.
»	15	761→	9.5	NE	4	Hoch	S	Völlig wolkenlos, aber Himmel trübe.
»	16	760↓	10.5	ENE	3	Hoch	S	Ganz schwache cu-Bildung mittags, sonst wolkenlos; Trübungsschleier.
»	22	751→	10.2	N	4	Tief	W	Starke cu-Entwicklung, Wasserdunst und Trübung; Rückseitenwetter.
»	25	754→	11.8	E	6	Hoch	S	Zunächst schwache, später starke cu- und cu-ni-Entwicklung; Trübungsschleier.
»	26	754→	8.9	ESE	5	Hoch	SW	Wechselnde mäßig starke cu-Entwicklung; Trübung.
»	30	750→	10.0	W	5	Hoch (Keil)	NE	Wechselnde cu-Bewölkung und ci-Trübung.
»	31	753→	10.1	W	5	Hoch	N	Mäßige cu-Entwicklung, später auch a-cu und ci.
Okt.	1	739↓	9.7	S	10	Tief	SE	Im Auge des Sturmes, ganz wolkenlos.
»	5	770→	3.6	WSW	4	Hoch	N	Zunächst ⊙ frei bis $8^1/_2{}^a$, später a-cu und ci-st-Schicht vor ⊙.
»	12	762→	5.9	W	3	Hoch	NE	Himmel wolkenlos, aber trübe.
»	15	760→	7.0	NW	7	Teiltief	SW	Starke, wechselnde cu-Bewölkung und ci; Rückseitenwetter.
Nov.	6	758↑	4.3	N	5	Tief	W	Starke, wechselnde cu-Bewölkung; Rückseitenwetter.
»	14	747↑	4.6	SW	8	Tief	S	A-cu-Bewölkung, Himmel später ganz bedeckt.
Dez.	17	749↑	4.5	SW	7	Tief	S	Himmel weißlich, zunächst fast wolkenlos, später völlig bedeckt.
»	19	754↑	4.7	W	9	Teiltief	SW	Himmel weißlich und am Ende der Messungen cirrös; mäßige cu-Bildung; Rückseitenwetter.
»	23	755→	5.6	SW	3	Hoch (Keil)	NE	Im SE cirrös, sonst frei; ⊙ frei.

Registrierungen des Emanationsgehalts der Bodenluft in Potsdam mit dem Benndorf-Elektrometer.

Von **K. Kähler.**

Die Bodenluft ist für die atmosphärische Elektrizität von großer Bedeutung. Vor allem Ebert hat auf die Zusammenhänge zwischen dem Gehalt des Bodens an radioaktiver Emanation und den atmosphärischen luftelektrischen und meteorologischen Erscheinungen hingewiesen. In München ist von Endrös[1]) auch die erste Registrierung ins Werk gesetzt worden, eine photographische mit Hülfe eines Ebertschen Quadrantenelektrometers und eines Bronson-Widerstandes, über den der Sättigungsstrom der Emanation zur Erde geleitet wurde. Diese Aufzeichnungen umfassen jedoch nur die Frühjahrsmonate des Jahres 1907, und ihre Ergebnisse sind wohl auch deswegen nicht als allgemein gültig anzusehen, weil sie inmitten der Stadt auf dem festen oberbayrischen Gesteinsboden gewonnen sind. Auf Anregung von Herrn Geheimrat Hellmann wurde deshalb im Sommer 1910 eine ähnliche Registrierung im leichten Potsdamer Sandboden eingerichtet. Statt der photographischen ist aber die bequemere mechanische mit dem erprobten Benndorf-Elektrometer gewählt worden.

An der Nordseite eines Wellblechhauses, das auf der waldumgebenen Wiese des Observatoriums für luftelektrische Zwecke errichtet ist, wurde ein 1.5 m tiefes, 0.45 m breites Loch in den grasbedeckten Boden gegraben und seitlich mit einem Zinkblechhohlzylinder ausgekleidet. In der Achse dieses Zylinders ist ein 145 cm langer, 0.5 cm dicker Kupferdraht aufgehängt mittelst eines Isolators von der Form, wie sie schon mit gutem Erfolg bei den Leitfähigkeitsregistrierungen der Außenluft angewandt wurden[2]). Es ist am besten, wenn dieser Isolator sich in der Außenluft und nicht in der Bodenluft befindet, weil sonst sowohl der fälschende Ausschlag seiner Metallteile als auch Störungen der Registrierungen häufiger sind. Deshalb ist der Isolator auf einen Holzdeckel gesetzt worden, der luftdicht auf dem oberen Rand des Zinkhohlzylinders befestigt wurde. Der Kupferdraht ging durch ein etwa 2 Quadratzentimeter großes Loch des Holzdeckels hindurch und war am Isolator durch eine lösbare Klemme befestigt. Von hier führte eine gegen das elektrische Feld der Erde geschützte Drahtverbindung durch die Außenluft und ein Loch des Wellblechhauses zur Nadel des Benndorf-Elektrometers, an dessen Quadranten mehrere Hundert Volt konstanter Spannung lagen. Die Elektrometeruhr lud automatisch alle viertel Stunde das System Elektrometernadel + Leitungsteile + Kupferdraht auf − 150 Volt auf, und der Abfall dieser Ladung wurde vom Elektrometer alle Minute registriert. Natürlich ist zur Kontrolle häufig die Zerstreuung der Leitungsteile ohne den wirksamen Kupferdraht aufgezeichnet worden. Diese abzuziehende Korrektion ist gegenüber dem viel größeren Abfall des Meßdrahtes meistens ganz zu vernachlässigen und als konstant anzusehen. Nur bei ganz geringem Abfall des Systems ist die Korrektion angebracht worden.

Die Registrierung beschränkt sich auf die positiven Elektrizitätsträger, die in dem Meßraum gebildet werden. Die gleichzeitig vorhandenen negativen entladen sich an der geerdeten Metallwand.

---

[1]) L. Endrös: Messungen und Registrierungen der dem Erdboden entquellenden Emanationsmengen. Dissertation der Technischen Hochschule München. 1909.

[2]) Vgl. Ergebnisse der Meteorologischen Beobachtungen in Potsdam im Jahre 1909. S. XIV.

Nach den Versuchen von Ebert und Kurz[1]) ist anzunehmen, daß in der Bodenluft die beim Eintritt in den Meßraum vorhandenen fertig gebildeten Träger bald durch Wiedervereinigung, Adsorption usw., wieder verschwinden und daß im Meßraum im wesentlichen sich Träger befinden, die von der Emanation neu erzeugt sind. Aus demselben Grunde werden die Träger größtenteils leichtbeweglich sein. Das geht auch aus der Bestimmung der Charakteristik hervor. Die an den Meßdraht gehenden Ladungen steigen bei schwachen Spannungen bis zu etwa 128 Volt, um dann bis 600 Volt konstant zu bleiben. Bei der langsamen vertikalen Luftströmung, die im Meßraum besteht, werden aber auch die meisten schwerbeweglichen Träger sich entladen müssen.

Aus der Bestimmung der Charakteristik folgt, daß nur bei den Spannungen von 150 bis zu etwa 128 Volt gesättigter Strom herrschte. Daraus ergibt sich die Notwendigkeit, nur die zu diesen Spannungen gehörigen Teile der Registrierkurve auszuwerten. Dies geschah in der Weise, daß die Anzahl der Minutenintervalle zwischen der Anfangslinie 150 und der Linie 128 Volt ausgezählt wurde, d. h. es wurde die Zeit t bestimmt, während welcher die Spannung um 22 Volt fiel. Diese Variable t schwankte im Registrierjahr von 1.3 bis zu 22.0 Minuten. Die Berechnung des Emanationsgehalts e hat dann zu erfolgen nach der Formel:

$$e = \frac{dV \cdot C}{300 \times m \times 60 \times t}.$$

Dabei ist $dV = 22$ Volt; m die Menge der wirksamen Bodenluft, 220500 cm³, wie sich leicht aus den Dimensionen des Meßraumes ergibt; C, die Gesamtkapazität Leitungsteile + Zerstreuungsdraht, wurde mit einem Gerdienschen Kondensator zu 118 cm bestimmt. Davon fallen 16, wie Rechnung und Messung mit dem Kondensator zeigen, auf die wirksame Kapazität des Zerstreuungssystems.

Das erhaltene Kurvenmaterial umfaßt die Zeit vom Spätsommer 1910 bis zum Frühsommer 1912, zu welcher Zeit das Elektrometer zu anderen Zwecken verwandt werden mußte. Zur Bearbeitung wählte ich den Zeitraum vom 1. Oktober 1910 bis dahin 1911 aus, weil für dieses Jahr auch Registrierungen des atmosphärischen Leitvermögens vorliegen. Jedoch mußte das Vierteljahr April bis Juni 1911 durch das entsprechende des Jahres 1912 ersetzt werden, da es dauernd Störungen aufwies und im Mittel nur ein Zehntel der zu erwartenden Ausschläge ergab. Der Grund hierfür ist uns nicht klar geworden. Die Störung wurde Ende Juni 1911 dadurch beseitigt, daß die ganze Meßvorrichtung mitsamt dem Zinkhohlzylinder herausgenommen und gereinigt wurde.

Naturgemäß ließen sich auch sonst Lücken in der Registrierung nicht vermeiden. Störungen durch Spinnen, bisweilen auch durch Mäuse kamen vor allem in der warmen Jahreszeit vor, waren aber weit weniger zahlreich als bei den gleichzeitigen Registrierungen des atmosphärischen Leitvermögens. Dazu kamen noch die Lücken durch die unumgänglich nötigen häufigen Prüfungen der Isolation und des Abfalls der Leitungs- und Isolatorteile, die stets mehrere Stunden, hin und wieder auch tagelang vorgenommen wurden, um genau den Einfluß auf die Größe der Korrektion festzustellen. Bei der Bildung der Monatsmittel sind die Tage mit Lücken ganz fortgelassen worden; das waren je nach den Versuchen 3 bis 6 Tage im Monat. Kleinere Störungen wurden interpoliert (in Tabelle II und III kursiv gedruckt). Ausgewertet wurde von den 4 Kurven jeder Stunde stets nur die erste. Das ist fast immer unbedenklich, weil schnelle Änderungen des Emanationsgehalts in Potsdam zu den Ausnahmefällen gehören.

Bei der Diskussion der gewonnenen Ergebnisse ist zu berücksichtigen, daß durch die Versuchsanordnung die natürlichen Verhältnisse offenbar gestört werden. In dieser Beziehung sind die Einzelmessungen, wo man die Luft mit engen Röhren aus dem Boden saugte, vorzuziehen. In Potsdam ist die feste Erde außen durch den Holzdeckel, innen durch den geräumigen Luftkondensator ersetzt. Dieser Meßraum steht mit der Atmosphäre durch das Loch im Holzdeckel in bequemer Verbindung, während sonst die engen Luftkanäle des Erdreichs das vermitteln. Wegen des eingesetzten Zinkhohlzylinders ist ferner eine seitliche Bewegung sowie vor allem ein seitliches Zufließen der Bodenluft unmöglich gemacht. Die Meßanordnung verhindert z. B. eine Untersuchung über den Einfluß, den die Durchlässigkeit des Erdbodens, der Frost, eine Schneedecke usw. ausübt, sowie über den Einfluß der Diffusion der Emanation in die Atmosphäre.

Um die Wirksamkeit der ganzen Anordnung zu erproben, wurden noch einige Versuche ausgeführt. Wenn der Zinkhohlzylinder am unteren Ende des Meßraumes durch einen angelöteten Metalldeckel verschlossen wurde, hörte die große Zerstreuung bald auf und ging in die der Außenluft

[1]) H. Ebert und K. Kurz: Registrierungen der luftelektrischen Zerstreuung in unmittelbarer Nähe des Erdbodens. Abhandlungen der Kgl. bayrischen Akademie der Wissenschaften. München 1909.

über, die bei der gewählten Empfindlichkeit des Elektrometers fast gar keinen Ausschlag mehr zur Folge hat. Es ist das ein Beweis dafür, daß die Bodenluft in der Tat aus dem unteren Boden in den Meßraum eintritt. Ferner wurde einige Tage hindurch der Zinkhohlzylinder herausgenommen. Der Ausschlag war während dieser Zeit bedeutend größer, offenbar weil jetzt auch von der Seite her die Emanation in den Meßraum dringt.

Absolute Werte des Emanationsgehalts in 0 bis $1^1/_2$ m Tiefe. Als Mittelwert eines Jahres (insgesamt 289 Tage) ergibt sich in Potsdam der Gehalt der Bodenluft bis zu $1^1/_2$ m Tiefe zu 0.22×10^{-7} E. S. E. pro cm³. Der Boden unter der „Wiese" des Observatoriums ist reiner Sand, der im Jahre 1892 bei der Errichtung der Beobachtungswiese wegen einer Mulde des Geländes in einer Stärke von einigen Metern aufgeschüttet wurde. Endrös erhielt als Mittel von 4 Monaten (März bis Juni 1907) in München den sehr viel höheren Wert 1.2×10^{-7} E. S. E., bei Einzelmessungen in München (Januar—März 1906) 0.9×10^{-7} E. S. E., in Zusmarshausen (Schwaben, April 1905) 0.8×10^{-7} E. S. E.; Gockel fand bei Einzelmessungen in Freiburg (Schweiz) sogar Werte von 2 bis 7×10^{-7} E. S. E. Man geht wohl nicht fehl in der Annahme, daß der steinige Boden auf der oberbayrischen Tiefebene und vor allem in der Schweiz radioaktiver ist als der brandenburgische Sand und daß sich daraus vor allem die großen Unterschiede in den absoluten Werten erklären. Der Potsdamer Mittelwert gilt für die Versuchsanordnung mit dem seitlichen Metallzylinder. Läßt man diesen fort, so erhöhen sich die absoluten Werte auf fast das Doppelte. Vielleicht kommt diese Zahl, also etwa 0.4×10^{-7} E. S. E., dem wahren Wert der Potsdamer Emanation in etwa $^3/_4$ m Tiefe am nächsten. Es sei in diesem Zusammenhang wenigstens darauf hingewiesen, daß auch die Leitfähigkeit der Potsdamer atmosphärischen Luft auffallend klein ist, etwa 1.0×10^{-4} E. S. E.

Nimmt man die Ladung eines Elektrizitätsträgers nach Millikan zu $\varepsilon = 4.9 \times 10^{-10}$ E. S. E. an, so würde dem Wert 0.22×10^{-7} E. S. E. eine Trägerzahl von etwa 45 entsprechen. Die Emanation in $^3/_4$ m Tiefe ist also im Stande, pro Sekunde und cm³ 45 Träger beiderlei Vorzeichens zu erzeugen. Das ist immer noch etwa das Hundertfache wie in der Außenluft, wo etwa nur alle 2 Sekunden 1 Trägerpaar pro cm³ gebildet werden kann. Zu beachten ist dabei, daß die für die Emanation der Bodenluft gefundene Zahl nicht den Gehalt der gesättigten Tiefen darstellt — der Emanationsgehalt wird ja erst unterhalb 2 m Tiefe konstant —, sondern eher die Menge, die aus der gemessenen Tiefe in die Atmosphäre drängt. Endrös berechnet aus seinem Münchener Mittelwert die pro Sekunde erzeugte Trägerzahl der Emanation zu 306 ($\varepsilon = 3.4 \times 10^{-10}$) oder 212 ($\varepsilon = 4.9$).

Der höchste in Potsdam registrierte Stundenmittelwert war 0.500×10^{-7} im Februar 1911, der tiefste 0.012×10^{-7} April 1912. Das Verhältnis des größten zum kleinsten Wert ist also wie in München etwa 40 : 1.

Tab. I. Täglicher Gang des Emanationsgehaltes in 10^{-10} E. S. E./cm³.

Monat	Anz. der Tage	0–1a	1–2	2–3	3–4	4–5	5–6	6–7	7–8	8–9	9–10	10–11	11–12	12–1p	1–2	2–3	3–4	4–5	5–6	6–7	7–8	8–9	9–10	10–11	11–12	Mittel
1910 Okt. .	27	192	191	193	194	195	194	194	194	189	184	182	179	180	183	186	190	195	199	199	197	195	197	197	198	192
» Nov. .	25	178	179	180	181	180	179	179	179	176	171	167	165	170	170	175	180	180	182	181	181	180	181	181	181	177
» Dez. .	29	210	211	210	213	214	217	217	217	214	211	208	208	206	206	210	211	212	215	214	213	212	210	210	210	211
1911 Jan. . .	25	149	153	155	158	159	164	163	167	161	158	158	156	156	157	158	159	159	162	160	160	160	161	161	164	159
» Febr. .	21	235	230	229	230	237	242	245	247	248	248	247	245	244	242	243	244	244	244	242	239	237	234	233	234	240
» März .	25	199	199	201	205	204	204	204	197	191	186	181	180	181	185	192	193	199	204	204	206	208	210	209	209	198
1912 April .	24	226	224	227	230	233	234	231	224	219	220	217	216	216	215	219	221	223	224	226	220	219	216	217	216	223
» Mai . .	21	235	233	230	232	231	227	223	222	220	225	222	223	226	227	231	238	242	246	253	254	257	255	254	256	236
» Juni .	22	256	261	256	255	256	255	254	257	253	253	252	255	254	255	258	258	265	265	270	270	268	266	266	263	259
1911 Juli . .	25	226	230	229	229	233	236	237	233	230	231	226	229	231	232	234	238	241	245	246	246	241	233	229	224	234
» Aug. .	23	236	238	240	241	242	240	238	234	237	230	235	235	234	239	240	243	245	245	248	247	243	244	243	238	240
» Sept. .	22	264	266	266	273	268	269	270	267	265	260	262	261	261	265	267	269	277	277	283	282	281	280	278	283	271
Mittel .	289	217	218	218	220	221	222	221	220	217	215	213	213	213	215	218	220	224	226	227	226	225	224	223	223	220

Jährlicher Gang des Emanationsgehalts. Die Tabelle I zeigt, daß der Gehalt der ungesättigten Tiefen der Bodenluft an radioaktiver Emanation am stärksten ist im Sommer (September 0.27, Juni 0.26), am geringsten im Winter (Januar 0.16, November 0.18). Die vorhandenen Unregelmäßigkeiten im jährlichen Gang des einen untersuchten Jahres sind einmal auf den heißen Sommer und Frühherbst 1911 zurückzuführen, der die Werte erhöhte. Ferner war der Dezember 1910 viel zu mild; der Februar 1911 zeichnete sich durch besonders tiefe Barometerstände aus, so daß auch in diesen beiden Monaten die absoluten Werte zu hoch ausfielen. Gleicht man die Monatsmittelwerte

aus, so ergibt sich ein Maximum 0.25 für Juni und August, ein Minimum 0.19 für die Zeit November bis Januar. Die Frühjahrswerte sind dabei höher als die Herbstwerte. Endrös fand in München während seiner Registrierzeit die tiefsten Werte im Dezember und Januar, die höchsten im April, also in guter Übereinstimmung mit Potsdam.

Die Erklärung der jährlichen Schwankung wird darin zu suchen sein, daß bei stärkerer Erwärmung des Bodens mehr Emanation aus den gesättigten Tiefen in die ungesättigten, und daher auch aus den ungesättigten Tiefen in die Atmosphäre tritt. Der Emanationsgehalt der ungesättigten Tiefen zeigt also denselben jährlichen Gang wie das elektrische Leitvermögen der Atmosphäre.

Täglicher Gang des Emanationsgehalts. Abgesehen von manchen Unebenheiten ergibt sich, wie Tabelle I und Figur 1 dartun, im wesentlichen eine doppelte Periode mit dem Hauptmaximum

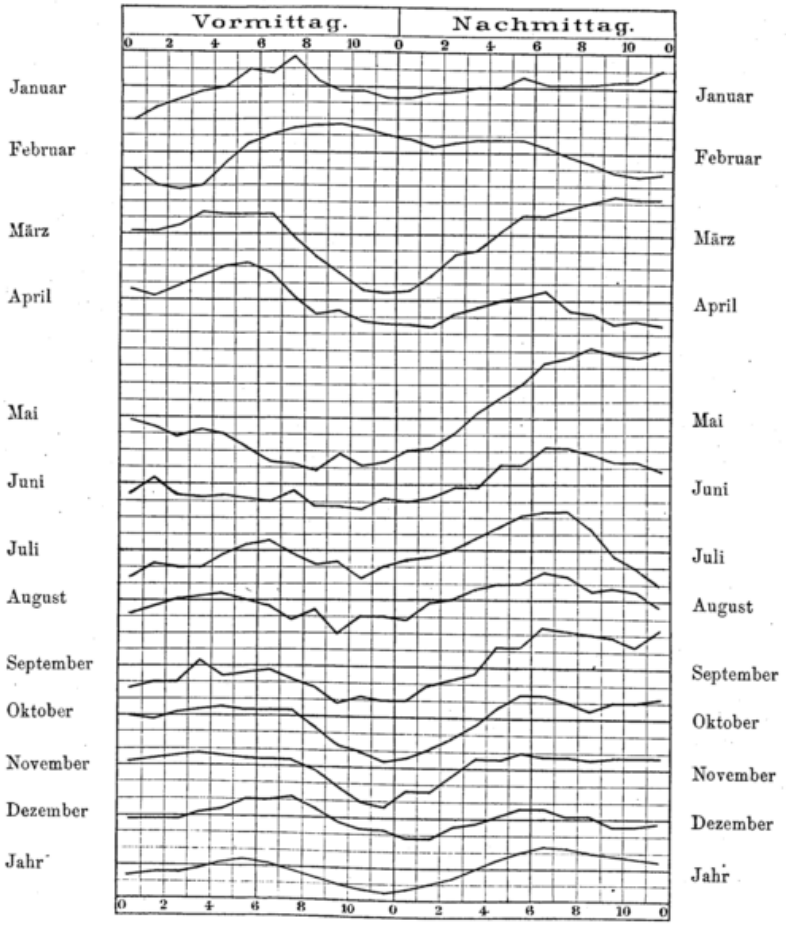

Fig. 1. Täglicher Gang des Emanationsgehalts.

7 Uhr abends, einem kleineren 6 Uhr morgens, dem Hauptminimum mittags und einem kleineren kurz nach Mitternacht. Die ganz abweichende Kurve des Februar erklärt sich aus den starken Barometerschwankungen dieses Monats, die ausnahmsweise einmal den täglichen Gang überdecken. Ein Unterschied zwischen Sommer- und Wintertyp, wie ihn Endrös aus seinen Messungen ableitete, ergibt sich in Potsdam eigentlich nicht. Das Mittagsminimum tritt am meisten hervor im Herbst und Frühjahr, das Abendmaximum im Sommer und Herbst, das nächtliche Minimum im Winter, das Morgenmaximum ebenfalls im Winter, sowie im Frühjahr.

Diese tägliche Schwankung des Emanationsgehalts zeigt eine bemerkenswerte Ähnlichkeit mit der des Potentialgefälles und vor allem mit der des Luftdrucks. In Figur 2 ist die mittlere Luftdruck-

änderung in Zehntel Millimetern pro Stunde an genau denselben Tagen dargestellt worden, für welche die Mittel des Emanationsgehalts gebildet wurden. Die Tabelle II enthält außerdem als Beispiel für die Schwankungen des Emanationsgehalts und der Luftdruckänderung den Januar und Juli 1911. Die stündlichen Luftdruckänderungen sind dabei dem Stationsbarographen Sprung-Fueß entnommen. Es kann, wie ein Vergleich der Figuren 1 und 2 mit einem Blick zeigt, nicht die Rede davon sein, daß in den Tagesgängen Emanationsgehalt und Luftdruckänderung einander entgegengesetzt sind. Vielmehr ergibt sich eine auffallende Ähnlichkeit der Schwankungen. Man wird dieses nicht anders deuten können, als durch eine gemeinsame Ursache veranlaßt, und das kann wohl nur die Sonnenstrahlung in ihrer Wirkung auf den Erdboden und die untersten Luftschichten sein. Schon Endrös, dessen 4 Frühjahrskurven ebenfalls das Mittagsminimum sowie die höheren Morgen- und Abendwerte

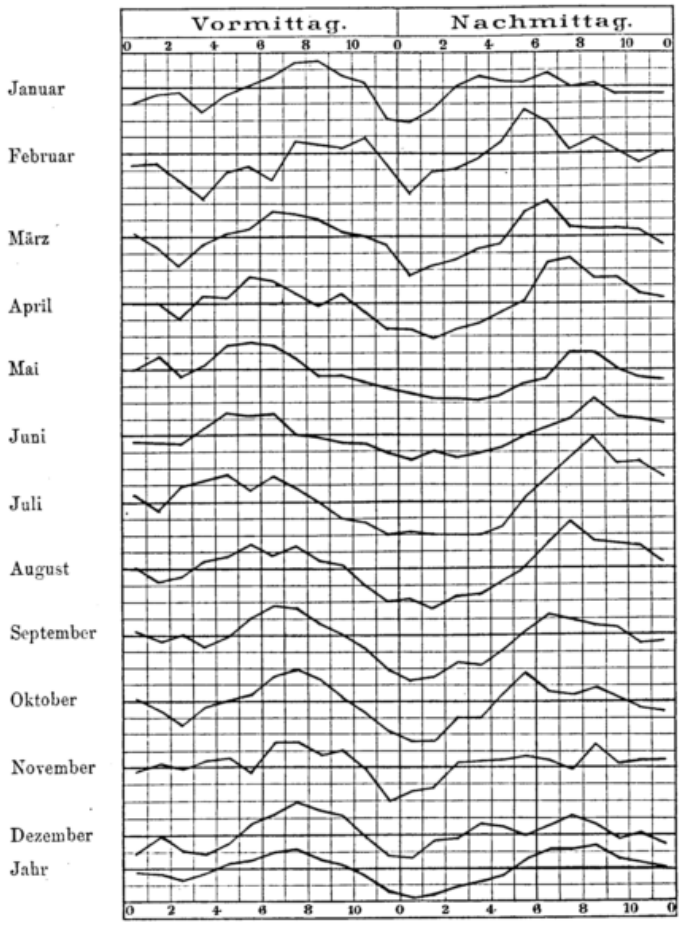

Fig. 2. Täglicher Gang der stündlichen Luftdruckänderung.

erkennen lassen, hebt das hervor. Er führt die Schwankung allerdings in der Hauptsache auf die Temperaturunterschiede zwischen Boden und Luft zurück.

Die wichtigste Ursache der Schwankungen in den ungesättigten Tiefen wird die Luftbewegung im Erdboden, vor allem die Luftbewegung zwischen Atmosphäre und Boden sein. Es ist oben schon hervorgehoben worden, daß die Verbindung zwischen diesen beiden bei der Versuchsanordnung viel bequemer als in Wirklichkeit ist. Wie weiter unten gezeigt werden wird, ist die Luftdruckänderung der Atmosphäre von allergrößtem Einfluß auf den Emanationsgehalt. Damit ist die Einwirkung der vertikalen atmosphärischen Luftströmungen erwiesen: aufsteigende Luft wirkt vermehrend, absteigende vermindernd. Nachts, wo die Luftbewegung eher von der Luft zur Erde geht, wird also der Emana-

tionsgehalt kleiner sein als morgens und abends. Sonnenschein wirkt an sich wegen der aufsteigenden Luftströmungen vermehrend. Das geht daraus hervor, daß die absoluten Werte des Emanationsgehalts an sonnigen Tagen höher sind als an trüben, sowie vor allem daraus, daß an den sonnigen Tagen der mittlere tägliche Gang eines Monats fast stets eine Zunahme der Werte erkennen läßt. Trotz dieser Wirkung der Sonne liegt mittags ein deutliches Minimum des Emanationsgehalts. Das wird seinen Grund in der starken Erwärmung des Erdbodens haben. Dadurch wird die Luft im Meßraum rasch verdünnt, so daß die erste Folge eine Abnahme der Emanation sein muß, die durch das langsame Nachdringen aus den gesättigten Tiefen nicht verhindert werden kann. Beim Nachlassen der Sonnenstrahlung wird dieses Nachdringen in die Erscheinung treten: daher das Hauptmaximum des Emanationsgehalts am Abend. Unter natürlichen Bedingungen werden die Schwankungen wohl nicht so ausgeprägt sein wie bei der Versuchsanordnung, aber doch in demselben Sinne vorhanden sein. Wichtig für diese Schwankung ist die Kenntnis der Luftdruckänderungen im Erdboden, die aber bisher noch nicht genügend bekannt sind.

Eine direkte Besonnung des engeren Meßortes ist übrigens meistens nicht möglich, weil er im Norden, also im Schatten des Wellblechhauses liegt, und weil die Wiese rings von Bäumen umgeben ist. Nur bei ganz hohem Sonnenstand kann die Versuchsanordnung beschienen werden: am 21. Juni von 6—$8^1/_2$ Uhr morgens und $4^1/_2$ Uhr nachmittags, am 21. Mai und 21. Juli von $6^1/_2$—8 Uhr morgens. In den Kurven dieser Zeit ist jedoch meistens keine plötzliche Änderung zu erkennen. Vielfach sind allerdings die Werte etwas höher als vor- und nachher.

Der Einfluß der Bewölkung. Endrös fand, daß der Emanationsaustritt bei bedecktem Himmel, vor allem bei Nebel geringer ist als bei Sonnenschein. Die größten Werte erhielt er bei Kumulus-Bewölkung. Aus dem einjährigen Potsdamer Material ergab sich als Mittelwert von 27 größtenteils regnerischen Tagen 0.25×10^{-7} E. S. E., von 23 Nebeltagen 0.21, von 74 Stratus-Tagen ebenfalls 0.21, von 60 Kumulus-Tagen 0.22 und von 36 heiteren oder schwach cirrösen Tagen 0.24. Man erhält also in der Tat bei Stratus und Nebel kleinere Werte als bei Kumulus und wolkenlosem Himmel, doch sind die Unterschiede nicht erheblich. Wesentlich ist ja eigentlich auch nicht der absolute Wert des Emanationsgehalts, sondern die Änderung.

Die einzelnen Tagesmittel zeigen die größten Unterschiede bei Regen. So ergab sich für die Regentage des Februar der Mittelwert 0.4, für die ebenso zahlreichen des Januar 0.15. Die Niederschläge fallen eben mit den stärksten Barometerschwankungen zusammen.

Der Einfluß der atmosphärischen Luftdruckänderungen. Trotzdem im täglichen Gang Ähnlichkeit zwischen Emanationsgehalt und Luftdruckänderung besteht, sind beide Elemente in allen Einzelschwankungen einander entgegengesetzt. Dieser Zusammenhang ist so regelmäßig, daß man die atmosphärischen Luftdruckschwankungen als die Hauptursache der Emanationsschwankungen ansehen muß. Die höchsten Werte des Emanationsgehalts treten in allen Monaten bei stark fallendem, die tiefsten bei schnell steigendem Barometer ein. Um eine zahlenmäßige Beziehung hierüber zu erhalten, seien nur die Luftdruckänderungen betrachtet, die mindestens 4 Stunden hindurch Änderungen von mindestens $^1/_2$ mm aufwiesen. Solche starken Änderungen fanden statt: im Januar 7mal Steigen und 4mal Fallen (vergl. die halbfett gedruckten Zahlen der Tabelle II), im Februar $8 + 8$, März $3 + 2$, April $5 + 3$, Mai $1 + 3$, Juni $1 + 3$, Juli $2 + 1$ (s. Tab. III), August $1 + 0$, September $2 + 2$, Oktober $3 + 3$, November $7 + 5$, Dezember $5 + 3$. Von diesen insgesamt 82 starken Luftdruckänderungen waren nur 4, je 1 im Januar (11.), März, Juni und Juli (14.), ohne Einwirkung auf den Emanationsgehalt. Alle andern sind von größtem Einfluß. Vielfach, aber nicht immer, tritt das Maximum oder Minimum im Emanationsgehalt später ein, als das Barometer umkehrt. Häufig dauert das Maximum oder Minimum in der Emanationsschwankung länger an als beim Luftdruck. Beides scheint ein Beweis dafür zu sein, daß die Bodenluft oft hinter der atmosphärischen Barometerschwankung zurückbleibt.

Man muß sich auch hier die Frage vorlegen, ob durch die Versuchsanordnung nicht die Verbindung zwischen Bodenluft und Außenluft zu sehr erleichtert ist. Es wird aber wohl nicht zu bezweifeln sein, daß auch in den natürlichen Bodenkanälen die Barometerschwankung der Atmosphäre von großem Einfluß ist, und daß sie auch hier die Hauptursache der Emanationsschwankungen bleibt. Nochmals sei betont, daß sie aber in den Mittelwerten verschwindet. Auch Endrös kam zu dem Ergebnis, daß ein Einfluß des Luftdrucks wohl vorhanden, aber durch andre Ursachen verdeckt sei. Von größter Einwirkung waren bei ihm plötzliche Luftdruckschwankungen, vor allem die Barographennasen. Das ließ sich in Potsdam nicht bestätigen. Die Zerstreuungsregistrierung ist für solche Unter-

Ta-

Stündliche Luftdruckänderung

Datum	12-1ᵃ	1-2	2-3	3-4	4-5	5-6	6-7	7-8	8-9	9-10	10-11	11-12
1	−3	−2	**−6**	**−7**	**−6**	**−5**	**−4**	**−3**	**− 5**	**−7**	**−8**	**−11**
2	−1	0	−1	−4	−2	+1	+3	0	+ 2	+1	+2	0
3	+3									0	−1	− 3
4	0	+2	+2	+2	0	+2	+2	+2	+ 1	+2	−1	− 2
5	−3	−1	0	−5	−1	+1	0	+1	0	−1	+3	− 2
6	−7	−3	−1	−3	−3	−4	+1	+2	+ 3	+3	+4	+ 6
7	+2	0	+5	−3	−1	+2	+4	+5	− 1	+1	0	− 2
8	0	+3	+4	+4	+4	+4	+5	+2	+ 2	+3	+1	− 1
9	−5	−6	−3	−2	−3	−2	−1	0	+ 1	+1	−4	− 5
10	**−6**	**−7**	−3	−4	−1	+3	**+4**	**+7**	**+10**	**+5**	**+5**	+ 1
11	+1	0	−1	−5	−5	−4	−2	−4	− 3	−3	**−8**	**−10**
12	**−5**	**−5**	**−9**	**−5**	−4	−3	−4	− 5	− 1	−3	−3	− 2
13	+4	**+7**	**+5**	**+4**	**+6**	**+5**	**+6**	**+5**	+ 9	**+8**	**+8**	+ 2
14	+4	+4	+3	+4	+3	+3	+3	+5	+ 5	+4	+3	+ 1
15	+1	−1	+1	−3	0	+2	−1	+1	+ 4	+4	0	− 1
16	−1	0										
17	+2	+5	+2	+2	+1	−1	0	+1	− 1	−3	−3	− 1
18	−3	−1	−2	−2	0	−5	−3	+3	− 2	−1	−4	− 3
19	−3											
20												
21	0	−1	−3	−2	−1	−1	−3	0	− 1	−2	−4	− 6
22	−4	−1	0	−1	+3	0	+3	+3	+ 2	+1	+2	− 2
23	**+7**	**+5**	**+4**	**+5**	+2	+3	+4	+4	+ 4	+3	+2	− 2
24	−5	−2	−3	−4	−2	−3	−1	−3	− 1	0	−1	− 2
25	−4	−5	−1	−7	−8	−2	−3	−5	− 5	−4	−2	− 5
26	−7	−3	−4	−3	0	−1	−1	+2	+ 4	+4	+6	+ 2
27	+3	+4	+1	+1	−1	−2	+1	+3				
28												+ 1
29	+3	0	+3	+1	+3	+1	+1	+5	+ 4	+2	+5	+ 1
30	+1	+2	+1	+1	0	+1	0	+3	+ 2	+3	+2	− 2
31	+2	0	0	0	+2	+2	+1	+2	+ 2	−1	+1	− 2
Mittel	−1.0	−0.4	−0.3	−1.5	−0.5	0.0	+0.6	+1.3	+1.4	+0.8	+0.2	−2.0

Stundenwerte des Emanationsgehalts

1	164	182	**187**	**198**	**211**	**234**	**242**	**252**	**262**	**273**	**284**	**297**
2	327	344	327	311	297	297	284	262	242	226	218	204
3	90	76	[1])	[1])	[1])	[1])	[1])	[1])	[1])	76	74	82
4	91	92	95	93	96	99	98	102	92	90	91	87
5	85	87	90	92	92	92	88	90	86	83	82	80
6	82	87	92	92	93	95	101	106	99	96	93	**92**
7	67	69	72	73	79	84	84	88	82	83	82	82
8	74	75	76	74	75	73	73	74	73	72	72	73
9	136	142	156	164	164	168	172	177	164	168	160	160
10	**252**	**262**	273	284	284	297	**273**	**242**	**204**	**168**	**152**	134
11	172	182	192	187	204	218	234	242	252	242	**252**	**273**
12	**234**	**234**	**242**	**252**	252	252	252	273	284	284	297	297
13	187	**182**	**172**	**164**	**156**	**142**	**131**	**126**	**109**	**95**	**72**	64
14	72	76	82	84	87	95	96	104	104	106	107	107
15	121	126	134	156	145	187	172	262	218	234	284	242
16	234	211	218	218	[1])	[1])	[1])	[1])	[1])	[1])	[1])	[1])
17	156	152	164	152	160	164	164	172	177	168	182	192
18	284	284	284	284	284	297	297	297	284	284	284	284
19	284	[2])	[2])	[2])	[2])	[2])	[2])	[2])	[2])	[2])	[2])	[2])
20	[2])	[2])	[2])	[2])	[2])	[2])	[2])	[2])	[2])	[2])	[2])	[2])
21	136	136	136	139	142	142	139	142	136	139	139	149
22	198	204	211	218	218	218	218	211	204	204	204	204
23	**123**	**111**	**106**	**99**	93	95	92	92	91	88	83	80
24	128	134	136	142	149	156	156	156	156	156	149	142
25	136	139	152	156	160	172	172	177	182	187	187	187
26	273	284	273	284	297	284	297	284	284	273	252	242
27	204	192	172	168	168	172	192	204	[1])	[1])	[1])	[1])
28	[1])	[1])	[1])	[1])	[1])	[1])	[1])	[1])	[1])	[1])	[1])	311
29	74	69	71	69	71	67	68	64	55	56	55	54
30	83	86	88	87	86	88	91	93	96	93	91	87
31	85	86	88	91	92	91	90	88	91	87	90	92
Mittel	150	153	156	158	159	164	163	167	161	158	158	156

[1]) Isolation schlecht. [2]) Uhr stand.

belle II.

in $^1/_{10}$ mm im Januar 1911.

12-1p	1-2	2-3	3-4	4-5	5-6	6-7	7-8	8-9	9-10	10-11	11-12	Mittel
−10	**−9**	**−12**	**−10**	**−8**	**− 5**	**− 7**	**−5**	−4	−4	−6	**−2**	
+ 2	+4	**+ 4**	**+ 7**	**+7**	**+ 9**	**+ 7**	**+7**	**+6**	+3	+7	+3	
− 2	0	+ 1	− 1	+1	+ 1	+ 1	+3	+1	+1	0	−1	
− 3	−2	+ 2	0	+1	0	+ 2	−1	0	−2	0	−2	
− 4	0	+ 1	+ 4	+3	0	− 1	0	+3	0	−2	−1	
+ 4	**+6**	**+ 7**	**+ 6**	**+5**	+ 2	+ 4	+6	+4	+1	+1	+3	
− 2	+1	+ 3	+ 3	+2	+ 2	+ 3	+2	+2	+2	+3	+1	
− 3	0	0	− 1	−2	+ 1	− 3	−2	−2	−3	−3	−1	
− 5	−3	− 3	− 1	**−6**	**− 5**	**− 4**	**−5**	**−8**	**−8**	**−8**	**−8**	
+ 2	+2	+ 6	+ 5	+5	+ 1	+ 1	+2	+1	+1	−2	−2	
−10	**−8**	**− 4**	**− 8**	**−9**	**−10**	**−12**	**−7**	**−7**	**−6**	**−8**	**−5**	
− 1	−3	0	+ 1	+1	+ 3	+ 4	+1	+6	+5	+3	+3	
+ 4	+4	**+ 6**	**+ 6**	**+7**	**+ 6**	**+ 6**	**+6**	+2	+5	+5	+4	
+ 1	+2	+ 2	+ 2	+3	+ 3	+ 5	+2	+3	+1	−1	+2	
0	−1	+ 2	+ 1	+2	0	0	+1	+2	0	0	+1	
	0	**+ 6**	**+ 7**	**+6**	**+ 7**	**+ 7**	**+5**	**+5**	+1	+4	+2	
− 5	**−5**	**− 5**	**− 2**	**−7**	**− 7**	**− 2**	**−6**	−3	−2	−1	−4	
− 5	−2	− 4	0	−1	0	+ 3	+2	−5	0	−2	−1	
		− 1	+ 3	+1	− 1	+ 3	−2	+2	0	−2	−2	
− 8	−4	− 3	− 3	−4	− 6	− 3	−4	−4	−3	−5	−5	
+ 1	−4	+ 2	+ 4	**+5**	**+ 6**	**+ 8**	**+6**	**+8**	**+9**	**+7**	**+7**	
− 3	−5	− 2	− 3	0	+ 1	0	−2	−1	−4	−3	+3	
− 3	−3	− 2	0	−1	+ 1	+ 1	−2	−1	0	−1	−3	
− 3	−7	− 3	− 2	−1	− 1	− 2	−2	−3	−3	−2	−4	
+ 4	+3	+ 2	+ 4	+2	+ 5	+ 7	+1	+2	−1	+6	+2	
+ 1	+3	+ 3	**+ 5**	**+5**	**+ 2**	**+ 5**	**+5**	**+8**	**+6**	**+6**	0	
− 1	−1	+ 1	+ 2	+5	+ 5	+ 2	+2	+3	0	+1	+2	
0	+1	− 1	+ 1	+1	+ 2	+ 2	+1	+2	+2	+2	+3	
− 4	−2	0	− 1	−3	− 7	− 2	−2	−4	−2	−2	−5	
−2.1	−1.4	0.0	+0.6	+0.3	+0.2	+0.8	0.0	+0.1	−0.4	−0.4	−0.4	

der Bodenluft in 10^{-10} E. S. E. im Januar 1911.

311	**311**	**327**	**344**	**344**	**344**	**344**	**344**	327	327	327	344	282
198	182	172	**160**	**149**	**134**	**121**	**109**	**101**	95	91	90	206
77	81	83	86	91	93	90	88	84	86	84	88	—
85	88	87	85	85	86	82	78	81	82	82	82	89
81	85	84	84	82	80	80	79	81	81	78	81	84
84	**79**	**74**	**68**	**66**	64	62	65	61	64	65	65	81
81	79	77	73	73	73	73	74	73	74	76	74	77
71	73	76	78	81	92	96	106	109	117	126	134	85
168	172	177	177	182	**192**	**198**	**204**	**211**	**218**	**234**	**242**	179
134	131	128	126	128	131	136	142	149	156	156	168	188
277	*281*	**284**	**273**	**284**	**273**	**273**	**284**	**273**	**262**	**252**	**242**	246
273	262	242	242	242	242	234	226	218	211	204	198	248
60	58	**50**	**49**	**50**	**50**	**50**	**52**	54	63	64	67	94
109	109	107	109	111	113	111	109	107	107	113	117	102
234	234	226	218	204	204	198	204	211	218	211	226	203
[1])	192	**204**	**204**	**187**	**187**	**172**	**160**	**160**	156	156	156	—
198	**211**	**218**	**226**	**234**	**242**	**262**	**262**	273	273	273	273	206
297	297	311	311	297	344	297	284	273	284	284	284	292
[2])	[2])	[2])	[2])	[2])	[2])	[2])	[2])	[2])	[2])	[2])	[2])	—
[2])	[2])	134	142	149	156	149	142	139	136	134	136	—
156	168	177	187	192	198	204	204	204	204	198	192	165
204	211	218	226	**218**	**218**	**211**	**198**	**192**	**177**	**156**	**134**	203
76	80	85	91	101	106	107	106	109	111	121	128	99
145	145	142	149	145	142	134	134	134	134	134	136	143
198	198	204	211	218	226	226	234	242	242	242	252	196
234	226	226	226	218	226	226	218	218	218	226	218	250
[1])	[1])	[1])	[1])	[1])	[1])	[1])	[1])	[1])	[1])	[1])	[1])	—
311	297	284	**284**	**262**	**252**	**242**	**234**	**218**	**168**	**126**	91	—
53	55	58	59	61	61	64	65	67	73	78	92	65
85	86	83	85	81	82	87	83	82	83	86	85	87
95	104	107	109	111	*122*	134	139	149	160	172	182	111
156	157	158	159	158	162	160	160	160	161	162	164	159

[1]) Isolation schlecht. [2]) Uhr stand.

Ta-

Stündliche Luftdruckänderung

Datum	12-1ᵃ	1-2	2-3	3-4	4-5	5-6	6-7	7-8	8-9	9-10	10-11	11-12
1	−1	0	0	+2	+1	0	+3	−2	−3	−3	−4	−5
2	+1	+2	0	+5	+5	+1	+2	0	−2	−3	−3	−3
3	**+4**	**+5**	**+8**	**+5**	**+5**	**+7**	**+4**	**+5**	+3	+4	+4	0
4	+4	+2	+3	+3	+4	+3	+2	+3	+2	0	0	0
5	−1	−3	−1	+2	−1	+3	+1	0	+1			
6	−3	−2	0	−4	+4	0	0	0	−4	−1	−2	−3
7	−3	−3	−1	0	+1	−1	−1	−1	0	+2	−2	−3
8	−3	−3	−1	−1	0	−1	+2	0	−1	0	−3	−3
9	+2	+2	+3	+4	+2	+3	+5	+1	+1	+1	−2	+1
10	+1							+2	+1	−2	−1	0
11	−1	−2	0	−4	−1	+1	0	0	+1	−2	−2	−4
12	+1	−1	−1	0	+2	+1	0	+1	+1	−1	−3	−1
13	−1	−1	−1	0	+1	+2	−1	+1	−1	−1	−1	−4
14	−1	+1	−1	0	0	−1	+1	−1	−2	−4	−4	−3
15												
16	−10	+6	−3	−2	−2	−3	−1	−2	−2	−1	−2	−4
17												0
18	0	−3	0	−2	−1	−2	0	0	−1	0	−3	−1
19	+5	+2	+2	+3	+3	+3	+3	+4	+1	+2	+3	+2
20	+5	+2	+6	+2	+4	+3	+3	+4	0	0	−1	−2
21	+2	0	0	+2	+2	+1	+3	+1	+2	−1	+1	−3
22	−1	−1	−1	0	0	+1	−1	0	0	−1	−2	−2
23	−3	−3	−3	+1	−1	−1	−2	−2	−3	−4	−4	−5
24	−5	−5	+13	+3	+1	−7	+6	+1	+4	+1	+1	0
25	0	−2	−4	+1	+2	−5	−1	−5	0	−9	+1	−2
26	0	−3	+1	−1	+3	+1	+1	+3	+3	−2	−1	−2
27	−1	−1	−2	+7	+1	+2	+4	+5	+6	+3	−2	+1
28	+1	+2	+2	+3	0	+3	−1	0	−2	−2	−3	−3
29	+2	0	0	+3	−1	0	0	−2	−1	−1	−2	−3
30	+2	0	0	−2	+1	+2	+1	+1	−4	0	+3	−4
31	0	−1	−1	0	+2	+1	+1	+1	0	0	−1	−2
Mittel	+0.4	−0.4	+0.9	+1.2	+1.6	+0.7	+1.4	+0.8	0.0	−1.0	−1.2	−2.0

Stundenwerte des Emanationsgehalts

1	363	363	363	363	363	363	344	344	344	344	344	363
2	252	234	234	242	234	252	*262*	273	211	211	204	211
3	**156**	**149**	**136**	**128**	**126**	**121**	**115**	**115**	115	117	113	121
4	113	111	117	123	126	128	128	128	131	134	136	142
5	204	204	211	218	218	234	234	226	226	[1])	[1])	[1])
6	252	252	273	273	273	284	273	273	273	284	284	284
7	327	327	327	344	327	327	327	327	327	344	327	327
8	297	311	311	311	327	327	327	327	311	311	311	311
9	273	284	234	218	204	198	192	168	177	168	160	172
10	95	[2])	[2])	[2])	[2])	[2])	[2])	[2])	[2])	134	134	136
11	168	182	198	204	204	211	218	218	226	234	226	226
12	218	218	211	218	218	252	262	226	226	218	218	218
13	242	252	273	284	284	297	273	252	242	273	252	273
14	242	273	284	252	262	262	284	252	262	278	284	284
15	344	[2])	[2])	[2])	[2])	[2])	[2])	[2])	[2])	[2])	[2])	[2])
16	226	226	234	242	252	252	262	252	252	242	234	242
17	[2])	[2])	[2])	[2])	[2])	[2])	[2])	[2])	[2])	[2])	[2])	192
18	*202*	*207*	211	218	226	234	242	242	242	252	252	262
19	211	204	198	198	198	*192*	187	204	187	*187*	187	192
20	149	142	136	134	134	131	134	131	136	139	139	156
21	182	182	192	198	198	204	211	204	204	*206*	*208*	211
22	252	262	252	273	273	284	284	284	297	*274*	252	242
23	284	297	273	284	297	297	297	297	297	*304*	311	311
24	327	327	327	297	284	234	226	252	284	284	204	204
25	160	168	168	177	187	198	204	204	211	218	226	226
26	234	234	242	242	297	327	297	284	273	*268*	*263*	*258*
27	218	226	226	226	234	226	234	234	234	226	204	187
28	168	172	172	182	187	187	182	187	198	187	198	198
29	234	234	234	242	234	234	234	252	242	242	242	*252*
30	234	226	226	226	234	234	284	252	218	218	218	218
31	242	252	234	234	234	234	226	218	218	218	211	218
Mittel	227	230	229	230	234	236	237	233	230	232	226	230

[1]) Isolationsprobe. [2]) Störung durch Spinngewebe.

belle III.

in $^1/_{10}$ mm im Juli 1911.

12-1p	1-2	2-3	3-4	4-5	5-6	6-7	7-8	8-9	9-10	10-11	11-12	Mittel
−2	−6	0	0	0	0	+3	+ 4	+ 7	+9	+ 7	+3	
−2	−2	−2	−1	0	0	+4	**+14**	**+15**	**+2**	**+ 6**	**+6**	
+1	−1	+1	0	+1	**+5**	**+6**	**+ 8**	**+ 7**	+3	+ 4	+4	
−2	−2	−2	−3	−1	−1	+1	0	+ 3	0	+ 2	−1	
					0	−2	+ 2	+ 1	−1	− 1	0	
−5	−1	−3	−5	−3	−2	0	+ 1	+ 1	−1	+ 1	0	
					0	+1	0	+ 2	+1	− 2	0	
−1	−2	−5	−4	−3	−2	−3	− 1	+ 3	+8	+ 3	+4	
+1	0	+2	+1	+3	+3	+4	+ 5	+ 5	+4	+ 1	+3	
−1	−4	−2	−2	−2	−2	+2	+ 1	+ 1	−1	0	−3	
−3	−3	−4	−4	−4	−1	0	+ 3	+ 2	+1	+ 4	+3	
−3	−2	−3	−2	−4	0	−1	+ 2	+ 1	+1	+ 1	0	
−5	−1	+5	0	0	−1	+3	+ 1	+ 6	+2	+ 2	−1	
−4	**−5**	**−7**	**−6**	**−8**	−4	−2	0	+ 1	0	+ 1	0	
						+2	+ 3	+ 3	+4	+ 2	+1	
−3	−2	−3	−5	−5	−2	−2						
+1	+1	+2	0	0	+1	0	0	+ 1	+2	+ 5	−1	
+1	−5	−3	−3	−1	−1	+4	+ 7	+ 7	+4	+ 8	+3	
+4	+4	+3	+2	+2	+2	+3	+ 4	+ 4	+6	+ 4	+7	
−1	+1	+1	0	0	+1	0	+ 3	+ 4	0	+ 4	+2	
−4	−2	−3	−1	−2	0	+1	+ 2	+ 3	−1	0	+1	
−3	−2	−3	−2	−3	−1	−1	− 1	+ 1	+2	0	0	
−4	−5	−6	−6	−2	0	+2	− 1	+ 1	+4	− 3	−8	
+1	−1	−1	+2	−1	+3	+2	+ 2	+ 5	+4	0	−1	
−5	−4	−4	−4	0	0	0	+ 2	+ 4	−3	− 2	+2	
−3	−3	−5	−1	−3	+2	+9	− 4	0	+4	+10	+2	
+3	0	−1	0	+1	+3	+1	+ 4	+ 3	+3	+ 2	+2	
−3	−1	−2	−3	−3	−2	−1	+ 6	+ 2	0	0	+3	
−4	−2	−2	−3	−4	0	+1	+ 2	+ 4	+1	+ 2	+4	
−3	−3	−4	−3	−1	+1	0	+ 4	+ 5	+3	0	−1	
−1	−3	−1	−4	−4	0	+1	+ 4	+ 4	+2	+ 2	0	
−1.9	−2.0	−2.0	−2.0	−1.6	+0.2	+1.5	+2.8	+3.9	+2.3	+2.4	+1.5	

der Bodenluft in 10^{-10} E. S. E. im Juli 1911.

363	363	363	363	363	344	311	311	297	284	273	252	340
226	226	242	252	252	252	262	**252**	**234**	**198**	**177**	**172**	232
126	123	128	131	136	**149**	**145**	**136**	**128**	123	115	113	128
142	149	156	164	172	*182*	192	192	192	198	198	198	152
[1]	[1]	[1]	[1]	[1]	242	242	252	252	242	252	252	—
297	297	297	311	311	311	327	311	327	344	327	327	294
[1]	[1]	[1]	[1]	[1]	327	311	311	311	311	311	297	—
311	297	297	297	297	311	311	311	311	297	284	273	307
152	134	123	107	104	92	86	81	75	76	80	84	152
134	139	136	136	142	134	142	139	145	156	160	164	—
226	234	234	242	226	252	252	242	242	242	242	234	224
218	218	218	226	226	226	234	234	234	234	234	234	227
273	284	284	284	284	284	284	284	273	242	234	234	268
297	**297**	**297**	**297**	**297**	311	327	363	344	344	344	344	295
[2]	[2]	[2]	[2]	[2]	[2]	284	273	262	252	234	226	—
242	242	252	262	273	284	297	[2]	[2]	[2]	[2]	[2]	—
187	182	182	177	177	182	192	192	198	204	204	198	—
273	273	284	284	284	284	297	273	262	242	234	218	250
182	177	177	172	172	172	172	172	172	168	164	160	184
160	164	164	168	172	182	187	187	192	187	187	187	158
211	218	226	234	242	242	242	242	262	234	252	262	219
252	242	242	252	252	262	273	284	262	273	273	273	265
311	327	327	327	344	344	344	344	344	344	327	327	315
198	198	182	177	168	168	164	164	160	156	152	156	221
234	242	242	234	252	252	252	252	242	242	242	234	219
252	234	252	262	252	262	273	242	252	242	242	226	259
182	177	172	226	234	242	218	252	226	218	211	182	217
204	218	218	234	252	252	252	273	252	252	242	242	213
263	*273*	284	252	273	262	262	262	262	242	242	234	249
218	218	218	226	234	242	242	234	234	218	218	218	230
218	218	226	234	234	242	242	242	242	218	218	218	229
232	232	234	238	241	245	246	246	241	233	228	224	234

[1]) Isolationsprobe. [2]) Störung durch Spinngewebe.

suchungen anscheinend nicht so geeignet wie die photographische. Es ist aber auch wohl denkbar, daß die Bodenluft solchen plötzlichen Schwankungen nicht so schnell zu folgen vermag.

Der Einfluß der Windstärke. In München wurde ferner eine saugende Wirkung des Windes auf die Bodenluft festgestellt. Bei stärkerem Wind war der Emanationsgehalt größer. In Potsdam hat sich das ebenfalls nicht bestätigt, wenn es auch bisweilen zutreffen kann. Das wird aber nicht wundernehmen, weil die Luftbewegung am Meßort sehr gering ist. Schon in 2 m Höhe inmitten der „Wiese" herrscht im Mittel nur $^1/_7$ der Windstärke wie in 40 m Höhe. Am Erdboden, wo das Wellblechhaus und ein naher Zaun noch mehr abschirmen, wird kaum $^1/_{10}$ der normalen Luftbewegung vorhanden sein.

Bodenluftemanation und Leitvermögen der Atmosphäre. Aus der vielfachen Ähnlichkeit, die im täglichen Gang zwischen Potentialgefälle und Emanationsgehalt besteht, geht schon hervor, daß zwischen Bodenluftemanation und luftelektrischem Leitvermögen im einzelnen kein Zusammenhang vorhanden sein kann. Da während der Registrierzeit 1910/11 beide Elemente gleichzeitig aufgezeichnet wurden, ist es möglich, das zu verfolgen. So konnte im Oktober, Dezember 1910, Januar, Februar, März, Juli, August und September 1911 an genau denselben normalen Tagen, für welche die Schwankung des Leitvermögens abgeleitet war[1]), auch der Gang des Emanationsgehalts der Bodenluft gebildet werden. In einigen Monaten, z. B. Oktober, September war entgegengesetzter Gang; im März und August eher gleicher; manchmal vormittags gleicher, nachmittags entgegengesetzter u. s. f.; kurz, es war kein regelmäßiger Zusammenhang aufzufinden. Die bearbeiteten Tage waren normal in bezug auf das Leitvermögen der Atmosphäre, nicht in bezug auf die Bodenluft, wo man vor allem Tage mit größeren Luftdruckschwankungen fortlassen müßte. So wird es sich auch erklären, daß in ihnen der tägliche Gang vielfach nicht so ausgeprägt ist wie in sämtlichen Tagen des Monats. Der heiße Sommer 1911 (Juli, August, September) zeigt z. B. an den ausgesuchten Tagen in erster Linie eine deutliche Zunahme der absoluten Werte von Mitternacht über Mittag bis Mitternacht, der der tägliche Gang bloß aufgelagert ist. Das ist ein Beweis für den Anstieg der Emanation an sonnigen Tagen. Die berechneten normalen Tage ergeben den jährlichen Gang des Emanationsgehalts, der ja mit dem des Leitvermögens übereinstimmt, viel ausgeprägter als die gesamten Tage. Januar hatte 0.10×10^{-7} E. S. E., Februar 0.15, März 0.17, Juli 0.22, August 0.22, September 0.26, Oktober 0.14, Dezember 0.20 als Mittelwert.

Zusammenfassung. Durch die Potsdamer Registrierungen scheint bewiesen, daß die vertikale atmosphärische Luftbewegung, einschließlich der Luftdruckänderung, von größtem Einfluß auf den Emanationsgehalt der obersten Erdschichten, also auch auf den Zufluß der Emanation von unten und den Austritt in die Atmosphäre ist. Die Sonnenstrahlung begünstigt ebenfalls den Austritt, doch wird diese Wirkung von anderen Erscheinungen überdeckt. Ein Zusammenhang zwischen den Schwankungen des Emanationsgehalts und denen des atmosphärischen Leitvermögens ist daher wohl im jährlichen Gange, nicht aber im täglichen und in Einzelschwankungen vorhanden.

[1]) Vgl. Ergebnisse der Metorologischen Beobachtungen in Potsdam im Jahre 1911. Fig. 2, S. XXI und XXII.

Untersuchungen über den Tropfregenmesser.

Von **E. Barkow.**

Nachdem der von Gallenkamp[1]) angegebene und von Sprung[2]) konstruktiv weiter durchgebildete Tropfregenmesser nunmehr längere Zeit am Meteorologischen Observatorium zu Potsdam gearbeitet hat, erscheint es zweckmäßig, über die damit gesammelten Erfahrungen zu berichten.

Das Prinzip des Apparates ist kurz das folgende. Das in dem Regenauffanggefäß sich sammelnde Wasser fließt in ein S-förmig gebogenes Rohr, aus dessen anderer Öffnung es dann in Tropfenform abfließt. Diese Tropfen schließen auf irgend eine Weise einen elektrischen Stromkreis. Bei der von Sprung gewählten Methode muß jeder Tropfen zwischen zwei Metallstreifen hindurch fallen und dadurch einen elektrischen Strom schließen. Die Stromstöße werden im Innern des Hauses durch einen Sprungschen Apparat für elektrische Regenaufzeichnung[3]) registriert, während der Auffangeapparat natürlich im Freien aufgestellt sein muß. Da das Regenwasser an und für sich den Strom zu schlecht leitet, so befinden sich im S-Rohr kleine Gipsstückchen, die bei ihrer allmählichen Lösung dem Wasser eine genügende Leitfähigkeit erteilen; der Strom wird so bei einer Spannung von 40—60 Volt stark genug, um den Registrierapparat betätigen zu können. Die Elektroden bestehen aus zwei Kupferblechen, auf die an den Kontaktflächen zwei dünne Platinbleche aufgelötet sind; an den unteren Enden der Bleche sind Bernsteinstücke angekittet, um bei dem unvermeidlichen Hängenbleiben einer gewissen Wassermenge an den Elektroden einen dauernden Stromschluß zu verhindern. Die schematische Zeichnung, Fig. 1, möge die obigen Bemerkungen noch näher erläutern.

Der Außenapparat erfordert eine sorgfältige Überwachung. Von Zeit zu Zeit ist das S-Rohr zu reinigen und mit neuen Gipsstückchen zu versehen; wenn das Vorderende des S-Rohres trocken und unrein ist, besteht die Gefahr einer unvollständigen Benetzung der Tropffläche, und dadurch wird selbstverständlich die Tropfengröße erheblich beeinflußt. Auch die Elektroden sind öfter zu putzen, da sich durch Schmutz und elektrolytische Vorgänge ein sehr schlecht leitender Überzug auf den Platinblechen bildet, der schließlich den Stromdurchgang verhindert. Auch ist das S-Rohr immer vollständig mit Wasser gefüllt zu halten, da bei trockner Witterung ein Teil des in ihm enthaltenen Wassers verdunstet und bei eintretendem Regen sonst die erste Menge nur zur Auffüllung des Rohres dient, ohne wirklich aufgezeichnet zu werden. Gelegentlich geraten auch Insekten, meist Ameisen, zwischen die Elektroden und werden dadurch elektrisch hingerichtet; daraus ergibt sich ebenfalls eine Funktionsstörung des Apparates. Daß schließlich der Apparat nur für Regen und in der frostfreien Zeit brauchbar ist, bedarf keiner weiteren Erläuterung.

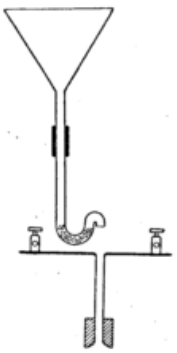

Fig. 1.

Die Empfindlichkeit des Tropfregenmessers hängt von zwei Faktoren ab, der Größe der Auffangfläche und der Größe des abfallenden Tropfens.

---

[1]) W. Gallenkamp, Met. Zeitschr. **22**, 1905, S. 1.

[2]) A. Sprung, Das Wetter **22**, 1905, S. 56—58; Zeitschr. f. Instrumentenkunde 1907, S. 341—343.

[3]) A. Sprung und R. Fueß, Met. Zeitsch. 1889, S. 344.

Da die Tropfen im allgemeinen nicht sehr groß werden können — Wassertropfen von 0.25 g und darüber lassen sich nur unter besonderen Vorsichtsmaßregeln erzeugen, etwa 0.20 g ist annähernd die oberste praktisch hier verwendbare Größe — so muß die Auffangfläche nach Möglichkeit verkleinert werden. Freilich darf man hierbei auch nicht zu weit gehen, da bekanntlich bei allzu kleinen Flächen die Messungen zu ungenau und fehlerhaft werden, wie sich aus dem Vergleich mit größeren Auffangflächen ergeben hat. Im vorliegenden Fall ist die Auffangfläche 84.5 qcm groß, dürfte also nach den bisherigen Erfahrungen etwa die untere Grenze der zulässigen Größe bilden. Daß die Auffangfläche noch nicht zu klein ist, ergibt sich aus einer Vergleichung der Tagesmengen mit denen eines in unmittelbarer Nachbarschaft aufgestellten gewöhnlichen Hellmannschen Regenmessers. Das Resultat der Vergleichung ist in Tab. 1 wiedergegeben.

Tab. 1. Vergleich des Stationsregenmessers Hellmann „vor dem Haus" [H] und des registrierenden Tropfregenmessers [T]. Tagesmengen.

Häufigkeit der Abweichungen H—T in Prozenten der jeweiligen Anzahl.

H—T mm	H ≦ 1.0 mm %	H 1.1 ≦ H ≦ 5.0 %	H H ≧ 5.1 mm %	Summe %
1.1 u. mehr	—	—	3	0
1.0	—	—	—	—
0.9	—	—	—	—
0.8	1	—	—	0
0.7	—	—	—	—
0.6	1	—	3	1
0.5	—	—	—	—
0.4	—	—	5	1
0.3	—	—	5	1
0.2	2	1	8	3
0.1	3	9	8	6
0.0	47	36	21	38
−0.1	29	27	5	24
−0.2	13	20	21	17
−0.3	1	1	3	1
−0.4	—	4	5	2
−0.5	—	—	5	1
−0.6	1	—	—	0
−0.7	—	—	—	—
−0.8	—	—	—	—
−0.9	—	—	—	—
−1.0	—	—	—	—
−1.1 u. mehr	1	2	10	3
Anzahl	92	81	39	212

Es sind die Jahrgänge 1908 und 1909 zu dem Vergleiche benutzt; es ergibt sich, daß der Tropfregenmesser im Durchschnitt etwas mehr gibt als der Hellmannsche Regenmesser, und zwar steigt die Differenz mit zunehmender Größe der Tagesmenge. Die Untersuchung der wahren Ursache dieser Abweichung, die sich übrigens in jedem der beiden Jahre zeigt, liegt nicht im Rahmen dieser Abhandlung. Doch sei darauf hingewiesen, daß der Tropfregenmesser ein wenig tiefer und windgeschützter steht als der andere.

Der zweite Faktor für die Empfindlichkeit des Regenmessers ist die Größe des abfallenden Tropfens. Da die Auffangfläche nicht noch kleiner gemacht werden konnte, so mußte der Tropfen tunlichst groß gemacht werden, um auch bei sehr starken Niederschlägen noch ein Nachfolgen des Apparates zu gewährleisten. Bei zu schneller Tropfenfolge besteht ja die Gefahr, daß der Tropfenfluß in eine kontinuierliche Strömung übergeht, oder daß im ersteren Falle ein Tropfen zwischen die Elektrodenbleche kommt, ehe der vorhergehende sie verlassen hat. In beiden Fällen ist natürlich eine Registrierung unmöglich. Bei der gewählten Auffangfläche von 84.5 qcm ist, wie die weiter unten beschriebenen Versuche zeigen, noch eine Registrierung von Regenintensitäten bis zu etwa 4—5 mm pro Min. erreichbar, eine Größe, die auch noch für die stärksten vorkommenden Regenfälle ausreicht.

Die weitere und wichtigste Frage ist die nach der Veränderlichkeit der Tropfengröße unter verschiedenen Bedingungen. Die Literatur über Tropfen ist bereits recht umfangreich[1]). Die Untersuchung dieser Frage ist teils von physikalischer, teils von chemischer, teils von pharmazeutischer Seite in Angriff genommen worden. Da Tropfenform und Tropfengröße der Hauptsache nach durch die Kapillarkräfte bestimmt werden, so kann man umgekehrt hierauf eine Methode zur Bestimmung der Kapillarkonstanten gründen, die besonders für Wasser stark von der Oberflächenbeschaffenheit abhängen (ganz geringe Verunreinigungen beeinflussen die Kapillarkonstanten erheblich); endlich ist die Tropfenfrage für die Apotheker von praktischer Bedeutung, da diese Methode zur Dosierung von flüssigen Arzneimitteln vielfach benutzt wird. Da es sich im vorliegenden Fall um Wasser handelt, kommt ein großer Teil dieser Untersuchungen für uns wenig in Betracht.

Die allgemeine Theorie des Tropfens konnte bisher nur für statische Verhältnisse, d. h. für den Spezialfall unendlich langsamer Tropfenbildung, durchgeführt werden[2]). Für den dynamischen Fall scheiterte die Theorie bisher an mathematischen Schwierigkeiten.

Man hat zwischen hängenden und fallenden Tropfen zu unterscheiden. Hat sich an einer horizontalen oder sonstwie gestalteten Fläche eine gewisse Menge Flüssigkeit angesammelt, so haben wir einen hängenden Tropfen; bei größer werdender Flüssigkeitsmenge schnürt sich allmählich der untere Teil des Tropfens ab, die Einschnürung wird immer schmaler und endlich fällt ein Teil als fallender Tropfen ab; ein Teil der Flüssigkeitsmenge bleibt als Tropfenrest hängen und nimmt wieder die Gestalt eines hängenden Tropfens an. Mit zunehmender Größe der Abtropffläche nimmt die Größe des fallenden Tropfens zu aber nicht nach einem einfachen Gesetz. Noch verwickelter wird der Fall, wenn sich der Tropfen nicht mehr unendlich langsam bildet. Allgemein läßt sich soviel sagen, wie auch die Erfahrnng bestätigt, daß der Tropfen größer wird als es den statischen Verhältnissen entspricht, denn während der Abschnürung des fallenden Tropfens strömt noch Flüssigkeit in den sich abschnürenden Teil nach und vergrößert so das Tropfengewicht. Als weiteres Moment tritt der Umstand hinzu, daß die zuströmende Flüssigkeit infolge ihrer Geschwindigkeit einen Druck auf den fallenden Tropfen ausübt. Von einer Konstanz der Tropfengrößen kann also nicht die Rede sein. Es fragt sich nur, halten sich die Abweichungen in für den vorliegenden Fall erträglichen Grenzen.

Die Abhängigkeit der Tropfengröße von der Tropfgeschwindigkeit hat zuerst Frankenheim[3]) erkannt und einige Zahlenwerte dafür gegeben. Es erschien aber doch wünschenswert, diese Frage noch etwas näher zu untersuchen, wie groß die Schwankungen der Tropfengröße sind, die im vorliegenden Falle auftreten können. Bei einem Apparate, der wie ein Regenmesser allen Witterungseinflüssen ausgesetzt ist, kann man die Verhältnisse, unter denen er jeweils arbeitet, nie genau definieren. Daher erschien es auch unnötig bei den Versuchen alle die Vorsichtsmaßregeln anzuwenden, die bei einer rein physikalischen Untersuchung der Tropfenproblems am Platze gewesen wären.

Wie schon erwähnt, wird jeden Morgen um 7 Uhr die im Sammelgefäß vorhandene Regenmenge gemessen und die Zahl der registrierten Tropfen bestimmt; der Quotient ergibt dann das mittlere Tropfengewicht. Dieser Wert ist nun starken Schwankungen unterworfen. Als Beispiel führe ich die betreffenden Werte des Monats August 1908 an (Tabelle 2).

Da im allgemeinen die größeren Tagesmengen auch intensiveren Regenfällen entsprechen, so zeigt sich hier bereits die Abhängigkeit der Tropfengröße von der Regenintensität, sie läßt sich aber infolge des ständigen Wechsels des Regenfalls nicht genau zahlenmäßig fassen. Bei den daraufhin Anfang 1910 angestellten Laboratoriumsversuchen wurde das S-Rohr und die Kontaktvorrichtung des Außenapparats verwandt und der Registrierapparat zur Aufzeichnung der Kontaktzahlen benutzt. Eine unmittelbare Auszählung der Tropfen ist vor allem bei sehr großer Tropfgeschwindigkeit, mehrere Tropfen in der Sekunde, schwierig und bei sehr langsamer Tropfenfolge, Versuchsdauer mehrere Stunden, zu mühsam. Die Wasserzuführung zum S-Rohr mußte während der Dauer eines Versuchs konstant bleiben und von Versuch zu Versuch stark verändert werden können. Ein mit Hahn versehener größerer Glastrichter diente als Vorratsgefäß, von ihm führte ein Gummischlauch zu einem zu einer Spitze ausgezogenen Glasrohr, das unmittelbar bis in das Wasssr des freien Schenkels des S-Rohres führte. Durch Veränderung der Druckhöhe, durch Stellung des Hahnes, sowie durch mehr oder weniger fein ausgezogene Glasröhren, teilweise auch Einschalten von Kapillaren wurde die nötige Abdrosselung

[1]) Vergl. die eingehende Literaturzusammenstellung bei Ollivier: Recherches sur la Capillarité. Ann. de chimie et de physique. 8. Serie, **10**, 1907, S. 229—321.

[2]) Th. Lohnstein, Ann. d. Physik **20**, 1906, S. 237—268, 606—618, **21**, 1906, S. 1030—48; F. Kohlrausch, Ann. d. Physik **20**, 1906, S. 798—806 u. Lehrbuch der prakt. Physik. 11. Aufl., 1910. S. 255.

[3]) M. L. Frankenheim, Die Lehre von der Kohäsion. Breslau 1835, S. 95 ff.

des Wasserzuflusses erreicht. Die größte Schwierigkeit machte dauernde Aufrechterhaltung der geringsten Intensitäten. Hierbei war die Zeitdifferenz bis zu 200 Sekunden und die stündliche Durchflußmenge nur $2^1/_2$—3 Kubikcentimeter; die oberste Grenze, bei der noch diskontinuierlicher Tropfenfluß möglich war, betrug etwa 50 Kubikcentimeter pro Minute bei einer Tropfenfolge von etwa 0.2 Sekunden, oder in Regenintensität für eine Auffangefläche von 84.5 cm² umgerechnet 5—6 mm pro Minute.

Tab. 2. Tropfenregenmesser im August 1908

(gemessen 7^a).

Datum	Regenmenge	Kontaktzahl	Tropfengröße cm³
1	4.0	206	0.165
2	2.8	118	0.199
3	1.6	122	*0.111*
4	1.7	85	0.165
12	10.9	558	0.166
13	2.1	105	0.171
15	0.9	41	0.183
16	1.4	73	0.164
17	0.5	27	0.163
22	9.1	438	0.176
23	0.4	23	0.161
24	9.8	476	0.174
25	3.4	152	*0.186*
26	0.6	29	0.190
28	3.4	154	0.187
29	0.6	29	0.172
30	0.4	21	0.167

Um für die Einzelwerte der Tropfengröße etwas genauere Angaben zu erhalten, wurde bei jedem Versuch eine größere Anzahl Tropfen benutzt, selten unter 50 meist über 100. Die Resultate dreier Versuchsreihen, die mit dem für die letzten Monate im Regenmesser benutzten S-Rohr ausgeführt wurden, sind in Figur 2 graphisch dargestellt. Die Einzelreihen sind dabei durch verschiedene Bezeichnungen kenntlich gemacht. Der größte Wert ist fast doppelt so groß als der kleinste. Abgesehen von der deutlich hervortretenden Abhängigkeit der Tropfengröße von der Tropfgeschwindigkeit zeigt sich auch bei gleichen Intensitäten eine oft recht beträchtliche Größendifferenz, die 20—30 %

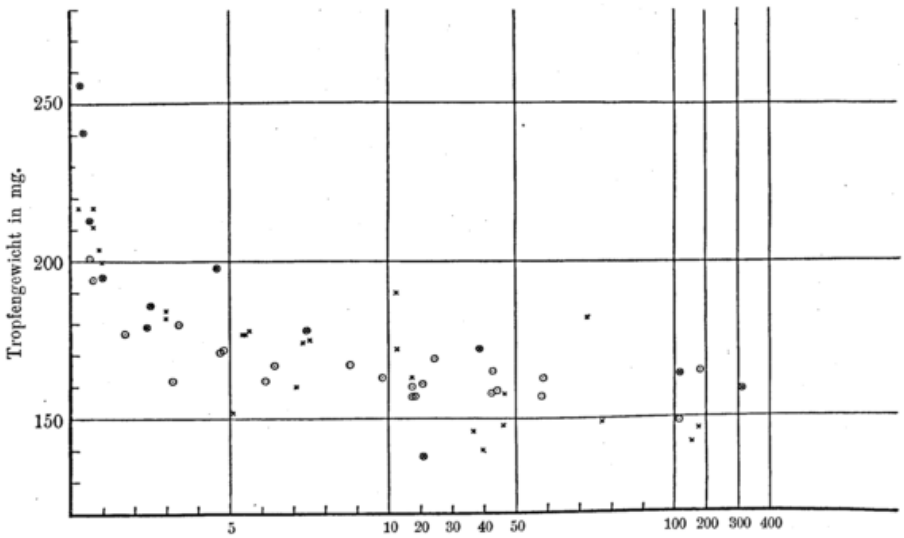

Zeitdifferenz zwischen zwei Tropfen in Sekunden.
Sprungweise Änderung des Maßstabs bei 10 und 100.

Fig. 2.

erreichen kann. Auch bei zeitlich unmittelbar aufeinanderfolgenden Versuchen bei ungeänderten Bedingungen können die Differenzen von etwa 5 % auftreten. Weitere Versuche mit anderen Tropfröhren teils mit rauhem teils mit glattem teils mit paraffiniertem Tropfrand, mit Leitungs- oder destilliertem Wasser, mit oder ohne Gipsstückchen ergaben kein prinzipiell verschiedenes Resultat; doch schien es so, als ob kleinere Tropfen etwas weniger veränderlich gewesen wären. Bei Verwendung der Tropfmethode in einem Außenapparat dürften die Bedingungen zum mindesten nicht günstiger liegen als unter Laboratoriumsverhältnissen.

Die Verwendung des Tropfregenmessers zur Entnahme von Stundenmengen des Niederschlags ist also nach obigen Darlegungen nicht zu empfehlen, da eben die Mengeneinheit der Tropfen von der Regenintensität abhängig ist. Auch für den Zweck, den Gallenkamp bei der Ausarbeitung der Methode besonders im Auge hatte, nämlich die Intensität des einzelnen Regenfalls näher zu untersuchen, ist der Apparat nur bei geringen Ansprüchen an Genauigkeit zu gebrauchen. Die Maxima der Intensitätskurve werden auf jeden Fall stark abgeschwächt, da die Maßeinheit der Tropfen eine Funktion der Intensität selbst ist. Da außerdem die „zufälligen" Änderungen der Tropfengröße, so will ich sie hier einmal nennen, der Größenordnung nach gleich den „gesetzmäßigen" Änderungen sein können, so sind extreme Fälle denkbar, in denen die aufgezeichnete Regenintensität wenig Ähnlichkeit mit der in Wirklichkeit vorhandenen hat; doch dies wird praktisch sehr selten oder nie der Fall sein. Wenn es sich nur um die Registrierung der Regendauer handelt, so kann der Tropfregenmesser recht gute Dienste leisten; denn, gute Bedienung des Apparates vorausgesetzt, ist die Zeit bis zum Abfallen des ersten Tropfens relativ kurz. Das Ende des Regens wird nicht so gut wiedergegeben, da häufig der letzte Tropfen erst dann abfällt, wenn es längst aufgehört hat zu regnen. Wenn man auf Aufzeichnung stärkerer Regenfälle verzichtet, so kann man durch Vergrößerung der Auffangefläche oder Verkleinerung der Tropfen oder beides diese Zeit noch beträchtlich herabsetzen. Freilich geht immer noch die Zeit bis zur Benetzung der Auffangefläche verloren. An diesem Mangel leiden aber alle Regenmesser, soweit sie nicht auf dem Prinzip der Wägung beruhen.

Terminbeobachtungen

Januar 1912

$\varphi = 52° 23' N$ $\lambda = 13° 4' = 52^m 15^s E$ $H_b = 84.9$ m $C_g = +0.50$ mm bei 753 mm

Datum	Luftdruck auf 0° und Normalschwere reduziert 700 mm + 7ª	2ᵖ	9ᵖ	Lufttemperatur C° 7ª	2ᵖ	9ᵖ	Max.	Min.	Dampfspannung mm 7ª	2ᵖ	9ᵖ	Relative Feuchtigkeit Proz. 7ª	2ᵖ	9ᵖ	Richtung und Stärke des Windes 0 bis 12 7ª	2ᵖ	9ᵖ	Bewölkung 0 bis 10 7ª	2ᵖ	9ᵖ	Niederschlag mm 7ª	Schneedecke cm 7ª	Bemerkungen
1	63.6	64.9	64.8	1.0	3.8	3.7	4.3	-1.7	4.9	6.0	6.0	99	100	100	W 2	W 2	W 3	10	10	10	1.8	0	≡ n, ≡ 1-0 7ª-6ᵖ, ● 1¹⁰-4ª
2	60.8	58.8	58.7	5.7	7.0	6.5	7.5	3.5	6.9	7.0	6.9	100	93	96	W 4	W 7	W 5	10	10²	10	1.2	.	≡ 1-0 8-12ª, ● 0 3³⁰-7³⁰ª m. U., 1)
3	55.0	49.6	49.5	5.7	5.5	5.6	6.5	5.3	6.4	6.3	5.3	93	93	78	W 5	W 6	WNW 7	10	10²	10	0.3	.	≡ 0 8ª, 12ª, ● 0 1⁵⁵-5¼ᵖ m. U.
4	50.5	47.4	47.2	3.4	3.8	2.9	5.6	2.2	5.3	5.2	5.3	91	86	94	W 5	W 4	W 3	10	10²	10	1.2	.	● 0 0³⁰-1ᵖ, ● 0 sch. 1¼-1¾ᵖ, ● 0 2)
5	43.2	36.4	33.7	2.1	6.2	4.4	6.2	1.6	5.2	6.8	6.1	98	96	97	SSE 2	WSW 4	W 4	10 ●	10²	10 ●	1.9	.	● 0 n-3ᵖ m. U., ● 0-1 5¼ᵖ-n
6	34.9	34.7	32.1	3.0	3.5	0.1	4.5	0.1	5.0	4.7	4.5	87	80	97	W 7	W 6	E 1	10	10²	10	18.8	.	≡ 0 8-9ᵖ, ✳ 4-5ª, ● 0 n-6ª m. U., 3)
7	25.7	30.3	40.5	-5.1	-5.8	-4.7	0.1	-6.2	2.9	2.5	2.7	91	85	84	E 4	NE 4	NW 2	10 ✳	10² ✳	9	5.4	2	✳ 0-1 0⁴⁵ª-3ᵖ
8	47.6	49.2	51.5	-5.4	-1.6	-4.7	-1.6	-8.2	2.7	3.5	3.1	88	85	96	WSW 2	WNW 3	WNW 1	9 ✳	9¹	1	4.0	4	✳ fl. zeitweise a, △ 10⁵⁰-11¹⁰ᵖ, 4)
9	49.6	48.4	49.1	-5.2	-3.2	-4.0	-2.7	-5.2	3.0	3.5	3.3	96	97	97	ESE 2	E 2	E 2	10²	10² ✳	10²	0.3	6	V 1 7ª n. abd., ≡ 0-1 8-10ª, ✳ 0-1 5)
10	53.4	58.3	63.9	-7.8	-4.4	-10.0	-3.9	-10.0	2.3	2.7	2.0	91	82	91	E 2	NE 2	N 1	2⁰	0 ⊙	0	1.1	7	∞ 1 ≡ 0 10ª-2ᵖ
11	67.7	69.3	69.0	-14.0	-6.6	-10.4	-6.4	-14.6	1.4	2.2	1.9	88	79	91	W 1	FSE 2	ESE 4	0	1⁰ ⊙	2	0.0	7	
12	66.5	65.6	66.7	-8.3	-6.0	-11.4	-6.0	-11.5	1.9	1.6	1.6	79	55	83	ESE 4	ESE 4	ESE 4	10	1⁰ ⊙	0	.	7	
13	67.9	68.0	68.5	-15.8	-6.6	-12.2	-6.6	-15.8	1.2	1.7	1.4	86	59	79	E 4	E 4	E 4	3⁰	1⁰ ⊙	0	.	7	
14	67.6	66.4	65.8	-15.7	-10.1	-13.3	-9.5	-16.1	1.2	1.4	1.4	91	64	84	E 3	E 3	E 3	8⁰	0 ⊙	0	.	7	
15	63.5	62.1	62.1	-15.4	-8.3	-12.5	-7.8	-15.4	1.3	1.5	1.5	96	62	85	E 3	ESE 3	FSE 4	0	5⁰ ⊙	0	.	7	
16	61.9	62.6	64.7	-14.8	-7.3	-11.7	-7.0	-15.6	1.3	1.7	1.6	86	62	83	E 4	E 4	E 3	8⁰	7⁰ ⊙	0	.	7	✳ 11ᵖ-n
17	65.7	68.5	69.8	-11.7	-8.7	-12.4	-8.5	-12.7	1.6	1.5	1.5	86	61	85	E 5	E 4	E 4	0	0 ⊙	0	0.1	8	✳ n-0⁵⁰ª, 11⁵⁰ᵖ-n
18	68.8	68.0	67.5	-8.0	-6.1	-9.9	-5.7	-12.3	2.2	2.1	1.7	86	72	79	E 4	E 4	E 4	8	4¹ ⊙	2	.	8	✳ n-1³⁰ª, ✳ fl. 10ª, ⊕ 12ª
19	66.5	64.6	62.9	-11.7	-4.3	-7.4	-3.5	-11.7	1.4	1.6	2.0	76	47	75	E 4	ESE 2	E 4	4¹	4¹	2	.	8	
20	59.0	57.4	56.8	-7.4	-0.3	-4.8	-0.2	-8.4	1.9	2.2	2.7	72	50	84	SE 3	SE 2	S 3	4⁰	1⁰ ⊙	0	.	7	[● tr. 10²⁵ᵖ
21	56.2	55.5	54.1	-4.1	-0.6	-0.4	-0.1	-6.5	3.3	3.2	4.1	96	73	92	W 2	W 2	W 3	10	5⁰ ⊙	10	.	7	≡ 0 3²⁰ª-12ª u. n, Eis ● 8¼-8¾ᵖ,
22	53.1	53.8	52.8	2.4	3.4	2.0	3.5	-0.3	5.4	5.0	4.9	98	86	92	W 4	W 2	SSE 2	10	10¹	10	0.1	6	[11¼ª-1ᵖ, 3¼ᵖ
23	50.6	50.2	51.6	0.6	0.8	0.5	2.1	0.5	4.6	4.8	4.8	96	98	100	SSW 2	E 2	E 2	10	10 ²	10	.	4	≡ 0 8ª-4ᵖ, 8-10ᵖ, ≡ 2ᵖ, 8ᵖ, ● tr.
24	51.7	50.8	50.8	0.3	3.2	0.8	3.2	0.2	4.7	5.0	4.9	100	86	100	E 3	SE 3	WSW 3	10	9¹	3	0.5	3	≡ 0 7-12ª, 4ᵖ, 8ᵖ-n, ⌣ abd., ∈ 8ᵖ
25	48.1	46.5	46.2	-0.4	7.1	1.1	7.1	-1.8	4.4	5.0	4.4	98	66	88	SSE 2	C	SW 3	6¹	1¹ ●	0	0.8	0	⌣ 1 7ª, ≡ 0 8ª-6ᵖ, ∈ 6ᵖ, 9ᵖ
26	46.9	47.2	46.1	1.1	3.1	2.1	3.4	-0.1	5.0	5.5	5.2	100	95	97	W 2	W 3	WSW 3	10	10²	10	0.1	0	≡ ≡ 1-0 7ª-9ᵖ, ● 0 4¼-6¼ᵖ, 6)
27	49.6	55.1	59.1	-2.3	-1.3	-5.6	2.3	-5.6	3.1	2.3	2.4	80	54	81	NNW 5	N 4	N 1	9¹	6¹ ⊙	0	0.2	0	✳ fl. 9ª, ✳ 0 9²⁰-10ª
28	59.2	58.1	58.2	-8.0	-3.5	-3.4	-3.1	-9.6	2.2	2.7	3.1	88	75	86	SW 2	SW 2	WSW 1	9¹	10¹	10	0.0	0	✳ fl. häufig a seit 9¾ª, ✳ 0 2¼-3¼ᵖ
29	56.7	55.6	56.3	-1.7	0.4	0.2	1.1	-4.5	3.7	4.4	4.7	90	93	100	W 3	W 3	NNW 1	9¹	10²	10² ✳	0.0	0	✳ 0-1 zeitweise 0⁴⁰-9ᵖ
30	59.3	59.4	56.5	-7.2	-0.4	-5.6	0.7	-7.5	2.5	2.7	2.6	94	60	85	ENE 2	E 1	S 3	0	1⁰ ⊙	3⁰	0.9	0	
31	48.6	44.5	44.1	-3.8	0.4	-2.8	1.1	-7.5	3.0	4.2	3.3	86	89	89	SW 4	W 4	W 4	10¹	10² ✳ △	0	.	0	✳ 1 9-11ª, 4⁴⁰-5ᵖ, ✳ fl. a u. p, zeitweise auch △ 0
Mittel	55.5	55.1	55.5	-4.8	-1.2	-3.8	-0.4	-6.3	3.3	3.6	3.4	91	77	89	3.3	3.2	3.0	7.4	6.3	4.9	38.7		

Februar 1912

Datum	7ª	2ᵖ	9ᵖ	7ª	2ᵖ	9ᵖ	Max.	Min.	7ª	2ᵖ	9ᵖ	7ª	2ᵖ	9ᵖ	7ª	2ᵖ	9ᵖ	7ª	2ᵖ	9ᵖ	7ª	7ª	Bemerkungen
1	43.0	42.0	36.9	-4.3	-2.7	-3.0	-2.5	-4.5	3.0	2.7	3.6	90	70	98	W 4	C	SSW 3	9¹	10¹ ✳	9¹	2.5	4	✳ 0 8¼-10ª, 4¼-5ᵖ, 8¾ᵖ, 10⁵⁰ᵖ-n,
2	37.8	38.4	37.8	-11.2	-8.0	-13.6	-1.7	-14.4	1.7	1.4	1.5	87	55	92	N 3	N 1	NE 2	0	1⁰ ⊙	4⁰	2.5	8	✳ n-2²⁰ª [✳ fl. p
3	38.3	42.3	46.3	-16.0	-10.1	-16.4	-9.3	-16.5	1.2	1.2	1.1	86	57	81	NNW 2	NNW 2	W 2	10¹	1⁰ ⊙	3⁰	.	6	
4	50.3	51.6	51.5	-18.7	-9.1	-17.1	-8.4	-18.7	1.0	0.9	0.9	89	40	75	NW 1	SE 1	E 3	0	1⁰ ⊙	0	.	6	∞ 1 8-12ª
5	47.0	44.7	44.4	-19.1	-9.6	-12.0	-9.0	-19.2	0.9	1.3	1.4	83	59	75	E 4	E 3	E 3	0	0 ⊙	10¹	.	6	∞ a u. p
6	42.7	42.8	43.5	-7.0	3.3	0.1	3.7	-12.8	2.2	3.7	3.9	81	64	85	E 4	FSE 3	SE 3	10¹	3⁰ ⊙	0	.	6	
7	42.8	44.7	46.9	1.3	10.0	4.7	10.8	-0.2	4.5	5.7	5.6	90	62	87	SE 4	SW 3	SSW 3	9⁰	2⁰ ⊙	0	1.0	5	● tr. 1⁴⁵ª, ● 0 3-5ª, ∞ 2 5-8ª
8	46.1	44.2	43.8	-1.0	9.0	3.1	9.8	-1.3	4.2	5.4	5.0	98	63	87	ESE 4	ESE 3	SE 3	0	0 ⊙	1⁰	.	.	∞ 1 a
9	41.4	40.4	41.3	-0.3	5.5	3.1	6.1	-0.4	4.5	5.3	4.9	100	79	86	ESE 3	SSE 2	SW 3	7⁰	9¹	0	.	.	≡ 0 8-12ª
10	43.2	43.4	43.5	1.2	9.9	4.5	10.6	0.5	4.9	6.0	6.0	98	66	96	W 2	C	N 1	0	7⁰	1	.	.	∞ 2-1 8ª-9ᵖ, ≡ 10ᵖ-n, ∈ 3⁴⁰-7ª, 1)
11	42.3	42.5	43.5	-1.7	2.4	0.6	4.5	-1.9	4.0	5.4	4.8	98	100	100	C	C	NE 1	10	10²	10	.	.	≡ 0-1 a u. p, ● 0 11ᵖ-0²⁰ª
12	47.2	49.5	51.1	-0.1	1.9	1.2	2.1	-0.3	4.6	5.2	4.9	100	98	98	W 2	C	E 2	10	10²	10	0.2	.	≡ 0-1 a u. p, ✳ 0 8¼-11¼ª
13	53.4	54.5	54.4	0.2	2.6	1.3	2.7	0.2	4.7	4.8	4.8	100	87	95	E 3	ESE 3	ESE 3	10	10²	10	1.2	.	≡ n-5ª, ● 0 7-8½ª
14	54.0	54.1	54.8	-0.2	1.0	0.6	1.5	-0.2	4.4	4.7	4.7	96	95	98	ESE 3	E 3	E 1	10	10²	10	0.1	.	≡ 0 10ª-1ᵖ, ● tr. 2ª, ● 0 6¼-9ᵖ m. U.
15	56.2	57.9	58.9	-0.1	1.2	0.7	1.5	-0.2	4.5	4.7	4.7	98	95	98	C	NW 2	W 2	10	10²	10	0.2	.	≡ 0 a u. p, ≡ 7-9ᵖ
16	60.7	61.7	62.2	-1.0	2.3	-0.6	3.4	-1.1	4.1	3.6	4.1	96	67	93	NNW 2	WSW 1	E 3	10	9¹	3	0.1	.	≡ n-3³⁰ª
17	61.2	60.2	58.9	0.8	8.6	4.8	9.0	-1.1	4.7	6.7	6.1	96	80	94	SE 3	W 2	SSW 3	10	10¹	1	.	.	≡ 10ᵖ-n
18	55.5	53.9	52.3	2.4	13.1	7.3	13.5	2.3	4.7	5.2	6.1	87	46	79	SW 3	W 1	SW 2	2⁰	10⁰	2	.	.	⊕ 3-4¼ᵖ
19	48.5	46.8	45.4	3.3	12.7	7.3	13.6	3.1	5.0	5.8	6.4	86	53	83	SW 3	W 2	SW 3	3⁰	2⁰ ⊙	8⁰	.	.	⊕ 8¼-10ª
20	45.6	46.8	47.2	6.4	9.8	4.7	11.3	4.5	6.6	5.8	5.2	92	64	81	SW 3	W 3	SW 4	8⁰	8¹	1⁰	0.2	.	● 0 2⁴⁰-3³⁵ª m. U.
21	47.0	49.8	53.7	2.9	4.5	3.7	4.7	2.0	5.6	6.2	5.9	100	99	98	SW 3	W 2	NE 2	10² ●	10² ●	10²	0.9	.	≡ 10ᵖ, ● 0-1 4¹⁰ª-8³⁰ᵖ
22	60.0	62.1	61.7	-0.7	1.1	0.2	3.7	-0.9	4.4	4.7	4.7	100	95	100	N 1	C	SE 3	10² ●	10²	10²	3.1	.	≡ 0-1 a u. p, Spr. ● 7-10ª
23	56.7	54.1	51.7	3.7	10.6	9.7	10.9	-0.1	5.9	9.0	8.9	98	94	99	SSW 3	WSW 4	SW 4	10² ●	10² ●	10² ●	1.2	.	≡ n-4ª, Tal ≡ 1 4ᵖ, ● 1-0 5⁴⁰ª-n
24	49.5	47.9	51.1	8.8	10.0	5.1	10.2	4.9	8.5	9.2	6.5	100	100	99	WSW 3	WSW 3	W 3	10² ●	10² ●	10²	12.0	.	≡ 0-1 a, Tal ≡ 2 0ᵖ, ≡ 10ᵖ, ● 0-1
25	52.7	54.1	55.4	0.6	0.9	0.5	5.3	0.1	4.8	4.8	4.7	100	98	98	N 1	C	C	10²	10²	10²	6.8	.	≡ 1-0 a u. p [n-2⁵⁰ª, ● 1 1¹⁵-5ᵖ
26	55.8	56.8	56.2	1.0	6.1	7.4	8.2	0.5	4.9	6.0	6.2	100	85	81	SE 2	NW 1	S 3	10²	4⁰ ⊙	9¹	0.1	.	≡ n-3ª
27	55.2	52.6	55.9	5.4	9.8	7.4	10.0	4.2	6.2	8.0	6.5	93	88	84	SW 4	SW 4	W 6	10²	9¾ ⊙	10²	0.1	.	● 0 5²⁵⁻⁴⁰ª, 6¾ª, Spr. ● 10¼ª, ● 0-1 2)
28	56.9	55.8	60.0	6.6	9.1	7.7	9.4	6.6	6.0	8.0	7.6	83	93	96	WSW 4	W 6	W 2	10²	10²	10¹	6.3	.	● tr. 4ª, 9¼ª, 11ª-1ᵖ, 5¹⁰⁻³⁰ᵖ
29	59.4	56.2	54.8	6.4	17.0	10.4	17.5	6.4	7.1	7.6	7.9	99	53	84	SSE 2	S 3	S 4	4⁰	4⁰ ⊙	8¹	0.1	.	≡ 0 7-8ª, ∈ 6-9ᵖ, ⊖ 8ᵖ
Mittel	50.0	50.1	50.5	-1.0	4.2	1.2	5.3	-2.0	4.4	5.1	5.0	94	76	90	2.6	2.0	2.7	7.3	6.9	6.2	38.6		

Januar: 1) ● 0 10²⁸-11⁵⁰ᵖ 2) 10¹³ᵖ-n m. U. 3) ● 0 ✳ 1²⁵ᵖ, ● tr. 1¼-2ᵖ, ● 0 △ 3¼-6ᵖ, ✳ 0 ● 0 6¼-7¼ᵖ 4) ✳ 11¹⁰ᵖ-0²⁰ª m. U. 5) 10¼ª-2ᵖ, ✳ fl. 2-3ᵖ, 10¹⁵-11⁵⁰ᵖ, ⊖ 4¹⁵-5³⁰ª 6) 9²⁰-³⁰ᵖ, ✳ 11ᵖ-0²⁰ª

Februar: 1) Neben ⊙ 8-8¾ª, ⊕ 3¼-4ᵖ 2) 0-1ᵖ, ⌐ 1 2⁰-2¼ᵖ, ● 2 △ 2¹⁶-2¾ᵖ, ⌐ 0 ● sch. 3³⁶ᵖ, ● 1 sch. 3⁵⁵-4⁵ᵖ, ⊖ 11¹⁰-³⁰ᵖ

Zeitangaben nach mittlerer Ortszeit

März 1912

$\varphi = 52°23'$ N $\lambda = 13°4' = 52^m\,15^s$ E $H_b = 84.9$ m $C_g = +0.50$ mm bei 753 mm

Datum	Luftdruck auf 0° und Normalschwere reduziert 700 mm + 7a	2p	9p	Lufttemperatur C° 7a	2p	9p	Max.	Min.	Dampfspannung mm 7a	2p	9p	Relative Feuchtigkeit Proz. 7a	2p	9p	Richtung und Stärke des Windes 0 bis 12 7a	2p	9p	Bewölkung 0 bis 10 7a	2p	9p	Niederschlag mm 7a	Bemerkungen
1	56.5	57.1	54.3	6.8	10.2	7.0	11.0	6.9	7.2	6.5	6.3	97	70	84	W 4	C	SE 3	10^2 ●	10^1	9^1	2.6	●^{0} 3^{25}–7^a, ●^{0}sch. $8\frac{1}{2}^a$, ∈ 9^p
2	48.9	50.5	52.7	8.6	10.8	5.0	11.5	5.0	7.5	8.1	6.2	90	84	96	S 3	W 4	SSW 3	10^2	9^1	3^0	0.5	● tr. 2^{0-40}a, 7^a, 11–12^a, ●^{0} 8–10^a, 1)
3	48.6	46.1	46.1	3.6	13.4	8.6	13.8	3.5	5.5	6.7	7.9	92	58	95	SSE 4	S 3	SW 3	8^0	10^1	10	2.3	●^{0} 3^{10}–8^p, 10^{47}p–0^{41}a, ⊕ 10^a
4	48.7	49.9	49.2	5.6	9.5	5.3	11.5	5.5	6.4	5.9	5.5	94	67	83	WSW 3	WSW 3	SSW 4	10	10^2	0	1.5	
5	44.0	41.2	41.8	4.2	7.3	7.2	11.6	4.1	5.8	6.3	6.3	94	82	83	S 4	SSW 5	SSW 4	3^1	8^2	8	1.4	●^{0} 2^{50}–4^{50}a, ⊼ 0^{45}–$2\frac{1}{2}^p$, ●^{1} 0^{30}–1^{45}p, 2)
6	41.6	42.0	44.1	5.4	10.1	4.3	11.4	3.5	6.0	5.0	5.5	89	55	88	SW 4	SW 4	WSW 4	8^1	7^2 ●	10 ●	1.3	●^{0} $8\frac{1}{2}$–8^{55}a, ● tr. 0^5p, 2^p, ⌒ 0^{35}p, 3)
7	45.6	47.3	50.5	2.2	8.8	4.3	9.4	2.1	5.1	6.1	6.1	95	72	98	SW 3	W 3	WSW 3	1^0	7^2 ●	10 ●	0.8	● tr. 2^{40}a, ●^{1} bö ▲ 1^{21-44}p, 4^0–$4\frac{1}{2}^p$, 4)
8	54.6	54.9	55.2	3.5	9.8	3.6	10.5	2.6	5.6	4.9	5.1	92	54	86	W 3	W 2	ESE 2	10^1	4^0 ●	0	5.2	≡^{0} 7^a, ●^{1} 3^{30}–2^{25}a m.U., ● tr. $5\frac{1}{2}$–6^p, A.D.
9	55.7	56.0	56.5	0.0	10.5	3.2	11.2	0.2	4.3	4.2	4.5	93	44	78	SSE 3	SE 2	ESE 2	8^0 ▬	8^0 ●	0	0.0	≡^{0} 7–8^a, ⌣ abd., ⊕ a mit oberem Be-
10	56.3	55.3	54.9	−0.9	10.0	4.2	10.6	−1.1	*4.3*	4.9	5.0	*100*	53	81	E 3	E 4	E 3	3^0	8^1	2	.	⌣ n [rührungsbogen
11	55.3	56.3	59.0	0.4	6.8	0.2	7.5	0.1	4.4	4.3	3.7	93	58	80	E 2	ENE 3	NE 2	8^0	8^1 ●	4	.	
12	61.9	63.3	**64.1**	0.0	2.8	−1.0	4.6	−1.1	3.2	**3.1**	3.2	70	55	74	NE 2	ENE 1	E 1	9^1	10^2	0	.	
13	63.5	62.1	60.5	−3.2	9.6	5.6	9.9	−3.2	**3.1**	3.8	4.7	85	**42**	70	SE 1	C	C	0	3^0 ●	10	.	
14	57.9	56.8	57.1	2.5	10.6	6.9	11.2	2.3	5.1	5.8	7.1	93	61	96	SSE 2	S 1	ESE 2	10^1 ▬	9^1	10 ▬	.	≡^{0} 4–11^a, 9–10^p, ● tr. ●^{0} $2\frac{1}{2}$–8^p
15	57.3	55.3	53.6	−0.2	13.0	3.4	13.0	−0.2	4.5	5.7	3.9	100	51	67	E 3	ESE 1	E 4	1^0 ▬	2^0 ●	0	2.6	≡^{0} 7–8^a
16	49.5	48.2	48.6	−0.4	2.3	3.3	3.5	−0.5	3.6	5.2	5.8	81	97	100	ESE 4	ESE 3	WSW 2	10^1	10^2 ●	10^2 ●	.	●$^{0-1}$ $10\frac{1}{2}^a$–11^{45}p
17	49.6	49.4	48.4	1.9	6.6	0.8	7.1	0.8	5.2	4.9	4.7	98	67	96	WSW 3	E 2	SE 3	10^2	8^2	0	**10.4**	△ ⌣ abd.
18	44.6	40.7	38.4	−1.0	9.3	5.8	9.5	−1.8	4.2	5.1	5.4	98	58	78	ESE 3	ESE 4	FSE 4	8^0 ●	7^0	9^1	.	⌣^{1} a, ● tr. 5^{25-40}p, 6^p, 10^{45}p–n, ⊕ 8^a
19	**35.1**	37.1	41.6	3.9	9.3	5.7	12.0	3.4	5.8	6.9	6.6	95	78	96	SE 4	W 3	SW 3	8^1	8^2 ●	10^2 ●	0.7	● tr. n-1^{50}a, 3^{30}–4^{10}a, $8\frac{1}{2}^a$, 12^a, ●^{1} 3^{20-22}a,
20	44.7	45.5	46.3	3.2	10.3	6.4	11.0	1.7	4.9	4.6	5.1	84	49	71	S 4	SW 3	SSW 3	9^0	10^1	10	3.4	[●$^{0-1}$, z. T. Böen häufig p, ⌒ 1^{25}p
21	46.5	45.3	42.8	0.6	9.9	6.8	10.6	0.5	4.7	4.5	4.4	98	49	60	W 2	SW 2	S 4	4^0 ●	7^1 ●	10^2 ●	.	● tr. 3^{6-10}p, ●^{0} 8^{45}p–n m.U., ⊕ 8^a m.
22	41.8	42.6	43.8	6.7	12.8	7.5	13.8	5.3	5.7	4.8	6.4	77	42	83	SSW 4	WSW 4	S 4	6^0 ●	9^1	1^1	1.3	●^{0} n–1^5a m.U. [Neben ⊙
23	45.9	47.2	48.6	2.9	10.0	3.8	12.1	1.9	5.4	5.2	5.4	95	57	90	SW 3	W 5	SW 3	2^0 ●	9^2 ●	0	.	⌣ 10^p, ●$^{0-1}$ 1^{55}–2^{10}p, ● tr. 6^p, A.D.
24	45.8	44.6	49.3	0.4	9.9	6.8	10.5	−0.4	4.7	5.6	7.0	100	62	95	ESE 3	SSE 2	C	10 ▬	10^1	10	0.0	≡$^{0-1}$ 3–8^a, ●^{0} $4\frac{1}{2}$–$8\frac{1}{2}^p$
25	55.6	57.5	60.0	5.7	12.0	10.2	13.2	5.0	6.8	6.1	8.1	99	58	87	W 2	W 3	W 2	10^2	10^1	10	0.5	
26	61.8	62.3	61.5	10.1	17.0	11.5	18.1	9.5	9.1	**9.3**	9.2	99	64	91	WSW 3	W 3	W 1	10 ▬	9^2	6^0	0.3	●^{0} 4^{15-40}a
27	57.0	52.1	52.2	9.6	18.2	8.0	**19.5**	8.1	8.1	7.7	5.4	90	50	67	SW 3	WSW 3	WNW 6	9^1	8^1 ●	2	.	●^{2} bö 5^{0-10}p, T 5^{25}p, A.D.
28	51.5	51.0	49.3	6.8	9.2	9.0	11.5	5.8	5.9	6.4	8.1	80	73	94	W 5	W 4	W 5	9^1	10^2	10 ●	0.5	● tr. 3–$3\frac{1}{2}^p$, 8–11^{10}p, ●^{0} 7^{30-50}p
29	51.2	52.5	53.5	4.5	3.4	5.0	10.5	3.0	5.6	5.2	4.4	88	89	68	WNW 5	WNW 5	W 5	2^1 ●	7^2	3^1	0.5	●^{0} 11^{40}a, ● böen △ ▲ 0^{30-40}p, 5)
30	49.7	47.4	48.2	4.3	5.2	3.6	8.6	3.0	4.4	5.1	4.9	71	77	83	SW 4	W 6	WSW 5	9^0	7^2	9^1	1.3	● böen 10^{40}a, 11^{55}a–0^5p, △ 1^p, 6)
31	49.9	50.0	45.7	2.7	9.5	6.5	11.6	2.1	4.8	4.4	4.8	86	49	67	W 4	W 3	SE 3	10^1	6^1	10^1	2.2	● tr. 0^5a, 1^{35-55}a, 3^{50}–4^{10}a, ⊕ $5\frac{1}{2}^p$
Mittel	50.9	50.6	50.9	3.2	9.6	5.4	11.0	2.5	5.4	5.6	5.7	91	62	83	3.2	2.9	3.0	7.3	8.0	6.0	39.3	

April 1912

Datum	7a	2p	9p	7a	2p	9p	Max.	Min.	7a	2p	9p	7a	2p	9p	7a	2p	9p	7a	2p	9p	7a	Bemerkungen
1	38.4	38.9	42.0	5.0	10.1	5.6	11.5	4.3	6.0	6.5	6.1	91	70	90	SW 3	NNW 3	NW 2	10^2	10^1	10^1	0.2	●^{0} $6\frac{1}{2}$–$8\frac{1}{2}^a$, 10^{25}p–n, ⊕ 0^p, $2\frac{1}{2}$–$4\frac{1}{2}^p$, ∈ 9^p
2	47.7	51.7	58.4	0.6	3.6	0.6	5.8	0.6	4.5	5.7	4.7	93	97	98	WNW 4	NNW 3	NNW 3	10^2	10^2	10^2	0.6	≡^{0} 2^p, ●^{0} n–4^{40}a m.U., ✳$^{0-1}$ ●^{0} 7^{40}a–$2\frac{1}{2}^p$,
3	62.3	63.9	65.4	−1.3	6.2	1.2	7.5	−1.5	3.9	**2.3**	3.5	92	33	70	NW 1	NNW 2	NNW 2	2^0 ●	1^0 ●	0	4.3	⌣ 10^p [$7\frac{1}{2}$–10^p, ● tr. 4–$4\frac{1}{2}^p$
4	65.1	62.5	59.0	1.6	10.7	6.9	11.2	−2.4	3.8	*4.8*	5.8	74	*50*	78	WSW 2	WSW 3	WSW 4	9^1	9^1	2	.	● tr. $3\frac{1}{2}$–4^p, ●^{0} 7–$7\frac{1}{2}^p$ [∈ 0^{25}–1^{30}a
5	50.5	47.6	48.5	8.5	9.8	9.6	10.3	6.4	6.4	7.8	8.4	78	86	94	WSW 5	W 7	W 6	10^2	10^1	10^2	.	●^{0} $6\frac{1}{2}$–9^a, ● tr. a, Spr. ● 7–7^p, ●^{0} $7\frac{1}{2}$–9^p,
6	48.9	47.4	46.6	9.5	10.2	9.1	11.0	9.2	8.8	**9.0**	8.2	99	96	95	W 6	W 6	W 8	10^2	10^2	10^2	3.7	●^{0} 3^{30}–$7\frac{1}{2}^a$, ● tr. a u. p, ●^{0} 11^a–3^p, $6\frac{1}{2}$–9^p
7	50.9	54.9	56.6	6.1	9.1	2.9	10.1	2.4	5.7	4.1	5.0	81	47	89	WNW 6	W 6	NW 3	10^1	10^1	2^0	**4.5**	●^{0} 7^{10-30}a, ● tr. 1^{45}p, ●^{0} △ 3^{40-45}p, 1)
8	51.8	43.5	37.5	3.3	12.7	9.8	13.7	1.1	5.1	6.4	6.5	88	58	72	S 3	W 5	WSW 4	10^1	10^2	10^1	1.1	●^{0} 7^{30}–9^{20}a, 10^{25}p–n [✳^{0} 6^{40-50}p
9	**35.1**	36.4	39.9	5.1	9.1	2.2	10.1	1.6	4.3	3.9	4.0	65	45	74	W 7	W 8	W 5	9^0	8^1 ●	6^1	0.5	●^{0} n–1^{50}a, ●^{0} △ 2^{20-30}p, ●^{0} bö 4^{35-45}p
10	43.8	41.4	39.0	0.8	5.2	1.6	7.2	0.1	3.2	5.1	5.1	66	77	100	W 4	WSW 2	SSW 3	10^2	9^1 ●	10^2	.	✳^{0} 2^{20}–4^{50}a, 8^{30-35}a, 10^{45}–11^a, $0\frac{1}{2}$–$0\frac{3}{4}^p$, 2)
11	47.4	49.4	48.1	−1.6	4.3	1.4	6.5	−2.4	3.5	3.4	2.9	86	54	57	WNW 4	NW 3	SE 3	4^0	6^1 ●	1^0	4.3	✳^{0} n–3^{30}a, 10^{50}p–n, ✳ fl. 0^{55}p, 1^{35-45}p,
12	47.8	53.8	61.0	−0.6	0.6	−2.0	2.3	−2.0	4.3	3.5	3.1	98	74	80	W 4	N 4	NW 4	10^2	9^2	0	4.4	✳^{0} n–2^{30}a, ✳^{0} ● 6–$10\frac{1}{2}^a$, ✳^{0} △ 3)
13	64.2	63.4	60.8	−3.3	5.7	2.6	6.1	−4.4	3.0	3.7	5.3	84	54	95	W 3	W 4	WSW 3	0 ●	4^1 ●	10	3.4	●$^{0-1}$ $5\frac{1}{2}$–8^p, ●^{0} 10^p–n m. U.
14	56.5	57.4	59.7	3.2	6.4	4.7	7.3	2.1	5.8	5.2	5.3	100	72	83	W 4	N 2	NE 1	10^2 ●	10^2	10	2.7	⌣ 12^p, ●^{0} n–10^a m. U.
15	62.2	62.1	62.4	*0.1*	9.9	5.4	10.5	−1.4	*3.3*	3.9	4.7	*73*	43	69	NE 1	NE 2	E 2	*0* ●	7^1 ●	2	1.1	
16	64.0	63.4	63.0	2.1	12.8	5.8	13.1	0.4	4.5	4.7	5.0	84	43	72	C	E 3	E 3	0 ●	1^1 ●	0	.	A. D. m. Ppl.^{0}
17	63.1	61.5	60.6	3.4	13.1	7.3	15.2	0.8	4.7	4.8	5.4	80	42	70	E 3	ESE 4	E 3	0 ●	6^0 ●	0	.	⊕ $1\frac{1}{2}$–2^p
18	59.3	56.7	56.6	4.3	18.0	11.0	18.3	2.3	5.8	5.0	5.8	85	32	59	E 2	ESE 4	ESE 3	0 ●	2^0 ●	5	.	A. D.
19	57.8	57.7	58.7	6.5	18.3	9.7	19.1	4.3	6.1	4.8	5.3	84	31	59	E 2	ESE 3	E 2	2^0 ●	7^1 ●	1	.	⊕ 2^p
20	60.7	60.5	62.2	8.6	19.4	13.0	**20.4**	6.8	5.5	4.6	5.9	66	27	53	E 2	ENE 3	SE 2	6^1	3^1 ●	9^1	.	∞^{1} 6–10^a
21	65.3	65.2	65.2	8.8	18.4	12.3	19.1	6.5	6.4	5.7	6.2	75	36	58	ESE 2	E 4	NE 2	0 ●	4^0 ●	2^0	.	⊕ $6\frac{1}{2}^p$, ∈ 8^p
22	**65.7**	63.9	63.7	8.2	19.3	12.0	20.1	5.8	5.7	4.6	4.2	70	28	40	NE 1	NE 2	NE 3	4^0 ●	3^1	0	.	● tr. 3^{0-10}p, ⊖ 9^p
23	65.0	63.8	64.0	8.3	17.2	9.2	18.3	5.2	5.5	4.1	4.6	67	28	53	ENE 2	ENE 4	E 2	3^0 ●	1^0 ●	1^0	.	
24	63.6	61.0	59.9	7.6	18.7	11.6	19.2	5.2	5.0	4.0	5.0	65	**25**	49	E 1	E 2	NE 1	1^0 ●	3^0 ●	1^0	.	⊕ 2^p
25	58.9	56.9	56.7	9.0	17.6	8.6	18.4	5.7	5.9	5.5	3.9	69	37	46	NW 1	NE 2	NE 3	6^0 ●	7^1 ●	0	.	● tr. $2\frac{1}{2}^p$
26	56.4	54.2	52.1	4.4	15.4	10.4	17.7	1.6	5.2	4.9	5.0	82	37	53	C	N 1	SW 3	8^1	7^1 ●	1^0	.	∞^{1} 10^a
27	49.8	47.6	48.4	8.9	19.8	8.6	20.3	4.8	5.3	4.3	6.2	62	**25**	74	SW 2	W 4	NE 2	2^0 ●	2^0 ●	0	.	
28	48.5	47.7	48.7	7.4	13.4	7.1	16.1	4.3	5.8	3.5	4.9	75	30	65	NW 2	NNW 2	N 2	1^0 ●	4^0 ●	1^0	.	
29	49.2	51.4	54.3	5.0	10.3	7.8	10.9	1.1	5.4	4.7	4.2	83	50	53	N 2	NE 3	NNE 3	4^0 ●	8^1 ●	10^1	.	
30	57.6	58.1	59.5	3.4	9.4	3.0	11.4	1.7	3.5	3.3	3.8	59	37	66	E 3	NNE 3	NE 2	3^0 ●	8^1 ●	0	.	
Mittel	55.2	54.8	55.3	4.4	11.8	6.6	13.0	2.3	5.1	4.8	5.1	79	49	70	2.7	3.5	3.0	5.1	6.3	4.1	30.8	

März: 1) 0–$0\frac{1}{2}^p$, ●^{0} $3\frac{1}{2}$–4^{40}p, ●^{1} bö 3^{50}p 2) 8^{20-30}p, ●^{1} bö 5^{20-35}p 3) ● bö ●^{2} ▲ 3^{25-50}p, ●^{1} bö 4^{30-45}p, ●^{0} 8^{45}–$9\frac{1}{2}^p$ 4) ●^{0} 5–$5\frac{1}{2}^p$, $5\frac{1}{2}^p$, ●^{1} $6\frac{1}{2}$–$9\frac{1}{2}^p$ 5) T 0^{43}p, △^{1} 1^{10-15}p, ▲^{1} △^{2} ●^{1} 1^{43}–2^p, ●^{0} △^{2} 6^{10-20}p, △^{1} 8^{0-5}p 6) ● △ 1^{30-50}p, ⊼^{0} $2\frac{1}{2}^p$, ●^{1} sch. 4^{35}–$4\frac{1}{2}^p$, ● tr. 10^{47}p

April: 1) ●^{0} 5–$5\frac{1}{2}^p$, 6^8–7^{20}p 2) ● tr. häufig, ●^{0} 5^{20-40}p, ● ✳^{0} 8^{35}p–n m. U. 3) 11^{25-30}a, 0^{40}–1^{15}p, ✳ fl. p, ✳^{2} bö 5^{50}–$6\frac{1}{2}^p$

Zeitangaben nach mittlerer Ortszeit

Mai 1912

$\varphi = 52^\circ 23'$ N $\lambda = 13^\circ 4' = 52^m 15^s$ E $H_b = 84.9$ m $C_g = +0.50$ mm bei 753 mm

Datum	Luftdruck auf 0° und Normalschwere reduziert 700 mm + 7a	2p	9p	Lufttemperatur C° 7a	2p	9p	Max.	Min.	Dampfspannung mm 7a	2p	9p	Relative Feuchtigkeit Proz. 7a	2p	9p	Richtung und Stärke des Windes 0 bis 12 7a	2p	9p	Bewölkung 0 bis 10 7a	2p	9p	Niederschlag mm 7a	Bemerkungen
1	61.2	59.9	59.5	1.7	11.5	6.6	12.7	**-2.4**	3.5	**2.4**	3.8	67	24	52	E 2	ENE 2	SSE 1	0 ⊙	4^1 ⊙	0	.	⌣ n-7^a
2	58.7	56.1	54.6	6.6	16.4	9.6	17.3	2.3	3.3	2.8	3.3	46	**20**	37	SW 2	WSW 3	SSW 3	0 ⊙	7^1 ⊙	5^0	.	
3	52.2	51.1	50.7	9.6	12.8	8.3	17.3	3.6	5.3	9.0	8.0	59	82	97	WSW 3	W 4	W 3	8^0 ⊙	10^1	5^1	.	●^{0} 11^{45}-$7\frac{3}{4}^p$ m. U.
4	51.9	52.6	54.9	6.5	13.8	6.1	14.2	6.0	*6.0*	5.4	4.3	*83*	46	61	WNW 5	WNW 6	NW 4	10^1	6^1 ⊙	0	5.2	
5	57.4	57.8	58.3	3.6	12.5	7.8	13.9	-0.4	4.7	3.8	4.2	79	35	53	W 2	C	C	8^0 ⊙	5^1 ⊙	0	.	⌣ a, ⊕ 2^p
6	58.8	57.1	56.5	5.8	19.4	14.6	20.5	2.3	4.4	4.5	5.6	63	27	45	SE 2	C	SE 2	2^0 ⊙	7^1 ⊙	10	.	● tr. 5^{35}p, ●^{0} 9^{53}p-n, ⊕ 8-10^a
7	58.0	58.7	59.5	10.2	16.7	11.6	18.3	10.2	8.8	10.0	9.9	94	70	97	C	W 1	W 1	10^2	10^2	10 ●	1.3	●^{0} n-6^a m. U., ● tr. 10^a, ●^{1} 0^{40}-1^p, [1])
8	59.0	60.0	62.7	10.6	15.6	10.9	16.5	10.3	9.3	9.3	8.3	98	70	85	C	ENE 1	C	10^2 ▬	10^2 ▬	7^0	1.4	≡$^{0-1}$ 6-12^a, 4^p
9	**63.1**	59.4	56.0	10.4	19.7	13.2	20.4	8.5	7.4	8.1	10.8	78	47	96	ESE 2	SW 3	W 2	7^1	9^2	10	.	●^{0} 2^{45}-8^p m. U., ●^{2} $9\frac{1}{2}$-$9\frac{3}{4}^p$, ●^{0} 2)
10	55.6	54.5	54.2	11.0	14.1	9.5	17.7	9.6	8.4	7.5	7.3	85	62	82	W 3	NNW 4	WNW 3	10^2	9^2	3	3.9	● tr. 1^{30}-2^p, $2\frac{1}{2}^p$, ●^{0} sch. $4\frac{1}{2}^p$, ●^{2} sch. [5-$5\frac{1}{2}^p$, A. D.
11	56.1	55.5	52.0	6.5	16.2	14.2	18.7	4.8	6.8	5.9	6.2	93	43	51	NW 3	NW 3	S 3	10^2	9^0	10	1.1	⊕ 10^a, 2^p
12	49.8	48.2	**44.4**	17.6	24.4	19.8	**26.5**	13.4	10.9	11.0	10.7	73	49	62	W 4	SW 4	NW 2	9^1	9^1	9^1	.	● tr. 8^a, 11^a, ⌐◪^{1} 9^{40}-11^{50}p, ●$^{0-1}$ 3)
13	50.1	52.9	55.0	8.0	12.3	7.9	19.9	7.7	7.4	5.6	5.1	92	52	64	W 5	W 7	NW 5	10^2	7^1	1^0	11.6	◪ n-2^{25}a, ●^{0} n-2^{35}p, ● tr. 7^a, 1^{55}p, [●^{0} sch. $1\frac{1}{2}^p$, 3^{50}p
14	55.9	55.0	52.8	7.7	16.0	10.6	17.1	5.7	5.3	6.0	6.0	67	44	63	NW 5	WNW 4	W 1	7^1	4^1 ⊙	3^0	.	● tr. ●^{0} $1\frac{1}{2}$-4^p, ●^{0} 6^p, 6^{20}-25^p
15	51.2	49.1	47.0	9.9	16.0	11.4	16.8	7.4	6.7	6.4	7.5	73	47	74	ENE 2	ENE 2	E 3	9^1	9^1	6^1	.	
16	**44.4**	44.9	45.7	9.8	15.4	11.3	17.9	9.1	8.4	10.2	9.8	93	78	**98**	ESE 2	WNW 2	W 3	10^2	10^1	10^2	4.0	●$^{0-1}$ 2-3^{50}a, ●^{0} $7\frac{1}{2}$-8^{10}a, $10\frac{1}{2}$-$11\frac{1}{2}^a$, 4)
17	49.5	51.1	52.1	9.1	13.0	9.4	15.6	7.9	7.6	6.4	6.9	88	57	78	WNW 4	WNW 4	W 3	4^1 ⊙	10^1	7^0	**17.3**	●^{0} 0^{15}-1^{50}a, ⊕^{2} m. oberem Berührungs-
18	53.1	53.7	55.2	8.8	15.2	9.2	16.7	6.2	7.0	6.7	7.4	83	52	85	W 3	WNW 2	W 2	8^1	1^0 ⊙	2^0	.	⌒ ^{0} p [bogen 6-$6\frac{1}{2}^p$
19	56.4	56.3	56.4	9.2	16.2	11.9	18.6	6.1	7.6	7.9	7.7	88	58	74	WSW 2	W 3	N 3	10^1	10^1	0	.	⌒ ^{0} a u. p
20	56.1	52.6	50.0	12.1	22.6	16.3	23.1	8.1	8.0	8.2	8.8	76	40	64	E 3	S 3	E 3	2^0 ⊙	5^0 ⊙	6^0	.	
21	48.5	48.8	48.1	15.6	22.3	16.0	23.0	12.4	10.9	10.0	8.2	82	50	61	SSW 3	W 3	C	7^0 ⊙	5^0 ⊙	4^0	0.0	●^{0} 4^{15}-45^a, ◪ 10^{20}p-n
22	47.5	47.0	46.2	12.6	15.5	13.1	16.1	12.3	10.3	**11.1**	10.4	94	84	92	SSE 3	NE 2	N 2	10^1	10^1	10^1	2.7	◪ n-1^{30}a, ●$^{0-1}$ 1^{20}-3^{50}a, ● tr. ●^{0} 1^{25}p-n
23	46.0	47.4	48.8	10.8	18.6	12.6	19.6	10.6	9.3	9.8	10.1	96	61	92	WNW 2	WNW 2	WNW 1	10^1	8^0	1^0	5.7	≡ 11-12^p, ●^{0} n-4^{10}a, ●^{0} bō 5^{02}-$5\frac{1}{2}^p$
24	51.2	51.5	52.8	11.4	20.6	13.8	21.3	9.7	9.8	8.3	7.7	**98**	46	66	E 1	NNW 3	NE 2	8^0 ⊙	7^0 ⊙	9^0	0.3	≡ n-6^a, ⌒ ^{0} a, ⊖ 9^p
25	53.8	54.0	54.8	11.7	16.4	13.0	17.5	10.1	8.3	8.4	8.5	81	60	76	NNW 2	N 4	NW 3	9^1	10^2	10 ●	.	● tr. 8^{45}-$9\frac{1}{2}^p$
26	54.9	53.7	53.3	8.5	12.2	10.1	14.0	7.4	6.1	5.3	5.7	74	50	62	WNW 4	NW 4	WNW 3	4^0 ⊙	9^1	10	.	[●^{0} ▲ bō 5^{10}-15^p
27	52.8	52.1	52.3	8.1	12.1	7.7	14.7	5.0	6.3	6.1	6.3	78	58	81	W 3	WSW 3	WSW 3	9^2	7^2 ●	2^1	.	● tr. 6^{55}a, 10^{40}a, 1-3^p, $5\frac{1}{2}^p$, ●^{0} bō 10^{0-10}a,
28	51.8	51.3	50.2	9.0	11.9	8.6	13.0	6.0	6.1	6.4	6.4	71	61	76	WSW 4	WSW 4	SW 2	6^1 ⊙	9^2	8^0	0.2	●^{0} 1^{35}-50^p, 4^{25}-35^a, ● tr. 10^a
29	48.6	48.4	48.7	9.0	14.1	8.1	14.6	7.7	6.3	6.7	7.7	73	56	95	W 4	W 5	W 4	10^2	8^2 ⊙	10^0	.	●^{2} bō 0^{35}-45^p, 2^{20}-36^p, 8^{12}-30^p, ⌐◪ 2^p, 5)
30	48.7	49.9	50.0	8.7	11.4	10.9	14.0	6.4	7.2	7.6	8.3	85	75	85	W 3	W 2	NNW 1	10^2	10^2	9^1	2.1	●^{1} bō 8^{15}-25^a, ●^{0} ● tr. 0-3^p
31	51.4	51.6	51.2	8.2	15.4	10.7	17.3	4.8	7.3	7.5	7.5	90	57	78	W 2	WNW 2	W 2	10^2	5^0 ⊙	0	0.2	
Mittel	53.4	53.0	52.7	9.3	15.8	11.1	17.6	7.1	7.2	7.2	7.3	81	54	74	2.7	3.0	2.3	7.6	7.7	5.7	57.0	

Juni 1912

Datum	7a	2p	9p	7a	2p	9p	Max.	Min.	7a	2p	9p	7a	2p	9p	7a	2p	9p	7a	2p	9p	7a	Bemerkungen
1	50.8	48.9	47.4	13.3	22.8	16.0	24.1	8.7	8.3	7.9	9.1	73	38	67	E 1	E 2	ESE 3	0 ⊙	7^1 ⊙	4^0	.	∞^{1} 6-7^a
2	44.6	42.0	**41.2**	14.8	22.6	15.4	24.3	12.2	9.7	9.9	12.0	77	48	92	E 3	E 3	WSW 3	7^0 ⊙	9^1	8^1	.	◪^{0} 2^{36}-$3\frac{1}{2}^p$, 4-5^p, ●^{2} 2^{31}-$2\frac{1}{2}^p$, ●^{0} 1)
3	44.5	45.8	47.7	13.7	17.5	14.0	20.1	13.1	8.6	7.4	7.6	73	49	64	WSW 4	SW 4	SSW 3	10^1	9^1	3^0	5.7	● tr. $5\frac{1}{2}^p$
4	50.7	50.1	49.8	13.4	21.3	15.4	22.2	9.2	7.6	**6.2**	7.4	66	33	56	WSW 2	WSW 3	SE 2	1^0 ⊙	6^1	3^0	.	[● tr. 12^a, $1\frac{1}{2}^p$, ●^{0} $1\frac{1}{2}$-2^p
5	50.7	50.9	52.2	12.5	16.4	14.8	21.7	12.7	10.2	10.9	8.0	94	78	64	S 2	SW 3	SW 1	10^1 ●	9^1 ●	7^0	0.9	◪ 1^{40}-2^{10}a, ●^{0} 1^{10}-2^{35}a, $5\frac{1}{2}$-$8\frac{1}{2}^a$, ◪^{0} 1-2^p,
6	53.4	54.3	54.0	12.5	21.6	18.4	24.2	11.9	9.9	9.4	8.2	91	49	52	SE 3	SSW 2	ESE 1	9^1	6^1 ⊙	8^0	1.3	●^{0} 4-$6\frac{1}{2}^a$, $1\frac{1}{2}$-1^{38}p, ● tr. $0\frac{1}{2}$-$1\frac{1}{2}^p$, 2)
7	53.6	51.8	50.0	18.2	28.6	21.8	**29.7**	13.4	10.9	11.3	11.8	70	39	61	E 2	ENE 2	ESE 2	5^0 ⊙	8^2	10^2	0.2	◪ n-1^{40}a, ●^{0} 0^{25}-1^5a, ⊕ $1\frac{1}{2}$-2^p, 3)
8	50.9	53.3	54.4	17.4	18.3	16.8	22.0	15.8	14.3	**14.7**	12.1	96	93	85	WSW 1	SW 3	S 3	9^2	10^2 ●	4^0	**14.0**	◪^{0} 2-3^a, ●$^{0-1}$ 2^{10}-$5\frac{1}{2}^a$, ● tr. 11^a-1^p, 4)
9	55.5	54.6	54.4	16.1	23.7	17.3	24.6	13.6	10.8	10.8	11.5	79	50	78	NW 1	NW 1	NNE 1	6^0 ⊙	3^0 ⊙	10^1	1.0	⌒ ^{0} a, ◪ n-1^{20}a, ●^{0} 6^{20}-32^p, 7^{55}-8^5p, 5)
10	52.4	50.4	49.3	13.8	16.0	14.2	17.5	13.2	9.8	12.6	11.2	83	93	93	NE 2	NNE 2	NNE 2	10^1 ●	10^1 ●	10^2	0.6	●^{0} 2^{10}-5^a, 6^{50}-7^{24}a, ●$^{0-1}$ 10^{14}-4^{30}p
11	47.5	47.3	47.5	13.2	15.2	14.4	15.5	12.4	10.1	10.1	10.4	89	78	85	NNE 2	NNE 2	NE 2	10^2	10^2	10^2	6.0	●^{0} 2^{20}-3^{45}a
12	48.1	48.0	47.9	13.1	18.4	14.8	18.9	12.8	9.5	11.3	11.2	84	72	89	NE 2	NE 1	NE 1	10^2	10^2	10^1	.	● tr. 10^a
13	47.4	47.0	46.1	13.8	19.7	15.4	20.6	13.1	10.5	11.0	10.9	89	65	83	WNW 1	W 1	N 1	10^2	7^1	10^1	.	[10^{45}-12^5p
14	45.2	45.6	46.6	13.5	17.9	11.1	20.6	11.4	11.2	8.3	9.1	97	54	92	W 3	W 4	W 3	10^2	7^1 ⊙	10^1	1.6	●^{0} 0^{55}-$8\frac{1}{2}^a$, 8^{15}-20^p, ●$^{0-1}$ 8^{35}-55^p, ●
15	46.8	44.2	47.3	11.7	12.9	11.1	15.2	11.0	8.3	9.4	8.3	81	85	84	W 3	W 3	W 6	10^2	10^2 ●	8^1	1.0	● tr. 9^{15}-20^a, ●^{0} $10\frac{1}{2}$-11^{20}a, ●$^{0-2}$ 6)
16	48.1	45.1	45.3	13.0	13.4	10.6	16.0	10.1	8.5	10.6	8.7	76	92	91	WSW 4	SSW 3	W 5	9^0	10^2 ●	9^1	5.9	● tr. 0-1^a, $10\frac{1}{2}$-$11\frac{1}{2}^a$, ●^{0} 11^a-$5\frac{1}{2}^p$, 7)
17	52.0	53.5	53.5	9.0	12.2	10.0	14.5	7.2	7.1	6.9	7.0	83	65	76	W 5	WSW 3	SW 3	9^1	8^1 ⊙	9^1	5.1	● tr. 10^{20}-30^p, $1\frac{1}{2}^p$, ● sch. 10^a, 2^{25}-35^p,
18	55.2	54.7	55.0	8.6	13.0	11.6	14.8	7.2	7.5	6.4	7.5	90	57	73	W 2	WSW 3	C	10^1	10^1	10^2	0.8	●^{0} 10^p-n [$5\frac{1}{2}^p$, ●^{0} $9\frac{1}{2}$-$10\frac{1}{2}^p$
19	55.4	55.2	54.5	12.1	23.5	18.6	24.6	10.8	10.4	12.9	12.8	**99**	60	80	SSW 2	WNW 3	ENE 1	10^2 ●	4^2 ⊙	0	1.1	≡^{0} n-8^a, ●^{0} n-3^{40}a, ● tr. ●^{0} häufig 5-7^a
20	51.1	51.6	54.6	20.2	21.6	14.8	23.9	14.7	13.1	12.7	10.9	75	66	87	S 2	W 4	WNW 2	9^1	10^2	9^2	0.2	● tr. 1^{55}p mit Bō, ● tr. 11^{20}p
21	55.6	55.3	56.3	14.6	18.5	14.8	20.2	10.5	9.9	9.9	9.8	80	63	78	WSW 2	W 3	W 3	9^1	10^2	10^2	.	● tr. 2^p, 10^{43}p, ⊕ $2\frac{1}{2}^p$
22	57.6	57.2	57.1	15.6	22.1	15.9	23.4	12.0	10.0	9.1	9.6	76	46	71	W 1	WNW 2	N 1	1^0 ⊙	5^1 ⊙	0	.	
23	57.0	54.9	53.8	15.6	24.2	16.8	24.9	10.6	9.2	6.8	9.0	69	**30**	63	E 1	NE 1	E 2	0 ⊙	1^0 ⊙	5^0	.	[◪ ^{10}p-n
24	53.8	53.5	53.4	17.2	20.8	17.2	23.1	11.8	9.7	13.7	13.4	66	75	91	W 1	W 1	NW 1	7^0 ⊙	9^1	9^1	.	◪^{0} 7^{57}-8^a, ●$^{0-1}$ 9^{19}-50^a, ●^{0} 10^{50}-11^{16}a,
25	54.9	55.4	55.4	16.0	21.8	15.3	21.9	14.2	11.8	10.7	11.8	87	55	91	NW 1	WNW 1	NE 1	10^1	10^1	10^2	1.1	◪ n-2^{20}a, ● tr. bisweilen a, ●$^{0-1}$ 5^{10}-6^2p
26	54.1	54.0	55.5	14.7	20.7	15.3	22.2	14.6	11.2	12.2	12.2	90	67	94	ESE 2	ESE 2	WNW 2	10^2	8^1	8^1	0.6	≡ $1\frac{1}{2}$-$4\frac{1}{2}^a$, ●^{0} $8\frac{1}{2}$-$9\frac{1}{2}^a$, ● tr. bisweilen a,
27	58.0	59.0	**59.4**	16.5	23.0	17.2	24.0	13.3	11.6	8.3	9.3	83	40	64	WNW 3	WNW 3	NNE 1	1^0 ⊙	2^1 ⊙	1^0	0.5	[◪ 4^{50}-$5\frac{1}{2}^p$, ●^{0} 5-$5\frac{1}{2}^p$
28	**59.4**	57.7	55.9	18.5	24.8	18.6	25.7	14.6	9.9	8.8	10.2	63	38	64	S 1	SE 2	ESE 2	0 ⊙	3^1 ⊙	1^0	.	
29	53.9	50.9	48.4	18.4	28.3	22.0	29.4	14.7	11.6	11.1	12.5	73	39	64	SE 2	SE 3	SE 3	0 ⊙	3^1 ⊙	1^1 ⊙	.	◪ 10^{25}p-n
30	49.0	50.2	51.0	15.9	17.2	12.8	22.1	12.9	13.1	12.6	10.7	97	86	97	WSW 3	W 4	W 2	10^2 ●	8^1	1^1	1.3	◪ n-2^{40}a, ●^{1} 6^{37}-$7\frac{1}{2}^a$, ●^{0} $8\frac{1}{2}$-11^a, $0\frac{1}{2}$-1^p,
Mittel	51.9	51.4	51.5	14.6	19.9	15.4	21.7	12.1	10.1	10.1	10.1	82	60	78	2.1	2.5	2.1	7.1	7.4	6.6	48.9	[●$^{0-2}$ ◪^{0} 3^{10}-4^p

Mai: 1) ●^{0} 4^{57}-$5\frac{1}{2}^p$, ◪^{0} 6^{15}p, ●^{0} 7^{40}-9^{40}p 2) 10^{0-20}p, ◪ 10^{10-30}p, ⊕ 8^a, $2\frac{1}{2}^p$ 3) 9^{35}p-n, ◪ 11^{50}p-n 4) 2^{20}-$2\frac{1}{2}^p$, ◪^{1} $6\frac{1}{2}$-$7\frac{1}{2}^p$, ●$^{0-2}$ 7^{18}-$9\frac{1}{2}^p$, ◪ 10-$11\frac{1}{2}^p$ 5) ● tr. ●^{0} mehrfach p

Juni: 1) 4^{44-50}p, ● tr. 5-$5\frac{1}{2}^p$, ◪$^{0-1}$ 9-$10\frac{1}{2}^p$ 2) ◪ 10^{35}p-n, Lichtsäule 8^p 3) ◪ $9\frac{1}{2}^p$-n 4) ●^{0} 1^{35}-2^{25}p, 3^{20}-3^{45}p, ◪ 10^{40}p-n 5) 10^{35}-11^{20}p, ⌐◪^{0} 7^9p, ⊕ 10^a 6) 11^{45}a-$0\frac{1}{2}^p$, ◪^{0} $1\frac{1}{2}$-2^p, ●^{0} 1^{58}-2^2p, $3\frac{1}{2}$-4^p, ● tr. 4-5^p, 11-12^p 7) ●^{1} bō $6\frac{1}{2}^p$, ●^{0} sch. $7\frac{1}{2}^p$

Zeitangaben nach mittlerer Ortszeit

Juli 1912

$\varphi = 52° 23' N$ $\lambda = 13° 4' = 52^m 15^s E$ $H_b = 84.9$ m $C_g = +0.50$ mm bei 753 mm

Datum	Luftdruck auf 0° und Normalschwere reduziert 700 mm + 7ª	2ᵖ	9ᵖ	Lufttemperatur C° 7ª	2ᵖ	9ᵖ	Max.	Min.	Dampfspannung mm 7ª	2ᵖ	9ᵖ	Relative Feuchtigkeit Proz. 7ª	2ᵖ	9ᵖ	Richtung und Stärke des Windes 0 bis 12 7ª	2ᵖ	9ᵖ	Bewölkung 0 bis 10 7ª	2ᵖ	9ᵖ	Niederschlag mm 7ª	Bemerkungen
1	50.2	50.3	50.7	14.0	15.5	13.6	21.4	11.3	11.1	11.9	10.5	93	90	90	S 2	W 3	S 2	9^1	10^2 ●	0	**13.7**	● tr. 10^{40}–11^a, ⟨ $0^1 47$–$2^1{}^p$, ● $^{0-2}$ bö [1])
2	50.5	50.1	50.9	15.2	19.7	13.1	21.3	12.6	10.6	10.1	10.7	82	59	95	C	W 1	N 1	7^1	8^2 ⊙	10^1	3.5	⟨ n–2^{40}a, ● ^{0} 10^{15}–$10^{\frac{1}{2}a}$, $11^{\frac{1}{2}a}$–0^p, [2])
3	51.6	51.9	52.9	13.4	18.9	13.9	20.3	11.3	11.1	10.7	10.4	97	65	87	W 2	NNW 2	N 2	10^2 ●	9^2	0	0.9	≡ 6–8^a, ● tr. 7^a, $4\frac{1}{2}{}^p$, ● ^{0} 11^{40}–50^p,
4	55.0	56.1	58.2	13.2	20.5	13.7	21.1	11.2	10.8	10.2	8.9	96	57	76	NE 2	NE 3	NNE 3	10^2 ▬	6^2	0	.	≡ ^{0} 2–8^a [⟨ ^{0} 2^{10}p, 4^{25}p
5	60.5	**61.0**	60.5	12.7	21.1	15.9	22.4	**8.8**	9.0	**7.5**	7.7	82	40	57	N 2	NE 2	C	0 ⊙	5^1 ⊙	5	.	
6	60.2	58.0	55.6	15.7	24.3	17.1	25.1	11.8	9.7	8.6	10.4	73	38	71	E 1	E 2	ESE 3	3^0 ⊙	1^1 ⊙	0	.	
7	54.4	52.8	52.8	16.6	26.8	21.4	28.0	13.2	10.6	8.4	11.4	76	32	60	E 2	SE 3	E 2	0 ⊙	2^0 ⊙	9^2	.	
8	54.2	54.0	55.1	21.1	27.9	16.6	28.2	*16.0*	11.8	11.6	13.0	64	42	92	C	NW 2	NNW 1	2^0 ⊙	3^0 ⊙	9^1	.	⟨ ^{2} $3\frac{1}{2}$–$5\frac{1}{2}{}^p$, ● $^{0-2}$ 3^{55}–$5\frac{1}{2}{}^p$, ● tr. 6^{40}p
9	56.5	56.4	56.9	15.9	23.2	17.2	23.6	14.2	12.9	12.5	11.6	96	59	79	NW 1	WNW 3	NW 1	10^1	3^1 ⊙	1^1	5.9	≡ ^{0} 1–6^a, ∞ $^{1-2}$ a u. p, ● tr. $11\frac{1}{2}{}^a$
10	57.9	57.2	57.5	16.3	25.1	19.0	25.4	13.4	12.1	11.4	10.9	87	48	66	C	WNW 2	NNE 1	0 ⊙	6^1 ⊙	9^1	.	∞ $^{0-1}$ a
11	57.9	57.8	58.6	16.8	27.1	20.0	28.3	13.8	11.8	10.4	11.3	83	39	65	ESE 2	C	E 2	0 ⊙	3^1	1^0	.	
12	59.9	59.0	58.6	18.9	29.8	20.8	30.2	14.8	12.3	9.2	11.2	75	29	61	ESE 2	E 2	E 2	0 ⊙	2^0 ⊙	1^0	.	
13	58.9	57.8	58.2	19.6	28.7	21.0	29.4	16.0	11.8	10.3	9.9	69	35	53	E 2	E 2	E 3	0 ⊙	6^1	0^1	.	
14	59.6	59.0	59.5	17.9	26.8	19.4	27.5	14.1	10.2	8.7	10.0	67	33	60	E 2	E 3	NE 2	0 ⊙	2^1 ⊙	0	.	Himmel weißlich
15	60.9	60.7	60.6	18.2	26.8	19.3	27.3	15.2	10.6	9.1	10.8	68	35	65	E 1	E 2	NE 2	0 ⊙	0 ⊙	0	.	» »
16	60.5	59.2	57.9	17.7	27.7	20.7	28.0	14.7	11.0	9.1	10.9	73	33	60	E 2	ENE 2	ENE 2	0 ⊙	1^1 ⊙	0	.	» »
17	56.9	55.1	53.5	18.2	26.5	21.5	28.3	15.3	11.4	9.3	9.4	73	36	49	E 1	N 1	C	2^1 ⊙	7^1	1^1	.	» »
18	51.2	48.2	46.5	19.5	29.2	22.1	29.7	16.1	9.7	8.1	9.1	57	27	46	S 1	SSW 3	SE 3	5^0 ⊙	5^1 ⊙	1	.	⟨ 10^p–n
19	45.6	**44.7**	46.9	19.0	29.4	18.7	29.8	15.3	10.2	7.7	12.2	62	**25**	76	E 3	E 4	W 4	9^1 ⊙	4^1 ⊙	10	.	⟨ n–$0\frac{1}{2}{}^a$, ● tr. bö 8^0p
20	48.6	49.5	49.8	12.9	15.3	14.6	18.8	12.7	10.8	11.0	11.4	97	85	92	W 3	W 3	W 2	10^2 ▬	10^2 ▬	10	0.0	≡ $^{0-1}$ 6^a–2^p, ● tr. $8\frac{1}{2}{}^p$, 10^p
21	49.2	48.7	49.3	16.0	26.4	18.6	26.7	14.0	13.4	10.0	10.5	99	39	66	NNE 1	NE 3	NE 2	10^1 ▬	3^0 ⊙	0	.	≡ $^{0-2}$ 3–8^a, ● tr. 1^{35}a
22	50.3	49.9	51.1	15.5	25.2	18.2	25.7	12.9	11.6	9.4	10.9	88	39	70	NNW 2	N 2	NE 1	3^0 ⊙	8^1 ⊙	0	.	
23	52.3	52.2	54.1	16.3	25.3	19.2	26.1	13.7	12.1	11.3	12.2	87	47	74	W 1	N 1	N 1	9^1	9^1 ⊙	9^1	.	● tr. $10\frac{1}{2}{}^a$
24	55.7	55.4	55.5	15.0	25.3	18.7	26.9	14.0	11.8	8.5	11.7	93	36	73	W 1	C	E 2	0 ⊙	0 ⊙	0	.	≡ ^{0} 6^a
25	55.4	53.6	54.5	17.9	27.5	20.0	28.2	14.8	12.6	9.9	11.8	82	36	68	E 1	E 2	E 2	1^0 ⊙	7^1	6^2	.	● tr. 4^p, 8–$8\frac{1}{2}{}^p$, ⟨ ^{0} 4^{20}–$6\frac{1}{2}{}^p$, ⟨ 10^{45}p–n
26	54.6	53.1	54.3	17.1	28.4	18.8	28.9	14.9	10.5	8.2	13.8	71	28	86	E 2	E 2	W 1	3^1 ⊙	2^1 ⊙	0	.	∞ ^{1} 6^a, ≡ 11^p, ⟨ n–$2\frac{1}{2}{}^a$
27	53.6	52.6	51.4	17.1	23.6	19.6	24.1	15.6	**14.3**	12.9	12.9	98	59	76	W 1	W 1	E 1	10^2 ▬	10^1	1^0	.	≡ $^{0-1}$ 6–8^a [⟨ $8\frac{1}{2}{}^p$–n
28	50.8	49.2	50.2	19.2	31.4	22.6	**32.2**	14.7	12.0	8.4	12.2	72	**25**	60	SE 2	S 2	W 5	0 ⊙	5^0 ⊙	10^2 ●	.	[⟨ ^{0} $6\frac{1}{2}$–$7\frac{1}{2}{}^p$, 9–$10\frac{1}{2}{}^p$, ● ^{0} 6^{45}–7^{20}p, 9–11^{50}p,
29	51.2	51.1	50.6	16.7	20.3	17.5	23.2	16.0	13.5	13.2	12.5	95	75	84	WSW 3	SW 2	SE 2	10^2 ●	9^1	6^2	2.6	⟨ n–2^a, 8^p, ● $^{0-1}$ 6–10^a
30	50.0	49.6	50.2	16.8	23.8	18.4	25.1	13.5	10.8	9.3	8.6	76	42	55	WSW 2	WSW 2	SW 3	8^0 ⊙	9^1	7^1	3.4	
31	52.4	52.3	50.6	16.3	22.2	19.0	23.8	13.9	10.3	9.5	10.0	74	48	61	WSW 2	SW 3	SSE 3	4^0 ⊙	8^1	2^0	.	
Mittel	54.4	53.8	54.0	16.7	24.8	18.4	26.0	13.9	11.4	9.9	10.9	81	45	70	1.6	2.1	2.0	4.4	5.3	3.5	30.0	

August 1912

Datum	7ª	2ᵖ	9ᵖ	7ª	2ᵖ	9ᵖ	Max.	Min.	7ª	2ᵖ	9ᵖ	7ª	2ᵖ	9ᵖ	7ª	2ᵖ	9ᵖ	7ª	2ᵖ	9ᵖ	7ª	Bemerkungen
1	47.5	46.6	46.3	18.0	20.2	18.4	23.9	15.5	10.8	13.4	**13.6**	70	76	86	SSE 3	SSW 1	S 2	5^0 ●	10^2	10^1	0.2	● ^{0} 3^{30}–4^{55}n, 1^{33}–$1\frac{1}{2}{}^p$, $4\frac{1}{2}$–5^p, ● tr. [1])
2	48.1	49.2	50.1	15.7	17.2	16.4	18.5	15.4	13.0	13.2	13.2	98	90	95	C	C	N 2	10^2 ●	10^2 ●	10^2	5.5	≡ ^{0} 6^p, ● $^{0-1}$ $1\frac{1}{2}{}^a$–2^p, dann ● tr.
3	52.1	53.8	55.2	14.8	22.2	14.9	22.7	14.6	11.5	9.8	9.8	92	49	77	NW 2	NW 3	NNW 2	10^2	8^1 ⊙	0	8.6	
4	55.6	53.5	51.6	14.1	23.6	17.6	24.6	11.7	9.0	8.7	10.8	75	**40**	72	E 2	E 2	E 2	7^0 ⊙	7^0 ⊙	2^0	.	⌓ ^{0} a u. p
5	49.8	51.0	52.9	16.4	16.4	13.2	25.1	13.1	11.3	11.5	11.1	81	83	98	E 1	W 4	W 2	8^0	10^2	10^2	.	● tr. 3^{35}–5^p, $6\frac{1}{2}{}^p$, ● $^{0-1}$ bö 4^{40}–5^{35}p
6	51.2	49.5	48.7	12.0	20.4	15.8	22.2	9.9	10.2	9.0	8.6	98	50	64	W 1	C	SE 2	2^0 ⊙	4^1	7^1	2.9	● ^{0} 0^{55}–2^a
7	49.0	48.6	46.9	14.5	20.9	13.2	21.7	11.7	10.1	9.5	10.8	82	52	96	SW 1	W 1	NNW 2	0 ⊙	10^1	10^2 ●	.	● $^{0-1}$ 4^p–n
8	43.4	45.8	47.8	11.7	14.2	14.0	14.7	11.7	9.9	11.0	10.7	97	91	90	W 3	W 3	WSW 3	10^2 ●	10^2 ●	10^2	**17.2**	● $^{0-1}$ n–$1\frac{1}{2}{}^a$, $4\frac{1}{2}{}^a$–0^p, ● tr. p, ✳ ^{0} 10^a
9	50.1	50.2	51.1	12.8	18.8	12.2	19.8	11.5	9.5	8.7	10.4	86	54	98	W 3	W 3	W 2	9^0	7^0 ⊙	2^0	8.3	● $^{0-1}$ 5^{35}–^{50}p, ⊕ 7–8^a, ⟨ 11^{5-20}p
10	52.1	51.8	51.4	11.7	19.9	12.9	21.2	9.9	9.5	9.0	9.6	92	52	86	W 2	W 1	W 2	0 ⊙	7^0 ⊙	0	1.2	
11	50.6	51.4	51.5	12.2	17.4	13.7	18.7	9.9	9.8	9.5	8.8	92	64	75	W 2	W 5	W 4	9^1	5^1	0	0.0	⌓ n
12	51.2	50.2	49.6	11.8	16.0	12.7	18.4	11.1	8.7	7.9	8.8	84	58	81	W 5	W 5	WSW 4	9^1	10^1	6	.	● tr. 3^{50}p, ● ^{1} bö 4^{45}–$5\frac{1}{2}{}^p$ [9^{20-30}p
13	46.6	44.3	43.5	9.3	14.8	13.9	18.1	**8.1**	8.3	9.6	11.2	89	76	95	SE 2	S 2	SSW 3	7^1	10^2	10	0.4	≡ ^{0} 6^a, ● $^{0-1}$ 11^{40}a–$1\frac{1}{2}{}^p$, 7–$8\frac{1}{2}{}^p$, ● ^{0}
14	47.8	50.2	51.6	12.2	18.4	10.8	19.2	10.8	9.3	8.1	7.7	88	51	79	W 4	WSW 2	SSW 1	9^1	8^0 ⊙	7	1.7	● tr. 3^a, $11\frac{1}{2}{}^a$, ● bö $7\frac{1}{2}$–8^p
15	51.3	51.4	52.2	10.0	16.6	12.7	17.6	8.7	8.5	8.3	9.1	93	59	83	S 3	SW 2	SW 3	10^2	9^2	10	0.5	● tr. $4\frac{1}{2}{}^a$, 11^a, $10\frac{1}{2}{}^p$–n, ⊤ 0^{20}p, ⟨ ^{0} [2])
16	51.9	52.1	53.7	12.8	15.5	13.8	16.6	11.7	8.9	10.6	9.9	81	80	84	SW 4	WSW 4	W 5	10^2 ●	10^2 ●	10	0.7	● tr. mehrfach, ● ^{1} $11\frac{1}{2}{}^a$–$0\frac{1}{2}{}^p$, 3^{50}–$4\frac{1}{2}{}^p$, [3])
17	55.2	55.8	**55.8**	13.1	16.2	14.4	17.6	12.2	9.5	10.6	11.0	84	77	90	W 4	WSW 4	WSW 3	10^2	10^2	10^2	1.1	● ^{0} n–0^{20}a, ● ^{0} sch. 0^{50}p, $9\frac{1}{2}{}^p$, ● tr. 8–9^p
18	54.9	53.6	52.5	13.3	23.2	17.3	23.7	13.2	11.2	9.4	9.5	98	45	65	SSW 1	S 1	SE 2	10^2	4^1 ⊙	7^0	0.6	≡ 4^a, ● ^{0} 3^{10}–$6\frac{1}{2}{}^a$ m. U.
19	52.2	52.2	50.8	15.3	25.3	19.2	25.7	14.2	9.9	10.2	11.2	76	42	67	SSW 2	S 2	SE 3	10^1	8^1	7^1	.	● tr. 7^{50}–$8\frac{1}{2}{}^a$, $7\frac{1}{2}{}^p$, ⊤ $7\frac{1}{2}{}^p$, ● 11^{0-40}p, [4])
20	50.6	52.5	52.0	17.3	16.6	15.6	20.2	15.7	12.1	11.7	11.0	82	83	83	WSW 3	SSW 2	S 2	10^1 ●	10^2 ●	10^1	0.2	● ^{0} 3^{35}–4^a, 10^{10}–$10\frac{1}{2}{}^a$, 0^{10-15}p, 1^{40}–3^p, [5])
21	51.2	52.6	55.1	14.7	14.5	10.8	18.6	10.9	11.5	10.2	7.8	92	83	80	W 2	WSW 4	WSW 4	10^1	9^2 ●	1^1	1.1	● ^{0} 2^{40-50}a, 4^{33-40}a, ● tr. 10^{38}a, $11\frac{1}{2}{}^a$, [6])
22	53.0	50.5	51.1	10.7	17.2	11.6	17.6	8.7	**7.7**	8.7	9.7	80	60	95	SW 4	WSW 5	W 3	10^2	8^2	10^2 ●	1.6	● tr. $11\frac{1}{2}{}^a$, $2\frac{1}{2}$–$3\frac{1}{2}{}^p$, ● ^{0} sch. $3\frac{1}{2}{}^p$, ● ^{0} [7])
23	52.5	52.3	50.1	11.0	15.8	11.6	17.3	9.4	8.7	8.3	**7.7**	88	62	76	W 4	WSW 4	SSW 3	8^1	8^2	8^1	1.2	● ^{0} 2^{45}–3^{40}s, ● ^{0} bö 5^{40}–6P, ● ^{0} 11^{10}p-n
24	43.1	45.2	46.3	10.0	13.4	12.0	14.8	9.8	9.1	9.9	10.1	99	86	97	E 2	NNW 1	SW 1	10^2 ●	10^2	10^1	5.0	≡ ^{0} 7–10^a, ● ^{0} n–8^a, ● tr. $3\frac{1}{2}$–$4\frac{1}{2}{}^p$, [8])
25	45.6	46.9	47.6	13.4	16.9	14.4	17.6	11.8	11.4	11.5	11.5	99	80	94	SW 1	W 3	SSW 1	10^2 ●	9^1	9^1	8.3	● $^{0-1}$ n–7^a, $8\frac{1}{2}{}^a$
26	44.4	40.1	39.1	13.1	17.9	16.3	19.9	11.7	11.1	14.1	13.0	99	92	94	SE 2	ESE 2	WSW 3	9^0 ▬	10^2 ●	10^2	0.1	≡ ^{0} n u. 6–7^a. ● ^{0} tr. 0^{25}–4^{20}p, 5^{40}–6^{15}p
27	38.4	**36.8**	38.7	12.6	12.5	11.3	16.4	11.0	9.0	9.9	9.9	83	91	99	SW 2	SSW 2	W 4	10^1	10^2	10^2 ●	4.5	● 1^{15}–2^a, ● $^{0-1}$ 1^{35}–$9\frac{1}{2}{}^p$ m. U.
28	42.7	47.5	52.1	12.3	14.6	12.6	17.6	11.0	9.4	9.2	9.1	88	74	84	W 3	W 3	W 3	9^1	10^2	7^1	3.0	● tr. 11^{55}a, 0^{35}p, 1^{10}p
29	54.9	53.5	51.3	9.9	20.2	15.3	20.6	8.7	8.6	8.8	9.0	94	50	69	SW 1	S 2	SE 2	7^0 ▬	5^0 ⊙	8^1	0.1	⌓ ^{2} a, ≡ ^{0} 6–8^a [⟨ $9\frac{1}{2}$–$10\frac{1}{2}{}^p$, ∈ $1^1/_{2-3}{}^a$
30	50.1	49.2	50.8	13.8	25.0	14.2	**26.8**	11.9	8.9	12.0	11.5	75	51	95	SSE 2	SW 1	NW 2	7^0	9^1	10^2 ●	.	● $^{0-2}$ 6^{23}–$8\frac{1}{2}{}^p$, 9^{25}p–n, ⟨ $^{0-1}$ 6^{22}–$9\frac{1}{2}{}^p$,
31	51.3	52.2	55.0	14.1	17.1	11.6	18.1	11.8	11.8	11.6	9.3	98	79	91	SW 1	W 2	WNW 3	10^2 ▬	9^2	5	11.5	≡ ^{0} 6–7^a, ● $^{0-1}$ n–$5\frac{1}{2}{}^a$, 3^{15}–5^{30}p m. U.
Mittel	49.6	49.7	50.1	13.1	18.0	14.0	19.9	11.5	9.9	10.1	10.2	88	67	85	2.3	2.5	2.6	8.2	8.5	7.3	85.5	

Juli: [1]) 1^{40}–2^5p, 4^{20-40}p, ⟨ 10^{25}p–n [2]) 1^{0-15}p, ⟨ ^{0} 10^5a, 11^5a, 3^{35}p, 5^{55}p, 6–7^p, ● ^{1} bö 6^{25}–7^{45}p

August: [1]) $11\frac{1}{2}{}^a$–$2\frac{1}{2}{}^p$, $3\frac{1}{2}$–6^p [2]) $3\frac{1}{2}{}^p$, ● $^{0-1}$ sch. 3^{20-30}p, 4^{40}p [3]) ● ^{0} 5^{20-30}p, 10^{30}p–n [4]) ⟨ $10\frac{1}{2}{}^p$–$0\frac{1}{2}{}^a$ [5]) ● tr. 6–$8\frac{1}{2}{}^a$ [6]) ⟨ ^{0} $10\frac{1}{2}{}^a$, ● ^{1} 10^{43-53}a, ● ^{1} bö 1^{30-45}p, ● ^{1} sch. $2\frac{1}{2}{}^p$
[7]) $7\frac{1}{2}$–8^p, $9\frac{1}{2}$–$9\frac{1}{2}{}^p$ [8]) ● ^{0} $4\frac{1}{2}$–$4\frac{1}{2}{}^p$, ● $^{0-1}$ 10^{15}p–n

Zeitangaben nach mittlerer Ortszeit

September 1912

$\varphi = 52^\circ 23' N$ $\lambda = 13^h 4' = 52^m 15^s E$ $H_b = 84.9$ m $C_g = +0.50$ mm bei 753 mm

Datum	Luftdruck auf 0° und Normalschwere reduziert 700 mm + 7a	2p	9p	Lufttemperatur C° 7a	2p	9p	Max.	Min.	Dampfspannung mm 7a	2p	9p	Relative Feuchtigkeit Proz. 7a	2p	9p	Richtung und Stärke des Windes 0 bis 12 7a	2p	9p	Bewölkung 0 bis 10 7a	2p	9p	Niederschlag mm 7a	Bemerkungen
1	56.4	55.0	53.2	8.5	17.7	10.8	18.0	7.2	8.2	6.7	7.0	99	**44**	73	W 1	W 3	SE 2	1^1⊙	5^1⊙	6	0.6	● tr. $9-9\frac{1}{2}^a$
2	50.1	48.5	48.3	8.6	16.8	12.5	17.7	6.7	7.5	8.1	8.9	90	57	83	SE 2	S 2	S 1	8^1	9^1	9	.	● tr. $9-9\frac{1}{2}^a$
3	50.9	53.7	56.5	10.9	13.8	12.4	**18.7**	9.2	9.6	**10.7**	9.9	99	90	92	N 1	NE 3	NW 2	10^1	10^2●	10	.	≡^{0} 3^a, $6-7^a$, ●^{1} $1\frac{1}{2}-2\frac{1}{2}^p$, ●^{0} $4\frac{1}{2}-5^p$
4	57.2	53.8	51.0	8.7	15.7	12.5	18.6	7.3	8.4	8.6	**10.7**	100	65	99	W 2	SW 4	SW 4	3^0⊙	10^2●	10●	1.1	●$^{0-1}$ $1\frac{1}{2}-9^p$
5	49.8	48.5	48.6	10.8	12.3	9.2	16.1	9.0	9.3	9.0	7.3	96	85	84	W 3	W 3	W 4	9^1	10^2	10	4.0	⌓^{1} p, ●^{0} 1^{50}-2^{20}a, 3^p, 7^{20}p, ●^{1} 2^{15-20}p, [●^{2} [◪^{0} 9^{30}-1^p
6	46.2	45.8	46.2	9.2	12.1	9.8	13.8	7.3	7.0	7.4	7.5	81	70	83	W 4	WSW 4	SW 4	9^1	10^1	1	1.9	
7	**45.6**	46.8	49.7	9.4	13.2	10.1	14.4	8.5	8.6	9.5	8.5	98	84	92	SW 4	W 4	W 5	10^1	7^2⊙	7^1	0.8	●^{0} 2^{50}-4^{20}a, 6^{30}-7^a, ●^{1} $9-9\frac{1}{2}^a$, ●$^{1-2}$ b5 [1])
8	52.6	52.6	51.7	8.0	15.1	8.0	15.3	7.4	7.1	6.9	7.9	89	53	99	W 4	W 4	WSW 2	3^1⊙	6^1⊙	1	5.8	● tr. $4\frac{1}{2}^p$, ●$^{0-2}$ △ 4^{43}-5^p, ●^{0} 5^{20}-$5\frac{1}{2}^p$
9	50.6	49.6	48.5	7.0	10.3	7.9	13.5	5.7	7.4	7.3	7.5	99	78	93	W 2	SW 3	WSW 4	10^1	8^2●	10●	1.3	●^{0} 6^a, ●$^{0-1}$ 7^{50}-$8\frac{1}{2}^a$, ●^{1} sch. 11^{22-27}a, [2])
10	47.2	48.3	49.9	8.5	11.4	8.2	11.5	7.9	8.0	8.9	7.9	96	89	97	W 4	WSW 4	SW 3	10^2	9^2	10	10.7	●^{0} n-5^a m. U., ●^{0} 8^a, $10\frac{1}{2}^a$, 0-1p, [3])
11	50.8	52.7	55.8	8.3	13.4	8.5	15.5	7.0	8.0	7.4	7.8	97	64	94	SSW 2	S 2	SSE 2	9^1	9^2	10	**12.8**	●^{0} $4-4^{50}$a, $6\frac{1}{2}^a$, ●$^{0-1}$ $4\frac{1}{2}-7\frac{1}{2}^p$
12	58.9	60.2	62.1	6.1	16.6	9.7	17.1	5.5	7.0	8.1	8.2	100	57	91	NE 1	NW 1	NE 1	0^0⊙	6^2⊙	4^1	2.1	≡^{0} $4-1^0$a, ●^{0} 2^{17}-$2\frac{1}{2}^p$
13	62.9	62.0	61.3	5.7	15.7	11.2	17.4	5.0	6.9	8.4	9.3	100	63	93	NW 1	NW 2	W 1	1^0⊙	9^1	9^1	0.1	⌓ n, ≡^{0} $6-7^a$
14	58.5	55.4	52.3	9.1	11.7	10.7	12.4	7.7	8.5	8.1	9.6	99	79	100	WNW 2	W 4	W 4	10^1	10^2	10^2	.	≡^{0} 4^a, ●tr. ●^{0} $4\frac{1}{2}-8\frac{1}{2}^p$
15	48.9	47.0	50.5	9.4	9.7	6.8	13.8	7.0	8.3	7.8	7.0	94	87	95	W 4	WNW 2	WNW 2	10^2	6^1⊙	0	0.9	●tr. $9-9\frac{1}{2}^a$, ●^{0} $10\frac{1}{2}^a$-2^p m. U.
16	52.0	53.3	54.2	7.3	13.4	9.6	14.9	5.7	7.5	5.7	7.4	97	50	83	W 3	WNW 2	WNW 3	10^2	8^2	10	2.5	●^{0} $2-2^{43}$a, ●^{0} △^{0} 1^{35}p, ●^{0} 11^{40}p-n
17	52.9	54.0	54.8	11.0	14.4	11.0	14.5	9.0	9.7	9.2	9.0	99	75	92	WNW 4	W 5	WNW 4	10^2	9^2	10●	1.6	●^{0} n-4^{35}a, ●tr. $7\frac{1}{2}^a$, $5\frac{1}{2}^p$, ●^{0} 8^{40}-9^{25}p, [4])
18	56.5	57.7	59.4	9.6	12.7	9.2	13.2	8.7	7.6	7.2	7.8	85	65	90	W 4	W 4	W 2	9^2	10^2	10	0.6	●^{0} n-5^a m. U., ●^{0} 8^{25}-$8\frac{1}{2}^a$
19	61.8	62.7	63.9	4.4	11.7	4.8	13.6	3.9	6.3	5.9	5.6	100	57	87	WNW 1	NW 2	NE 2	1^0⊙	4^2	0	.	
20	64.4	64.2	65.5	2.5	13.6	4.9	13.6	**1.9**	**5.3**	5.6	6.1	97	48	94	NNE 1	NNE 1	NE 2	0⊙	7^2⊙	0	.	⌣ a
21	65.9	65.9	66.6	3.7	14.0	9.2	14.9	2.2	5.9	5.6	8.3	98	46	95	N 1	E 2	C	1^0⊙	3^2⊙	10	.	⌣^{0} a, ●tr. $4\frac{1}{2}^p$, ●^{0} 5^{30}-7^{30}p
22	**66.7**	65.9	65.5	8.5	13.5	9.3	13.5	7.6	8.2	8.8	8.2	99	76	94	NE 1	C	ENE 1	10^1	10^2	9	0.3	≡^{0} $6-8^a$, $4-6^p$, ●^{0} 0^{10-40}a, $7\frac{1}{2}^a$
23	64.4	62.7	62.0	8.4	14.8	9.4	14.8	8.3	8.0	8.4	8.3	97	67	94	NW 1	NW 2	NE 3	4^0	10^1	10●	0.0	≡^{0} $6-8^a$, 6^p, ●^{0} 2^{30}-$5\frac{1}{2}^p$, 8^{50}-9^{50}p
24	62.7	61.9	61.3	4.2	10.5	8.3	10.6	2.7	6.2	6.9	7.4	100	73	90	N 1	E 1	N 1	4^1=	10^2	10	0.7	≡^{0} 7^a [$5\frac{1}{2}$-$5\frac{1}{2}^p$
25	58.8	58.3	59.0	6.7	10.2	7.2	10.6	6.1	7.0	6.1	7.2	96	66	95	NNE 2	ENE 3	NNE 1	10^2	4^1⊙	10	0.3	≡^{0} 8^a, ●tr. 0^{10}a, ●^{0} 4^{10}-$5\frac{1}{2}^a$, $8\frac{1}{2}$-$8\frac{1}{2}^a$,
26	59.5	59.9	60.8	6.7	12.9	6.2	13.0	5.7	7.2	6.5	7.0	99	59	99	NNE 1	E 2	NE 1	10^1=	9^1	8	0.5	≡^{0} $6-8^a$, 6^p, 10^p-n, ●tr. 2^{20}p, ●$^{0-1}$ [◪^{0}
27	61.6	61.8	62.5	4.6	11.3	8.3	12.4	3.6	6.4	7.9	6.8	100	79	84	NE 1	NE 1	NE 2	10^2=	9^2	10	0.5	≡$^{0-1}$ 6^a-9^p, ●tr. $5\frac{1}{2}^p$ [3^{40}-4^{15}p
28	62.8	62.6	63.2	4.1	12.6	5.1	14.0	3.6	6.0	6.5	6.3	99	59	96	E 2	E 2	E 2	0=	7^2	0	0.1	≡^{0} $4\frac{1}{2}$-7^a
29	62.8	61.0	60.9	3.6	14.8	7.5	14.9	2.6	5.8	6.1	6.2	98	49	79	E 3	E 3	E 3	1^0⊙	1^0⊙	7	.	⌣^{0} ⌓^{1} a, ⌓^{0} p, ◯ 9^p
30	57.4	54.0	50.3	3.1	14.9	10.0	15.8	2.7	5.5	7.1	7.3	95	56	80	E 3	SE 3	SSE 3	0⊙	1^0⊙	8^0	.	⌓^{2} a, ∈ 9^p
Mittel	56.6	56.2	56.5	7.2	13.4	8.9	14.6	6.1	7.4	7.6	7.8	96	66	91	2.2	2.6	2.4	6.1	7.5	7.3	49.2	

Oktober 1912

Datum	Luftdruck 7a	2p	9p	Lufttemperatur C° 7a	2p	9p	Max.	Min.	Dampfspannung mm 7a	2p	9p	Relative Feuchtigkeit Proz. 7a	2p	9p	Richtung und Stärke des Windes 0 bis 12 7a	2p	9p	Bewölkung 0 bis 10 7a	2p	9p	Niederschlag mm 7a	Bemerkungen
1	42.6	**35.2**	37.2	10.4	15.0	12.2	15.1	9.4	8.5	**11.4**	7.5	91	90	71	S 3	SW 5	W 6	10^2●	10^2●	1^0	0.3	●$^{0-1}$ 4^{50}-9^a m. U., ●tr. $10\frac{1}{2}^a$, ●^{0} $11\frac{1}{2}^a$-3^p
2	37.3	40.0	43.1	11.3	11.3	7.8	12.5	7.8	8.5	8.3	6.5	85	83	82	W 4	WSW 3	W 4	10^1	10^2	0	4.6	●^{0} 8^{10}a, $3-4\frac{1}{2}^p$, ●tr. $10\frac{1}{2}^a$, $1-3^p$
3	48.7	52.3	58.7	5.2	9.1	1.9	9.9	1.9	6.4	4.8	4.0	97	55	75	WNW 1	NW 2	N 2	9^1	8^1●	0	0.5	⌣ 10^p, ●^{0} 5^{35}-6^a, ●tr. 1^{50}-2^p
4	65.9	68.7	**69.6**	-2.4	7.4	1.2	8.9	**-2.6**	3.8	**3.1**	3.2	98	**41**	65	WNW 1	NNW 2	SW 1	0	8^1⊙	0	.	⌣ a, ⌓^{0} p
5	69.4	68.5	68.0	-0.9	9.9	3.0	10.4	-1.2	3.3	3.7	3.7	76	**41**	65	SW 2	WSW 1	S 2	1^0	7^0⊙	0	0.0	⌣^{0} a u. p, A. D. m. Ppl.^{0}, ∞ vor der ⊙
6	67.3	64.5	62.6	-2.2	9.0	-0.4	9.4	-2.4	3.6	3.6	3.9	92	42	87	E 1	E 3	E 1	0	0⊙	0	.	⌣ a, A. D. m. Ppl.^{0}, ∞ vor der ⊙
7	61.5	61.6	62.6	-2.3	9.9	3.0	10.0	**-2.6**	3.8	4.3	4.4	98	47	77	E 1	W 2	C	0=	0⊙	0	.	≡$^{0-1}$ $7-10^a$, A. D. m. Ppl.^{0}, ∞ vor der ⊙
8	62.2	62.0	62.9	-0.2	13.1	8.7	14.2	-0.4	4.0	5.3	6.9	89	47	81	W 1	NNW 1	N 2	0	0⊙	8	.	Tal ≡^{1} a
9	64.4	65.3	66.3	4.0	11.8	6.1	12.5	3.8	6.1	7.6	6.2	100	74	88	NE 1	NE 2	NE 1	10=	5^0⊙	0	.	≡$^{0-1}$ n u. 7^a-2^p
10	66.8	66.6	66.0	1.5	8.4	6.2	9.2	1.2	5.1	6.0	5.8	100	73	82	ENE 1	E 2	E 2	1^1=	10^1	10	.	≡^{0} n
11	64.4	63.2	62.8	5.6	9.8	4.1	11.0	3.7	5.9	5.2	4.8	86	57	78	ESE 1	SE 1	SSE 2	10^1	9^1	0	.	⌣ p
12	61.9	62.2	62.4	-0.4	11.4	3.6	11.9	-1.0	4.4	5.8	5.2	98	58	88	WSW 2	W 2	W 1	0	1^0⊙	0	.	≡^{0} 8^a-2^p, ∞^{1} 4^p
13	63.1	63.9	65.4	3.3	11.8	4.6	11.9	2.2	5.8	6.3	5.6	100	61	88	WNW 1	C	E 2	10^2=	6^0⊙	0	.	≡^{0} 5^a-6^p
14	64.9	62.5	59.4	1.6	14.0	8.9	14.4	1.2	5.1	5.9	6.2	98	49	73	FSE 2	SE 2	SSE 3	0=	1^0⊙	10●	.	≡^{0} $5-8^a$, ∞^{2} 10^a, ●tr. $8\frac{1}{2}$-$9\frac{1}{2}^p$
15	57.9	60.0	60.8	8.8	11.3	5.2	12.2	5.3	7.6	6.6	6.0	90	66	90	NW 4	NW 3	W 3	9^2	9^1	0	1.5	≡^{0} 3^a, ●^{1} 1^{50}-6^a m. U.
16	60.6	60.2	58.5	5.4	12.1	8.8	12.9	4.6	6.3	6.5	6.3	94	62	74	W 2	WSW 1	SSE 3	9^1	10^1	10	.	
17	54.9	52.9	54.2	2.8	10.6	9.1	12.6	2.6	5.3	8.9	8.2	95	93	95	S 3	WSW 3	W 4	1^0=	10^2●	10	.	≡^{0} $4-8^a$, ●^{0} 1^{30}-$2\frac{1}{2}^p$, ●^{1} $5\frac{1}{2}$-$6\frac{1}{2}^p$
18	57.5	57.7	58.0	5.8	9.7	6.2	11.0	4.8	6.5	7.1	6.5	94	79	92	W 4	W 3	W 3	7^0	8^1	7^1	1.9	●tr. $9\frac{1}{2}^a$, ●sch. 1^{50}p
19	54.1	49.4	50.1	3.4	7.2	6.6	8.0	2.7	5.7	7.4	7.1	97	97	99	SW 2	SW 3	W 4	10^1	10^2●	8^1	0.1	≡^{0} $8-10^a$, ●$^{0-1}$ 11^{12}a-4^p
20	50.2	50.1	50.3	3.8	10.1	6.2	10.5	3.2	6.0	6.7	6.9	100	72	97	W 3	W 3	SW 3	7^1	8^1	10	2.4	●tr. 7^{54}a, 3^{34}p, ●$^{0-1}$ $3\frac{1}{2}$-$4\frac{1}{2}^p$, 9^0p, ●sch. [8^{12}p
21	49.3	47.4	46.5	3.0	12.1	5.2	12.5	2.9	5.5	5.5	5.8	97	53	87	S 3	SE 3	SE 3	7^0	6^0⊙	10	1.1	∞^{1} a, ∈ 6^p
22	45.5	42.9	40.8	2.1	9.4	8.1	10.3	1.9	5.2	6.5	6.8	97	74	85	E 3	E 4	E 3	9^0	10^0	9^0	0.0	≡^{0} 4^a, 8^a, ∞^{1} 10^a
23	41.0	43.0	45.2	6.5	6.2	4.8	9.5	4.6	6.9	6.8	6.3	96	96	97	E 3	S 2	SSE 2	10^2	10^2	10	2.8	≡^{0} 10-12^p, ●^{0} 0^{35}a, 2^{50}a-$4\frac{1}{2}^p$ m. U.
24	45.8	45.8	46.9	3.4	7.7	5.2	8.0	3.3	5.8	6.6	6.2	100	84	94	SE 2	E 2	E 3	10^1=	10^1	10	**7.5**	≡$^{0-1}$ n-10^a
25	46.6	46.7	47.6	2.9	3.5	2.1	5.5	2.0	5.4	5.3	5.0	95	91	93	E 3	E 4	E 4	10^1	10^2	10	0.0	●^{0} 10^p-n
26	49.1	52.4	55.6	1.5	2.8	1.9	3.1	1.3	5.0	5.5	5.3	98	98	100	E 3	E 2	E 2	10^2=	10^2=	10=	1.7	≡$^{1-2}$ 7^a-n, ●^{0} n-5^{20}a m. U.
27	56.7	54.7	53.8	2.5	5.5	8.6	8.6	1.7	5.5	6.7	8.3	100	99	99	SE 2	E 3	SW 3	10^2=	10^2●	10	0.0	≡$^{1-0}$ n-0^p, ●^{0} $0\frac{1}{2}$-$4\frac{1}{2}^p$, 10^{30}-11^p m. U.
28	52.6	50.0	50.2	7.4	15.7	11.9	**16.0**	7.3	7.5	9.2	8.1	97	69	78	S 4	S 4	SW 4	3^0	7^0⊙	9^0	1.4	∈ $5\frac{1}{2}$-$6\frac{1}{2}^a$, $6-8^p$
29	49.6	48.0	50.2	10.0	15.5	13.5	15.6	9.9	7.6	8.6	9.0	82	66	78	S 3	SW 4	WSW 4	9^1	10^1	9	.	●^{0} $2\frac{1}{2}$-$2\frac{1}{2}^p$
30	48.1	44.2	44.9	11.0	13.9	12.2	14.5	10.8	9.6	10.4	9.4	98	87	89	S 2	SW 4	WSW 4	10^2●	10^1	10	0.2	●^{0} 4^{10}-11^a m. U., ●tr. 0-5^p
31	44.2	41.6	40.0	9.1	11.3	8.2	12.2	7.7	8.2	7.0	7.4	95	68	91	SSW 3	WSW 4	SW 3	10^1	9^1	10●	2.0	●tr. $6\frac{1}{2}^p$, ●^{0} 9^p-n m. U.
Mittel	55.0	54.3	54.9	4.0	10.2	6.3	11.1	3.1	5.9	6.5	6.2	95	70	85	2.3	2.6	2.7	6.5	7.5	5.8	28.0	

September: [1]) $10\frac{1}{2}^a$-0^p, 0^{55}-1^{40}p, 2^{26}-$2\frac{1}{2}^p$, ●^{0} sch. $4-4\frac{1}{2}^p$ [2]) 1^{53}-2^{05}p, 2^{45-55}p, 5^{41}-$6\frac{1}{2}^p$, ● tr. öfter, ●^{0} 10^{25}p-n [3]) ●$^{1-2}$ 2^{05}-$3\frac{1}{2}^p$, $5\frac{1}{2}$-$7\frac{1}{2}^p$ [4]) 10^{45}p-n

Zeitangaben nach mittlerer Ortszeit

November 1912

$\varphi = 52° 23'$ N $\lambda = 13° 4' = 52^m 15^s$ E $H_b = 84.9$ m $C_g = +0.50$ mm bei 753 mm

Datum	Luftdruck auf 0° und Normalschwere reduziert 700 mm + 7a	2p	9p	Lufttemperatur C° 7a	2p	9p	Max.	Min.	Dampfspannung mm 7a	2p	9p	Relative Feuchtigkeit Proz. 7a	2p	9p	Richtung und Stärke des Windes 0 bis 12 7a	2p	9p	Bewölkung 0 bis 10 7a	2p	9p	Niederschlag mm 7a	Schneedecke cm 7a	Bemerkungen
1	46.9	53.1	56.5	2.2	5.5	1.1	**8.4**	1.0	4.3	3.5	4.5	81	52	91	W 5	NW 5	W 5	0	1¹	1	1.7	.	●⁰ n-4¹⁰a m. U., ✳ ● 10²⁵p-n, [1])
2	52.8	53.1	52.7	2.5	6.1	1.8	6.4	1.0	5.0	4.9	5.0	92	69	97	W 5	W 5	W 4	10²	7¹	1	0.3	.	● ✳ n-4³⁰a m. U., ●⁰ 5⅓-9¹³, [2])
3	51.2	53.1	55.7	1.1	5.3	-0.6	5.5	-0.8	4.5	4.5	4.1	91	68	95	W 4	WNW 4	W 4	9²	7²	0	2.1	.	⌣ p, ● tr. n-2¹³, ☾⁰ 6¼ᵖ
4	59.0	59.2	57.8	-2.7	3.6	3.2	3.9	-3.4	3.8	5.0	5.0	100	85	86	W 2	W 4	WSW 4	3¹	9¹	10	.	.	⌣ n u. a
5	51.9	46.5	48.9	0.7	5.7	1.7	6.3	0.6	4.7	6.9	5.0	98	100	97	SSW 2	W 4	N 2	10²	10²	10	4.6	.	≡⁰⁻¹ 2-6ᵖ, ●⁰⁻¹ 2ᵃ-6ᵖ
6	55.3	59.4	63.2	-0.2	3.6	-1.6	4.0	-1.5	4.3	4.3	*4.1*	95	73	*100*	N 2	NNE 3	NNE 1	9¹	8²	0	**12.6**	.	⌣ p, ≡⁰ 10-12ᵖ, △⁰ 2⁵p, [3])
7	66.7	**67.7**	67.2	-4.6	-1.0	-2.2	-0.6	**-4.5**	**3.1**	4.1	3.7	96	95	94	C	S 1	SE 1	9⁰	10²	0	.	.	⌣ a, ≡⁰ n, 0-4ᵖ, 9ᵖ
8	64.0	60.8	59.5	-1.5	0.4	1.6	1.7	-2.7	3.8	4.4	5.1	93	93	100	S 2	SW 3	SW 3	10²	10²	10	0.3	0	≡ 8ᵖ-n, ✳⁰ 5⅓-8¹³, Eis ● △ [4])
9	60.5	60.6	59.0	5.2	7.0	4.2	7.4	1.7	6.6	6.2	6.1	100	83	99	WNW 3	W 2	S 1	10²	9¹	10	11.6	.	≡ n, 10ᵖ-n [☾⁰ 5⁴⁰p
10	52.3	48.2	46.1	4.5	7.5	7.1	7.8	4.2	6.2	**7.7**	7.4	99	99	99	S 3	WSW 3	WSW 3	10¹	10²	10²	0.2	.	≡ n-3⅓ᵃ, ●⁰ 4-4⁵⁰a, ●⁰⁻² 8ᵃ-9ᵖ,
11	35.6	31.8	32.5	4.8	4.1	1.4	7.3	0.7	6.3	5.9	4.9	98	97	97	S 3	W 2	S 4	10	10²	4	6.2	.	⌣ 10ᵖ, ●⁰⁻¹ 0³⁵-2²⁰a, 4²⁰-5⁰a, [5])
12	**31.7**	31.9	33.4	-0.2	5.3	0.8	5.8	-0.6	4.4	4.9	4.8	96	73	98	ESE 3	ESE 2	E 2	1⁰	10¹	10	4.1	.	⌣¹ a, ⌣ p, ≡⁰ 10ᵖ
13	36.4	39.6	43.0	-0.8	3.0	2.0	3.0	-1.4	4.3	4.9	5.0	100	86	95	W 2	SW 4	SSW 3	10²	10²	10	.	.	⌣⁰ a, ≡⁰⁻² 7ᵃ-2ᵖ
14	45.7	46.6	49.0	1.0	4.6	2.6	5.9	0.4	4.7	5.2	5.3	95	81	97	SW 4	WSW 5	W 5	4⁰	10¹	10	.	.	●⁰⁻¹ 1³⁴p-n
15	51.7	52.5	53.4	4.2	6.4	4.2	6.6	2.5	6.1	6.3	6.0	99	88	97	SW 3	W 3	W 3	10	10¹	10	5.1	.	≡⁰ 7-12ᵃ, ●⁰ n-8ᵃ m. U., 3ᵖ
16	54.6	56.0	57.1	4.0	5.5	4.6	6.2	3.2	6.1	5.6	6.0	100	83	94	WNW 1	WSW 1	E 1	10	10¹	10	0.2	.	≡¹ 8ᵃ, ● tr. 0⁵⁰-1¹⁰a
17	58.3	58.9	59.4	3.0	5.3	4.4	5.5	2.6	5.5	6.0	6.1	97	90	97	E 2	ESE 1	SSE 2	10	10²	10	0.0	.	≡⁰ 10-12ᵖ
18	57.6	56.0	55.3	3.2	6.7	0.5	7.7	0.6	5.6	5.9	4.3	97	80	89	S 2	SE 2	SSE 3	10	9¹	1	.	.	≡⁰ 3-5ᵃ, 8ᵃ, ⌣ 10ᵖ
19	53.4	51.9	52.0	-3.0	2.5	2.9	4.3	-2.9	3.5	5.2	5.6	94	95	98	SSE 2	SW 1	WSW 3	1¹	10²	10	.	.	≡⁰ ○○¹ a, Spr. ● 3-6¼ᵖ
20	46.7	46.5	46.9	3.9	5.4	4.4	5.5	1.9	5.8	6.0	5.8	95	90	93	WSW 4	WSW 4	W 5	10	10²	10	2.2	.	●⁰ 0-4³⁵a, 8ᵃ-n m. U.
21	47.8	52.4	58.3	3.5	5.2	1.4	5.4	1.6	5.8	5.7	4.3	98	86	85	W 3	NNW 3	NW 2	10	3²	3	3.0	.	●⁰ n-10ᵃ m. U., A. D.
22	63.4	65.3	66.1	0.8	4.3	-0.1	5.0	-1.2	4.7	5.3	4.4	96	85	96	N 1	S 1	SSW 3	10	3¹	10	0.7	.	≡⁰ 8-10ᵃ, ☾ 8ᵖ, A. D.
23	65.0	64.6	63.6	0.8	4.6	0.1	6.1	0.0	4.4	5.2	4.4	91	81	95	SW 3	S 2	SSW 3	9¹	6²	0	.	.	⌣ p
24	60.1	57.2	56.5	-1.6	3.4	2.1	3.9	-1.9	3.9	4.6	5.1	96	79	95	S 3	S 3	SW 3	1⁰	9¹	10	.	.	⌣ a, ●⁰ sch. 6¼ᵖ, ●⁰ 8-10¼ᵖ
25	57.0	55.4	52.4	3.2	5.4	4.7	6.0	2.1	5.2	5.5	5.3	91	82	83	SW 4	SW 3	SW 6	10²	9¹	10	0.9	.	
26	51.3	50.4	47.6	4.1	6.0	4.9	6.5	3.2	5.4	5.6	5.7	88	79	88	SW 4	SSW 4	SSW 4	10¹	9¹	2⁰	0.6	.	●⁰ 0⁴⁰-3³⁵a m. U., ● tr. 5¼-6¼ᵖ, ☾ [8-9ᵖ
27	41.7	41.6	44.0	5.1	7.8	5.5	8.0	4.7	4.3	5.0	5.5	65	64	82	SSW 5	SW 4	SSW 4	8⁰	10¹	7⁰	0.0	.	
28	43.7	46.1	49.0	2.8	4.5	2.8	5.5	1.2	4.9	4.8	4.9	87	77	87	S 4	W 4	W 3	10	9¹	10	.	.	
29	50.4	48.0	45.5	-1.6	2.4	-0.8	3.0	-2.4	3.9	4.1	3.8	96	74	88	S 2	SE 3	ESE 3	9⁰	1⁰	2	.	.	⌣ a, △ ✳ 11²⁰p-n, ☾ 7ᵃ
30	42.4	43.7	43.3	1.0	5.8	2.7	6.0	-1.1	4.6	5.1	4.5	93	74	81	S 4	SW 2	SE 3	10	7⁰	9	2.4	3	✳ n-6ᵃ m. U., ● tr. 11⁵p
Mittel	51.8	51.9	52.5	1.5	4.7	2.2	5.5	0.3	4.9	5.3	5.1	94	82	93	2.9	2.9	3.1	8.1	8.2	6.7	58.8		

Dezember 1912

Datum	7a	2p	9p	7a	2p	9p	Max.	Min.	7a	2p	9p	7a	2p	9p	7a	2p	9p	7a	2p	9p	7a	7a	Bemerkungen
1	41.1	46.8	52.1	1.2	1.0	0.7	2.9	-0.4	4.3	4.7	3.8	86	95	79	SE 3	WNW 4	SW 4	10	10²	10	.	.	⌣ 10ᵖ, ●⁰ 6⅓-7ᵃ, 10⅓-11ᵃ, [1])
2	51.7	49.2	50.9	-0.7	2.5	2.6	2.7	-1.7	3.6	4.0	4.7	82	73	86	SSW 4	SW 3	WSW 4	7⁰	10¹	10	0.5	.	●⁰ 6²⁷-8¼ᵖ, 10¹⁰-20ᵖ
3	56.5	58.1	61.4	0.4	3.2	3.5	3.6	0.0	4.5	5.0	5.5	95	88	94	W 4	W 4	WNW 4	1	10¹	8	.	.	●⁰ 0¹⁰p, 0⅓-1ᵖ, 2⁵-2¼ᵖ, 4¼ᵖ, 5⅓-6ᵖ
4	65.4	**65.7**	64.7	2.6	5.1	2.0	5.8	1.2	5.2	4.8	4.3	93	73	80	W 4	W 2	SSW 3	10	8¹	10	0.7	.	●⁰ 5⁴⁰-45a
5	63.2	61.7	60.3	1.2	4.8	-0.1	5.7	-0.4	4.2	4.2	3.9	83	64	85	SSW 2	SE 2	SE 3	9	2⁰	0	.	.	⌣ 10ᵖ, Neben ⊙ 9¼ᵃ, A. D.
6	58.9	59.3	59.7	-1.6	3.4	-1.8	4.0	-2.3	**3.1**	3.6	3.2	75	**62**	78	SE 3	SSE 3	SE 3	0	10⁰	0	.	.	⌣ 10ᵖ, A. D.
7	59.8	60.9	61.9	-3.4	1.0	1.8	1.9	**-3.4**	3.4	4.4	4.8	95	90	92	S 2	SE 2	W 2	10	9¹	10	.	.	≡⁰ 1ᵃ, 7-10ᵃ n. n
8	62.8	62.8	63.3	-0.4	5.2	1.8	6.2	-1.3	4.1	4.4	4.5	93	66	87	S 2	C	S 2	9¹	1⁰	10	.	.	[3⅓-4¼ᵖ, ● sch. 6¼ᵖ
9	61.4	59.8	59.1	2.4	6.6	4.3	7.1	1.6	4.7	6.4	6.0	87	88	97	SW 2	WSW 3	SW 3	10	9¹	3	.	.	≡⁰ 9ᵖ u. n, ●⁰ 10²⁰a-1ᵖ m. U.,
10	57.9	56.2	55.1	-2.7	3.2	3.0	4.5	-2.9	3.4	4.3	5.1	91	75	90	SW 3	SSW 3	SW 4	1⁰	9¹	10	0.8	.	⌣ 2ᵃ, ≡⁰ 7-8ᵃ, ●⁰ 8¼ᵖ-n
11	54.2	54.0	52.7	4.0	4.7	4.0	4.8	2.6	6.1	6.4	6.1	100	100	100	W 4	WSW 3	SSW 3	10	10²	10²	4.0	.	≡⁰⁻¹ a u. p, ●⁰⁻¹ n-5ᵃ m. U., 7⅓-9ᵖ,
12	49.8	48.6	51.6	3.6	6.2	6.2	6.7	3.4	5.7	6.2	6.9	97	88	97	S 3	SSW 3	W 4	10	10¹	10	1.4	.	≡⁰ n-3ᵃ, ●⁰ n-1⁵⁰a, 5-8ᵖ [10ᵖ-n
13	56.4	56.5	55.6	3.3	6.4	4.4	6.6	2.5	5.4	5.4	5.9	94	74	94	WSW 4	WSW 4	SW 5	6	10¹	10	1.4	.	●⁰ 6¼-9ᵖ [●² bö 9-9¼ᵖ
14	48.6	46.2	48.2	5.4	8.4	11.1	**11.8**	4.1	6.4	8.0	*9.3*	96	97	*94*	SW 6	WSW 6	NW 7	10	10²	10	2.5	.	●⁰ 2-8ᵃ, 0-1¼ᵖ, ●¹ 2-3¼ᵖ, ●² 7⅓-8ᵖ,
15	45.4	50.2	51.5	10.0	9.0	6.8	10.6	6.7	9.1	6.0	5.4	99	70	74	W 5	W 8	W 6	10	9¹	2	**14.8**	.	●⁰⁻¹ 0²⁵-9¼ᵃ, ●⁰ 0¼ᵖ
16	45.3	45.6	48.6	7.2	6.2	2.4	7.8	2.3	6.9	6.1	4.9	91	86	90	W 5	W 6	WSW 4	10	10²	3	1.9	.	⌣ p, ●⁰ 2-3⁵⁰a, ●⁰⁻¹ 7¼ᵃ-1ᵖ
17	49.1	49.4	50.7	0.3	3.4	1.0	3.6	-0.1	4.4	4.6	4.6	95	79	93	WSW 4	WSW 4	WSW 3	0	10²	9	1.9	.	≡⁰ 8ᵃ, ✳⁰ bö 8⁵⁵-9ᵖ
18	50.3	47.8	41.1	2.4	3.7	3.5	4.0	0.6	4.6	4.5	3.9	84	76	67	SW 4	SW 4	S 4	10	10¹	10	0.3	.	✳ fl. ● 9ᵖ-n
19	49.0	53.7	55.4	1.8	3.6	3.2	3.9	0.6	4.6	4.8	5.1	88	80	89	W 6	W 5	SW 4	10	7⁰	9	2.6	.	✳ ● n-3⁵⁰a, 7ᵖ, ☾ 4ᵖ, 9ᵖ, A. D.
20	57.4	59.2	60.3	2.1	5.8	0.9	6.2	0.6	4.6	5.0	4.2	87	72	86	SW 4	W 2	SSW 2	4	1⁰	0	.	.	⌣ 10ᵖ, A. D.
21	60.3	59.1	57.7	-1.0	5.2	0.2	5.8	-2.7	3.8	4.5	4.4	89	68	95	S 3	SSW 2	SSW 3	0	0	0	.	.	⌣ ≡⁰ 10ᵖ, A. D. m. Ppl.[1]
22	56.1	55.4	55.8	-1.7	4.5	0.4	5.0	-2.3	3.8	4.7	4.4	95	74	93	SSW 3	SW 1	SSW 3	0	10⁰	3	.	.	☾ 4ᵖ, M. D. m. Ppl.[1]
23	55.3	55.2	55.9	3.8	8.2	2.0	8.8	0.2	5.2	5.7	4.9	86	70	92	SW 3	SW 1	SSW 3	10	3⁰	1⁰	0.3	.	
24	56.7	56.8	57.1	2.0	6.4	4.8	6.8	1.6	4.9	5.6	5.9	93	78	91	SSW 3	SW 2	SSW 3	9	1⁰	10	.	.	☾ 8ᵖ
25	54.9	55.4	51.7	7.0	8.7	6.1	9.2	3.9	6.5	5.8	6.5	87	69	92	SW 4	WSW 4	SSW 3	10	1⁰	10	0.2	.	●⁰ 2²⁰-3¹⁰a m. U., 7⁵⁰-11¹⁰p
26	49.3	48.8	**40.5**	6.4	7.6	5.8	10.1	4.7	5.8	5.4	6.6	81	69	96	WNW 6	WSW 3	SSE 4	1	7⁰	10	3.1	.	●⁰ 6ᵃ, ●⁰⁻² 7⅓-10⁴⁵p
27	40.7	48.7	51.8	4.9	5.5	3.4	6.6	3.3	6.4	6.5	5.8	99	96	98	W 3	WNW 3	SW 2	10	10¹	0	7.3	.	●⁰ 2²⁰-6ᵃ m. U., 8ᵃ, ≡⁰ 11ᵖ-n
28	50.5	48.7	50.4	3.6	9.5	9.6	10.5	1.6	5.8	8.8	8.7	98	99	98	SSE 3	SW 3	SW 4	10	10	10	1.1	.	≡⁰ n-5ᵃ, ≡¹ 8-10ᵃ, ●⁰ 6¼ᵃ-6ᵖ, [2])
29	51.4	51.5	52.1	8.7	10.8	8.4	11.0	6.5	8.3	8.0	7.0	99	83	85	SSW 2	SW 3	SW 4	3	6⁰	9	5.8	.	●⁰ n-3⁵⁰a m. U., ● tr. 10²⁵p
30	54.6	53.2	58.0	5.0	5.6	5.0	9.1	3.1	5.0	6.0	6.0	77	89	91	SW 4	WSW 6	W 6	9	10²	0	0.0	.	● tr. seit 11¼ᵃ, ●¹ 1⅓-2¼ᵖ, ● tr. ●⁰
31	61.5	61.3	61.2	4.4	6.4	4.2	6.7	3.2	5.7	5.8	5.1	91	81	82	WSW 4	WSW 3	SW 4	10	9⁰	4	4.5	.	●¹ 1⁵-¹⁰a [3-6¼ᵖ
Mittel	54.0	54.4	54.7	2.7	5.5	3.6	6.5	1.2	5.1	5.5	5.4	90	80	89	3.6	3.3	3.6	7.1	7.5	6.5	55.1		

November: [1]) A. D. m. Ppl.⁰, ○○ vor der ⊙ [2]) ● sch. 4⁷p, ● tr. 10⁵⁰p-n [3]) Dämmerungstrahlen u. Ppl.² 4¼ᵖ [4]) 8-10ᵃ, ●⁰ 10ᵃ-1¼ᵖ, 3⅓-9ᵖ, ✳⁰ 10-11²⁰p [5]) ●⁰ 6-8ᵃ, ● bö 1¹⁰p, ●¹ 2¹⁰-3ᵖ

Dezember: [1]) ✳⁰ ●⁰ 1⁵-3ᵖ, A. D. [2]) 11¹⁰p-n

Zeitangaben nach mittlerer Ortszeit

Monats- und Jahresübersicht nach den Termin-Beobachtungen.

1912 — Höhe der Thermometer 2.2, des Regenmessers 1.3 m über dem Erdboden. — 1912

Monat	Luftdruck auf 0° und Normalschwere reduziert: Mittel mm	Maximum mm	Datum	Minimum mm	Datum	Lufttemperatur: 7a C°	2p C°	9p C°	Tagesmittel C°	Mittl. Max. C°	Mittl. Min. C°	Absol. Max. C°	Datum	Absol. Min. C°	Datum	Absolute Feuchtigkeit: 7a mm	2p mm	9p mm	Mittel mm	Relative Feuchtigkeit: 7a Proz.	2p Proz.	9p Proz.	Mittel Proz.	Min. Proz.
Januar . .	755.4	769.8	17.	725.7	7.	-4.8	-1.2	-3.8	-3.4	-0.4	-6.3	7.5	2.	-16.1	14.	3.3	3.6	3.4	3.4	91	77	89	86	47
Februar .	50.2	62.2	16.	36.9	1.	-1.0	4.2	1.2	1.4	5.3	-2.0	17.5	29.	-19.2	5.	4.4	5.1	5.0	4.9	94	76	90	87	40
März . . .	50.8	64.1	12.	35.1	19.	3.2	9.6	5.4	5.9	11.0	2.5	19.5	27.	- 3.2	13.	5.4	5.6	5.7	5.6	91	62	83	79	42
April . . .	55.1	65.7	22.	35.1	9.	4.4	11.8	6.6	7.4	13.0	2.3	20.4	20.	- 4.4	13.	5.1	4.8	5.1	5.0	79	49	70	66	25
Mai	53.0	63.1	9.	44.4	12. 16.	9.3	15.8	11.1	11.8	17.6	7.1	26.5	12.	- 2.4	1.	7.2	7.2	7.3	7.3	81	54	74	69	20
Juni . . .	51.6	59.4	27. 28.	41.2	2.	14.6	19.9	15.4	16.3	21.7	12.1	29.7	7.	7.2	17. 18.	10.1	10.1	10.1	10.1	82	60	78	73	30
Juli	54.0	61.0	5.	44.7	19.	16.7	24.8	18.4	19.6	26.0	13.9	32.2	28.	8.8	5.	11.4	9.9	10.9	10.7	81	44	70	65	25
August . .	49.8	55.8	17.	36.8	27.	13.1	18.0	14.0	14.8	19.9	11.5	26.8	30.	8.1	13.	9.9	10.1	10.2	10.1	88	67	85	80	40
September	56.4	66.7	22.	45.6	7.	7.2	13.4	8.9	9.6	14.6	6.1	18.7	3.	1.9	20.	7.4	7.6	7.8	7.6	96	66	91	84	44
Oktober .	54.7	69.6	4.	35.2	1.	4.0	10.2	6.3	6.7	11.1	3.1	16.0	28.	- 2.6	4. 7.	5.9	6.5	6.2	6.2	95	70	85	83	41
November	52.1	67.7	7.	31.7	12.	1.5	4.7	2.2	2.7	5.5	0.3	8.4	1.	- 4.5	7.	4.9	5.3	5.1	5.1	94	82	93	90	52
Dezember	54.4	65.7	4.	40.5	26.	2.7	5.5	3.6	3.8	6.5	1.2	11.8	14.	- 3.4	7.	5.1	5.5	5.4	5.3	90	80	89	86	62
Jahr . . .	753.1	769.8	17. 1.	725.7	7. 1.	5.9	11.4	7.4	8.0	12.6	4.3	32.2	28. VII.	-19.2	5. II.	6.7	6.8	6.8	6.8	88	66	83	79	20

Monat	Bewölkung: 7a	2p	9p	Mittel	Niederschlag: Summe mm	Tagesmaximum: Betrag mm	Gemessen am	Zahl der Tage mit: ≥0.1 mm Niederschlag (●✳▲△)	≥0.2 mm Niederschlag (●✳▲△)	≥1.0 mm Niederschlag (●✳▲△)	≥0.1 mm ✳	⊠	△ (▲)	⊼ T	≡	heiter	trübe	⊸	Wind: Zahl der Beobachtungen mit: N	NE	E	SE	S	SW	W	NW	Stille
Januar . .	7.4	6.3	4.9	6.2	38.7	18.8	6.	17	13	8	8	26	3	—	4	7	14	—	4	2.5	32	9	4	7	30	3.5	1
Februar .	7.3	6.9	6.2	6.8	38.6	12.0	24.	18	10	9	3	7	—	1	5	3	13	—	6.5	3	13.5	11.5	6	16.5	16.5	4.5	9
März . . .	7.3	8.0	6.0	7.1	39.3	10.4	17.	19	19	12	—	—	2 (2)	4	1	1	13	—	—	3	13.5	13	12.5	19	26.5	1.5	4
April . . .	5.1	6.3	4.1	5.2	30.8	4.5	7.	12	11	9	4	—	3	—	—	5	7	—	9	15.5	17.5	5	1.5	7	21	11.5	2
Mai	7.6	7.7	5.7	7.0	57.0	17.3	17.	14	12	11	—	—	—(1)	4	1	1	10	—	5	4	8	4	4	8.5	35.5	17	7
Juni . . .	7.1	7.4	6.6	7.0	48.9	14.0	8.	19	17	12	—	—	—	8	—	3	15	—	5	11	11	9	6	12	27	8	1
Juli	4.4	5.3	3.5	4.4	30.0	13.7	1.	6	6	5	—	—	—	6	3	8	4	—	10	10.5	27.5	6	5	5.5	16	5.5	7
August . .	8.2	8.5	7.3	8.0	85.5	17.2	8.	24	20	16	—	—	—	4	—	—	18	—	2.5	—	5.5	7.5	12.5	21.5	35.5	5	3
September	6.1	7.5	7.3	7.0	49.2	12.8	11.	21	19	10	—	—	2	2	1	1	13	—	6.5	15.5	10	4	4.5	8.5	28	11	2
Oktober .	6.5	7.5	5.8	6.6	28.0	7.5	24.	14	12	10	—	—	—	—	5	3	12	—	3	3.5	21.5	9	11.5	15.5	21.5	5.5	2
November	8.1	8.2	6.7	7.7	58.8	12.6	6.	18	16	11	4	2	3	—	2	1	13	—	4.5	1	5	7.5	19.5	22	25.5	4	1
Dezember	7.1	7.5	6.5	7.0	55.1	14.8	15.	19	18	13	1	—	—	—	2	2	11	1	—	—	—	7.5	15.5	39.5	26.5	3	1
Jahr . . .	6.8	7.3	5.9	6.7	559.9	18.8	6. 1.	201	173	126	20	33	13 (3)	29	24	35	143	1	56.0	69.5	165.0	93.0	102.5	182.5	309.5	80.0	40

Fünftägige Mittel (oder Summen).

Datum	Luftdruck	Temperatur	Bewölkung	Niederschl.
Januar				
1— 5	752.3	4.5	10.0	6.4
6—10	44.6	- 3.9	7.3	29.6
11—15	66.5	-11.3	2.1	0.0
16—20	64.3	- 8.6	2.9	0.1
21—25	51.5	1.0	7.6	1.4
26—30	54.9	- 2.2	7.1	1.2
Februar				
31— 4	743.5	-9.4	4.5	5.0
5— 9	43.8	-0.5	3.4	1.0
10—14	48.8	1.7	8.5	1.5
15—19	56.0	4.1	6.7	0.3
20—24	52.3	5.2	9.1	17.4
25— 1	55.9	6.7	8.7	16.0
März				
2— 6	746.4	7.0	7.6	7.0
7—11	54.2	4.1	5.4	6.0
12—16	57.3	3.7	6.3	2.6
17—21	43.7	5.3	7.9	14.5
22—26	51.2	8.3	7.5	2.1
27—31	50.7	6.9	7.4	4.5
April				
1— 5	753.5	5.1	7.5	5.1
6—10	44.9	6.1	8.9	9.8
11—15	57.1	2.5	5.5	15.9
16—20	60.4	10.0	2.8	—
21—25	62.6	12.1	2.4	—
26—30	52.2	8.6	3.9	—
Mai				
1— 5	755.8	8.6	4.5	5.2
6—10	58.2	12.6	8.3	6.6
11—15	51.7	13.1	7.5	12.7
16—20	51.8	12.4	6.3	21.3
21—25	49.8	14.6	7.9	8.7
26—30	51.1	9.8	8.1	2.3
Juni				
31— 4	747.8	15.3	5.5	5.7
5— 9	52.9	18.2	7.6	17.4
10—14	47.7	14.7	9.6	8.2
15—19	51.1	12.7	8.4	13.9
20—24	54.8	17.5	6.3	0.2
25—29	55.5	19.0	4.5	2.2
Juli				
30— 4	751.9	14.9	6.5	19.4
5— 9	56.6	19.1	3.5	5.9
10—14	58.5	21.4	2.0	—
15—19	53.9	21.8	3.0	0.0
20—24	51.4	18.6	5.4	—
25—29	52.4	20.8	5.3	2.6
August				
30— 3	750.3	18.1	7.4	17.7
4— 8	49.7	15.6	7.1	20.1
9—13	49.7	13.8	6.1	9.9
14—18	52.7	14.5	8.9	4.6
19—23	51.9	14.8	8.5	4.1
24—28	43.6	13.5	9.5	20.9
29— 2	52.0	14.6	7.2	12.2
September				
3— 7	750.0	11.2	8.4	7.8
8—12	52.8	9.5	7.0	32.7
13—17	54.7	10.3	8.1	5.1
18—22	63.5	8.5	5.6	0.9
23—27	61.2	8.4	8.5	2.0
28— 2	51.4	9.3	4.4	5.0
Oktober				
3— 7	763.3	3.0	2.2	0.5
8—12	64.0	6.1	4.3	—
13—17	60.0	7.7	6.3	1.5
18—22	50.0	6.6	8.4	5.5
23—27	48.8	4.4	10.0	12.0
28— 1	48.0	9.8	7.2	5.3
November				
2— 6	754.7	1.7	6.9	19.6
7—11	54.2	2.5	8.8	18.3
12—16	45.5	3.1	9.0	9.4
17—21	53.4	3.1	7.8	5.2
22—26	58.4	2.7	7.2	2.2
27— 1	45.3	2.6	8.1	2.4
Dezember				
2— 6	759.1	1.7	6.3	1.2
7—11	58.8	2.5	8.1	4.8
12—16	49.9	6.4	8.7	22.0
17—21	53.4	2.3	5.3	4.8
22—26	53.7	4.5	5.7	3.6
27—31	53.0	6.3	7.3	18.7

Zeitangaben nach mittlerer Ortszeit

Luftdruck

Januar

$H_b = 84.9$ m $C_g = +0.50$ mm bei 753 mm

Datum	1a	2a	3a	4a	5a	6a	7a	8a	9a	10a	11a	Mittag	1p	2p	3p	4p	5p	6p	7p	8p	9p	10p	11p	Mitternacht	Mittel
	700 mm + ...																								
1	64.2	64.0	63.9	63.5	63.4	63.5	63.6	64.0	64.4	64.5	64.5	64.7	64.4	64.9	64.9	65.1	65.3	65.0	64.8	64.6	64.8	64.2	63.8	63.8	64.32
2	63.0	62.9	62.6	62.0	61.4	61.2	60.8	60.6	60.4	60.0	59.9	59.4	59.0	58.8	58.6	58.2	58.7	58.4	58.7	58.7	58.7	58.6	58.5	58.4	60.05
3	58.0	58.0	57.8	56.8	56.3	55.5	55.0	53.9	53.7	52.9	52.5	51.6	50.3	49.6	49.3	49.2	49.2	48.8	49.3	49.3	49.5	49.7	49.9	50.1	52.58
4	50.2	50.8	50.9	50.7	50.6	50.5	50.5	50.4	50.1	49.4	48.8	48.5	47.8	47.4	47.2	46.9	47.0	47.0	47.3	47.1	47.2	47.0	47.0	46.9	48.69
5	46.6	46.5	46.1	45.3	44.7	44.0	43.2	42.4	41.4	40.3	39.3	38.1	37.1	36.4	35.9	35.6	35.1	34.7	34.3	33.8	33.7	34.1	34.1	34.4	39.36
6	34.1	34.1	33.7	33.7	33.5	34.3	34.9	35.8	36.3	36.2	36.0	35.7	35.1	34.7	34.5	34.4	34.4	34.2	33.6	32.9	32.1	31.0	30.0	29.4	33.96
7	28.7	28.1	27.3	26.5	25.8	25.6	25.7	26.2	26.6	27.2	27.8	28.3	29.1	30.3	31.6	33.4	34.6	36.4	38.1	39.3	40.5	41.7	43.1	44.0	31.81
8	45.0	45.9	46.7	46.9	47.5	47.6	47.6	47.8	47.8	48.2	48.2	48.2	48.7	49.2	49.8	50.3	50.7	51.1	51.4	51.6	51.5	51.9	52.1	52.0	48.87
9	51.7	51.6	51.3	50.9	50.5	49.9	49.6	49.7	49.1	48.9	49.0	48.8	48.5	48.4	48.4	48.4	48.3	48.6	48.8	48.4	49.1	49.5	49.9	49.8	49.56
10	50.3	50.7	50.9	51.6	52.0	52.9	53.4	54.2	54.9	55.8	56.2	56.8	57.5	58.3	59.2	60.0	60.8	61.8	62.5	63.2	63.9	64.5	64.8	65.2	57.25
11	65.5	66.1	66.8	67.0	67.2	67.2	67.7	68.5	69.1	69.3	69.4	69.2	69.1	69.3	69.3	69.5	69.5	69.3	69.0	69.3	69.0	68.6	68.4	68.0	68.26
12	68.4	68.0	67.4	67.4	66.9	66.6	66.5	66.4	66.4	66.4	66.6	66.2	65.7	65.6	65.7	65.8	65.8	66.0	66.5	66.6	66.7	67.0	66.8	66.8	66.65
13	67.0	67.1	67.4	67.2	67.4	67.6	67.9	68.0	68.5	68.4	68.2	68.2	68.2	68.0	67.9	68.5	68.4	68.8	69.0	68.7	68.5	68.6	68.6	68.6	68.06
14	68.2	68.8	68.3	67.8	67.7	67.7	67.6	67.5	67.9	67.7	67.3	66.9	66.7	66.4	66.2	66.2	66.1	65.9	65.9	65.8	65.8	65.7	65.3	65.0	66.92
15	64.7	64.4	64.4	63.9	63.5	63.4	63.5	63.4	63.1	63.0	62.7	62.5	62.3	62.1	62.0	61.9	61.8	61.8	61.9	62.1	62.1	62.1	62.0	62.0	62.86
16	62.1	62.3	62.3	62.1	61.9	61.9	61.9	62.0	62.3	62.4	62.4	62.3	62.2	62.6	62.9	63.2	63.5	64.1	64.8	64.6	64.7	64.7	64.3	64.2	62.95
17	64.4	64.4	64.5	64.5	64.8	65.2	65.7	66.3	67.1	67.8	68.3	68.5	68.4	68.5	68.7	68.9	69.3	69.4	69.6	69.8	69.8	69.8	69.7	69.7	67.49
18	69.8	69.6	69.6	69.6	69.4	69.2	68.8	69.2	69.2	69.6	69.2	68.7	68.2	68.0	67.9	68.1	67.9	67.7	67.4	67.3	67.5	67.3	67.5	67.7	68.56
19	67.7	67.4	67.2	67.3	67.1	66.8	66.5	66.4	66.5	66.4	66.0	65.5	65.0	64.6	64.4	64.5	64.2	63.7	63.5	63.2	62.9	62.6	62.2	61.9	65.25
20	61.4	61.0	60.7	60.2	59.8	59.4	59.0	58.9	58.8	58.7	58.4	57.9	57.6	57.4	57.2	57.3	57.3	57.1	56.8	56.7	56.8	56.8	56.9	56.8	58.43
21	56.6	56.7	56.7	56.5	56.5	56.3	56.2	56.3	56.6	56.6	56.5	56.3	56.0	55.5	55.3	55.1	55.1	54.7	54.4	54.1	54.1	53.8	53.7	53.5	55.60
22	53.3	53.2	53.2	53.1	53.2	53.2	53.1	53.2	53.6	53.8	54.1	54.0	53.8	53.8	53.9	53.7	53.4	53.2	52.9	53.0	52.8	52.7	52.3	52.2	53.29
23	51.9	51.4	51.4	51.0	50.9	50.4	50.6	50.7	50.9	50.7	50.6	50.6	50.4	50.2	50.4	50.6	50.6	50.8	51.0	51.4	51.6	51.9	52.0	52.1	51.05
24	51.8	51.9	51.9	52.0	52.0	51.7	51.7	52.0	51.9	51.9	51.7	51.6	51.2	50.8	50.9	51.0	50.9	50.8	50.8	50.7	50.8	50.8	50.6	50.5	51.36
25	50.2	49.4	49.3	49.1	48.8	48.3	48.1	47.9	47.7	47.6	47.6	47.3	46.8	46.5	46.4	46.4	46.2	46.0	46.1	46.1	46.2	46.5	46.7	46.8	47.54
26	46.9	46.9	47.0	47.1	46.8	46.8	46.9	47.3	47.6	47.7	47.8	47.7	47.4	47.2	47.1	46.9	46.7	46.4	46.3	46.2	46.1	46.2	46.5	46.7	46.92
27	46.7	46.5	46.3	46.4	47.3	48.6	49.6	50.6	51.6	52.7	53.5	54.1	54.7	55.1	55.7	56.3	57.0	57.6	58.1	58.5	59.1	59.2	59.6	59.7	53.25
28	59.8	59.8	59.6	59.6	59.5	59.3	59.2	59.4	59.5	59.3	59.1	58.9	58.5	58.1	58.0	57.8	57.8	57.9	57.9	58.1	58.2	58.1	57.9	58.0	58.76
29	58.0	57.6	57.3	57.2	57.0	56.8	56.7	56.9	56.9	57.0	56.6	56.2	55.8	55.6	55.5	55.5	55.8	55.7	55.8	56.1	56.3	56.5	57.1	57.5	56.62
30	57.6	57.9	58.2	58.4	58.8	59.0	59.3	59.9	60.1	60.2	60.2	60.0	59.9	59.4	59.0	58.5	58.2	58.0	57.7	57.1	56.5	55.9	55.3	54.7	58.29
31	53.7	52.9	52.3	51.4	50.5	49.4	48.6	48.0	47.2	46.6	46.1	45.6	44.9	44.5	44.1	43.9	44.2	44.2	44.1	44.2	44.1	44.2	44.1	43.9	47.10
Mittel	56.05	56.00	55.90	55.70	55.57	55.48	55.46	55.61	55.72	55.72	55.63	55.43	55.17	55.07	55.09	55.20	55.28	55.33	55.43	55.44	55.50	55.52	55.51	55.49	55.54

Februar

Datum	1a	2a	3a	4a	5a	6a	7a	8a	9a	10a	11a	Mittag	1p	2p	3p	4p	5p	6p	7p	8p	9p	10p	11p	Mitternacht	Mittel
1	43.6	43.4	43.1	42.9	43.0	43.0	43.0	43.3	43.5	43.7	43.6	43.3	42.7	42.0	41.3	40.7	40.1	39.5	38.7	37.7	36.9	36.2	35.5	34.9	41.18
2	34.3	35.1	35.7	36.4	36.9	37.3	37.8	38.5	38.9	38.8	39.0	39.2	38.9	38.4	38.3	38.1	37.7	38.2	37.9	37.9	37.8	37.5	37.4	37.2	37.52
3	37.1	36.8	36.8	37.1	37.4	37.7	38.3	39.2	39.8	40.5	40.9	41.3	41.8	42.3	42.9	43.5	44.3	44.9	45.3	45.7	46.3	46.8	47.5	47.8	41.57
4	48.1	48.5	48.8	49.1	49.6	49.9	50.3	50.8	51.1	51.5	51.9	51.8	51.8	51.6	51.6	51.7	51.7	51.7	51.6	51.6	51.5	51.0	50.7	50.2	50.64
5	49.6	49.0	48.4	48.2	48.0	47.5	47.0	46.6	46.5	46.2	46.0	45.5	45.1	44.7	44.5	44.4	44.2	44.4	44.4	44.4	44.4	44.4	44.2	44.3	46.08
6	44.1	44.0	43.4	43.1	42.7	42.6	42.7	42.8	43.5	43.4	43.3	43.2	43.1	42.8	43.3	43.0	43.3	43.3	43.3	43.3	43.5	43.6	43.7	43.7	43.32
7	43.5	43.4	43.5	43.3	43.2	42.9	42.8	43.3	43.2	43.2	43.8	44.3	44.2	44.7	45.3	45.8	45.8	46.3	46.2	46.3	46.9	47.2	47.4	47.3	44.70
8	47.3	47.2	46.8	46.8	46.8	46.2	46.1	45.9	45.6	45.4	45.2	44.8	44.5	44.2	43.8	43.9	43.8	43.7	43.5	43.4	43.8	43.2	43.2	43.2	45.05
9	43.4	42.9	42.3	41.8	41.6	41.7	41.4	41.4	41.1	40.8	40.8	40.6	40.4	40.4	40.1	39.8	40.1	40.4	40.5	40.6	41.3	41.6	41.7	42.0	41.28
10	42.4	42.8	42.6	42.7	42.9	43.3	43.2	43.2	43.5	44.1	44.0	43.8	43.7	43.4	43.3	43.1	43.3	43.4	43.6	43.5	43.5	43.4	43.1	43.3	43.24
11	43.0	42.8	42.4	42.2	42.1	42.0	42.3	42.6	42.6	42.6	42.8	42.6	42.3	42.5	42.6	42.5	42.9	43.1	43.2	43.3	43.5	43.9	44.2	44.6	42.88
12	44.9	45.2	45.4	45.6	46.0	46.5	47.2	47.8	48.3	48.5	48.9	49.0	49.3	49.5	49.6	49.9	50.1	50.3	50.8	51.1	51.1	51.6	51.8	52.2	48.61
13	52.3	52.5	52.7	52.8	53.0	53.2	53.4	53.9	54.0	54.3	54.6	54.6	54.4	54.5	54.5	54.4	54.4	54.5	54.4	54.4	54.4	54.4	54.2	54.3	53.85
14	54.0	53.9	53.9	53.7	53.8	53.9	54.0	54.1	54.3	54.3	54.3	54.3	54.3	54.1	54.1	54.1	54.2	54.4	54.5	54.6	54.8	55.0	55.1	55.5	54.30
15	55.6	55.5	55.7	55.6	55.6	55.8	56.2	56.7	56.9	57.4	57.6	57.8	57.9	57.9	58.0	58.2	58.3	58.6	58.9	58.8	58.9	59.1	59.3	59.4	57.41
16	59.6	59.9	60.1	60.2	60.3	60.3	60.7	61.1	61.6	61.7	61.9	62.1	62.0	61.7	61.5	62.3	62.0	62.1	62.0	62.0	62.2	62.0	61.9	62.2	61.31
17	62.1	62.0	61.7	61.2	61.1	61.5	61.2	60.9	61.3	61.0	61.0	60.6	60.3	60.2	60.1	60.1	59.8	59.8	59.6	59.2	58.9	58.5	58.1	58.0	60.42
18	57.5	57.3	56.9	56.5	56.2	55.8	55.5	55.4	55.3	55.0	54.9	54.7	54.5	53.9	53.6	53.2	52.9	52.9	53.0	52.5	52.3	52.0	51.6	51.4	54.51
19	50.9	50.4	49.8	49.4	49.1	48.8	48.5	48.4	48.3	48.2	48.0	47.7	47.2	46.8	46.5	46.2	46.1	46.1	45.9	45.6	45.4	45.4	45.5	45.5	47.64
20	45.6	45.7	45.5	45.7	45.6	45.5	45.6	45.9	46.3	46.5	46.7	46.8	46.7	46.8	46.7	46.8	46.8	46.9	47.0	47.1	47.2	47.1	47.1	47.2	46.41
21	47.2	47.1	46.7	46.6	46.8	46.8	47.0	47.4	47.8	48.3	48.8	49.2	49.5	49.8	50.1	50.5	50.9	51.6	52.2	52.8	53.7	54.6	55.3	56.2	49.76
22	56.8	57.6	58.0	58.5	59.0	59.5	60.0	60.6	61.1	61.4	61.8	62.1	62.1	62.1	62.2	62.3	62.3	62.0	61.9	61.8	61.7	61.4	61.0	60.6	60.56
23	60.2	59.6	58.9	58.1	57.6	56.9	56.7	56.2	55.8	55.4	55.2	54.8	54.5	54.1	53.9	53.6	53.3	52.9	52.7	52.2	51.7	51.2	51.1	50.8	55.12
24	50.6	50.6	50.3	50.0	49.9	49.8	49.5	49.3	49.3	49.1	48.9	48.7	48.2	47.9	47.8	48.4	49.0	50.0	50.5	50.8	51.1	51.5	51.5	51.6	49.80
25	51.8	51.7	51.8	51.7	51.9	52.3	52.7	53.1	53.3	53.4	54.0	54.1	54.1	54.1	54.3	54.1	54.5	54.7	55.0	55.1	55.4	55.3	55.3	55.3	53.62
26	55.4	55.3	55.2	55.3	55.4	55.7	55.8	56.2	56.5	56.4	56.5	56.7	56.7	56.8	56.8	56.5	56.6	56.7	56.5	56.2	56.2	56.5	56.1	56.4	56.15
27	56.4	56.2	55.9	55.6	55.4	55.3	55.2	55.2	54.8	54.7	54.2	53.7	53.3	52.6	52.6	52.6	52.8	53.6	54.3	55.1	55.9	56.4	56.6	57.1	54.88
28	57.2	57.4	57.5	57.4	57.3	57.1	56.9	56.6	55.8	55.5	55.7	55.7	55.7	55.8	56.6	57.2	58.1	58.9	59.3	59.8	60.0	60.2	60.4	60.5	57.59
29	60.3	60.4	60.3	60.0	59.8	59.7	59.4	59.0	58.7	58.4	58.0	57.4	56.9	56.2	55.7	55.5	55.5	55.2	54.9	54.7	54.8	54.6	54.5	54.6	57.40
Mittel	50.17	50.14	50.00	49.91	49.93	49.95	50.01	50.19	50.30	50.33	50.42	50.36	50.21	50.06	50.06	50.08	50.17	50.35	50.40	50.40	50.52	50.56	50.52	50.60	50.23

Zeitangaben nach mittlerer Ortszeit

Luftdruck — März

$H_b = 84.9$ m $C_g = +0.50$ mm bei 753 mm

Datum	1a	2a	3a	4a	5a	6a	7a	8a	9a	10a	11a	Mittag	1p	2p	3p	4p	5p	6p	7p	8p	9p	10p	11p	Mitternacht	Mittel
	700 mm + ...																								
1	54.5	54.5	54.4	54.9	55.5	55.9	56.5	57.0	57.2	57.5	57.7	**58.1**	57.6	57.1	56.9	56.7	56.3	55.9	55.2	54.9	54.3	53.8	53.0	**52.4**	55.70
2	51.9	51.1	50.6	50.0	49.5	49.2	48.9	**48.9**	48.9	49.0	49.3	49.6	50.1	50.5	50.7	51.3	51.8	52.2	52.4	52.5	**52.7**	52.5	52.1	51.8	50.80
3	**51.8**	51.4	50.7	50.0	49.5	48.7	48.6	48.3	48.1	47.7	47.3	46.9	46.5	46.1	**45.9**	**45.9**	46.0	46.1	46.2	46.2	46.1	46.4	46.8	47.1	47.84
4	**47.3**	47.4	47.5	47.5	47.8	48.2	48.7	49.1	49.4	49.6	49.7	**49.9**	49.8	**49.9**	49.7	49.5	49.6	49.7	49.7	49.5	49.2	49.0	48.8	48.2	48.87
5	**47.2**	46.4	46.0	45.3	44.6	44.2	44.0	44.0	43.2	43.1	42.7	42.5	42.3	41.2	41.4	**41.1**	**41.1**	41.6	41.6	41.6	41.8	41.8	41.8	41.9	43.22
6	41.9	41.6	41.4	**41.3**	41.5	41.5	41.6	41.9	42.2	42.4	42.4	42.4	42.3	42.0	41.9	42.2	42.6	42.7	43.3	43.6	44.1	44.4	**44.5**	**44.5**	42.48
7	44.6	44.5	**44.5**	44.5	44.8	45.3	45.6	46.2	46.2	46.5	46.9	47.3	47.3	47.3	47.8	48.1	48.5	48.9	49.7	50.0	50.5	50.9	51.4	**52.0**	47.35
8	**52.4**	52.7	53.0	53.3	53.6	54.0	54.6	55.0	55.4	**55.5**	55.4	55.2	55.0	54.9	54.7	54.5	54.5	55.0	55.1	55.1	55.2	55.2	55.3	55.2	54.47
9	55.3	55.3	**55.2**	55.3	55.3	55.4	55.7	55.9	56.1	56.3	56.2	56.4	56.3	56.0	55.9	55.9	55.9	56.2	56.2	56.3	**56.5**	56.4	**56.5**	56.4	55.92
10	56.5	56.4	56.2	56.4	56.4	56.4	56.3	56.4	56.4	56.4	56.2	55.8	55.6	55.3	55.0	55.1	55.0	55.0	54.9	**54.8**	54.9	55.0	54.9	55.0	55.71
11	55.0	54.8	**54.8**	54.8	54.9	55.1	55.3	55.6	55.8	55.8	55.9	55.9	56.2	56.3	56.6	56.8	57.1	57.7	58.2	58.6	59.0	59.2	59.4	**59.7**	56.54
12	**60.0**	60.3	60.4	60.8	61.1	61.4	61.9	62.3	62.5	62.8	63.0	63.1	63.2	63.3	63.4	63.4	63.6	63.8	64.0	64.0	64.1	64.1	64.1	**64.2**	62.58
13	**64.3**	64.1	63.9	63.6	63.3	63.3	63.5	63.5	63.4	63.5	63.3	63.0	62.5	62.1	61.7	61.3	61.0	60.8	60.9	60.9	60.5	60.2	60.2	**59.9**	62.36
14	**59.4**	59.0	58.6	58.5	58.2	57.9	57.9	57.8	57.7	57.6	57.3	57.2	57.1	56.8	56.7	**56.6**	**56.6**	56.7	56.9	57.0	57.1	57.3	57.5	57.4	57.63
15	57.3	**57.4**	57.2	57.1	57.2	57.1	57.3	**57.4**	57.2	57.0	56.5	56.1	55.7	55.3	54.9	54.5	54.3	54.1	54.0	54.0	53.6	53.1	52.9	**52.7**	55.65
16	**52.5**	51.8	51.4	51.0	50.4	50.1	49.5	49.6	49.0	49.0	48.8	48.6	48.3	48.2	**47.9**	**47.9**	48.0	48.1	48.3	48.6	48.6	48.6	48.9	49.0	49.39
17	49.1	49.1	49.2	49.3	49.3	49.5	49.6	49.8	50.0	**50.2**	50.1	49.9	49.8	49.4	49.2	48.9	48.8	48.7	48.7	48.6	48.4	48.1	47.6	**47.3**	49.10
18	**47.0**	46.6	46.1	45.5	45.1	44.7	44.6	44.3	43.9	43.3	42.7	42.1	41.4	40.7	40.1	39.8	39.5	39.1	38.9	38.6	38.4	38.2	37.8	**37.3**	42.12
19	37.1	36.5	36.1	35.6	35.4	35.2	35.1	35.2	**34.9**	35.0	35.3	36.0	36.5	37.1	37.5	38.0	39.0	39.8	40.3	41.2	41.6	42.3	43.0	**43.5**	37.78
20	**44.0**	44.4	44.5	44.7	44.7	44.6	44.7	45.0	45.3	45.4	45.5	45.5	45.1	45.5	45.5	45.6	45.6	45.8	46.1	46.2	46.3	46.2	**46.4**	**46.4**	45.30
21	46.5	46.5	46.5	46.4	**46.6**	**46.6**	46.5	46.4	46.5	**46.6**	46.3	46.0	45.7	45.3	44.9	44.3	44.2	**43.8**	43.3	42.7	**42.8**	42.1	41.5	**41.2**	45.02
22	41.1	40.8	40.6	**40.4**	40.7	41.2	41.8	42.1	42.4	42.4	42.4	42.5	42.6	42.6	42.5	42.5	42.7	43.0	43.3	43.5	43.8	44.0	44.2	**44.3**	42.34
23	**44.5**	44.7	44.9	44.9	45.3	45.7	45.9	46.3	46.4	46.9	47.1	47.0	47.1	47.2	47.4	47.3	47.6	47.9	48.3	**48.6**	**48.6**	48.5	**48.6**	48.3	46.77
24	48.1	47.7	47.4	46.9	46.5	46.2	45.8	45.5	45.0	44.8	44.5	44.5	**44.4**	44.6	45.2	45.8	46.6	47.3	48.0	48.8	49.3	49.9	50.9	**51.2**	46.93
25	**51.7**	52.2	52.8	53.6	54.2	54.8	55.6	55.9	56.3	56.7	56.9	57.2	57.2	57.5	57.7	57.8	58.1	58.6	59.2	59.4	60.0	60.3	60.5	**60.8**	56.65
26	61.0	61.2	61.2	61.2	61.4	61.6	61.8	62.0	62.2	62.4	62.6	**62.7**	62.5	62.3	62.0	61.9	61.8	61.7	61.7	61.5	61.5	61.3	60.9	**60.5**	61.67
27	**60.2**	59.5	58.9	58.2	57.7	57.3	57.0	56.6	56.1	55.3	54.7	53.9	53.2	52.1	51.1	50.3	**50.0**	51.1	51.7	52.1	52.2	52.5	52.6	52.6	54.70
28	**52.4**	52.1	51.9	51.7	51.6	51.7	51.5	51.5	51.4	51.4	51.4	51.6	51.3	51.0	51.1	50.8	50.5	50.1	49.6	49.5	49.3	**49.0**	49.1	49.7	50.95
29	50.2	**50.1**	**50.1**	50.3	50.4	50.9	51.2	51.5	51.9	51.7	51.6	51.4	51.5	52.5	52.1	51.9	52.1	52.7	52.9	53.4	**53.5**	**53.5**	53.4	53.0	51.74
30	**52.6**	52.2	51.8	51.4	50.9	50.2	49.7	49.1	48.3	48.3	47.6	47.3	47.5	47.4	47.7	47.6	48.0	47.9	48.1	48.3	48.2	48.0	47.7	**47.2**	49.04
31	47.6	47.9	48.1	48.3	48.5	49.1	49.9	50.4	50.5	50.7	**50.7**	50.7	50.4	50.0	49.2	48.6	48.1	47.2	46.7	46.4	45.7	44.9	44.1	**43.0**	48.15
Mittel	**51.13**	50.97	50.84	50.73	50.71	50.74	50.86	50.98	50.96	50.99	50.90	50.85	50.71	50.56	50.46	**50.38**	50.47	50.62	50.75	50.85	50.90	50.86	50.85	50.76	50.80

April

Datum	1a	2a	3a	4a	5a	6a	7a	8a	9a	10a	11a	Mittag	1p	2p	3p	4p	5p	6p	7p	8p	9p	10p	11p	Mitternacht	Mittel
1	41.9	40.9	40.0	39.2	38.7	38.6	38.4	38.1	**37.9**	38.1	38.4	38.8	38.9	38.9	39.2	39.6	39.9	40.4	41.1	41.6	42.0	42.5	43.0	**43.8**	40.12
2	**44.6**	44.9	45.3	45.7	46.2	46.8	47.7	47.9	**48.4**	49.2	49.9	50.5	51.2	51.7	52.6	53.7	54.8	55.9	56.9	57.8	58.4	58.9	59.5	**59.8**	51.28
3	**60.1**	60.4	60.6	60.8	**61.3**	61.7	62.3	62.8	63.2	63.5	63.6	63.8	63.9	63.9	63.8	63.8	63.9	64.3	64.6	65.1	65.4	65.4	65.6	**65.7**	63.17
4	**65.7**	65.4	65.4	65.2	65.1	65.1	65.1	65.0	64.6	64.4	64.1	63.8	63.2	62.5	61.8	61.1	60.3	60.2	60.0	59.3	59.0	58.2	57.2	**56.5**	62.56
5	**55.7**	54.7	53.6	52.8	52.0	51.0	50.5	50.3	49.6	49.2	48.7	48.4	48.1	47.6	**47.1**	47.3	47.4	47.5	47.9	48.1	48.5	48.7	48.7	48.2	49.92
6	48.8	48.5	48.4	48.1	48.4	48.8	**48.9**	48.8	48.7	48.8	48.7	48.4	48.2	47.4	47.0	46.4	45.9	**45.6**	46.2	46.0	46.6	47.3	47.9	48.5	47.78
7	**49.1**	49.4	49.5	49.9	50.1	50.5	50.9	51.9	52.9	53.9	54.2	54.9	55.1	54.9	54.7	54.9	54.9	55.3	55.8	56.1	56.6	56.8	56.7	**56.9**	53.38
8	**56.5**	56.2	55.3	54.6	53.5	52.8	51.8	50.5	49.4	47.9	46.4	45.2	44.3	43.5	42.4	41.4	40.3	39.4	38.8	38.2	37.5	36.7	35.7	**34.8**	46.00
9	**33.8**	34.3	33.9	34.3	34.7	34.9	35.1	35.2	35.2	35.5	35.7	35.8	36.1	36.4	36.6	37.2	37.7	38.3	39.0	39.6	39.9	40.3	40.9	**41.4**	36.66
10	41.5	42.0	42.3	42.4	42.7	43.5	**43.8**	43.4	43.5	43.2	43.2	42.4	42.4	41.4	40.9	40.4	40.0	39.8	39.4	39.3	39.0	**38.7**	38.8	39.2	41.38
11	**40.6**	42.3	42.5	44.6	45.7	46.7	47.4	48.0	48.6	48.8	49.0	49.2	49.3	**49.4**	49.3	49.2	49.1	49.0	48.8	48.7	48.1	47.5	47.0	46.6	46.98
12	**46.5**	46.6	46.8	47.0	47.2	47.4	47.8	47.9	47.9	49.4	50.6	51.3	52.3	53.8	55.5	56.8	57.6	58.5	59.5	60.3	61.0	61.4	61.8	**62.1**	52.94
13	62.4	62.8	62.9	63.3	63.4	63.7	64.2	64.5	64.6	**64.7**	64.4	64.1	63.8	63.4	62.9	62.3	62.1	61.7	61.5	61.2	60.8	60.5	60.1	**59.3**	62.67
14	58.7	58.3	57.8	57.3	56.9	56.7	56.5	**56.5**	**56.5**	56.5	56.7	57.0	57.2	57.4	57.6	57.8	58.2	58.4	58.8	59.3	59.7	60.0	60.3	**60.5**	58.00
15	**60.8**	61.1	61.2	61.3	61.5	61.8	62.2	62.3	62.4	62.6	62.5	62.4	62.4	62.1	61.9	61.8	61.6	61.6	61.8	62.2	62.4	62.6	62.8	**63.0**	61.95
16	63.1	63.2	63.2	63.2	63.4	63.7	64.0	64.3	**64.3**	**64.3**	64.3	63.9	63.6	63.4	62.9	62.6	62.5	**62.4**	62.6	62.9	63.0	63.1	63.2	63.3	63.34
17	**63.2**	63.0	62.8	62.9	62.9	63.0	63.1	63.1	63.0	62.8	62.5	62.1	61.7	61.5	61.2	60.9	60.5	**60.3**	60.4	60.5	60.6	60.6	60.4	**60.3**	61.86
18	**60.3**	60.0	59.9	59.7	59.5	59.3	59.3	59.5	59.2	58.9	58.2	57.7	57.2	56.7	56.3	56.0	55.9	**55.8**	56.1	56.5	56.6	56.8	56.9	57.0	57.98
19	**57.1**	**57.1**	57.2	57.4	57.6	57.7	57.8	58.0	58.1	58.1	58.0	57.9	57.8	57.7	57.7	57.5	57.5	57.7	58.1	58.5	58.7	59.0	59.2	**59.3**	57.91
20	**59.6**	59.7	59.8	60.0	60.1	60.5	60.7	60.9	60.9	61.0	60.9	60.7	60.6	60.5	60.4	60.5	60.7	60.8	61.1	61.7	62.2	62.6	63.0	**63.2**	60.86
21	**63.5**	63.7	64.0	64.3	64.6	65.0	65.3	65.5	65.6	**65.6**	65.6	65.5	65.4	65.2	65.0	65.0	65.0	64.9	64.8	65.0	65.2	65.4	65.5	65.1	64.94
22	65.6	65.5	65.4	65.5	65.4	65.6	**65.7**	**65.7**	65.4	65.3	65.2	64.8	64.5	63.9	63.8	63.3	**63.1**	**63.1**	63.3	63.5	63.7	63.9	64.1	64.1	64.60
23	64.1	64.2	64.2	64.2	64.4	64.8	65.0	**65.0**	65.0	64.9	64.8	64.5	64.2	63.8	63.5	63.4	**63.3**	63.4	63.5	63.8	64.0	64.0	64.1	64.0	64.17
24	**64.0**	**64.0**	63.9	63.7	63.7	63.6	63.6	63.5	63.3	63.0	62.5	62.1	61.6	61.0	60.5	60.1	59.8	**59.6**	**59.6**	59.7	59.9	59.9	59.8	59.8	61.85
25	**59.7**	59.5	59.3	59.0	59.0	58.9	58.9	58.5	58.5	58.3	58.1	57.6	57.4	56.9	56.6	56.2	**56.1**	**56.1**	56.3	56.7	56.7	56.9	57.0	57.0	57.80
26	**56.9**	56.7	56.5	56.5	56.4	56.6	56.4	56.4	56.2	56.0	55.5	55.1	54.7	54.2	53.6	53.0	52.7	52.4	52.3	52.3	52.1	52.1	52.0	**51.9**	54.62
27	**51.6**	51.2	50.7	50.3	50.1	49.9	49.8	49.5	49.2	49.0	48.6	48.2	47.9	47.6	47.2	47.1	**47.1**	47.1	47.5	48.0	48.4	48.7	48.8	48.8	48.97
28	48.6	48.7	48.6	48.6	48.4	48.4	48.5	48.5	48.6	48.6	48.5	48.3	48.1	47.7	**47.5**	47.6	47.8	47.8	48.2	48.8	48.7	49.0	**49.1**	48.9	48.41
29	48.7	48.7	**48.5**	**48.5**	48.6	48.8	49.2	49.7	50.0	50.3	50.5	50.8	51.1	51.4	51.7	52.1	52.4	52.8	53.3	53.9	54.3	54.7	55.0	**55.2**	51.16
30	**55.4**	55.5	55.9	56.2	56.6	57.1	57.6	57.9	58.1	58.5	58.5	58.3	58.2	58.1	58.1	58.2	58.3	58.5	58.8	59.3	59.5	59.8	59.9	**60.1**	57.90
Mittel	54.94	54.95	54.85	54.88	54.94	55.10	55.25	55.30	55.29	55.34	55.26	55.12	55.01	54.80	54.64	54.57	**54.55**	54.62	54.87	55.13	55.28	55.40	55.47	**55.49**	55.04

Zeitangaben nach mittlerer Ortszeit

Luftdruck — Mai

$H_b = 84.9$ m $C_g = +0.50$ mm bei 753 mm

700 mm + ...

Datum	1a	2a	3a	4a	5a	6a	7a	8a	9a	10a	11a	Mittag	1p	2p	3p	4p	5p	6p	7p	8p	9p	10p	11p	Mitternacht	Mittel
1	60.3	60.3	60.4	60.5	60.8	61.0	61.2	**61.3**	**61.3**	61.2	61.1	60.7	60.4	59.9	59.5	59.3	59.2	**59.2**	59.2	59.5	59.5	59.5	59.5	59.5	60.18
2	**59.3**	59.2	59.1	58.8	58.6	58.6	58.7	58.6	58.3	57.9	57.4	56.9	56.5	56.1	55.6	55.1	54.7	54.5	54.6	54.8	54.6	54.3	54.1	**53.9**	56.79
3	**53.6**	53.2	52.8	52.6	52.4	52.3	52.2	52.0	51.7	51.5	51.0	51.0	51.0	51.1	50.8	50.6	50.2	**50.1**	**50.1**	50.5	50.7	50.8	50.9	50.8	51.51
4	50.8	50.8	**50.7**	50.9	51.2	51.5	51.9	52.2	52.4	52.4	52.5	52.6	52.7	52.6	52.8	52.9	53.1	53.3	53.8	54.5	54.9	55.2	55.5	**55.8**	52.71
5	**55.9**	56.1	56.2	56.4	56.7	57.1	57.4	57.7	57.9	58.0	58.0	57.9	57.9	57.8	57.7	57.6	57.6	57.7	57.9	58.1	58.3	58.5	**58.8**	**58.8**	57.51
6	58.7	58.6	58.5	58.5	58.5	58.7	58.8	**58.8**	58.8	58.6	58.0	57.8	57.5	57.1	56.8	56.4	56.3	**56.2**	**56.2**	56.3	56.5	56.9	57.2	57.3	57.67
7	**56.8**	57.0	57.1	57.2	57.4	57.7	58.0	58.3	58.5	58.5	58.8	58.9	58.9	58.7	58.5	58.5	58.4	58.3	58.9	59.2	**59.5**	59.1	59.2	59.1	58.31
8	59.0	59.0	58.9	58.9	**58.8**	58.9	59.0	59.3	59.4	59.5	59.6	59.8	59.9	60.0	60.2	60.6	60.9	61.5	61.8	62.2	62.7	62.9	**63.3**	63.1	60.33
9	62.9	**63.3**	63.2	63.2	**63.3**	**63.3**	63.1	62.7	62.5	61.9	61.5	60.8	60.1	59.4	58.7	58.3	57.7	57.3	56.7	56.3	56.0	55.7	55.5	**55.3**	60.07
10	55.2	55.3	55.3	55.4	**55.6**	55.5	**55.6**	55.5	55.5	55.3	54.9	54.6	54.6	54.5	54.3	54.0	**53.7**	**53.7**	53.8	53.8	54.2	54.3	54.3	54.5	54.75
11	54.7	54.7	55.0	55.2	55.5	55.5	56.1	**56.1**	**56.1**	56.1	56.0	55.9	55.7	55.5	55.1	54.8	54.4	53.9	53.2	52.5	52.0	51.6	50.8	**49.9**	54.43
12	49.3	48.6	48.6	48.8	48.8	49.0	49.8	50.2	50.5	50.4	**50.6**	49.2	48.7	48.2	48.5	47.6	46.7	46.2	45.5	45.4	**44.4**	44.9	46.8	45.0	48.06
13	**46.8**	47.1	48.5	49.0	49.5	50.0	50.1	50.5	51.1	51.6	52.1	52.3	52.5	52.9	53.1	53.4	53.7	53.9	54.2	54.6	55.0	55.1	55.3	**55.5**	51.71
14	55.5	55.6	55.4	55.5	55.5	55.8	55.9	56.0	55.9	**56.1**	56.0	56.0	55.7	55.0	54.7	54.2	53.9	53.8	53.3	53.0	52.8	52.6	**52.5**	**52.5**	54.75
15	**52.5**	52.0	51.9	51.6	51.0	51.8	51.2	51.2	50.5	50.3	50.4	50.1	49.4	49.1	48.8	48.6	48.5	48.2	47.7	46.9	47.0	46.5	45.9	**45.6**	49.57
16	44.7	46.7	45.2	44.0	44.4	44.4	44.4	44.2	**43.9**	44.0	44.2	44.4	44.7	44.9	44.7	44.6	44.4	44.4	44.4	45.2	45.7	46.0	46.3	**46.8**	44.89
17	**47.1**	47.4	47.7	48.4	49.1	49.0	49.5	49.8	49.8	50.1	50.4	50.7	50.9	51.1	51.1	51.3	51.5	51.6	51.7	51.9	52.1	52.3	52.4	**52.5**	50.25
18	**52.6**	52.7	52.7	52.9	53.0	53.0	53.1	53.2	53.1	53.2	53.4	53.7	53.8	53.7	53.6	53.7	53.8	54.0	54.4	54.7	55.2	55.5	55.5	**55.6**	53.70
19	**55.5**	55.6	55.6	55.6	55.7	56.1	56.4	56.5	56.5	56.5	56.4	56.4	56.3	56.3	56.2	56.1	56.0	56.0	56.1	56.3	56.4	56.6	**56.6**	56.6	56.16
20	**56.4**	56.3	56.2	56.1	56.1	56.1	56.1	56.0	55.6	55.1	54.6	53.9	53.2	52.6	52.0	51.5	51.1	50.7	50.3	50.3	50.0	49.5	49.0	**48.2**	53.34
21	47.8	**47.4**	**47.4**	47.5	47.9	48.2	48.5	48.8	49.1	**49.3**	49.2	49.0	48.9	48.8	48.7	48.4	48.2	48.1	48.0	48.2	48.1	48.0	47.9	47.7	48.29
22	47.7	**47.7**	47.6	47.0	47.0	47.3	47.5	47.5	47.6	**47.7**	47.5	47.5	47.2	47.0	46.7	46.6	46.4	46.3	46.1	46.1	46.2	46.0	**45.9**	**45.9**	46.94
23	45.8	45.6	**45.4**	45.5	45.6	45.8	46.0	46.3	46.5	46.8	47.1	47.2	47.4	47.4	47.5	47.4	47.7	47.9	48.2	48.5	48.8	49.0	49.2	**49.4**	47.12
24	**49.5**	49.8	49.8	50.0	50.3	50.8	51.2	51.2	51.4	51.6	51.6	51.5	51.5	51.5	51.5	51.5	51.6	51.8	52.1	52.6	52.8	53.0	**53.2**	**53.2**	51.38
25	**53.2**	**53.2**	53.3	53.4	53.6	53.7	53.8	53.9	53.9	53.6	53.7	53.8	53.9	54.0	53.9	53.9	53.9	54.2	54.5	54.7	**54.8**	**54.8**	54.7	54.6	53.93
26	54.6	54.6	54.6	54.5	54.7	54.8	**54.9**	54.7	54.6	54.4	54.4	54.0	53.9	53.7	53.5	53.4	53.4	53.2	53.2	53.2	53.3	53.2	53.2	**53.0**	53.98
27	**53.0**	52.8	52.8	52.7	52.7	52.9	52.8	52.8	52.8	52.6	52.4	52.2	52.0	52.1	52.0	**51.7**	**51.7**	52.1	52.0	52.1	52.3	52.3	52.3	52.2	52.41
28	**52.3**	52.0	51.8	51.8	51.8	51.8	51.8	51.6	51.5	51.5	51.4	51.5	51.5	51.3	51.1	50.9	50.8	50.5	50.3	50.2	50.2	50.0	49.6	**49.4**	51.15
29	**49.3**	49.0	48.6	48.8	48.7	48.6	48.6	48.6	48.6	48.6	48.5	48.3	48.5	48.4	48.4	48.3	**48.1**	48.2	**48.1**	48.5	48.7	48.7	48.7	48.6	48.59
30	**48.4**	48.5	48.5	48.5	48.5	48.6	48.7	49.1	49.2	49.4	49.6	49.7	49.8	49.9	49.7	49.5	49.3	49.2	49.4	49.6	50.0	50.2	**50.4**	**50.4**	49.31
31	50.6	**50.6**	50.6	50.8	50.9	51.1	51.4	51.6	51.9	**52.0**	**52.0**	51.9	51.8	51.6	51.4	51.3	51.0	50.9	50.9	51.0	51.2	51.3	51.4	51.4	51.24
Mittel	52.89	52.93	52.88	52.90	53.02	53.19	53.35	**53.43**	**53.43**	53.41	53.36	53.23	53.12	52.97	52.81	52.65	52.51	52.48	**52.47**	52.60	52.71	52.72	52.77	52.65	52.94

Juni

Datum	1a	2a	3a	4a	5a	6a	7a	8a	9a	10a	11a	Mittag	1p	2p	3p	4p	5p	6p	7p	8p	9p	10p	11p	Mitternacht	Mittel
1	**51.3**	51.2	51.1	50.9	50.9	50.9	50.8	50.6	50.6	50.3	50.0	49.6	49.2	48.9	48.5	48.0	47.7	47.3	47.2	47.3	47.4	47.5	47.2	**46.9**	49.31
2	**46.3**	46.0	45.5	45.3	45.0	44.8	44.6	44.0	43.3	43.0	42.8	42.6	42.2	42.0	41.8	41.3	41.1	40.9	**40.8**	40.9	41.2	41.2	41.7	42.1	43.09
3	**42.2**	42.3	42.5	43.1	43.5	43.9	44.5	44.8	44.9	45.0	45.1	45.2	45.4	45.8	46.1	46.5	46.6	46.7	47.1	47.2	47.7	48.0	48.3	**48.4**	45.32
4	**48.5**	48.7	49.0	49.4	49.8	50.2	50.7	50.7	**50.8**	50.7	50.6	50.5	50.3	50.1	50.0	49.8	49.6	49.6	49.4	49.4	49.8	49.8	49.7	49.7	49.81
5	**49.6**	49.8	50.1	50.0	50.0	50.4	50.7	50.6	50.5	50.4	50.4	50.5	50.5	50.9	50.6	50.8	50.9	51.0	51.1	51.6	52.2	52.5	**52.8**	**52.8**	50.82
6	**52.8**	**52.8**	53.6	53.4	53.7	53.5	53.4	53.9	54.0	54.0	53.8	54.0	**54.3**	**54.3**	54.0	53.6	53.5	53.5	53.6	53.6	54.0	54.0	53.9	53.9	53.68
7	53.7	53.7	**53.8**	53.7	53.6	53.7	53.6	53.7	53.6	53.3	53.1	52.6	52.2	51.8	51.2	50.6	50.2	**49.9**	50.0	50.1	50.0	**49.9**	50.3	**49.9**	52.08
8	49.9	**49.8**	50.3	49.9	50.2	50.5	50.9	51.3	51.8	52.1	52.4	52.7	52.9	53.3	53.4	53.7	53.5	53.7	53.8	54.0	54.4	54.6	**54.7**	**54.7**	52.32
9	54.7	54.8	54.7	54.9	55.1	55.3	55.5	**55.6**	55.5	55.5	55.5	55.1	54.9	54.6	54.2	54.0	**53.8**	54.1	54.3	54.4	54.4	54.3	54.2	54.1	54.73
10	**57.8**	53.4	53.1	52.9	52.7	52.5	52.4	52.1	52.0	51.8	51.7	51.4	51.0	50.4	50.1	49.9	49.7	49.4	49.4	49.4	49.3	49.0	48.9	**48.7**	51.16
11	**48.4**	48.0	47.8	47.6	47.5	47.5	47.5	47.6	47.5	47.4	47.3	47.3	47.3	47.3	**47.1**	47.2	47.1	**47.1**	47.1	47.2	47.5	47.7	47.8	47.6	47.52
12	47.6	47.3	**47.2**	47.4	47.7	48.0	48.1	48.2	**48.3**	48.1	48.1	48.2	48.1	48.0	48.0	48.0	48.0	48.1	48.0	47.8	47.9	47.8	47.8	47.8	47.88
13	**47.9**	47.7	47.4	47.0	47.1	47.3	47.4	47.8	47.7	47.7	47.7	47.6	47.2	47.0	46.6	46.4	46.4	46.4	46.3	46.4	46.1	46.4	46.0	**45.8**	47.00
14	45.6	45.6	45.4	45.5	45.4	45.3	45.2	**45.0**	45.6	45.5	45.6	45.8	45.7	45.6	45.6	45.7	45.9	46.0	46.1	46.3	46.6	46.7	46.8	**47.0**	45.81
15	47.2	47.3	47.2	47.1	47.1	47.0	46.8	46.5	46.4	45.7	45.4	44.3	44.3	**44.2**	44.3	44.7	45.5	46.0	46.4	47.0	47.3	47.7	47.9	**48.3**	46.34
16	48.2	**48.3**	48.2	48.2	**48.3**	48.2	48.1	47.9	47.6	47.4	47.1	46.6	45.7	45.1	44.6	44.1	**43.3**	**43.3**	43.9	44.4	45.3	45.8	46.4	47.3	46.46
17	**48.1**	49.0	49.6	50.4	51.0	51.5	52.0	52.4	52.7	53.0	53.2	53.1	53.2	53.5	53.7	53.8	53.9	53.6	53.5	53.5	53.5	53.6	53.5	**54.0**	52.26
18	**54.1**	**54.1**	54.4	54.7	55.0	55.1	55.2	55.2	55.2	55.0	54.8	54.5	54.7	54.7	54.6	54.3	54.5	54.7	54.6	54.7	55.0	55.3	55.3	**55.4**	54.76
19	55.3	55.3	55.4	55.4	55.4	55.5	55.4	55.5	55.5	**55.6**	55.5	55.4	55.2	55.2	55.0	54.9	54.7	54.5	54.5	54.4	54.5	54.4	54.1	**53.8**	55.03
20	53.6	53.0	52.4	52.2	51.9	51.5	51.1	**50.3**	50.9	50.9	51.4	51.4	51.3	51.6	52.1	52.3	52.5	53.3	53.9	54.3	54.6	55.1	55.4	**55.5**	52.65
21	55.6	55.3	55.4	55.6	55.5	55.6	55.6	55.7	55.7	55.6	55.5	55.4	55.4	55.3	**55.1**	55.2	55.5	55.6	55.9	56.1	56.3	56.3	56.5	**56.7**	55.68
22	**56.8**	56.9	57.0	57.0	57.4	**57.5**	57.6	**57.7**	**57.7**	57.6	57.4	57.3	57.3	57.2	57.1	57.2	57.1	57.0	57.0	57.0	57.1	57.2	57.3	57.3	57.22
23	**57.4**	57.3	57.2	57.0	57.0	57.0	57.0	57.0	56.9	56.4	56.0	55.7	55.2	54.9	54.6	54.4	54.3	54.1	54.1	53.9	53.8	**53.6**	53.9	**53.6**	55.58
24	53.5	53.4	**52.8**	53.0	53.4	53.4	**53.8**	53.3	53.4	53.7	53.6	53.7	53.7	53.5	53.5	53.1	52.9	52.9	53.2	53.2	53.4	53.5	**53.8**	53.7	53.40
25	53.8	**53.7**	54.0	54.2	54.3	54.5	54.9	55.3	55.5	55 5	55.8	**55.9**	55.7	55.4	55.3	55.3	55.3	55.4	55.5	55.4	55.4	55.4	55.3	55.3	55.03
26	54.9	54.6	54.5	54.3	54.2	54.2	54.1	54.1	54.3	54.4	54.5	54.4	54.2	**54.0**	**54.0**	54.1	54.3	54.4	54.5	54.8	55.5	55.5	55.6	**55.8**	54.58
27	**56.1**	56.5	56.6	56.9	57.2	57.7	58.0	58.4	58.5	58.7	58.9	58.9	59.0	59.0	58.9	58.8	58.8	58.9	58.9	59.2	59.4	59.5	**59.6**	59.5	58.31
28	**59.6**	**59.6**	59.3	59.2	59.2	59.3	59.4	59.4	59.2	59.1	58.8	58.4	58.1	57.7	57.4	56.8	56.4	56.2	55.9	55.9	55.9	55.9	55.9	**55.8**	57.92
29	**55.6**	55.2	54.8	54.4	54.3	54.1	53.9	53.6	53.1	52.8	52.3	51.9	51.3	50.9	50.4	49.8	49.4	49.0	48.8	48.5	48.4	48.4	**48.3**	48.9	51.76
30	48.6	**47.9**	48.0	48.0	48.4	48.6	49.0	49.3	49.3	49.7	49.8	49.9	50.2	50.2	50.2	50.6	50.4	50.5	50.7	50.9	51.0	**51.0**	**51.0**	51.0	49.72
Mittel	51.69	51.62	51.61	51.62	51.73	51.82	51.91	51.92	**51.93**	51.86	51.80	51.66	51.52	51.41	51.27	51.15	**51.09**	51.10	51.18	51.29	51.50	51.59	51.66	51.71	51.57

Zeitangaben nach mittlerer Ortszeit

Luftdruck — Juli

$H_b = 84.9$ m $C_g = +0.50$ mm bei 753 mm

700 mm + ...

Datum	1a	2a	3a	4a	5a	6a	7a	8a	9a	10a	11a	Mittag	1p	2p	3p	4p	5p	6p	7p	8p	9p	10p	11p	Mitternacht	Mittel
1	50.8	50.6	50.4	50.5	50.4	50.3	50.2	50.3	50.2	50.3	50.2	**50.0**	**50.0**	50.3	50.1	50.0	**50.0**	50.0	50.1	50.4	50.7	50.8	50.8	**50.9**	50.37
2	50.7	50.5	50.4	50.5	50.5	50.5	50.5	50.4	50.6	50.6	50.7	50.5	50.6	50.1	49.9	49.8	**49.6**	49.9	50.1	50.4	50.9	50.7	50.9	**51.1**	50.45
3	**51.1**	51.3	51.2	51.2	51.2	51.4	51.6	52.0	52.2	52.3	52.0	51.9	51.9	51.9	52.0	51.9	52.1	52.4	52.3	52.6	52.9	53.1	53.4	**53.7**	52.03
4	**53.9**	54.1	54.1	54.2	54.4	54.7	55.0	55.6	55.9	56.2	56.3	56.4	56.2	56.1	56.2	56.1	56.4	56.8	57.2	57.8	58.2	58.5	58.7	**59.0**	56.07
5	**59.2**	59.4	59.6	59.8	60.1	60.3	60.5	60.9	61.0	60.9	61.1	**61.2**	61.1	61.0	60.8	60.6	60.5	60.3	60.2	60.3	60.5	60.6	60.6	60.6	60.40
6	**60.7**	60.6	60.6	60.5	60.5	60.4	60.2	60.2	60.0	59.7	59.3	58.8	58.3	58.0	57.5	57.1	56.6	56.2	55.8	55.7	**55.6**	55.7	55.8	55.7	58.40
7	**55.3**	55.1	54.8	54.6	54.4	54.3	54.4	54.3	54.1	53.9	53.6	53.3	53.0	52.8	52.6	52.4	**52.2**	**52.2**	52.3	52.4	52.8	53.1	53.2	53.2	53.60
8	**53.1**	53.3	53.4	53.5	53.7	54.0	54.2	54.2	54.1	54.3	54.3	54.3	54.1	54.0	53.9	53.9	54.7	54.5	54.9	54.9	55.1	55.3	55.4	**55.5**	54.23
9	55.6	**55.5**	55.6	55.7	56.0	56.4	56.5	56.7	56.8	57.0	56.9	56.9	56.7	56.4	56.2	56.3	56.2	56.3	56.3	56.6	56.9	57.2	**57.2**	57.2	56.42
10	57.4	57.3	57.3	57.3	57.6	57.7	57.9	**58.0**	57.9	57.9	57.8	57.7	57.3	57.2	57.0	56.9	**56.7**	56.8	57.0	57.1	57.5	57.7	57.7	57.8	57.43
11	57.6	**57.5**	**57.5**	57.6	57.6	57.8	57.9	58.0	58.3	58.3	58.4	58.2	58.0	57.8	57.7	57.6	57.5	57.5	57.8	58.2	58.6	58.8	58.9	**59.0**	58.00
12	59.1	59.0	59.1	59.3	59.6	59.7	59.9	**60.1**	60.0	60.0	59.8	59.6	59.3	59.0	58.6	58.4	58.3	**58.2**	**58.2**	58.4	58.6	58.8	58.9	58.9	59.11
13	58.8	58.8	58.7	58.7	58.6	58.8	58.9	**59.0**	58.9	**59.0**	58.7	58.4	58.1	57.8	57.7	57.5	**57.3**	**57.3**	57.5	57.9	58.2	58.4	58.9	**59.0**	58.39
14	59.0	59.1	59.2	59.2	59.3	59.4	59.6	59.8	59.8	59.8	59.6	59.4	59.2	59.0	58.9	58.7	**58.6**	**58.6**	58.8	59.1	59.5	59.8	60.1	**60.3**	59.31
15	60.3	60.3	60.3	60.4	60.4	60.6	60.9	**61.1**	61.2	**61.2**	61.2	61.1	60.9	60.7	60.4	60.3	60.1	**60.0**	**60.0**	60.2	60.6	60.7	60.8	60.7	60.59
16	**60.7**	60.7	60.5	60.4	60.4	60.4	60.5	60.5	60.4	60.3	60.0	59.7	59.4	59.2	58.9	58.5	58.0	57.7	**57.6**	57.7	57.9	58.0	58.0	58.0	59.36
17	**57.7**	57.5	57.3	57.0	56.9	56.9	56.9	56.9	56.9	56.7	56.3	56.0	55.5	55.1	54.7	54.3	53.9	53.6	53.5	53.6	53.5	53.4	53.1	**52.8**	55.52
18	**52.6**	52.3	52.2	51.9	51.7	51.4	51.2	50.9	50.5	50.3	49.8	49.2	48.7	48.2	47.6	47.1	46.9	46.7	46.6	46.4	46.5	46.4	46.4	**46.3**	49.22
19	46.2	46.1	46.0	45.9	45.6	45.5	45.6	45.6	45.6	45.5	45.4	45.2	44.9	44.7	**44.6**	**44.6**	44.7	**44.6**	44.9	46.2	46.9	47.1	47.2	**47.3**	45.68
20	**47.3**	47.5	47.7	47.9	48.1	48.5	48.6	49.0	49.1	49.6	49.7	49.7	49.5	49.5	49.7	49.5	49.6	49.4	49.5	49.5	**49.8**	49.5	49.5	49.4	48.98
21	49.4	49.4	49.2	49.2	49.2	49.2	49.2	49.3	49.3	49.4	49.3	49.3	49.0	48.7	48.5	48.1	**48.0**	48.2	48.6	49.0	49.3	49.3	49.4	**49.5**	49.06
22	**49.6**	**49.6**	49.7	49.8	50.0	50.1	50.3	50.5	50.6	50.6	50.5	50.4	50.1	49.9	49.8	**49.6**	49.7	49.9	50.2	50.6	51.1	51.1	**51.4**	**51.4**	50.24
23	**51.4**	**51.4**	51.5	51.7	51.8	52.0	52.3	52.4	52.6	52.6	52.7	52.6	52.2	52.2	52.7	53.1	52.2	53.2	53.3	53.9	54.1	54.4	54.6	**54.7**	52.73
24	54.8	**54.8**	54.8	55.0	55.2	55.5	55.7	55.9	56.0	**56.1**	**56.1**	56.0	55.7	55.4	55.2	55.1	55.0	54.9	55.1	55.2	55.5	55.6	55.5	55.5	55.37
25	55.4	55.3	55.2	55.3	55.3	55.3	55.4	**55.5**	55.3	54.9	54.7	54.4	54.0	53.6	53.4	53.0	**52.9**	53.0	53.1	54.2	54.5	54.7	54.7	54.6	54.53
26	54.4	54.3	54.1	54.1	54.3	54.6	54.6	54.6	**54.7**	53.8	53.7	53.6	53.4	53.6	**52.9**	53.2	53.6	53.5	53.8	54.2	54.3	54.4	54.4	54.0	54.03
27	**53.7**	53.6	53.6	53.6	**53.7**	53.5	53.6	53.5	53.4	53.3	53.2	53.2	53.0	52.6	52.3	52.1	51.8	51.7	51.5	51.5	51.4	51.6	51.5	**51.3**	52.73
28	51.2	50.9	50.9	50.9	50.9	50.8	50.8	50.6	50.5	50.4	50.1	49.8	49.5	49.2	49.0	48.7	48.6	**48.4**	49.1	48.5	50.2	50.2	**51.3**	50.2	50.08
29	49.8	49.4	**49.0**	**49.0**	50.1	50.1	51.2	51.1	50.8	51.2	51.4	**51.4**	51.4	51.1	50.7	50.7	50.5	50.4	50.3	50.4	50.6	50.6	50.6	50.5	50.50
30	50.3	50.1	50.1	50.0	49.9	49.8	50.0	50.3	50.3	50.1	49.7	**49.5**	49.6	49.6	**49.5**	49.6	49.6	49.6	49.7	49.9	50.2	50.6	50.8	**51.2**	50.02
31	51.1	51.1	51.4	51.6	51.8	52.1	52.4	52.8	52.8	**52.9**	**52.9**	52.8	52.6	52.3	52.0	51.8	51.5	51.1	51.1	51.0	50.6	50.3	50.1	**49.8**	51.64
Mittel	54.14	54.08	54.03	54.07	54.17	54.26	54.40	**54.52**	54.51	54.49	54.37	54.21	53.97	53.77	53.58	53.44	53.35	**53.32**	53.44	53.67	53.97	54.06	54.19	54.16	54.02

August

Datum	1a	2a	3a	4a	5a	6a	7a	8a	9a	10a	11a	Mittag	1p	2p	3p	4p	5p	6p	7p	8p	9p	10p	11p	Mitternacht	Mittel
1	**49.3**	48.9	48.5	48.5	48.3	47.9	47.5	47.4	47.5	47.5	47.0	46.9	46.7	46.6	46.2	46.0	46.0	**45.9**	**45.9**	46.2	46.3	46.5	46.5	46.6	47.22
2	**46.8**	47.1	47.2	47.4	47.6	47.7	48.1	48.3	48.5	48.6	48.7	49.0	49.1	49.2	49.2	49.1	49.2	49.4	49.5	49.8	50.1	50.3	50.3	**50.4**	48.69
3	**50.5**	50.8	50.9	51.1	51.4	51.8	52.1	52.5	52.9	53.3	53.4	53.5	53.6	53.8	54.0	54.2	54.3	54.4	54.8	55.1	55.2	55.4	**55.6**	**55.6**	53.22
4	**55.6**	**55.6**	55.2	55.2	55.3	55.4	**55.6**	**55.6**	55.5	55.3	54.9	54.5	54.1	53.5	53.1	52.6	52.2	51.9	51.7	51.6	51.6	51.2	51.3	**50.9**	53.80
5	50.8	50.5	50.1	49.8	49.7	49.6	49.8	49.7	49.7	49.4	**49.3**	49.6	50.3	51.0	51.9	52.2	52.2	52.3	52.4	52.8	**52.9**	52.6	52.6	52.7	50.99
6	51.8	**52.3**	51.8	51.3	**51.2**	51.2	51.2	51.1	50.8	50.6	50.1	50.0	49.7	49.5	49.3	49.2	48.8	48.4	**48.3**	48.5	48.7	**48.3**	48.4	48.4	50.06
7	48.4	48.5	48.6	48.7	48.8	48.9	49.0	**49.5**	49.3	49.3	49.3	49.3	48.7	48.6	48.3	48.2	48.1	47.9	47.5	47.4	46.9	46.7	46.4	**45.6**	48.25
8	44.8	44.3	43.7	43.5	43.3	**43.2**	43.4	43.8	44.0	44.6	45.1	45.2	45.5	45.8	46.3	46.6	46.4	46.6	47.0	47.2	47.8	48.1	48.5	**48.8**	45.56
9	**48.9**	**48.9**	49.0	49.2	49.5	49.9	50.1	50.4	50.5	50.5	50.7	50.5	50.4	50.2	50.2	50.4	50.5	50.6	50.8	51.0	51.1	51.0	51.1	**51.2**	50.22
10	51.2	51.1	51.2	51.3	51.4	51.8	52.1	52.1	**52.2**	**52.2**	52.1	52.0	51.8	51.8	51.8	51.7	51.6	51.5	51.5	51.4	51.4	51.3	51.2	**51.0**	51.60
11	51.0	50.6	50.6	**50.2**	**50.2**	50.4	50.6	51.0	51.2	51.2	51.3	51.2	51.3	51.4	51.2	51.0	51.2	51.1	51.3	51.4	51.5	51.5	51.5	**51.6**	51.06
12	**51.8**	51.7	51.5	51.5	51.6	51.7	51.2	51.2	51.0	50.9	50.9	50.7	50.3	50.2	50.0	50.0	50.0	49.7	49.5	49.6	49.6	49.4	49.2	**48.8**	50.54
13	**48.7**	48.5	48.0	47.7	47.2	46.9	46.6	46.4	45.9	45.6	45.0	44.7	44.5	44.3	44.0	43.8	43.4	43.5	**43.3**	43.4	43.5	43.5	43.8	44.1	45.40
14	**44.5**	44.8	45.4	46.0	46.5	47.0	47.8	48.2	48.8	49.4	49.6	49.9	50.1	50.2	50.2	50.3	50.4	50.5	51.4	51.6	51.6	**51.7**	**51.7**	51.6	48.93
15	51.5	51.5	51.6	51.4	**51.3**	51.4	51.3	51.5	51.4	51.6	51.6	51.5	51.8	51.4	51.4	**51.3**	**51.3**	51.4	51.7	52.2	52.2	52.3	52.4	**52.5**	51.64
16	52.4	52.2	51.9	51.8	**51.8**	51.8	51.9	52.0	52.1	52.2	52.2	52.2	52.1	52.1	52.2	52.4	52.4	52.8	53.0	53.4	53.7	54.0	54.2	**54.3**	52.54
17	**54.4**	**54.4**	54.5	54.5	54.6	54.7	55.2	55.4	55.7	55.9	56.0	**56.0**	56.0	55.8	55.8	55.6	55.4	55.2	55.4	55.7	55.8	55.8	55.7	55.6	55.34
18	**55.4**	**55.4**	55.3	55.2	55.0	54.9	54.9	54.9	55.1	55.0	54.8	54.4	54.0	53.6	53.3	52.9	52.7	52.7	52.6	52.6	52.5	52.4	**52.3**	**52.3**	53.99
19	52.2	52.0	51.8	51.8	51.9	51.9	52.2	52.7	52.8	**53.1**	52.9	52.5	52.2	52.2	52.3	51.9	51.7	51.5	51.4	51.1	50.8	**50.4**	50.5	50.8	51.88
20	50.6	50.5	50.2	**50.1**	50.3	50.4	50.6	51.0	51.4	51.6	51.9	52.2	52.4	**52.5**	52.3	52.1	51.7	51.7	52.1	52.3	52.0	52.0	52.1	52.0	51.47
21	51.6	51.5	51.1	51.1	**51.0**	51.2	51.2	51.3	51.6	51.7	51.9	52.2	51.9	52.6	52.9	53.1	53.6	54.2	54.5	54.9	55.1	55.3	**55.4**	55.3	52.73
22	**55.0**	54.7	54.4	53.8	53.5	53.2	53.0	52.8	52.5	52.3	51.9	51.5	50.9	50.5	50.4	50.2	**50.2**	50.2	50.4	50.8	51.1	51.4	51.7	52.1	52.15
23	52.2	52.0	52.0	51.9	52.1	52.5	52.5	52.6	52.7	**52.8**	52.7	52.5	52.4	52.3	51.8	51.6	51.4	51.2	50.8	50.5	50.1	49.5	48.8	**48.2**	51.57
24	**47.2**	46.1	45.2	44.2	43.6	**43.1**	**43.1**	43.2	43.5	44.1	44.3	44.7	45.0	45.2	45.2	45.3	45.2	45.7	45.9	46.2	46.3	46.3	46.3	46.2	45.17
25	45.9	45.8	45.6	45.5	**45.3**	45.5	45.6	45.8	46.0	46.2	46.5	46.7	46.9	46.9	46.9	47.3	47.5	47.7	**47.9**	47.8	47.6	47.5	47.4	47.1	46.60
26	**46.8**	46.4	46.0	45.7	45.1	44.6	44.4	44.0	43.2	42.7	42.0	41.5	40.8	40.1	39.4	39.1	38.7	**38.4**	38.6	38.9	39.1	39.2	39.1	38.9	41.99
27	38.7	38.5	38.3	38.2	38.0	38.2	38.4	38.3	38.3	37.9	37.6	37.3	37.0	36.8	36.6	35.7	**35.1**	35.3	36.6	38.0	38.7	39.3	39.6	**40.0**	37.81
28	**40.3**	40.5	40.6	40.7	41.1	41.8	42.7	43.4	44.2	44.6	45.1	45.8	46.8	47.5	48.1	48.8	49.2	49.9	50.7	51.4	52.1	52.7	53.1	**53.3**	46.18
29	53.6	54.0	54.1	54.3	54.4	54.7	54.9	**55.1**	55.0	55.0	54.7	54.3	53.7	53.5	53.0	52.6	52.1	52.2	51.9	51.4	51.3	51.2	51.1	**50.9**	53.29
30	50.6	50.3	50.0	49.8	49.8	49.8	50.1	50.2	50.2	50.1	49.9	49.5	49.2	49.2	48.9	**48.5**	**48.5**	49.0	49.9	50.5	50.8	50.9	**51.3**	51.2	49.96
31	51.7	**50.9**	**50.9**	51.1	51.1	51.1	51.3	51.6	51.9	51.9	51.9	51.9	52.1	52.2	52.6	52.8	53.1	53.4	54.1	54.6	55.0	55.1	55.3	**55.5**	52.57
Mittel	49.81	49.69	49.52	49.44	**49.39**	49.49	49.63	49.77	49.85	49.91	49.85	49.80	49.72	49.70	49.64	49.56	49.49	49.55	49.75	49.98	50.08	50.09	**50.14**	50.11	49.76

Zeitangaben nach mittlerer Ortszeit

Luftdruck — September

H = 84.9 m C = + 0.50 mm bei 753 mm

700 mm + ...

Datum	1a	2a	3a	4a	5a	6a	7a	8a	9a	10a	11a	Mittag	1p	2p	3p	4p	5p	6p	7p	8p	9p	10p	11p	Mitternacht	Mittel
1	55.6	55.8	56.0	55.9	56.2	56.3	56.4	**56.5**	56.4	56.2	55.9	55.7	55.4	55.0	54.7	54.3	53.9	53.7	53.6	53.5	53.2	53.0	52.7	**52.5**	54.96
2	**52.0**	51.6	51.3	50.8	50.4	50.2	50.1	49.9	49.9	49.6	49.3	49.0	48.8	48.5	48.1	47.9	**47.8**	47.9	48.0	48.5	48.3	48.4	48.4	48.5	49.43
3	**48.6**	48.8	49.1	49.4	49.8	50.3	50.9	51.5	52.0	52.2	52.5	52.8	53.1	53.7	54.0	54.3	54.9	55.1	55.6	56.3	56.5	56.9	57.1	**57.2**	52.84
4	57.4	**57.5**	57.4	57.3	57.2	57.2	57.2	57.0	56.8	56.1	55.4	54.8	54.3	53.8	53.6	52.9	52.4	51.8	51.4	51.2	51.0	51.0	50.8	**50.7**	54.54
5	50.4	**50.5**	50.2	49.9	49.8	49.7	49.8	49.6	49.4	49.3	49.2	48.7	48.7	48.5	48.6	48.3	48.5	48.3	48.7	48.8	48.6	48.5	48.1	**47.9**	49.15
6	**47.5**	47.2	46.9	46.6	46.3	46.2	46.2	46.0	46.1	46.1	46.0	45.9	45.8	45.8	45.8	**45.7**	45.8	46.0	46.2	46.2	46.2	46.2	46.3	46.2	46.28
7	45.9	45.8	45.6	45.6	**45.6**	45.6	45.6	45.8	46.1	46.6	46.9	46.8	46.9	46.8	47.3	47.6	48.0	48.3	48.8	49.4	49.7	50.2	50.5	**50.7**	47.29
8	**50.9**	51.3	51.4	51.6	51.9	52.1	52.6	52.9	53.1	**53.2**	52.9	52.9	52.8	52.6	52.5	52.3	52.4	52.3	52.1	52.0	51.7	51.5	51.4	51.3	52.10
9	**51.1**	**51.1**	50.8	50.7	50.5	50.6	50.6	50.5	50.4	50.2	49.9	49.6	49.4	49.6	49.3	49.0	48.9	49.2	48.9	48.7	48.5	48.1	48.0	**47.7**	49.70
10	47.3	47.1	46.9	**46.8**	**46.8**	47.2	47.2	47.2	47.5	47.6	47.9	48.2	48.4	48.3	48.5	48.8	48.9	49.3	49.7	49.9	**49.9**	49.9	49.8	**49.9**	48.27
11	49.9	**49.9**	**49.9**	49.9	50.0	50.5	50.8	51.0	51.2	51.5	51.8	52.1	52.4	52.7	52.9	53.1	53.8	54.3	54.7	55.3	55.8	56.2	56.4	**56.9**	52.52
12	**57.1**	57.4	57.6	57.7	58.2	58.5	58.9	59.4	59.9	60.1	60.3	60.4	60.2	60.2	60.2	60.3	60.5	60.9	61.4	61.8	62.1	62.1	62.1	**62.2**	59.86
13	62.2	62.2	62.3	62.4	62.3	62.7	62.9	**63.2**	63.1	63.1	62.7	62.4	62.2	62.0	61.8	61.6	61.4	61.3	61.4	61.4	61.3	61.1	61.0	**60.8**	62.04
14	**60.4**	60.1	59.6	59.2	58.9	58.7	58.5	58.4	58.1	57.7	57.5	57.0	56.1	55.4	54.7	54.2	53.8	53.3	53.1	52.7	52.3	52.0	51.7	**51.4**	56.22
15	51.0	50.6	50.2	49.8	49.6	49.3	48.9	48.8	48.5	48.1	47.8	47.4	47.2	47.0	**46.8**	47.3	47.7	48.5	49.5	50.1	50.5	50.7	50.9	**51.1**	49.15
16	51.2	51.2	**51.1**	**51.1**	51.4	51.7	52.0	52.4	52.8	53.2	53.5	53.5	53.4	53.3	53.4	53.3	53.2	53.5	53.6	53.9	**54.2**	54.1	54.1	54.0	52.81
17	53.6	53.2	53.0	**52.7**	52.8	52.8	52.9	53.1	53.7	53.6	54.0	54.0	53.9	54.0	54.0	53.9	54.0	54.0	54.3	54.5	54.8	55.0	55.2	**55.4**	53.86
18	**55.4**	**55.4**	55.5	55.8	56.0	56.3	56.5	57.0	57.3	57.5	57.5	57.7	57.8	57.7	57.7	58.0	58.2	58.5	58.9	59.0	59.4	59.7	60.1	**60.3**	57.54
19	**60.4**	60.6	60.9	60.9	61.1	61.4	61.8	62.2	62.5	62.7	62.6	62.6	62.7	62.7	62.6	62.6	62.8	63.1	63.1	63.7	63.9	64.1	**64.1**	64.1	62.38
20	64.1	64.0	**63.9**	**63.9**	64.2	64.2	64.4	64.7	64.7	64.8	64.8	64.7	64.5	64.2	64.2	64.2	64.5	64.8	65.0	65.3	65.5	**65.6**	**65.6**	65.5	64.62
21	65.5	65.4	**65.4**	65.4	65.5	65.7	65.9	66.2	66.4	66.5	**66.6**	66.4	66.2	65.9	65.8	65.8	65.9	66.3	66.5	**66.6**	**66.6**	66.5	66.5	**66.6**	66.06
22	66.6	66.5	66.4	66.3	66.4	66.5	66.7	66.9	**67.0**	66.9	66.8	66.5	66.1	65.9	65.6	65.5	65.5	65.5	65.7	65.6	65.5	65.7	65.5	**65.3**	66.14
23	**65.1**	64.9	64.7	64.6	64.5	64.4	64.4	64.3	64.4	64.3	64.0	63.7	63.2	62.7	62.6	62.4	62.2	62.1	62.2	62.0	**62.0**	62.0	62.1	62.2	63.45
24	62.3	62.4	62.4	62.4	62.5	62.7	**62.7**	62.7	62.6	62.5	62.4	62.3	62.1	61.9	61.7	61.7	61.5	61.5	61.5	61.5	61.3	61.2	61.0	**60.6**	61.98
25	**60.4**	60.1	59.7	59.4	59.2	59.1	58.8	58.7	58.8	58.7	58.7	58.6	58.5	58.3	58.2	**58.1**	58.2	58.6	58.8	59.0	59.0	59.1	59.1	59.2	59.00
26	59.1	59.0	**58.9**	**58.9**	59.1	59.2	59.5	59.8	60.1	60.1	60.2	60.2	60.1	59.9	59.7	59.9	60.1	60.3	60.5	60.7	60.8	60.9	60.9	**61.0**	59.92
27	61.2	61.1	61.1	**61.0**	61.1	61.3	61.6	61.9	62.2	62.2	62.2	62.2	61.9	61.8	61.7	61.7	61.8	61.9	62.1	62.3	62.5	62.6	**62.7**	62.6	61.83
28	62.7	62.4	62.3	**62.1**	**62.1**	62.4	62.8	63.0	**63.3**	**63.3**	63.2	63.2	62.8	62.6	62.5	62.6	62.6	62.6	62.7	63.0	63.2	63.2	63.1	63.2	62.78
29	**63.3**	63.1	62.9	62.7	62.7	62.7	62.8	62.9	62.5	62.4	62.0	61.6	61.3	61.0	60.8	60.8	60.8	60.9	60.9	60.8	60.9	60.6	60.3	**60.1**	61.76
30	**59.7**	59.1	58.7	58.4	58.1	57.8	57.4	57.3	56.9	56.4	55.9	55.4	54.5	54.0	53.3	52.7	52.1	51.8	51.3	50.7	50.3	49.6	49.1	**48.4**	54.76
Mittel	56.60	56.51	56.40	56.31	56.34	56.44	56.56	56.69	**56.79**	56.76	56.68	56.54	56.36	56.19	56.09	**56.03**	56.07	56.19	56.34	56.48	56.52	56.52	56.49	56.45	56.44

Oktober

1	**47.5**	46.7	45.8	44.9	44.2	43.3	42.6	41.7	40.3	39.2	37.8	36.9	35.6	**35.2**	35.7	36.3	36.7	37.2	37.2	37.0	37.2	37.0	36.8	36.4	39.90
2	36.0	35.9	**35.8**	35.9	36.2	36.8	37.3	38.2	38.7	39.2	39.4	39.7	39.9	40.0	40.2	40.3	40.7	41.7	**42.2**	42.8	43.1	43.5	44.0	**44.8**	39.55
3	**45.2**	45.7	45.7	46.5	47.1	47.8	48.7	49.2	50.2	50.5	50.9	51.4	51.8	52.3	53.1	54.1	54.9	56.0	57.0	57.8	58.7	59.5	60.3	**60.8**	52.00
4	**61.6**	62.1	62.7	63.4	64.2	65.1	65.9	66.7	67.3	67.8	68.2	68.4	68.4	68.7	68.7	68.9	69.1	69.4	69.5	69.6	69.6	**69.7**	**69.7**	69.6	67.00
5	69.7	69.4	69.1	69.0	69.1	69.2	69.4	69.6	69.7	**69.8**	69.4	69.2	68.8	68.5	68.1	68.0	68.0	68.2	68.1	68.0	68.0	68.0	67.8	**67.7**	68.78
6	**67.7**	67.6	67.5	67.4	67.2	67.2	67.3	67.3	67.2	66.8	66.4	65.7	65.1	64.5	63.9	63.4	63.3	63.5	63.6	63.3	62.6	62.5	**62.1**	**62.1**	65.32
7	61.8	61.4	61.1	**60.9**	61.2	61.2	61.5	61.7	61.3	61.6	61.9	62.0	61.9	61.6	61.7	61.6	61.3	61.9	62.2	62.4	62.6	**62.7**	62.5	62.6	61.79
8	62.7	62.5	62.4	62.0	61.9	62.0	62.2	62.6	62.7	62.9	62.7	62.5	62.4	62.0	**61.8**	**61.8**	61.9	62.0	62.2	62.5	62.9	63.1	**63.1**	63.1	62.42
9	63.2	**63.2**	63.2	63.4	63.7	64.0	64.4	64.9	65.1	65.5	65.7	65.5	65.3	65.3	65.1	65.2	65.3	65.5	65.8	66.2	66.3	66.4	66.4	**66.5**	64.97
10	66.5	66.5	66.5	66.5	66.6	66.6	66.8	67.1	67.2	**67.4**	67.3	67.1	66.9	66.6	66.4	66.2	66.0	66.0	66.0	66.0	66.0	65.9	65.8	**65.6**	66.48
11	**65.5**	65.3	65.0	64.8	64.6	64.4	64.4	64.4	64.5	64.4	64.2	64.1	63.6	63.2	63.1	62.7	62.9	62.8	62.7	62.9	62.8	62.9	62.8	**62.4**	63.84
12	62.2	61.9	61.8	61.5	**61.4**	61.5	61.9	62.0	62.1	62.3	62.3	62.4	62.3	62.2	62.1	62.0	62.0	62.2	62.3	62.3	62.4	**62.5**	**62.5**	62.4	62.12
13	62.6	62.6	62.6	**62.4**	62.5	62.7	63.1	63.6	63.9	64.2	64.2	64.2	64.0	63.9	64.1	64.2	64.6	64.7	64.9	65.2	65.4	65.5	**65.6**	65.5	63.94
14	**65.4**	65.2	65.2	64.7	64.7	64.7	64.9	64.7	64.7	64.4	63.9	63.4	63.0	62.5	61.9	61.4	61.2	60.9	60.6	60.0	59.4	59.3	58.7	**58.1**	62.74
15	57.6	57.2	56.8	**56.6**	56.7	57.0	57.9	58.9	59.3	59.6	59.7	59.9	60.0	60.0	60.2	60.2	60.3	60.5	60.7	**60.8**	**60.8**	60.7	60.6	60.5	59.22
16	60.6	60.5	60.5	60.5	60.2	60.2	60.6	60.7	**61.0**	**61.0**	60.8	60.7	60.3	60.2	59.7	59.5	59.3	59.3	59.1	58.8	58.5	58.1	57.7	**57.4**	59.83
17	**56.8**	56.5	56.0	55.8	55.4	54.9	54.9	54.6	54.5	54.1	53.7	53.1	53.1	52.9	52.8	**52.7**	52.8	53.1	53.3	53.6	54.2	54.7	55.0	55.4	54.45
18	**55.8**	56.1	56.4	56.6	56.8	57.1	57.5	57.8	57.9	58.1	**58.2**	58.0	57.8	57.7	57.5	57.6	57.7	57.8	57.9	57.9	58.0	58.0	57.7	57.5	57.39
19	**57.3**	56.7	56.1	55.7	55.4	54.5	54.1	53.3	52.8	52.1	51.7	51.1	50.1	49.4	49.0	**48.7**	49.0	49.4	49.6	49.8	50.1	50.3	50.3	50.3	52.17
20	50.3	50.2	50.1	50.1	50.2	**50.0**	50.2	50.4	50.5	50.5	**50.6**	50.5	50.2	50.1	50.1	50.3	50.3	50.5	50.5	50.3	50.3	50.3	50.3	50.2	50.29
21	**50.2**	49.9	49.6	49.4	49.4	49.3	49.3	49.3	49.3	49.0	48.9	48.5	48.0	47.4	46.9	46.9	46.9	46.8	46.7	46.5	46.5	46.5	46.3	**46.2**	48.16
22	**46.1**	45.8	45.9	45.9	46.0	45.3	45.5	45.6	45.2	44.9	44.7	43.9	43.5	42.9	42.6	42.3	42.0	41.9	41.6	41.2	40.8	40.5	40.2	**40.1**	43.62
23	**40.0**	40.0	40.2	40.3	40.4	40.6	41.0	41.3	41.4	41.6	41.9	42.2	42.4	43.0	43.4	43.7	44.1	44.6	44.8	45.1	45.2	45.4	45.5	**45.7**	42.56
24	45.9	45.9	45.7	45.7	45.6	**45.5**	45.8	46.0	45.9	45.9	46.1	45.9	45.8	45.8	45.8	46.0	46.2	46.2	46.4	46.6	46.9	**47.0**	**47.0**	46.9	46.09
25	46.9	46.9	**46.6**	46.8	46.7	**46.6**	**46.6**	46.8	47.0	47.1	47.0	47.0	46.9	46.7	46.8	46.9	47.2	47.5	47.5	47.5	47.6	47.6	47.6	**47.8**	47.06
26	**47.8**	47.9	47.9	48.1	48.4	48.6	49.1	49.7	50.0	50.4	51.0	51.5	51.9	52.4	52.7	53.3	53.8	54.3	54.7	55.2	55.6	55.9	56.3	**56.5**	51.62
27	56.6	56.7	56.7	56.7	**56.8**	56.7	56.7	56.6	56.5	56.3	56.0	55.6	54.9	54.7	54.3	54.0	53.9	53.7	**53.7**	53.7	53.8	53.9	53.8	**53.7**	55.30
28	**53.6**	53.6	53.4	53.4	52.9	52.8	52.6	52.4	52.1	51.6	51.5	51.2	50.6	50.0	49.8	**49.5**	**49.5**	49.9	50.0	50.1	50.2	50.1	50.1	50.3	51.40
29	50.1	50.1	49.8	49.7	49.6	49.6	49.6	49.2	48.8	48.4	48.3	48.2	48.2	48.0	**48.0**	48.0	48.2	48.6	49.5	49.9	50.2	50.5	**50.7**	50.6	49.28
30	**50.5**	50.4	49.7	49.4	49.3	48.6	48.1	47.8	47.1	46.4	45.8	45.0	44.6	44.2	44.0	**43.9**	**43.9**	44.2	44.6	44.9	44.9	45.4	45.2	45.7	46.57
31	**45.4**	45.3	45.1	45.0	44.8	44.4	44.2	43.9	43.5	43.1	42.8	42.3	42.1	41.6	41.3	41.2	41.1	40.9	40.4	**40.0**	**40.0**	40.2	40.1	40.6	42.60
Mittel	**55.13**	55.02	54.87	54.77	54.81	54.78	54.97	55.10	55.09	55.05	54.95	54.74	54.50	54.31	**54.22**	**54.22**	54.33	54.55	54.69	54.77	54.86	54.95	54.92	54.95	54.79

Zeitangaben nach mittlerer Ortszeit

Luftdruck

November

$H_b = 84.9$ m $C_g = +0.50$ mm bei 753 mm

Datum	1a	2a	3a	4a	5a	6a	7a	8a	9a	10a	11a	Mittag	1p	2p	3p	4p	5p	6p	7p	8p	9p	10p	11p	Mitternacht	Mittel
												700 mm + ...													
1	40.7	41.2	41.5	43.0	44.4	45.7	46.9	48.1	49.1	50.0	51.1	51.9	52.6	53.1	54.0	54.7	55.4	55.9	56.4	56.5	56.5	56.5	56.1	55.7	50.30
2	55.4	54.9	54.4	54.1	53.5	53.3	52.8	52.2	52.4	52.7	53.2	53.2	53.1	53.1	53.1	53.0	53.3	53.3	53.2	53.0	52.7	52.3	51.9	51.3	53.24
3	51.0	50.8	50.6	50.6	50.8	50.8	51.2	51.6	52.0	52.7	52.9	52.9	53.0	53.1	53.3	53.6	53.9	54.4	54.7	55.2	55.7	56.2	56.6	57.0	53.04
4	57.3	57.7	57.9	58.2	58.5	58.8	59.0	59.3	59.5	59.8	59.8	59.7	59.4	59.2	59.1	58.9	58.7	58.5	58.2	58.1	57.8	57.3	57.0	56.6	58.45
5	56.0	55.7	55.1	54.4	53.6	52.7	51.9	51.1	50.3	49.4	48.7	47.8	47.1	46.5	46.2	46.2	46.5	47.2	47.7	48.3	48.9	49.3	49.9	50.6	50.31
6	51.3	52.0	52.7	53.3	54.0	54.5	55.3	56.2	56.9	57.4	57.8	58.2	58.8	59.4	59.9	60.5	61.1	61.9	62.2	62.8	63.2	64.0	64.3	64.9	58.13
7	65.2	65.5	65.3	65.8	66.2	66.3	66.7	67.2	67.8	67.9	67.9	67.7	67.7	67.7	67.7	67.9	67.7	67.5	67.2	67.3	67.2	67.0	67.0	66.6	66.92
8	66.0	65.5	65.1	64.9	64.3	64.1	64.0	63.7	63.2	62.5	62.0	62.0	61.1	60.8	60.4	60.1	60.0	59.8	59.5	59.5	59.5	59.6	59.7	59.9	62.15
9	60.1	60.2	60.2	60.1	60.3	60.3	60.5	60.9	61.1	61.2	61.3	61.1	60.8	60.6	60.3	60.1	59.9	59.9	59.8	59.4	59.0	58.7	58.1	57.5	60.05
10	56.8	56.1	55.3	54.6	53.7	53.0	52.3	51.9	51.3	50.8	50.2	49.3	48.7	48.2	48.0	47.6	47.5	47.3	47.0	46.5	46.1	45.6	44.9	44.1	50.17
11	43.1	42.4	40.8	39.7	38.6	37.3	35.6	34.3	33.6	33.0	32.5	31.9	31.6	31.8	32.1	32.1	32.2	32.1	32.1	32.3	32.5	32.6	32.7	32.4	34.94
12	32.0	32.4	32.2	32.0	31.7	31.9	31.7	32.1	32.2	32.2	32.3	32.2	31.6	31.9	32.1	32.3	32.5	32.8	33.2	33.5	33.4	33.5	33.7	34.0	32.47
13	34.3	34.7	35.0	35.1	35.4	35.8	36.4	37.0	37.4	38.0	38.4	38.7	39.2	39.6	40.2	40.7	41.0	41.4	42.1	42.6	43.0	43.4	43.7	43.9	38.84
14	44.0	44.2	44.4	44.6	44.9	45.3	45.7	46.2	46.4	46.6	46.7	46.8	46.7	46.6	46.8	47.0	47.3	47.5	47.8	48.2	49.0	49.4	49.8	50.2	46.64
15	50.4	50.8	51.1	51.4	51.5	51.6	51.7	52.0	52.3	52.6	52.8	52.6	52.5	52.5	52.5	52.6	52.8	53.1	53.3	53.3	53.4	53.4	53.5	53.8	52.31
16	53.9	54.1	54.0	54.1	54.3	54.4	54.6	55.1	55.3	55.8	55.9	55.8	56.0	56.0	56.1	56.3	56.3	56.5	56.8	56.9	57.1	57.2	57.2	57.4	59.64
17	57.5	57.6	57.7	57.7	57.9	58.0	58.3	58.6	59.0	59.2	59.3	59.1	58.9	58.9	59.1	59.1	59.2	59.2	59.3	59.3	59.4	59.3	59.2	59.0	54.69
18	58.7	58.6	58.3	58.0	57.8	57.4	57.6	57.7	57.7	57.4	57.1	56.5	56.3	56.0	55.9	55.7	55.4	55.3	55.2	55.2	55.3	55.1	54.8	54.6	56.66
19	54.2	54.0	53.8	53.5	53.4	53.4	53.4	53.4	53.4	53.1	53.0	52.6	52.2	51.9	51.9	51.9	52.0	52.1	52.2	52.1	52.0	51.7	51.2	50.6	52.70
20	49.9	49.2	48.5	47.8	47.0	46.6	46.7	46.8	46.9	47.1	47.0	46.8	46.6	46.5	46.4	46.4	46.5	46.7	46.6	46.7	46.9	46.9	46.9	46.8	47.23
21	46.8	46.9	46.9	47.0	47.1	47.4	47.8	48.4	49.0	49.7	50.4	50.9	51.6	52.4	53.1	54.0	55.0	56.0	56.8	57.5	58.3	59.0	59.6	60.1	51.94
22	60.6	61.2	61.8	62.3	62.7	62.9	63.4	64.0	64.5	65.2	65.2	65.1	65.2	65.3	65.5	65.5	65.7	65.9	66.0	66.1	66.1	66.3	66.1	66.0	64.35
23	65.5	65.4	65.4	65.2	65.1	65.1	65.0	65.1	65.3	65.2	65.3	64.9	64.6	64.6	64.3	64.3	64.3	64.2	63.9	63.7	63.6	63.4	63.0	62.8	64.61
24	62.5	61.9	61.6	61.1	60.5	60.4	60.1	59.7	59.6	59.3	58.7	58.1	57.7	57.2	57.1	56.7	56.5	56.5	56.5	56.6	56.5	56.5	56.7	56.9	58.71
25	56.8	57.0	56.9	56.8	56.9	56.9	57.0	57.1	57.1	56.9	56.8	56.0	55.8	55.4	54.9	54.5	54.0	53.7	53.1	52.7	52.4	51.6	51.1	50.8	55.16
26	50.7	50.8	51.0	50.8	51.1	51.2	51.3	51.7	51.8	52.0	51.8	51.4	50.9	50.4	50.2	49.8	49.4	49.0	48.2	47.9	47.6	47.0	46.3	45.4	49.94
27	44.7	44.0	43.7	42.8	42.3	42.2	41.7	41.9	42.0	42.1	41.7	41.8	41.7	41.6	42.1	42.6	42.8	43.1	43.6	43.9	44.0	44.3	44.6	44.7	43.01
28	44.5	44.3	43.9	43.9	43.8	43.7	43.7	43.9	44.2	44.6	45.3	45.7	46.0	46.1	46.7	47.2	47.7	47.9	48.2	48.7	49.0	49.5	49.7	49.9	46.11
29	50.1	50.5	50.5	50.4	50.6	50.6	50.4	50.5	50.4	50.2	49.7	49.0	48.6	48.0	47.4	47.2	46.9	46.7	46.3	45.8	45.5	45.0	44.8	44.2	48.37
30	43.7	43.3	42.9	42.6	42.5	42.4	42.4	42.6	43.0	43.4	43.6	43.6	43.6	43.7	43.7	43.7	43.7	43.7	43.5	43.4	43.3	43.1	43.1	42.9	43.26
Mittel	52.12	52.10	51.95	51.86	51.81	51.80	51.84	52.01	52.16	52.27	52.28	52.11	51.99	51.94	52.00	52.07	52.17	52.30	52.35	52.43	52.50	52.49	52.44	52.35	52.14

Dezember

Datum	1a	2a	3a	4a	5a	6a	7a	8a	9a	10a	11a	Mittag	1p	2p	3p	4p	5p	6p	7p	8p	9p	10p	11p	Mitternacht	Mittel
1	42.5	42.5	42.1	41.6	41.5	41.4	41.1	41.4	41.7	42.4	42.9	43.8	45.4	46.8	47.7	48.6	49.7	50.6	51.2	51.7	52.1	52.6	52.9	53.2	46.01
2	53.3	53.4	53.4	53.0	52.6	52.1	51.7	51.3	50.7	50.2	50.0	49.5	49.2	49.2	49.1	49.6	49.6	49.6	49.9	50.3	50.9	51.5	52.1	53.0	51.14
3	53.6	54.1	54.6	54.9	55.4	55.8	56.5	56.8	57.2	57.4	57.4	57.6	57.8	58.1	58.5	58.9	59.2	59.7	60.2	60.7	61.4	62.0	62.5	62.8	57.84
4	63.4	63.8	63.9	64.1	64.5	65.0	65.4	65.6	66.0	66.4	66.3	66.1	66.0	65.7	65.6	65.5	65.3	65.1	65.1	64.8	64.7	64.6	64.6	64.7	65.00
5	64.2	64.0	63.8	63.7	63.4	63.3	63.2	63.1	63.1	63.2	63.0	62.5	62.1	61.7	61.8	61.5	61.0	60.7	60.6	60.4	60.3	60.1	59.9	59.8	62.20
6	59.6	59.7	59.7	59.2	59.1	58.9	58.9	59.2	59.3	59.7	59.7	59.6	59.3	59.3	59.4	59.4	59.5	59.5	59.5	59.6	59.7	59.7	59.9	59.8	59.48
7	59.5	59.6	59.5	59.4	59.5	59.6	59.8	60.1	60.2	60.7	60.7	60.7	60.6	60.9	60.7	61.1	61.1	61.2	61.5	61.8	61.9	62.1	62.2	62.3	60.66
8	62.3	62.4	62.5	62.5	62.5	62.6	62.8	62.9	63.1	63.1	63.2	63.0	62.9	62.8	63.0	63.1	63.0	63.1	63.1	63.2	63.3	63.1	63.1	62.9	62.87
9	62.6	62.6	62.3	61.9	61.6	61.5	61.4	61.4	61.4	61.0	60.9	60.6	60.4	59.8	59.7	59.4	59.6	59.5	59.4	59.3	59.1	58.8	58.6	58.6	60.57
10	58.4	58.4	58.4	58.1	58.1	57.7	57.9	57.6	57.9	58.0	57.6	57.2	56.6	56.2	56.0	55.9	55.7	55.6	55.3	55.2	55.1	54.9	54.8	54.5	56.79
11	54.4	54.4	54.2	54.1	53.8	54.1	54.2	54.3	55.1	55.1	54.4	54.1	54.3	54.0	53.8	53.7	53.7	53.5	53.4	52.9	52.7	52.6	52.4	52.2	53.84
12	51.9	51.5	51.1	50.8	50.6	50.3	49.8	49.7	49.6	49.5	49.2	48.8	48.7	48.6	48.7	49.0	49.3	49.6	50.1	50.7	51.6	52.3	53.1	53.6	50.41
13	54.0	54.5	55.1	55.2	55.6	56.0	56.4	56.5	56.9	57.3	57.0	56.6	56.5	56.5	56.4	56.4	56.3	56.3	56.2	55.9	55.6	55.0	54.8	54.5	55.80
14	53.5	53.0	52.3	51.1	50.1	49.4	48.6	47.8	47.5	47.6	47.0	46.8	46.5	46.2	46.5	46.4	46.5	46.5	46.6	47.1	48.2	48.6	49.2	49.3	48.67
15	49.2	49.3	49.3	48.5	47.6	46.5	45.4	45.5	46.2	47.4	48.1	48.8	49.2	50.2	50.8	51.5	51.2	51.8	51.5	51.7	51.5	51.0	50.2	49.3	49.24
16	48.6	47.8	47.5	47.0	46.3	46.0	45.3	45.3	45.3	45.4	45.3	45.1	45.3	45.6	45.9	46.6	47.1	47.7	48.2	48.4	48.6	48.7	48.9	49.0	46.97
17	49.0	49.1	49.3	49.2	49.1	49.0	49.1	49.2	49.5	49.7	49.6	49.4	49.4	49.4	49.5	49.8	50.0	50.2	50.3	50.5	50.7	51.0	51.4	51.5	49.76
18	51.2	51.7	51.8	51.5	50.9	50.6	50.3	50.1	49.9	50.0	49.7	49.1	48.6	47.8	46.9	45.8	45.1	43.7	43.0	41.4	41.1	40.9	40.7	41.1	47.38
19	41.6	42.6	44.0	45.4	46.6	47.8	49.0	49.9	50.8	51.8	52.6	53.0	53.6	53.7	54.4	55.0	54.9	55.1	55.2	55.4	55.4	55.4	55.8	56.0	51.04
20	55.7	56.1	56.2	56.3	56.5	57.0	57.4	57.8	58.4	58.9	59.2	59.1	59.1	59.2	59.2	59.6	59.7	59.7	59.8	60.1	60.3	60.4	60.8	61.0	58.54
21	60.7	60.8	60.8	60.7	60.6	60.3	60.3	60.4	60.4	60.2	59.9	59.7	59.4	59.1	58.9	58.8	58.5	58.2	58.1	58.0	57.7	57.4	57.3	57.1	59.37
22	56.7	56.4	56.3	56.0	56.1	56.0	56.1	56.0	56.3	56.2	56.1	55.8	55.5	55.4	55.4	55.3	55.3	55.6	55.6	55.7	55.8	55.8	55.7	55.3	55.90
23	55.3	55.4	55.2	55.3	55.2	55.1	55.3	55.3	55.5	55.7	55.6	55.5	55.4	55.2	55.3	55.4	55.3	55.5	55.6	55.7	55.9	56.1	56.2	56.3	55.50
24	56.2	56.4	56.4	56.6	56.6	56.6	56.7	56.8	57.0	57.3	57.4	57.2	56.8	56.8	57.1	57.2	57.9	57.2	57.3	57.6	57.1	57.0	56.4	56.1	56.88
25	55.3	55.2	55.0	54.9	54.9	54.8	54.9	55.2	55.4	55.6	55.7	55.6	55.4	55.4	55.5	55.2	54.7	54.2	53.5	52.9	51.7	50.2	48.8	47.7	54.15
26	46.6	46.2	46.3	46.9	47.4	48.2	49.3	50.0	50.8	50.8	50.6	50.2	49.3	48.8	48.1	47.1	45.7	43.9	42.8	41.7	40.5	39.9	40.1	40.2	46.36
27	40.1	39.8	39.8	39.5	39.5	40.1	40.7	41.9	43.3	44.7	46.1	47.1	48.1	48.7	49.5	50.0	50.1	50.6	50.9	51.3	51.8	51.8	52.4	52.4	46.02
28	52.3	52.2	51.8	51.7	51.1	50.9	50.5	49.9	50.0	49.7	49.5	49.1	48.8	48.7	48.8	48.9	49.2	49.5	49.8	50.2	50.4	50.7	50.8	51.1	50.32
29	51.1	51.1	51.3	51.3	51.4	51.4	51.4	51.9	52.0	52.2	52.3	52.1	51.9	51.5	51.6	51.6	51.5	51.6	51.4	51.8	52.1	52.5	53.6	54.6	51.85
30	54.9	55.1	55.4	55.3	54.9	54.7	54.6	54.6	54.6	54.3	54.1	53.8	53.4	53.2	53.3	53.9	54.6	55.7	56.8	57.4	58.0	58.9	59.6	60.0	55.43
31	60.4	61.3	61.5	61.5	61.5	61.6	61.5	61.9	62.1	62.1	62.0	61.8	61.4	61.3	61.3	61.3	61.2	61.2	61.2	61.1	61.2	61.0	61.0	60.8	61.33
Mittel	54.13	54.21	54.22	54.10	54.02	54.01	54.05	54.17	54.43	54.63	54.62	54.49	54.42	54.38	54.48	54.56	54.56	54.58	54.62	54.66	54.72	54.73	54.83	54.86	54.43

Zeitangaben nach mittlerer Ortszeit

Lufttemperatur — Januar

h_t = 2.1 m

Datum	1a	2a	3a	4a	5a	6a	7a	8a	9a	10a	11a	Mittag	1p	2p	3p	4p	5p	6p	7p	8p	9p	10p	11p	Mitternacht	Mittel
1	-0.4	-0.1	0.1	0.2	0.3	0.5	1.0	1.5	1.8	2.4	2.6	2.8	3.6	3.8	4.1	4.1	4.2	4.3	3.7	3.7	3.7	3.5	3.8	3.8	2.32
2	3.9	4.0	4.1	4.3	4.6	5.3	5.7	5.9	6.5	6.7	6.9	6.9	7.0	7.0	7.4	7.5	7.6	7.2	7.0	6.8	6.5	6.0	5.9	5.9	6.02
3	5.8	5.8	5.8	5.6	5.6	5.6	5.7	5.6	5.7	6.0	5.7	5.4	5.4	5.5	5.5	5.6	6.0	6.0	5.8	5.7	5.6	5.1	4.7	4.0	5.56
4	4.0	3.6	3.1	3.2	3.2	3.1	3.4	3.0	3.0	3.2	3.7	3.9	3.8	3.8	4.4	3.9	3.7	3.4	3.0	2.8	2.9	3.1	3.2	3.1	3.42
5	3.0	2.9	2.9	2.8	2.6	2.1	2.1	1.7	1.6	1.8	3.5	5.9	6.2	6.2	6.1	6.0	5.8	5.2	4.7	4.4	4.4	2.9	2.9	3.0	3.75
6	2.9	3.3	2.3	1.5	1.6	2.6	3.0	3.2	3.5	3.4	3.5	3.9	4.2	3.5	3.7	2.8	2.3	1.4	0.5	0.4	0.1	-1.6	-2.1	-2.6	2.01
7	-2.8	-3.0	-3.7	-4.3	-4.7	-5.1	-5.1	-5.4	-5.4	-5.5	-5.9	-5.9	-5.9	-5.8	-6.0	-6.0	-6.1	-5.8	-5.6	-5.2	-4.7	-3.7	-5.6	-7.1	-5.08
8	-7.3	-8.1	-7.4	-7.2	-7.2	-6.1	-5.4	-5.4	-4.5	-4.2	-3.5	-2.5	-1.9	-1.6	-1.8	-2.1	-3.6	-4.7	-4.8	-5.1	-4.7	-4.4	-3.8	-3.4	-4.71
9	-3.5	-3.4	-4.3	-4.2	-4.9	-5.2	-5.2	-4.7	-4.3	-4.0	-3.7	-3.3	-2.9	-3.2	-3.4	-3.5	-3.6	-3.6	-3.7	-3.8	-4.0	-4.0	-4.0	-4.2	-3.92
10	-4.4	-4.5	-4.5	-4.7	-6.0	-7.1	-7.8	-8.3	-8.5	-8.0	-6.6	-5.0	-5.0	-4.4	-5.1	-5.8	-7.0	-7.7	-8.5	-9.5	-10.0	-9.8	-9.7	-9.4	-6.86
11	-9.7	-11.1	-12.2	-12.3	*-12.3*	*-12.0*	-14.0	-14.5	-13.7	-12.6	-11.3	-9.0	-8.0	-6.6	-8.7	-9.4	-10.0	-10.4	-10.5	-10.9	-10.4	-9.8	-9.5	-9.1	-10.70
12	-8.7	-8.9	-8.8	-8.6	-8.4	-8.2	-8.3	-8.6	-8.3	-8.1	-7.5	-7.0	-6.9	-6.0	-7.6	-8.8	-9.5	-9.9	-10.7	-11.1	-11.4	-12.2	-12.7	-13.1	-9.14
13	-13.6	-13.9	-14.5	-14.9	-15.0	-15.5	-15.8	-15.8	-15.5	-14.6	-12.3	-9.8	-7.8	-6.6	-7.9	-9.0	-9.4	-9.8	-10.3	-11.2	-12.2	-12.5	-12.8	-13.6	-12.30
14	-14.2	-14.6	-14.8	-14.9	-15.3	-15.6	-15.7	-15.7	-15.5	-15.3	-13.2	-11.4	-9.9	-10.1	-10.7	-11.5	-11.9	-12.4	-12.9	-13.3	-13.3	-13.6	-13.7	-13.7	-13.47
15	-13.8	-13.8	-14.1	-14.5	-14.8	-15.1	-15.4	-15.6	-15.7	-14.7	-12.5	-10.6	-8.3	-8.3	-9.5	-9.6	-10.1	-11.3	-11.9	-12.3	-12.5	-12.8	-13.3	-13.8	-12.72
16	-14.5	-14.6	-15.0	-15.3	-15.4	-15.5	-14.8	-13.6	-11.9	-12.2	-9.6	-8.6	-8.0	-7.3	-7.6	-9.0	-9.5	-10.2	-10.2	-11.7	-11.7	-12.0	-11.6	-10.2	-11.75
17	-10.2	-10.4	-10.4	-9.9	-10.5	-11.0	-11.7	-12.2	-12.6	-12.2	-11.0	-10.1	-9.1	-8.7	-9.3	-10.7	-11.5	-12.1	-12.4	-12.2	-12.4	-12.1	-11.0	-9.9	-10.95
18	-9.6	-9.5	-8.7	-8.1	-7.7	-7.7	-8.0	-8.7	-9.2	-9.5	-8.4	-7.0	-6.4	-6.1	-6.7	-7.4	-8.2	-8.8	-9.5	-9.8	-9.9	-10.0	-10.0	-10.1	-8.60
19	-10.5	-10.5	-10.3	-10.5	-11.1	-11.5	-11.7	-12.1	-11.9	-11.0	-9.9	-8.0	-4.4	-4.3	-5.7	-5.3	-6.0	-6.5	-6.7	-7.1	-7.4	-7.3	-7.2	-7.0	-8.56
20	-7.1	-7.0	-6.6	-6.6	-7.3	-7.3	-7.4	-8.3	-7.9	-6.3	-3.1	-2.2	-0.4	-0.3	-1.0	-1.9	-2.3	-3.0	-3.7	-4.4	-4.8	-5.3	-6.3	-5.7	-4.93
21	-5.7	-5.6	-3.6	-2.6	-3.3	-3.7	-4.1	-4.2	-4.4	-4.5	-3.6	-1.6	-0.9	-0.6	-1.1	-1.9	-2.3	-0.8	-1.3	-1.0	-0.4	0.6	1.3	1.6	-2.38
22	1.8	2.0	2.2	2.5	2.4	2.4	2.4	1.8	1.8	2.3	2.6	2.8	3.4	3.4	3.1	2.9	2.7	2.4	2.4	2.1	2.0	1.8	1.2	1.1	2.28
23	0.9	0.9	0.8	0.7	0.5	0.5	0.6	0.6	0.7	0.7	0.8	0.9	0.8	0.8	0.7	0.6	0.4	0.2	0.1	0.3	0.5	0.4	0.3	0.3	0.60
24	0.3	0.4	0.3	0.3	0.3	0.3	0.3	0.4	0.5	0.6	1.2	2.1	2.3	3.2	3.1	2.5	2.4	0.8	0.7	0.5	0.8	0.8	0.7	0.4	1.02
25	0.7	-0.4	0.2	-1.2	-0.5	-0.8	-0.4	-0.5	-0.1	0.0	0.5	2.5	3.9	7.1	5.5	3.4	2.8	2.7	1.7	1.9	1.1	0.4	-0.1	0.3	1.24
26	0.8	0.6	0.2	0.9	0.6	0.7	1.1	1.7	2.1	2.2	2.6	2.7	2.8	3.1	3.2	2.9	2.5	2.3	2.2	2.1	2.1	1.1	0.3	-1.0	1.60
27	-1.3	-1.4	-1.8	-1.7	-1.7	-1.8	-2.3	-2.5	-2.6	-2.6	-2.3	-2.2	-1.9	-1.3	-1.5	-2.0	-3.0	-3.8	-4.4	-5.1	-5.6	-6.2	-7.6	-7.8	-3.02
28	-8.6	-9.0	-9.0	-9.2	-8.5	-8.2	-8.0	-7.7	-6.9	-6.0	-4.7	-4.0	*-2.9*	-3.5	-2.4	-2.4	-2.5	-2.8	-2.7	-2.7	-3.4	-3.6	-4.4	-4.1	-5.40
29	-3.3	-2.9	-2.7	-2.8	-2.4	-2.0	-1.7	-1.8	-1.1	-0.5	0.1	0.8	0.9	0.4	0.1	0.0	0.0	0.1	0.1	0.1	0.2	0.2	0.1	-0.5	-0.91
30	-0.7	-2.1	-3.1	-4.4	-5.9	-6.8	-7.2	-7.5	-7.4	-5.7	-2.8	-0.7	-0.2	-0.4	-0.3	-1.9	-3.6	-4.5	-5.0	-5.4	-5.6	-6.3	-7.2	-6.5	-4.07
31	-6.0	-5.7	-5.5	-5.1	-4.1	-3.7	-3.8	-3.1	-2.0	-2.0	-1.7	-1.1	-0.2	0.4	1.0	0.8	-0.8	-1.3	-2.1	-2.5	-2.8	-2.7	-3.0	-2.8	-2.65
Mittel	-4.25	-4.42	-4.48	-4.55	-4.69	-4.74	-4.79	-4.86	-4.59	-4.20	-3.22	-2.24	-1.51	-1.19	-1.56	-2.10	-2.60	-3.01	-3.39	-3.66	-3.78	-4.00	-4.23	-4.26	-3.62

Februar

Datum	1a	2a	3a	4a	5a	6a	7a	8a	9a	10a	11a	Mittag	1p	2p	3p	4p	5p	6p	7p	8p	9p	10p	11p	Mitternacht	Mittel
1	-2.8	-3.2	-3.4	-3.5	-4.0	-4.4	-4.3	-3.6	-3.2	-3.2	-3.0	-2.8	-2.9	-2.7	-2.5	-2.8	-4.0	-4.0	-3.8	-3.2	-3.0	-2.8	-2.2	-1.8	-3.20
2	-1.6	-5.7	-6.1	-7.3	-9.0	-10.0	-11.2	-12.2	-12.3	-11.3	-9.3	-8.3	-8.3	-8.0	-8.4	-10.1	-11.3	-12.9	-11.8	-13.0	-13.6	-14.9	-15.9	-15.2	-9.98
3	-15.6	-14.9	-15.8	-15.7	-15.6	-15.6	-16.0	-15.5	-13.6	-12.5	-11.8	-10.5	-9.7	-10.1	-10.6	-12.0	-13.1	-15.0	-15.9	-16.4	-16.4	-16.7	-16.8	-17.4	-14.34
4	-17.7	-17.9	-18.1	-18.2	-18.2	-18.5	-18.7	*-17.8*	-17.4	-14.8	-11.2	-9.3	-8.6	-9.1	-9.3	-11.1	-13.2	-14.7	-15.9	-16.6	-17.1	-17.8	-18.1	-18.6	-15.41
5	-18.5	-18.4	-18.3	-18.4	-18.8	-19.2	-19.1	-18.9	-18.0	-16.1	-13.4	-11.7	-10.5	-9.6	-9.3	-10.2	-12.1	-13.1	-13.4	-12.5	-12.0	-11.8	-11.9	-12.5	-14.61
6	-11.6	-10.6	-9.6	-9.0	-8.4	-7.5	-7.0	-6.5	-5.5	-4.3	-2.6	-0.3	1.3	3.3	3.5	2.4	2.1	2.8	1.8	0.4	0.1	0.5	0.4	0.9	-3.04
7	1.5	2.0	1.7	1.6	1.3	1.1	1.3	1.4	2.7	3.8	6.0	7.0	7.0	10.0	10.1	8.8	7.9	7.5	6.6	5.6	4.7	4.1	3.7	3.3	4.46
8	2.0	1.7	1.1	1.0	-0.2	-0.9	-1.0	-1.1	-0.3	2.1	4.8	7.1	8.2	9.0	9.0	8.4	6.0	5.0	4.4	3.3	3.1	2.8	2.2	1.4	3.30
9	1.1	0.7	0.5	0.4	0.3	0.4	-0.3	-0.1	0.2	1.1	2.1	3.4	3.9	5.5	5.3	5.7	6.0	4.5	4.2	3.4	3.1	3.4	3.9	2.9	2.52
10	2.7	2.0	3.1	3.1	2.0	1.9	1.2	2.5	4.5	4.8	6.1	7.9	9.7	9.9	9.3	8.8	7.3	6.4	5.4	5.0	4.5	4.1	3.5	2.2	4.83
11	2.0	2.2	1.4	1.0	0.8	-1.4	-1.7	-1.2	-0.2	-0.2	0.7	1.1	2.1	2.4	2.6	2.5	2.2	1.7	1.5	0.7	0.6	0.3	0.1	-0.1	0.93
12	-0.2	-0.1	-0.2	-0.2	-0.2	-0.1	-0.1	0.0	0.3	0.4	0.7	0.9	1.5	1.9	1.9	2.1	2.2	1.7	1.5	1.4	1.2	1.2	1.0	0.8	0.78
13	0.8	0.6	0.5	0.4	0.3	0.2	0.2	0.1	0.4	0.7	1.0	1.5	2.0	2.6	2.4	2.2	1.2	1.3	1.3	1.2	1.3	0.9	0.8	0.5	1.01
14	0.3	0.2	0.3	0.1	-0.1	-0.2	-0.2	-0.2	0.0	0.1	0.6	0.9	1.0	1.0	1.3	1.3	1.1	1.0	0.8	0.6	0.6	0.4	0.3	0.1	0.47
15	0.1	0.2	0.2	0.1	0.1	0.1	-0.1	-0.1	0.0	0.1	0.7	0.9	1.4	1.2	1.2	1.1	1.0	0.8	0.7	0.6	0.7	0.4	0.3	0.1	0.48
16	0.0	-0.7	-0.9	-0.9	-0.8	-0.8	-1.0	-1.1	-1.1	-0.8	0.8	1.9	2.9	2.3	2.1	1.5	0.7	0.3	-0.4	-0.5	-0.6	-1.1	-1.2	-1.0	-0.01
17	-0.6	0.2	0.9	0.6	0.8	0.8	0.8	1.0	1.6	3.2	5.1	7.3	7.9	8.6	9.0	8.5	7.7	7.3	6.8	5.4	4.8	4.5	3.9	3.9	3.96
18	4.1	3.8	4.0	3.5	3.5	2.7	2.4	2.7	3.5	7.5	10.6	11.7	12.8	13.1	13.5	12.5	10.5	9.4	8.8	8.6	7.3	7.4	6.7	6.1	7.22
19	6.9	5.9	5.6	5.0	4.5	4.0	3.3	3.4	4.3	6.2	10.3	10.7	11.8	12.7	13.0	12.6	10.0	8.6	7.8	7.6	7.3	6.6	6.2	6.1	7.46
20	6.1	7.5	7.5	7.3	6.9	6.9	6.4	6.1	6.7	7.7	8.8	9.6	10.6	9.8	10.6	9.5	8.0	6.6	5.8	5.1	4.7	3.7	2.9	2.8	6.95
21	2.6	2.3	2.2	2.3	2.4	2.8	2.9	3.0	3.3	3.6	4.0	4.3	4.5	4.5	4.5	4.4	4.1	3.6	3.7	3.8	3.7	3.1	2.8	1.9	3.32
22	1.4	0.8	0.1	-0.3	-0.3	-0.6	-0.7	-0.8	-0.7	-0.5	0.0	0.3	0.8	1.1	1.5	1.8	1.9	1.6	1.3	0.9	0.2	0.8	1.0	0.7	0.57
23	0.1	0.0	1.8	2.2	2.9	3.3	3.7	4.6	5.7	7.2	7.9	9.0	9.7	10.6	10.8	11.0	10.4	10.2	10.0	9.7	9.7	9.6	9.3	9.3	6.78
24	9.3	9.2	8.8	8.8	8.8	8.8	8.8	9.0	9.2	9.5	9.7	10.0	10.2	10.0	10.1	7.7	6.4	5.7	5.3	5.0	5.1	5.1	4.6	3.7	7.92
25	2.5	1.6	1.1	1.6	1.2	0.9	0.6	0.2	0.0	0.1	0.3	0.6	0.7	0.9	1.1	1.0	1.0	0.9	0.6	0.3	0.5	0.5	0.6	0.6	0.92
26	0.6	0.7	0.7	0.9	1.0	1.0	1.0	0.9	1.6	2.8	4.9	5.7	7.1	6.1	7.6	7.9	8.0	7.6	7.6	7.5	7.4	6.3	5.4	5.8	4.27
27	5.9	5.7	5.5	4.3	4.8	5.3	5.4	6.0	7.2	7.9	8.4	9.5	7.9	9.8	8.4	8.6	8.0	8.1	8.0	7.7	7.4	7.1	7.1	6.8	7.06
28	6.8	6.9	7.0	7.2	7.1	7.1	6.6	6.9	7.9	7.3	8.3	8.2	8.5	9.1	9.4	9.2	8.9	8.6	8.2	7.7	7.7	8.0	8.4	8.5	7.85
29	8.5	8.4	8.2	8.1	7.7	6.9	6.4	6.5	8.7	10.9	12.8	14.8	14.9	17.0	17.2	16.9	14.6	13.4	13.0	11.9	10.4	9.2	8.9	8.8	10.90
Mittel	-0.11	-0.31	-0.35	-0.48	-0.66	-0.86	-1.05	-0.86	-0.16	0.80	2.18	3.15	3.74	4.24	4.32	3.80	2.88	2.24	1.86	1.42	1.15	0.86	0.62	0.37	1.15

Zeitangaben nach mittlerer Ortszeit

Lufttemperatur — März

$h_1 = 2.1$ m

Datum	1a	2a	3a	4a	5a	6a	7a	8a	9a	10a	11a	Mittag	1p	2p	3p	4p	5p	6p	7p	8p	9p	10p	11p	Mitternacht	Mittel
1	8.7	7.7	8.3	7.5	7.6	7.3	6.8	6.7	7.8	8.5	10.6	9.2	10.1	10.2	10.9	10.3	9.7	8.5	7.3	7.2	7.0	6.5	6.8	7.3	8.29
2	7.7	7.8	7.9	8.2	8.6	8.6	8.6	8.8	9.1	10.0	10.7	11.4	10.3	10.8	11.3	9.3	8.3	8.0	6.5	5.9	5.0	4.9	5.2	5.4	8.22
3	4.7	5.6	4.6	3.9	3.6	3.9	3.6	3.5	6.4	10.0	10.2	12.2	12.0	13.4	13.5	11.6	10.4	9.6	9.2	8.9	8.6	8.2	7.9	7.9	7.95
4	7.5	7.3	7.0	6.3	6.1	6.0	5.6	5.8	6.5	8.2	10.8	9.9	9.3	9.5	11.2	10.6	9.1	8.6	6.4	5.5	5.3	4.7	4.1	4.5	7.35
5	4.7	4.5	4.4	4.4	4.3	4.4	4.2	5.4	6.3	8.6	10.9	11.3	8.8	7.3	8.0	9.4	9.0	7.0	7.3	7.2	7.2	7.4	7.0	5.3	6.75
6	4.2	3.6	4.9	6.1	6.3	6.2	5.4	6.4	6.3	7.8	9.8	10.1	8.9	10.1	10.2	6.6	5.0	4.2	3.9	4.3	4.3	4.2	3.6	3.1	6.03
7	2.8	2.8	3.7	3.8	3.6	2.5	2.2	2.6	5.6	7.5	7.5	7.5	9.0	8.8	6.5	6.9	5.3	5.2	3.9	4.0	4.3	4.2	4.3	4.3	4.88
8	4.3	4.3	4.2	3.3	2.8	3.3	3.5	3.6	4.2	4.2	4.4	7.6	8.1	9.8	10.0	9.6	7.7	6.2	5.0	4.0	3.6	3.2	3.8	2.6	5.10
9	2.4	2.5	2.2	1.7	1.6	0.6	0.0	1.6	2.8	5.8	7.7	9.3	9.0	10.5	10.9	11.0	9.3	6.6	4.7	3.7	3.2	2.3	1.4	0.5	4.56
10	0.0	-0.5	-0.6	-0.6	-1.0	-1.2	-0.9	-0.1	2.4	5.6	7.6	9.3	9.7	10.0	9.0	8.0	7.5	6.4	5.5	4.7	4.2	3.5	2.8	2.2	3.76
11	1.9	1.7	1.5	1.0	0.6	0.3	0.4	1.5	3.5	5.3	7.1	6.8	7.2	6.8	6.3	6.0	5.1	3.7	2.1	1.1	0.2	0.9	0.9	0.5	2.98
12	0.6	0.7	0.3	0.1	0.0	0.0	0.0	0.3	1.1	1.3	3.5	3.1	2.7	2.8	2.7	2.6	2.3	1.2	-0.7	-0.9	-1.0	-1.2	-1.3	-1.6	0.76
13	-1.9	-1.9	-2.2	-2.2	-2.2	-2.2	-3.2	-2.5	1.6	3.6	5.0	6.6	7.8	9.6	9.7	9.5	8.2	7.3	6.7	6.3	5.6	5.6	4.0	4.6	3.27
14	3.5	4.1	3.0	2.9	2.5	2.6	2.5	3.0	4.8	6.7	9.3	10.8	10.2	10.6	10.3	9.8	8.9	8.0	7.2	7.1	6.9	6.4	5.8	4.9	6.26
15	3.5	2.8	1.9	1.2	0.5	0.0	-0.2	0.4	2.7	5.5	8.0	10.0	10.6	13.0	12.3	10.9	8.1	6.4	4.8	3.9	3.4	2.2	1.6	0.6	4.76
16	0.2	-0.1	0.0	0.0	-0.3	-0.5	-0.4	0.2	0.8	1.8	1.7	2.3	2.4	2.3	2.3	2.9	3.0	2.8	2.7	2.9	3.3	3.6	3.4	3.1	1.64
17	3.0	2.7	2.0	1.9	1.4	1.3	1.9	2.2	2.7	3.2	5.2	6.2	5.7	6.6	6.6	6.7	5.3	4.0	2.7	1.8	0.8	0.4	0.3	-0.3	3.10
18	-0.7	-1.0	-1.2	-1.4	-1.5	-1.7	-1.0	-0.1	1.5	4.1	6.6	7.8	7.8	9.3	9.0	8.8	8.0	7.4	6.9	5.9	5.8	4.9	4.4	4.1	3.74
19	3.8	3.7	3.6	3.6	3.5	3.6	3.9	5.1	6.8	8.3	10.8	9.7	9.6	9.3	10.7	10.7	6.9	6.7	5.6	5.7	5.7	5.0	4.6	4.0	6.20
20	3.5	2.8	2.4	1.9	1.8	2.8	3.2	4.4	6.7	8.6	9.7	10.8	10.2	10.3	10.7	10.2	9.7	8.1	7.0	6.6	6.4	5.6	4.2	3.6	6.21
21	4.1	3.9	2.3	2.2	1.7	1.4	0.6	1.9	4.5	7.0	9.0	8.4	9.6	9.9	9.2	10.3	9.3	7.3	6.7	6.2	6.8	5.5	5.3	6.1	5.71
22	6.7	6.6	6.7	6.9	6.5	6.4	6.7	8.1	9.7	11.2	11.8	12.5	12.8	12.8	13.0	12.6	11.8	10.7	9.7	8.5	7.5	7.0	6.0	5.1	8.94
23	4.4	4.4	4.2	3.1	2.3	2.2	2.9	5.4	8.7	10.8	11.0	11.8	11.0	10.0	8.5	9.6	9.0	7.8	6.4	5.3	3.8	2.5	2.1	1.4	6.15
24	1.2	1.0	1.5	0.4	-0.3	-0.1	0.4	1.2	4.7	6.8	9.9	9.8	10.0	9.9	9.9	9.3	8.9	8.4	7.3	6.8	6.8	6.2	6.2	6.0	5.34
25	4.3	6.0	6.0	6.1	5.0	5.3	5.7	6.1	7.8	10.7	15.1	12.5	12.5	12.0	12.0	12.4	12.0	11.2	10.7	10.3	10.2	10.0	10.0	9.6	9.18
26	9.5	9.4	9.4	9.5	9.6	9.7	10.1	10.5	11.2	12.3	13.8	15.3	16.2	17.0	17.5	17.1	16.5	14.9	13.2	12.2	11.5	10.2	9.4	9.5	12.20
27	10.0	10.1	9.9	9.6	10.0	9.6	9.6	11.1	13.4	15.9	17.7	17.0	17.1	18.2	18.7	17.8	16.1	10.1	9.6	9.1	8.0	7.4	7.3	6.5	11.97
28	6.3	6.5	6.4	6.1	6.0	6.2	6.8	8.3	9.6	10.7	11.3	10.4	9.5	9.2	9.0	8.3	8.4	7.9	8.4	8.7	9.0	9.2	9.4	7.7	8.23
29	6.5	5.7	5.8	5.4	5.3	4.4	4.5	5.6	6.7	9.1	9.5	10.5	7.2	3.4	5.4	6.7	6.8	6.6	3.3	4.8	5.0	4.4	4.3	4.4	5.96
30	4.6	4.7	4.9	5.0	4.7	4.2	4.3	5.3	6.9	6.6	7.7	7.9	4.1	5.2	4.8	4.8	3.3	3.5	3.8	3.1	3.6	3.7	3.2	4.0	4.73
31	3.8	3.6	3.0	2.9	2.9	2.5	2.7	3.6	5.4	6.2	7.8	9.8	10.2	9.5	10.5	11.3	10.1	8.4	7.4	7.0	6.5	6.0	6.0	5.5	6.26
Mittel	4.06	3.97	3.81	3.57	3.34	3.21	3.24	4.06	5.75	7.48	9.09	9.61	9.34	9.62	9.70	9.41	8.35	7.18	6.17	5.74	5.44	4.99	4.65	4.27	6.02

April

1	5.6	5.2	5.1	4.9	4.3	5.2	5.0	5.4	5.7	6.0	8.4	9.7	10.1	10.1	9.0	9.2	9.0	8.7	7.6	6.4	5.6	5.6	5.2	4.1	6.66
2	3.2	3.2	3.0	2.9	2.6	1.3	0.6	0.6	1.6	2.0	1.6	1.1	3.0	3.6	3.5	3.1	3.0	2.3	2.2	1.6	0.6	0.4	-0.3	-0.5	2.01
3	-0.4	-0.5	-0.5	-0.6	-0.8	-0.9	-1.3	-0.5	1.7	2.7	4.6	5.0	5.8	6.2	6.9	6.8	6.3	5.1	4.0	2.0	1.2	-0.1	-0.3	-1.0	2.04
4	-1.2	-1.7	-2.4	-2.3	-2.0	-0.5	1.6	3.1	4.9	6.5	8.9	9.6	10.1	10.7	10.4	9.4	9.6	8.9	8.0	7.3	6.9	7.1	7.1	7.2	5.05
5	6.6	7.2	7.7	7.7	7.8	8.2	8.5	7.7	7.7	8.1	8.1	8.6	9.1	9.8	10.1	10.0	9.7	9.3	9.3	9.7	9.6	9.6	9.7	9.8	8.67
6	10.1	10.2	10.1	9.6	9.3	9.4	9.5	9.6	10.1	10.4	10.5	10.5	10.3	10.2	10.2	10.6	11.1	10.8	10.4	11.0	9.1	8.8	8.5	7.8	9.92
7	7.7	7.3	7.3	6.1	6.4	6.3	6.1	6.6	7.3	7.5	8.5	9.2	9.4	9.1	8.4	6.9	6.5	5.3	4.0	2.8	2.9	2.6	2.3	2.0	6.25
8	1.1	1.0	0.9	0.7	0.8	1.2	3.3	2.7	2.8	4.5	10.5	12.7	12.8	12.7	13.0	12.8	12.3	12.1	11.3	10.1	9.8	9.6	9.7	9.4	7.19
9	9.2	5.8	6.0	6.4	5.3	5.0	5.1	5.8	6.2	7.2	7.4	8.3	8.7	9.1	8.5	7.7	7.4	6.4	2.0	2.1	2.2	2.4	1.6	1.4	5.86
10	1.4	1.0	1.1	0.9	0.2	0.7	0.8	2.6	4.0	5.2	4.3	5.9	3.3	5.2	5.6	4.7	4.7	4.2	4.0	2.7	1.6	1.3	1.6	1.0	2.78
11	-0.8	-1.4	-1.9	-1.4	-1.3	-1.9	-1.6	-0.9	0.2	1.9	4.0	4.0	3.1	4.3	6.0	5.2	5.7	4.4	2.6	1.5	1.4	1.4	1.1	0.7	1.49
12	0.0	-0.1	-0.1	-0.2	-0.3	-0.3	-0.6	-0.7	-0.5	0.1	1.7	1.7	0.2	0.6	0.5	0.2	0.7	-0.6	-1.7	-1.4	-2.0	-2.7	-2.7	-2.8	-0.41
13	-3.0	-4.0	-3.7	-3.3	-3.2	-4.2	-3.3	-0.5	1.1	2.2	4.4	4.4	5.2	5.7	4.7	4.8	3.9	3.6	2.7	2.7	2.6	2.8	2.8	2.6	1.13
14	2.7	3.3	3.0	2.5	2.5	2.8	3.2	3.8	4.7	4.6	6.3	6.3	6.9	6.4	7.0	6.9	6.8	6.7	6.3	4.6	4.7	4.5	2.8	1.4	4.53
15	1.1	0.3	-0.5	-1.2	-1.3	-1.3	-0.1	3.4	5.5	7.2	9.3	9.3	9.7	9.9	9.7	10.2	9.3	9.2	8.6	7.8	5.4	4.0	3.3	2.3	4.90
16	1.8	1.6	1.7	0.8	0.4	0.7	2.1	4.1	7.1	9.0	11.1	11.1	11.9	12.8	12.6	12.8	12.3	11.0	9.0	6.8	5.8	4.6	4.0	3.3	6.43
17	3.0	2.5	2.0	1.4	1.1	1.1	3.4	6.2	10.9	12.8	14.8	14.8	13.9	13.1	14.7	14.9	13.9	12.5	10.3	8.7	7.3	5.8	5.3	4.6	8.09
18	4.2	3.7	3.4	2.7	2.3	2.4	4.3	8.2	11.9	14.1	16.0	16.0	17.4	18.0	18.0	17.8	16.1	15.3	13.6	12.1	11.0	10.0	9.1	8.5	10.43
19	7.4	6.7	6.2	5.4	4.6	4.6	6.5	11.0	13.3	15.2	17.3	17.3	17.8	18.3	18.2	18.2	17.8	15.8	13.3	11.0	9.7	9.0	8.5	8.3	11.60
20	7.8	7.1	7.1	7.0	7.2	7.1	8.6	12.4	14.9	16.3	18.7	18.7	18.7	19.4	18.8	17.9	16.9	16.7	15.3	14.2	13.0	11.2	10.7	10.7	12.99
21	10.2	9.9	9.7	7.7	6.4	7.3	8.8	11.4	13.4	14.8	14.8	16.3	17.3	18.4	17.9	18.2	17.3	16.4	14.3	12.4	12.3	12.3	12.2	11.2	12.86
22	10.3	8.7	7.7	7.1	6.1	6.1	8.2	10.4	13.2	15.9	17.4	18.4	18.4	19.3	16.9	17.1	17.8	16.4	15.0	13.4	12.0	10.2	8.0	6.6	12.47
23	6.3	6.1	5.5	5.2	5.5	6.6	8.3	10.5	13.0	15.2	16.3	17.3	17.9	17.2	17.9	17.6	16.7	15.7	13.5	11.1	9.2	8.6	7.9	7.4	11.32
24	7.0	6.2	5.9	5.6	5.2	5.5	7.6	10.9	15.1	16.2	17.0	17.9	18.9	18.7	19.3	19.0	18.5	17.2	14.5	12.7	11.6	10.2	9.7	9.1	12.28
25	8.6	7.7	7.1	6.4	5.8	5.9	9.0	12.8	14.8	16.4	17.2	18.0	17.7	17.6	16.5	16.5	16.3	15.1	13.0	10.4	8.6	7.2	5.8	4.3	11.51
26	4.3	3.2	2.7	2.5	1.9	1.9	4.4	7.4	10.6	13.0	14.4	15.4	16.6	15.4	17.2	16.6	16.2	16.2	13.8	12.3	10.4	9.0	8.6	8.0	9.85
27	6.7	5.4	5.7	5.2	4.9	6.0	8.9	13.8	16.2	17.6	18.8	20.2	20.0	19.8	19.5	18.2	16.8	14.7	13.3	10.6	8.6	7.1	6.6	5.9	11.94
28	5.1	4.5	4.8	4.9	5.5	6.4	7.4	8.9	10.1	11.5	13.5	12.7	13.5	13.4	13.9	13.6	12.5	11.0	10.0	8.3	7.1	5.9	5.1	4.4	8.80
29	3.8	2.5	2.3	1.9	1.3	2.1	5.0	7.2	7.8	8.9	9.8	9.7	9.8	10.3	10.2	9.8	9.6	9.4	8.2	8.2	7.8	6.8	5.2	5.0	6.68
30	4.8	4.0	2.8	1.9	1.9	2.3	3.4	5.3	7.2	8.3	9.5	9.9	9.9	9.4	9.3	9.2	8.8	7.4	6.5	4.9	3.0	2.6	1.9	0.7	5.60
Mittel	4.49	3.89	3.66	3.28	3.01	3.23	4.42	6.31	8.08	9.38	10.84	11.33	11.58	11.82	11.81	11.53	11.12	10.24	8.83	7.60	6.63	5.93	5.37	4.78	7.36

Zeitangaben nach mittlerer Ortszeit

Lufttemperatur — Mai

$h_1 = 2.1$ m

Datum	1a	2a	3a	4a	5a	6a	7a	8a	9a	10a	11a	Mittag	1p	2p	3p	4p	5p	6p	7p	8p	9p	10p	11p	Mitternacht	Mittel
1	0.1	-0.6	-1.2	-1.9	-2.3	-1.1	1.7	5.3	7.3	8.6	9.7	10.5	11.3	11.5	11.8	11.3	11.2	10.4	8.2	7.0	6.6	6.1	5.3	4.9	5.70
2	4.7	3.8	2.4	2.3	3.2	4.3	6.6	11.0	12.3	13.1	14.0	15.1	15.9	16.4	16.7	16.5	16.1	14.9	12.7	11.2	9.6	8.6	7.5	7.0	10.03
3	6.5	6.2	5.1	4.1	3.7	4.4	9.6	12.0	14.7	16.1	17.3	16.6	13.8	12.8	11.8	11.1	11.0	9.6	9.7	8.4	8.3	7.9	7.6	6.8	9.68
4	6.8	6.7	6.7	6.3	6.1	6.2	6.5	7.3	8.9	9.2	10.4	11.1	12.1	13.8	12.6	12.7	12.2	11.4	9.3	7.4	6.1	5.1	4.3	2.8	8.35
5	1.5	0.8	0.4	-0.1	-0.4	1.1	3.6	4.4	7.1	8.8	8.5	9.5	10.8	12.5	13.0	13.3	13.5	12.4	10.6	8.6	7.8	7.1	6.6	6.8	6.84
6	6.2	5.7	3.0	2.7	2.3	2.9	5.8	10.7	13.6	15.5	17.2	18.5	19.7	19.4	19.3	20.3	19.3	18.7	16.9	14.9	14.6	13.4	12.2	11.8	12.46
7	11.7	11.4	10.9	10.6	10.5	10.5	10.2	10.1	11.6	13.6	13.5	14.1	14.4	16.7	17.7	17.3	15.9	15.4	13.2	11.8	11.6	11.1	10.8	10.7	12.68
8	10.7	10.8	10.8	10.6	10.6	10.3	10.6	10.8	11.7	12.8	14.0	14.4	15.2	15.6	16.0	14.9	15.0	13.8	12.7	11.9	10.9	9.6	9.6	9.5	12.14
9	8.5	8.7	9.3	9.2	9.3	9.3	10.4	12.6	14.6	15.1	16.3	17.1	18.0	19.7	17.6	14.6	14.7	13.9	13.5	13.2	13.2	12.7	12.8	12.8	13.06
10	12.1	11.6	10.9	10.4	10.3	10.5	11.0	11.1	11.4	13.7	15.1	16.6	16.9	14.1	13.9	14.8	14.8	11.6	12.3	10.4	9.5	9.0	7.7	6.8	11.97
11	6.1	5.9	2.6	4.9	5.5	6.2	6.5	8.3	10.4	*12.1*	*13.6*	*15.6*	*16.0*	16.2	18.1	17.1	17.0	16.6	15.3	14.8	14.2	13.6	13.5	13.9	11.63
12	14.0	15.4	15.6	16.3	16.4	16.6	17.6	17.9	19.5	20.9	20.7	22.2	23.2	24.4	24.2	25.7	26.6	25.2	23.5	21.1	19.8	17.8	12.9	11.8	19.33
13	9.3	7.3	7.7	7.6	7.6	8.0	8.0	9.3	9.6	10.3	10.7	12.0	12.4	12.3	12.3	12.3	12.4	11.7	10.2	9.0	7.9	6.8	6.3	6.0	9.55
14	6.0	6.0	5.8	5.8	5.9	6.7	7.7	9.3	10.2	12.1	12.1	13.1	13.9	16.0	16.1	16.1	16.5	16.1	13.9	11.1	10.6	10.0	8.8	8.2	10.56
15	7.6	7.3	7.5	7.6	7.6	7.9	9.9	11.1	12.2	14.0	15.2	15.9	16.0	16.0	15.3	13.5	13.3	13.2	12.2	11.6	11.4	10.7	10.9	10.9	11.48
16	10.7	10.7	9.5	9.2	9.1	9.4	9.8	10.1	10.9	10.8	10.8	12.1	14.2	15.4	15.1	17.4	17.2	16.3	15.3	11.4	11.3	11.1	11.2	9.5	11.98
17	9.0	8.7	8.6	8.2	8.0	8.0	9.1	10.9	12.5	13.8	14.5	13.5	13.4	13.0	13.4	13.5	13.4	13.3	12.7	10.9	9.4	8.4	8.4	8.4	10.90
18	7.8	6.8	6.1	6.1	6.1	7.9	8.8	11.0	11.9	13.4	13.2	13.1	13.2	15.2	15.7	15.8	16.1	15.5	13.4	10.2	9.2	8.4	7.7	7.1	10.72
19	7.4	6.7	6.4	6.2	8.2	8.4	9.2	12.4	14.4	16.1	16.0	17.0	16.1	16.2	17.1	17.5	16.9	15.9	15.0	13.3	11.9	11.9	9.8	9.1	12.25
20	8.5	8.3	8.1	8.1	7.8	8.7	12.1	14.6	17.1	18.3	19.6	20.3	21.1	22.6	22.1	23.1	22.5	21.6	19.1	17.1	16.3	15.6	14.3	13.4	15.58
21	12.3	13.3	13.7	13.8	13.6	13.6	15.6	15.7	16.0	17.3	18.2	20.2	21.4	22.3	21.4	22.4	21.8	21.6	19.5	16.8	16.0	15.6	15.1	15.1	17.03
22	14.2	13.2	12.5	12.2	12.3	12.4	12.6	12.7	12.9	13.4	14.0	14.0	15.2	15.5	15.4	15.1	14.9	14.7	14.2	13.6	13.1	12.5	11.9	11.4	13.56
23	11.2	10.9	10.8	10.7	10.6	10.7	10.8	11.2	11.9	13.6	15.0	17.0	17.0	18.6	18.7	19.2	17.0	14.5	14.5	14.0	12.6	12.1	11.6	11.2	13.47
24	10.8	10.6	10.8	10.2	9.7	10.3	11.4	15.3	17.2	18.7	19.1	18.4	19.5	20.6	20.0	18.6	18.4	18.0	17.1	16.0	13.8	12.6	12.2	12.2	14.91
25	11.9	10.5	10.2	10.0	10.0	10.7	11.7	12.9	15.2	16.5	15.9	16.2	15.9	16.4	16.8	16.8	14.9	14.5	13.7	13.2	13.0	12.2	11.7	11.1	13.36
26	10.8	10.2	8.6	8.2	7.5	7.6	8.5	9.9	11.0	12.0	12.5	13.0	12.9	12.2	12.9	13.9	12.2	11.6	11.1	10.5	10.1	9.6	9.0	8.0	10.60
27	8.0	7.6	6.1	5.1	5.7	6.3	8.1	8.9	10.1	11.1	12.2	12.5	13.0	12.1	12.1	14.1	13.0	10.2	9.5	8.7	7.7	7.1	7.6	7.2	9.28
28	6.4	6.5	6.0	6.4	6.3	7.1	9.0	10.2	9.8	10.3	10.7	10.2	11.2	11.9	12.2	12.1	12.4	13.1	12.2	10.2	8.6	7.7	8.3	8.8	9.39
29	9.0	8.4	7.8	8.2	7.8	8.5	9.0	9.4	10.4	10.5	10.8	12.8	12.2	14.1	11.2	12.2	12.2	10.9	10.8	10.0	8.1	7.7	7.6	7.8	9.85
30	7.3	6.4	6.6	6.7	7.5	8.3	8.7	9.1	9.5	9.8	10.1	10.4	10.9	11.4	12.9	13.2	13.7	13.2	12.2	11.1	10.9	10.0	9.5	9.1	9.85
31	7.4	6.3	5.3	4.8	5.5	6.3	8.2	8.7	9.3	9.6	10.6	12.4	13.8	15.4	16.4	17.2	16.9	16.6	14.7	12.3	10.7	9.9	9.2	8.9	10.62
Mittel	8.53	8.13	7.57	7.44	7.48	8.00	9.30	10.78	12.10	13.26	13.92	14.69	15.18	15.81	15.80	15.92	15.58	14.72	13.52	11.99	11.12	10.38	9.74	9.32	11.57

Juni

Datum	1a	2a	3a	4a	5a	6a	7a	8a	9a	10a	11a	Mittag	1p	2p	3p	4p	5p	6p	7p	8p	9p	10p	11p	Mitternacht	Mittel
1	9.2	9.2	8.6	8.6	9.2	10.6	13.3	15.7	17.4	19.1	20.0	21.2	21.9	22.8	23.3	23.8	23.1	23.2	20.8	18.9	16.0	14.9	13.7	13.0	16.26
2	13.0	13.0	12.1	12.0	12.7	13.0	14.8	19.4	21.5	22.8	23.8	23.5	23.5	22.6	17.7	21.0	18.0	17.5	16.5	16.5	15.4	15.3	15.4	15.1	17.16
3	13.7	13.2	13.3	13.3	13.2	13.3	13.7	14.0	16.7	16.3	18.0	18.4	19.9	17.5	16.9	16.9	17.4	18.2	16.0	14.2	14.0	12.8	12.5	12.0	15.22
4	11.5	10.7	10.0	8.9	9.4	11.3	13.4	15.4	17.2	18.5	19.8	18.9	19.8	21.3	20.8	21.9	21.3	21.6	19.9	17.1	15.4	15.7	15.1	14.8	16.07
5	14.5	14.5	12.9	12.9	12.8	13.0	12.5	12.7	13.6	17.2	20.1	20.4	19.8	16.4	21.8	19.8	20.6	20.9	19.3	16.9	14.8	14.3	14.3	14.0	16.19
6	14.1	12.8	12.5	12.1	11.7	12.6	12.5	14.3	19.2	21.6	23.1	22.0	20.4	21.6	23.1	23.0	24.2	23.3	21.1	19.3	18.4	17.9	17.4	16.9	17.96
7	16.8	15.0	14.0	13.2	14.0	15.0	18.2	20.0	22.8	25.0	26.2	27.0	29.7	28.6	29.2	29.2	28.5	26.7	24.8	23.2	21.8	21.7	20.0	18.6	21.84
8	18.0	17.7	16.4	16.2	16.1	15.8	17.4	17.5	18.8	19.1	19.3	18.3	19.1	18.3	17.8	18.2	19.1	19.1	18.2	16.9	16.8	16.0	15.4	14.9	17.56
9	15.0	14.4	13.8	13.6	13.6	14.8	16.1	19.2	20.9	21.8	21.2	22.8	23.0	23.7	24.0	24.1	23.4	22.3	19.4	18.1	17.3	16.5	15.9	15.5	18.61
10	14.9	14.4	14.1	13.5	13.1	13.3	13.8	*14.2*	*16.2*	*15.7*	*15.6*	*15.3*	*14.8*	*16.0*	*16.1*	*15.7*	*14.8*	*14.9*	*14.9*	*14.6*	*14.2*	*13.9*	*13.6*	*13.4*	14.66
11	*13.4*	*13.0*	*12.5*	*12.3*	*12.3*	*12.2*	13.2	13.7	14.6	15.1	15.2	14.8	15.0	15.2	15.3	15.0	14.8	14.5	14.4	14.4	14.4	14.1	13.6	13.2	13.98
12	12.8	12.8	12.7	12.6	12.5	12.7	13.1	13.7	14.5	15.9	17.0	17.6	18.4	18.4	17.9	17.6	17.5	16.9	16.3	15.5	14.8	14.5	14.2	13.8	15.08
13	13.7	13.8	13.2	12.9	13.0	13.3	13.8	13.9	14.4	15.7	17.0	18.4	18.8	19.7	19.7	19.0	19.1	17.5	16.8	15.9	15.4	14.5	14.5	14.3	15.68
14	14.3	14.2	14.0	13.6	13.6	13.8	13.5	12.7	14.1	15.1	16.1	16.1	17.4	17.9	18.1	18.0	16.4	14.9	14.4	13.4	11.1	11.3	11.4	11.1	14.43
15	10.0	10.7	10.8	10.8	10.7	11.5	11.7	12.2	12.8	13.6	11.8	12.5	11.2	12.9	14.5	11.0	10.8	11.7	11.9	11.4	11.1	11.0	11.0	10.9	11.58
16	11.1	11.2	11.2	10.2	10.5	12.0	13.0	14.8	15.8	14.7	14.4	13.3	13.7	13.4	14.4	14.1	14.1	13.9	12.1	11.6	10.6	10.0	10.1	9.3	12.42
17	8.2	7.9	6.9	7.4	7.7	8.1	9.0	10.8	12.0	12.1	11.0	14.4	14.2	12.2	12.9	13.7	13.4	13.4	12.9	10.9	10.0	10.3	9.6	8.6	10.68
18	8.2	8.2	7.5	7.3	7.2	7.4	8.6	9.2	11.2	13.4	13.6	14.8	14.0	13.0	13.2	13.5	13.4	13.2	12.8	11.9	11.6	11.4	10.9	10.7	10.99
19	10.7	10.9	11.1	11.1	11.2	11.7	12.1	13.4	15.7	17.1	19.5	21.3	23.2	23.5	23.8	23.2	23.6	23.6	22.2	20.3	18.6	17.7	17.0	16.9	17.20
20	16.9	17.0	16.7	16.5	16.3	18.0	20.2	*20.0*	*22.3*	*22.4*	*21.2*	*22.4*	23.3	21.6	20.1	20.2	20.6	19.1	17.2	16.0	14.8	14.1	13.7	13.8	18.45
21	12.5	11.4	10.8	10.8	11.0	12.3	14.6	15.7	17.0	17.1	18.2	19.8	19.0	18.5	19.6	19.4	16.0	16.3	16.3	15.5	14.8	14.1	13.7	13.5	15.27
22	13.5	13.4	13.2	12.8	12.2	13.4	15.6	17.2	18.5	19.4	20.4	19.9	21.3	22.1	22.2	21.1	21.7	21.0	20.0	17.9	15.9	14.3	13.5	12.8	17.07
23	12.2	11.3	10.6	10.5	11.3	14.5	15.6	17.9	19.4	20.6	22.2	23.2	24.3	24.2	24.7	24.4	24.6	24.4	22.0	19.9	16.8	15.9	15.1	14.5	18.12
24	13.6	12.7	12.0	11.9	12.1	14.5	17.2	19.0	21.3	19.0	18.9	18.9	19.3	20.8	21.1	21.9	22.0	21.4	20.9	20.0	17.2	17.7	17.1	16.9	17.68
25	16.0	15.1	15.0	14.7	14.7	14.9	16.0	16.7	17.0	18.0	18.7	20.1	21.1	21.8	21.1	20.4	19.2	16.7	16.0	15.9	15.3	14.8	14.9	14.9	17.04
26	14.9	15.0	14.9	14.7	14.7	14.7	14.7	15.2	15.6	15.5	16.4	18.5	20.3	20.7	21.2	22.0	20.3	16.9	17.0	16.1	15.3	14.8	14.3	14.3	16.52
27	13.8	14.0	14.0	13.8	13.5	14.3	16.5	17.8	19.7	20.4	22.1	22.7	22.9	23.0	23.8	23.3	22.9	22.6	21.0	18.8	17.2	16.1	15.6	14.9	18.36
28	15.0	15.0	15.1	14.6	14.7	15.4	18.5	20.5	22.2	23.1	24.6	24.7	24.7	24.8	24.8	25.6	25.1	25.0	23.3	20.7	18.6	17.2	16.1	15.9	20.00
29	15.1	15.1	14.7	14.8	15.1	16.3	18.4	21.2	23.0	24.9	27.0	28.4	28.6	28.3	29.3	29.4	29.4	28.5	26.5	24.3	22.0	20.5	18.9	18.6	22.17
30	17.1	16.8	15.8	15.9	16.0	16.0	15.9	15.5	15.5	15.5	15.6	15.2	14.9	17.2	18.2	13.6	15.6	15.7	15.5	14.2	12.8	12.2	11.8	11.5	15.30
Mittel	13.49	13.18	12.68	12.45	12.54	13.32	14.56	15.72	17.36	18.19	18.93	19.49	19.92	19.93	20.22	20.00	19.70	19.16	18.01	16.68	15.41	14.85	14.34	13.95	16.32

Zeitangaben nach mittlerer Ortszeit

Lufttemperatur — Juli

$h_t = 2.1$ m

Datum	1a	2a	3a	4a	5a	6a	7a	8a	9a	10a	11a	Mittag	1p	2p	3p	4p	5p	6p	7p	8p	9p	10p	11p	Mitternacht	Mittel
1	**11.4**	**11.4**	**11.4**	**11.4**	11.8	12.3	14.0	15.6	17.3	18.6	18.5	**20.2**	19.5	15.5	18.6	19.5	16.7	16.5	16.1	15.6	13.6	13.1	13.0	12.7	15.03
2	12.8	12.9	12.8	12.8	13.0	13.2	15.2	15.9	17.3	17.3	17.0	15.3	18.2	19.7	19.6	**20.6**	**20.6**	18.4	13.4	13.3	13.1	11.7	**11.3**	11.4	15.18
3	**11.5**	11.6	**11.5**	11.6	11.9	12.6	13.4	13.6	14.7	16.4	17.1	18.6	19.2	18.9	18.7	**19.4**	17.8	17.1	16.8	15.0	13.9	12.8	12.2	11.7	14.78
4	11.2	11.3	11.4	11.5	12.1	12.4	13.2	14.1	15.2	15.8	16.7	16.5	18.7	20.5	20.6	**20.9**	20.1	18.5	17.0	15.1	13.7	11.9	11.0	**10.6**	14.87
5	10.2	9.8	9.2	**8.8**	8.9	10.6	12.7	14.6	16.6	17.6	19.2	20.2	21.4	21.1	21.7	**22.5**	22.2	20.6	19.8	17.4	15.9	15.6	15.4	14.5	15.88
6	13.7	12.7	**11.9**	12.0	12.2	12.8	15.7	18.5	20.4	21.2	21.9	22.9	23.5	24.3	24.7	24.7	**25.2**	24.5	23.0	20.2	17.1	15.7	15.5	15.3	18.56
7	14.4	13.9	13.7	**13.4**	**13.4**	14.7	16.6	19.4	21.3	23.5	24.8	25.6	26.3	26.8	**27.5**	27.3	26.7	26.4	24.4	22.7	21.4	20.0	19.6	19.0	20.72
8	17.8	16.6	16.6	16.6	16.6	17.7	21.1	23.4	25.3	26.5	26.9	27.5	27.7	**27.9**	27.1	24.1	17.4	17.6	18.0	17.5	16.6	15.6	15.2	**14.9**	20.45
9	14.7	14.5	14.3	**14.2**	14.7	14.8	15.8	16.3	18.7	19.7	20.3	20.5	22.4	23.3	23.2	**23.4**	22.6	22.4	21.2	19.1	17.2	16.4	15.8	15.7	18.24
10	15.5	15.3	14.9	13.9	**13.7**	14.3	16.3	18.0	20.5	22.4	23.5	23.9	24.6	**25.1**	25.0	25.0	24.7	24.1	22.6	20.0	19.0	18.3	16.8	16.2	19.57
11	15.3	14.9	14.3	**13.8**	14.0	14.7	16.8	20.3	22.8	24.9	26.5	26.8	27.4	27.1	27.6	27.3	**27.8**	26.6	24.5	22.7	20.0	18.9	18.1	17.4	21.07
12	16.8	16.1	15.7	15.0	**14.8**	15.1	18.9	22.1	25.2	27.0	28.0	28.8	29.3	29.8	**30.1**	30.0	29.3	28.4	26.1	**22.9**	20.8	19.6	18.9	18.5	22.58
13	17.9	17.3	16.9	**16.3**	16.4	17.2	19.6	22.2	25.0	27.0	27.2	27.5	**28.7**	**28.7**	28.3	28.4	28.3	26.9	25.5	23.5	21.0	18.7	19.3	17.5	22.55
14	16.0	15.5	15.2	14.6	**14.5**	16.3	17.9	20.5	22.4	23.8	25.6	26.2	26.7	26.8	27.4	**27.5**	26.7	26.3	25.0	22.0	19.4	19.5	18.1	16.9	21.13
15	16.6	16.3	15.9	15.7	**15.6**	16.5	18.2	20.3	22.5	24.0	24.4	25.9	26.7	26.8	**27.4**	27.3	26.8	25.9	24.2	21.2	19.3	18.8	17.6	16.3	21.08
16	16.0	15.4	15.1	**14.8**	14.9	15.3	17.7	20.2	23.1	24.3	25.6	26.2	27.5	**27.7**	27.6	26.5	26.5	26.0	24.5	21.9	20.7	19.6	17.9	17.5	21.15
17	16.5	16.4	**15.6**	**15.6**	15.7	15.7	18.2	21.4	23.8	26.0	26.7	27.3	**27.9**	26.5	27.6	27.8	27.5	27.2	25.5	23.5	21.5	20.5	19.2	18.4	21.98
18	17.8	17.5	**16.4**	**16.4**	16.5	18.3	19.5	22.4	25.4	27.5	28.0	28.6	28.9	29.2	**29.6**	28.4	28.5	27.8	25.8	23.0	22.1	20.1	19.8	18.0	22.96
19	16.9	16.8	15.9	**15.3**	15.9	15.8	19.0	21.2	23.5	26.4	27.8	27.8	28.7	**29.4**	29.0	28.8	28.4	27.7	25.8	18.9	18.7	16.8	15.9	**15.3**	21.75
20	15.1	15.1	14.2	13.2	**12.9**	13.1	**12.9**	13.3	14.0	14.4	14.1	15.3	**15.6**	15.3	15.1	**15.6**	15.2	15.2	14.7	14.7	14.6	14.1	14.1	14.1	14.45
21	**14.1**	14.2	14.2	14.2	14.5	15.1	16.0	20.9	22.2	23.0	25.6	26.0	27.0	26.4	27.3	**27.4**	25.7	24.0	22.1	20.0	18.6	17.2	16.0	14.7	20.02
22	14.6	14.2	13.7	**13.0**	13.1	13.6	15.5	18.1	20.5	22.4	24.3	25.4	**25.6**	25.2	24.3	**25.6**	25.1	23.7	22.6	20.4	18.2	17.2	16.4	15.5	19.32
23	14.9	15.3	**14.2**	14.4	**14.2**	14.8	16.3	18.0	20.4	23.5	23.4	24.8	**25.8**	25.3	20.7	20.6	20.9	21.1	20.8	20.2	19.2	18.6	18.1	17.6	19.14
24	16.9	15.3	14.3	**14.2**	**14.2**	14.5	15.0	16.4	17.8	21.0	22.7	24.7	25.6	25.3	26.9	**27.1**	26.4	26.3	24.5	21.4	18.7	18.0	17.4	17.2	19.98
25	16.5	15.8	15.2	**14.7**	15.0	15.7	17.9	20.6	23.7	25.3	26.1	27.4	**28.3**	27.5	27.9	27.1	26.0	25.2	22.7	21.8	20.0	20.1	19.5	18.9	21.44
26	17.9	16.7	16.0	15.1	**14.8**	15.1	17.1	20.1	23.0	25.5	26.6	27.4	28.3	28.4	**28.9**	28.3	24.4	22.3	21.8	20.3	18.8	17.7	17.2	16.6	21.09
27	16.3	15.9	**15.8**	15.9	16.3	17.1	17.1	17.7	20.9	22.2	23.1	23.8	23.4	23.6	24.0	**24.1**	**24.1**	23.9	23.2	21.2	19.6	18.9	18.4	17.7	20.03
28	17.3	16.8	16.8	15.2	**14.6**	16.4	19.2	22.5	25.0	27.5	29.2	30.6	31.4	31.4	**32.2**	32.0	31.6	30.6	26.7	23.3	22.6	19.3	18.5	18.0	23.46
29	17.6	17.5	17.5	17.3	17.1	17.3	16.7	**15.9**	16.1	16.5	17.0	17.6	18.1	20.3	22.8	**22.9**	22.7	21.6	20.3	19.1	17.5	17.6	16.8	16.0	18.31
30	15.3	14.8	14.0	**13.5**	**13.5**	13.9	16.8	18.4	21.3	22.6	23.9	**24.7**	24.1	23.8	23.8	23.9	23.8	22.3	20.0	19.2	18.4	17.7	17.4	16.6	19.19
31	14.9	14.3	14.2	14.9	**14.1**	14.6	16.3	17.7	18.8	20.7	21.7	22.0	22.8	22.2	22.8	**23.6**	23.1	22.9	21.9	19.9	19.0	18.5	17.8	17.4	18.91
Mittel	15.30	14.91	14.48	**14.17**	14.22	14.89	16.66	18.70	20.80	22.40	23.34	24.06	24.82	24.83	**25.10**	25.08	24.28	23.48	21.95	19.90	18.39	17.37	16.72	16.07	19.51

August

1	17.1	17.2	17.2	16.4	**15.6**	16.3	18.0	20.2	21.7	21.8	**24.1**	22.8	22.4	20.2	21.6	22.1	20.3	20.1	19.3	18.6	18.4	18.0	17.3	17.1	19.25
2	16.2	16.6	16.2	16.0	15.6	15.7	15.7	15.8	15.9	16.1	16.2	16.6	17.0	17.2	17.5	17.7	**18.3**	17.7	17.5	16.8	16.4	15.9	15.7	**15.3**	16.54
3	15.3	15.1	15.0	14.9	14.7	14.6	14.8	15.2	15.8	17.6	20.0	20.6	21.0	22.2	22.4	**22.5**	22.0	20.9	19.2	16.2	14.9	14.2	13.6	**13.3**	17.25
4	13.1	12.9	12.2	11.9	**11.8**	12.5	14.1	15.5	17.9	19.0	21.1	22.3	22.2	23.6	24.1	**24.7**	23.9	23.3	21.5	18.9	17.6	17.3	17.0	15.8	17.90
5	15.2	14.6	13.9	13.5	13.0	13.5	16.4	18.5	20.8	21.9	24.0	**25.3**	20.4	16.4	15.6	15.2	13.8	13.4	13.3	13.3	13.2	13.1	13.1	**12.8**	16.00
6	**12.5**	12.3	11.8	11.0	**10.3**	10.4	12.0	14.0	16.1	17.1	18.5	19.9	20.3	20.4	21.2	**22.0**	21.5	20.6	18.5	16.5	15.8	16.4	15.3	16.0	16.13
7	15.4	14.7	13.4	12.3	**11.7**	12.1	14.5	16.6	19.9	19.8	19.8	19.9	**21.4**	20.9	20.2	18.5	16.6	15.2	14.4	13.7	13.2	12.9	12.9	12.9	15.96
8	12.9	12.9	12.4	12.3	12.1	11.9	**11.7**	11.9	11.8	11.8	12.1	13.5	14.0	14.2	14.1	14.1	**14.5**	**14.5**	14.4	14.0	14.0	13.8	13.7	13.3	13.15
9	13.3	12.5	12.1	11.7	11.8	11.9	12.8	13.6	14.6	14.8	15.4	17.2	17.6	18.8	**19.6**	17.4	17.7	14.3	13.9	12.9	12.2	11.9	11.7	**11.6**	14.18
10	11.3	10.8	10.5	10.4	**10.3**	10.6	11.7	13.5	15.6	16.9	18.1	19.4	**20.3**	19.9	19.4	19.0	18.1	17.5	16.8	15.2	12.9	12.2	11.8	11.4	14.61
11	11.2	11.1	10.8	10.5	**10.3**	10.8	12.2	12.7	12.9	14.0	15.2	17.4	**18.3**	17.4	18.2	**18.3**	17.0	16.1	15.1	14.2	13.7	13.1	12.5	12.5	13.88
12	12.5	12.4	12.2	12.2	12.2	11.5	11.8	12.5	13.8	14.5	15.9	16.1	**17.6**	16.0	16.4	15.9	12.6	12.8	12.8	12.9	12.7	12.4	11.7	**11.4**	13.41
13	11.1	10.4	9.7	8.8	**8.6**	9.0	9.3	12.1	14.0	15.5	**18.0**	17.2	16.2	14.8	14.6	16.0	17.1	16.7	16.0	14.7	13.9	13.4	12.3	11.9	13.31
14	11.3	11.7	11.8	11.5	11.4	11.6	12.2	12.8	14.2	14.9	15.8	15.2	16.4	18.4	**19.0**	18.1	17.7	16.8	14.1	12.0	10.8	10.8	10.4	**10.2**	13.64
15	9.5	9.4	9.2	**9.0**	9.2	9.2	10.0	10.8	12.9	14.8	15.3	**17.0**	14.6	16.6	16.5	15.4	13.8	13.4	13.2	12.5	12.7	12.8	12.5	12.5	12.52
16	12.4	**11.9**	12.0	12.1	12.2	12.3	12.8	12.9	13.3	14.0	15.4	14.9	14.5	15.5	**16.3**	15.2	15.6	14.3	14.3	14.1	13.8	13.3	13.1	12.8	13.66
17	12.8	12.8	**12.4**	12.5	12.5	12.6	13.1	13.2	13.6	14.4	15.5	15.4	14.9	16.2	16.7	17.1	17.1	**17.2**	16.2	15.1	14.4	13.9	13.8	13.9	14.40
18	14.1	13.6	**13.1**	13.2	13.2	13.3	13.3	13.2	14.2	15.9	17.8	20.9	22.4	23.2	23.5	**23.7**	23.2	21.7	19.8	18.2	17.3	16.8	15.8	16.0	17.25
19	15.8	15.7	15.4	15.0	**14.3**	14.5	15.3	15.5	17.3	21.5	23.7	23.3	24.7	**25.3**	24.9	25.1	24.7	23.3	20.3	19.4	19.2	18.8	18.5	17.0	19.38
20	16.7	16.2	16.1	16.3	16.7	16.5	17.3	17.5	17.4	18.3	18.1	17.9	17.2	16.6	17.4	**19.9**	19.8	18.9	17.4	16.1	15.6	15.4	14.8	**14.3**	17.02
21	14.2	14.4	14.5	14.3	14.3	14.2	14.7	16.0	17.4	18.0	16.4	15.7	**18.6**	14.5	13.4	15.1	14.9	13.7	12.1	11.0	10.8	10.6	10.1	**9.8**	14.12
22	9.2	**9.0**	9.3	9.3	9.5	10.1	10.7	11.5	13.0	13.9	15.0	14.5	15.1	**17.2**	15.4	15.7	15.2	14.2	13.2	11.9	11.6	11.4	11.1	10.8	12.30
23	9.8	**9.5**	9.6	9.8	10.2	10.5	11.0	12.1	13.8	15.4	**16.8**	16.2	16.0	15.8	16.7	16.3	15.7	13.6	12.9	12.2	11.6	11.1	11.2	11.2	12.79
24	10.4	10.2	10.1	10.1	**9.9**	10.0	10.0	10.2	10.8	11.2	12.9	12.8	13.5	13.4	14.3	**14.4**	13.9	13.2	12.5	12.2	12.0	11.9	11.8	11.8	11.79
25	**11.8**	12.0	12.1	12.4	12.6	12.8	13.4	14.4	15.3	15.7	15.6	16.6	16.1	16.9	**17.4**	16.8	16.1	15.9	15.4	14.8	14.4	14.2	13.7	13.6	14.47
26	13.5	13.6	13.3	13.2	12.9	**12.8**	13.1	14.4	17.5	19.2	**19.6**	19.5	18.4	17.9	16.5	16.1	16.4	16.7	16.9	16.4	16.3	16.2	15.7	15.0	15.79
27	14.8	14.7	14.0	12.9	12.5	12.5	12.6	13.0	14.4	14.6	**15.6**	15.2	15.2	12.5	11.8	**11.1**	11.3	11.3	11.4	11.4	11.3	11.2	11.3	11.3	12.92
28	11.3	11.5	11.6	11.7	11.9	12.0	12.3	13.1	14.1	14.6	15.3	**17.5**	14.9	14.6	14.9	14.9	15.4	14.1	13.6	12.5	12.6	12.1	11.3	**10.6**	13.19
29	9.9	10.0	**9.3**	**9.3**	9.4	9.4	9.9	11.6	13.9	15.8	17.2	18.5	19.4	20.2	**20.5**	20.4	19.4	18.5	17.0	15.6	15.3	15.4	15.0	13.7	14.61
30	**12.1**	12.7	12.6	12.7	12.9	13.6	13.8	15.8	19.2	21.2	24.2	25.0	**26.0**	25.0	25.6	25.1	22.4	19.7	16.2	14.6	14.2	14.0	13.7	13.5	17.58
31	13.4	13.4	13.4	13.6	13.6	13.8	14.1	14.2	15.1	16.6	17.3	17.0	**17.5**	17.1	17.0	16.4	15.4	14.5	13.9	12.8	11.6	10.4	10.2	**9.6**	14.22
Mittel	12.93	12.77	12.49	12.28	**12.17**	12.34	13.05	14.01	15.43	16.48	17.61	18.11	**18.20**	18.03	18.15	18.07	17.46	16.58	15.58	14.54	14.01	13.71	13.31	13.00	14.94

Zeitangaben nach mittlerer Ortszeit

Lufttemperatur — September

$h_t = 2.1$ m

Datum	1a	2a	3a	4a	5a	6a	7a	8a	9a	10a	11a	Mittag	1p	2p	3p	4p	5p	6p	7p	8p	9p	10p	11p	Mitternacht	Mittel
1	9.0	8.5	8.3	8.2	7.7	7.8	8.5	10.4	12.9	14.2	15.8	16.9	17.5	17.7	17.3	17.3	16.2	15.1	12.5	11.9	10.8	10.5	10.5	10.3	12.22
2	10.3	10.5	7.9	7.4	7.4	7.7	8.6	9.5	11.0	13.9	14.8	15.3	16.6	16.8	17.6	17.2	17.0	15.9	14.6	14.1	12.5	12.7	11.4	10.9	12.48
3	10.7	9.9	9.9	9.9	10.0	10.4	10.9	11.5	12.6	13.9	16.6	17.6	17.6	13.8	14.3	14.7	13.8	13.4	12.8	12.2	12.4	12.3	11.1	10.1	12.53
4	8.9	8.5	8.5	8.4	8.0	8.0	8.7	11.3	15.0	17.7	19.0	19.2	18.1	15.7	15.7	14.8	13.3	12.6	12.5	12.4	12.5	12.6	12.6	12.7	12.67
5	12.6	12.7	11.7	11.3	10.7	10.6	10.8	12.2	14.3	15.2	13.7	15.4	10.7	12.3	10.8	12.3	11.8	10.9	9.9	9.4	9.2	8.5	8.5	8.5	11.47
6	8.4	8.0	7.6	7.7	7.8	8.6	9.2	9.8	10.5	10.5	11.9	12.4	12.5	12.1	12.5	13.2	13.0	11.8	11.2	10.5	9.8	9.5	9.4	9.3	10.23
7	9.4	9.4	9.3	8.8	9.0	9.0	9.4	9.8	10.5	11.0	10.7	12.7	14.5	13.2	10.7	12.6	11.2	11.1	11.1	10.4	10.1	9.5	9.0	8.8	10.42
8	8.7	8.7	8.3	8.4	8.0	7.9	8.0	8.7	10.7	11.6	12.7	13.8	14.4	15.1	13.6	12.6	9.9	8.7	7.8	7.9	8.0	7.8	7.7	7.5	9.81
9	7.2	6.7	6.4	6.1	6.3	6.4	7.0	7.3	7.5	8.9	12.2	11.8	12.0	10.3	9.2	9.5	9.6	7.8	7.3	7.6	7.9	8.0	8.1	8.1	8.27
10	7.9	8.2	8.3	8.4	8.4	8.5	8.5	8.9	9.2	9.4	9.5	10.4	10.4	11.4	10.9	10.9	10.6	9.2	8.7	8.4	8.2	7.4	7.0	7.1	8.96
11	7.2	7.4	7.9	8.0	8.0	8.1	8.3	8.7	11.1	12.0	13.6	14.4	14.4	13.4	13.5	14.5	11.2	9.2	8.9	8.6	8.5	8.1	7.6	7.0	9.87
12	6.5	6.3	5.9	5.9	5.8	5.9	6.1	7.6	9.8	12.0	14.4	15.3	15.8	16.6	13.4	13.5	13.7	12.8	11.1	10.0	9.7	8.6	8.2	7.4	9.97
13	6.6	6.5	6.1	5.7	5.6	5.4	5.7	7.3	10.2	14.0	15.8	16.2	16.2	15.7	15.1	14.7	14.2	13.1	11.8	11.5	11.2	10.9	10.6	10.2	10.71
14	9.7	8.9	8.2	8.0	8.4	8.9	9.1	9.6	10.1	10.7	12.1	12.0	11.7	11.7	11.4	10.6	10.2	10.1	10.3	10.4	10.7	10.8	10.2	9.7	10.15
15	9.7	9.6	9.4	9.4	9.3	9.2	9.4	9.6	9.9	10.3	11.3	11.7	11.1	9.7	12.4	11.6	11.5	10.3	9.9	8.0	6.8	6.6	6.4	6.2	9.56
16	5.9	6.6	7.0	7.0	7.0	6.9	7.3	7.9	9.2	10.5	12.6	14.2	14.8	13.4	14.4	13.8	13.4	11.9	10.3	9.5	9.6	9.4	9.2	9.3	9.89
17	9.3	9.4	9.8	10.4	10.7	10.8	11.0	11.4	11.8	14.1	13.6	14.0	14.4	14.4	13.9	13.9	13.6	12.2	11.7	11.7	11.0	10.5	10.4	10.2	11.74
18	10.2	10.2	10.0	10.0	9.0	9.2	9.6	9.8	10.0	10.9	11.8	12.1	12.2	12.7	13.3	13.0	12.4	11.1	9.9	9.5	9.2	8.9	8.6	6.9	10.43
19	6.1	6.1	6.1	5.9	4.9	4.3	4.4	5.9	9.1	11.3	12.1	11.5	11.9	11.7	12.5	12.3	10.7	8.9	6.8	6.0	4.8	4.5	4.6	5.0	7.77
20	4.9	3.7	3.1	3.7	3.5	2.4	2.5	3.9	7.8	10.6	11.9	12.3	12.7	13.6	13.0	12.4	11.8	10.0	8.2	6.8	4.9	4.2	3.3	2.9	7.16
21	2.3	2.8	2.6	3.1	3.7	3.2	3.7	5.2	9.2	11.3	11.2	12.8	13.7	14.0	14.3	13.2	12.5	11.5	10.1	9.6	9.2	9.1	9.0	9.1	8.37
22	8.9	8.5	8.7	8.0	7.7	8.1	8.5	9.7	10.6	12.0	13.1	13.3	13.4	13.5	13.9	13.9	13.7	11.9	11.4	10.9	9.3	9.3	9.5	9.1	10.64
23	9.0	9.1	9.1	9.1	9.0	9.0	8.4	8.8	9.4	9.8	12.2	14.2	14.2	14.8	11.7	11.2	10.4	10.2	9.8	9.5	9.4	9.3	8.7	8.2	10.14
24	7.6	5.3	4.9	3.7	3.4	3.5	4.2	5.7	8.3	9.6	9.7	10.1	10.6	10.5	10.4	10.2	9.8	9.1	8.6	8.4	8.3	8.1	7.6	7.4	7.73
25	6.7	6.6	6.5	6.4	6.5	6.6	6.7	7.0	7.2	8.7	9.6	9.5	9.5	10.2	10.3	10.3	9.6	7.8	7.1	7.2	7.2	6.4	5.7	6.2	7.72
26	6.3	6.4	6.4	6.5	6.5	6.5	6.7	7.4	8.6	9.8	11.0	11.6	12.0	12.9	12.2	11.0	8.9	7.8	6.8	6.3	6.2	6.0	6.0	5.4	8.06
27	5.5	5.5	5.5	5.1	4.5	4.1	4.6	4.9	6.3	7.0	8.7	10.8	12.1	11.3	11.5	10.7	10.4	9.5	9.1	8.7	8.3	7.6	7.2	7.1	7.66
28	6.8	5.3	4.8	4.5	4.3	3.9	4.1	5.1	8.0	11.0	12.3	13.5	13.2	12.6	12.2	12.1	11.3	10.0	7.1	5.9	5.1	4.5	3.8	3.2	7.67
29	3.2	3.1	2.6	2.6	2.8	2.8	3.6	4.7	8.0	10.8	12.3	13.6	14.7	14.8	14.5	14.3	12.6	10.3	8.8	9.0	7.5	7.0	6.1	5.9	7.95
30	5.6	5.0	5.0	4.6	3.9	3.1	3.1	4.4	7.2	9.8	12.3	13.6	14.4	14.9	15.7	15.4	13.0	11.6	11.0	10.2	10.0	9.8	9.5	9.7	9.15
Mittel	7.70	7.45	7.19	7.07	6.93	6.89	7.22	8.13	9.87	11.42	12.61	13.41	13.58	13.36	13.07	12.92	12.04	10.86	9.90	9.42	8.94	8.61	8.25	7.98	9.71

Oktober

1	9.9	9.9	10.3	10.4	10.7	10.6	10.4	10.2	10.9	13.5	14.4	13.9	14.1	15.0	14.4	14.2	14.3	13.7	12.9	13.0	12.2	11.9	11.4	11.6	12.14
2	12.2	12.7	12.7	12.1	11.7	11.7	11.3	10.9	10.4	10.6	10.9	12.0	11.8	11.3	11.0	9.8	9.6	9.0	8.4	8.1	7.8	7.0	6.4	5.6	10.26
3	5.6	4.6	4.2	4.3	4.5	4.9	5.2	5.4	7.2	8.5	8.6	9.4	8.4	9.1	7.4	6.9	6.5	4.2	3.2	2.3	1.9	-0.1	0.4	-1.1	5.08
4	-1.8	-2.1	-2.2	-2.4	-2.3	-2.5	-2.4	-1.4	1.6	4.7	5.9	7.3	7.8	7.4	7.5	7.4	5.8	3.2	2.4	1.6	1.2	0.0	0.0	-0.6	1.80
5	-0.5	-0.3	-0.2	-0.7	-1.3	-1.0	-0.9	1.0	6.7	7.3	7.7	8.9	9.3	9.9	10.3	9.9	7.7	5.4	4.5	3.6	3.0	3.2	3.1	1.9	3.92
6	0.4	-0.4	-0.9	-1.4	-2.0	-2.2	-2.2	-0.6	3.6	6.1	7.3	7.8	8.4	9.0	8.8	8.3	6.4	3.5	1.5	0.4	-0.4	-0.5	-0.4	-0.8	2.46
7	-0.7	-0.7	-1.1	-1.4	-2.0	-2.5	-2.3	-1.7	0.7	3.7	5.7	8.4	9.3	9.9	9.0	8.7	6.6	4.2	3.6	3.2	3.0	2.8	2.7	2.6	2.84
8	1.9	1.7	1.7	1.2	1.1	0.2	-0.2	1.4	5.4	8.2	10.2	12.1	12.5	13.1	13.6	13.2	11.6	11.2	10.4	8.3	8.7	8.7	7.7	7.6	6.96
9	7.1	6.3	5.5	4.2	4.1	4.0	4.0	4.0	4.5	5.1	6.2	8.5	11.1	11.8	12.8	12.3	9.5	7.5	6.9	6.4	6.1	5.0	3.9	3.4	6.71
10	3.3	3.0	2.7	2.4	1.7	1.4	1.5	1.6	5.4	6.7	7.7	8.4	8.7	8.4	8.0	7.9	7.4	6.9	6.6	6.4	6.2	6.1	6.1	6.0	5.36
11	5.9	6.0	5.9	5.8	5.6	5.4	5.6	5.6	6.8	7.7	8.2	8.1	10.5	9.8	9.4	9.0	6.9	5.4	4.7	4.1	4.1	3.5	3.3	3.2	6.26
12	3.0	2.5	2.3	2.0	-0.5	-0.7	-0.4	0.0	2.5	5.4	6.2	8.1	10.5	11.4	11.7	10.7	7.9	5.4	4.5	4.1	3.6	3.0	2.8	2.9	4.48
13	2.6	2.4	2.8	3.2	3.2	3.1	3.3	4.0	4.9	8.1	9.2	10.6	11.0	11.8	10.9	10.2	9.0	7.1	5.6	4.9	4.6	4.0	3.8	3.8	5.88
14	3.7	3.5	3.1	2.4	1.8	1.6	1.6	1.3	4.1	8.1	11.0	12.4	13.1	14.0	13.1	11.5	10.1	9.4	9.2	9.3	8.9	8.0	8.3	8.3	7.26
15	8.3	8.7	8.6	9.0	9.3	9.8	8.8	8.3	8.9	9.7	10.9	11.3	11.7	11.3	11.1	10.6	9.1	6.5	6.1	5.5	5.2	4.9	4.8	5.1	8.47
16	5.2	5.1	4.7	4.8	5.2	5.4	5.4	6.0	8.1	9.5	10.5	11.4	12.4	12.1	11.9	11.3	10.4	9.6	9.6	8.7	8.8	8.5	8.1	7.0	8.19
17	6.4	5.7	4.7	3.7	3.3	2.8	2.8	3.8	5.5	8.5	10.0	12.6	11.9	10.6	9.9	10.0	10.0	10.0	9.6	9.4	9.1	8.4	7.0	7.0	7.59
18	6.2	6.3	5.7	5.5	5.6	5.2	5.8	6.4	7.4	7.8	9.7	9.7	10.1	9.7	10.5	9.7	8.1	7.2	6.2	5.6	6.2	6.1	5.4	4.9	7.12
19	4.7	4.2	3.7	3.2	3.3	3.2	3.4	5.0	6.5	6.9	8.1	7.7	7.6	7.2	7.2	7.2	7.7	7.6	7.3	6.8	6.6	5.9	5.2	4.8	5.84
20	4.9	4.6	4.5	4.4	4.3	3.7	3.8	4.7	5.5	5.9	6.9	8.0	9.8	10.1	10.1	8.4	7.3	6.1	6.1	6.1	6.2	6.1	6.0	6.0	6.17
21	5.7	4.6	4.0	3.3	3.2	3.1	3.0	3.6	5.4	7.6	9.5	11.1	11.6	12.1	11.4	9.8	8.0	5.7	5.5	5.4	5.2	5.0	4.4	3.7	6.32
22	3.5	3.4	2.8	2.5	2.5	2.2	2.1	2.3	3.7	5.8	6.8	8.7	9.9	9.4	8.9	8.5	7.8	7.7	8.0	8.0	8.1	7.3	7.8	8.1	5.98
23	9.3	9.7	8.8	7.7	7.5	7.0	6.5	6.1	6.1	6.4	6.3	6.3	6.3	6.2	5.8	5.7	5.6	5.4	5.1	4.9	4.8	4.3	4.0	4.0	6.32
24	3.9	3.8	3.7	3.6	3.6	3.4	3.4	3.5	*4.5*	5.8	6.7	7.1	7.7	7.7	7.9	7.1	6.0	5.3	4.9	5.1	5.2	5.2	5.1	5.0	5.17
25	4.7	4.3	4.0	3.7	3.4	3.2	2.9	2.4	2.2	2.3	3.1	3.5	3.5	3.5	3.2	2.6	2.4	2.3	2.1	2.0	2.1	2.1	1.9	1.8	2.97
26	1.7	1.6	1.6	1.6	1.5	1.4	1.5	1.5	1.7	2.0	2.4	2.5	2.7	2.8	2.8	2.6	2.5	2.3	2.3	2.0	1.9	1.6	1.6	1.7	1.98
27	1.8	1.8	1.8	1.9	2.0	2.3	2.5	2.6	2.6	2.9	3.7	4.8	5.3	5.5	5.8	5.9	6.3	7.2	7.8	8.1	8.6	9.0	9.2	9.4	4.82
28	9.9	9.9	9.6	9.0	8.4	7.5	7.4	7.5	8.7	10.5	11.2	*13.2*	*14.3*	15.7	15.7	14.0	13.0	12.7	11.9	12.0	11.9	11.8	11.4	12.1	11.15
29	12.7	11.8	11.2	11.1	10.7	10.8	10.0	9.9	10.8	11.8	14.0	15.3	15.1	15.5	15.3	15.5	15.4	15.5	15.2	13.9	13.5	12.9	12.6	11.6	12.97
30	11.7	12.2	12.2	11.8	11.3	11.0	11.0	11.1	11.1	11.5	11.4	12.2	12.9	13.9	14.5	14.4	14.1	13.7	13.1	12.5	12.2	11.9	11.3	10.6	12.21
31	9.9	9.5	9.5	9.4	9.4	9.1	9.1	9.2	9.6	10.6	10.9	11.8	11.7	11.3	11.2	10.2	9.2	9.1	8.3	8.0	8.2	7.9	7.4	7.2	9.53
Mittel	5.26	5.04	4.77	4.46	4.22	4.04	4.00	4.37	5.90	7.39	8.43	9.45	10.03	10.21	10.04	9.47	8.46	7.42	6.89	6.44	6.28	5.85	5.57	5.30	6.59

Zeitangaben nach mittlerer Ortszeit

Lufttemperatur — November

$h_1 = 2.1$ m

Datum	1a	2a	3a	4a	5a	6a	7a	8a	9a	10a	11a	Mittag	1p	2p	3p	4p	5p	6p	7p	8p	9p	10p	11p	Mitternacht	Mittel
1	7.3	7.3	7.4	5.5	4.5	3.1	2.2	1.9	2.8	3.9	4.4	4.8	5.5	5.5	4.8	3.9	1.9	1.5	1.5	1.1	1.1	1.0	1.3	1.4	3.71
2	1.5	1.8	2.2	2.3	2.4	2.6	2.5	2.6	1.8	2.7	3.6	4.7	5.1	6.1	5.4	4.7	3.4	3.1	2.2	2.0	1.8	2.0	2.2	2.4	2.90
3	2.5	2.4	2.3	2.0	2.0	1.4	1.1	1.0	1.6	2.7	3.7	4.0	4.3	5.3	4.4	3.4	0.9	0.7	0.1	-0.5	-0.6	-0.7	-1.0	-1.2	1.77
4	-1.7	-1.8	-2.0	-2.2	-2.5	-2.9	-2.7	-1.1	0.4	1.4	2.4	2.4	3.1	3.6	3.7	3.7	3.4	3.3	3.5	3.1	3.2	3.3	3.5	3.7	1.18
5	3.9	3.9	3.0	2.2	1.5	1.1	0.7	1.2	2.0	3.2	3.7	4.3	4.8	5.7	6.0	6.2	5.3	3.6	2.4	2.0	1.7	1.5	1.8	1.6	3.08
6	1.1	0.7	-0.5	-1.0	-0.9	-0.2	-0.2	-0.4	-0.3	0.6	2.1	3.1	3.7	3.6	2.9	2.2	0.8	0.1	-0.6	-1.3	-1.6	-2.3	-2.5	-2.6	0.32
7	-3.0	-3.2	-3.1	-2.9	-2.9	-3.6	-4.6	-4.5	-3.1	-1.4	-1.3	-1.1	-1.1	-1.0	-1.1	-1.3	-1.8	-2.0	-1.9	-2.0	-2.2	-2.9	-2.8	-2.7	-2.40
8	-2.5	-2.4	-2.4	-2.3	-2.0	-1.7	-1.5	-1.1	-0.5	0.4	0.5	0.4	0.3	0.4	0.4	0.5	0.6	0.7	0.9	1.2	1.6	2.0	2.3	2.8	-0.16
9	3.7	3.9	4.5	5.2	5.7	5.7	5.2	4.9	5.4	6.0	6.4	6.4	7.1	7.0	6.7	5.7	3.8	2.9	3.6	3.9	4.2	4.8	4.5	4.6	4.98
10	4.6	4.7	4.7	4.5	4.4	4.3	4.5	4.8	5.1	5.8	6.3	6.7	7.3	7.5	7.7	7.7	7.9	7.8	7.6	7.5	7.1	7.0	6.8	6.4	6.13
11	6.2	5.6	4.9	4.8	4.9	4.9	4.8	5.0	5.2	5.5	5.8	6.6	6.3	4.1	2.1	1.9	1.2	1.1	1.2	1.0	1.4	1.4	1.3	1.1	3.79
12	0.8	1.1	0.6	-0.5	-0.2	-0.6	-0.2	-0.2	0.5	1.2	3.5	4.3	5.5	5.3	4.5	3.9	2.7	1.3	0.7	0.7	0.8	0.3	-0.3	0.0	1.47
13	-0.4	-1.1	-1.2	-1.5	-1.4	-1.2	-0.8	-0.2	0.3	1.1	1.9	2.7	2.9	3.0	3.0	2.9	2.3	2.3	1.5	0.8	2.0	2.7	2.6	1.9	1.04
14	1.6	1.1	0.7	1.1	1.2	0.8	1.0	1.2	2.0	3.5	4.5	5.4	5.3	4.6	3.7	4.3	4.3	4.3	4.2	4.1	2.6	2.3	2.3	2.5	2.82
15	2.9	3.2	3.6	3.8	4.1	4.2	4.2	3.9	4.2	4.4	4.8	5.5	6.2	6.4	5.9	4.9	4.8	4.6	4.5	4.2	4.2	3.7	3.5	3.9	4.32
16	3.9	3.5	3.4	3.4	3.5	3.9	4.0	4.1	4.5	4.7	5.8	5.8	5.4	5.5	5.1	4.9	4.7	4.5	4.5	4.5	4.6	4.4	4.4	4.3	4.45
17	3.9	3.6	3.5	3.3	3.2	3.1	3.0	2.6	3.0	3.6	4.3	4.8	5.3	5.3	5.3	5.0	4.5	4.4	4.4	4.5	4.4	4.0	3.9	4.0	4.05
18	4.2	4.1	3.7	3.6	3.4	3.4	3.2	3.0	3.3	4.2	5.4	6.7	7.3	6.7	5.9	4.9	4.5	3.5	2.7	1.4	0.5	-0.7	-2.1	-2.4	3.38
19	-2.5	-2.1	-2.6	-2.7	-2.8	-3.0	-3.0	-3.2	-2.0	-0.9	-0.2	0.9	2.4	2.5	2.7	3.3	4.0	4.1	3.8	3.4	2.9	2.9	2.6	2.3	0.42
20	2.6	2.8	3.0	3.0	3.2	3.6	3.9	3.9	4.0	4.3	4.6	5.3	5.2	5.4	5.0	4.9	4.6	4.6	4.6	4.4	4.4	4.2	4.3	4.1	4.09
21	3.8	3.7	3.6	3.5	3.4	3.5	3.5	3.6	3.6	3.7	4.3	4.7	5.0	5.2	4.5	4.0	3.4	3.0	2.7	2.7	1.4	0.3	0.8	1.1	3.32
22	0.2	-0.8	-1.1	-0.4	-0.1	0.3	0.8	-0.8	-0.1	0.7	1.2	1.6	3.8	4.3	3.2	1.8	0.8	-0.2	-0.7	-0.2	-0.1	0.1	0.7	0.9	0.68
23	0.8	1.0	1.0	1.1	0.8	0.7	0.8	0.8	1.1	1.7	3.5	5.4	5.2	4.6	4.0	2.8	1.6	1.3	1.2	0.9	0.1	0.0	-0.2	-0.3	1.63
24	-0.8	-0.9	-1.3	-1.6	-1.6	-1.9	-1.6	-2.0	-1.5	1.0	1.5	2.5	3.6	3.4	3.0	2.3	2.0	2.2	1.9	2.5	2.1	2.2	2.2	3.2	0.88
25	3.3	3.4	3.8	3.7	3.6	3.2	3.2	3.2	3.3	3.7	5.0	6.0	5.6	5.4	4.9	4.6	4.5	4.5	4.8	4.9	4.7	4.0	4.0	4.0	4.18
26	3.3	3.2	3.5	3.7	3.9	3.8	4.1	3.9	4.2	4.6	5.0	5.2	6.0	6.0	5.3	4.7	4.8	5.0	4.7	5.1	4.9	5.1	5.3	5.4	4.59
27	5.3	5.7	6.1	5.8	5.2	5.6	5.1	5.2	6.0	6.3	6.5	6.9	7.8	7.8	7.8	7.7	7.6	7.1	6.8	6.0	5.5	4.7	3.5	3.1	6.02
28	2.6	2.1	1.7	1.2	1.3	2.1	2.8	2.8	3.0	3.8	3.3	4.0	4.5	4.5	4.0	3.6	3.0	2.6	2.8	2.8	2.8	2.1	2.1	1.5	2.80
29	0.2	-0.8	-0.2	-0.9	-1.9	-1.8	-1.6	-2.0	-1.5	0.4	0.9	2.0	2.3	2.4	1.4	0.1	-0.7	-0.9	-0.9	-0.9	-0.8	-0.9	-0.8	-0.8	-0.25
30	-0.8	-1.1	-0.7	-0.5	0.5	0.8	1.0	1.3	1.7	2.3	2.9	4.2	5.3	5.8	5.0	4.1	4.0	3.5	3.4	3.3	2.7	2.6	2.2	2.3	2.20
Mittel	1.95	1.82	1.74	1.57	1.55	1.51	1.51	1.51	2.00	2.84	3.54	4.21	4.70	4.73	4.24	3.78	3.16	2.82	2.60	2.44	2.25	2.04	1.95	1.95	2.58

Dezember

1	2.4	2.0	1.5	1.1	1.0	1.2	1.2	1.0	1.5	1.9	2.6	2.8	1.5	1.0	0.9	0.9	0.5	0.1	-0.3	-0.3	0.7	0.3	-0.2	-0.6	1.08
2	-1.2	-1.3	-1.1	-1.6	-1.4	-1.7	-0.7	-0.2	0.2	1.2	1.8	2.2	2.3	2.5	2.1	1.1	0.8	1.5	2.3	2.3	2.6	3.2	2.9	2.5	0.87
3	1.4	1.0	1.3	0.4	0.2	0.5	0.4	0.0	0.4	1.6	3.0	3.3	3.1	3.2	3.4	3.3	3.3	3.2	3.4	3.4	3.5	2.3	2.0	1.9	2.08
4	2.0	2.2	1.9	2.6	2.9	2.8	2.6	2.5	2.6	2.9	3.0	3.9	5.3	5.1	4.3	2.6	2.5	1.7	1.4	1.6	2.0	2.1	2.1	2.0	2.66
5	2.0	1.9	1.9	1.8	1.7	1.4	1.2	-0.3	0.0	0.9	2.6	4.5	5.4	4.8	3.7	2.2	0.9	0.2	0.5	0.1	-0.1	-0.5	-0.7	-1.2	1.48
6	-1.4	-1.8	-2.2	-1.7	-1.6	-1.6	-1.6	-1.3	-0.4	0.4	2.0	3.3	3.6	3.4	1.2	1.3	0.6	-0.4	-0.3	-1.6	-1.8	-1.9	-2.5	-2.5	-0.40
7	-2.3	-2.3	-2.2	-2.5	-2.8	-2.9	-3.4	-1.8	-1.1	-0.6	0.0	0.7	1.0	1.0	0.8	0.4	0.3	0.7	1.0	1.3	1.8	1.7	2.2	2.2	-0.37
8	2.1	2.0	1.6	1.1	0.2	-0.5	-0.4	-0.9	-1.3	-0.4	0.3	4.1	5.2	5.2	3.2	2.2	1.9	1.5	2.1	2.1	1.8	1.5	1.7	2.0	1.62
9	1.9	1.7	2.1	2.1	2.1	2.3	2.4	2.4	2.9	4.2	4.4	5.1	5.7	6.6	7.0	6.6	5.7	4.7	4.1	4.7	4.3	3.3	2.8	1.8	3.72
10	1.3	-0.1	-0.8	-1.8	-2.4	-2.3	-2.7	-2.8	-2.3	-1.1	0.2	3.8	4.1	3.2	3.2	3.1	3.4	3.5	3.1	3.1	3.0	2.4	2.5	2.8	1.13
11	2.7	3.1	3.5	3.6	3.8	3.8	4.0	4.1	4.2	4.3	4.3	4.5	4.6	4.7	4.7	4.6	4.5	4.4	4.2	4.1	4.0	3.6	3.4	3.5	3.96
12	3.6	3.6	3.5	3.4	3.5	3.4	3.6	3.6	3.7	4.5	5.1	5.7	5.7	6.2	6.4	6.5	6.5	6.1	6.0	6.0	6.2	6.3	5.5	4.4	4.90
13	3.9	3.2	3.6	3.9	3.3	3.3	3.3	2.6	3.3	3.4	5.2	6.3	6.5	6.4	6.2	6.3	6.3	5.9	5.5	5.1	4.4	4.3	4.8	5.1	4.66
14	5.3	5.5	4.8	5.1	5.2	5.4	5.4	5.6	6.0	7.2	8.2	7.8	8.0	8.4	8.6	9.0	10.1	10.8	11.5	10.7	11.1	8.3	8.2	8.4	7.59
15	8.6	8.0	7.6	6.9	6.7	7.1	10.0	10.3	10.4	10.5	10.1	9.8	9.5	9.0	7.8	7.0	6.6	6.5	6.7	6.8	6.8	6.7	6.8	7.2	8.07
16	7.2	7.6	6.9	6.2	6.8	7.1	7.2	7.5	7.4	7.3	6.7	6.6	6.3	6.2	6.0	5.5	4.0	3.8	3.1	2.4	2.4	1.8	1.7	1.7	5.46
17	1.6	1.0	1.0	1.0	0.3	0.3	0.3	0.1	0.1	1.0	1.9	3.2	3.5	3.4	2.9	2.7	2.0	1.1	1.4	0.5	1.0	1.2	1.7	1.5	1.46
18	1.6	1.0	1.1	0.9	1.0	1.5	2.4	2.1	2.2	3.1	3.7	3.8	3.8	3.7	3.2	3.1	3.3	3.1	2.9	2.9	3.5	1.4	0.8	0.9	2.34
19	1.1	0.8	1.1	2.0	1.8	2.1	1.8	1.6	2.1	2.3	2.8	3.4	3.6	3.6	2.9	2.4	1.2	2.0	2.4	2.9	3.2	3.2	3.7	3.9	2.35
20	4.1	3.5	3.2	3.2	3.0	2.9	2.1	2.8	2.7	3.6	3.9	5.0	6.0	5.8	4.4	2.8	2.0	1.5	0.8	0.6	0.9	0.7	0.3	0.3	2.80
21	0.0	0.0	-0.5	-2.7	-2.0	-0.7	-1.0	-1.7	-1.2	0.5	3.0	3.2	5.3	5.2	4.0	3.1	2.5	3.3	1.5	1.3	0.2	-0.2	-0.7	-1.2	0.86
22	-1.2	-1.1	-1.6	-1.5	-2.4	-2.5	-1.7	-2.0	-1.7	-0.7	1.3	3.4	4.6	4.5	3.3	2.4	1.7	1.1	0.8	0.7	0.4	0.5	0.2	1.2	0.34
23	1.6	1.7	2.0	2.2	3.2	3.4	3.8	3.9	3.9	4.2	5.1	7.5	8.2	8.2	6.1	4.6	3.8	3.2	3.0	2.5	2.0	2.2	2.0	1.9	3.66
24	1.6	2.0	2.7	2.4	2.1	1.9	2.0	1.5	1.8	2.9	3.7	4.7	6.3	6.4	5.1	4.2	4.5	5.5	5.8	5.5	4.8	4.5	4.1	4.1	3.68
25	4.6	4.9	6.0	6.4	6.7	6.8	7.0	6.7	6.4	6.6	7.8	8.8	8.9	8.7	7.5	7.0	6.9	7.2	7.5	7.8	6.1	5.8	6.5	7.4	6.80
26	8.9	9.6	10.0	9.6	8.0	7.7	6.4	5.2	4.9	5.4	6.1	7.1	7.9	7.6	6.8	5.5	5.0	5.2	5.3	5.5	5.8	6.3	6.2	5.9	6.77
27	5.2	5.1	5.0	5.0	4.9	4.8	4.9	4.9	4.9	4.9	4.9	5.1	5.3	5.5	5.4	5.2	5.0	4.4	4.7	4.5	3.4	2.7	2.8	2.8	4.69
28	2.9	3.1	3.4	3.6	2.9	3.6	3.6	3.9	4.4	5.1	5.5	6.5	8.2	9.5	9.9	10.3	10.5	10.4	10.1	9.4	9.6	10.0	10.0	9.9	6.76
29	9.7	9.6	9.6	9.4	9.4	9.1	8.7	8.0	8.1	8.6	9.5	9.7	10.3	10.8	10.0	8.6	7.7	7.2	6.8	7.8	8.4	8.4	9.0	7.0	8.85
30	5.6	4.5	3.7	3.8	3.4	4.0	5.0	5.0	5.0	5.6	6.1	6.2	6.4	5.6	4.8	5.2	5.4	5.7	5.4	5.6	5.0	5.1	5.2	4.9	5.17
31	5.0	4.9	4.9	4.0	3.4	4.1	4.4	3.6	3.3	4.6	5.3	6.1	6.2	6.4	5.8	4.9	4.9	4.5	4.1	4.1	4.2	4.1	3.4	3.1	4.57
Mittel	2.96	2.80	2.76	2.58	2.42	2.53	2.65	2.51	2.72	3.42	4.20	5.10	5.56	5.54	4.89	4.34	4.01	3.86	3.77	3.66	3.59	3.27	3.17	3.06	3.54

Zeitangaben nach mittlerer Ortszeit

Dampfdruck — Januar

$h_t = 2.1$ mm

Datum	1a	2a	3a	4a	5a	6a	7a	8a	9a	10a	11a	Mittag	1p	2p	3p	4p	5p	6p	7p	8p	9p	10p	11p	Mitternacht	Mittel
1	4.3	4.4	4.5	4.5	4.5	4.7	4.9	5.1	5.2	5.4	5.3	5.6	5.9	6.0	6.0	6.0	6.1	6.2	5.9	5.9	6.0	5.9	6.0	6.0	5.38
2	6.1	6.0	6.0	6.1	6.2	6.6	6.9	6.9	7.3	7.2	7.3	7.2	7.3	7.0	6.8	6.8	6.8	7.0	6.9	6.9	6.9	6.8	6.8	6.9	6.74
3	6.8	6.7	6.4	6.5	6.5	6.5	6.4	6.3	6.4	6.0	5.8	5.8	6.0	6.3	6.7	6.8	7.0	6.5	5.7	5.1	5.3	5.4	5.4	5.3	6.18
4	5.4	5.0	5.2	5.2	5.3	5.3	5.3	5.2	5.2	5.3	5.3	5.1	5.3	5.2	5.1	5.2	5.3	5.2	5.2	5.2	5.3	5.4	5.5	5.5	5.26
5	5.5	5.5	5.5	5.4	5.4	5.3	5.2	5.1	5.0	5.1	5.7	6.8	6.9	6.8	6.7	6.4	6.1	6.1	6.1	6.1	6.1	5.4	5.4	5.5	5.78
6	5.2	4.9	5.1	4.9	5.1	5.3	5.0	4.9	4.7	4.6	4.4	4.5	4.3	4.7	4.4	5.0	5.2	4.9	4.6	4.6	4.5	3.8	3.7	3.4	4.69
7	3.4	3.3	3.2	2.9	2.9	2.9	2.9	2.7	2.7	2.6	2.5	2.5	2.4	2.5	2.4	2.1	2.1	2.1	2.2	2.3	2.7	2.5	1.9	1.8	2.60
8	1.6	1.7	1.9	1.9	2.1	2.4	2.7	2.5	2.8	2.8	3.1	3.2	3.4	3.5	3.3	3.1	2.9	2.8	2.9	2.9	3.1	3.1	3.2	3.4	2.72
9	3.3	3.3	3.1	3.1	3.0	2.9	3.0	3.0	3.1	3.2	3.3	3.4	3.6	3.5	3.4	3.4	3.3	3.3	3.3	3.2	3.3	3.2	3.2	3.1	3.24
10	3.1	3.1	3.0	2.9	2.6	2.3	2.3	2.1	2.1	2.1	2.5	2.6	2.5	2.7	2.5	2.4	2.2	2.2	2.0	1.9	2.0	1.8	1.8	1.9	2.39
11	1.8	1.6	1.5	1.4	1.4	1.5	1.4	1.2	1.3	1.5	1.5	1.8	2.0	2.2	1.8	1.9	1.7	1.7	1.7	1.6	1.9	1.8	1.9	1.9	1.68
12	1.9	2.0	1.9	1.9	1.9	1.8	1.9	1.7	1.8	1.8	1.9	1.7	1.6	1.6	1.6	1.5	1.5	1.5	1.5	1.4	1.6	1.4	1.4	1.4	1.68
13	1.3	1.2	1.2	1.1	1.1	1.1	1.2	1.0	1.0	1.1	1.2	1.2	1.4	1.7	1.5	1.5	1.4	1.4	1.3	1.4	1.4	1.3	1.3	1.3	1.28
14	1.2	1.3	1.2	1.2	1.2	1.2	1.2	1.1	1.1	1.1	1.2	1.2	1.3	1.4	1.2	1.2	1.3	1.3	1.2	1.2	1.4	1.3	1.3	1.3	1.22
15	1.2	1.2	1.2	1.2	1.2	1.2	1.3	1.2	1.1	1.2	1.3	1.3	1.4	1.5	1.3	1.4	1.4	1.4	1.4	1.4	1.5	1.3	1.3	1.2	1.30
16	1.2	1.2	1.1	1.1	1.0	1.0	1.3	1.2	1.5	1.4	1.6	1.5	1.6	1.7	1.6	1.5	1.5	1.5	1.6	1.4	1.6	1.4	1.5	1.7	1.40
17	1.7	1.6	1.6	1.7	1.6	1.5	1.6	1.4	1.4	1.4	1.3	1.4	1.4	1.5	1.4	1.3	1.2	1.2	1.2	1.3	1.5	1.5	1.7	1.9	1.48
18	1.9	2.0	2.0	2.1	2.1	2.1	2.2	1.9	1.8	1.8	1.8	1.9	2.0	2.1	2.0	2.0	1.7	1.7	1.7	1.6	1.7	1.6	1.6	1.6	1.87
19	1.5	1.4	1.4	1.4	1.4	1.3	1.4	1.3	1.2	1.3	1.3	1.4	1.6	1.6	1.6	1.8	2.0	2.0	1.8	1.8	2.0	2.0	1.9	1.9	1.60
20	2.0	1.9	1.9	1.9	1.9	1.9	1.9	1.7	1.7	1.8	2.0	2.1	2.3	2.2	2.2	2.4	2.4	2.4	2.6	2.5	2.7	2.6	2.6	2.8	2.17
21	2.8	2.8	3.3	3.7	3.5	3.3	3.3	3.0	3.0	3.0	3.1	3.2	3.2	3.2	3.2	3.2	3.7	3.7	3.3	3.5	4.1	4.7	5.1	5.1	3.47
22	5.2	5.3	5.4	5.4	5.4	5.3	5.4	5.2	5.2	5.3	5.0	5.0	5.0	5.0	5.0	4.9	5.0	5.0	4.4	4.8	4.9	4.9	4.7	4.8	5.06
23	4.8	4.8	4.7	4.7	4.6	4.6	4.6	4.6	4.6	4.6	4.7	4.7	4.8	4.8	4.7	4.6	4.6	4.6	4.7	4.8	4.7	4.7	4.7	4.7	4.69
24	4.7	4.7	4.7	4.7	4.7	4.7	4.7	4.7	4.8	4.8	5.0	5.3	5.1	5.0	4.8	4.7	4.6	4.6	4.7	4.7	4.9	4.9	4.9	4.7	4.79
25	4.8	4.4	4.6	4.2	4.4	4.2	4.4	4.3	4.6	4.5	4.6	4.6	5.0	5.0	5.0	4.9	4.9	4.9	4.7	4.5	4.4	4.4	4.4	4.6	4.60
26	4.8	4.7	4.5	4.8	4.7	4.8	5.0	5.2	5.3	5.3	5.4	5.4	5.4	5.5	5.4	5.1	5.2	5.2	5.2	5.3	5.2	4.6	4.3	3.8	4.99
27	3.3	3.5	3.4	3.4	3.5	3.2	3.1	2.8	2.9	2.9	2.7	2.6	2.5	2.3	2.4	2.3	2.3	2.3	2.3	2.3	2.4	2.4	2.2	2.2	2.76
28	1.9	1.8	1.7	1.9	2.0	2.1	2.2	2.1	2.2	2.4	2.6	2.5	2.7	2.7	2.9	3.0	3.1	3.1	3.2	3.2	3.1	3.0	2.9	3.0	2.54
29	3.2	3.4	3.4	3.4	3.5	3.6	3.7	3.6	3.6	3.6	3.6	3.7	4.0	4.4	4.4	4.6	4.6	4.6	4.6	4.6	4.7	4.6	4.6	4.2	3.97
30	4.1	3.4	3.0	2.7	2.5	2.4	2.5	2.4	2.4	2.6	2.6	2.8	2.6	2.7	2.7	2.8	2.9	2.9	2.5	2.4	2.6	2.4	2.4	2.6	2.76
31	2.6	2.8	2.7	2.8	2.9	2.9	3.0	3.1	3.2	3.6	3.9	4.0	4.1	4.2	4.2	4.3	4.0	4.0	3.6	3.5	3.3	3.2	3.1	3.2	3.39
Mittel	3.31	3.25	3.23	3.22	3.23	3.22	3.29	3.18	3.23	3.27	3.35	3.42	3.50	3.56	3.49	3.49	3.48	3.46	3.35	3.33	3.45	3.33	3.31	3.31	3.34

Februar

Datum	1a	2a	3a	4a	5a	6a	7a	8a	9a	10a	11a	Mittag	1p	2p	3p	4p	5p	6p	7p	8p	9p	10p	11p	Mitternacht	Mittel
1	3.1	3.0	3.0	3.0	2.9	2.9	3.0	3.2	3.3	3.3	3.0	2.5	2.4	2.7	2.6	2.7	2.9	3.2	3.2	3.5	3.6	3.5	3.7	3.9	3.09
2	3.9	2.6	2.4	2.3	1.9	1.8	1.7	1.4	1.3	1.3	1.4	1.3	1.3	1.4	1.3	1.3	1.3	1.3	1.4	1.4	1.5	1.1	1.0	1.1	1.70
3	1.1	1.1	1.0	1.1	1.1	1.1	1.2	1.1	1.3	1.3	1.2	1.1	1.1	1.2	1.1	1.1	1.0	0.9	0.9	0.9	1.1	0.9	0.8	0.8	1.06
4	0.9	0.9	0.9	0.9	0.9	0.8	1.0	0.9	0.9	1.1	1.4	1.1	0.9	0.9	0.8	0.9	0.9	0.9	0.8	0.8	0.9	0.7	0.8	0.7	0.90
5	0.8	0.7	0.7	0.7	0.7	0.7	0.9	0.8	0.8	0.9	1.0	1.0	1.1	1.3	1.3	1.2	1.2	1.1	1.1	1.2	1.4	1.3	1.3	1.3	1.01
6	1.4	1.5	1.6	1.7	1.8	2.0	2.2	2.2	2.3	2.6	2.9	3.4	3.7	3.7	3.8	3.7	4.0	4.0	4.1	4.0	3.9	4.0	4.0	4.0	2.95
7	4.0	4.0	4.3	4.8	4.9	4.9	4.5	4.4	4.3	4.6	4.9	5.4	5.3	5.7	5.8	5.7	5.8	5.8	5.6	5.6	5.6	5.6	5.3	5.2	5.04
8	4.7	4.7	4.5	4.4	4.3	4.2	4.2	4.2	4.4	4.8	4.7	5.0	5.2	5.4	5.4	5.6	5.5	5.3	5.2	5.2	5.0	4.9	4.9	4.8	4.87
9	4.8	4.7	4.7	4.7	4.7	4.7	4.5	4.6	4.6	5.0	4.9	5.2	5.4	5.3	5.5	5.4	5.4	5.2	5.0	4.9	4.9	5.2	5.3	5.0	4.98
10	5.0	4.9	5.5	5.4	5.0	5.0	4.9	5.4	6.2	6.0	5.5	5.9	6.2	6.0	6.2	6.1	6.1	6.1	6.2	6.1	6.0	6.1	5.8	5.2	5.67
11	5.2	5.3	5.0	4.9	4.8	4.0	4.0	4.1	4.5	4.5	4.8	4.9	5.3	5.4	5.4	5.4	5.3	5.2	5.1	4.9	4.8	4.7	4.6	4.6	4.88
12	4.5	4.6	4.5	4.5	4.5	4.6	4.6	4.6	4.7	4.7	4.8	4.9	5.0	5.2	5.2	5.2	5.2	5.1	5.0	5.0	4.9	4.9	4.8	4.8	4.82
13	4.8	4.7	4.7	4.7	4.7	4.6	4.7	4.6	4.7	4.9	4.9	5.0	4.9	4.8	4.8	4.8	4.7	4.9	4.9	4.8	4.8	4.7	4.7	4.7	4.77
14	4.6	4.4	4.5	4.4	4.4	4.3	4.4	4.4	4.5	4.5	4.7	4.7	4.7	4.7	4.8	4.8	4.7	4.7	4.7	4.6	4.7	4.7	4.7	4.6	4.60
15	4.6	4.6	4.6	4.6	4.5	4.5	4.5	4.5	4.6	4.6	4.8	4.6	4.7	4.7	4.7	4.7	4.6	4.6	4.7	4.6	4.7	4.6	4.6	4.5	4.61
16	4.5	4.3	4.2	4.2	4.2	4.1	4.1	4.0	3.9	3.6	3.5	3.5	3.6	3.6	3.9	3.9	4.0	4.1	4.2	4.2	4.1	4.0	4.0	4.1	4.01
17	4.3	4.4	4.6	4.5	4.7	4.7	4.7	4.8	4.9	5.2	5.6	6.0	6.2	6.7	6.9	6.8	6.7	6.6	6.5	6.3	6.1	6.0	5.9	5.9	5.56
18	5.8	5.6	5.6	5.3	4.9	4.8	4.7	4.7	4.8	5.0	4.8	4.7	5.2	5.2	4.8	4.9	5.6	5.8	6.0	6.1	6.1	6.2	6.1	6.0	5.38
19	6.2	6.1	5.6	5.4	5.4	5.1	5.0	5.1	5.0	5.2	5.6	5.4	5.6	5.8	6.0	6.1	6.2	6.3	6.2	6.5	6.4	6.3	6.1	6.1	5.79
20	5.9	6.0	6.1	6.5	7.0	6.9	6.6	6.5	6.5	6.5	6.5	6.3	5.7	5.8	5.4	5.3	5.0	5.2	5.3	5.4	5.2	4.9	4.9	4.8	5.85
21	4.8	4.8	4.8	4.8	5.3	5.6	5.6	5.7	5.8	5.8	4.8	6.2	6.3	6.2	6.3	6.2	6.1	5.8	5.9	5.9	5.9	5.7	5.5	5.2	5.59
22	5.0	4.8	4.6	4.5	4.5	4.4	4.4	4.3	4.4	4.4	4.6	4.6	4.7	4.7	4.8	4.9	5.0	4.9	5.0	4.8	4.7	4.9	4.9	4.9	4.72
23	4.6	4.6	5.2	5.4	5.6	5.7	5.9	6.2	6.7	7.4	7.8	8.4	8.7	9.0	9.0	9.2	9.1	9.1	8.9	8.9	8.9	8.9	8.8	8.8	7.43
24	8.8	8.7	8.5	8.5	8.5	8.5	8.5	8.6	8.7	9.0	9.1	9.2	9.3	9.2	9.3	7.9	7.1	6.8	6.6	6.4	6.5	6.5	6.3	5.9	8.05
25	5.4	5.1	4.9	5.1	4.9	4.9	4.8	4.6	4.6	4.6	4.7	4.7	4.8	4.8	4.9	4.8	4.8	4.8	4.7	4.6	4.7	4.7	4.7	4.7	4.85
26	4.7	4.8	4.8	4.9	4.9	4.9	4.9	4.9	5.1	5.2	5.6	5.8	5.9	6.0	6.0	6.4	6.6	6.7	6.5	6.2	6.2	6.4	6.3	6.7	5.64
27	6.5	6.1	5.9	5.5	5.6	6.2	6.2	6.1	6.1	6.3	6.9	6.7	7.6	8.0	7.3	6.9	6.8	6.3	6.2	6.4	6.5	6.4	6.3	6.1	6.46
28	6.1	6.3	6.1	6.3	6.4	6.3	6.0	6.3	6.5	6.9	7.6	7.9	8.0	8.0	7.8	7.8	7.9	7.8	7.5	7.3	7.6	7.8	8.1	8.2	7.14
29	8.2	8.1	8.0	8.0	7.7	7.3	7.1	7.2	7.5	7.5	7.2	7.7	7.2	7.6	7.2	7.2	7.1	7.3	7.2	7.7	7.9	7.8	7.5	7.1	7.54
Mittel	4.63	4.53	4.51	4.52	4.51	4.47	4.44	4.46	4.58	4.71	4.80	4.93	5.03	5.14	5.11	5.07	5.06	5.03	4.99	4.97	4.99	4.94	4.89	4.82	4.79

Zeitangaben nach mittlerer Ortszeit

Dampfdruck — März

$h_t = 2.1$ m

Datum	1a	2a	3a	4a	5a	6a	7a	8a	9a	10a	11a	Mittag	1p	2p	3p	4p	5p	6p	7p	8p	9p	10p	11p	Mitternacht	Mittel
1	7.0	6.9	6.6	7.3	7.6	7.5	7.2	7.2	7.7	7.7	7.5	6.7	7.0	6.5	6.8	7.0	7.4	6.7	6.8	6.4	6.3	6.4	6.2	6.5	6.96
2	6.7	6.7	6.8	7.0	7.2	7.3	7.5	8.0	8.5	9.0	9.4	8.9	8.9	8.1	7.3	8.2	8.0	7.4	7.0	6.8	6.2	6.2	6.1	5.9	7.42
3	5.7	5.7	5.8	5.8	5.6	5.7	5.5	5.4	5.6	5.7	5.7	6.2	6.6	6.7	6.5	7.2	7.8	8.3	8.1	8.0	7.9	7.5	7.6	7.7	6.57
4	7.5	7.4	7.2	6.8	6.8	6.6	6.4	6.4	6.3	6.2	6.5	6.2	6.0	5.9	6.0	5.4	5.3	5.6	5.5	5.7	5.5	5.6	5.4	5.2	6.20
5	5.3	5.2	5.5	6.0	6.0	6.0	5.8	5.8	6.0	5.6	5.8	5.8	6.8	6.3	6.3	6.2	6.5	6.5	6.5	6.4	6.3	6.2	5.8	5.8	5.98
6	5.6	5.2	5.4	5.9	6.3	6.5	6.0	5.6	5.5	5.5	5.4	5.1	5.4	5.0	4.9	6.0	5.8	5.5	5.7	5.7	5.5	5.4	5.3	5.4	5.58
7	5.2	5.3	5.5	5.5	5.4	5.2	5.1	5.2	5.3	5.3	5.3	5.1	5.3	6.1	6.6	6.5	6.5	6.5	5.7	6.0	6.1	6.0	6.1	6.1	5.69
8	6.1	6.0	5.8	5.5	5.2	5.5	5.6	5.4	5.5	4.8	4.8	5.1	4.7	4.9	4.5	4.5	5.0	5.5	5.4	5.2	5.1	5.1	4.6	4.6	5.22
9	4.6	4.4	4.2	4.4	4.4	4.2	4.3	4.3	4.4	4.6	4.3	4.1	4.1	4.2	3.8	4.0	4.2	4.4	4.6	4.6	4.5	4.5	4.4	4.4	4.34
10	4.4	4.3	4.4	4.4	4.2	4.2	4.3	4.6	4.9	5.0	5.0	5.1	5.1	4.9	5.0	5.0	5.2	5.1	5.3	5.2	5.0	5.0	4.8	4.6	4.78
11	4.5	4.4	4.4	4.4	4.3	4.4	4.4	4.6	4.5	4.6	4.6	4.6	4.4	4.3	4.1	4.0	4.1	4.0	3.9	3.7	3.7	3.8	3.9	3.9	4.24
12	3.7	3.8	3.9	3.8	3.6	3.6	3.2	3.3	2.9	2.7	2.9	2.9	3.0	3.1	3.1	3.2	3.1	3.0	3.0	3.2	3.2	3.2	3.1	3.0	3.26
13	3.0	3.0	2.9	2.9	2.9	2.9	3.1	3.2	3.3	3.3	3.5	3.6	3.6	3.8	3.8	3.9	4.3	4.3	4.5	4.5	4.7	5.1	5.0	5.2	3.73
14	5.1	5.4	5.2	5.4	5.2	5.1	5.1	5.2	5.4	5.7	6.0	6.2	6.1	5.8	6.2	7.0	7.4	7.4	7.4	7.4	7.1	7.0	6.8	6.4	6.09
15	5.8	5.5	5.3	5.0	4.8	4.6	4.5	4.7	5.5	5.7	5.9	5.9	5.4	5.7	5.2	4.8	4.4	4.2	4.2	4.1	3.9	3.9	3.9	3.9	4.93
16	4.0	3.9	3.9	3.8	3.8	3.6	3.6	3.7	3.7	3.8	4.4	4.7	5.2	5.2	5.3	5.6	5.6	5.5	5.5	5.7	5.8	5.9	5.8	5.8	4.71
17	5.7	5.6	5.2	5.2	5.0	5.0	5.2	5.3	5.5	5.6	5.9	5.2	5.0	4.9	5.0	5.2	5.3	5.4	5.1	4.9	4.7	4.5	4.6	4.4	5.17
18	4.3	4.1	4.1	4.0	4.0	3.9	4.2	4.5	4.6	4.4	4.6	4.8	5.0	5.1	5.1	5.3	5.4	5.5	5.5	5.4	5.4	5.3	5.2	5.1	4.77
19	5.1	5.2	5.1	5.4	5.6	5.6	5.8	5.9	6.0	6.0	6.1	6.5	6.0	6.9	6.2	5.1	6.4	6.5	6.6	6.6	6.6	6.0	5.9	5.7	5.92
20	5.4	5.0	4.8	4.8	4.8	4.8	4.9	4.9	5.2	5.1	5.0	5.1	4.6	4.6	4.7	4.7	4.7	4.7	4.9	5.0	5.1	5.0	5.1	5.1	4.95
21	5.5	5.6	5.1	5.0	5.0	4.9	4.7	5.2	5.1	4.6	4.0	4.3	4.3	4.5	4.4	4.2	4.2	4.2	4.2	4.4	4.4	6.0	5.9	5.8	4.82
22	5.8	6.0	5.9	5.9	5.9	5.9	5.7	6.0	5.8	5.7	5.8	5.3	4.6	4.8	5.0	5.0	5.2	5.4	5.5	5.5	6.4	6.5	6.2	5.8	5.66
23	5.4	5.3	5.3	5.1	5.0	5.2	5.4	5.7	5.8	6.0	6.2	5.7	5.7	5.2	5.2	5.6	5.4	5.4	5.0	5.6	5.4	5.1	5.1	4.9	5.42
24	4.8	4.8	5.0	4.6	4.5	4.6	4.7	5.0	6.5	5.8	5.8	5.3	5.4	5.6	5.8	6.0	6.4	6.8	7.1	6.9	7.0	6.9	6.9	6.9	5.76
25	6.2	6.9	6.9	7.0	6.4	6.6	6.8	7.0	7.1	7.0	7.6	5.6	5.8	6.1	6.6	6.7	6.9	7.3	7.7	8.0	8.1	8.4	8.5	8.4	7.06
26	8.5	8.5	8.5	8.7	8.8	8.8	9.1	9.5	9.7	9.7	9.4	9.4	9.4	9.3	9.3	9.2	9.2	9.6	9.5	9.4	9.2	8.8	8.5	8.7	9.08
27	8.6	8.6	8.5	8.3	8.4	8.2	8.1	8.0	8.0	8.4	8.5	8.0	7.9	7.7	8.1	7.9	7.9	8.0	7.3	6.1	5.4	5.5	5.7	5.7	7.66
28	5.9	6.0	5.9	5.9	5.9	5.9	5.9	6.2	6.0	5.9	5.7	5.9	6.0	6.4	6.6	7.2	7.1	7.7	7.5	8.1	8.1	8.3	8.1	6.9	6.59
29	6.1	6.0	6.1	5.9	5.8	5.6	5.6	5.7	5.2	4.9	4.7	4.4	5.9	5.2	5.4	5.1	4.9	4.5	5.1	4.6	4.4	4.5	4.8	4.8	5.28
30	4.9	4.7	4.8	4.7	4.7	4.4	4.4	4.6	4.6	4.9	5.2	4.7	5.4	5.1	5.5	5.5	5.3	5.0	4.6	4.8	4.9	4.9	4.9	4.8	4.88
31	5.1	5.4	4.9	5.0	4.9	4.9	4.8	5.1	5.0	5.1	4.8	4.7	4.4	4.4	4.3	4.2	4.2	4.4	4.7	4.7	4.8	4.8	4.7	4.8	4.76
Mittel	5.53	5.51	5.45	5.46	5.42	5.39	5.38	5.52	5.65	5.62	5.69	5.52	5.58	5.56	5.57	5.66	5.78	5.82	5.79	5.76	5.70	5.72	5.64	5.55	5.60

April

Datum	1a	2a	3a	4a	5a	6a	7a	8a	9a	10a	11a	Mittag	1p	2p	3p	4p	5p	6p	7p	8p	9p	10p	11p	Mitternacht	Mittel
1	4.7	4.7	4.7	4.6	4.8	4.8	6.0	6.4	6.8	6.9	7.2	6.6	6.3	6.5	6.6	6.1	5.8	6.2	5.7	6.3	6.1	5.8	5.8	5.0	5.81
2	4.4	4.5	4.6	4.6	4.8	4.5	4.5	4.6	5.1	5.1	5.0	4.9	5.6	5.7	5.5	5.2	4.7	4.5	4.5	4.5	4.7	4.6	4.1	3.7	4.76
3	3.5	3.7	3.7	3.7	3.9	3.9	3.9	3.8	3.6	2.7	2.7	2.6	2.3	2.3	2.4	2.7	2.4	2.8	2.8	3.0	3.5	3.6	3.8	3.8	3.23
4	3.8	3.8	3.6	3.5	3.5	3.6	3.8	3.6	4.0	4.6	5.1	5.0	4.7	4.8	5.0	5.5	5.4	5.5	5.8	5.8	5.8	5.6	5.6	5.6	4.67
5	5.6	5.5	5.7	5.6	5.7	5.8	6.4	7.3	7.6	7.5	7.9	7.7	7.6	7.8	7.8	7.7	8.4	8.6	8.6	8.5	8.4	8.3	8.1	8.0	7.27
6	8.1	8.3	8.5	8.8	8.7	8.7	8.8	8.9	8.9	8.9	9.2	9.2	9.0	9.0	8.9	8.8	8.5	9.0	9.2	8.5	8.2	6.6	5.9	5.7	8.41
7	5.8	5.9	5.8	5.7	5.7	5.5	5.7	5.8	6.4	4.1	3.4	3.2	3.4	4.1	4.1	5.5	5.6	5.4	5.3	5.2	5.0	4.5	4.7	4.6	5.04
8	4.5	4.4	4.6	4.5	4.3	4.6	5.1	5.1	5.1	5.4	5.2	6.1	6.2	6.4	6.7	6.7	6.3	6.4	6.3	6.5	6.5	6.5	6.0	5.5	5.58
9	5.6	5.3	5.1	4.6	4.2	4.4	4.3	3.9	3.8	3.8	3.3	3.3	3.4	3.9	3.5	3.5	3.3	3.8	4.1	4.1	4.0	3.7	3.9	3.9	4.09
10	4.0	4.0	4.1	4.0	4.3	4.1	3.2	4.1	4.2	3.8	4.9	4.7	5.5	5.1	4.3	4.8	4.3	4.5	4.3	5.2	5.1	5.1	5.1	4.8	4.46
11	4.2	4.0	3.6	3.7	3.7	3.5	3.5	3.8	3.8	4.1	4.0	3.7	3.4	3.4	3.1	3.2	2.7	2.5	2.7	2.7	2.9	2.9	3.2	4.5	3.50
12	4.6	4.6	4.6	4.4	4.3	4.4	4.3	3.9	4.4	4.6	5.0	4.6	4.5	3.5	3.2	3.0	3.1	4.0	3.4	3.1	3.1	3.0	3.1	3.1	3.93
13	3.1	3.1	3.1	3.2	3.2	2.8	3.0	3.0	2.9	2.9	3.2	2.7	2.9	3.7	4.4	4.5	4.8	5.1	5.4	5.5	5.3	5.4	5.4	5.2	3.88
14	5.2	5.4	5.2	5.3	5.4	5.5	5.8	6.0	6.5	6.4	6.6	5.8	5.1	5.2	5.0	5.0	4.6	4.9	5.2	5.2	5.3	5.3	5.1	4.9	5.40
15	4.9	4.6	4.1	3.8	3.7	3.6	3.2	2.7	3.0	3.2	3.5	3.3	3.8	3.9	3.8	4.1	4.0	4.0	4.4	4.7	4.7	4.8	4.7	4.6	4.00
16	4.5	4.5	4.4	4.6	4.5	4.7	4.5	4.2	4.1	4.1	4.9	4.6	4.6	4.7	4.7	4.8	4.6	4.5	4.5	4.6	5.0	5.1	5.7	5.1	4.64
17	5.0	4.9	4.8	4.7	4.7	4.6	4.7	4.6	4.8	4.9	5.3	4.6	4.7	4.8	4.4	4.5	4.4	4.5	4.9	5.1	5.4	5.3	5.5	5.3	4.86
18	5.3	5.4	5.4	5.2	5.1	5.1	5.8	5.5	5.6	4.9	5.2	5.2	5.5	5.0	5.1	4.9	4.9	4.8	4.9	5.1	5.8	5.9	6.0	6.3	5.33
19	6.1	6.1	6.2	6.2	5.9	5.9	6.1	6.1	5.7	5.4	5.0	4.7	4.7	4.8	5.0	4.9	4.9	5.0	5.1	5.2	5.3	5.4	5.3	5.2	5.46
20	5.2	5.2	5.1	5.1	5.1	5.4	5.5	5.8	5.2	5.7	5.7	5.0	5.2	4.6	4.7	5.1	5.2	5.6	5.8	6.1	5.9	5.8	6.0	6.1	5.41
21	6.3	6.4	6.4	6.1	6.0	6.4	6.4	6.4	6.3	6.2	5.7	5.6	5.6	5.7	5.4	5.3	5.3	5.6	5.5	5.6	6.2	7.1	6.7	6.4	6.03
22	6.4	6.6	6.5	6.3	6.1	5.9	5.7	5.5	5.6	5.8	5.8	5.3	5.1	4.6	5.9	6.0	5.5	5.7	6.0	5.6	4.2	3.2	3.2	3.5	5.46
23	4.1	4.8	5.1	5.2	5.4	5.6	5.5	5.3	5.1	4.5	4.3	4.3	4.0	4.1	3.5	3.5	3.7	4.0	4.2	4.6	4.6	4.8	4.7	4.8	4.53
24	4.8	4.8	4.8	4.9	4.8	4.9	5.0	5.2	5.2	4.7	4.5	4.3	4.4	4.0	4.4	4.3	4.3	4.4	4.4	4.6	5.0	4.7	4.8	4.8	4.67
25	4.7	4.7	5.1	5.0	5.4	5.7	5.9	5.4	5.4	5.3	4.8	5.4	5.5	5.5	5.5	5.0	5.2	5.1	4.7	4.2	3.9	4.0	4.3	4.6	5.00
26	4.9	4.8	5.1	4.9	4.9	4.8	5.2	4.5	5.0	5.2	4.3	4.6	4.8	4.9	5.1	5.1	5.1	5.2	4.9	5.3	5.0	5.2	5.3	5.6	4.97
27	5.5	5.5	5.4	5.5	5.2	5.1	5.3	5.7	4.9	5.1	4.9	4.9	4.6	4.3	4.4	4.5	4.6	4.4	5.1	6.0	6.2	6.2	6.1	6.2	5.25
28	6.1	6.2	6.1	6.2	6.6	6.7	5.8	5.3	4.6	5.0	4.8	4.0	3.5	3.5	3.6	3.9	3.8	3.4	3.8	4.4	4.9	5.1	5.2	5.2	4.96
29	5.2	5.2	5.2	5.1	5.1	5.2	5.4	4.9	4.8	5.0	4.8	4.8	4.7	4.7	4.9	4.8	4.7	4.5	4.2	4.1	4.2	4.2	3.9	4.1	4.76
30	4.3	4.2	3.7	3.4	3.5	3.4	3.5	3.5	2.9	2.8	3.0	3.0	3.2	3.3	3.3	3.5	4.0	3.7	3.8	3.8	3.8	3.7	3.6	3.6	3.54
Mittel	5.01	5.04	5.01	4.95	4.95	4.97	5.06	5.03	5.04	4.95	4.97	4.79	4.79	4.79	4.81	4.88	4.80	4.92	4.98	5.10	5.13	5.05	5.03	4.99	4.96

Zeitangaben nach mittlerer Ortszeit

Dampfdruck — Mai

$h_1 = 2.1$ m

Datum	1a	2a	3a	4a	5a	6a	7a	8a	9a	10a	11a	Mittag	1p	2p	3p	4p	5p	6p	7p	8p	9p	10p	11p	Mitternacht	Mittel
1	3.8	3.8	3.9	3.8	3.6	3.8	3.5	3.3	2.7	2.9	2.8	2.6	2.5	2.4	2.4	2.3	2.3	2.5	2.5	2.6	3.8	2.7	2.8	2.7	3.02
2	2.7	2.6	2.6	2.8	2.9	3.0	3.3	3.3	2.9	2.8	2.8	2.8	2.8	2.8	2.7	2.8	2.7	2.8	3.0	3.1	3.3	3.5	3.5	3.6	2.95
3	3.6	3.6	3.5	3.7	3.8	4.3	5.3	5.6	5.9	6.3	6.8	7.5	8.1	9.0	9.3	8.8	9.1	8.5	8.8	8.0	8.0	7.8	7.6	7.2	6.55
4	7.1	6.9	6.6	6.5	6.5	6.3	6.0	5.8	5.8	5.1	5.1	5.1	5.3	5.4	5.1	4.9	4.6	4.2	4.4	4.2	4.3	4.5	4.6	4.6	5.44
5	4.5	4.5	4.4	4.4	4.3	4.8	4.7	4.2	4.3	4.4	4.1	3.8	3.9	3.8	3.7	3.8	3.7	3.7	3.6	3.9	4.2	4.3	4.2	4.2	4.16
6	4.0	3.9	3.7	4.3	5.0	4.5	4.4	4.3	4.5	4.2	4.1	4.3	4.5	4.5	4.8	4.7	4.8	5.3	5.5	5.6	5.6	5.4	9.1	9.2	4.98
7	8.8	9.0	9.1	9.0	9.0	9.0	8.8	8.6	9.0	9.8	9.8	10.0	10.5	10.0	9.7	9.0	9.5	11.0	9.2	9.3	9.9	9.6	9.4	9.4	9.42
8	9.4	9.5	9.5	9.4	9.4	9.2	9.3	9.5	9.6	9.6	9.7	9.7	10.0	9.3	9.3	8.8	8.8	8.5	8.5	8.5	8.3	8.1	8.1	8.1	9.10
9	7.9	8.2	8.0	7.9	8.1	7.9	7.4	8.1	8.3	8.1	8.4	8.5	8.7	8.1	9.5	11.0	11.2	11.2	11.1	10.9	10.8	10.6	10.7	10.6	9.17
10	9.9	9.5	9.1	8.7	8.6	8.5	8.4	8.2	8.2	8.8	8.0	7.9	7.8	7.5	7.3	7.3	6.8	8.7	7.6	7.4	7.3	7.0	6.5	6.5	8.08
11	6.4	6.5	5.2	6.3	6.6	6.9	6.8	6.9	6.8	6.6	6.2	6.1	5.8	5.9	5.7	5.7	5.8	6.5	5.9	5.9	6.2	6.4	7.0	7.5	6.32
12	8.4	9.7	10.2	10.7	10.8	10.9	10.9	10.2	10.7	9.8	10.1	10.0	10.4	11.0	10.6	10.1	10.7	12.0	11.0	10.8	10.7	11.3	10.6	10.0	10.36
13	8.2	7.2	7.7	7.6	7.4	7.4	7.4	6.8	6.4	5.8	5.3	5.3	5.4	5.6	5.2	5.6	5.2	4.8	4.8	5.1	5.1	5.5	5.5	5.4	6.23
14	5.5	5.6	5.6	5.6	5.6	5.6	5.3	5.5	5.4	5.6	5.4	5.7	5.5	6.0	6.1	5.9	5.7	5.8	5.8	5.6	6.0	6.4	6.6	6.7	5.76
15	6.7	6.4	6.4	6.5	6.5	6.2	6.7	6.3	6.2	6.5	6.6	6.5	6.0	6.4	6.4	7.7	8.5	8.5	8.3	7.5	7.5	6.9	6.9	7.1	6.88
16	7.2	7.6	8.6	8.3	8.2	8.3	8.4	8.4	8.7	9.0	9.3	10.2	9.9	10.2	9.9	10.0	9.9	9.0	10.5	9.8	9.8	9.8	9.9	8.7	9.07
17	8.4	8.3	8.2	7.8	7.7	7.6	7.6	7.5	7.2	7.1	6.9	6.4	6.4	6.4	6.1	6.9	6.5	6.9	6.7	6.7	6.9	7.2	7.2	7.2	7.22
18	7.2	6.9	6.8	6.9	6.9	7.5	7.0	7.3	6.5	6.8	6.6	6.6	6.6	6.7	6.6	6.2	6.5	6.3	6.7	6.6	7.4	7.2	7.2	7.0	6.85
19	7.2	6.9	6.9	6.9	7.8	7.5	7.6	8.4	8.4	8.2	8.1	7.7	7.9	7.9	8.0	7.9	7.6	7.8	7.6	7.8	7.7	8.2	7.3	7.6	7.68
20	7.5	7.3	7.5	7.6	7.5	7.9	8.0	8.5	7.7	7.3	7.9	7.8	8.0	8.2	7.6	8.1	8.0	8.5	8.8	8.6	8.8	9.3	9.2	9.1	8.09
21	9.1	8.8	8.7	9.7	10.7	10.5	10.9	10.3	10.5	10.7	10.7	9.8	10.3	10.0	9.1	8.3	7.6	7.7	7.8	7.8	8.2	8.7	8.6	9.0	9.30
22	9.9	10.7	10.3	10.3	10.4	10.3	10.3	9.8	9.8	9.8	10.0	9.7	10.3	11.1	11.0	11.2	11.2	11.2	11.0	10.5	10.4	10.0	9.7	9.7	10.30
23	9.6	9.3	9.2	9.2	9.2	9.3	9.3	9.6	9.7	9.9	10.2	10.0	9.7	9.8	9.2	9.7	9.6	10.5	10.6	10.7	10.1	10.2	9.9	9.7	9.76
24	9.4	9.4	9.5	9.1	8.9	9.2	9.8	10.7	8.2	8.3	8.9	8.7	8.5	8.3	8.6	8.5	8.5	9.0	9.1	8.5	7.7	7.8	7.0	8.0	8.77
25	8.4	8.1	8.4	8.4	8.4	8.1	8.3	8.2	8.8	8.0	7.0	8.2	8.0	8.4	8.6	8.5	8.8	9.2	8.9	8.6	8.5	8.2	7.7	7.2	8.28
26	6.8	6.4	6.5	6.5	6.5	6.5	6.1	6.1	5.5	5.3	5.2	5.4	5.6	5.3	5.4	5.6	5.5	5.6	5.2	5.4	5.7	5.8	6.0	5.8	5.88
27	6.1	6.2	6.1	6.0	6.1	6.1	6.3	6.2	6.0	5.9	5.9	5.6	5.6	6.1	6.0	6.1	5.8	6.6	6.3	6.3	6.3	6.3	6.6	6.3	6.10
28	6.3	6.9	6.8	6.7	6.2	6.2	6.1	6.0	5.7	5.9	6.0	6.0	6.2	6.4	6.2	6.3	6.3	6.2	6.2	6.3	6.4	6.3	6.6	6.6	6.28
29	6.7	6.6	6.8	6.7	6.2	6.5	6.3	6.5	6.5	6.4	6.4	6.7	7.4	6.7	8.8	6.8	6.9	6.9	7.8	7.9	7.7	7.7	7.6	7.7	6.99
30	7.5	7.0	7.1	7.2	7.6	8.1	7.2	7.3	7.4	7.0	6.9	7.1	7.3	7.6	7.8	7.8	7.8	8.0	7.9	8.1	8.3	8.1	7.2	8.1	7.56
31	7.2	6.7	6.5	6.2	6.6	6.9	7.3	7.3	7.3	7.2	7.2	7.5	7.2	7.5	7.8	7.7	7.3	7.0	7.0	7.2	7.5	7.7	7.9	7.9	7.27
Mittel	7.14	7.10	7.08	7.12	7.19	7.25	7.25	7.25	7.12	7.07	7.05	7.07	7.16	7.24	7.24	7.23	7.20	7.43	7.36	7.26	7.37	7.37	7.38	7.37	7.22

Juni

1	7.7	7.8	7.8	7.8	8.1	8.6	8.3	8.8	7.9	8.1	8.1	7.3	7.9	7.9	7.7	7.9	8.1	8.1	8.5	9.0	9.1	9.4	9.2	9.3	8.25
2	9.1	9.0	8.9	9.1	9.4	9.4	9.7	9.8	9.8	9.3	8.8	9.1	9.8	9.9	13.1	13.6	12.4	13.0	12.3	12.1	12.0	11.3	10.2	10.4	10.43
3	9.8	9.7	9.7	9.6	9.8	9.2	8.6	9.1	9.7	8.4	8.0	8.2	7.8	7.4	7.9	8.5	8.2	8.1	7.9	7.8	7.6	7.1	7.1	7.3	8.52
4	7.3	7.4	7.6	7.6	7.6	7.8	7.6	7.0	6.9	7.2	6.9	7.0	6,6	6.2	6.0	6.3	6.4	6.4	7.0	7.3	7.4	7.8	8.1	8.1	7.15
5	8.0	8.9	9.8	9.5	9.3	10.0	10.2	10.3	10.6	10.4	10.1	9.9	11.2	10.9	9.6	10.0	8.7	8.9	8.6	7.9	8.0	7.9	7.9	7.7	9.30
6	7.7	9.0	8.7	9.4	9.6	10.2	9.9	9.8	9.8	9.3	8.7	7.5	8.1	9.4	8.7	8.2	7.5	7.7	8.4	8.2	8.2	8.5	8.5	8.7	8.70
7	10.9	10.1	10.1	10.0	10.4	10.6	10.9	11.2	11.4	11.8	11.9	10.1	11.5	11.3	11.5	10.9	11.0	10.8	11.2	11.5	11.8	12.1	12.5	12.8	11.08
8	13.0	13.2	13.4	13.1	13.1	12.9	14.3	13.9	13.5	13.7	13.8	13.9	13.7	14.7	13.9	13.3	12.1	12.4	11.7	11.5	12.1	12.2	12.2	12.0	13.06
9	12.1	11.7	11.2	11.2	11.2	12.1	10.8	10.5	10.4	11.3	10.8	10.4	10.7	10.8	10.7	9.9	9.9	10.5	13.7	13.8	11.5	12.3	11.6	11.5	11.30
10	10.2	9.8	9.7	10.0	10.5	10.1	9.8	9.7	10.1	9.5	10.7	11.6	11.9	12.6	11.9	11.9	11.5	11.8	11.8	11.3	11.2	10.9	10.7	10.6	10.85
11	10.6	10.3	10.2	10.2	10.2	9.9	10.1	10.0	10.4	10.3	10.0	10.1	10.2	10.1	10.3	10.3	10.7	10.9	11.0	10.7	10.4	9.7	8.9	9.2	10.21
12	10.2	9.2	9.4	9.1	8.9	9.3	9.5	9.8	10.3	10.2	10.3	10.9	11.1	11.3	11.7	11.6	11.5	11.4	11.4	11.3	11.2	11.1	11.1	11.1	10.48
13	11.1	11.2	10.8	10.6	10.7	10.4	10.5	10.6	10.9	10.8	11.0	10.9	11.2	11.0	10.8	11.2	10.8	9.9	9.9	10.2	10.9	10.7	11.0	11.0	10.77
14	11.2	11.5	11.5	11.2	11.2	11.4	11.2	10.6	10.8	9.5	9.0	9.2	9.1	8.3	8.1	7.9	7.7	8.0	7.6	8.0	9.1	8.7	8.5	8.4	9.55
15	7.6	8.3	8.2	8.0	8.0	8.0	8.3	8.7	8.4	8.9	9.2	10.2	9.3	9.4	8.3	9.1	9.0	8.8	8.6	8.5	8.3	8.3	8.3	8.3	8.58
16	8.5	8.5	7.6	7.3	7.9	8.4	8.5	8.8	8.5	8.3	8.5	9.1	10.0	10.6	11.2	11.5	11.4	10.9	9.7	9.8	8.7	8.5	8.1	7.5	9.04
17	6.9	6.9	7.0	7.0	7.0	7.0	7.1	7.0	6.8	6.4	7.1	6.9	6.8	6.9	9.0	7.6	7.3	7.7	7.4	7.3	7.0	7.7	8.3	7.8	7.26
18	7.9	7.9	7.5	7.4	7.3	7.4	7.5	6.7	6.3	6.3	6.4	6.4	6.7	6.4	7.0	7.7	7.9	7.6	7.7	7.5	7.5	7.7	9.0	9.2	7.39
19	9.4	9.5	9.6	9.7	9.8	10.2	10.4	11.5	13.3	13.9	14.2	13.7	13.2	12.9	12.5	12.8	12.4	12.4	12.8	13.4	12.8	12.7	12.9	12.9	11.92
20	12.9	13.1	12.9	13.0	12.8	12.7	13.3	11.9	13.1	12.4	11.5	12.6	12.6	12.7	12.1	12.2	11.8	10.8	10.4	10.8	10.9	10.5	10.6	10.7	12.04
21	10.1	9.1	9.1	9.4	9.5	10.2	9.9	10.0	10.3	10.1	10.0	9.9	9.9	9.9	9.4	9.5	9.5	9.4	9.0	9.5	9.8	9.7	9.9	10.3	9.76
22	10.5	10.6	10.7	10.5	10.3	10.8	10.0	9.7	9.8	9.5	9.0	8.9	9.5	9.1	8.8	9.0	9.1	8.4	9.6	10.0	9.6	9.8	9.5	9.4	9.70
23	9.6	9.4	9.2	9.2	9.7	10.6	9.2	8.8	8.4	8.0	7.4	7.2	6.6	6.8	7.2	7.8	8.3	8.7	9.3	9.4	9.0	9.4	9.5	9.5	8.70
24	9.7	9.5	9.3	9.2	9.2	9.4	9.7	10.2	10.6	13.8	14.5	14.7	14.6	13.7	14.5	14.2	13.9	13.9	14.1	14.5	13.4	14.3	14.0	13.8	12.33
25	13.1	12.0	11.7	12.0	11.9	11.5	11.8	11.8	11.6	12.1	11.5	11.5	10.8	10.7	11.2	11.7	12.8	12.4	12.2	11.8	11.8	12.0	12.3	12.3	11.93
26	12.2	12.2	12.2	12.0	12.0	11.8	11.2	11.3	11.9	12.1	12.3	11.7	12.1	12.2	12.5	12.1	11.1	12.7	13.1	12.7	12.2	11.9	11.7	11.8	12.05
27	11.4	11.8	11.8	11.6	11.4	12.0	11.6	11.0	10.7	10.3	10.2	9.7	9.2	8.3	8.4	8.8	8.8	9.2	9.8	9.4	9.3	9.5	9.0	8.9	10.16
28	9.0	9.0	9.0	9.1	9.3	9.9	9.9	10.3	9.8	8.9	9.7	9.1	9.1	8.8	8.7	8.8	8.8	9.5	10.3	10.3	10.2	10.4	10.6	10.8	9.53
29	11.0	11.0	11.2	11.3	11.3	11.7	11.6	11.9	11.6	12.0	11.9	11.3	10.8	11.1	11.6	11.3	11.0	12.2	12.9	12.9	12.5	11.9	12.5	13.0	11.69
30	12.9	12.8	12.5	12.2	12.7	12.9	13.1	12.9	12.8	12.6	12.9	12.4	12.3	12.6	11.6	11.3	12.4	12.0	11.9	11.4	10.7	10.5	10.2	9.9	12.10
Mittel	10.05	10.01	9.94	9.91	10.00	10.21	10.14	10.12	10.21	10.18	10.15	10.05	10.14	10.13	10.20	10.23	10.07	10.15	10.33	10.33	10.14	10.15	10.13	10.14	10.13

Zeitangaben nach mittlerer Ortszeit

Dampfdruck — Juli

$h_1 = 2.1$ m

Datum	1a	2a	3a	4a	5a	6a	7a	8a	9a	10a	11a	Mittag	1p	2p	3p	4p	5p	6p	7p	8p	9p	10p	11p	Mitternacht	Mittel
1	9.8	9.8	9.8	9.8	10.0	10.3	11.1	10.7	10.5	10.7	11.2	8.5	9.5	11.9	11.8	12.1	11.8	11.0	10.4	11.7	10.5	10.6	10.5	10.3	10.57
2	10.3	10.5	10.5	10.6	10.8	10.9	10.6	9.9	10.7	9.9	11.3	10.0	10.5	10.1	9.4	9.1	9.1	9.7	9.7	10.7	10.7	9.8	9.6	9.8	10.18
3	9.9	10.0	10.0	10.0	10.0	10.7	11.1	11.2	10.7	10.1	10.1	10.7	9.8	10.7	9.5	9.8	11.3	11.8	11.9	10.3	10.4	10.0	9.8	9.7	10.37
4	9.5	9.5	9.7	9.8	10.3	10.5	10.8	10.8	11.0	10.4	10.3	10.6	10.5	10.2	10.2	9.5	8.8	8.5	8.1	8.4	8.9	8.0	7.9	8.1	9.60
5	7.9	8.0	8.0	8.0	8.2	8.8	9.0	8.8	8.4	8.0	6.9	7.1	7.2	7.5	7.0	7.3	7.8	8.2	8.3	7.9	7.7	8.5	8.3	8.7	7.98
6	9.3	9.2	9.0	8.1	8.4	9.1	9.7	9.1	8.5	8.3	8.3	8.4	8.7	8.6	8.8	8.8	9.1	8.8	9.3	9.4	10.4	10.4	11.1	11.1	9.14
7	11.0	10.7	10.8	10.9	10.9	11.1	10.6	10.3	9.9	9.1	9.2	9.1	9.0	8.4	8.5	9.8	10.0	10.0	10.7	11.2	11.4	11.9	12.3	12.5	10.42
8	12.4	12.0	11.7	12.1	11.7	11.2	11.8	12.2	13.1	13.7	13.2	13.2	12.5	11.6	12.4	10.8	13.7	14.5	14.7	12.9	13.0	12.5	12.5	12.3	12.57
9	12.3	12.0	11.8	11.7	12.1	12.2	12.9	12.4	12.4	12.9	13.2	12.4	12.4	12.6	12.1	12.5	11.1	11.2	11.5	11.4	11.6	12.3	12.0	12.3	12.14
10	12.1	12.1	12.1	11.2	11.3	11.7	12.1	11.1	11.0	11.0	11.9	11.3	10.6	11.4	11.6	11.6	11.4	11.2	11.5	11.0	10.9	11.8	12.1	12.3	11.54
11	12.0	12.0	11.7	11.3	11.6	11.7	11.8	13.2	13.1	13.4	12.2	11.1	10.9	10.4	9.4	9.8	10.4	10.9	11.3	11.8	11.3	12.1	11.5	11.7	11.56
12	11.5	11.4	11.4	11.3	11.4	11.2	12.3	11.5	11.8	9.3	8.8	8.6	9.1	9.2	9.0	8.9	9.4	10.1	10.6	10.4	11.2	11.3	11.4	11.4	10.57
13	11.7	11.8	12.0	11.7	11.6	11.8	11.8	12.0	11.4	9.9	10.0	9.6	10.0	10.3	10.7	10.4	10.7	10.6	10.3	10.2	9.9	9.4	9.0	8.5	10.67
14	8.6	8.7	8.7	8.7	9.2	9.8	10.2	11.5	11.6	11.0	9.6	9.2	8.2	8.7	8.5	8.8	9.5	9.5	10.0	10.3	10.0	12.2	12.3	11.8	9.80
15	11.6	11.4	11.1	11.1	11.0	10.9	10.6	10.9	11.2	11.0	9.8	7.2	8.4	9.1	9.6	10.1	10.0	10.5	10.6	10.2	10.8	11.9	12.1	12.1	10.60
16	12.3	12.1	11.7	11.6	11.4	10.8	11.0	10.8	11.0	10.9	10.8	9.9	9.9	9.1	10.0	10.1	9.9	10.1	10.8	10.4	10.9	12.8	11.2	11.5	10.92
17	11.9	11.8	11.6	11.6	11.4	11.6	11.4	11.9	10.6	9.6	9.2	8.1	9.5	9.3	8.9	8.4	8.8	9.7	11.7	9.8	9.4	8.8	8.3	8.4	10.13
18	9.2	9.3	9.5	8.8	8.5	8.7	9.7	9.9	9.2	8.2	8.5	8.5	8.3	8.1	7.5	7.5	7.3	7.0	8.0	8.8	9.1	9.2	9.0	9.4	8.62
19	9.3	9.4	9.6	9.5	9.1	9.1	10.2	10.4	10.4	10.0	8.7	8.1	7.7	7.7	8.1	8.0	8.1	8.6	9.2	11.6	12.2	11.8	11.9	11.7	9.59
20	11.6	11.6	11.1	10.8	10.7	10.9	10.8	11.1	11.3	11.0	11.0	11.7	11.2	11.0	11.0	11.0	10.8	11.0	11.1	11.3	11.4	11.3	10.5	11.5	11.14
21	11.6	11.6	11.6	11.9	12.2	12.8	13.4	15.7	14.2	14.1	13.5	11.1	10.1	10.0	10.1	9.9	10.4	10.2	10.0	10.7	10.5	10.9	11.5	11.1	11.62
22	11.2	11.1	11.2	10.7	10.7	11.2	11.6	12.1	11.0	10.3	10.0	9.9	9.8	9.4	9.8	10.0	9.7	9.9	9.4	10.1	10.9	11.2	11.5	11.5	10.61
23	11.4	11.6	11.3	11.6	11.5	12.0	12.1	11.6	11.7	10.6	11.2	11.9	11.9	11.3	11.2	12.9	12.0	13.3	13.3	12.9	12.2	11.5	11.5	11.8	11.83
24	12.0	11.8	11.5	11.5	11.5	11.8	11.8	11.9	11.3	12.1	12.6	10.3	10.0	8.5	9.3	9.1	9.3	9.7	11.1	12.0	11.7	12.4	12.6	12.6	11.21
25	12.6	12.5	12.2	11.9	12.1	12.1	12.6	12.9	12.8	11.6	10.6	10.6	13.5	9.9	10.1	9.9	10.8	10.6	10.7	11.0	11.8	11.3	10.5	10.0	11.49
26	9.5	9.1	9.0	9.0	9.2	9.6	10.3	11.0	9.5	8.8	9.4	8.8	8.6	8.2	8.3	8.3	14.2	14.1	14.7	14.3	13.8	13.8	13.5	13.3	10.73
27	13.1	12.9	12.9	13.0	13.5	14.2	14.3	14.9	15.0	13.8	13.7	13.9	13.6	12.9	12.7	12.8	12.6	13.3	13.4	12.7	12.9	13.4	13.2	13.2	13.41
28	13.0	12.6	12.5	12.3	11.8	12.6	12.0	12.6	12.0	11.6	10.3	9.8	9.3	8.4	8.6	8.9	8.7	8.8	12.3	10.0	12.2	14.6	14.6	14.5	11.49
29	14.2	13.8	13.9	13.8	13.9	14.4	13.5	13.0	13.4	13.7	13.8	13.6	13.7	13.2	12.3	11.7	11.4	12.6	12.5	12.7	12.5	12.5	12.5	12.6	13.19
30	12.1	11.9	11.3	11.9	10.1	10.7	10.8	10.6	11.8	10.9	9.8	8.8	9.0	9.3	9.2	9.1	9.2	9.7	9.4	9.0	8.6	8.9	9.7	10.0	10.17
31	9.7	9.8	9.6	9.7	9.7	10.1	10.3	10.2	10.6	9.9	9.9	9.5	9.7	9.5	10.0	9.8	9.7	10.0	10.2	10.1	10.0	10.2	10.4	10.5	9.96
Mittel	11.12	11.03	10.93	10.84	10.83	11.11	11.36	11.49	11.32	10.83	10.61	10.05	10.10	9.89	9.86	9.89	10.22	10.49	10.86	10.81	10.93	11.20	11.12	11.17	10.77

August

1	10.7	10.7	10.7	11.2	11.6	11.2	10.8	10.8	10.5	10.8	11.0	11.4	11.8	13.4	12.4	11.7	12.9	13.6	13.6	13.4	13.6	13.6	13.5	13.5	11.96
2	13.1	13.5	13.1	13.1	12.9	13.0	13.0	13.2	13.3	13.4	13.1	13.5	13.4	13.2	13.8	13.8	13.7	13.7	13.8	13.7	13.2	13.0	12.8	12.5	13.29
3	12.6	12.6	12.5	12.5	12.3	11.8	11.5	11.6	10.8	11.2	11.0	10.5	9.7	9.8	9.5	8.6	8.5	9.5	9.2	8.0	9.8	9.8	10.0	10.2	10.64
4	10.0	9.9	10.1	9.1	8.8	9.4	9.0	10.2	10.0	9.9	9.9	8.7	8.6	8.7	8.8	9.3	9.3	9.6	10.2	10.4	10.8	11.1	11.2	11.0	9.77
5	11.1	11.1	10.7	10.6	10.5	10.6	11.3	11.4	11.8	12.0	12.3	13.1	12.2	11.5	10.7	11.7	11.4	11.2	11.0	11.1	11.1	11.1	11.1	10.9	11.30
6	10.5	10.4	10.1	9.5	9.1	9.3	10.2	10.9	10.2	9.6	9.9	9.2	9.3	9.0	9.2	7.7	8.1	9.3	10.0	8.4	8.6	9.0	9.5	9.6	9.50
7	9.9	10.6	10.0	9.8	9.6	9.7	10.1	9.6	9.8	9.3	9.0	8.7	9.0	9.5	9.1	8.5	10.0	11.0	10.6	11.2	10.8	10.8	10.8	10.8	9.91
8	10.8	11.0	10.5	10.2	10.2	10.0	9.9	10.1	10.1	10.1	10.3	10.9	10.2	11.0	10.5	10.7	10.9	10.7	10.7	10.7	10.7	10.7	10.5	10.8	10.52
9	10.7	10.1	10.0	9.8	9.8	9.6	9.5	9.3	9.2	9.2	8.6	8.8	8.7	8.7	8.7	9.4	9.7	11.1	11.4	11.0	10.4	10.2	10.1	9.9	9.79
10	9.7	9.3	9.1	8.9	8.9	9.0	9.5	9.8	9.3	9.0	8.4	8.6	8.5	9.0	8.9	9.4	9.2	9.4	10.0	10.0	9.6	9.6	9.5	9.3	9.27
11	9.3	9.1	9.0	8.8	8.8	9.0	9.8	9.3	8.9	9.4	10.0	10.2	9.9	9.5	9.6	9.5	9.1	9.3	9.4	9.6	8.8	9.0	9.1	9.3	9.32
12	9.3	9.4	9.4	9.4	9.1	8.7	8.7	8.4	8.5	8.0	8.5	7.5	8.1	7.9	8.3	8.7	9.5	10.0	9.5	9.0	8.8	8.8	9.0	9.2	8.84
13	9.3	8.9	8.6	8.2	8.2	8.2	8.3	8.1	8.4	8.0	7.9	7.8	8.0	9.6	9.9	10.1	10.2	11.0	11.0	11.8	11.2	11.0	10.2	9.9	9.32
14	9.6	9.9	10.0	9.7	9.3	9.4	9.3	9.1	8.7	8.8	8.1	8.4	8.5	8.1	8.0	7.3	7.4	7.5	7.6	8.7	7.7	8.4	8.1	7.7	8.61
15	7.8	7.9	7.7	7.5	7.7	8.3	8.5	8.4	8.4	8.3	8.5	8.3	7.6	8.3	9.0	8.5	9.4	9.1	9.0	8.9	9.1	8.3	8.7	9.0	8.40
16	9.4	9.3	8.9	8.7	8.6	8.9	8.9	9.1	9.1	9.4	9.8	10.7	10.6	10.6	11.1	10.4	10.4	10.6	10.3	10.2	9.9	9.7	9.6	9.8	9.72
17	9.6	9.4	9.3	9.2	9.2	9.4	9.5	9.8	10.0	10.2	10.2	10.5	11.0	10.6	10.6	10.7	10.4	9.7	10.4	10.7	11.0	11.2	10.8	10.2	10.14
18	9.9	10.1	10.3	11.2	11.2	11.2	11.2	11.0	11.0	10.6	10.7	9.8	9.9	9.4	8.9	9.0	8.7	8.7	9.0	9.2	9.5	9.7	9.4	9.4	9.97
19	9.5	9.8	9.7	9.7	9.7	9.5	9.9	10.3	11.2	11.5	11.0	12.0	10.7	10.2	10.1	9.7	10.3	10.5	10.7	11.2	11.2	11.7	11.7	13.1	10.57
20	13.1	13.0	12.9	12.5	12.7	12.8	12.1	12.1	12.8	12.6	12.4	12.5	12.6	11.7	10.9	11.3	10.6	11.1	11.1	10.7	11.0	11.4	11.8	11.6	12.02
21	11.6	11.7	11.8	11.6	11.7	11.5	11.5	11.0	10.8	10.6	12.3	11.4	9.4	10.2	9.4	8.5	7.7	7.3	7.4	7.4	7.8	7.8	7.3	7.3	9.86
22	7.4	7.5	7.3	7.4	7.4	7.5	7.7	8.1	8.6	9.0	8.9	8.8	8.9	8.7	8.8	9.0	9.0	9.8	9.7	9.9	9.7	9.7	9.5	9.2	8.59
23	8.4	8.5	8.4	8.7	8.8	8.8	8.7	8.7	8.5	8.5	8.6	8.2	8.2	8.3	7.7	7.6	7.5	7.6	7.5	7.8	7.7	7.8	8.2	8.7	8.26
24	9.1	9.1	9.1	9.1	9.0	9.1	9.1	9.3	9.7	9.9	10.2	9.9	9.7	9.9	9.7	10.1	10.6	10.4	10.3	10.2	10.1	10.2	10.2	10.2	9.72
25	10.2	10.4	10.5	10.7	10.8	11.0	11.4	12.3	12.5	12.1	11.9	11.4	11.6	11.5	11.8	11.9	12.1	12.1	12.1	11.8	11.5	11.6	11.4	11.5	11.45
26	11.4	11.5	11.3	11.2	11.1	11.0	11.1	12.1	11.8	12.2	12.3	12.5	13.8	14.1	13.4	13.1	13.3	13.5	13.6	13.0	13.0	12.8	12.6	11.9	12.36
27	11.8	11.2	10.1	9.4	9.2	8.9	9.0	8.8	8.0	7.6	8.2	7.9	7.9	9.9	9.7	9.7	9.8	9.8	10.0	10.0	9.9	10.0	10.0	10.0	9.55
28	9.9	10.1	10.1	10.0	10.1	10.1	9.4	9.2	9.1	8.8	8.7	8.5	9.3	9.2	9.1	8.8	9.1	8.8	9.3	9.1	9.1	9.2	9.0	8.9	9.32
29	8.7	8.6	8.3	8.4	8.4	8.3	8.6	8.5	7.7	8.0	7.8	7.0	6.8	8.8	6.5	7.0	7.6	8.3	8.6	8.7	9.0	8.9	8.8	8.4	8.18
30	8.8	8.5	8.6	8.6	8.4	8.7	8.9	9.4	10.2	10.6	11.5	11.8	11.8	12.0	13.5	13.6	14.0	13.4	12.5	11.4	11.5	11.5	11.4	11.2	10.81
31	11.2	11.2	11.2	11.3	11.3	11.6	11.8	12.0	12.6	12.4	11.7	11.7	11.1	11.6	11.5	12.2	12.4	11.8	10.1	9.2	9.3	9.1	9.2	8.9	11.10
Mittel	10.14	10.14	9.98	9.87	9.82	9.85	9.94	10.06	10.05	10.03	10.09	10.01	9.90	10.13	9.97	9.92	10.09	10.30	10.31	10.21	10.17	10.22	10.16	10.13	10.07

Zeitangaben nach mittlerer Ortszeit

Dampfdruck — September

$h_1 = 2.1$ m

Datum	1a	2a	3a	4a	5a	6a	7a	8a	9a	10a	11a	Mittag	1p	2p	3p	4p	5p	6p	7p	8p	9p	10p	11p	Mitternacht	Mittel
1	8.5	8.2	8.1	8.1	7.8	7.8	8.2	9.4	9.0	7.9	7.8	7.5	7.0	6.7	6.8	7.4	7.0	7.7	6.7	6.8	7.0	6.3	6.8	7.1	7.62
2	7.5	7.6	7.4	7.3	7.3	7.6	7.5	7.6	8.2	8.9	8.6	8.4	8.4	8.1	8.6	9.0	9.4	9.9	10.2	9.6	8.9	9.6	9.4	9.4	8.46
3	9.4	8.9	8.9	9.0	9.0	9.4	9.6	10.2	9.8	9.5	9.9	9.8	8.6	10.7	9.7	10.3	10.1	10.5	10.2	10.1	9.9	9.9	9.2	8.8	9.63
4	8.4	8.2	8.2	8.2	7.9	8.0	8.4	10.0	10.0	9.6	8.9	9.2	9.3	8.6	9.8	10.6	10.8	10.7	10.7	10.6	10.7	10.8	10.8	10.8	9.52
5	10.7	10.8	10.1	9.8	9.4	9.3	9.3	9.5	9.7	9.2	8.2	8.6	8.8	9.0	8.5	7.8	7.1	7.5	7.5	7.5	7.3	7.4	7.3	6.9	8.72
6	6.8	7.0	7.1	7.3	7.0	6.8	7.0	7.1	7.1	7.1	7.4	7.4	7.7	7.4	7.0	7.5	7.5	7.5	7.5	7.5	7.5	7.4	7.3	7.3	7.24
7	7.4	7.4	7.7	8.4	8.5	8.4	8.6	8.7	8.8	9.3	9.0	9.6	10.3	9.5	9.0	9.3	8.8	9.2	9.1	7.8	8.5	8.3	7.8	7.8	8.58
8	7.6	7.5	7.5	7.3	7.3	7.4	7.1	7.2	7.3	7.2	6.6	6.5	6.5	6.9	7.7	7.3	7.8	8.1	7.7	7.9	7.9	7.8	7.8	7.7	7.42
9	7.5	7.3	7.1	7.0	7.1	7.1	7.4	7.6	7.8	7.8	8.0	6.7	6.5	7.3	7.8	8.5	8.1	7.4	7.4	7.6	7.5	7.3	7.5	7.5	7.46
10	7.7	7.8	8.0	8.0	8.0	8.1	8.0	8.3	8.4	8.4	8.5	8.6	9.1	8.9	9.5	9.5	9.1	8.3	8.3	8.0	7.9	7.5	7.3	7.4	8.24
11	7.4	7.5	7.8	7.8	7.8	7.9	8.0	8.2	8.4	8.1	7.5	6.8	6.8	7.4	7.5	6.9	8.0	8.1	8.2	7.7	7.8	7.7	7.6	7.3	7.66
12	7.1	7.0	6.9	6.9	6.8	7.0	7.0	7.8	8.7	7.5	8.4	8.1	8.1	8.1	9.2	8.0	8.7	9.0	8.8	8.1	8.2	7.8	7.8	7.4	7.83
13	7.1	7.1	6.9	6.8	6.7	6.7	6.9	7.7	9.3	9.1	8.2	8.2	7.6	8.4	8.6	8.9	9.6	9.5	9.3	9.3	9.3	9.2	9.2	9.0	8.24
14	8.7	8.4	7.9	7.8	8.2	8.5	8.5	8.9	8.7	8.4	8.0	8.0	7.9	8.1	8.4	8.6	9.1	9.3	9.4	9.5	9.6	9.7	9.3	8.6	8.66
15	8.4	8.3	8.2	8.2	8.1	8.0	8.3	8.3	8.2	8.4	8.9	8.3	8.7	7.8	8.7	7.4	7.2	7.3	7.3	7.1	7.0	7.1	7.0	6.9	7.91
16	6.8	7.1	7.3	7.3	7.3	7.3	7.5	7.8	8.1	8.2	8.0	6.8	6.5	5.7	6.9	7.1	7.5	7.2	7.3	7.2	7.4	7.4	7.7	8.4	7.31
17	8.6	8.6	8.9	9.4	9.4	9.6	9.7	10.0	9.3	9.4	9.0	9.1	9.3	9.2	9.4	9.0	8.6	9.2	8.9	9.0	9.0	8.8	8.4	8.0	9.05
18	8.0	7.8	7.7	8.0	7.5	7.9	7.6	7.6	8.0	8.0	7.3	7.4	7.5	7.2	7.2	7.3	7.5	7.9	8.0	8.0	7.8	8.1	7.9	7.1	7.69
19	6.9	7.0	7.0	6.9	6.4	6.3	6.3	6.7	6.6	6.0	5.6	5.3	5.7	5.9	5.0	5.4	6.1	6.2	5.9	6.0	5.6	5.5	5.6	5.6	6.10
20	5.4	5.6	5.4	5.2	5.3	5.1	5.3	5.7	6.1	6.3	5.6	5.9	5.7	5.6	6.0	6.1	6.4	6.3	6.6	6.5	6.1	5.9	5.6	5.5	5.79
21	5.3	5.5	5.4	5.7	5.9	5.7	5.9	6.4	6.4	6.2	6.0	5.7	5.5	5.6	5.1	6.5	6.3	8.2	8.6	8.5	8.3	8.4	8.4	8.5	6.54
22	8.4	8.2	8.3	7.8	7.7	8.1	8.2	9.0	8.9	9.5	9.0	9.2	9.0	8.8	8.8	10.0	9.9	9.2	9.4	9.3	8.2	8.2	7.8	7.7	8.68
23	7.7	7.8	7.7	7.9	8.2	8.2	8.0	8.3	8.4	8.3	8.2	8.5	8.1	8.4	8.6	9.3	9.0	8.8	8.6	8.4	8.3	8.4	6.8	6.1	8.15
24	5.6	5.9	6.2	5.8	5.8	5.9	6.2	6.9	7.2	7.1	7.2	7.0	7.0	6.9	6.9	6.9	7.4	7.2	7.3	7.2	7.4	7.2	7.1	7.1	6.74
25	6.9	7.0	7.0	6.9	6.9	7.0	7.0	7.3	7.1	6.7	5.7	6.0	5.8	6.1	6.2	6.1	6.2	7.3	7.2	7.2	7.2	6.8	6.7	7.0	6.74
26	7.0	7.1	7.1	7.2	7.2	7.2	7.2	7.6	7.5	7.4	7.2	7.2	6.7	6.5	6.9	7.0	7.8	7.3	7.2	7.1	7.0	6.9	6.9	6.6	7.11
27	6.7	6.7	6.7	6.5	6.3	6.1	6.4	6.5	7.2	7.5	7.4	7.7	7.4	7.9	7.6	7.9	8.2	8.3	7.7	6.8	6.8	6.7	6.7	6.7	7.08
28	6.6	6.3	6.3	6.3	6.2	6.0	6.0	6.2	6.5	6.9	6.8	6.8	6.7	6.5	6.9	7.3	7.3	7.6	6.9	6.6	6.3	6.2	5.8	5.7	6.54
29	5.7	5.7	5.4	5.4	5.5	5.5	5.8	6.3	6.0	5.7	5.6	5.6	5.9	6.1	6.1	6.5	6.4	6.3	6.3	6.7	6.2	6.2	6.1	6.1	5.95
30	6.0	5.9	5.9	5.8	5.7	5.6	5.5	5.1	5.8	5.8	6.4	6.5	6.9	7.1	7.5	7.5	7.8	7.8	7.9	7.7	7.3	7.4	7.4	7.5	6.64
Mittel	7.39	7.37	7.34	7.33	7.27	7.32	7.41	7.80	7.95	7.85	7.63	7.55	7.50	7.55	7.73	7.90	8.02	8.16	8.07	7.91	7.80	7.73	7.57	7.45	7.64

Oktober

Datum	1a	2a	3a	4a	5a	6a	7a	8a	9a	10a	11a	Mittag	1p	2p	3p	4p	5p	6p	7p	8p	9p	10p	11p	Mitternacht	Mittel
1	7.6	7.6	7.9	7.8	8.2	7.8	8.5	8.8	9.7	9.7	9.6	11.3	11.4	11.4	11.3	8.1	7.4	7.4	7.6	7.4	7.5	7.3	7.7	7.4	8.56
2	7.7	7.8	8.1	8.0	8.3	8.6	8.5	8.1	8.0	8.0	8.0	8.2	7.6	8.3	8.2	7.9	8.3	7.6	7.2	7.0	6.5	6.3	6.0	6.0	7.66
3	6.0	5.8	5.9	6.1	6.1	6.3	6.4	6.5	6.4	6.0	4.7	4.7	4.7	4.8	4.8	5.1	4.2	4.4	4.0	3.9	4.0	3.9	4.0	3.9	5.14
4	3.8	3.7	3.7	3.7	3.7	3.7	3.8	4.0	4.1	3.7	3.0	3.4	3.1	3.1	3.3	3.3	3.3	3.3	3.6	3.2	3.2	3.2	2.9	2.9	3.46
5	3.1	3.2	3.1	3.1	3.1	3.3	3.3	3.5	3.7	3.7	3.7	3.6	3.7	3.7	4.0	4.1	4.2	3.8	3.8	3.9	3.7	3.6	3.8	3.9	3.58
6	4.0	3.9	3.8	3.7	3.6	3.5	3.6	3.7	4.0	3.4	3.3	3.4	3.3	3.6	3.6	3.5	3.7	3.8	3.9	4.0	3.9	4.0	4.0	4.0	3.72
7	4.0	4.0	3.9	3.9	3.7	3.6	3.8	3.9	4.8	4.3	4.3	4.4	4.4	4.3	4.1	4.4	4.5	4.4	4.5	4.4	4.4	4.3	4.4	4.3	4.20
8	4.3	4.3	4.3	4.1	4.2	4.1	4.0	4.1	4.2	4.3	4.3	4.6	4.2	5.3	5.6	5.8	6.5	7.2	7.4	7.1	6.9	7.1	7.0	7.2	5.30
9	7.3	7.0	6.6	6.1	6.1	6.0	6.1	6.1	6.4	6.6	7.1	8.1	8.1	7.6	6.0	5.8	6.0	6.4	6.4	6.3	6.2	5.9	5.9	5.7	6.52
10	5.7	5.6	5.5	5.3	5.2	5.1	5.1	5.1	6.6	5.9	6.0	5.6	5.8	6.0	5.8	6.1	6.4	6.1	6.1	6.0	5.8	5.8	5.7	5.3	5.73
11	5.4	5.2	5.1	5.3	5.4	5.5	5.9	5.6	5.3	5.2	4.8	4.9	5.1	5.2	5.0	5.0	5.2	5.2	5.0	4.8	4.8	4.8	5.0	4.8	5.15
12	4.9	5.0	5.0	5.0	4.2	4.3	4.4	4.5	5.4	5.6	5.8	6.3	6.8	5.8	5.6	5.4	5.4	5.1	5.3	5.3	5.2	5.2	5.2	5.5	5.24
13	5.2	5.3	5.5	5.7	5.7	5.7	5.8	6.1	6.3	6.4	6.3	6.0	6.0	6.3	6.3	6.8	6.6	6.1	5.9	5.8	5.6	5.4	5.4	5.4	5.88
14	5.5	5.4	5.4	5.2	5.1	5.0	5.1	5.0	6.0	5.9	5.6	5.5	5.6	5.9	5.8	6.3	6.1	6.1	6.0	6.0	6.2	6.4	5.9	6.0	5.70
15	6.6	7.4	8.0	8.3	8.5	8.7	7.6	7.2	7.4	7.1	6.7	6.6	6.6	6.6	6.5	6.3	6.2	6.0	6.2	6.1	6.0	5.9	5.9	6.1	6.82
16	6.2	6.2	6.2	6.1	6.3	6.3	6.3	6.5	7.0	7.0	6.9	6.9	6.6	6.5	6.5	6.8	6.9	7.0	6.6	6.5	6.3	6.4	6.3	6.2	6.50
17	6.2	6.3	6.0	5.8	5.6	5.4	5.3	5.5	6.0	6.5	6.8	7.5	7.6	8.9	8.8	8.9	8.9	9.1	8.8	8.6	8.2	7.4	6.9	6.9	7.12
18	6.8	6.7	6.7	6.6	6.6	6.4	6.5	6.7	6.8	6.8	7.1	7.0	6.8	7.1	6.3	6.5	6.6	6.5	6.5	6.5	6.5	6.6	6.5	6.3	6.65
19	6.3	6.1	5.9	5.7	5.8	5.6	5.7	6.3	6.4	6.5	6.7	7.5	7.5	7.4	7.4	7.6	7.9	7.8	7.7	7.4	7.1	6.8	6.5	6.3	6.73
20	6.4	6.3	6.3	6.2	6.2	5.9	6.0	6.5	6.8	7.0	7.1	7.1	6.9	6.7	6.8	7.3	7.4	7.0	7.1	7.0	6.9	6.9	6.8	6.8	6.71
21	6.6	6.1	5.9	5.7	5.6	5.6	5.5	5.5	5.7	5.7	5.9	5.9	5.5	5.5	5.2	5.4	5.5	5.4	5.7	5.7	5.8	6.0	5.9	5.8	5.76
22	5.7	5.7	5.4	5.3	5.3	5.2	5.2	5.3	5.9	5.9	6.0	6.1	6.5	6.5	6.6	6.5	6.4	6.7	6.7	6.9	6.8	7.0	6.9	7.1	6.14
23	7.1	7.0	7.3	7.5	7.1	7.1	6.9	6.9	6.9	6.8	6.9	6.9	6.9	6.8	6.7	6.7	6.6	6.5	6.4	6.3	6.3	6.1	5.9	6.0	6.75
24	6.0	5.9	5.9	5.8	5.9	5.8	5.8	5.9	6.4	6.9	7.4	6.7	6.7	6.6	6.6	6.7	6.6	6.5	6.4	6.4	6.2	6.1	6.1	6.0	6.29
25	5.9	5.8	5.7	5.8	5.7	5.6	5.4	5.2	5.2	5.2	5.4	5.3	5.4	5.3	5.2	5.0	5.0	5.0	5.0	4.9	5.0	5.0	5.2	5.2	5.34
26	5.2	5.0	5.0	5.0	5.0	5.0	5.0	5.0	5.2	5.2	5.3	5.4	5.4	5.5	5.5	5.4	5.4	5.4	5.4	5.3	5.3	5.1	5.1	5.2	5.22
27	5.2	5.2	5.2	5.3	5.3	5.4	5.5	5.5	5.5	5.7	6.0	6.4	6.6	6.7	6.8	7.0	7.2	7.5	7.8	8.1	8.3	8.5	8.6	8.6	6.52
28	8.9	8.8	8.6	8.3	8.0	7.6	7.5	7.5	7.9	8.2	8.4	8.7	9.1	9.2	9.3	8.8	8.5	8.5	8.4	8.2	8.1	8.1	8.2	8.1	8.38
29	7.9	7.9	8.0	7.9	7.7	7.7	7.6	7.4	7.4	7.6	7.6	8.1	8.3	8.6	8.9	8.8	9.1	9.0	9.6	9.0	9.0	9.1	9.1	8.8	8.33
30	9.1	9.6	10.0	9.7	9.2	9.3	9.6	9.8	9.8	10.1	10.1	9.8	10.0	10.4	10.4	10.4	10.4	10.2	10.1	9.9	9.4	8.8	8.2	7.9	9.64
31	8.1	8.1	8.0	8.1	7.9	8.1	8.2	8.1	8.1	7.9	7.6	7.4	7.0	7.0	6.8	6.8	6.8	6.5	7.4	7.6	7.4	7.4	7.5	7.6	7.57
Mittel	6.09	6.06	6.06	6.00	5.95	5.91	5.93	5.99	6.30	6.28	6.27	6.43	6.43	6.54	6.44	6.40	6.43	6.37	6.40	6.31	6.21	6.14	6.08	6.04	6.20

Zeitangaben nach mittlerer Ortszeit

Dampfdruck — November

$h_1 = 2.1$ m

Datum	1a	2a	3a	4a	5a	6a	7a	8a	9a	10a	11a	Mittag	1p	2p	3p	4p	5p	6p	7p	8p	9p	10p	11p	Mitternacht	Mittel
1	7.6	7.7	7.7	6.5	5.5	5.0	4.3	4.3	4.3	3.9	3.9	3.7	3.9	3.5	3.1	3.2	3.2	3.4	4.6	4.6	4.5	4.5	4.6	4.5	4.78
2	4.5	4.6	4.8	4.9	5.0	4.9	5.0	5.3	5.2	5.6	5.2	4.9	4.5	4.9	4.6	4.8	4.9	5.0	4.9	5.0	5.0	4.9	4.9	5.0	4.91
3	4.8	4.8	4.8	4.6	4.7	4.5	4.5	4.6	4.7	4.9	4.7	4.5	4.3	4.5	4.3	4.2	4.0	4.4	4.3	4.2	4.1	4.3	4.1	4.2	4.48
4	4.0	4.0	3.9	3.8	3.8	3.6	3.8	4.2	4.7	4.9	4.9	4.9	5.0	5.0	5.1	5.2	5.1	5.1	4.9	4.9	5.0	5.1	5.1	5.1	4.61
5	5.1	5.1	5.5	5.3	5.0	4.9	4.7	4.9	5.2	5.7	5.9	6.2	6.5	6.9	7.0	7.1	6.7	5.8	5.3	5.2	5.0	5.0	5.1	4.8	5.56
6	4.4	4.1	4.0	4.0	4.1	4.3	4.3	4.2	4.1	4.2	4.4	4.4	4.2	4.3	4.4	4.3	4.3	4.3	4.2	4.1	4.1	3.8	3.8	3.7	4.19
7	3.6	3.5	3.6	3.5	3.5	3.3	3.1	3.1	3.5	4.0	4.1	4.1	4.1	4.1	3.9	3.9	3.8	3.7	3.8	3.7	3.7	3.4	3.5	3.4	3.66
8	3.5	3.5	3.5	3.5	3.5	3.6	3.8	4.0	4.3	4.6	4.6	4.5	4.4	4.4	4.5	4.6	4.6	4.7	4.8	4.9	5.1	5.3	5.4	5.6	4.34
9	6.0	6.1	6.4	6.6	6.9	6.9	6.6	6.4	6.7	7.0	6.8	6.4	6.3	6.2	6.0	6.2	5.7	5.6	5.9	6.0	6.1	6.4	6.3	6.3	6.30
10	6.3	6.4	6.4	6.3	6.2	6.2	6.2	6.4	6.5	6.8	7.1	7.3	7.6	7.7	7.8	7.8	7.9	7.8	7.7	7.7	7.4	7.4	7.3	7.1	7.02
11	7.0	6.7	6.4	6.3	6.4	6.4	6.3	6.4	6.5	6.7	6.8	7.1	6.8	5.9	5.3	5.3	5.0	5.0	5.0	4.9	4.9	4.9	4.8	4.7	5.94
12	4.6	4.6	4.4	4.2	4.3	4.1	4.4	4.4	4.4	4.6	4.9	4.9	4.9	4.9	5.1	5.4	5.2	4.8	4.7	4.8	4.8	4.6	4.4	4.5	4.66
13	4.3	4.1	4.2	4.1	4.1	4.2	4.3	4.5	4.7	5.0	5.2	5.5	5.5	4.9	4.6	4.7	4.7	4.9	4.7	4.6	5.0	5.0	4.9	4.7	4.68
14	4.7	4.7	4.7	4.8	4.8	4.8	4.7	4.6	4.7	4.5	4.7	4.6	4.7	5.2	5.6	6.1	6.1	6.1	6.1	6.0	5.3	5.3	5.3	5.4	5.13
15	5.6	5.7	5.8	5.9	6.1	6.1	6.1	6.0	6.2	6.2	6.3	6.5	6.6	6.3	6.2	6.0	6.2	6.0	5.9	6.0	6.0	5.8	5.8	6.0	6.03
16	6.0	5.8	5.8	5.8	5.8	6.1	6.1	6.2	6.4	6.5	6.1	5.4	5.4	5.6	6.1	6.0	6.0	5.9	6.0	6.0	6.0	5.8	5.8	5.8	5.94
17	5.7	5.5	5.5	5.5	5.6	5.6	5.5	5.4	5.5	5.2	5.3	5.4	5.7	6.0	6.2	6.0	5.9	6.0	6.1	6.2	6.1	5.9	6.0	6.0	5.74
18	6.1	6.1	5.9	5.8	5.8	5.7	5.6	5.5	5.5	5.6	5.7	5.8	5.8	5.9	6.0	5.7	5.5	5.2	5.0	4.6	4.3	4.0	3.7	3.6	5.38
19	3.6	3.7	3.5	3.5	3.4	3.4	3.5	3.4	3.7	4.2	4.3	4.7	5.1	5.2	5.4	5.7	6.0	6.1	5.9	5.7	5.6	5.6	5.4	5.3	4.62
20	5.4	5.4	5.5	5.5	5.6	5.7	5.8	5.7	5.7	6.0	6.0	6.1	5.9	6.0	6.1	6.1	6.2	6.2	5.9	5.8	5.8	5.8	5.6	5.7	5.79
21	5.8	5.8	5.7	5.7	5.7	5.7	5.8	5.9	5.9	6.0	6.3	6.5	6.2	5.7	5.1	5.1	4.9	4.9	4.8	4.4	4.3	4.4	4.6	4.5	5.42
22	4.2	4.1	4.0	4.3	4.5	4.6	4.7	4.1	4.6	4.9	4.9	5.0	5.1	5.3	5.2	5.0	4.8	4.5	4.3	4.4	4.4	4.4	4.4	4.2	4.58
23	4.2	4.1	4.3	4.3	4.4	4.4	4.4	4.5	4.5	4.8	4.8	5.0	5.1	5.2	5.1	5.0	4.8	4.8	4.7	4.6	4.4	4.4	4.3	4.3	4.58
24	4.1	4.1	3.9	3.8	3.8	3.8	3.9	3.8	4.1	4.5	4.3	4.6	4.6	4.6	4.4	4.3	4.2	4.2	4.6	4.5	5.1	5.3	5.3	5.8	4.40
25	5.8	5.8	5.9	5.8	5.6	5.5	5.2	5.2	5.2	5.2	5.3	5.4	5.6	5.5	5.5	5.4	5.5	5.5	5.6	5.5	5.3	5.2	5.0	4.8	5.44
26	5.2	5.6	5.5	5.4	5.4	5.3	5.4	5.4	5.5	5.6	5.7	5.6	5.7	5.6	5.5	5.6	5.6	5.8	5.7	5.8	5.7	5.9	5.9	5.9	5.56
27	5.9	5.7	5.1	4.5	4.4	4.2	4.3	4.2	4.2	4.3	4.4	4.5	4.8	5.0	5.3	5.8	6.0	5.8	5.7	5.6	5.5	5.5	5.2	5.3	5.08
28	5.1	5.0	4.9	4.8	4.8	4.9	4.9	4.9	5.0	5.0	5.3	5.3	5.1	4.8	4.8	4.8	4.6	4.6	4.7	4.7	4.9	4.8	4.6	4.4	4.88
29	4.2	4.0	4.2	3.9	3.8	3.9	3.9	3.7	3.9	4.0	4.0	4.1	4.2	4.1	4.0	4.1	4.0	4.0	4.0	4.0	3.8	3.6	3.6	4.1	3.98
30	4.1	4.0	4.2	4.3	4.6	4.6	4.6	4.8	4.8	4.9	4.8	4.8	4.9	5.1	5.4	5.5	5.5	5.2	5.1	4.9	4.5	4.5	4.4	4.5	4.72
Mittel	5.05	5.01	5.00	4.91	4.90	4.87	4.86	4.87	5.01	5.18	5.22	5.26	5.28	5.28	5.25	5.30	5.23	5.18	5.16	5.11	5.06	5.03	4.97	4.97	5.08

Dezember

Datum	1a	2a	3a	4a	5a	6a	7a	8a	9a	10a	11a	Mittag	1p	2p	3p	4p	5p	6p	7p	8p	9p	10p	11p	Mitternacht	Mittel
1	4.1	3.9	3.9	3.9	4.0	4.1	4.3	4.2	4.2	4.3	4.9	5.2	4.7	4.7	4.8	4.8	4.7	4.5	4.3	4.1	3.8	3.8	3.8	3.7	4.29
2	3.5	3.4	3.4	3.3	3.4	3.4	3.6	3.6	3.7	3.6	3.6	3.7	3.8	4.0	4.2	4.3	4.3	4.4	4.5	4.7	4.7	5.1	5.3	5.0	4.01
3	4.5	4.6	4.7	4.4	4.4	4.5	4.5	4.4	4.6	4.6	4.6	4.6	5.0	5.0	5.2	5.4	5.5	5.7	5.7	5.6	5.5	5.1	5.1	5.0	4.93
4	5.1	5.2	5.1	5.3	5.3	5.2	5.2	5.1	5.0	4.9	4.9	5.0	5.0	4.8	4.5	4.2	4.2	4.1	4.2	4.3	4.3	4.3	4.4	4.3	4.76
5	4.2	4.2	4.3	4.2	4.3	4.2	4.2	4.0	4.2	4.2	4.3	4.3	4.1	4.2	4.2	4.1	4.1	4.0	4.0	3.9	3.9	3.8	3.7	3.5	4.10
6	3.5	3.5	3.4	3.3	3.2	3.1	3.1	3.0	3.0	3.2	3.4	3.5	3.6	3.6	3.3	3.5	3.4	3.3	3.2	3.0	3.2	3.2	3.1	3.1	3.29
7	3.1	3.1	3.2	3.2	3.3	3.4	3.4	3.8	4.1	4.3	4.5	4.7	4.5	4.4	4.3	4.2	4.1	4.2	4.3	4.6	4.8	4.9	5.1	5.1	4.07
8	5.0	5.0	4.9	4.7	4.4	4.2	4.1	3.9	3.9	4.0	4.1	4.4	4.4	4.4	4.4	4.5	4.6	4.5	4.6	4.6	4.5	4.5	4.6	4.6	4.48
9	4.6	4.6	4.7	4.7	4.7	4.7	4.7	4.8	4.9	4.9	5.3	5.8	6.2	6.4	6.4	6.7	6.6	6.2	6.0	6.3	6.0	5.7	5.1	4.4	5.40
10	4.3	3.9	3.8	3.6	3.4	3.3	3.4	3.3	3.4	3.7	3.9	4.1	4.0	4.3	4.4	4.5	4.6	4.5	4.6	4.8	5.1	5.1	5.3	5.4	4.20
11	5.5	5.7	5.8	5.8	5.9	6.0	6.1	6.2	6.2	6.3	6.3	6.4	6.4	6.4	6.5	6.4	6.4	6.3	6.2	6.2	6.1	5.9	5.8	5.8	6.08
12	5.8	5.8	5.8	5.7	5.7	5.7	5.7	5.7	5.8	5.8	6.0	6.0	6.0	6.2	6.2	6.3	6.4	6.9	6.9	6.8	6.9	6.9	6.5	6.1	6.14
13	5.9	5.5	5.7	5.8	5.5	5.5	5.4	5.2	5.6	5.5	5.5	5.2	5.2	5.4	5.4	5.6	5.6	5.8	5.7	5.9	5.9	5.8	5.5	5.3	5.58
14	5.2	5.1	5.8	6.1	6.1	6.3	6.4	6.6	6.5	6.7	6.9	7.4	7.8	8.0	8.2	8.4	9.0	8.5	8.4	9.0	9.3	8.1	6.6	6.8	7.14
15	7.2	7.3	7.4	7.2	7.3	7.5	9.1	9.4	9.4	8.8	7.1	6.8	6.6	6.0	5.4	5.2	5.3	5.2	5.2	5.4	5.4	5.7	5.7	5.8	6.73
16	5.9	5.7	6.3	6.6	6.7	6.9	6.9	7.4	7.5	7.5	7.1	7.1	6.8	6.1	6.1	5.4	4.8	5.2	5.1	5.1	4.9	4.9	4.9	4.9	6.06
17	4.8	4.6	4.7	4.6	4.5	4.5	4.4	4.4	4.4	4.5	4.5	4.5	4.5	4.6	4.6	4.6	4.6	4.4	4.4	4.1	4.6	4.4	4.5	4.4	4.52
18	4.6	4.3	4.4	4.5	4.5	4.5	4.6	4.5	4.7	4.7	4.5	4.6	4.5	4.5	4.4	4.4	4.3	4.2	4.3	4.2	3.9	4.7	4.8	4.9	4.48
19	5.0	4.9	5.0	5.2	4.9	4.8	4.6	4.6	4.7	4.8	4.8	4.8	4.6	4.8	4.7	4.6	4.3	4.6	4.6	4.8	5.1	5.2	5.3	5.3	4.84
20	5.1	4.9	5.0	5.0	4.9	4.9	4.6	4.8	4.8	4.9	4.8	4.8	4.8	5.0	4.7	4.6	4.6	4.5	4.3	4.2	4.2	4.1	4.0	4.1	4.68
21	4.1	4.2	4.0	3.4	3.7	4.1	3.8	3.7	3.7	4.0	4.1	4.1	4.4	4.5	4.5	4.3	4.4	4.4	4.4	4.6	4.4	4.3	4.3	4.1	4.14
22	4.1	4.1	3.8	3.9	3.6	3.6	3.8	3.7	3.8	4.0	4.3	4.5	4.7	4.7	4.6	4.6	4.6	4.5	4.4	4.5	4.4	4.4	4.3	4.6	4.22
23	4.5	4.6	4.7	4.8	5.1	5.1	5.2	5.3	5.2	5.4	5.4	5.7	5.6	5.7	5.6	5.5	5.3	5.2	5.0	5.0	4.9	4.9	4.8	4.9	5.12
24	4.7	4.9	5.0	4.8	4.9	4.9	4.9	4.7	4.9	5.2	5.3	5.5	5.7	5.6	5.5	5.7	6.1	6.1	6.0	6.0	5.9	5.8	5.9	5.8	5.39
25	5.9	6.0	6.5	6.4	6.5	6.5	6.5	6.6	6.6	6.2	6.1	6.1	5.9	5.8	6.0	6.1	6.2	6.5	6.1	5.8	6.5	6.7	7.1	7.5	6.32
26	7.8	7.4	6.9	7.0	6.5	6.6	5.8	5.5	5.8	5.7	5.5	5.4	5.5	5.4	5.5	5.6	5.7	5.4	5.5	6.5	6.6	7.0	6.8	6.2	6.20
27	6.2	6.1	6.2	6.3	6.4	6.3	6.4	6.4	6.5	6.5	6.4	6.4	6.5	6.5	6.5	6.4	6.3	6.2	6.3	6.2	5.8	5.5	5.5	5.5	6.22
28	5.6	5.7	5.7	5.8	5.6	5.8	5.8	6.0	6.2	6.5	6.7	7.2	8.1	8.8	9.1	9.3	9.4	9.4	9.2	8.6	8.7	8.9	8.9	9.0	7.42
29	8.9	8.8	8.8	8.6	8.7	8.6	8.3	7.9	8.2	8.4	8.7	8.3	8.3	8.0	8.0	7.7	7.7	7.3	7.2	7.6	7.0	6.8	6.6	6.1	7.98
30	5.7	5.6	5.5	5.2	4.9	5.1	5.0	5.1	5.0	5.1	5.2	5.2	5.5	6.0	6.3	6.4	6.5	6.5	6.5	6.3	6.0	6.1	6.1	6.0	5.72
31	6.1	6.3	6.3	5.7	5.5	5.8	5.7	5.4	5.5	5.7	5.6	5.6	5.6	5.8	5.7	5.7	5.8	5.5	5.4	5.1	5.1	5.1	5.0	4.9	5.60
Mittel	5.18	5.13	5.18	5.13	5.09	5.13	5.15	5.14	5.23	5.29	5.30	5.38	5.43	5.47	5.46	5.45	5.46	5.42	5.37	5.41	5.40	5.38	5.30	5.23	5.29

Zeitangaben nach mittlerer Ortszeit

Relative Feuchtigkeit — Januar

$h_g = 2.1$ m

Datum	1a	2a	3a	4a	5a	6a	7a	8a	9a	10a	11a	Mittag	1p	2p	3p	4p	5p	6p	7p	8p	9p	10p	11p	Mitternacht	Mittel
1	97	**97**	97	98	98	99	99	100	100	100	100	100	100	100	99	99	99	99	99	99	100	100	100	100	99.0
2	100	99	97	97	98	99	100	99	100	98	98	97	97	93	87	**86**	**86**	92	92	93	96	97	97	98	95.8
3	98	96	93	95	95	95	93	92	93	85	84	86	89	93	98	99	100	93	82	**74**	78	82	84	87	90.5
4	88	85	90	90	92	92	91	**92**	92	91	89	84	88	86	**82**	85	88	89	92	93	94	94	95	95	89.8
5	97	97	97	97	98	98	98	98	98	98	97	97	97	96	94	91	**88**	91	95	96	97	95	95	97	95.9
6	94	85	94	96	99	97	87	85	80	79	75	74	**70**	80	74	89	95	97	96	97	97	95	95	**92**	88.8
7	92	93	94	91	92	91	91	92	92	91	90	90	86	85	85	75	76	**72**	75	76	84	73	**68**	69	84.6
8	**64**	72	75	77	84	87	88	88	87	88	89	84	85	85	82	79	84	91	93	95	96	96	96	97	85.2
9	97	96	**95**	96	96	96	96	96	97	97	98	98	98	97	97	97	97	97	97	97	97	97	97	96	96.8
10	96	95	94	94	92	91	91	92	92	92	92	86	83	**82**	84	85	88	89	91	90	91	92	92	91	90.4
11	91	88	89	90	90	91	88	87	92	93	92	87	86	**79**	84	88	91	91	92	91	91	91	89	88	89.2
12	88	90	88	86	84	81	79	80	78	78	76	66	62	**55**	63	70	74	75	79	82	83	86	87	88	78.6
13	89	88	88	87	87	87	86	86	84	82	73	62	**59**	**59**	64	69	69	71	71	75	79	82	85	88	78.3
14	90	91	91	91	91	91	91	89	88	86	80	68	**64**	**64**	67	70	74	80	82	82	84	86	89	90	82.7
15	91	92	92	93	94	94	96	95	93	91	83	71	**60**	62	67	70	72	78	82	85	85	85	86	85	83.7
16	86	86	85	85	84	84	86	88	89	87	80	73	70	**62**	65	68	69	75	79	82	83	83	85	87	80.2
17	85	86	85	86	85	84	86	87	86	83	74	69	63	**61**	64	70	71	72	76	76	85	91	94	93	80.0
18	93	94	92	91	86	87	86	88	87	87	81	75	73	**72**	75	79	80	79	80	80	79	80	80	78	83.0
19	79	77	75	74	75	76	76	75	73	70	67	62	51	**47**	58	60	65	68	68	71	75	76	77	77	70.0
20	79	77	74	73	76	75	72	76	74	68	57	54	51	**50**	53	59	63	67	75	80	84	88	94	98	71.8
21	97	97	97	100	99	98	96	95	95	93	89	79	75	**73**	77	81	84	85	81	83	92	99	100	100	90.5
22	100	100	100	99	99	98	98	99	99	97	91	90	**85**	86	87	87	89	92	91	90	92	93	95	97	94.2
23	97	97	97	97	97	96	96	96	**95**	**95**	96	96	96	98	98	98	98	99	99	99	100	100	100	100	97.5
24	100	100	100	100	100	100	100	100	100	100	100	99	93	86	**84**	86	91	95	96	98	100	100	100	100	97.1
25	99	99	99	99	99	98	98	98	99	98	96	84	81	**66**	74	84	87	87	90	85	88	94	96	97	91.8
26	98	98	98	98	99	99	100	99	99	98	98	97	97	95	93	**90**	92	95	97	98	97	93	91	**90**	96.2
27	80	84	85	85	78	81	80	75	77	77	70	67	63	**54**	57	59	64	69	72	77	81	86	89	93	75.7
28	88	87	80	88	90	90	88	88	86	85	82	77	**75**	**75**	78	79	83	85	86	85	86	87	91	91	84.9
29	91	93	93	94	93	92	90	90	85	81	78	**76**	83	93	96	99	99	100	100	100	100	100	100	95	92.5
30	93	87	82	85	89	92	94	95	95	91	73	64	**58**	60	59	69	82	90	84	84	85	88	93	96	83.3
31	94	95	94	92	87	85	86	88	**83**	93	97	94	90	89	86	88	96	96	93	92	89	88	88	87	90.6
Mittel	91.3	91.0	90.6	91.1	91.2	91.1	90.5	90.6	89.9	88.8	85.3	80.8	78.3	**76.9**	78.4	80.9	83.7	85.8	86.6	87.3	89.3	90.2	91.2	**91.6**	87.4

Februar

1	84	86	86	86	88	89	90	92	93	94	84	70	**66**	70	70	74	88	96	97	99	98	98	97	97	87.2
2	98	91	87	89	88	89	87	85	83	76	65	56	56	**55**	57	63	74	84	86	88	92	91	90	92	80.8
3	91	88	87	86	85	86	86	87	85	78	68	60	**57**	**57**	58	63	64	73	77	78	81	81	81	84	77.3
4	86	86	87	87	87	87	89	87	**87**	86	78	51	41	40	**39**	48	56	65	70	73	75	74	75	78	72.6
5	79	79	79	79	80	81	83	85	81	76	68	61	59	59	**58**	62	69	74	76	76	75	76	77	79	74.0
6	79	82	81	81	82	81	81	82	81	79	78	74	73	**64**	**64**	69	75	**72**	78	85	85	84	84	81	78.2
7	78	76	82	94	97	98	90	86	77	76	70	71	70	**62**	**62**	68	72	74	76	82	87	90	89	89	79.9
8	89	90	91	90	96	98	98	99	98	89	74	65	64	**63**	**63**	67	78	81	83	88	87	88	91	94	84.5
9	96	97	98	99	99	100	100	100	100	100	99	89	88	79	82	79	**76**	82	81	84	86	88	86	88	90.8
10	90	92	95	94	95	95	98	99	98	94	77	74	68	**66**	70	72	79	85	91	94	96	98	98	97	88.1
11	98	**98**	98	99	98	**98**	**98**	98	99	99	99	99	99	100	99	99	99	100	100	100	100	100	100	100	99.0
12	100	99	99	99	99	99	100	100	99	99	99	99	98	98	98	**97**	**97**	98	98	98	98	98	98	99	98.6
13	99	99	99	99	100	100	100	100	100	100	100	96	92	**87**	88	89	95	96	96	96	95	96	96	98	96.6
14	97	96	96	96	96	96	96	97	98	98	98	96	96	95	95	**95**	95	95	96	97	98	99	99	99	96.7
15	99	99	99	99	98	98	98	98	100	100	99	94	**93**	95	95	94	94	95	96	97	98	98	98	97	97.2
16	98	98	98	98	97	96	96	96	93	84	73	67	**64**	67	72	76	83	88	94	94	93	95	96	97	88.4
17	97	96	94	95	96	96	96	97	95	90	85	**77**	78	80	80	81	85	85	88	93	94	95	96	96	90.5
18	93	93	92	90	83	85	87	84	82	64	50	46	47	46	**42**	45	59	66	71	73	79	80	82	85	72.8
19	82	86	82	83	85	84	86	87	80	74	60	56	54	**53**	**53**	56	67	75	79	82	83	86	86	86	75.6
20	83	76	78	84	93	91	92	91	87	83	76	70	59	64	**56**	59	63	71	77	81	81	82	86	85	78.2
21	**86**	88	89	89	98	100	100	100	99	99	99	99	99	99	99	99	99	98	98	98	98	98	98	99	96.5
22	99	99	99	99	100	100	100	100	100	99	99	98	97	95	**94**	**94**	95	96	98	98	100	100	100	100	98.3
23	100	100	100	100	98	97	98	98	98	98	98	98	96	94	**93**	94	96	97	97	98	99	99	100	100	97.8
24	100	100	100	100	100	100	100	100	100	100	100	100	100	100	100	100	99	98	**98**	98	99	99	99	99	99.6
25	99	99	99	99	99	100	100	100	100	100	99	99	98	98	**98**	98	98	99	98	98	**98**	98	98	99	98.8
26	99	99	99	99	100	100	100	100	100	93	85	84	77	85	**76**	80	83	85	83	79	81	89	94	97	90.6
27	92	89	87	88	87	91	93	86	80	79	84	**75**	95	88	89	83	85	77	78	81	84	84	82	83	85.5
28	82	84	**81**	82	84	82	83	84	**81**	89	92	97	95	93	88	89	92	93	**92**	93	96	97	97	98	89.1
29	98	98	98	98	98	98	99	99	89	77	65	61	57	53	**49**	50	57	63	64	74	84	89	88	84	79.5
Mittel	92.1	91.8	91.7	92.4	93.3	93.6	**93.9**	93.7	91.8	88.7	83.5	78.7	77.1	76.0	**75.4**	77.3	81.8	84.9	86.8	88.8	90.3	91.4	91.8	92.4	87.7

Zeitangaben nach mittlerer Ortszeit

Relative Feuchtigkeit — März

$h_1 = 2.1$ m

Datum	1a	2a	3a	4a	5a	6a	7a	8a	9a	10a	11a	Mittag	1p	2p	3p	4p	5p	6p	7p	8p	9p	10p	11p	Mitternacht	Mittel
1	82	87	80	94	97	97	97	97	97	92	78	77	75	**70**	**70**	75	81	80	88	84	84	87	84	84	84.8
2	85	85	85	86	86	87	90	94	97	98	97	88	95	84	**73**	93	96	93	96	97	96	95	91	88	90.4
3	89	84	91	95	95	93	92	91	77	62	61	58	63	58	**56**	70	83	92	92	93	95	93	95	96	82.5
4	96	96	96	95	95	94	94	92	86	76	67	67	68	67	60	**56**	61	67	76	83	83	87	87	82	81.1
5	81	82	88	95	95	95	94	86	84	67	59	**58**	80	82	79	70	75	86	84	84	83	80	78	86	81.3
6	90	88	83	83	87	91	89	77	76	69	59	55	63	55	**52**	83	89	88	93	91	88	86	90	93	80.2
7	94	95	92	92	91	95	95	95	78	68	67	65	**61**	72	90	86	96	98	94	98	98	97	97	96	88.1
8	96	95	94	94	93	93	92	92	88	79	76	65	58	54	**49**	50	63	77	83	85	86	88	77	84	80.3
9	84	80	79	84	86	88	93	83	78	67	54	46	48	44	**39**	41	47	60	72	76	78	82	86	92	70.8
10	96	98	99	99	100	100	100	100	90	73	64	57	56	**53**	58	62	66	71	77	80	81	85	86	86	81.2
11	85	85	86	89	91	93	93	90	77	68	60	62	58	58	**57**	**57**	62	66	72	75	80	77	79	81	75.5
12	78	78	83	82	78	78	70	69	58	54	**48**	50	53	55	55	59	57	61	68	74	74	77	76	74	67.6
13	76	74	75	75	75	75	85	84	64	55	54	49	45	**42**	**42**	44	52	56	61	63	70	75	82	81	65.1
14	86	87	92	95	95	93	93	92	84	77	68	64	65	**61**	66	77	86	93	98	97	96	97	98	98	85.6
15	98	98	100	100	100	100	100	100	99	84	74	64	56	51	**48**	49	54	59	65	67	67	72	75	82	78.4
16	85	86	86	83	84	82	81	79	76	**73**	85	86	95	97	97	98	98	99	99	100	100	100	100	100	90.0
17	100	100	98	98	98	98	98	98	98	97	89	73	73	**67**	68	70	79	88	92	94	96	96	97	97	90.5
18	97	98	98	98	98	98	98	98	90	72	63	60	63	**58**	59	62	67	71	73	77	78	81	83	83	80.8
19	85	87	87	92	95	95	95	89	81	72	63	73	67	78	64	**53**	85	88	96	95	96	92	93	94	83.9
20	91	90	89	90	91	85	84	79	70	61	56	53	**49**	**49**	**49**	50	52	58	65	68	71	74	82	87	71.5
21	89	92	93	94	96	97	98	99	80	61	46	52	48	49	50	**45**	47	55	57	62	60	89	87	81	72.6
22	79	82	80	79	81	81	77	74	64	57	56	49	**42**	43	44	46	50	56	60	66	83	86	89	87	67.7
23	86	85	85	89	92	96	95	85	69	62	63	**55**	58	57	62	63	63	67	70	84	90	93	95	97	77.9
24	96	97	98	98	99	99	100	100	100	79	63	**58**	59	62	63	68	74	82	91	94	95	96	97	98	86.5
25	98	98	98	98	99	99	99	99	90	72	59	**52**	53	58	63	62	66	73	80	85	87	91	92	94	82.5
26	95	96	96	97	98	99	99	100	97	90	79	72	68	64	**62**	63	66	76	83	88	91	94	96	97	86.4
27	94	93	93	92	91	91	90	81	69	62	56	55	54	**50**	**50**	52	58	86	81	70	67	**71**	74	79	74.2
28	81	82	82	83	84	84	80	75	67	61	**57**	62	67	73	76	87	86	96	91	95	94	95	91	88	80.6
29	84	87	88	87	86	90	88	83	70	56	52	**46**	78	89	80	69	66	61	86	72	68	72	76	76	75.9
30	76	73	74	72	73	72	71	69	61	66	65	**59**	87	77	85	85	90	85	76	84	83	82	85	78	76.2
31	85	91	87	89	87	89	86	86	75	72	60	52	47	49	45	**42**	45	54	61	63	67	69	66	70	68.6
Mittel	88.3	88.7	88.9	90.2	90.8	**91.2**	90.8	88.3	80.3	71.0	64.5	**60.7**	63.0	62.1	61.6	64.1	69.7	75.5	80.0	82.1	83.3	85.8	86.6	87.4	79.3

April

Datum	1a	2a	3a	4a	5a	6a	7a	8a	9a	10a	11a	Mittag	1p	2p	3p	4p	5p	6p	7p	8p	9p	10p	11p	Mitternacht	Mittel
1	69	71	71	70	76	72	91	95	98	99	87	72	**68**	70	76	70	**68**	73	72	87	90	85	87	81	78.7
2	**77**	78	81	81	86	89	93	96	99	97	97	98	98	97	94	90	83	83	84	88	98	98	89	83	89.5
3	80	83	84	85	89	90	92	86	68	49	43	40	33	33	**32**	36	34	41	47	57	70	78	83	90	64.2
4	91	94	96	92	90	82	74	63	61	62	59	56	51	**50**	53	62	60	64	72	75	78	74	74	74	71.9
5	76	73	71	**70**	71	71	78	93	96	93	97	92	87	86	84	84	93	97	98	94	94	93	89	88	85.7
6	88	89	92	98	99	99	99	99	96	94	97	97	96	96	95	92	86	93	97	86	95	77	**70**	71	91.6
7	73	76	75	80	79	76	81	80	82	52	40	**36**	39	47	50	74	76	80	86	93	89	82	86	87	71.6
8	90	90	93	92	89	92	88	91	91	85	**55**	**55**	56	58	60	60	59	60	63	70	72	72	66	63	74.3
9	64	77	72	64	63	66	65	56	53	50	42	**40**	**40**	45	41	44	42	53	78	76	74	68	75	76	59.5
10	78	82	82	82	93	85	66	75	69	**57**	78	66	93	77	64	75	67	74	70	93	100	100	100	98	80.0
11	98	98	91	90	90	88	86	88	82	78	65	60	59	54	44	48	**39**	40	48	53	57	58	64	93	70.8
12	99	99	99	97	96	97	98	90	99	99	95	88	98	74	67	**64**	**64**	91	85	73	80	81	82	85	87.7
13	88	92	91	90	90	88	84	68	58	53	51	**44**	**44**	54	69	70	78	87	97	98	95	96	96	95	78.4
14	93	91	91	97	99	99	100	100	100	100	91	80	67	72	66	66	**62**	66	73	82	83	83	91	97	85.8
15	98	97	93	92	90	88	70	46	44	43	40	**38**	42	43	42	44	45	46	53	59	69	78	80	84	64.8
16	87	87	85	94	95	96	84	69	54	48	49	46	44	43	**43**	**43**	**43**	46	53	62	72	80	94	87	67.5
17	88	89	91	93	94	93	80	65	49	44	42	37	39	42	**35**	36	37	42	52	60	70	76	81	83	64.2
18	85	90	91	94	94	94	85	67	54	41	38	38	37	**32**	33	**32**	36	37	42	48	59	64	69	75	60.7
19	79	82	87	91	93	93	84	62	50	42	34	32	**31**	**31**	32	**31**	32	37	44	53	59	62	64	63	57.7
20	65	68	67	68	67	71	66	54	41	41	35	31	32	**27**	29	33	36	39	44	50	53	58	62	63	50.5
21	67	70	70	76	84	82	75	63	55	49	45	40	38	36	35	**34**	36	40	45	52	58	66	63	64	56.2
22	68	77	82	82	86	84	70	58	49	43	39	33	32	**28**	41	41	36	41	47	48	40	34	40	47	52.4
23	57	67	75	79	79	76	67	56	45	35	31	29	26	28	**23**	**23**	26	30	36	46	53	57	59	62	48.5
24	64	67	69	71	73	72	65	53	41	34	31	28	27	**25**	26	26	27	30	36	42	49	50	53	55	47.0
25	56	59	66	70	79	81	69	49	43	38	**33**	35	36	37	39	36	37	40	42	44	46	53	62	73	51.1
26	79	84	91	89	92	90	82	59	52	46	35	35	**34**	37	35	36	37	38	42	49	53	60	64	70	58.5
27	74	82	78	84	80	72	62	48	36	34	30	28	26	**25**	26	29	32	35	44	63	74	81	84	88	55.4
28	92	97	95	95	96	93	75	61	50	49	42	36	**30**	**30**	**30**	33	35	35	41	54	65	72	78	84	62.2
29	87	94	95	97	100	97	83	64	60	58	53	53	52	**50**	52	53	53	51	51	**50**	53	56	59	63	66.7
30	66	68	66	65	66	63	59	52	38	34	34	**32**	35	37	37	40	47	47	51	58	66	66	68	74	53.3
Mittel	79.2	82.4	83.0	84.2	**85.9**	84.6	79.0	70.2	63.8	58.2	53.6	49.8	49.7	48.8	**48.4**	50.2	50.2	54.5	59.8	65.4	70.5	71.9	74.4	77.2	66.9

Zeitangaben nach mittlerer Ortszeit

Relative Feuchtigkeit — Mai

$h_t = 2.1$ m

Datum	1a	2a	3a	4a	5a	6a	7a	8a	9a	10a	11a	Mittag	1p	2p	3p	4p	5p	6p	7p	8p	9p	10p	11p	Mitternacht	Mittel
1	82	88	94	94	95	89	67	49	35	34	31	27	25	24	**23**	**23**	**23**	26	31	35	52	38	41	42	49.7
2	42	44	48	52	50	48	46	34	27	25	23	22	21	20	**19**	20	20	22	27	31	37	41	45	47	34.1
3	49	50	54	60	64	68	59	53	47	**46**	**46**	53	68	82	90	89	92	95	97	96	*97*	*98*	*98*	*97*	71.8
4	*96*	93	*89*	*90*	*91*	*89*	*83*	75	67	59	54	51	50	46	47	44	43	**42**	50	55	61	68	74	82	67.8
5	88	92	93	95	97	96	79	67	56	52	49	43	40	35	33	33	**32**	34	38	46	53	56	58	56	60.1
6	56	56	65	77	91	80	63	45	38	32	28	27	**26**	27	29	**26**	29	33	38	44	45	47	85	89	49.3
7	85	89	93	94	95	95	94	93	88	84	84	83	85	70	64	**61**	70	84	81	90	97	97	97	97	86.4
8	97	98	98	98	98	98	98	98	93	87	81	79	77	70	**68**	69	69	72	77	81	85	90	90	90	86.3
9	94	96	90	90	**91**	89	78	74	67	63	61	58	56	**47**	63	88	89	94	96	96	96	96	97	96	82.2
10	93	93	93	92	91	89	85	83	81	75	62	56	**54**	62	62	58	**54**	85	71	78	82	81	83	87	77.8
11	90	93	95	96	97	97	93	84	72	62	53	46	43	43	**37**	39	40	46	45	47	51	55	60	63	65.4
12	70	74	77	77	77	77	73	66	63	53	55	50	49	49	47	**41**	**41**	50	51	58	62	74	95	96	63.5
13	93	93	98	97	95	93	92	77	71	62	55	50	50	52	48	52	48	**47**	51	59	64	74	76	77	70.8
14	79	80	81	81	80	75	67	62	58	53	51	50	46	44	44	43	**41**	42	48	57	63	70	78	83	62.1
15	85	82	81	83	83	78	73	64	58	54	51	48	**44**	47	49	67	74	75	78	73	74	71	71	73	68.8
16	75	79	96	95	94	94	93	91	89	93	96	96	82	78	77	67	67	**65**	81	97	98	99	99	97	86.8
17	98	98	97	96	96	95	88	77	66	60	56	55	56	57	**53**	59	57	60	61	69	78	87	87	87	75.6
18	91	93	95	96	96	94	83	74	62	59	58	58	58	52	49	**46**	47	48	58	71	85	87	91	92	73.2
19	94	94	96	96	96	91	88	78	68	60	59	**53**	58	58	55	**53**	**53**	58	59	68	74	78	80	87	73.8
20	90	89	93	94	95	93	76	68	53	46	46	44	43	40	**38**	**38**	39	44	53	59	64	70	75	79	64.6
21	85	77	74	82	92	90	82	77	77	72	68	55	54	50	48	41	**39**	40	46	54	61	66	67	70	65.8
22	82	94	95	97	97	95	94	89	88	85	83	81	**79**	84	84	87	88	89	91	90	92	92	93	96	88.6
23	96	95	95	95	96	96	96	96	93	85	80	69	67	61	**57**	58	66	85	86	89	92	96	97	97	85.6
24	97	98	98	98	98	98	98	82	56	51	54	55	50	**46**	49	53	54	58	62	62	66	71	66	75	71.7
25	80	85	90	91	91	84	81	73	68	57	**52**	59	59	60	60	59	69	74	76	76	76	77	75	73	72.8
26	70	69	77	80	82	82	74	66	56	50	48	48	50	50	48	**47**	52	55	53	57	62	65	70	73	62.3
27	76	79	86	90	89	85	78	72	65	60	55	52	**50**	58	57	51	52	71	70	74	81	83	84	82	70.9
28	88	95	96	93	86	81	71	64	62	63	62	64	62	61	58	59	58	**55**	58	67	76	80	80	77	71.9
29	77	80	86	83	79	78	73	74	69	67	66	60	69	**56**	88	64	65	71	80	86	95	97	98	97	77.4
30	97	97	97	97	97	97	85	84	82	77	74	75	75	75	70	68	**67**	70	74	82	85	88	80	93	83.3
31	94	94	96	96	96	96	90	86	82	80	75	69	61	57	56	52	51	**49**	56	67	78	84	90	92	77.6
Mittel	83.5	85.1	87.6	88.9	**89.5**	87.4	80.6	73.4	66.4	61.5	58.6	56.0	55.1	53.6	53.9	**53.4**	54.5	59.3	62.7	68.2	73.6	76.6	80.0	82.0	70.9

Juni

Datum	1a	2a	3a	4a	5a	6a	7a	8a	9a	10a	11a	Mittag	1p	2p	3p	4p	5p	6p	7p	8p	9p	10p	11p	Mitternacht	Mittel
1	88	89	93	93	93	90	73	66	53	49	46	39	40	38	**36**	**36**	38	38	46	55	67	74	78	83	63.7
2	81	80	84	87	85	84	77	58	51	45	**40**	42	45	48	86	73	80	87	87	86	92	87	78	81	73.0
3	83	85	85	84	86	80	73	76	68	61	52	52	**45**	49	55	59	55	52	58	64	64	64	65	69	66.6
4	72	77	83	89	86	78	66	53	47	45	40	43	38	33	33	**32**	34	33	40	50	56	58	63	64	55.3
5	65	72	88	85	84	89	94	94	91	71	57	55	65	78	49	58	**48**	**48**	51	55	64	65	65	64	68.8
6	64	81	80	89	93	93	91	80	59	48	41	38	45	49	41	39	**33**	36	45	49	52	55	57	60	59.3
7	76	79	84	88	87	83	70	64	55	50	47	38	37	39	38	**36**	38	41	48	54	61	62	71	80	59.4
8	84	87	96	95	96	96	96	93	83	83	82	88	83	93	91	85	**73**	75	75	80	85	89	93	94	87.0
9	95	95	95	96	96	96	79	63	56	58	57	50	51	50	48	**44**	46	52	81	89	78	87	86	87	73.2
10	81	81	81	86	93	88	83	80	73	**71**	81	89	94	93	87	89	91	93	93	91	93	92	92	92	87.0
11	92	92	94	95	95	93	89	85	83	80	77	80	80	78	79	81	85	88	89	87	85	81	**76**	81	85.5
12	82	83	85	83	82	84	84	83	83	75	71	72	**70**	72	76	77	77	79	82	86	89	90	92	94	81.3
13	94	95	95	95	95	91	89	89	88	81	76	69	69	65	**63**	68	65	66	69	75	83	87	89	90	81.6
14	92	95	96	96	96	97	97	96	89	74	66	67	61	54	52	**51**	55	63	62	69	92	87	84	85	78.6
15	83	86	84	82	83	79	81	82	76	76	89	94	93	85	**67**	92	93	85	82	84	84	84	84	85	83.9
16	86	85	76	78	83	80	76	70	**63**	66	69	79	85	92	91	95	94	92	92	96	91	92	88	85	83.6
17	85	86	93	90	89	86	83	72	65	60	72	**56**	**56**	65	81	65	63	67	66	75	76	82	93	93	76.2
18	97	97	96	96	96	96	90	77	63	55	55	**51**	56	57	62	67	68	67	69	72	73	76	92	95	76.6
19	97	97	97	98	98	99	99	100	99	95	84	72	62	60	**57**	60	**57**	**57**	64	75	80	84	89	89	82.6
20	89	90	91	92	92	82	75	68	65	61	61	62	**59**	66	69	69	65	65	71	79	87	87	90	91	76.6
21	93	90	94	97	97	95	80	75	71	69	64	57	60	63	**55**	56	70	68	65	72	78	81	84	89	76.6
22	91	92	94	95	97	93	76	66	61	56	50	51	50	46	**44**	48	47	45	55	65	71	80	82	85	69.2
23	90	94	96	97	97	86	69	57	50	44	37	34	**29**	30	31	34	36	38	47	54	63	69	74	77	60.7
24	83	86	88	88	87	76	66	62	**56**	84	89	90	87	75	77	72	70	73	76	83	91	94	96	96	80.9
25	96	93	92	96	95	91	87	83	80	78	71	65	58	**55**	60	65	77	87	89	87	91	95	97	97	83.2
26	96	96	96	96	96	94	90	87	89	92	88	73	68	67	66	**61**	62	88	90	93	94	94	96	97	86.6
27	97	98	98	98	98	98	83	72	62	57	51	47	44	40	**38**	41	42	45	53	58	64	69	68	70	67.5
28	71	71	70	73	74	76	63	57	49	42	42	39	39	38	37	**36**	37	40	48	56	64	71	77	80	56.8
29	86	86	89	89	88	84	73	63	55	51	44	39	37	39	38	37	**36**	42	50	57	64	66	76	81	62.0
30	88	89	93	90	93	94	97	98	97	96	97	96	97	86	**74**	97	93	90	90	94	97	98	98	97	92.8
Mittel	85.9	87.6	89.5	90.5	**91.0**	88.4	81.6	75.6	69.3	65.8	63.2	60.9	60.1	60.1	**59.4**	60.8	60.9	63.3	67.8	73.0	77.6	80.0	82.4	84.4	74.5

Zeitangaben nach mittlerer Ortszeit

Relative Feuchtigkeit — Juli

$h_t = 2.1$ m

Datum	1a	2a	3a	4a	5a	6a	7a	8a	9a	10a	11a	Mittag	1p	2p	3p	4p	5p	6p	7p	8p	9p	10p	11p	Mitternacht	Mittel
1	97	97	97	97	96	96	93	81	71	67	70	**48**	56	90	74	71	83	78	76	88	90	94	93	93	83.7
2	93	94	95	96	96	96	82	73	72	67	78	77	67	59	55	**50**	**50**	61	84	93	95	95	96	97	80.6
3	97	98	98	98	98	98	97	96	85	72	69	67	59	65	59	**58**	74	81	83	81	87	90	92	94	83.7
4	95	95	96	96	97	97	96	89	85	77	72	75	65	57	56	51	**50**	53	56	65	76	77	80	85	77.4
5	85	88	91	94	95	92	82	71	59	53	41	40	38	40	**36**	**36**	39	45	48	53	57	64	63	70	62.6
6	79	83	86	77	79	82	73	57	47	44	42	40	40	38	38	**38**	38	38	44	53	71	78	84	85	60.2
7	89	90	92	94	94	88	76	61	52	42	39	37	35	32	**31**	36	38	39	47	54	60	68	72	76	61.1
8	81	85	83	86	83	74	64	57	54	53	50	48	45	**42**	46	48	92	96	95	86	92	94	97	97	73.0
9	98	97	97	97	97	97	96	89	77	75	74	69	61	59	57	58	**54**	55	61	69	79	88	89	92	79.3
10	92	93	95	94	96	96	87	72	61	54	55	51	**46**	48	49	49	49	50	56	63	66	75	84	89	70.5
11	92	94	96	96	97	93	83	74	63	57	47	42	40	39	**34**	36	37	42	49	57	65	74	74	78	65.9
12	80	83	85	88	90	87	75	58	49	35	31	29	30	29	**28**	**28**	31	35	42	50	61	66	70	71	56.4
13	76	80	83	84	83	80	69	60	48	37	37	35	**34**	35	37	36	37	40	42	47	53	58	54	57	54.9
14	63	66	67	70	74	71	67	64	57	50	39	36	**31**	33	**31**	32	36	37	42	52	60	72	79	82	54.7
15	82	82	82	83	83	77	68	61	55	49	43	**29**	32	35	35	37	38	42	47	54	65	73	80	87	60.0
16	90	92	91	92	90	83	73	61	52	48	44	39	36	**33**	36	39	38	40	47	53	60	75	73	77	62.0
17	84	84	87	87	85	87	73	62	48	38	35	**30**	34	36	32	**30**	32	36	48	45	49	49	50	53	54.8
18	60	62	68	63	61	55	57	49	38	30	30	29	28	27	**24**	26	25	25	32	42	46	52	52	61	43.8
19	64	66	71	73	67	68	62	55	48	39	31	29	26	**25**	27	27	28	31	37	71	76	82	88	90	53.7
20	90	90	92	95	96	97	97	97	94	89	91	90	84	85	86	**83**	**83**	85	88	90	92	93	87	95	90.4
21	96	96	96	98	98	99	99	84	71	67	55	44	38	39	37	**36**	42	46	50	61	66	74	84	88	70.4
22	90	92	95	95	95	96	88	78	61	51	44	41	40	**39**	43	41	41	45	46	56	70	76	82	87	67.2
23	90	89	93	94	95	95	87	75	64	49	52	51	48	**47**	61	71	65	71	72	73	74	72	74	78	73.1
24	83	91	94	95	95	95	93	85	74	65	61	44	41	36	35	**34**	36	38	48	63	73	80	84	86	68.3
25	89	93	94	95	95	91	82	71	58	48	42	39	47	**36**	**36**	37	43	44	52	56	68	64	62	61	63.6
26	62	64	66	70	73	75	71	62	45	36	36	32	30	**28**	**28**	29	62	70	75	80	86	91	92	94	60.3
27	94	95	96	96	97	97	98	98	81	69	65	63	63	59	57	57	**56**	60	63	67	76	82	83	87	78.1
28	88	88	87	95	95	90	72	62	51	42	34	30	27	25	**24**	25	25	27	47	47	60	87	91	94	60.0
29	94	92	93	93	95	97	95	96	98	97	95	90	88	75	59	56	**55**	65	70	77	84	83	87	92	84.8
30	93	94	94	94	87	90	76	67	62	53	44	**38**	40	42	42	41	42	48	54	54	55	59	65	71	63.9
31	77	80	79	77	81	81	74	67	65	54	51	48	47	48	48	**45**	46	48	52	58	61	64	68	70	62.4
Mittel	85.3	86.9	88.4	**89.1**	**89.1**	87.7	80.8	72.0	62.7	55.1	51.5	47.1	45.0	44.5	**43.3**	**43.3**	47.3	50.7	56.5	63.2	70.1	75.8	78.0	81.8	67.1

August

Datum	1a	2a	3a	4a	5a	6a	7a	8a	9a	10a	11a	Mittag	1p	2p	3p	4p	5p	6p	7p	8p	9p	10p	11p	Mitternacht	Mittel
1	73	73	73	80	87	81	70	61	54	55	**49**	55	58	76	64	59	72	77	81	84	86	88	91	92	72.4
2	91	95	95	96	97	97	98	98	98	98	95	95	92	90	92	91	**87**	90	92	96	95	96	96	96	94.3
3	97	98	98	98	98	95	92	89	80	74	63	58	52	49	47	**42**	43	51	55	58	77	81	87	89	74.7
4	88	89	95	87	85	87	75	77	65	60	53	43	43	40	**39**	40	42	45	53	64	72	75	77	82	66.6
5	86	89	90	92	93	92	81	71	64	61	55	**54**	68	83	81	90	97	97	96	97	98	98	98	98	84.4
6	97	97	97	97	97	98	98	91	74	66	62	53	52	50	49	**39**	42	51	56	60	64	64	73	71	71.8
7	76	84	87	91	93	92	82	68	56	54	52	50	**47**	52	51	53	71	85	86	95	96	97	97	97	75.3
8	97	98	97	95	96	96	97	97	97	97	97	94	**85**	91	87	88	88	87	87	90	90	91	89	94	92.9
9	93	93	94	95	94	92	86	80	74	73	66	60	58	54	**51**	63	64	91	96	98	98	98	98	97	82.4
10	97	96	96	94	95	94	92	84	70	62	54	51	**48**	52	53	57	59	63	70	77	86	90	92	92	76.8
11	93	92	93	93	94	93	92	84	80	78	77	68	63	64	61	**60**	63	68	73	79	75	80	84	86	79.4
12	86	87	88	88	85	86	84	77	72	65	63	55	**54**	58	59	64	87	90	86	81	81	82	87	91	77.7
13	94	94	95	96	97	95	89	77	70	61	**51**	53	58	76	79	74	70	77	81	94	95	95	95	95	82.1
14	96	96	96	95	92	92	88	82	72	69	60	65	61	51	49	**47**	49	52	63	83	79	86	86	83	75.5
15	87	89	88	88	88	95	93	86	75	66	65	**57**	61	59	64	65	79	79	79	82	83	75	80	83	78.0
16	87	89	85	82	81	83	81	82	79	78	**75**	84	86	80	80	80	78	87	84	84	84	85	85	88	82.8
17	87	85	86	85	85	86	84	86	86	83	77	80	87	77	74	73	71	**66**	75	83	90	94	92	86	82.6
18	82	87	91	98	98	98	98	97	91	78	70	53	49	45	**41**	**41**	**41**	45	52	59	65	68	70	69	70.9
19	71	73	74	76	79	77	76	78	76	60	50	56	46	42	43	**41**	44	49	60	66	67	72	73	90	64.3
20	92	94	94	90	89	91	82	81	86	80	80	81	86	83	73	65	**61**	68	74	78	83	87	93	95	83.0
21	96	95	95	95	96	95	92	81	72	69	88	85	**59**	83	82	66	61	62	70	75	80	81	79	80	81.3
22	85	87	83	84	83	81	80	80	77	76	70	71	69	**60**	67	67	69	81	85	95	95	96	96	95	80.5
23	93	95	94	96	94	92	88	82	72	65	60	59	60	62	**54**	55	56	65	67	73	76	79	82	87	76.0
24	96	98	98	98	98	99	99	100	100	99	92	89	83	86	**79**	82	89	92	95	96	97	98	98	98	93.8
25	98	99	99	99	99	99	99	100	96	91	89	81	84	80	**79**	83	88	89	92	93	94	96	97	98	92.8
26	98	98	98	98	99	99	99	98	79	73	**72**	74	87	92	95	96	95	95	94	93	94	93	94	93	92.2
27	93	89	84	84	85	82	83	78	65	**61**	62	**61**	**61**	91	93	98	98	98	99	99	99	100	100	100	86.2
28	99	99	99	97	97	96	88	82	76	71	67	**57**	73	74	72	69	69	73	80	84	84	87	90	93	83.0
29	95	94	94	95	95	94	94	83	65	59	53	44	40	50	**36**	39	45	52	59	66	69	68	69	72	68.9
30	83	77	78	78	75	74	75	70	61	56	51	50	**47**	51	55	57	69	78	91	92	95	96	97	97	73.0
31	97	97	97	97	97	98	98	99	98	88	79	81	**74**	79	79	87	94	95	85	83	91	96	99	99	91.4
Mittel	90.4	91.2	91.3	91.5	**91.6**	91.3	88.2	83.8	76.8	71.8	67.6	65.1	**64.2**	67.1	65.4	65.5	69.1	74.1	77.9	82.5	85.1	86.8	88.5	89.9	80.2

Zeitangaben nach mittlerer Ortszeit

Relative Feuchtigkeit — September

$h_1 = 2.1$ m

Datum	1a	2a	3a	4a	5a	6a	7a	8a	9a	10a	11a	Mittag	1p	2p	3p	4p	5p	6p	7p	8p	9p	10p	11p	Mitternacht	Mittel
1	99	98	98	99	99	99	99	99	81	65	58	52	47	**44**	46	50	51	60	62	65	73	66	71	76	74.2
2	80	80	93	95	95	96	90	85	83	75	68	64	59	**57**	**57**	61	65	73	82	80	83	87	93	96	78.9
3	97	97	97	98	98	99	99	100	90	80	70	65	**57**	90	79	82	85	91	92	95	92	92	93	95	89.2
4	97	98	98	99	99	100	100	100	78	63	**54**	55	60	65	73	84	94	98	98	98	99	99	99	98	88.0
5	98	98	98	98	98	97	96	89	79	71	70	**66**	91	85	88	73	68	77	81	85	84	89	87	82	85.8
6	83	87	91	92	89	81	81	78	75	75	71	68	71	70	**64**	66	67	72	75	79	83	83	83	83	78.0
7	84	84	87	99	99	98	98	96	93	95	93	87	**83**	84	93	85	88	93	92	**83**	92	93	91	92	90.6
8	90	89	91	89	91	93	89	85	76	70	60	55	**53**	**53**	66	67	85	95	98	99	99	99	99	99	83.3
9	99	99	99	99	99	99	99	99	100	91	75	65	**62**	78	89	95	90	94	96	97	93	91	92	93	91.7
10	96	96	96	96	96	96	96	96	96	95	95	91	96	**89**	97	97	95	95	97	96	97	97	97	97	95.5
11	97	97	97	97	97	97	97	96	85	77	64	**55**	**55**	64	65	56	80	93	95	92	94	95	97	97	85.4
12	97	98	98	99	99	100	100	100	96	71	68	62	60	**57**	80	69	74	81	89	88	91	93	96	96	86.4
13	97	97	97	98	99	100	100	100	100	76	61	59	**55**	63	67	71	79	84	90	91	93	94	96	96	86.4
14	96	97	97	98	99	99	99	99	94	87	**76**	**76**	77	79	83	90	97	100	100	100	100	100	100	95	93.4
15	92	92	92	92	91	91	94	92	89	89	89	81	88	87	81	72	**71**	78	79	89	95	97	97	97	88.4
16	97	97	98	97	97	97	97	97	92	86	73	56	52	**50**	56	60	65	69	78	80	83	84	88	95	81.6
17	97	98	98	99	98	99	99	99	90	78	77	76	76	75	79	76	**73**	86	86	87	92	93	89	86	88.0
18	86	84	84	87	88	90	85	84	87	82	70	70	70	65	**63**	65	69	80	87	89	90	94	94	95	81.8
19	96	98	98	99	99	100	100	95	76	60	53	52	55	57	**46**	50	63	72	80	85	87	87	88	85	79.0
20	83	93	94	87	90	93	97	94	77	66	54	55	52	**48**	53	57	62	69	81	87	94	95	96	96	78.3
21	98	99	99	99	99	98	98	96	74	62	60	52	47	46	**42**	57	58	81	93	95	95	96	97	97	81.4
22	97	98	98	98	98	99	99	99	93	90	80	80	78	76	**74**	84	84	88	93	95	94	93	87	88	90.4
23	90	89	88	90	95	95	97	98	95	91	77	70	**67**	**67**	83	93	95	94	95	94	94	95	80	75	87.8
24	**71**	87	95	96	100	100	100	100	87	79	79	75	73	73	73	74	81	83	88	88	90	89	91	91	85.5
25	93	96	96	96	95	96	96	97	94	79	**64**	67	65	66	66	65	69	92	95	95	95	95	96	98	86.3
26	98	99	99	99	99	99	99	99	90	81	73	70	64	**59**	65	71	91	93	97	99	99	99	99	99	89.5
27	99	99	99	99	99	99	100	100	100	100	88	79	**70**	79	75	82	87	92	88	80	84	85	87	87	90.2
28	89	94	98	99	98	98	99	94	81	70	63	**58**	59	59	65	69	73	83	90	94	96	97	97	98	84.3
29	98	98	98	98	98	98	98	98	75	59	52	48	**47**	49	49	53	58	67	74	78	79	83	86	86	77.0
30	88	90	90	92	94	96	95	82	76	64	60	56	**56**	**56**	56	57	69	76	80	83	80	81	83	82	77.1
Mittel	92.7	94.2	95.4	96.1	96.5	**96.7**	96.5	94.9	86.7	77.6	69.8	65.5	**64.8**	66.3	69.1	71.0	76.2	83.6	87.7	88.9	90.7	91.4	91.6	91.7	85.1

Oktober

Datum	1a	2a	3a	4a	5a	6a	7a	8a	9a	10a	11a	Mittag	1p	2p	3p	4p	5p	6p	7p	8p	9p	10p	11p	Mitternacht	Mittel
1	82	82	84	83	85	81	91	94	99	83	78	95	94	90	92	67	**61**	63	68	66	71	70	76	72	80.4
2	72	**71**	73	76	81	83	85	83	85	84	82	78	73	83	83	87	92	89	87	86	82	84	84	88	81.7
3	88	92	95	96	96	97	97	97	84	71	56	**53**	57	55	63	67	58	72	70	72	75	85	85	92	78.4
4	95	96	97	98	98	98	98	98	80	57	42	44	**39**	41	43	42	47	56	66	63	65	69	64	66	70.2
5	70	70	67	69	74	77	76	72	50	48	46	42	42	**41**	43	45	53	57	60	65	65	63	66	73	60.0
6	84	87	88	91	92	92	92	86	66	48	43	42	**40**	42	42	42	51	64	76	84	87	90	91	92	71.4
7	91	91	93	94	96	97	98	98	98	71	61	54	50	**47**	48	52	61	71	76	77	77	77	79	78	77.1
8	82	82	82	83	85	87	89	81	62	53	46	43	**39**	47	48	51	63	72	78	86	81	84	89	92	71.3
9	96	97	97	98	98	99	100	100	100	100	100	96	82	74	**54**	**54**	67	81	85	87	88	90	96	97	89.1
10	97	98	98	98	100	100	100	100	99	80	75	**67**	69	73	72	76	82	81	84	83	82	81	80	75	85.9
11	76	74	73	77	79	82	86	82	71	65	59	60	**54**	57	56	58	69	77	78	79	78	82	85	84	72.6
12	86	90	91	94	96	98	98	98	98	83	82	77	71	58	**54**	56	68	76	84	85	88	91	94	96	83.8
13	94	97	98	98	98	99	100	100	96	79	72	63	**61**	**61**	64	73	76	80	87	88	88	89	90	90	85.5
14	91	91	94	96	98	98	98	99	97	73	57	51	**49**	**49**	51	62	66	69	69	68	73	80	71	73	76.5
15	80	87	95	96	96	96	90	88	86	78	69	66	**64**	66	66	66	71	83	88	90	90	90	92	92	82.3
16	94	94	96	95	95	94	94	93	86	78	73	68	**61**	62	62	68	73	78	74	76	74	76	78	83	80.7
17	86	91	93	96	96	96	95	92	88	78	74	**68**	73	93	96	97	97	99	98	98	95	90	92	92	90.2
18	95	94	96	97	97	96	94	93	88	86	78	77	73	79	**66**	71	81	85	91	95	92	93	96	97	88.1
19	98	98	99	99	99	97	97	96	87	86	**82**	95	96	97	98	100	100	100	100	100	99	96	98	98	96.5
20	99	99	99	99	99	99	100	100	100	100	95	89	76	**72**	73	89	96	98	100	99	97	97	96	96	94.6
21	95	96	97	97	97	97	97	94	85	73	66	60	54	53	**51**	59	69	79	83	85	87	91	94	97	82.1
22	96	97	97	97	97	96	97	98	99	85	81	72	**71**	74	76	78	81	85	84	86	85	90	88	87	87.8
23	80	**77**	86	95	91	95	96	97	96	95	96	96	96	96	96	96	96	97	97	97	97	97	97	98	93.9
24	98	98	98	99	100	100	100	100	100	100	100	88	85	84	**83**	88	94	96	98	97	94	92	92	92	95.0
25	92	92	94	96	97	97	95	96	96	95	93	**90**	92	91	**90**	**90**	92	92	93	92	93	93	98	99	93.6
26	99	98	98	98	98	98	98	98	99	99	98	98	**97**	98	98	99	99	99	100	100	100	99	99	99	98.6
27	99	99	100	100	100	100	100	100	100	100	100	99	99	99	99	100	100	99	99	99	99	99	99	**98**	99.4
28	97	96	96	96	96	97	97	96	93	86	84	77	74	**69**	**69**	73	76	77	80	78	78	78	81	77	84.8
29	72	76	80	80	80	79	82	80	76	73	63	**62**	64	66	68	67	69	68	74	76	78	82	83	86	74.4
30	88	90	94	93	92	95	98	99	99	99	100	92	90	87	84	84	86	87	89	91	89	84	**82**	**82**	90.4
31	88	90	89	91	89	92	95	93	90	82	78	71	68	**68**	68	73	78	75	90	95	91	92	98	100	85.0
Mittel	89.0	90.0	91.5	92.7	93.4	93.9	**94.6**	93.6	88.8	80.3	75.1	72.0	**59.4**	70.1	69.5	71.9	76.5	80.8	84.1	85.3	85.1	86.3	87.5	88.4	83.9

Zeitangaben nach mittlerer Ortszeit

Relative Feuchtigkeit — November

$h_1 = 2.1$ m

Datum	1a	2a	3a	4a	5a	6a	7a	8a	9a	10a	11a	Mittag	1p	2p	3p	4p	5p	6p	7p	8p	9p	10p	11p	Mitternacht	Mittel
1	99	100	100	95	86	87	81	81	76	64	61	58	56	52	**49**	52	60	67	89	93	91	92	91	88	78.7
2	87	88	90	90	91	89	92	96	100	100	89	76	69	**69**	69	75	84	87	91	95	97	93	91	91	87.5
3	86	89	88	87	89	89	91	94	91	88	78	74	68	**68**	68	71	81	90	93	94	95	97	98	99	86.3
4	99	99	99	99	100	100	100	100	99	96	90	90	87	85	85	86	87	86	**83**	85	86	87	87	85	92.0
5	**84**	**84**	96	98	98	99	98	98	99	99	99	99	100	100	100	100	100	98	98	98	97	97	97	93	96.6
6	88	85	91	94	96	96	95	95	90	87	81	77	**70**	73	78	80	88	92	95	98	100	100	100	100	89.7
7	100	100	100	98	98	97	96	96	97	98	98	98	97	95	**93**	**93**	94	95	94	94	94	94	95	**93**	96.3
8	93	92	92	93	**91**	**91**	93	95	97	97	96	95	94	93	95	96	97	97	98	99	100	100	100	100	95.5
9	100	100	100	100	100	100	100	99	100	100	95	89	83	83	**81**	90	95	98	100	99	99	99	99	99	96.3
10	99	99	99	99	99	99	99	99	99	99	99	99	99	99	99	99	99	99	99	99	99	99	99	99	99.0
11	99	98	98	98	98	98	98	98	98	98	98	97	**95**	97	99	100	100	100	100	100	97	97	**95**	**95**	98.0
12	95	93	93	95	96	94	96	97	93	92	83	78	**71**	73	80	88	94	95	97	98	98	98	98	98	91.5
13	98	98	99	99	99	99	100	100	100	100	99	98	97	86	**81**	84	86	90	92	94	95	90	88	88	94.3
14	92	94	96	97	97	98	95	93	89	77	73	**68**	70	81	93	96	97	97	98	97	97	98	98	98	91.1
15	98	98	98	98	98	98	99	99	100	99	98	95	93	**88**	**88**	92	96	95	93	96	97	96	98	99	96.3
16	99	99	99	99	99	100	100	100	100	100	89	**79**	80	83	91	92	94	94	95	95	94	92	92	93	94.3
17	93	94	94	94	96	96	97	98	96	88	85	**83**	85	90	91	92	94	95	96	97	97	97	98	98	93.5
18	98	98	99	99	99	98	97	97	93	90	85	79	**75**	80	85	87	87	89	90	91	89	92	95	95	91.4
19	95	94	94	94	94	94	94	96	96	97	96	96	**93**	95	96	98	98	98	98	98	98	98	98	98	96.0
20	98	96	96	96	96	96	95	93	93	95	95	90	**89**	90	94	94	98	97	94	92	93	94	90	91	94.1
21	96	96	96	97	98	97	98	100	100	100	100	100	95	86	80	83	83	87	86	**78**	85	94	94	91	92.4
22	90	95	96	98	97	97	96	96	99	100	99	97	**85**	**85**	90	96	99	99	98	97	96	94	90	86	94.6
23	87	84	87	86	90	91	91	92	91	91	**82**	**75**	77	81	83	90	94	94	94	94	95	96	95	95	88.8
24	95	94	94	95	96	96	96	97	99	91	84	83	79	79	**77**	78	79	79	86	82	95	98	99	100	89.8
25	100	100	99	96	95	95	91	90	89	87	81	**77**	81	82	84	85	87	87	87	84	83	85	82	78	88.2
26	88	96	93	90	89	89	**88**	89	89	**88**	86	85	81	**79**	82	86	86	88	89	87	**88**	89	88	88	87.2
27	87	83	72	65	66	62	65	64	60	60	**60**	60	60	64	66	73	76	76	77	80	82	85	89	91	72.5
28	93	93	94	96	95	91	87	88	88	84	90	86	80	**77**	79	82	82	84	84	84	87	89	85	85	87.0
29	91	93	92	90	95	97	96	96	95	85	81	78	77	**74**	78	87	91	92	93	92	88	84	84	94	88.3
30	96	95	96	97	97	94	93	94	92	90	85	78	**73**	74	82	89	90	88	86	83	81	81	82	82	87.7
Mittel	94.1	94.2	**94.7**	94.4	94.6	94.2	93.9	94.3	93.6	91.3	87.8	84.6	**81.6**	82.3	83.9	87.1	89.9	91.1	92.4	92.4	93.1	93.5	93.2	93.0	91.2

Dezember

1	75	**74**	76	78	81	82	86	86	82	81	88	93	92	95	97	98	98	98	95	90	79	81	84	85	86.2
2	86	83	79	83	**82**	86	82	80	79	73	69	**68**	70	73	78	86	89	86	83	86	86	88	93	90	81.7
3	89	94	93	93	96	95	95	96	97	89	81	**78**	87	88	89	92	94	98	97	96	94	94	96	95	92.2
4	96	96	96	96	94	93	93	93	90	87	86	81	75	73	**72**	77	76	79	83	84	80	80	81	81	85.5
5	80	80	81	81	83	82	83	88	91	85	79	67	**61**	64	70	77	83	86	83	84	85	85	86	86	80.4
6	85	87	89	82	79	78	75	72	67	67	64	**60**	**60**	62	67	69	71	74	71	76	78	79	82	82	74.5
7	**81**	**81**	83	86	91	94	95	95	97	97	97	96	91	90	88	89	88	87	88	91	92	93	95	95	90.5
8	94	94	95	95	96	94	93	91	93	90	87	72	**66**	**66**	77	84	87	88	85	85	87	88	88	86	87.0
9	87	88	88	88	88	87	87	88	86	**80**	85	88	90	88	85	91	95	96	96	97	97	97	92	85	89.4
10	85	85	87	89	89	88	91	91	90	87	84	69	**65**	75	76	79	79	76	80	83	90	94	97	97	84.4
11	**98**	**98**	**98**	99	99	100	100	100	100	100	100	100	100	100	100	100	100	100	100	100	100	100	100	99	99.5
12	99	98	98	98	97	97	97	97	97	92	90	**86**	87	88	**86**	**86**	87	96	98	97	97	96	95	97	94.2
13	97	95	96	95	94	94	94	94	95	93	83	72	**71**	74	76	77	78	82	83	89	94	92	85	80	87.2
14	77	**75**	90	92	92	93	96	96	93	87	85	94	97	97	98	98	97	88	83	93	94	97	81	83	90.2
15	86	91	95	96	99	99	99	100	99	92	76	75	74	70	**67**	69	72	71	70	73	74	76	77	76	82.4
16	77	**73**	84	93	90	90	91	95	97	98	96	97	95	86	86	79	79	86	88	93	90	94	94	94	88.8
17	93	94	95	94	95	96	95	95	94	92	85	78	**76**	79	81	81	86	88	87	86	93	89	86	85	88.7
18	89	88	88	91	91	88	84	83	87	81	75	76	75	76	76	77	73	74	75	74	**67**	93	99	100	82.6
19	100	100	100	98	94	89	88	89	88	88	85	81	**79**	80	83	84	87	86	85	85	89	90	89	86	88.9
20	82	83	86	86	87	86	87	86	85	83	78	74	**69**	72	75	82	86	88	89	88	86	85	86	87	83.3
21	89	91	91	92	95	93	89	92	90	83	71	71	**65**	68	73	75	80	75	85	90	95	96	97	97	85.2
22	98	97	95	95	94	96	95	95	94	92	84	76	**74**	**74**	79	85	89	90	91	92	93	92	92	92	90.0
23	88	89	88	90	88	87	86	87	85	87	81	73	**69**	70	79	87	89	90	89	90	92	91	91	92	86.0
24	92	92	90	89	91	92	93	92	94	91	88	85	79	**78**	83	91	96	90	87	88	91	92	95	94	89.8
25	93	91	93	89	87	87	87	89	91	85	77	72	**69**	**69**	76	81	82	80	78	72	92	97	98	97	85.0
26	91	82	75	78	81	84	81	84	88	85	78	71	**69**	**69**	74	81	86	81	82	95	96	97	95	89	83.6
27	93	**92**	95	97	98	98	99	99	100	100	99	97	97	96	96	97	97	98	98	98	98	99	99	99	97.1
28	99	98	98	98	98	98	98	98	98	98	99	99	99	99	99	99	99	99	99	98	98	**97**	**97**	98	98.4
29	98	98	98	98	99	99	99	99	100	100	97	91	88	83	87	92	97	96	98	96	85	82	**76**	81	93.4
30	83	89	92	86	83	83	77	78	77	75	**73**	**73**	76	89	97	97	97	94	97	92	91	91	91	92	86.2
31	93	97	96	93	93	94	91	92	93	90	84	**79**	**79**	81	83	86	88	86	86	82	**82**	82	85	85	87.7
Mittel	89.5	89.5	90.6	90.9	**91.1**	91.0	90.5	91.0	90.9	88.0	84.0	80.4	**78.8**	79.7	82.4	85.4	87.3	87.3	87.4	88.5	89.2	90.5	90.4	89.8	87.7

Zeitangaben nach mittlerer Ortszeit

Januar

Datum	12-1ª		1-2ª		2-3ª		3-4ª		4-5ª		5-6ª		6-7ª		7-8ª		8-9ª		9-10ª		10-11ª		11-12ª	
	Richt.	G.	Richt.	G.	Richt.	G.	Richt.	G.	Richt.	G.	Richt.	G.	Richt.	G.	Richt.	G.	Richt.	G.	Richt.	G.	Richt.	G.	Richt.	G.
1	SSW	2.8	SW	3.1	SW	2.8	SW	2.8	WSW	3.9	WSW	4.3	W	4.2	W	3.5	W	3.2	WSW	2.6	W	2.9	WNW	2.6
2	WSW	6.4	WSW	6.7	WSW	6.5	WSW	6.6	WSW	6.4	WSW	7.0	WSW	7.7	W	7.5	W	8.2	W	8.9	W	8.9	W	9.1
3	W	9.0	W	8.3	W	8.2	W	7.5	W	7.9	W	8.6	W	9.1	W	10.2	W	10.7	W	9.4	W	11.1	W	12.8
4	WNW	11.3	WNW	9.9	WNW	9.9	WNW	10.2	W	9.9	W	9.5	W	9.0	W	9.1	W	8.2	W	8.4	W	8.0	W	8.4
5	W	4.2	W	3.5	WSW	3.2	SW	2.7	SSW	2.4	SSW	2.7	S	3.3	S	3.7	SSE	5.0	SE	5.6	S	5.2	SW	6.7
6	WSW	8.0	WSW	9.0	WSW	10.5	WSW	12.0	W	11.2	W	13.5	W	13.2	W	13.0	W	11.8	W	9.7	W	10.4	W	10.2
7	E	6.8	E	7.1	E	6.9	E	7.6	E	7.8	E	8.2	E	7.5	ENE	7.7	ENE	8.0	ENE	7.5	ENE	7.5	ENE	6.9
8	NW	7.0	WNW	7.0	WNW	7.7	WNW	7.1	WNW	6.6	WNW	5.8	W	4.4	WSW	2.8	WSW	3.2	WSW	3.6	WSW	4.4	W	4.7
9	SW	0.7	SSW	0.8	S	1.6	S	3.2	S	3.0	SSE	3.6	SE	4.3	ESE	4.2	E	4.3	ESE	4.2	ESE	3.4	E	3.9
10	E	4.5	E	4.5	E	4.8	E	4.6	E	4.6	E	4.6	E	4.7	E	4.6	E	4.7	E	4.6	E	4.3	E	3.1
11	WNW	3.7	WNW	3.7	W	4.1	WNW	4.4	NW	3.5	N	2.1	WSW	1.3	WSW	2.3	W	0.7	ESE	0.7	ESE	2.2	SE	2.8
12	ESE	6.5	ESE	6.2	ESE	6.2	ESE	6.2	ESE	6.0	ESE	6.4	ESE	6.6	ESE	7.8	ESE	8.8	ESE	7.5	ESE	6.0	ESE	7.2
13	ESE	7.5	ESE	6.8	ESE	6.4	ESE	6.5	E	7.2	E	7.0	E	7.2	E	7.6	ESE	6.8	E	7.5	E	7.2	E	7.1
14	E	5.7	E	6.0	E	6.3	E	6.7	E	6.8	E	6.6	E	6.0	E	6.2	E	6.2	E	6.4	E	6.6	E	6.9
15	E	6.3	E	6.2	E	5.7	E	5.8	E	5.8	E	5.2	E	4.9	ESE	4.8	ESE	4.6	ESE	4.5	ESE	5.2	E	5.8
16	E	7.1	E	6.6	E	6.4	E	6.3	E	6.7	E	6.7	E	6.7	E	6.1	E	6.4	E	6.3	E	7.3	E	8.5
17	E	7.2	E	7.5	E	7.0	E	8.2	E	8.3	E	7.8	E	8.0	E	7.9	E	7.8	E	8.3	E	8.4	E	7.6
18	E	7.1	E	7.7	E	8.0	E	7.6	E	8.2	E	7.8	E	8.6	E	7.9	E	8.2	E	8.2	E	7.5	E	8.1
19	E	6.5	E	8.0	E	7.5	E	7.3	E	7.3	E	7.3	E	7.7	E	8.0	E	7.6	E	6.5	E	5.6	ESE	5.9
20	E	4.7	E	5.3	E	5.4	ESE	5.1	E	5.2	ESE	5.3	ESE	6.0	ESE	5.7	ESE	5.7	ESE	4.9	SE	4.5	SE	4.2
21	SW	5.9	SW	6.0	WSW	6.2	WSW	5.9	WSW	5.0	W	4.2	W	4.2	W	5.1	W	4.7	WSW	4.4	W	4.0	W	3.5
22	WSW	5.1	WSW	5.4	WSW	5.6	WSW	5.8	W	5.8	WSW	6.1	WSW	6.4	WSW	6.0	WSW	5.5	WSW	5.9	WSW	5.8	WSW	5.0
23	SE	2.9	SE	3.3	SE	3.5	SSE	3.8	S	2.4	S	3.3	S	3.3	SSW	2.5	SSW	2.6	SW	1.4	SE	1.8	SE	2.3
24	E	5.8	E	5.2	E	5.8	E	5.2	E	5.0	E	5.7	E	5.7	E	4.8	E	6.0	E	5.5	E	6.0	ESE	5.2
25	SSW	4.7	SSW	4.5	S	4.0	S	3.5	S	4.4	S	3.7	S	4.2	SSE	4.0	SSE	2.9	SSE	2.8	SSE	3.2	S	3.0
26	WNW	4.3	NW	3.2	W	3.2	W	3.4	WSW	2.7	WSW	3.6	WSW	4.3	WSW	4.7	W	4.7	W	5.3	W	5.7	W	5.2
27	W	9.1	W	9.9	W	10.7	W	11.3	NW	9.8	NNW	10.2	NNW	9.3	NNW	10.4	NNW	8.7	NNW	9.0	N	8.6	N	8.3
28	SSE	3.0	S	2.7	SSW	3.6	SW	4.5	SW	3.8	SW	3.7	SW	3.5	SSW	4.2	SSW	4.3	SW	3.8	WSW	3.1	SW	3.8
29	SW	4.3	SW	5.1	SW	4.9	WSW	4.4	WSW	4.3	WSW	4.7	WSW	4.8	WSW	4.7	WSW	5.1	WSW	5.3	WSW	6.0	WSW	6.3
30	NE	3.7	ENE	4.9	ENE	4.4	ENE	3.8	ENE	3.3	ENE	3.4	ENE	3.5	ENE	3.7	E	3.5	E	3.5	E	3.1	E	2.8
31	SW	6.2	SW	7.2	SW	6.8	SW	6.8	SW	6.0	SW	6.8	SW	6.5	SW	6.8	SW	7.8	SW	8.2	SW	8.3	SW	8.3
Mittel		5.74		5.85		5.93		6.03		5.85		5.98		6.00		6.05		6.00		5.82		5.88		6.01

Februar

Datum	12-1ª		1-2ª		2-3ª		3-4ª		4-5ª		5-6ª		6-7ª		7-8ª		8-9ª		9-10ª		10-11ª		11-12ª	
	Richt.	G.	Richt.	G.	Richt.	G.	Richt.	G.	Richt.	G.	Richt.	G.	Richt.	G.	Richt.	G.	Richt.	G.	Richt.	G.	Richt.	G.	Richt.	G.
1	W	9.3	W	9.3	W	9.1	W	9.3	W	9.0	W	8.2	W	7.5	W	7.0	WNW	6.2	NW	5.2	NW	4.5	NNW	3.7
2	WSW	7.7	N	7.9	NE	5.6	N	4.3	NNE	4.3	N	3.3	N	4.5	N	4.4	N	4.0	NNE	3.2	NE	3.3	NE	2.8
3	NNE	4.1	NNE	4.4	NNE	3.8	NNE	3.3	NNE	3.3	N	3.1	NNW	2.7	NNW	3.2	N	3.5	N	3.4	NW	3.0	NW	3.0
4	W	3.6	W	3.7	W	3.5	W	3.4	W	3.2	WNW	2.8	WNW	2.0	NW	1.5	NNW	0.5	C	0.5	S	0.6	SE	1.3
5	E	7.0	E	7.0	E	7.3	E	7.5	E	7.1	E	6.7	E	6.7	E	7.1	E	6.8	E	6.3	E	6.4	E	6.3
6	E	5.1	E	4.7	E	5.3	E	6.2	E	5.9	ESE	6.0	ESE	5.2	ESE	5.8	ESE	5.6	ESE	6.2	ESE	5.6	SE	4.5
7	SE	5.4	SSE	6.1	SE	4.8	SSE	5.4	SE	5.0	SE	5.1	SE	6.3	SSE	6.7	SSE	7.5	S	5.4	SSW	6.8	SW	5.4
8	SSE	5.2	SSE	5.3	SSE	5.4	SSE	5.5	SSE	4.8	SE	4.7	ESE	5.8	ESE	5.9	ESE	5.3	ESE	5.0	ESE	4.7	ESE	4.4
9	S	3.5	SE	4.9	E	6.4	ESE	6.5	ESE	5.7	SE	5.7	SE	5.7	ESE	5.9	E	5.5	ESE	5.1	ESE	4.2	SE	2.5
10	SW	4.6	SW	4.8	W	5.1	WNW	3.6	SW	2.3	S	5.6	WSW	4.4	W	3.9	NW	1.0	W	2.2	NW	1.1	NW	1.4
11	N	3.5	ENE	3.8	ESE	2.9	ESE	3.5	ESE	2.5	SE	1.2	C	0.5	NE	1.2	ENE	2.3	C	0.5	E	1.2	SW	1.5
12	NW	1.8	NNW	2.5	NW	2.9	NNW	3.5	NNW	3.0	NW	2.7	W	3.2	W	3.5	W	3.0	NW	1.8	W	2.3	WNW	1.7
13	E	4.2	E	4.0	E	4.4	E	4.3	E	4.5	E	4.2	E	4.2	ESE	3.6	E	4.3	ESE	4.1	ESE	3.5	ESE	3.8
14	E	5.9	E	6.0	E	6.3	E	7.0	ESE	6.1	ESE	4.4	ESE	4.4	ESE	4.5	ESE	4.0	ESE	4.3	ESE	4.6	ESE	4.0
15	ENE	1.2	C	0.5	C	0.5	NE	1.2	C	0.5	C	0.5	N	1.0	NW	1.4	NW	2.2	NW	2.6	NW	2.2	NNW	2.5
16	NW	2.4	NNW	3.3	NNW	2.5	NW	2.5	NW	2.6	NW	3.4	NNW	2.9	NNW	2.4	NW	2.7	WNW	3.1	WNW	1.8	W	1.3
17	SSE	3.8	SSE	3.9	S	4.5	S	4.2	SSE	4.8	S	2.8	S	3.2	S	3.3	SW	3.5	SW	3.5	SW	2.8	WSW	2.7
18	SW	5.1	SW	4.3	SW	4.7	SW	5.7	SW	5.0	SW	5.6	SW	5.8	SW	6.0	SW	5.2	SW	3.8	WSW	4.0	WSW	3.1
19	S	4.2	S	4.7	S	5.6	S	5.7	SSW	6.0	SSW	6.0	SSW	5.6	SW	5.4	SW	4.2	SW	2.2	WSW	1.2	W	2.5
20	SW	5.5	SW	6.4	SW	5.6	SW	6.4	SW	6.4	SW	5.7	SW	5.8	SW	5.9	SW	6.0	SW	5.8	WSW	5.7	WSW	4.7
21	SSW	6.2	SSW	6.0	SSW	6.2	SSW	5.8	SW	5.6	SW	5.0	SW	4.2	WSW	5.0	WSW	4.7	WSW	4.8	WSW	5.2	WSW	4.8
22	NNE	2.2	NNE	3.4	NNE	2.5	NNE	2.2	NW	2.0	NNW	2.7	NNW	3.1	N	2.4	N	2.6	NNW	1.1	C	0.5	WSW	1.2
23	SSE	4.1	S	4.3	S	4.5	S	5.2	S	5.3	S	4.4	S	4.6	SSW	5.3	SSW	5.6	SW	5.8	SW	6.8	SW	6.3
24	W	5.1	W	6.3	W	4.7	W	4.3	WSW	4.4	SW	4.1	SW	4.0	SW	4.0	WSW	3.7	SW	3.2	SW	2.4	SW	2.5
25	W	4.4	W	4.2	W	4.0	W	3.7	NW	3.3	NNW	2.8	NW	2.0	NNW	1.4	NW	1.2	NW	0.6	NW	1.1	NW	1.6
26	ESE	2.7	SE	1.5	ESE	2.2	SSE	2.0	SSE	2.1	SE	2.8	SE	2.2	SE	3.4	SSE	1.9	SSE	1.7	SW	1.8	W	2.1
27	W	5.0	W	4.5	WSW	5.4	WSW	5.3	SW	5.0	SW	6.0	SW	6.9	SW	6.5	SW	6.4	SW	6.5	SW	6.9	SW	6.4
28	W	8.7	W	9.0	W	8.9	W	7.6	WSW	7.2	WSW	7.6	WSW	7.4	WSW	7.0	SW	7.2	WSW	8.5	W	9.5	W	9.6
29	WSW	4.3	WSW	4.2	SW	4.3	SW	3.8	SSW	3.5	S	3.9	S	4.6	S	5.2	SSE	4.7	SSE	4.8	S	5.4	S	5.3
Mittel		4.68		4.86		4.79		4.79		4.50		4.38		4.36		4.44		4.18		3.83		3.76		3.55

Zeitangaben nach mittlerer Ortszeit

Windgeschwindigkeit (m. p. s.)

$h_a = 41.0$ m

12-1p		1-2p		2-3p		3-4p		4-5p		5-6p		6-7p		7-8p		8-9p		9-10p		10-11p		11-12p		Mittlere Geschw.
Richt.	G.	Richt.	G.	Richt.	G.	Richt.	G.	Richt.	G.	Richt.	G.	Richt.	G.	Richt.	G.	Richt.	G.	Richt.	G.	Richt.	G.	Richt.	G.	
1912																								
WNW	2.7	WNW	3.8	W	3.2	W	3.6	W	3.1	W	4.5	WSW	4.6	WSW	5.0	W	4.9	WSW	5.6	WSW	6.2	WSW	**6.5**	3.85
W	9.9	W	9.1	W	9.1	W	9.6	W	9.1	W	9.4	W	10.0	W	**10.9**	W	10.1	W	10.1	W	9.5	W	9.0	8.57
W	11.2	W	11.2	W	11.5	W	11.1	W	11.2	W	12.3	W	12.8	WNW	**13.8**	WNW	12.7	WNW	13.0	WNW	12.4	WNW	11.6	10.73
W	7.8	W	7.4	W	7.4	W	7.9	W	7.2	W	7.2	W	7.3	W	6.9	W	5.5	W	5.5	W	**5.2**	W	5.3	8.02
SW	7.8	SW	8.1	SW	8.2	SW	8.5	SW	8.3	SW	8.2	SW	8.4	WSW	7.2	W	6.3	W	**10.6**	W	10.0	W	8.4	6.18
W	10.1	W	11.2	WSW	10.2	W	10.2	W	9.0	WNW	7.5	WNW	2.7	C	**0.5**	E	2.5	E	6.1	E	6.7	E	7.2	9.02
NE	6.8	NE	6.6	NE	6.5	NE	6.5	NE	4.5	NNE	4.5	N	4.4	N	**3.5**	NW	**3.5**	NW	5.2	NNW	7.1	NW	6.8	6.48
WNW	6.4	WNW	5.8	NW	5.2	WNW	5.9	NW	4.7	WNW	4.4	NW	3.2	WNW	2.9	W	3.2	NNW	1.7	WSW	1.3	C	**0.5**	4.56
E	4.1	E	4.5	ESE	4.6	E	**5.1**	E	**5.1**	E	4.5	E	4.5	E	**5.1**	E	4.7	E	4.5	E	4.9	E	4.9	3.90
NE	2.0	NE	2.8	NE	3.3	NE	4.0	ENE	3.0	NNE	1.7	N	**0.7**	N	1.8	NNW	2.3	NNW	2.5	WNW	2.8	W	3.4	3.50
SE	3.6	SE	3.2	SE	3.5	ESE	4.1	ESE	5.5	ESE	5.5	E	6.4	ESE	6.3	ESE	6.5	ESE	6.8	ESE	6.5	ESE	**7.5**	4.04
ESE	7.6	ESE	7.7	ESE	7.9	ESE	7.6	ESE	7.3	ESE	7.2	ESE	6.5	ESE	7.3	ESE	8.0	ESE	6.7	ESE	7.1	ESE	8.2	7.10
E	6.5	E	7.2	E	7.7	E	7.1	E	**8.1**	E	7.2	E	7.5	E	7.7	E	7.5	E	6.7	E	6.4	E	**5.6**	7.08
E	6.7	E	7.0	E	6.7	E	7.0	E	**7.5**	E	7.2	E	7.4	E	6.3	E	6.3	E	6.0	E	6.2	E	6.0	6.53
ESE	6.1	E	5.5	E	6.7	E	6.2	E	7.0	E	**7.4**	E	7.3	E	7.2	ESE	7.2	ESE	6.8	ESE	7.2	E	6.8	6.09
E	8.2	E	7.9	E	7.0	E	6.1	E	7.0	E	7.0	E	8.2	E	6.5	E	6.6	E	**5.9**	E	6.1	E	7.3	6.87
E	7.3	E	6.8	E	7.2	E	7.1	E	8.3	E	7.7	E	7.8	E	7.7	E	7.3	E	7.0	E	6.7	E	**6.3**	7.55
E	8.9	E	8.2	E	8.5	E	7.0	E	8.2	E	9.0	E	8.6	E	**9.3**	E	8.2	E	7.7	E	8.1	E	**6.7**	8.05
ESE	6.0	ESE	6.2	ESE	6.0	ESE	6.7	E	6.2	E	6.2	E	6.7	E	6.5	E	6.4	E	6.4	E	5.5	E	**5.2**	6.63
SE	3.6	SE	**3.5**	SSE	3.7	SSE	4.0	SSE	4.0	SSE	4.6	S	4.8	S	4.8	S	5.2	SSW	5.5	SW	5.1	SW	5.9	4.86
W	4.0	W	3.3	WSW	3.9	W	4.0	W	2.8	SSW	**1.9**	SSW	3.3	SSW	4.0	SW	5.0	SW	5.1	SW	5.5	WSW	5.4	4.47
WSW	4.3	WSW	3.2	WSW	3.3	SW	3.2	S	3.0	S	4.0	S	4.5	S	3.3	S	3.5	S	4.0	SSE	2.6	SE	**2.5**	4.58
ESE	**1.2**	E	2.5	E	2.5	E	2.4	E	2.8	ENE	2.7	E	2.3	NE	3.0	ENE	3.6	E	3.9	E	4.5	E	**4.6**	2.88
ESE	4.9	ESE	5.3	SSE	3.5	SE	3.7	SE	3.9	SE	4.2	SSE	3.8	SSW	4.2	WSW	4.2	SW	**2.7**	SSW	3.8	S	4.3	4.77
S	1.8	SSW	**1.3**	SSW	1.4	S	1.8	SSE	3.3	SE	4.2	SSE	3.3	S	4.0	SSW	4.8	WSW	4.2	W	4.2	WNW	**5.1**	3.51
W	5.1	W	4.8	W	3.5	W	3.7	W	3.9	WSW	4.2	WSW	4.8	WSW	5.9	WSW	5.8	W	6.8	WNW	7.2	W	**8.9**	4.79
N	7.4	N	7.2	N	6.7	N	6.0	N	6.3	N	4.7	N	4.3	N	3.2	N	2.5	NNE	3.0	NNE	2.3	N	**1.0**	7.08
SW	4.4	SW	3.8	SW	3.5	SW	2.7	SW	2.0	SSW	**1.8**	SW	2.2	WSW	1.9	SW	2.3	WSW	3.1	WSW	3.5	SW	3.8	3.29
WSW	**6.7**	WSW	5.8	WSW	5.5	W	5.2	W	4.6	W	4.4	WNW	3.7	WNW	2.5	NNW	**2.0**	N	2.2	NNE	2.9	NE	3.9	4.55
E	3.0	E	2.7	SE	2.6	SE	**2.1**	ESE	2.5	SE	2.6	SSE	4.1	S	4.6	S	5.3	S	**5.8**	SSW	5.5	SW	5.7	3.75
WSW	7.8	WSW	7.8	W	8.3	W	7.6	W	8.5	W	7.8	W	7.5	W	7.5	W	8.1	W	**8.8**	W	8.1	W	**8.8**	7.60
	5.93		5.85		5.77		5.73		5.74		5.67		5.60		**5.53**		5.55		5.80		5.84		5.91	5.83
1912																								
NNW	1.8	N	0.7	E	**0.5**	ESE	**2.2**	SE	3.2	SE	3.8	SSE	4.3	S	4.4	SSW	4.6	SSW	5.1	SW	5.4	SW	6.3	5.44
NNE	3.5	NNE	3.9	NNE	2.6	NE	**2.1**	NNE	3.5	NNE	2.8	NNE	2.8	NNE	3.9	NNE	3.7	NE	4.3	NE	3.6	NNE	4.0	4.00
NW	3.4	NW	5.2	NW	**5.6**	NW	4.8	NW	4.7	NW	3.8	NW	3.4	NW	3.6	WNW	3.4	WNW	3.2	WNW	3.2	W	3.7	3.70
SE	2.4	SE	2.8	SE	3.0	ESE	2.8	ESE	3.6	E	3.9	E	4.6	E	5.2	E	6.0	ESE	5.8	E	5.6	E	**6.3**	3.28
E	5.4	E	5.6	E	**4.5**	E	**4.5**	E	4.7	E	4.6	E	5.5	E	6.1	E	5.5	E	5.3	E	5.6	E	5.7	6.05
SE	4.3	SE	4.5	SE	**3.8**	ESE	4.8	ESE	5.2	SE	**6.2**	SE	5.1	SE	4.7	SE	5.1	SE	5.1	SE	4.5	SE	**4.8**	5.18
SSW	4.8	SSW	5.8	SW	4.1	SW	**3.0**	SSW	4.6	SSW	5.2	SSW	5.6	SSW	5.3	S	6.1	SSW	5.6	SSW	5.6	S	5.4	5.46
ESE	**3.9**	ESE	4.8	ESE	4.5	ESE	5.4	ESE	5.6	ESE	**7.3**	ESE	6.6	ESE	6.8	SE	5.5	SE	5.7	SE	5.8	ESE	6.4	5.43
SE	2.6	SSE	3.2	SSE	3.8	SE	4.5	S	5.3	S	4.8	SSW	5.8	SW	6.1	SW	5.3	SW	5.8	SW	5.6	SW	4.8	4.97
NW	0.9	NW	0.8	C	**0.5**	C	**0.5**	NW	0.9	N	2.3	WNW	0.9	C	**0.5**	NNW	0.7	NNW	2.7	N	3.8	NNE	4.2	2.45
C	**0.5**	C	**0.5**	C	**0.5**	C	**0.5**	W	0.8	W	2.2	WNW	1.8	NE	2.5	NNE	2.1	NE	0.8	C	**0.5**	NNW	1.7	1.63
C	**0.5**	NW	0.6	NE	0.9	NE	0.5	C	**0.5**	ESE	1.6	ESE	1.2	ESE	2.2	ESE	2.7	SE	**3.5**	ESE	3.0	ESE	3.4	2.19
E	4.2	E	4.7	ESE	**3.2**	E	4.7	E	5.5	E	**6.1**	E	6.0	E	5.3	ESE	5.3	ESE	4.6	ESE	5.3	E	4.8	4.53
ESE	3.0	ESE	3.3	ESE	3.2	ESE	2.7	SE	1.9	SE	1.5	E	2.3	ESE	2.4	ESE	1.8	ESE	1.6	E	**0.8**	E	1.4	3.64
NW	2.7	NW	3.1	NW	2.5	NW	2.0	NW	0.8	C	**0.5**	WNW	0.9	WNW	3.0	WNW	**3.3**	WNW	2.5	WNW	2.0	NW	2.4	1.75
NW	1.6	NW	1.6	W	**0.7**	NE	1.0	ENE	2.3	ESE	3.0	SE	3.3	SE	3.5	E	4.4	ESE	**4.8**	SE	4.7	SE	4.0	2.74
WSW	3.5	W	3.3	W	**2.5**	W	3.0	W	2.8	WSW	2.9	SW	3.0	SW	4.3	SSW	4.7	SSW	5.2	SSW	**5.6**	SW	**5.6**	3.73
WSW	3.5	W	3.3	W	3.1	WSW	1.0	SW	2.1	SW	3.9	SW	3.7	SW	1.7	SSW	2.9	SW	1.3	SW	**0.6**	S	3.0	3.68
W	2.4	W	3.0	W	1.8	SSW	1.0	SSW	**0.5**	S	3.9	S	4.9	S	4.8	SSW	5.0	SSW	4.2	SSW	4.7	SW	4.9	3.93
W	5.3	W	5.0	W	4.3	W	4.2	WSW	**3.2**	SW	4.5	SW	5.6	SW	5.7	SW	6.3	SW	6.5	SW	**6.7**	SW	**6.7**	5.58
WSW	5.0	W	4.0	W	3.3	W	4.0	W	3.4	W	2.8	NW	**1.8**	N	1.9	NNE	2.0	NE	2.7	NNE	2.3	N	3.1	4.16
NW	1.1	C	**0.5**	C	**0.5**	SE	0.8	C	**0.5**	SE	2.0	SE	2.3	SE	3.4	SE	4.2	SE	**4.7**	SSE	4.6	SE	4.5	2.29
WSW	6.0	WSW	6.8	WSW	5.6	SW	4.8	WSW	5.6	SW	6.0	SW	6.6	WSW	**6.9**	SW	6.3	SW	6.0	WSW	6.4	WSW	5.5	5.61
SW	2.7	WSW	3.5	W	4.8	NNW	5.1	N	4.8	NW	4.4	NW	4.8	WNW	4.4	WNW	4.7	W	4.7	WNW	4.5	W	3.7	4.20
NW	1.5	NW	1.0	NW	0.9	NNW	0.8	C	**0.5**	C	**0.5**	SW	0.6	C	**0.5**	C	**0.5**	C	**0.5**	E	1.7	E	2.5	1.74
W	1.7	WNW	3.4	W	1.1	S	**0.9**	S	2.5	S	3.5	S	4.0	S	**5.2**	S	4.0	W	4.4	SW	4.0	WSW	5.1	2.76
SW	7.4	SW	7.5	W	9.0	WSW	8.3	W	10.6	W	11.8	W	**13.2**	W	13.1	W	12.0	W	9.7	W	10.8	W	8.7	8.04
W	11.0	W	**11.2**	W	10.8	WNW	10.3	WNW	8.0	WNW	5.6	WNW	5.8	WNW	4.6	W	**3.5**	W	3.8	W	4.3	W	4.1	7.55
S	5.3	S	4.8	SSW	5.1	SSW	4.7	SSW	4.7	S	5.3	S	6.2	S	6.5	S	6.3	S	6.5	SSW	**7.8**	SSW	7.3	5.19
	3.51		3.74		3.33		**3.27**		3.53		4.02		4.23		4.43		4.41		4.37		4.45		4.62	4.17

Zeitangaben nach mittlerer Ortszeit

Datum	12–1ᵃ		1–2ᵃ		2–3ᵃ		3–4ᵃ		4–5ᵃ		5–6ᵃ		6–7ᵃ		7–8ᵃ		8–9ᵃ		9–10ᵃ		10–11ᵃ		11–12ᵃ	
	Richt.	G.	Richt.	G.	Richt.	G.	Richt.	G.	Richt.	G.	Richt.	G.	Richt.	G.	Richt.	G.	Richt.	G.	Richt.	G.	Richt.	G.	Richt.	G.
März																								
1	SSW	7.0	SSW	6.7	SW	6.8	WSW	7.6	W	7.6	W	**8.0**	W	6.5	W	6.8	W	6.6	W	6.9	W	5.8	WNW	6.3
2	SSE	6.1	SSE	5.4	SSE	5.1	SSE	5.7	S	5.7	S	5.6	S	5.3	S	5.8	SSW	5.5	SW	5.6	WSW	6.2	W	7.7
3	SSW	6.0	S	6.4	SSE	5.6	SSE	5.6	S	6.5	S	**7.3**	SSE	7.0	SSE	6.4	S	6.6	S	6.8	S	6.4	S	6.3
4	SW	**3.9**	SW	4.5	WSW	5.5	WSW	5.2	WSW	5.1	WSW	5.0	WSW	5.1	WSW	5.1	WSW	4.8	WSW	4.9	WSW	5.2	W	6.2
5	S	7.2	S	7.7	S	7.5	S	7.2	S	7.5	S	7.5	S	6.9	S	6.8	S	6.9	SSW	7.1	SW	7.8	SW	**7.9**
6	SW	4.6	SSW	4.9	SSW	6.8	SSW	6.7	SW	6.0	SW	5.7	SW	5.9	SW	6.5	SW	5.7	SW	**4.5**	SW	5.2	WSW	7.1
7	SW	5.2	SW	5.4	SW	5.3	SW	5.1	SW	5.5	SW	5.4	SW	5.2	SW	5.1	SW	6.0	WSW	6.5	WSW	**7.4**	W	6.7
8	W	4.8	W	4.8	WNW	4.8	W	3.5	W	3.6	W	4.0	WSW	3.9	W	4.9	WNW	**5.5**	W	4.9	W	4.5	WNW	3.3
9	S	5.0	S	4.7	S	**5.3**	S	5.2	S	5.1	S	5.0	SSE	4.5	SSE	5.2	S	4.4	S	3.9	S	4.8	S	4.0
10	ESE	**4.6**	E	5.2	E	5.9	ESE	5.5	E	5.3	E	5.2	E	5.3	E	5.1	E	5.4	E	5.5	ESE	6.7	ESE	7.1
11	E	6.7	E	6.4	E	6.0	E	5.7	E	5.3	E	5.2	E	5.5	E	5.0	E	5.7	E	5.8	E	7.0	E	8.2
12	ENE	3.2	NNE	2.7	NE	**3.6**	NE	3.2	NE	2.6	NE	2.4	ENE	3.0	ENE	3.0	NE	2.8	NE	3.0	ESE	**2.3**	ENE	2.7
13	S	3.0	S	3.9	S	4.5	S	4.7	S	**4.8**	S	4.6	SSE	4.0	SSE	4.2	SSE	3.1	SSE	4.3	SE	3.6	SE	2.7
14	S	4.2	S	4.1	SSE	4.1	SSE	4.1	SE	4.1	SSE	**4.4**	S	4.1	S	3.5	S	2.5	SSW	1.1	S	**1.0**	S	1.8
15	ESE	4.5	ESE	**4.0**	ESE	5.0	E	5.2	E	5.6	E	5.7	E	5.6	E	5.7	E	5.6	E	5.5	E	5.8	ESE	5.3
16	E	6.5	E	7.8	E	**8.3**	E	8.2	E	7.9	E	7.9	E	**8.3**	ESE	7.3	E	8.0	ESE	7.2	ESE	7.0	ESE	6.7
17	SW	4.2	SW	3.3	SW	4.0	SW	3.9	SW	4.0	SW	4.2	WSW	4.2	W	3.7	W	3.1	W	3.3	W	3.0	W	**2.0**
18	ESE	5.1	ESE	**5.0**	ESE	5.2	ESE	5.9	ESE	6.0	ESE	6.0	ESE	6.2	ESE	6.2	ESE	5.9	ESE	6.7	ESE	6.2	SE	7.1
19	SE	6.3	SE	6.0	SE	6.3	SE	6.2	SE	6.0	SE	6.4	SE	6.4	SE	6.1	SSE	6.0	S	6.2	SSW	7.0	SW	7.3
20	SW	**7.2**	SW	**7.2**	SW	7.0	SSW	6.8	SSW	6.2	SSW	6.4	SSW	6.1	SSW	5.5	SSW	5.3	SW	5.5	SW	5.5	SW	6.5
21	WNW	3.5	W	3.7	W	2.8	WNW	2.5	W	3.0	W	2.9	W	3.2	W	3.0	WNW	2.0	NW	**1.7**	W	3.0	WSW	1.8
22	S	6.8	S	6.7	S	5.8	S	6.6	S	6.9	S	6.9	SSW	6.8	SSW	5.7	SSW	5.8	SSW	5.8	SW	6.0	SW	6.1
23	SW	5.1	SW	5.8	SW	5.3	SW	5.1	SW	6.0	SW	6.0	SW	5.6	SW	5.6	WSW	6.0	WSW	5.7	WSW	5.5	WSW	5.8
24	WSW	3.3	SW	2.5	S	5.0	S	4.5	SSE	4.9	SE	5.4	ESE	**5.5**	ESE	4.7	ESE	4.8	SE	4.7	SE	4.8	SSE	4.5
25	W	**2.7**	W	3.0	WSW	3.4	W	4.5	W	4.0	W	4.3	W	4.5	W	4.1	W	4.0	W	3.8	W	4.4	WSW	4.5
26	WSW	4.2	SW	3.8	SW	3.2	SW	3.3	SW	4.2	SW	4.6	WSW	4.7	WSW	4.9	WSW	4.7	W	5.0	W	**6.5**	WNW	6.4
27	SW	**4.8**	SW	5.2	SSW	6.2	SSW	6.2	SW	6.1	SW	5.7	SW	5.8	SW	5.4	SW	5.5	WSW	5.4	WSW	5.4	WSW	5.6
28	W	9.3	W	9.8	W	10.2	W	9.7	W	9.8	W	9.2	W	9.0	W	9.0	W	**9.2**	W	9.8	W	10.0	W	9.7
29	W	10.7	W	8.5	W	8.1	W	8.6	W	9.4	W	9.6	W	9.0	W	8.5	W	9.7	W	9.9	W	10.4	W	**11.4**
30	WSW	9.2	WSW	10.0	WSW	10.1	WSW	9.7	WSW	8.5	WSW	8.0	SW	8.3	SW	8.6	SW	9.4	WSW	10.3	WSW	10.3	W	**11.6**
31	WSW	**10.3**	W	9.2	W	9.2	W	8.2	W	8.5	W	8.5	W	8.8	W	7.6	W	8.1	W	7.3	W	7.7	W	7.3
Mittel		5.65		5.62		5.87		5.81		5.86		5.90		5.81		5.65		5.63		5.63		5.88		**6.05**
April																								
1	SSE	**7.4**	SE	6.8	SE	6.2	SE	6.1	SE	5.5	SSE	5.3	SSW	6.3	SSW	5.5	S	4.6	SSW	3.5	WSW	3.1	W	3.8
2	NW	**7.8**	NW	7.0	WNW	7.2	WNW	6.2	WNW	5.6	W	6.4	W	6.5	W	6.4	W	6.0	W	6.0	WNW	5.9	WNW	4.6
3	NNW	4.5	NW	3.9	NNW	4.1	N	4.1	NNW	3.4	NNW	4.1	NNW	3.8	NNW	3.8	NNW	4.5	NW	4.6	NNW	**4.2**	NW	4.5
4	NW	**1.8**	WNW	2.4	W	4.2	W	4.6	WSW	5.1	WSW	5.7	WSW	5.4	WSW	4.9	WSW	5.1	W	4.7	W	5.5	W	6.8
5	SW	**7.3**	SW	7.4	SW	7.5	SW	7.5	SW	7.4	SW	8.5	WSW	9.3	WSW	10.0	W	10.7	W	11.5	W	11.3	W	11.0
6	W	11.1	W	10.3	W	10.4	W	10.9	W	11.0	W	9.9	W	10.4	W	9.8	W	9.9	W	**9.2**	W	*10.0*	W	10.9
7	WNW	**12.7**	WNW	11.7	WNW	12.2	W	12.1	W	12.0	WNW	12.0	W	11.0	WNW	10.8	NW	11.0	NW	10.6	NW	10.0	NW	9.9
8	W	4.6	WSW	4.3	WSW	4.2	SW	**4.1**	SSW	4.6	S	5.8	S	5.7	S	6.0	S	5.8	S	5.5	SW	7.3	SW	8.8
9	SW	9.7	W	11.7	WSW	11.7	W	12.8	W	13.2	W	13.5	W	13.7	W	13.8	W	14.0	W	**14.7**	W	13.9	W	14.1
10	W	**8.9**	W	**8.9**	W	8.7	W	8.8	W	8.0	W	8.0	W	6.9	W	6.8	W	7.2	W	6.5	W	6.8	WSW	5.0
11	WNW	9.6	NW	11.4	NW	**11.6**	WNW	9.8	WNW	9.1	WNW	8.3	WNW	6.7	WNW	6.5	WNW	6.3	WNW	6.2	WNW	6.7	WNW	6.1
12	WSW	**4.6**	W	7.2	W	7.2	W	6.7	W	6.8	WSW	6.1	W	7.8	W	9.3	W	**9.4**	WNW	8.0	NW	6.6	WNW	8.9
13	WNW	5.4	WNW	4.9	WNW	5.1	WNW	**4.8**	WNW	5.4	W	5.5	W	5.4	WNW	5.6	WNW	5.8	WNW	5.9	WNW	5.7	W	5.6
14	WSW	5.5	WSW	6.2	W	7.9	W	**8.4**	W	8.0	W	7.7	W	7.3	W	6.5	WNW	6.4	NW	5.0	NW	3.8	N	4.3
15	ENE	3.8	E	3.9	E	4.0	E	3.7	E	3.7	E	3.7	E	2.4	SE	2.5	ESE	3.1	ESE	2.9	NE	2.4	NE	4.2
16	S	4.4	S	4.3	SSW	3.3	SW	1.9	C	**0.5**	S	1.2	ESE	**2.5**	ESE	2.7	ESE	3.7	E	4.5	E	4.9	E	5.4
17	E	5.3	E	**5.2**	E	5.6	E	5.5	E	5.8	E	5.8	E	5.6	E	**5.2**	E	5.6	E	7.0	E	6.8	E	7.1
18	E	6.0	E	6.4	E	6.5	E	6.5	E	6.6	E	6.2	E	5.4	E	5.2	E	**4.3**	SE	5.0	E	5.3	E	6.5
19	E	5.3	E	5.3	E	5.6	E	5.8	E	5.4	E	5.0	E	4.5	E	4.7	E	5.8	E	6.9	ESE	**7.6**	E	7.1
20	E	4.8	E	4.5	E	4.7	E	4.9	E	5.1	E	5.0	E	3.8	ESE	**1.8**	N	**1.8**	NNE	3.6	NE	5.7	ENE	**7.1**
21	E	4.2	E	4.5	E	5.0	E	5.1	E	5.3	E	5.5	E	5.4	E	5.2	E	6.4	E	6.5	E	7.5	E	7.0
22	ENE	5.3	NE	3.8	NE	4.0	NE	4.4	NE	4.8	NE	5.5	NE	4.5	NNE	3.3	NNE	**3.0**	NNE	4.0	NNE	4.8	ENE	5.4
23	NE	**4.3**	NE	4.7	NE	5.0	ENE	5.2	ENE	5.5	ENE	5.3	E	5.1	E	4.9	ENE	5.1	ENE	6.1	ENE	**8.3**	E	7.1
24	E	4.9	E	4.6	E	4.5	E	4.6	E	4.6	E	5.0	E	4.2	E	3.5	E	3.4	E	5.5	E	**5.9**	E	5.5
25	NE	3.0	E	2.1	C	**0.5**	WSW	2.0	W	2.8	WNW	4.1	NW	3.9	NW	2.7	NW	2.8	NW	4.5	N	4.7	NE	5.0
26	NE	4.1	NE	3.7	NE	3.4	NNE	3.9	NE	3.7	NE	2.6	E	1.7	E	**1.2**	W	1.3	NW	2.0	NW	2.7	NNW	3.2
27	WSW	5.2	W	5.2	WSW	5.3	W	4.7	WSW	5.0	SW	5.7	SW	4.5	WSW	**3.4**	WSW	4.3	WSW	5.4	WSW	4.9	W	5.5
28	N	**2.2**	W	**2.2**	W	2.9	W	3.3	WNW	3.4	WNW	3.6	NW	3.6	NW	4.1	NW	4.7	NW	4.4	NW	4.0	NW	3.3
29	N	4.5	NNW	3.9	N	4.1	N	3.8	N	**3.7**	N	3.8	NE	4.0	ENE	5.6	ENE	6.2	ENE	6.2	ENE	6.4	E	6.6
30	NE	4.3	NE	4.2	ENE	4.1	E	4.9	E	**5.5**	E	4.8	E	5.4	E	5.2	E	5.2	E	5.0	NE	4.6	NNE	4.8
Mittel		5.75		5.75		5.89		5.90		5.88		5.99		5.76		5.56		5.78		6.05		6.24		6.50

Zeitangaben nach mittlerer Ortszeit

Windgeschwindigkeit (m. p. s.)

$h_a = 41.0$ m

12-1p		1-2p		2-3p		3-4p		4-5p		5-6p		6-7p		7-8p		8-9p		9-10p		10-11p		11-12p		Mittlere Geschw.
Richt.	G.	Richt.	G.	Richt.	G.	Richt.	G.	Richt.	G.	Richt.	G.	Richt.	G.	Richt.	G.	Richt.	G.	Richt.	G.	Richt.	G.	Richt.	G.	
1912																								
WNW	3.6	WNW	1.1	SW	0.9	S	**0.6**	SE	1.8	SSE	3.5	SE	4.0	SE	4.9	SE	5.0	SE	5.2	SE	5.7	SSE	5.8	5.20
W	7.9	W	7.4	W	8.1	W	**8.4**	W	7.0	W	6.0	WSW	4.6	SW	5.2	SW	5.7	WSW	5.5	SW	5.2	SW	**4.5**	6.05
S	4.7	S	5.0	S	**3.9**	SW	4.7	SSW	4.2	SSW	5.1	SW	5.3	SW	5.2	SW	4.4	SW	4.6	SW	4.2	SW	4.3	5.52
W	6.5	W	5.0	WSW	4.5	W	6.0	WSW	4.0	SW	4.1	SSW	5.0	SSW	5.9	SSW	**7.1**	SSW	6.6	SSW	6.5	SW	6.0	5.32
SW	7.0	SSW	7.4	SSW	6.6	SSW	5.8	SSW	6.1	SW	6.1	S	5.0	SSW	5.5	SSW	6.4	SSW	5.8	SW	6.0	SW	**4.8**	6.69
SW	7.0	SW	7.0	SW	**8.9**	WSW	8.0	SW	6.7	SW	6.5	SSW	6.3	SSW	6.0	WSW	7.7	WSW	6.2	SW	4.9	SW	5.2	6.25
WSW	6.1	WSW	5.9	W	6.8	WSW	3.8	SW	4.3	WSW	4.9	W	5.3	W	**3.7**	WSW	5.5	W	5.3	WSW	5.0	W	5.0	5.43
W	2.3	W	2.7	W	2.5	SW	**1.4**	S	2.0	NW	2.3	NE	1.6	ENE	2.0	E	3.6	ESE	4.0	S	3.4	S	3.4	3.49
S	4.3	SSE	3.5	SSE	3.7	SE	3.5	SE	**2.9**	ESE	4.0	ESE	4.5	ESE	4.8	ESE	4.7	ESE	4.4	ESE	5.0	ESE	5.0	4.48
E	7.6	E	7.4	E	**8.0**	E	7.5	E	6.8	E	6.6	E	6.4	E	6.6	E	7.2	E	7.0	E	6.9	E	6.3	6.30
E	**8.3**	ENE	7.2	ENE	6.3	E	5.5	ENE	5.7	NE	5.3	NE	4.5	NE	3.7	NE	3.5	NE	3.8	NE	3.4	NE	**3.3**	5.54
ESE	2.0	ENE	2.2	ENE	3.0	ENE	3.5	ENE	3.0	NE	3.3	ENE	2.9	ENE	2.2	E	1.6	C	**0.5**	SSE	0.8	SSE	2.4	2.58
SSE	2.0	SW	1.2	W	0.9	WSW	0.6	S	0.8	SSE	1.8	S	1.6	C	**0.5**	C	**0.5**	C	**0.5**	SSW	0.6	S	3.5	2.58
S	3.0	SSW	3.0	S	2.2	S	2.0	S	1.6	S	2.5	SSE	2.8	SE	3.1	SSE	3.6	ESE	3.1	ESE	3.9	ESE	4.3	3.09
ESE	5.5	SE	5.5	SE	5.5	SE	5.0	ESE	5.4	E	5.8	ESE	6.1	ESE	6.4	E	7.1	E	**7.6**	E	7.0	E	6.5	5.70
ESE	6.8	ESE	6.3	ESE	5.6	ESE	5.3	SE	4.7	SE	3.1	SSE	**2.5**	SW	3.3	WSW	4.1	WSW	4.8	WSW	5.1	WSW	4.6	6.14
WSW	2.5	S	**2.0**	SE	3.0	SSE	2.9	SE	3.7	SE	4.5	SE	4.9	SE	5.4	SE	5.4	SE	5.5	SE	**5.7**	ESE	5.5	3.91
SE	6.9	SE	6.8	SE	6.5	SE	5.5	SE	5.5	SE	6.1	SE	5.7	SE	6.3	SE	6.7	ESE	**7.2**	ESE	**7.2**	SE	7.0	6.20
W	**8.0**	W	5.0	WSW	**4.7**	W	7.7	SW	7.5	SW	6.0	WSW	5.8	SW	7.0	SW	5.3	WSW	7.8	WSW	7.7	SW	6.4	6.46
SW	6.9	SW	6.8	SW	6.7	SW	6.6	SW	5.0	SW	4.0	SW	3.9	SSW	4.5	SSW	5.2	W	5.8	NW	2.8	NW	**1.8**	5.63
SW	2.8	SW	2.5	SSW	4.5	SSW	4.1	SSW	4.2	S	4.1	SSE	5.5	SE	5.8	SSE	6.5	S	6.7	SE	6.7	SSE	**7.4**	3.91
SW	7.4	SW	**7.7**	SW	5.9	SSW	4.7	SSW	5.5	SSW	**4.6**	S	5.2	SSE	5.5	SSE	6.5	S	6.6	S	6.3	SSW	5.5	6.14
WSW	7.1	WSW	**8.3**	W	8.0	WSW	5.3	WSW	5.2	WSW	4.9	WSW	**4.7**	SW	5.1	SW	5.4	WSW	5.4	WSW	5.2	W	4.9	5.71
SSE	5.0	SSE	4.1	SSE	4.1	SSW	3.6	SSW	2.9	SW	1.8	W	*1.2*	W	*1.5*	WNW	*1.0*	C	***0.5***	W	2.2	W	2.8	3.55
WSW	5.2	WSW	**5.3**	W	4.8	W	4.1	WSW	4.4	WSW	4.5	W	4.5	WSW	4.6	WSW	4.4	W	4.9	W	4.5	WSW	4.2	4.28
W	6.0	W	5.2	W	4.3	W	4.5	NW	3.3	NNW	2.8	NNW	1.7	C	**0.5**	W	2.2	W	3.4	W	4.0	WSW	4.2	4.07
W	7.1	WSW	6.4	WSW	7.4	WSW	8.1	W	8.9	WNW	11.0	W	10.7	W	11.3	W	**11.6**	W	9.6	W	10.0	W	10.0	7.48
W	7.8	W	7.5	W	8.1	W	7.8	W	7.6	WSW	**7.1**	WSW	7.8	W	9.3	W	9.6	W	10.0	W	**10.3**	WNW	9.7	9.05
WNW	9.2	NW	9.6	W	9.3	W	9.9	W	8.6	W	9.0	WNW	8.1	W	**7.7**	W	9.3	W	8.9	WSW	8.3	WSW	9.2	9.20
WNW	11.3	W	11.4	W	10.4	W	9.9	W	8.7	W	8.0	W	9.1	WSW	7.9	WSW	8.7	WSW	9.3	WSW	8.2	SW	8.5	9.39
W	6.8	W	6.8	WSW	5.9	SW	5.6	SW	4.6	S	**3.4**	S	4.4	SSE	4.7	SE	5.3	SE	5.4	SE	6.2	SE	6.0	6.91
	5.96		5.59		5.52		5.22		4.92		4.93		**4.89**		5.04		5.51		5.55		5.45		5.42	5.56
1912																								
W	4.6	WNW	5.5	N	4.5	N	3.8	N	3.2	NNW	**2.1**	N	3.2	NW	4.0	NW	4.2	NW	5.4	NW	5.2	NW	6.3	4.84
NNW	**4.0**	N	5.5	N	6.2	N	6.8	N	6.6	N	6.3	N	4.1	N	**4.0**	N	4.6	N	6.3	N	6.7	N	6.3	5.96
NW	4.9	NW	5.3	NW	**5.4**	NW	5.3	NW	5.2	NNW	5.1	N	4.3	N	3.1	NNW	3.4	NNW	3.5	NNW	3.3	NW	**2.4**	4.20
W	7.3	W	7.6	W	7.7	W	7.0	WSW	6.8	WSW	7.0	WSW	6.5	WSW	6.9	WSW	7.8	SW	7.3	SW	7.7	SW	**8.0**	5.99
W	11.5	W	12.6	W	**13.0**	W	12.9	W	11.9	W	11.4	W	10.5	W	11.3	W	11.7	W	11.6	W	11.3	W	11.2	10.43
W	10.7	W	11.6	W	12.3	W	13.4	W	14.7	W	**15.3**	W	12.9	W	14.3	WNW	14.0	WNW	12.8	WNW	13.9	WNW	13.2	11.79
NW	9.7	WNW	10.4	WNW	9.6	NW	9.4	WNW	6.0	WNW	9.5	NW	7.5	NW	5.3	WNW	5.8	WNW	5.8	WNW	**5.2**	W	**5.2**	9.39
WSW	8.7	W	8.6	W	8.8	W	8.0	W	7.6	W	6.2	W	5.9	W	5.8	W	6.6	WSW	7.0	WSW	10.0	WSW	**11.2**	6.71
W	14.3	W	13.7	W	13.3	W	12.0	W	10.7	W	11.1	W	11.7	W	9.7	W	**8.3**	W	9.3	W	9.7	W	10.7	12.14
W	5.8	W	4.3	SW	4.4	SW	6.3	WSW	7.3	SW	6.4	SSW	**4.1**	SW	7.0	S	4.7	SSW	4.8	SW	5.6	W	7.3	6.60
NW	6.2	NW	6.1	NW	6.2	NW	5.0	WNW	5.5	NW	3.1	S	**1.5**	SE	4.2	SE	6.0	SSE	6.8	S	6.2	SSW	4.7	6.66
WNW	8.9	NNW	7.8	NNW	9.3	NNW	9.1	NNW	7.4	NNW	6.8	NNW	8.8	NNW	6.6	NW	7.0	NW	6.1	NW	5.5	NW	4.7	7.36
W	5.6	W	6.4	W	6.4	W	5.9	W	**6.7**	W	5.3	W	5.2	W	5.1	WSW	5.7	WSW	5.7	W	5.1	W	5.2	5.56
NNE	4.4	NE	4.1	NE	3.5	NE	4.3	NE	3.2	NE	2.6	NE	1.9	C	**0.5**	NE	2.3	NE	3.8	NE	3.3	NE	3.7	4.78
NE	4.3	NNE	4.2	NE	3.9	NE	3.7	NE	3.5	NE	2.8	NE	**2.3**	E	**2.3**	E	3.6	SSE	4.7	SSE	**4.8**	S	4.5	3.54
E	5.4	E	5.2	E	6.0	E	**6.2**	E	**6.2**	E	**6.2**	E	5.2	E	4.9	E	5.2	E	4.9	E	5.2	E	5.1	4.38
E	7.2	E	7.0	E	7.9	E	**8.3**	E	8.0	E	7.6	E	6.4	E	6.3	E	6.2	E	6.0	E	6.1	E	6.2	6.40
E	7.2	E	7.2	E	7.4	E	7.6	E	**7.7**	E	6.3	E	6.4	E	6.0	E	6.0	E	6.0	E	6.2	E	5.8	6.24
E	7.0	E	6.6	E	6.8	E	6.7	E	6.0	E	5.3	E	**4.2**	E	4.8	E	4.8	E	4.9	E	4.9	E	5.0	5.67
E	6.9	E	6.3	ENE	6.0	ENE	5.7	E	5.0	E	3.7	E	3.0	ENE	2.9	ESE	3.8	E	3.7	E	3.5	ESE	3.6	4.45
E	7.2	E	7.3	E	7.2	E	**7.8**	E	7.6	E	6.1	E	4.5	ENE	**3.7**	NE	4.6	NE	5.7	NE	6.3	ENE	6.4	5.92
NE	5.3	ENE	5.5	ENE	5.3	NE	3.8	NE	6.3	NE	5.3	NE	**6.6**	NE	6.3	NE	6.2	NE	6.2	NE	5.2	NE	4.1	4.95
E	7.6	E	7.5	ENE	7.3	E	7.2	E	7.7	E	7.8	E	5.7	E	5.0	E	5.2	E	5.3	E	4.9	E	5.3	5.96
E	5.2	E	5.4	E	5.2	E	5.0	E	4.4	E	4.3	E	3.6	E	3.1	NE	**2.7**	NE	4.7	NE	4.1	ENE	3.5	4.48
NNE	5.1	ENE	5.0	NE	4.3	NE	4.3	NE	5.3	NE	5.5	NE	5.5	NE	**6.1**	NE	5.3	NE	4.7	NE	4.0	NE	3.4	4.03
NW	3.2	NW	3.0	NW	3.1	NW	3.6	N	2.1	W	2.0	W	1.4	SW	3.8	SW	4.8	SW	5.3	SW	**6.2**	WSW	5.8	3.24
W	6.7	W	7.0	WNW	**7.6**	NW	6.6	NW	6.7	NW	6.3	NNW	6.1	N	5.2	NNE	4.2	NNE	**3.4**	NNE	3.8	N	3.5	5.26
NW	3.0	WNW	4.7	NW	4.6	NNW	5.1	NNW	5.4	NNW	5.6	N	**5.9**	N	5.3	N	4.6	N	4.2	N	3.6	N	4.4	4.09
ENE	6.4	NE	6.6	NE	6.5	NE	**6.7**	NE	6.6	NE	5.8	NE	5.5	NE	4.5	NE	5.4	NE	6.2	NE	5.8	NE	5.1	5.41
NE	4.5	NE	4.3	NE	5.2	NE	**5.5**	NNE	5.3	NE	5.2	ENE	**3.7**	NE	4.7	NE	3.9	NE	4.3	ENE	4.2	ENE	3.8	4.69
	6.63		6.74		**6.83**		6.77		6.55		6.13		5.47		**5.42**		5.62		5.88		5.92		5.85	6.04

Zeitangaben nach mittlerer Ortszeit

Datum	12-1ᵃ		1-2ᵃ		2-3ᵃ		3-4ᵃ		4-5ᵃ		5-6ᵃ		6-7ᵃ		7-8ᵃ		8-9ᵃ		9-10ᵃ		10-11ᵃ		11-12ᵃ	
	Richt.	G.	Richt.	G.	Richt.	G.	Richt.	G.	Richt.	G.	Richt.	G.	Richt.	G.	Richt.	G.	Richt.	G.	Richt.	G.	Richt.	G.	Richt.	G.
Mai																								
1	NE	3.7	ENE	3.4	NE	3.8	NE	3.8	NE	3.4	ENE	3.8	NE	3.5	NE	2.7	NE	3.5	E	3.3	E	4.5	ESE	3.9
2	S	5.1	SSW	5.2	SSW	5.3	SW	5.5	SW	5.0	SW	4.4	SSW	3.5	WSW	1.7	W	3.8	W	3.8	W	4.4	W	5.2
3	SSW	6.8	SW	7.2	SW	6.2	SW	5.8	SW	6.3	SW	6.3	SW	5.4	SW	4.6	SW	5.2	WSW	6.7	W	10.3	W	7.1
4	W	5.6	W	6.2	W	6.5	W	7.5	W	7.0	W	7.6	W	8.6	W	8.9	W	9.0	W	8.6	W	9.1	W	9.2
5	WNW	5.0	WNW	4.8	WNW	4.6	W	4.5	W	4.4	W	4.3	WNW	3.8	WNW	4.0	WNW	4.0	NW	3.5	NW	2.4	NNW	2.5
6	SE	2.4	SE	3.8	SE	3.7	SE	4.0	SSE	4.0	SE	4.1	SE	4.2	SE	2.8	SSE	3.9	SE	4.1	SE	3.8	SE	4.2
7	N	3.3	N	3.0	W	3.2	W	3.1	W	2.7	SW	2.4	W	2.8	WSW	2.1	WSW	3.3	W	3.5	W	5.0	WNW	4.7
8	SW	3.5	SW	1.8	C	0.5	C	0.5	N	1.3	NE	2.6	NE	1.5	C	0.5	C	0.5	C	0.5	N	1.3	NE	2.7
9	E	4.7	E	3.2	E	4.7	E	4.7	ESE	4.2	ESE	4.2	ESE	3.9	SE	3.0	S	2.3	S	1.7	SW	2.6	SW	3.5
10	WNW	7.8	WNW	8.0	WNW	7.3	WNW	7.1	WNW	6.6	WNW	6.5	WNW	6.3	WNW	7.0	WNW	7.1	WNW	6.7	WNW	7.6	WNW	8.4
11	W	5.3	W	5.7	W	5.1	W	5.3	W	5.3	WNW	5.6	WNW	5.4	WNW	5.4	WNW	5.9	WNW	6.0	WNW	5.8	WNW	5.2
12	S	7.0	SW	7.8	SW	7.2	SW	7.9	WSW	7.7	WSW	7.2	W	6.4	W	8.0	W	6.0	W	5.4	WSW	4.4	SW	4.3
13	NW	6.2	NW	4.7	W	6.3	W	8.2	W	8.4	W	7.7	W	7.6	W	8.7	WNW	10.2	NW	10.7	WNW	13.9	NW	13.1
14	WNW	9.9	WNW	9.0	WNW	8.3	W	8.8	WNW	8.5	WNW	7.8	WNW	10.2	WNW	8.8	NW	8.5	WNW	9.2	NW	8.0	WNW	7.3
15	NW	2.0	NNW	2.4	NE	1.7	E	3.2	SE	4.6	SE	2.7	ESE	2.6	ESE	3.9	SE	4.4	SE	3.4	E	2.6	ESE	2.2
16	E	6.1	E	5.9	E	2.8	E	7.0	E	7.3	SE	4.8	ESE	3.8	SE	3.9	SE	4.4	SE	3.8	SE	2.7	W	3.2
17	W	8.2	W	7.6	WNW	7.8	WNW	8.4	W	7.8	W	8.1	W	8.0	W	7.9	W	8.2	W	8.5	W	8.4	W	7.8
18	W	6.8	W	6.3	W	5.6	W	5.8	W	5.4	W	5.4	W	5.8	W	5.3	W	5.4	W	5.0	WNW	5.5	W	6.3
19	WSW	4.7	SW	5.5	SW	5.2	SW	5.0	SW	4.9	SW	4.5	WSW	4.0	WSW	4.0	W	4.7	W	4.8	WNW	4.4	W	4.8
20	ENE	4.0	E	4.4	E	4.7	E	5.0	ESE	5.1	ESE	4.8	SE	3.3	ESE	2.2	SE	2.5	SE	2.5	SE	2.8	SE	2.8
21	ESE	5.8	SSE	5.3	SSW	6.6	W	5.8	W	4.4	SW	4.6	SW	4.3	W	6.4	W	6.4	W	6.2	W	6.9	W	5.9
22	NNW	2.1	NW	2.9	NW	4.0	NNE	4.3	N	4.5	N	3.9	NNE	3.6	NNE	3.4	NNE	3.2	N	2.5	NNE	2.6	N	3.0
23	NNW	3.4	NW	3.1	NW	2.9	NW	3.0	NW	2.9	NW	3.5	WNW	4.0	WNW	4.2	W	4.7	WNW	5.1	WNW	5.4	WNW	5.2
24	WNW	2.2	NW	1.5	NW	1.5	E	2.2	SE	2.1	E	1.4	E	3.0	E	1.9	NNE	3.0	NE	3.5	NE	3.5	NNE	3.8
25	N	4.3	N	3.9	NNW	3.6	NNW	4.1	NNW	3.7	NNW	3.8	NNW	3.5	NNW	3.8	NW	4.9	NNW	6.4	NNW	7.2	NNW	7.0
26	NW	6.4	NW	6.7	NW	6.4	NW	6.0	NW	6.5	NW	6.6	NW	7.4	NW	7.9	NW	7.2	NW	7.2	NW	7.4	NW	8.1
27	W	5.8	W	5.5	W	6.3	W	6.2	W	6.3	W	5.7	W	5.4	W	6.1	WNW	6.3	WNW	5.8	W	5.5	W	6.5
28	W	5.7	W	5.3	WSW	5.5	WSW	5.9	WSW	6.4	WSW	6.3	WSW	7.1	WSW	7.0	WSW	7.5	WSW	7.8	WSW	7.4	W	7.3
29	WSW	5.5	W	4.4	W	4.2	W	5.9	W	6.6	W	7.0	W	7.5	W	7.9	W	7.6	W	7.7	W	7.9	WSW	7.7
30	W	5.6	W	5.3	W	5.1	W	5.0	W	4.8	W	6.0	W	6.1	W	6.3	W	6.2	W	7.0	W	6.5	W	6.3
31	W	3.7	W	3.4	WNW	3.4	W	3.9	W	4.3	W	4.3	W	4.5	W	4.2	W	4.1	W	4.2	W	3.4	WNW	4.1
Mittel		5.12		4.94		4.84		5.27		5.24		5.09		5.06		4.98		5.29		5.33		5.59		5.59
Juni																								
1	NNW	2.1	N	1.8	NE	2.7	E	3.1	E	2.8	SE	3.4	ESE	2.8	E	2.8	E	3.0	E	3.3	E	3.5	ESE	4.1
2	E	5.9	E	6.4	E	6.6	E	6.5	E	5.8	E	5.4	E	5.3	E	5.5	E	6.0	ESE	6.8	E	7.5	SE	6.7
3	SW	6.7	SW	7.1	SW	7.0	WSW	8.0	WSW	6.5	WSW	6.5	W	7.6	WSW	5.1	SW	5.9	SW	6.5	SW	7.7	SW	7.8
4	SW	6.5	SW	6.2	SW	5.9	SW	5.7	SW	6.3	SW	6.3	WSW	6.3	WSW	5.6	WSW	5.8	WSW	5.1	SW	5.5	SW	5.6
5	SE	6.2	SSE	5.7	S	5.5	S	4.8	SW	4.2	S	4.8	S	4.9	S	5.0	SE	5.8	SE	5.8	S	5.6	SSW	6.6
6	S	4.0	S	4.6	SW	6.2	WNW	4.9	N	3.3	WSW	5.9	SE	5.3	SSE	4.8	SSE	4.3	S	3.7	S	4.5	SSW	4.9
7	E	4.5	E	4.6	E	3.8	E	2.0	E	4.7	E	3.8	E	4.0	ESE	2.7	SE	2.6	ENE	2.9	ENE	4.0	E	3.7
8	NW	3.5	NW	3.6	SW	4.9	WNW	5.0	NW	3.8	NNW	3.0	WSW	3.2	WSW	3.5	WSW	4.8	WSW	4.2	WSW	4.5	W	4.7
9	WSW	3.3	W	2.0	WSW	2.5	WSW	3.6	W	3.6	W	3.7	WNW	2.8	NW	2.7	NNW	3.7	NW	3.4	NW	3.5	NW	4.5
10	NE	5.4	NE	4.8	NE	5.3	NE	4.9	NE	4.5	NE	4.5	NE	4.4	NE	4.3	NE	4.0	NE	5.1	NE	4.5	NE	4.2
11	N	2.9	N	2.8	N	3.3	N	3.0	N	3.0	N	2.8	N	2.6	N	3.2	N	3.2	NNE	3.5	NE	3.8	N	4.0
12	NNE	3.5	N	3.3	N	3.2	N	3.3	N	3.5	N	3.2	N	3.5	NNE	4.0	NNE	3.2	NNE	3.2	NNE	3.1	NNE	3.2
13	NNE	1.3	N	1.7	N	1.9	NE	2.8	NNE	2.1	N	1.8	N	1.3	NW	1.7	NW	2.0	WNW	2.2	WNW	1.9	NW	2.7
14	NW	1.5	W	2.9	WNW	2.5	WNW	2.5	WNW	3.0	W	3.6	W	5.3	W	7.0	W	7.0	W	7.9	WNW	8.7	W	8.2
15	W	9.1	W	8.3	W	7.9	W	8.0	W	8.1	W	7.0	W	7.0	WSW	6.5	SW	7.5	SW	6.7	SW	6.3	S	3.4
16	W	8.8	WSW	9.5	WSW	9.7	WSW	8.8	WSW	7.7	SW	7.5	SW	7.5	SW	7.8	SW	8.2	SW	7.8	SW	8.1	SW	7.3
17	W	10.8	W	9.4	W	9.0	W	8.7	W	8.5	W	8.5	W	8.9	W	9.1	W	9.0	W	9.3	W	9.6	W	9.0
18	WNW	4.4	WNW	5.2	W	5.6	W	5.5	W	5.2	W	4.5	W	4.0	WNW	3.9	WNW	4.1	W	4.7	WNW	4.7	W	4.5
19	SW	2.8	S	2.5	S	2.5	SSE	2.8	S	2.9	S	3.7	S	4.4	SW	4.3	WSW	5.4	W	5.6	W	5.6	W	6.0
20	SE	5.6	SE	6.2	SE	6.7	SE	6.5	SE	5.5	SE	5.5	SSE	4.7	SSE	4.7	S	4.8	WSW	5.8	W	7.9	W	8.5
21	W	4.7	W	4.2	WSW	4.1	SW	4.3	SW	4.5	SW	4.5	SW	4.8	WSW	5.0	WSW	5.5	W	5.9	W	6.0	W	6.3
22	W	4.2	W	4.2	W	4.1	W	3.5	W	3.6	W	3.2	W	2.3	WNW	2.4	WNW	2.9	WNW	4.2	WNW	4.2	NW	4.5
23	ENE	4.5	E	5.1	E	4.3	E	4.5	E	4.6	E	3.7	E	3.2	E	3.6	E	3.3	E	2.9	E	2.8	E	2.9
24	SE	5.2	SE	4.8	SE	5.0	SE	5.7	SE	4.5	SE	3.8	W	3.9	WNW	1.9	N	1.3	W	2.6	WSW	3.0	WNW	4.8
25	NNW	3.3	NNW	3.7	N	3.4	NW	3.1	NNW	3.5	NNW	3.4	NNW	3.2	NW	3.9	NW	3.5	NW	3.3	NW	2.9	NW	2.9
26	E	3.3	E	4.0	E	4.0	ESE	4.1	SE	4.2	SE	4.1	SE	3.7	SE	4.3	SE	3.0	SE	2.6	SSE	2.3	SE	2.7
27	W	4.0	W	4.5	W	4.2	W	4.7	W	4.7	W	4.5	WNW	4.5	WNW	4.8	WNW	4.9	WNW	5.2	NW	5.0	WNW	5.2
28	SSW	2.6	SSW	1.9	SSW	2.0	SSW	2.8	S	4.0	S	3.8	S	2.7	S	2.7	SSW	2.2	SSW	2.3	S	2.2	SSW	2.8
29	SE	5.7	SE	5.8	SE	5.7	SE	5.5	SE	5.0	SE	4.7	SE	3.5	SE	3.2	SE	3.7	SE	4.2	ESE	4.8	SE	5.1
30	NW	5.5	NNW	4.9	NW	4.2	NW	4.6	W	6.8	W	7.2	WSW	6.2	WSW	6.8	WSW	6.7	WSW	6.3	SW	5.1	WSW	6.4
Mittel		4.73		4.72		4.79		4.77		4.68		4.61		4.46		4.43		4.58		4.77		4.96		5.11

Zeitangaben nach mittlerer Ortszeit

Windgeschwindigkeit (m. p. s.)

$h_a = 41.0$ m

12-1p		1-2p		2-3p		3-4p		4-5p		5-6p		6-7p		7-8p		8-9p		9-10p		10-11p		11-12p		Mittlere Geschw.
Richt.	G.	Richt.	G.	Richt.	G.	Richt.	G.	Richt.	G.	Richt.	G.	Richt.	G.	Richt.	G.	Richt.	G.	Richt.	G.	Richt.	G.	Richt.	G.	
1912																								
ESE	3.5	ENE	3.0	E	3.0	E	2.4	ENE	1.8	E	2.2	E	1.2	E	1.5	SE	1.8	S	3.9	S	4.8	S	5.2	3.23
W	4.5	W	4.8	W	4.8	W	4.1	WSW	4.2	WSW	4.8	SW	3.3	SSW	4.5	S	5.7	SSW	6.2	SSW	6.3	SSW	6.5	4.69
WSW	6.9	W	7.0	W	6.7	WSW	7.0	WSW	6.0	W	5.2	W	5.8	W	6.2	W	5.8	W	6.1	W	5.3	WNW	5.3	6.30
W	9.7	W	10.4	WNW	9.6	WNW	10.4	WNW	10.0	W	8.7	WNW	7.9	NW	7.2	NW	6.9	NW	6.1	NW	6.1	WNW	5.3	8.00
NW	3.3	NNW	2.7	NNW	2.8	NW	2.8	NW	3.0	WNW	2.3	NW	1.4	C	0.5	C	0.5	C	0.5	C	0.5	ESE	1.7	2.91
S	4.0	SW	3.1	SW	2.2	E	2.3	ENE	2.5	SE	2.1	ESE	3.4	E	4.0	ESE	4.5	S	3.0	WNW	4.2	NW	3.0	3.47
NW	4.2	WNW	3.3	WNW	4.2	NNW	3.6	W	2.9	W	3.3	NNE	4.2	E	3.3	SW	3.5	NW	2.7	NE	1.4	SW	3.0	3.28
ENE	3.3	ENE	3.1	NE	4.5	ENE	5.0	ENE	5.3	ENE	4.9	ENE	5.2	E	4.9	E	3.2	E	4.0	E	3.7	E	3.8	2.84
SW	3.8	WSW	4.7	WSW	3.8	W	5.5	WSW	4.6	W	6.2	W	5.1	W	4.8	W	4.9	W	5.4	WNW	6.4	WNW	7.3	4.38
WNW	8.5	NW	7.3	NW	5.5	WNW	6.5	WNW	6.9	NW	5.5	NW	4.7	WNW	4.6	WNW	5.5	NW	5.5	WNW	5.2	WNW	5.1	6.55
NW	4.9	WNW	4.3	W	4.7	W	2.8	W	2.0	SW	1.2	S	2.9	S	5.0	S	5.9	S	6.1	SSE	6.2	S	7.1	4.96
SW	3.8	SSW	5.8	SW	5.7	WSW	5.9	WSW	4.0	SSW	4.3	SW	4.1	W	3.5	NW	4.1	NW	4.5	N	6.8	N	6.9	5.78
WNW	14.6	WNW	14.6	WNW	14.8	WNW	13.4	WNW	12.9	WNW	12.4	WNW	11.6	WNW	10.2	WNW	9.9	W	8.3	W	8.3	WNW	8.5	10.22
NW	6.3	NW	6.3	NW	5.6	WNW	5.1	WNW	5.1	WNW	4.6	WNW	3.9	W	2.9	W	2.6	W	2.7	W	2.6	W	2.2	6.43
ESE	2.9	ESE	2.4	E	2.7	E	2.9	E	2.7	E	4.6	E	5.5	E	6.0	E	5.7	E	6.7	E	7.0	E	6.7	3.81
WNW	5.2	WNW	4.7	NW	3.0	NW	2.9	NNW	1.7	NNE	2.2	ESE	2.6	SW	5.9	W	3.9	W	3.5	W	5.3	W	8.6	4.38
W	7.4	W	6.8	WNW	5.4	WNW	4.5	WNW	4.8	WNW	4.8	W	4.7	W	4.5	W	4.3	W	5.1	W	5.9	W	6.4	6.72
WNW	5.3	WNW	4.3	W	3.8	W	4.4	W	3.8	W	4.3	W	3.7	W	3.5	W	4.3	W	4.3	W	4.1	WSW	4.2	4.94
WNW	4.7	W	4.1	W	4.4	W	4.5	W	4.2	W	3.4	NNW	3.0	NNW	3.0	N	2.9	N	3.0	NNE	3.2	NE	3.8	4.20
SE	3.2	S	3.9	S	2.7	S	2.7	SE	1.6	ESE	1.5	E	3.4	E	4.4	E	5.0	E	5.0	E	5.6	E	6.0	3.71
W	5.3	W	5.3	W	5.9	W	5.9	WNW	5.5	W	4.0	W	3.2	W	3.1	WNW	1.5	WNW	1.9	N	1.8	NE	2.8	4.78
N	3.4	NNE	3.5	NNE	3.2	N	3.4	N	3.5	N	3.3	NE	3.4	NNE	3.6	NNE	3.0	N	2.8	N	3.3	N	3.6	3.33
WNW	5.2	WNW	4.0	NW	3.9	WNW	3.7	NW	3.5	WNW	5.0	WNW	2.7	NW	2.9	NW	2.5	WNW	2.4	WNW	2.2	WNW	1.5	3.62
N	4.5	N	5.2	N	5.0	NNE	4.6	NE	4.3	NE	4.5	NNE	3.7	NE	3.8	NE	4.3	NE	3.7	NNE	3.7	N	4.1	3.38
NNW	6.9	N	6.4	NNW	7.0	NNW	6.7	NNW	6.4	NW	6.2	NW	7.0	NW	6.3	NW	5.9	NW	6.1	NW	6.5	NW	6.6	5.59
NW	8.2	NW	7.1	WNW	8.0	NW	7.8	NW	7.7	NW	6.3	NW	5.7	NW	6.0	WNW	5.1	WNW	5.7	WNW	5.8	W	5.9	6.80
W	6.4	W	6.8	W	5.5	W	6.7	W	6.4	NW	6.1	W	5.2	WSW	5.5	WSW	5.5	WSW	5.9	W	5.9	W	5.7	5.96
W	7.4	W	7.1	W	7.7	W	8.3	W	6.9	W	6.2	W	5.8	W	4.3	W	4.8	WSW	5.6	WSW	6.0	WSW	5.9	6.48
W	8.3	W	9.3	W	7.8	W	8.3	W	7.0	W	7.0	W	5.9	WNW	4.9	W	5.8	W	4.9	W	4.7	W	4.4	6.59
W	5.8	W	4.7	W	5.5	W	5.5	W	4.7	NNW	3.2	N	3.0	N	2.7	N	2.5	NNW	2.8	NNW	3.0	WNW	3.0	4.86
NW	4.3	NW	3.8	NW	3.5	NW	3.3	WNW	3.1	WNW	2.7	WNW	2.4	WNW	2.1	W	2.7	WNW	3.1	WNW	3.0	NW	2.5	3.50
	5.67		5.48		5.25		5.25		4.81		4.61		4.37		4.37		4.34		4.44		4.67		4.92	5.02
1912																								
ESE	3.5	ENE	4.2	E	3.2	ESE	2.5	E	3.5	E	3.4	ENE	4.9	E	5.0	E	4.8	E	5.0	E	5.2	E	5.0	3.57
ESE	6.3	ESE	6.3	SE	6.0	SE	4.5	SSE	4.2	W	2.2	NE	2.8	SW	3.1	WSW	4.4	SW	5.2	SW	5.8	SW	6.5	5.49
SW	8.0	SW	7.7	SW	7.5	SW	8.3	WSW	6.6	WSW	5.5	W	4.2	W	2.0	S	4.1	SSW	6.0	SW	6.4	SW	6.4	6.46
WSW	5.0	WSW	5.3	WSW	5.2	SSW	4.4	SSW	4.1	S	4.3	S	3.3	SSE	3.4	SE	4.5	SE	5.5	SE	5.5	SE	6.0	5.30
SW	4.5	WSW	6.1	SSW	4.8	SW	5.6	SSW	6.1	SW	5.2	SW	4.5	WSW	4.7	SW	4.3	SW	2.3	SW	2.8	S	3.7	4.98
SW	5.0	SSW	4.2	SSW	5.0	SSW	5.5	SW	5.5	WSW	5.7	SW	3.1	SW	2.2	SE	2.0	ESE	3.0	E	3.9	E	4.7	4.43
ESE	5.0	E	5.0	E	5.4	E	6.0	E	5.8	E	5.0	ESE	3.6	ESE	4.0	ESE	4.5	ESE	4.7	W	5.5	WNW	4.0	4.24
WSW	4.3	SW	5.0	WSW	5.2	W	3.2	WSW	3.2	SW	2.1	SW	3.2	SW	3.5	SSW	4.5	S	4.8	S	5.2	SW	4.7	4.07
NW	4.0	NNW	4.6	NW	4.9	NW	4.7	NW	4.9	N	4.5	E	4.1	N	1.9	N	3.5	NNE	4.4	NE	4.6	NE	5.6	3.79
NE	4.3	NNE	3.8	NE	4.5	NE	4.8	NE	4.9	NE	4.1	NNE	4.4	NE	4.8	NNE	3.7	NNE	3.5	NNE	3.1	N	3.2	4.38
N	3.5	NNE	3.4	N	4.0	N	3.7	N	3.8	N	3.4	N	3.5	N	3.7	NNE	3.8	NNE	3.8	NE	4.4	NNE	3.2	3.43
NE	3.3	NE	3.0	NE	2.9	NNE	3.8	NNE	3.6	N	2.8	NNE	3.0	NNE	3.4	NE	2.8	NNE	2.7	NNE	2.7	NNE	2.2	3.18
NW	2.4	WNW	2.8	NW	3.9	NW	3.0	NNW	3.7	NNW	4.2	NNW	3.5	N	3.1	NNE	2.5	NE	2.1	N	2.1	NNW	1.9	2.44
W	8.6	W	9.4	W	8.8	W	9.7	W	8.7	W	7.3	W	7.5	W	8.5	W	8.6	W	7.0	W	8.7	W	9.5	6.77
W	6.2	W	6.7	W	9.8	WSW	10.8	W	11.5	W	9.6	W	10.3	W	10.2	W	10.0	W	10.0	W	9.7	W	9.9	8.35
SW	6.8	SSW	5.8	SSW	4.5	SW	5.0	SW	4.7	SW	7.1	WSW	8.0	W	8.7	W	9.0	W	8.5	W	9.1	W	10.6	7.77
W	8.7	W	9.7	W	7.0	W	7.8	W	6.9	W	5.0	WSW	3.9	W	4.0	WSW	4.3	WSW	5.8	W	5.5	WNW	4.2	7.61
WSW	4.2	WSW	5.1	W	4.1	WSW	4.0	W	3.2	W	2.4	WNW	1.9	WNW	1.1	C	0.5	SSW	2.0	SSW	3.2	SW	3.8	3.83
W	7.3	W	6.3	W	6.4	W	5.7	WNW	5.1	NW	4.3	NW	2.4	N	2.0	NE	2.6	E	4.0	E	4.6	SE	5.5	4.36
W	8.5	W	7.6	W	9.4	W	9.0	W	8.9	W	11.2	W	9.0	WNW	4.6	WNW	3.3	W	3.8	WNW	5.0	WNW	4.7	6.56
W	6.2	W	6.3	W	5.3	W	6.5	NW	5.7	WNW	4.5	WNW	4.5	WNW	3.8	W	4.1	W	4.0	W	4.0	W	3.7	4.93
NW	4.0	NW	4.3	WNW	4.2	NW	3.8	NNW	3.6	NNW	3.7	NW	2.9	NW	2.7	NNW	3.0	NNE	3.8	NE	4.1	NE	4.3	3.65
E	3.2	ESE	3.5	E	3.5	E	3.2	E	3.5	E	3.9	E	5.0	E	5.0	E	5.2	ESE	5.5	ESE	5.7	ESE	5.2	4.08
WNW	5.0	WNW	4.6	WNW	3.8	NW	2.8	NW	3.0	NNW	3.8	NNW	3.3	NW	2.5	NW	3.0	NNW	3.0	N	3.3	N	3.2	3.66
NW	2.8	NNW	3.0	N	3.0	NE	1.5	C	0.5	N	1.6	NW	3.4	N	4.4	NNE	3.1	NE	3.4	ENE	3.0	E	3.3	3.05
SE	2.7	SE	2.3	SSE	2.0	ESE	1.8	ESE	2.5	WSW	2.0	C	0.5	WSW	3.0	W	3.0	WNW	3.3	WNW	2.7	WNW	3.0	2.96
NW	5.5	WNW	5.5	NW	5.1	NNW	4.4	NNW	3.6	NW	3.1	NW	2.6	NNW	2.1	N	1.9	N	1.7	N	1.2	S	1.7	3.94
SE	3.2	SE	3.0	SE	3.5	SSE	3.7	SSE	3.7	SE	3.4	SE	3.1	SE	3.9	SE	4.3	ESE	4.6	ESE	5.2	SE	5.9	3.31
SE	5.4	SN	5.1	SSE	4.5	SE	4.6	S	3.6	SSE	3.5	SE	3.7	SE	4.2	SE	4.9	SE	5.5	SE	5.3	SW	4.6	4.66
W	7.3	W	6.0	W	7.0	WSW	6.3	WSW	3.5	WSW	3.8	W	4.4	W	4.0	WSW	3.8	WSW	3.7	SW	4.2	SW	3.8	5.35
	5.16		5.19		5.15		5.02		4.74		4.42		4.15		3.98		4.13		4.42		4.72		4.80	4.69

Zeitangaben nach mittlerer Ortszeit

Datum	12–1ᵃ		1–2ᵃ		2–3ᵃ		3–4ᵃ		4–5ᵃ		5–6ᵃ		6–7ᵃ		7–8ᵃ		8–9ᵃ		9–10ᵃ		10–11ᵃ		11–12ᵃ	
	Richt.	G.	Richt.	G.	Richt.	G.	Richt.	G.	Richt.	G.	Richt.	G.	Richt.	G.	Richt.	G.	Richt.	G.	Richt.	G.	Richt.	G.	Richt.	G.
Juli																								
1	SSW	4.5	SSW	4.3	SSW	4.6	S	5.2	SSW	5.3	SSW	4.6	SSW	4.0	SSW	4.1	SW	4.0	SW	4.0	WSW	4.4	SW	5.8
2	SW	3.5	SW	2.7	WSW	2.5	W	2.3	W	1.4	W	1.6	W	1.8	NW	1.2	NW	1.5	NW	1.7	S	1.5	S	2.0
3	SW	2.4	SW	2.4	WSW	1.5	WSW	3.0	WSW	4.4	W	3.7	W	4.0	W	3.8	W	3.5	W	4.0	WNW	4.4	WNW	4.6
4	N	3.3	NNE	3.2	NNE	3.8	NE	4.4	NE	3.0	NE	3.5	NE	3.5	NE	3.6	NE	3.9	NNE	3.5	NE	4.7	NE	4.7
5	N	4.0	N	4.0	N	4.2	N	3.7	N	3.5	NNE	3.4	NE	3.2	NNE	2.6	N	2.2	N	2.8	N	4.3	NNE	4.4
6	E	4.2	ESE	4.2	ESE	4.7	ESE	4.4	ESE	4.6	E	4.3	E	3.2	ESE	2.4	ENE	2.9	E	3.5	E	4.1	ESE	4.3
7	E	5.0	E	5.2	E	5.3	E	5.7	E	6.2	E	5.9	E	4.6	ESE	3.5	E	4.1	ESE	3.4	ESE	3.4	SE	4.0
8	E	5.2	ESE	5.5	SE	5.2	ESE	4.9	SE	4.9	SE	2.7	SSE	1.5	SW	1.1	WNW	1.3	W	3.0	W	3.8	WNW	4.4
9	WNW	3.4	NW	2.6	NNW	2.1	N	3.5	NNW	3.0	WNW	3.8	NW	3.1	NW	3.0	NW	3.2	NW	3.4	NW	3.7	WNW	5.0
10	NNW	2.0	NNW	2.1	NW	2.9	NW	2.7	N	2.4	N	2.2	NW	1.6	NW	1.1	NW	1.7	NW	2.4	NW	3.3	NW	2.5
11	E	4.5	E	5.0	ESE	5.1	E	5.0	E	5.5	ESE	5.3	SE	4.0	SE	3.3	ESE	2.7	E	3.2	E	3.5	ESE	3.5
12	SE	5.6	SE	5.8	SE	5.4	SE	5.1	SE	5.5	SE	5.2	SE	4.3	SE	3.3	SE	4.1	ESE	5.2	E	5.4	SE	5.0
13	E	5.3	E	5.1	E	5.1	E	5.2	E	5.4	E	5.3	E	4.3	E	3.6	E	3.0	E	3.3	E	2.8	E	3.6
14	E	5.8	E	5.5	E	5.4	E	4.9	E	5.3	E	4.9	E	4.2	E	3.5	E	4.0	E	5.8	E	5.8	E	5.5
15	ENE	4.0	ENE	4.5	ENE	4.7	ENE	4.8	ENE	4.6	E	5.2	E	4.0	E	3.9	E	3.5	NE	3.4	NNE	4.8	NE	4.2
16	NE	4.2	NE	3.9	ENE	3.7	ENE	4.3	E	4.9	E	4.9	E	4.0	E	3.1	ENE	2.8	E	3.8	ENE	3.5	NE	4.1
17	NE	3.7	NE	3.8	ENE	3.8	E	4.7	E	4.5	ENE	3.6	E	3.2	ESE	1.7	ESE	1.5	SE	2.1	ENE	2.7	S	2.7
18	SW	4.1	SW	3.8	WSW	1.8	W	2.0	C	0.5	C	0.5	S	2.3	S	2.1	SSW	2.4	SSW	3.4	S	4.3	SSE	4.2
19	SE	5.8	SE	5.4	SE	5.0	ESE	5.1	SE	5.6	ESE	4.9	ESE	4.7	ESE	4.2	ESE	4.8	E	5.7	ESE	6.9	ESE	6.8
20	W	5.7	WNW	5.7	W	6.5	W	6.7	W	6.8	W	6.3	W	5.8	W	5.6	W	4.2	W	4.4	W	5.3	W	5.0
21	WNW	4.4	WNW	4.5	WNW	4.1	NW	3.4	NW	3.3	NW	2.8	NNW	1.9	NNE	2.3	NNE	2.8	NNE	4.0	NE	4.5	NE	5.3
22	NNE	4.0	NNE	4.1	NNE	4.1	NNE	3.6	N	3.5	N	3.4	N	3.8	N	4.0	NNE	4.0	NNE	4.4	N	4.1	NNE	4.3
23	N	3.7	N	4.2	N	3.5	N	3.5	N	3.8	N	2.7	WNW	1.8	WNW	2.3	WNW	2.8	NW	3.4	N	4.5	NW	4.9
24	NNE	3.5	N	2.9	N	3.2	N	3.5	N	3.5	N	2.2	WNW	2.2	NNW	2.7	WNW	2.8	NW	3.0	NW	3.2	NW	3.0
25	E	4.2	E	4.8	E	4.9	E	5.1	E	5.5	E	4.9	E	3.7	E	3.3	E	4.0	E	5.4	E	6.0	E	6.2
26	E	5.7	E	6.0	E	6.3	E	6.2	E	6.5	E	6.0	E	5.8	E	5.0	E	4.2	ESE	5.5	ESE	5.8	E	6.0
27	W	4.1	W	4.0	WSW	4.0	WSW	4.1	WSW	3.5	W	1.4	W	2.3	WSW	1.4	WSW	2.1	W	2.6	WSW	3.3	W	3.5
28	SE	3.8	SE	4.2	SE	4.4	SE	4.8	SE	5.2	SE	5.0	SE	4.2	SE	3.5	SSE	3.5	SSE	3.5	S	4.4	S	4.7
29	NW	1.9	SE	1.4	ESE	4.1	SE	2.0	SW	2.5	W	4.0	WSW	5.4	W	5.8	W	2.9	SE	2.1	SSW	2.7	SSW	3.1
30	S	5.6	SSW	5.4	SW	4.9	SW	5.3	SW	5.5	SW	4.3	SW	4.2	WSW	4.4	SW	3.0	W	3.3	W	4.3	W	5.1
31	SW	4.0	WSW	4.5	SW	5.5	SW	5.5	SW	5.2	SW	5.4	WSW	4.8	WSW	5.4	W	5.8	W	5.0	W	5.2	WSW	5.2
Mittel		4.23		4.22		4.27		4.34		4.36		4.00		3.59		3.25		3.20		3.68		4.21		4.44
August																								
1	S	5.7	S	5.6	SSE	5.9	S	6.0	S	6.0	SSE	5.2	SE	4.9	S	4.7	SSW	4.7	SW	4.5	SW	4.9	SW	4.7
2	SSW	4.0	SW	4.3	SW	3.6	W	3.7	NW	2.1	N	0.8	C	0.5	C	0.5	NE	1.1	ENE	1.9	C	0.5	E	0.9
3	NW	3.0	NW	3.8	NW	3.9	NW	4.0	NW	4.5	NW	4.6	NW	4.5	NW	4.0	WNW	4.9	WNW	5.5	NW	5.6	WNW	5.8
4	NE	3.2	ENE	3.5	E	3.7	ESE	4.9	E	4.9	E	5.1	E	4.8	E	4.1	E	4.0	E	3.5	E	4.0	E	4.2
5	E	5.7	E	5.8	E	5.9	E	5.8	E	6.0	E	6.1	ESE	4.0	SE	2.0	S	1.5	NW	1.7	NW	2.2	WNW	4.1
6	WNW	4.1	WNW	3.3	W	3.5	W	3.4	W	3.5	W	3.4	W	3.4	W	3.0	W	3.0	WNW	2.0	NW	1.9	WNW	2.3
7	SSE	5.3	S	5.6	SSW	5.5	SW	5.4	SW	5.3	SW	3.9	SW	2.5	SW	1.9	WSW	1.9	S	2.0	S	2.6	SSW	2.3
8	NW	6.9	NW	7.9	NW	8.7	WNW	9.2	WNW	9.6	W	10.6	W	10.5	W	11.2	W	11.3	W	11.4	W	10.5	W	10.2
9	W	7.2	W	7.8	W	7.0	W	6.4	W	6.2	W	6.2	W	6.4	W	6.2	W	7.1	W	7.4	W	6.4	W	7.3
10	W	5.5	W	5.7	W	5.6	W	5.6	W	5.2	W	5.1	W	4.7	W	4.9	WNW	4.4	WNW	4.5	WNW	5.2	WNW	5.3
11	W	3.7	W	4.3	W	3.3	W	3.4	W	3.0	W	2.9	W	3.2	W	4.0	W	5.2	W	6.1	W	5.8	W	6.7
12	W	7.8	W	8.1	W	7.9	W	8.5	W	9.3	W	9.1	W	9.2	W	9.8	W	9.9	W	10.5	W	10.0	W	10.5
13	SW	5.4	SW	5.1	SW	5.0	SW	4.3	SSW	4.5	SSW	4.4	S	2.8	SSE	2.8	S	2.6	SSE	3.8	S	3.8	SSW	4.1
14	WSW	6.0	W	6.6	W	6.6	W	6.4	W	5.7	W	5.9	W	6.9	W	6.8	W	6.5	W	7.4	W	6.3	W	5.2
15	SSW	5.4	S	6.0	S	6.3	SSW	6.0	SSW	5.3	SSW	5.4	S	4.9	S	5.2	SSW	5.2	SW	5.8	SW	7.0	SW	6.0
16	SW	5.2	SW	5.7	SW	5.3	SW	6.1	SW	6.0	SW	6.4	SW	6.3	SW	6.5	SW	6.6	SW	6.4	SW	7.4	WSW	7.1
17	W	9.0	W	8.2	W	7.3	W	7.3	W	7.7	W	7.8	W	8.3	W	7.8	W	7.0	W	7.9	W	7.8	W	7.6
18	SW	5.4	WSW	5.5	WSW	4.5	W	4.4	WSW	3.8	W	3.7	SSW	3.3	S	3.6	SSW	3.4	SSW	2.9	S	3.7	S	3.4
19	SSE	5.6	S	5.4	SSE	5.0	S	5.8	S	5.3	S	4.8	S	5.0	SSW	4.6	SSW	2.8	WSW	2.0	W	2.1	ENE	2.3
20	WNW	1.2	WNW	1.9	S	1.0	S	3.2	S	3.8	SSW	4.6	SW	5.8	SW	5.2	SW	5.4	SW	5.1	SW	4.8	SW	4.7
21	S	2.8	S	3.5	SSW	3.6	SW	4.3	WSW	4.1	WSW	4.0	WSW	3.6	WSW	3.9	W	6.2	W	6.4	W	7.4	WNW	6.5
22	SW	6.3	SW	6.8	SW	7.0	SW	6.6	SW	6.8	SW	6.7	SW	6.5	SW	6.2	SW	6.1	WSW	6.5	WSW	6.8	WSW	5.9
23	W	7.0	WSW	7.0	WSW	7.4	WSW	7.4	WSW	7.2	WSW	7.1	WSW	7.2	WSW	8.1	W	8.5	W	9.3	W	9.5	W	8.4
24	S	5.2	S	5.5	SSE	5.5	SE	4.8	ESE	4.6	ESE	4.5	E	3.7	E	3.1	E	2.3	NE	1.5	NW	2.2	WNW	3.3
25	SE	2.9	SE	2.3	SSE	2.5	S	3.2	SW	3.5	SW	3.8	SW	3.5	SW	2.6	WSW	2.9	WSW	2.7	WSW	3.1	W	3.4
26	SSW	4.1	S	4.6	SSW	3.5	S	4.5	S	4.7	S	4.0	S	3.8	SSE	3.2	SSE	3.8	SE	3.6	SE	4.5	SE	4.4
27	S	5.5	SSW	6.0	SSW	6.0	SW	6.5	SW	6.7	SW	6.3	SSW	5.5	SSW	6.3	SSW	7.8	SW	8.2	SW	7.5	SSW	7.0
28	WSW	6.9	SW	7.5	WSW	7.0	WSW	7.6	W	7.8	W	7.7	W	7.7	W	8.5	W	9.2	W	10.0	W	11.0	W	11.0
29	SW	5.0	SW	4.8	SW	4.2	SW	4.2	SW	4.0	SW	3.8	SSW	3.1	SSW	2.1	S	2.5	S	4.0	S	5.2	SSW	5.9
30	SE	5.5	SSE	6.2	SSE	6.5	SSE	6.4	SSE	6.2	SSE	6.3	SSE	5.5	S	5.5	S	4.5	S	3.3	SW	3.7	W	3.2
31	SW	3.6	SW	2.8	SW	3.2	SW	4.2	SSW	3.1	SSW	4.0	SW	4.0	SW	3.9	SW	3.8	WSW	3.7	W	4.4	W	5.0
Mittel		5.16		5.39		5.22		5.47		5.37		5.30		5.03		4.91		5.04		5.21		5.41		5.44

Zeitangaben nach mittlerer Ortszeit

Windgeschwindigkeit (m. p. s.)

$h_a = 41.0$ m

12–1p		1–2p		2–3p		3–4p		4–5p		5–6p		6–7p		7–8p		8–9p		9–10p		10–11p		11–12p		Mittlere Geschw.
Richt.	G.	Richt.	G.	Richt.	G.	Richt.	G.	Richt.	G.	Richt.	G.	Richt.	G.	Richt.	G.	Richt.	G.	Richt.	G.	Richt.	G.	Richt.	G.	
1912																								
SW	6.6	SW	**6.8**	W	3.6	W	**2.7**	W	4.8	W	4.5	SW	3.4	SW	2.8	SW	3.3	SSW	4.0	SSW	3.8	SSW	4.2	4.39
SW	1.9	SW	1.8	WNW	2.7	W	2.2	W	2.2	SW	2.0	SW	**6.0**	W	4.0	N	3.0	N	2.3	NNE	1.8	S	2.5	2.34
WNW	3.8	NW	3.6	NNW	3.4	NW	2.7	NW	3.9	W	3.0	NW	2.3	NNW	2.8	NNW	2.5	N	3.1	NNE	3.0	N	2.4	3.26
NE	4.5	NE	4.7	NNE	4.4	NNE	4.8	N	5.6	N	**6.1**	N	5.9	N	4.3	NNE	4.2	NNE	4.0	N	3.7	N	3.6	4.20
N	4.2	NNE	4.3	NE	3.7	NNE	3.1	N	3.1	NNE	2.5	ESE	2.2	SE	2.2	SE	1.5	C	**0.5**	SE	1.3	E	3.1	3.08
E	4.0	SE	4.2	E	4.5	E	4.1	E	4.1	E	4.5	E	4.1	E	4.2	E	4.8	E	4.7	E	4.7	E	**5.1**	4.16
SE	4.4	ESE	4.7	SE	4.7	ESE	3.8	E	4.0	E	2.8	E	**2.7**	E	**2.7**	ENE	3.2	E	3.9	E	4.0	E	4.5	4.24
WNW	5.1	NW	4.2	NW	3.3	N	3.5	W	4.3	NW	3.8	WNW	5.0	NW	4.4	NNW	3.7	N	1.8	W	2.0	W	2.7	3.64
NW	**5.1**	NW	4.5	NW	4.6	WNW	5.0	NW	4.3	NW	4.0	NNW	3.3	N	2.7	NNW	2.2	NW	2.6	NW	3.2	NNW	2.7	3.50
WNW	2.4	NW	2.9	NW	3.0	NW	2.5	NW	1.8	N	2.2	NE	2.7	ENE	2.8	NE	3.0	NE	2.9	E	4.4	E	**4.5**	2.58
E	3.8	ESE	3.4	ESE	**2.0**	E	2.4	E	2.3	ESE	2.7	ESE	3.5	ESE	4.4	E	4.8	E	5.0	E	5.2	ESE	**5.5**	3.98
SE	4.6	ESE	4.1	ESE	3.8	ESE	3.6	ESE	3.7	E	4.2	ESE	3.8	E	4.4	E	4.9	E	4.7	E	4.8	E	5.0	4.65
E	3.0	E	2.9	ENE	3.7	ENE	4.7	ENE	4.5	E	5.0	E	5.6	ENE	6.2	ENE	5.7	E	5.2	E	**6.5**	E	6.2	4.63
ENE	5.5	E	5.7	E	5.7	ENE	5.3	E	5.0	E	5.0	E	5.1	ENE	4.4	ENE	4.7	NE	5.0	NE	4.5	NE	4.0	5.02
NE	4.5	ENE	4.4	NE	4.2	NE	3.8	NE	4.2	NE	4.1	NE	4.0	NE	3.9	NE	4.2	NNE	4.4	NE	4.3	NE	4.0	4.23
ENE	4.2	E	4.2	E	4.2	NE	4.0	NE	3.7	NE	3.6	ENE	3.8	ENE	4.0	ENE	4.7	ENE	4.5	ENE	4.1	ENE	4.0	4.01
NE	3.2	NNE	3.0	NE	2.3	W	2.0	W	1.8	WNW	2.0	NW	1.7	C	**0.5**	C	**0.5**	SW	2.7	SW	4.3	SW	**4.9**	2.79
S	4.4	S	5.2	SSE	4.9	S	4.7	S	4.9	S	4.3	S	3.5	SE	4.5	SE	5.5	SE	5.5	SE	**6.0**	SE	5.6	3.77
ESE	6.9	E	7.7	E	7.2	E	6.8	E	5.5	ESE	4.4	E	4.8	WSW	6.3	W	**7.8**	W	6.9	W	6.5	W	5.7	5.89
W	5.0	W	5.5	W	5.6	W	5.2	W	5.9	W	5.7	W	5.5	W	5.4	W	4.7	W	4.6	W	4.4	W	4.8	5.43
NE	5.2	NE	5.7	NE	6.6	NE	5.7	NNE	6.0	NNE	**6.7**	NNE	5.8	NNE	5.1	NNE	5.0	NNE	5.0	NNE	4.4	NNE	3.4	4.50
NNW	4.6	NNW	4.4	N	4.0	N	4.5	N	**4.8**	N	4.4	N	4.6	N	4.2	NNE	3.8	NNE	3.9	NNE	3.7	N	3.3	4.06
WNW	5.7	NW	5.5	NE	**6.5**	NE	4.7	NE	3.6	NE	3.3	NNE	2.5	N	2.8	N	2.6	NNE	3.0	NNE	3.0	NE	3.6	3.66
NW	2.7	NW	2.5	NNW	2.8	NW	2.8	NNW	2.5	NW	2.3	NW	2.4	ENE	4.5	E	4.5	E	4.6	ESE	**4.8**	E	4.6	3.20
E	5.6	E	5.7	E	5.7	SE	**6.2**	ESE	5.3	E	5.1	SE	5.5	SE	5.4	E	5.5	E	5.0	E	5.5	E	5.6	5.17
ESE	4.9	E	4.9	E	4.9	SE	**3.1**	WSW	5.2	W	5.8	W	5.0	W	5.7	W	4.6	WSW	4.1	WSW	4.0	W	3.7	5.20
WNW	4.0	W	3.0	WSW	2.0	WSW	2.7	SW	2.5	SW	1.3	WSW	1.2	C	**0.5**	NE	1.4	E	1.1	ESE	1.8	SE	3.1	2.54
S	4.8	SSW	5.0	SSW	5.0	S	4.7	SSW	4.8	SSW	3.5	W	5.7	NW	5.0	W	5.0	W	**8.2**	S	5.3	SW	**3.0**	4.63
S	3.6	S	3.9	SSW	3.4	SSW	3.2	SSW	4.5	SSW	5.0	S	3.7	S	4.8	SE	3.2	SSE	4.5	S	4.4	S	5.5	3.65
W	5.0	W	4.3	W	3.9	WSW	4.9	WSW	4.4	WSW	4.6	SW	4.1	SW	4.9	SW	**5.7**	SW	5.5	SW	5.2	SW	4.9	4.70
SW	4.9	SW	5.4	WSW	**6.0**	WSW	4.9	WSW	4.8	WSW	3.7	SSW	**2.5**	S	3.9	S	5.2	S	5.5	S	5.4	SSE	5.6	4.97
	4.45		**4.45**		4.27		4.01		4.13		3.94		3.93		3.99		4.05		4.15		4.19		4.24	4.07
1912																								
WSW	3.8	SSW	3.0	SSW	**2.9**	SSW	3.6	SSW	**6.5**	S	4.7	S	5.3	S	4.6	S	4.2	S	4.1	SSW	3.6	S	4.2	4.72
E	1.6	C	**0.5**	NW	0.7	NNE	2.0	NNE	1.7	NNE	2.5	N	2.6	N	2.4	NNE	3.9	N	3.5	N	3.4	NNW	2.7	2.14
WNW	**6.4**	NW	5.5	WNW	6.1	WNW	6.0	WNW	5.6	WNW	4.8	NW	3.6	WNW	3.9	NW	3.3	NNW	**3.0**	N	3.1	NNE	3.9	4.55
E	3.8	E	4.8	SE	4.5	ESE	4.5	SE	4.7	ESE	4.3	E	4.3	E	4.6	E	5.3	E	**5.8**	E	5.7	E	**5.8**	4.50
W	7.5	W	**11.0**	WNW	9.7	WNW	8.4	WNW	6.6	NW	5.6	NW	5.0	WNW	4.4	WNW	4.3	WNW	3.5	W	4.7	W	5.0	5.27
NW	2.7	N	1.6	ESE	**1.5**	SE	2.2	S	2.0	E	1.9	SE	2.0	ESE	3.4	SE	4.5	SE	4.9	SE	5.1	SE	**5.4**	3.08
W	2.7	WNW	2.1	NW	2.9	NNW	3.7	NW	3.6	NW	4.0	NNW	4.6	NNW	5.0	NW	4.5	NNW	5.5	NW	5.5	NW	**5.8**	3.92
W	10.4	W	8.5	W	8.4	WSW	7.5	WSW	**6.6**	WSW	6.8	WSW	7.1	WSW	7.0	WSW	6.8	WSW	7.4	W	6.9	W	6.9	8.68
W	7.0	W	7.6	W	6.5	WNW	5.9	W	5.3	W	4.9	W	**3.9**	W	4.9	W	5.7	W	6.2	W	6.0	W	5.8	6.30
W	5.0	W	4.5	W	4.5	WNW	3.4	WSW	3.3	SW	4.1	W	4.0	W	**3.1**	WSW	3.5	W	3.6	W	3.2	W	3.4	4.47
W	**8.7**	W	8.6	W	8.5	W	8.5	W	8.0	W	7.5	W	7.0	W	6.2	W	6.9	W	7.2	W	7.7	W	7.6	6.00
W	9.5	W	9.4	W	8.3	W	8.0	WNW	7.7	W	7.0	WSW	6.3	WSW	6.5	WSW	6.4	WSW	6.3	WSW	6.1	SW	**5.1**	8.22
S	4.1	SSE	4.2	S	4.4	S	4.0	SSW	3.8	SW	2.6	S	**2.5**	SW	3.2	SSW	4.7	SW	5.1	SW	5.2	SW	**5.4**	4.08
WSW	4.4	SW	4.5	SW	4.0	W	4.1	WSW	5.3	SW	4.0	SW	4.8	W	6.2	SW	**3.4**	S	4.9	SSW	5.5	SW	5.8	5.55
W	**7.5**	WSW	4.7	W	4.9	SW	4.2	SW	**3.9**	SW	6.0	WSW	4.8	WSW	4.3	WSW	4.4	WSW	5.7	SW	4.6	SW	5.4	5.37
WSW	6.4	WSW	8.1	W	8.4	W	8.8	W	8.7	WSW	9.4	W	9.2	W	9.7	W	**9.8**	W	9.7	W	9.2	W	9.0	7.56
W	7.3	W	7.1	W	7.6	W	6.4	W	5.9	W	6.7	W	7.0	W	6.0	W	5.5	WSW	**4.5**	SW	4.6	SW	4.8	6.96
S	3.5	S	4.0	S	4.5	S	4.2	S	4.6	S	4.0	SSE	4.3	SE	4.9	SE	5.5	SE	**6.0**	SE	5.6	SSE	5.7	4.35
NW	**1.5**	S	2.3	SSW	3.5	SSW	4.3	S	4.2	SSE	3.7	SSE	3.7	SE	4.4	SE	5.5	ESE	5.3	SE	5.5	W	3.8	4.10
SW	5.3	SW	5.2	SW	4.2	SSW	3.5	S	3.9	S	3.5	S	3.4	S	3.9	S	3.5	S	4.0	SSW	3.4	W	1.6	3.84
W	6.4	WSW	9.5	W	8.0	W	8.9	W	**11.2**	W	9.5	W	7.0	W	6.5	WSW	7.0	W	7.6	WSW	7.2	WSW	6.4	6.31
SW	5.4	SW	7.0	SW	**7.2**	SW	6.3	WSW	7.1	WSW	5.6	WNW	**3.9**	WSW	5.5	W	5.6	W	6.3	W	5.8	W	**7.2**	6.30
W	8.4	W	7.7	W	7.3	SW	7.7	SW	7.0	WSW	7.0	SW	**4.7**	SW	5.0	SSW	5.1	SSW	5.4	SSW	5.0	SSW	5.0	7.06
WNW	3.3	NNW	2.5	NW	1.4	W	**1.3**	WSW	2.0	SW	2.4	SW	2.6	SW	2.8	SW	2.6	SSW	2.1	S	3.0	SSE	2.6	3.12
WSW	4.0	W	**4.7**	W	4.2	W	4.4	W	3.4	W	3.0	W	3.6	W	2.0	SW	**1.7**	SSW	3.4	SSW	4.2	SSW	4.0	3.29
SE	4.6	SE	5.2	SE	5.9	SE	6.3	SSE	6.2	S	5.6	SSW	**6.9**	SW	6.7	SW	6.1	SW	4.9	SW	5.3	SSW	5.5	4.91
SSW	6.6	S	6.7	S	6.0	SSE	5.8	SE	4.8	E	**2.5**	WNW	3.5	W	7.5	W	7.3	W	7.4	WSW	7.6	W	7.4	6.35
WNW	8.2	WNW	8.5	W	9.2	W	8.5	W	6.8	W	7.2	W	6.5	W	6.6	W	6.5	W	6.5	W	5.7	WSW	**5.5**	7.82
S	6.1	S	5.4	S	6.2	S	5.5	SSE	4.7	SSE	4.4	SSE	4.8	SE	5.9	SE	**6.5**	SE	5.7	SSE	5.9	SSE	6.0	4.83
NNW	**1.6**	S	3.5	WNW	2.5	NNW	2.9	NW	3.9	NW	4.3	NW	5.5	NW	5.9	NW	4.2	NNW	1.8	WNW	3.3	WSW	3.5	4.40
W	5.6	W	**6.3**	W	5.5	W	3.6	SSW	4.5	W	4.8	WNW	5.7	WNW	6.0	WNW	4.8	W	4.0	W	4.8	W	4.5	4.41
	5.46		**5.62**		5.46		5.30		5.27		4.98		**4.84**		5.13		5.13		5.20		5.24		5.18	5.24

Zeitangaben nach mittlerer Ortszeit

Datum	12-1ᵃ		1-2ᵃ		2-3ᵃ		3-4ᵃ		4-5ᵃ		5-6ᵃ		6-7ᵃ		7-8ᵃ		8-9ᵃ		9-10ᵃ		10-11ᵃ		11-12ᵃ	
	Richt.	G.	Richt.	G.	Richt.	G.	Richt.	G.	Richt.	G.	Richt.	G.	Richt.	G.	Richt.	G.	Richt.	G.	Richt.	G.	Richt.	G.	Richt.	G.
September																								
1	W	4.5	W	4.0	W	4.0	W	4.2	W	3.9	W	3.5	W	3.3	W	2.7	W	2.4	W	3.4	WNW	3.2	W	2.8
2	S	5.2	S	5.2	SSE	4.9	SE	5.0	SE	5.0	SE	4.6	SE	4.2	SE	3.6	SE	3.3	SSE	2.8	S	2.4	S	2.4
3	NNE	2.4	NNW	2.0	NNW	2.3	NNW	2.9	NW	2.8	N	3.0	N	2.3	N	1.5	N	1.5	NW	2.1	WNW	2.4	WNW	3.9
4	WNW	3.5	W	3.7	W	4.0	W	3.8	W	3.9	W	4.0	W	4.6	W	4.0	WSW	4.7	WSW	5.0	WSW	6.1	WSW	6.3
5	W	5.9	W	6.0	W	5.6	W	5.6	WSW	5.7	WSW	6.0	WSW	6.7	WSW	6.9	WSW	6.5	WSW	7.5	W	8.1	WSW	6.8
6	WSW	7.5	WSW	7.7	WSW	7.2	WSW	7.7	WSW	8.0	WSW	8.3	SW	8.0	SW	7.7	SW	8.7	WSW	9.2	WSW	8.8	WSW	8.5
7	SW	6.8	SW	6.7	SW	6.3	SW	7.0	SW	7.1	SW	6.4	SW	6.6	WSW	7.1	W	7.3	W	6.8	W	8.0	W	7.5
8	W	9.5	W	9.4	W	9.3	W	9.5	W	9.2	W	8.5	W	8.7	W	8.9	W	8.4	WNW	8.4	W	8.7	W	7.9
9	W	4.2	W	4.0	W	3.5	W	3.9	W	3.7	W	4.1	W	4.7	W	4.8	W	4.5	W	5.0	W	6.2	W	6.4
10	SW	6.1	WSW	6.3	WSW	6.3	W	6.5	W	7.5	W	7.5	W	7.4	W	7.8	WSW	7.9	W	7.6	W	7.9	W	7.0
11	SW	4.8	SW	5.2	SW	5.3	SW	4.5	SW	4.5	SW	4.5	SSW	4.5	SSW	4.0	SSW	3.4	S	4.1	S	4.3	S	3.4
12	SE	4.1	SE	3.8	SSE	3.2	E	2.9	E	0.9	C	0.5	NE	1.4	NNE	2.2	N	1.2	NW	1.2	NW	1.5	N	1.6
13	NNW	4.0	N	4.0	N	3.7	N	3.2	N	3.0	N	3.2	NW	3.0	NW	1.5	NW	1.3	NW	2.0	NW	2.5	NW	3.7
14	WNW	3.6	W	3.0	W	3.6	W	4.0	W	3.5	W	3.9	W	4.4	W	4.1	W	4.7	W	5.0	W	5.0	W	5.6
15	W	7.4	W	8.3	W	7.7	W	8.6	W	9.2	W	9.3	W	8.6	W	8.0	WNW	8.7	WNW	9.5	W	9.2	W	9.5
16	W	4.8	W	5.0	W	4.8	W	5.2	WNW	5.8	WNW	5.7	W	6.0	WNW	6.0	NW	5.0	NW	5.5	W	5.6	W	5.5
17	W	7.1	W	8.4	W	9.0	W	9.2	W	10.0	W	9.1	WNW	9.4	W	9.1	WNW	10.4	WNW	9.8	WNW	9.3	WNW	8.8
18	W	7.2	W	8.5	W	9.0	WNW	7.3	WNW	7.8	W	7.6	W	8.0	W	8.3	W	7.9	WNW	7.5	WNW	8.0	WNW	7.8
19	WNW	2.9	WNW	3.2	W	3.2	W	3.5	W	3.2	WNW	3.1	WNW	2.4	NW	2.8	NNW	3.0	NNW	3.5	N	4.5	N	4.3
20	NE	3.0	NNE	2.8	N	4.2	N	5.0	N	4.6	N	4.3	N	2.7	N	1.3	N	1.7	N	2.6	NE	3.0	NNE	3.3
21	N	2.6	NW	2.3	NW	3.1	NW	3.3	NNW	3.0	NNW	2.7	N	3.1	N	1.8	N	1.7	N	2.3	NE	3.1	E	2.5
22	NW	2.0	NNW	2.1	N	2.8	NNE	2.8	NNE	3.0	N	2.9	NNE	2.5	NNE	1.5	NNE	1.0	N	1.1	NW	1.7	NNW	2.4
23	ESE	2.1	SE	2.0	ESE	2.5	SE	1.3	W	1.8	W	2.1	W	2.5	W	2.6	NW	2.6	NW	2.3	NNW	2.4	NW	2.7
24	NE	6.0	NE	4.7	NE	4.7	NNE	3.4	NNE	4.0	NNE	3.7	N	3.0	NNE	3.2	N	4.5	NNE	4.2	NE	4.0	NE	3.7
25	NNE	3.7	N	3.7	N	3.4	N	3.3	N	3.2	N	3.5	N	3.5	N	4.0	NE	4.0	ENE	4.2	ENE	5.4	NE	4.5
26	N	2.5	N	2.0	N	1.8	NNE	2.6	NNE	3.0	NNE	2.8	NNE	2.8	NE	2.7	NE	2.5	NE	2.5	NE	3.2	NNE	3.7
27	NNW	2.4	NW	2.5	NNW	2.8	NNW	2.5	N	3.4	N	3.3	NNE	2.7	NE	3.2	NNE	2.6	NE	2.4	NNE	2.4	N	2.5
28	E	3.6	E	3.8	E	3.9	E	3.8	E	3.8	E	3.9	E	4.4	E	4.0	E	3.3	E	2.7	E	3.9	E	4.1
29	E	5.3	E	5.5	E	5.5	E	5.4	E	5.6	E	5.7	E	5.7	E	5.4	E	5.7	E	6.8	E	7.3	E	7.1
30	E	5.8	E	6.0	E	5.9	E	5.8	E	6.0	E	6.2	E	6.3	E	5.8	E	5.8	ESE	4.4	ESE	4.7	SE	4.9
Mittel		4.68		4.73		4.78		4.79		4.87		4.80		4.78		4.55		4.54		4.71		5.09		5.04
Oktober																								
1	SSE	5.7	SSE	6.0	SSE	6.0	SSE	4.9	S	5.9	S	6.9	S	7.3	S	7.8	S	8.8	S	9.6	S	9.6	S	9.0
2	SW	8.0	WSW	9.3	WSW	9.5	W	8.8	W	8.6	W	8.3	W	7.2	W	7.0	W	6.3	W	4.9	W	4.8	W	5.4
3	W	6.4	W	5.4	W	5.2	W	4.8	W	3.6	NW	2.9	WNW	2.0	WNW	2.7	WNW	3.0	WNW	4.1	WNW	5.1	WNW	5.5
4	NW	2.4	WNW	3.4	W	3.8	W	3.8	W	4.0	W	4.0	WNW	3.7	NW	3.1	NW	3.0	NW	1.9	NNW	3.8	NNW	4.4
5	SW	6.3	SW	5.8	SW	6.0	SW	5.5	SW	5.5	WSW	6.0	SW	5.2	SW	4.5	WSW	3.9	W	4.3	W	4.1	SW	3.6
6	SE	4.2	SE	5.0	SE	4.5	SE	4.0	ESE	4.9	E	5.1	E	5.0	E	4.8	E	3.9	E	5.7	E	6.9	ESE	6.4
7	E	4.9	E	5.8	E	5.0	E	4.2	ENE	2.8	NE	1.6	E	2.6	WSW	1.1	WNW	1.5	WNW	2.5	WNW	1.6	WSW	1.9
8	SW	2.1	SSW	2.6	SSW	3.2	SW	2.0	WSW	1.5	SW	1.2	WSW	2.8	SW	3.3	SW	2.1	W	1.7	W	1.9	W	1.4
9	N	3.6	NNE	3.7	NE	3.8	NE	3.2	NNE	2.3	ENE	1.5	E	1.0	NE	1.5	NE	1.2	NW	0.8	NNW	1.8	NNW	1.5
10	ENE	4.5	ENE	4.5	ENE	4.4	ENE	4.4	ENE	4.5	ENE	4.3	ENE	4.4	ENE	4.1	ENE	3.7	E	3.5	E	3.2	E	3.3
11	SE	2.3	ESE	2.1	SE	2.0	SSE	2.6	ESE	2.4	E	2.7	ESE	2.6	ESE	2.9	SE	2.8	SSE	2.7	SSE	2.1	SE	1.7
12	S	5.4	S	5.6	S	5.4	SSW	5.3	S	4.3	SSW	4.1	SW	3.3	WSW	3.4	W	2.8	W	2.5	W	2.3	W	3.2
13	NW	3.6	NW	3.5	NW	2.8	NW	2.5	WNW	2.8	W	2.8	WNW	2.7	WNW	2.2	WNW	2.2	NW	1.3	NW	1.6	N	1.9
14	SE	4.8	SE	4.7	SE	4.7	SE	5.1	SE	5.3	ESE	5.4	SE	5.3	ESE	5.2	SE	4.3	SE	4.2	SE	4.5	SE	4.9
15	SW	4.2	SW	5.1	WSW	5.4	W	6.6	W	7.2	W	7.3	NW	7.4	NW	7.0	WNW	6.8	NW	7.5	NW	6.7	NW	7.5
16	W	5.0	W	5.1	W	5.0	W	4.6	W	5.2	W	4.7	W	4.1	W	3.9	W	3.7	W	4.1	W	3.2	WSW	3.5
17	S	6.0	S	5.8	S	5.2	S	5.5	S	5.0	S	5.1	S	5.3	S	5.5	S	5.2	S	4.9	S	4.9	SSW	4.8
18	W	8.3	W	8.0	W	7.0	W	7.1	W	6.7	W	6.2	W	7.0	W	7.5	W	7.6	W	7.4	W	7.5	W	7.9
19	W	5.4	W	5.4	WSW	5.1	WSW	5.1	SW	5.0	SW	5.0	SW	5.4	SW	5.3	SW	5.7	SW	5.5	SW	5.9	SW	6.0
20	W	7.0	W	6.8	W	6.9	W	7.3	W	6.9	W	6.0	W	6.4	WSW	6.3	WSW	6.1	W	5.5	W	5.5	W	6.1
21	SW	5.1	SSW	4.9	SSW	5.4	S	4.6	S	5.0	S	7.0	S	6.5	S	6.3	S	5.7	S	4.9	S	5.0	S	4.9
22	ESE	5.8	E	5.5	E	6.0	E	5.3	E	6.5	E	6.2	E	5.1	E	4.8	E	5.7	E	6.0	E	5.6	E	6.7
23	E	6.2	E	7.6	E	7.2	E	6.4	E	6.9	E	5.9	E	5.8	E	6.2	E	5.7	E	6.0	E	5.5	ESE	4.8
24	SE	4.2	SE	3.7	ESE	4.2	ESE	4.5	ESE	4.0	SE	3.7	SE	3.3	SE	3.2	SE	2.5	SE	2.0	SE	2.5	SSE	3.3
25	E	6.4	E	6.5	E	6.5	E	6.6	E	6.6	E	6.5	E	6.2	E	7.5	E	7.7	E	6.8	E	8.0	E	8.3
26	E	6.8	E	6.1	E	6.0	E	5.8	E	5.2	E	5.0	E	5.3	E	4.8	E	5.0	E	4.4	E	4.0	E	3.5
27	SE	3.5	ESE	4.1	SE	4.0	SE	3.7	SE	4.3	SE	3.8	SE	3.7	SE	4.2	SE	4.8	SE	5.4	SE	5.6	SE	5.3
28	SW	5.6	SW	5.8	SW	5.8	SW	5.7	SSW	5.8	SSW	6.5	S	6.7	S	6.8	S	6.8	S	6.6	S	6.8	SSW	6.6
29	SW	8.0	SW	7.2	SW	7.4	SW	6.8	SSW	7.0	SSW	6.2	SSW	4.9	SSW	5.9	S	6.9	S	6.6	SSW	5.6	SW	7.7
30	SW	5.0	SW	4.1	SSW	3.8	S	4.0	SSW	4.7	SSW	4.7	S	4.5	S	4.4	SSE	4.3	SSE	5.0	SE	5.1	S	6.2
31	SW	5.9	SW	6.5	SW	7.3	SW	5.8	SW	5.9	SSW	6.0	SSW	6.1	SSW	6.2	SSW	6.0	S	6.7	SSW	7.4	SW	7.2
Mittel		5.25		5.34		5.31		5.05		5.04		4.92		4.80		4.82		4.70		4.68		4.78		4.98

Zeitangaben nach mittlerer Ortszeit

Windgeschwindigkeit (m. p. s.)

$h_a = 41.0$ m

12-1p		1-2p		2-3p		3-4p		4-5p		5-6p		6-7p		7-8p		8-9p		9-10p		10-11p		11-12p		Mittlere Geschw.
Richt.	G.	Richt.	G.	Richt.	G.	Richt.	G.	Richt.	G.	Richt.	G.	Richt.	G.	Richt.	G.	Richt.	G.	Richt.	G.	Richt.	G.	Richt.	G.	
1912																								
W	3.7	W	4.0	W	2.9	W	2.3	NW	1.4	W	**0.7**	SE	1.0	SE	2.2	ESE	3.5	SE	3.8	SSE	4.7	S	**4.9**	3.21
SSE	2.7	SSE	3.1	SSE	3.8	SSE	3.0	S	2.7	SSE	2.8	ESE	3.4	SE	4.8	S	3.0	S	**1.2**	NNW	2.2	NW	2.6	3.50
WNW	4.8	NW	4.8	NNW	4.0	WNW	5.1	WNW	**5.7**	W	4.7	NW	4.4	NW	3.9	NW	4.3	NW	3.9	NW	3.5	WNW	3.3	3.40
SW	6.7	SW	7.0	SW	7.2	SW	6.0	SW	7.1	SW	6.7	SW	7.2	SW	**7.3**	SW	7.2	WSW	6.8	WSW	6.0	WSW	5.5	5.60
W	8.9	WSW	6.0	W	8.5	WSW	8.3	W	**9.2**	W	8.3	W	8.8	W	8.0	W	8.0	WSW	7.4	WSW	8.0	WSW	8.0	7.28
WSW	8.1	WSW	8.2	WSW	8.1	WSW	7.7	WSW	8.2	WSW	7.8	WSW	7.4	SW	**6.3**	SW	7.1	SW	7.8	SW	6.9	SW	6.7	7.82
W	8.3	W	7.9	W	8.2	W	8.3	W	9.0	W	8.3	W	8.1	W	9.3	W	9.2	W	**9.5**	W	9.3	W	9.3	7.85
W	8.1	W	7.8	WSW	7.1	WSW	6.2	NW	4.9	W	3.9	WSW	**3.6**	WSW	4.5	WSW	4.3	WSW	3.9	WSW	4.2	W	4.5	7.06
W	**7.8**	WSW	7.0	W	6.2	WSW	5.7	WSW	6.3	W	7.2	WSW	6.0	WSW	6.7	WSW	7.2	WSW	6.9	WSW	7.0	SW	5.8	5.62
WSW	7.3	WSW	**8.0**	W	6.3	W	6.1	WSW	5.5	WSW	6.2	WSW	5.9	SW	5.2	SW	**4.8**	SW	5.5	SW	5.2	SW	5.3	6.55
S	4.0	SW	3.2	S	3.0	SSW	**2.7**	E	4.2	ESE	4.2	SE	4.7	S	**5.3**	S	4.7	SSE	3.9	SE	3.6	ESE	4.7	4.20
N	2.6	NNW	2.7	NNE	3.3	NW	2.2	C	**0.5**	C	**0.5**	NE	1.6	E	2.6	NE	1.9	C	**0.5**	NW	1.8	NW	3.2	2.00
NW	3.5	NW	3.8	NW	**4.1**	WNW	**4.1**	WNW	3.3	WNW	3.0	W	3.2	W	3.0	W	2.9	W	2.7	W	3.1	W	3.4	3.13
W	5.6	W	6.3	W	7.1	W	7.2	W	6.5	W	6.4	W	7.0	W	7.3	W	7.2	W	**7.7**	WNW	6.5	WNW	7.0	5.51
WNW	9.0	NNW	7.2	WNW	6.6	NW	8.2	NW	7.7	NW	6.7	NNW	6.9	NW	5.0	NW	**4.6**	WNW	5.0	WNW	5.1	W	5.1	7.55
WNW	6.4	NW	6.0	NNE	**3.5**	NW	4.0	WNW	5.0	W	4.9	W	6.1	W	7.1	W	7.3	W	7.9	W	**8.2**	W	7.8	5.80
WNW	9.0	WNW	**10.8**	W	10.0	W	9.1	WNW	10.0	W	10.0	W	9.7	W	8.6	WNW	8.1	WNW	8.4	WNW	7.8	W	8.2	9.14
WNW	7.7	WNW	7.0	WNW	7.0	WNW	6.7	W	6.4	W	5.7	W	5.0	NW	**3.0**	W	3.8	W	3.9	WNW	3.8	NW	3.3	6.59
NNW	3.5	NNW	3.2	NNW	3.6	N	4.1	NNW	3.8	NNW	2.7	N	3.0	NNE	3.5	NE	4.0	NE	3.4	NE	3.3	NE	3.3	3.38
NNE	3.0	NNE	3.3	NE	3.6	NNE	3.8	NE	4.0	NE	3.7	NNE	3.5	NE	3.9	NE	3.4	NE	3.5	NNE	3.4	NNE	3.1	3.36
E	1.9	NE	2.6	N	2.2	N	2.5	N	3.1	N	**4.4**	NNE	3.1	NNE	2.5	NNE	**0.9**	NW	1.8	NW	1.7	NW	1.5	2.49
NNW	1.8	NNE	1.2	E	1.1	E	1.2	NNE	1.6	NE	1.9	NE	2.4	NE	2.3	ENE	2.3	E	3.0	E	**3.2**	ESE	3.1	2.12
NNW	3.4	NW	3.4	NW	3.5	N	3.2	NNE	2.9	N	3.2	N	2.5	NNW	3.1	NNW	3.8	NE	5.4	NE	5.2	NE	**5.9**	3.02
NE	3.2	NE	2.5	E	2.3	E	2.9	E	2.2	NE	**2.0**	NNE	2.9	NNE	3.5	NNE	3.4	NE	4.4	NE	3.9	NNE	3.8	3.59
NE	4.8	NE	5.0	NE	4.5	NE	4.5	NE	4.8	NE	4.4	NE	3.7	NE	3.4	NNE	2.7	NE	2.6	NE	3.2	NE	**2.5**	3.85
NE	3.3	ENE	3.2	NE	2.8	NNE	3.0	NE	2.7	NNE	2.5	N	3.5	NNE	3.5	NNE	3.1	NNE	3.1	NNE	2.9	N	2.6	2.85
N	2.0	NE	2.2	NE	**1.0**	N	1.7	S	2.3	NW	**1.0**	NE	3.1	NE	**4.2**	NE	3.8	NE	3.7	NE	3.2	ENE	3.5	2.68
E	4.7	E	4.6	E	4.4	ESE	4.6	ESE	3.9	E	4.0	E	4.5	E	4.8	E	4.8	E	**4.9**	E	4.8	E	**4.9**	4.17
E	7.2	E	7.6	E	**7.7**	E	7.1	E	6.0	E	5.3	E	5.3	E	**5.2**	E	5.5	E	5.8	E	5.8	E	5.7	6.05
SE	5.0	SE	5.2	SE	4.6	SE	4.4	SE	**3.5**	SE	4.5	SE	5.2	SE	5.6	SE	5.6	SSE	4.9	SSE	5.0	SSE	5.8	5.29
	5.27		5.16		4.94		4.86		4.81		4.59		4.76		4.85		4.75		4.77		4.75		4.81	4.82
1912																								
S	8.7	SSW	9.6	SW	10.7	WSW	**13.3**	WSW	11.9	WSW	13.2	WSW	9.5	SW	8.5	WSW	10.9	WSW	9.0	SW	8.6	SW	7.9	8.72
WSW	5.8	WSW	5.5	W	6.5	W	6.3	W	6.2	W	6.5	W	7.5	W	8.0	W	8.0	W	7.4	W	7.7	W	7.2	7.11
WNW	5.2	WNW	4.8	NNW	**6.5**	N	5.0	N	4.8	NNW	3.9	NNW	4.2	NNW	4.6	N	4.6	NNW	3.5	NNW	4.4	WNW	3.3	4.40
NW	4.8	NW	4.6	NNW	3.9	NW	2.5	NW	2.2	WNW	**1.5**	W	2.5	WSW	3.7	SW	4.8	SW	5.4	SW	**5.7**	SW	**5.7**	3.69
WSW	4.3	SW	3.6	WSW	3.3	SW	**2.1**	S	**1.5**	S	4.1	S	5.0	S	5.2	S	4.9	SSW	4.2	SSW	3.0	SSE	3.6	4.40
E	**6.9**	E	6.2	E	6.4	E	5.8	E	5.3	E	4.9	E	4.7	E	4.5	E	4.8	E	4.5	E	4.9	E	4.6	5.16
W	2.8	WNW	3.2	WNW	4.0	NW	3.5	NW	2.3	NNW	1.4	C	**0.5**	C	**0.5**	C	**0.5**	C	**0.5**	C	**0.5**	SW	0.9	2.34
NW	1.8	NW	1.5	NW	1.5	NW	1.9	NW	2.1	NW	2.7	NNW	2.4	NW	2.4	N	3.2	N	**3.3**	NW	2.7	N	**3.3**	2.28
NW	2.0	NE	3.2	ENE	4.9	ENE	**5.2**	E	4.4	E	3.9	E	3.3	E	2.3	NE	**2.5**	NE	3.8	ENE	3.9	ENE	4.2	2.90
E	3.3	E	3.5	ENE	2.6	E	2.4	E	**2.2**	E	2.4	ENE	2.5	E	3.2	E	2.8	E	2.8	ESE	**2.2**	SE	2.5	3.38
S	2.4	SSE	2.4	SSE	2.0	SSE	**1.7**	SE	1.8	SE	3.3	SE	3.9	SE	3.9	SSE	4.4	S	4.3	S	3.9	S	**4.6**	2.81
WNW	3.5	W	4.5	W	3.9	W	3.8	W	3.2	WNW	2.6	NW	3.0	NW	3.3	WNW	3.4	W	3.5	W	3.8	WNW	3.5	3.73
NE	2.1	NNE	1.9	ENE	2.7	E	2.1	E	**1.0**	E	2.5	E	3.5	E	4.0	E	4.3	E	4.5	E	4.3	E	**4.7**	2.81
SE	4.0	SE	3.5	SE	3.6	SE	3.3	SE	3.7	SE	4.3	SE	4.8	SSE	4.7	SE	4.9	S	**3.2**	S	4.1	SSW	4.3	4.45
NW	**8.2**	NW	7.1	NW	6.9	NW	6.2	WNW	5.2	W	4.9	W	5.8	W	5.7	W	6.0	W	6.2	W	6.2	W	5.5	6.36
WSW	2.8	WSW	2.6	WSW	2.5	WSW	**1.6**	SW	1.8	S	3.6	S	4.0	S	4.2	S	4.7	S	4.7	S	5.2	S	**5.4**	3.97
SW	5.0	SW	**4.8**	SW	**4.8**	SW	5.3	SW	5.6	SW	5.4	WSW	6.9	W	7.7	W	8.0	W	**8.9**	W	8.5	W	8.5	5.94
W	6.3	W	6.4	W	5.5	W	6.5	W	**5.3**	W	6.5	WSW	6.5	WSW	6.5	W	6.7	W	5.8	W	5.8	W	6.1	6.75
SW	5.3	SW	5.9	SW	6.0	WSW	6.1	WNW	7.3	WNW	6.6	W	7.0	W	7.5	W	**8.0**	W	7.8	W	7.1	W	7.0	6.10
W	6.6	W	5.5	W	5.0	W	5.7	WSW	4.3	SW	**4.1**	SW	5.0	SW	5.5	SW	5.7	SW	5.0	SSW	5.2	SW	5.5	5.83
S	4.9	SSE	5.0	SE	5.2	SE	5.0	SE	5.0	SE	5.0	SE	5.4	ESE	5.8	ESE	5.9	SE	6.0	ESE	6.0	ESE	5.8	5.43
E	7.0	E	**8.9**	E	8.1	E	7.3	E	7.2	E	7.7	E	7.8	E	7.1	E	6.5	E	6.6	E	7.0	E	6.5	6.54
ESE	4.8	SE	4.3	SSW	3.7	S	**3.2**	SE	**3.2**	SE	3.5	SE	3.8	SE	4.3	SSE	4.3	SSE	4.5	SE	4.1	SE	3.9	5.08
ESE	3.9	E	3.9	E	4.5	E	4.8	E	5.1	ESE	5.2	ESE	5.2	ESE	5.3	ESE	5.1	ESE	5.7	E	6.0	E	**6.2**	4.25
E	8.4	E	7.8	E	8.0	E	**8.7**	E	8.2	E	8.3	E	7.8	E	7.1	E	7.3	E	7.4	E	7.0	E	7.1	7.36
E	3.5	E	**2.8**	E	3.1	E	3.5	E	3.5	E	4.0	ESE	3.1	E	4.0	E	3.6	E	3.8	ESE	3.5	ESE	3.5	4.33
SE	**6.2**	SE	5.3	SE	5.3	SE	5.3	SE	4.9	SSE	5.2	S	5.0	SSW	4.9	SW	5.1	SW	5.5	SW	4.5	SW	4.9	4.77
SSW	**5.3**	SSW	6.5	SW	6.5	SW	6.5	SW	6.7	SW	7.5	SW	7.8	SW	**8.7**	SW	8.3	SW	7.9	SW	8.2	SW	7.6	6.79
SW	**8.2**	SW	8.1	SW	7.0	SW	7.7	SW	7.2	SW	7.4	WSW	**8.2**	WSW	6.9	W	7.2	WSW	5.5	WSW	6.1	WSW	5.2	6.87
SSW	7.0	SW	7.0	SW	6.7	SW	6.3	SW	5.5	SW	6.1	SW	6.4	WSW	6.2	WSW	6.3	WSW	6.7	WSW	**7.2**	SW	6.0	5.55
SW	7.9	WSW	**8.0**	SW	6.8	SW	7.2	SW	6.8	SW	7.2	SW	5.5	SSW	**5.2**	SW	6.0	WSW	6.3	W	7.5	W	7.0	6.60
	5.13		5.09		5.10		5.03		4.69		5.01		5.11		5.21		**5.44**		5.30		5.32		5.23	5.05

Zeitangaben nach mittlerer Ortszeit

Datum	12-1ᵃ		1-2ᵃ		2-3ᵃ		3-4ᵃ		4-5ᵃ		5-6ᵃ		6-7ᵃ		7-8ᵃ		8-9ᵃ		9-10ᵃ		10-11ᵃ		11-12ᵃ	
	Richt.	G.	Richt.	G.	Richt.	G.	Richt.	G.	Richt.	G.	Richt.	G.	Richt.	G.	Richt.	G.	Richt.	G.	Richt.	G.	Richt.	G.	Richt.	G.
November																								
1	W	7.0	W	7.5	W	7.0	NW	9.5	NW	10.4	WNW	10.2	WNW	9.4	WNW	10.1	WNW	10.0	WNW	11.3	WNW	11.6	WNW	11.7
2	W	9.3	W	9.2	W	9.0	W	9.6	W	9.4	W	10.2	W	10.2	W	9.8	W	9.9	WNW	9.4	WNW	9.2	WNW	9.2
3	W	9.0	W	9.3	W	9.2	W	10.2	W	8.7	W	8.2	W	8.5	W	8.7	WNW	9.9	WNW	9.2	W	8.2	WNW	8.2
4	W	5.5	W	5.9	W	5.3	W	5.3	W	5.0	W	5.0	W	5.4	W	6.0	W	6.3	W	6.3	W	6.8	W	6.7
5	W	7.8	W	7.0	W	7.1	WSW	5.8	SW	4.8	SW	4.8	SW	5.0	SW	5.3	SW	6.5	SW	6.9	SW	7.3	WSW	7.3
6	NNE	5.6	NNE	5.5	N	4.1	N	4.0	N	3.6	N	4.1	N	4.3	N	4.1	N	4.5	N	4.2	N	4.2	N	4.8
7	NE	2.5	NE	1.2	E	2.9	SE	3.4	SE	1.8	SW	0.7	SSE	1.3	S	1.2	SSE	0.8	S	1.3	S	1.7	S	2.5
8	S	5.0	S	5.3	S	5.1	S	3.8	S	4.6	S	4.1	S	4.3	S	4.9	SSW	5.2	S	6.3	S	7.0	SW	5.7
9	W	5.4	W	4.5	W	4.8	W	5.3	W	5.9	W	6.2	WNW	5.4	WNW	5.5	W	5.1	W	5.3	WNW	5.8	WNW	5.5
10	S	4.2	S	4.0	SSE	3.9	SSE	5.4	S	5.3	SSE	4.9	S	5.0	S	5.5	S	5.9	SSW	5.4	SSW	5.0	SSW	5.2
11	SW	3.2	SW	4.5	SSW	4.1	S	5.2	S	5.1	S	5.0	S	5.4	S	6.1	S	6.5	SSW	6.3	SW	4.8	SW	4.3
12	S	6.2	S	7.0	S	5.8	SSE	5.5	SE	6.0	SE	6.0	SE	5.5	SE	5.6	SE	5.5	SE	5.1	ESE	4.8	SE	4.3
13	E	3.5	E	2.0	NW	2.5	W	2.8	W	3.5	WNW	3.8	W	4.4	W	4.3	W	4.5	W	5.3	WSW	5.7	WSW	6.0
14	SW	6.5	SW	6.0	SW	6.0	SW	6.4	SW	6.8	SW	5.9	SW	6.8	SW	6.9	SW	7.4	SW	7.7	SW	8.1	SW	8.6
15	W	7.4	W	6.9	W	6.2	W	6.5	W	6.0	WSW	6.5	WSW	6.5	SW	6.5	WSW	6.7	WSW	6.5	W	6.5	W	6.0
16	W	4.0	W	3.5	W	3.7	W	3.3	W	3.0	W	2.9	WNW	2.5	WNW	2.5	WNW	2.0	NW	2.3	WSW	2.5	W	3.0
17	E	3.0	E	3.8	SE	3.6	E	1.3	E	2.5	E	3.0	E	3.4	E	4.8	ESE	5.0	ESE	2.7	ESE	3.4	SE	2.9
18	SSE	4.0	SSE	4.0	SSE	4.8	SSE	4.9	S	3.2	S	3.8	SSE	3.7	S	4.5	S	5.0	S	4.5	S	3.7	SSE	3.9
19	SE	5.0	SE	5.3	SE	5.0	SE	5.2	SE	5.3	SE	4.6	S	4.1	S	3.8	SSW	3.7	S	3.5	S	3.5	S	2.6
20	SW	5.5	SW	6.7	SW	6.4	SW	6.6	SW	6.5	SW	6.6	WSW	7.4	WSW	6.8	WSW	7.5	W	7.4	W	7.3	W	7.6
21	W	8.3	W	7.5	W	7.4	W	7.7	W	7.4	W	6.9	W	6.4	W	6.0	W	5.9	W	6.0	WNW	5.0	NW	4.8
22	NW	3.0	WNW	2.7	WNW	2.8	W	2.5	W	2.1	W	2.4	NNW	2.4	WNW	2.1	W	1.1	W	0.9	W	1.0	WSW	1.2
23	SW	5.4	SW	5.2	SW	4.4	SW	4.6	SW	4.0	SSW	4.1	SSW	5.2	SW	5.0	SW	5.1	SW	4.6	SW	3.5	SSW	3.4
24	SSW	5.5	SSW	6.0	S	5.5	S	5.5	SSW	5.4	SSW	5.4	S	5.7	S	5.6	SSW	5.7	SSW	5.2	S	4.9	SSW	4.5
25	W	6.5	W	6.1	W	6.4	W	5.9	WSW	6.2	WSW	6.0	SW	6.4	SW	6.4	SW	6.4	SW	6.3	SW	6.4	SW	6.2
26	SW	9.6	SW	8.5	SW	8.5	SW	8.0	SW	7.8	SW	7.0	SW	7.1	SW	6.2	SW	6.6	SW	5.9	SW	6.1	SW	5.9
27	SSW	7.0	S	7.7	S	8.7	S	7.7	SSW	6.5	SSW	6.0	SSW	7.5	SSW	7.2	SSW	6.9	SSW	6.8	SSW	7.6	SW	7.1
28	SW	5.5	SSW	5.8	S	6.2	S	6.2	S	6.3	S	6.7	S	6.8	S	6.9	SSW	6.5	SW	7.0	W	8.3	W	8.0
29	WSW	5.4	W	5.3	W	3.7	W	4.7	WSW	3.6	WSW	3.5	S	3.8	S	4.6	S	4.8	S	3.1	SE	2.9	ESE	3.4
30	SE	5.9	SE	6.3	SE	6.2	SE	6.1	SSE	6.3	SSE	6.5	S	6.9	S	7.1	SSW	7.5	SSW	6.2	SW	6.5	SW	6.6
Mittel		5.72		5.67		5.54		5.63		5.43		5.36		5.56		5.67		5.81		5.63		5.64		5.57
Dezember																								
1	SE	5.1	SSE	5.5	SSE	5.7	ESE	5.8	SSE	5.9	SSE	5.5	S	6.1	S	5.6	SSW	4.7	SW	4.0	WSW	5.7	W	6.4
2	SW	6.4	SW	6.5	SW	6.8	SW	6.0	SSW	6.3	S	6.5	S	7.6	S	7.5	S	7.9	S	8.2	S	7.4	SSW	7.4
3	W	7.0	W	7.2	W	7.5	W	7.0	W	7.7	W	7.5	W	7.4	W	6.9	W	7.4	W	8.0	W	7.7	W	8.5
4	WNW	6.1	WNW	5.8	W	5.8	W	6.3	W	7.2	W	7.0	W	6.6	W	6.0	W	5.7	W	5.4	W	5.4	W	4.7
5	SSW	4.5	SSW	4.0	SW	2.8	SSW	3.0	S	3.8	S	3.7	SSW	3.7	SSW	4.1	S	3.5	SSW	2.5	S	1.8	SSE	2.4
6	SE	5.5	SE	5.2	SSE	4.8	SSE	5.6	SSE	5.5	SE	6.4	SE	6.2	SE	5.3	SSE	6.4	S	5.2	S	5.0	S	4.4
7	S	5.2	S	5.1	S	4.6	S	4.5	S	4.5	S	4.7	SSW	4.0	S	3.5	S	4.4	S	4.6	S	4.0	S	2.8
8	SW	3.4	SSW	4.1	S	3.6	S	3.5	S	3.1	SSE	3.5	S	3.5	SSW	4.0	S	3.8	SSW	3.6	S	2.7	SW	2.1
9	SSW	3.8	SSW	3.9	SSW	4.2	SSW	4.4	SW	3.8	SW	3.9	SSW	3.9	SW	3.4	SW	4.2	SW	5.0	SW	4.4	WSW	4.1
10	SW	3.4	SW	3.7	WSW	3.5	SW	4.4	SW	4.3	SW	4.7	SW	4.5	SW	4.9	SSW	4.9	SSW	4.6	SW	4.0	SW	3.8
11	SW	5.9	WSW	6.2	W	6.3	W	6.2	W	6.8	WSW	5.1	W	6.7	W	5.7	W	5.5	W	4.7	WSW	3.6	WSW	4.0
12	SSW	3.3	SSW	3.4	S	3.9	S	4.0	S	3.9	S	4.2	S	5.2	S	5.2	S	5.5	S	5.5	S	5.5	SSW	5.5
13	WSW	7.0	WSW	6.7	WSW	6.5	SW	6.0	SW	5.9	SW	6.2	SW	6.6	SW	6.0	SW	6.8	WSW	6.9	SW	7.2	WSW	8.0
14	SW	9.2	SW	9.2	SW	9.2	SW	9.5	SW	10.2	SW	10.2	SW	10.0	SW	10.0	SW	9.7	SW	9.3	WSW	11.5	WSW	10.8
15	W	9.1	W	9.7	W	8.3	W	6.7	WSW	6.5	SW	5.1	WSW	9.6	W	14.1	W	14.1	W	15.2	W	15.4	W	14.3
16	SW	10.0	WSW	10.6	WSW	10.7	WSW	8.9	WSW	8.5	W	9.5	W	9.4	W	9.6	W	8.9	W	8.5	W	8.6	W	8.5
17	W	8.0	WSW	7.5	W	7.4	W	7.2	WSW	6.7	WSW	6.8	WSW	7.1	WSW	6.9	SW	6.6	WSW	7.4	WSW	7.1	SW	7.2
18	WSW	6.7	WSW	7.7	WSW	6.5	SW	6.0	SW	6.7	SW	7.3	SW	7.8	SW	8.5	SW	8.0	SW	8.8	SW	9.3	SW	8.5
19	SW	7.7	WSW	8.5	W	9.8	W	10.7	W	11.4	W	10.9	W	11.0	W	10.1	W	10.4	W	10.5	W	9.7	W	9.3
20	SW	7.1	SW	7.0	SW	6.9	SW	7.2	WSW	7.2	SW	7.5	WSW	6.4	WSW	6.4	SW	5.5	WSW	5.8	WSW	4.9	SW	5.4
21	SW	3.6	SW	2.5	SSW	3.0	S	3.8	S	4.0	S	4.5	S	5.6	S	5.0	S	6.0	S	6.3	S	5.3	SSW	2.8
22	SW	4.3	SW	4.0	S	5.5	SSW	5.8	SSW	5.0	SW	5.0	SW	5.4	SW	4.5	SSW	6.2	SSW	6.1	SSW	5.2	SW	4.6
23	SSW	6.4	SSW	6.2	SSW	5.2	SW	5.4	SW	6.0	SW	6.4	SW	6.0	SW	5.2	SW	5.4	SW	5.2	SW	4.7	SW	3.8
24	SSW	5.5	SSW	5.6	SSW	5.1	SW	4.9	SW	5.0	SSW	5.0	SSW	5.6	SSW	5.7	SSW	5.5	SSW	5.3	SW	4.0	SW	4.0
25	SSW	6.4	SSW	6.9	SW	8.3	SW	8.6	SW	8.6	SW	7.7	SW	7.2	SW	7.4	SW	7.1	WSW	7.7	WSW	7.9	WSW	8.5
26	SW	8.9	SW	10.0	WSW	12.3	W	12.9	W	12.7	W	11.3	W	11.1	WNW	10.5	W	7.5	W	8.5	W	7.5	W	8.7
27	SW	6.3	SW	5.8	SW	5.9	SW	4.3	SW	4.3	WSW	5.5	WSW	5.3	W	4.8	NW	4.2	NW	4.4	NW	5.8	NW	5.0
28	SW	4.1	SSW	3.9	S	4.8	S	5.0	SSE	4.3	SSE	5.6	S	5.2	SSE	5.4	SSE	5.8	S	5.5	S	6.0	SSW	5.8
29	WSW	6.0	SW	5.2	SW	5.5	SW	5.8	SW	5.6	SW	5.1	SSW	5.0	SSW	5.0	SW	5.3	SW	5.2	SW	5.0	SW	4.9
30	W	7.8	W	6.8	WSW	6.7	WSW	7.7	SW	7.2	SW	7.0	SW	7.3	SW	7.8	SW	7.4	SW	7.8	SW	8.5	SW	9.3
31	W	9.0	W	8.9	W	8.7	W	8.1	W	7.8	W	7.0	W	6.9	W	6.5	WSW	6.0	WSW	6.4	WSW	6.3	WSW	6.3
Mittel		6.22		6.24		6.32		6.30		6.34		6.33		6.58		6.50		6.46		6.52		6.36		6.19

Zeitangaben nach mittlerer Ortszeit

Windgeschwindigkeit (m. p. s.)

$h_a = 41.0$ m

12-1p		1-2p		2-3p		3-4p		4-5p		5-6p		6-7p		7-8p		8-9p		9-10p		10-11p		11-12p		Mittlere Geschw.
Richt.	G.	Richt.	G.	Richt.	G.	Richt.	G.	Richt.	G.	Richt.	G.	Richt.	G.	Richt.	G.	Richt.	G.	Richt.	G.	Richt.	G.	Richt.	G.	
1912																								
NW	10.5	NW	10.5	NW	10.5	WNW	8.9	WNW	7.4	W	7.3	W	8.5	W	7.9	W	8.5	W	8.6	W	7.8	W	8.7	9.20
WNW	9.3	W	9.7	W	8.8	W	9.2	W	9.1	W	7.8	W	8.5	W	8.0	W	7.5	W	9.0	W	9.2	W	8.3	9.12
WNW	8.0	WNW	7.5	WNW	7.6	WNW	6.8	W	7.1	W	6.6	W	7.0	W	6.3	W	6.7	W	6.4	W	6.0	W	6.2	7.90
W	6.5	W	7.1	W	7.4	W	7.0	W	6.9	W	7.1	W	7.9	W	7.5	W	6.8	W	7.0	W	7.5	W	7.4	6.48
WSW	6.9	WSW	7.2	W	7.4	W	7.2	NNW	4.8	N	4.5	NNE	5.3	NNE	4.9	NNE	4.5	N	4.7	N	4.8	N	4.9	5.95
N	4.7	N	4.8	N	4.3	N	4.4	N	3.3	N	3.3	NNE	3.9	N	3.1	N	2.9	N	2.5	NNE	2.8	NE	3.0	4.00
S	2.4	S	3.0	SSW	3.0	SSW	2.9	SSW	2.9	S	3.5	S	3.2	S	3.3	SSE	3.1	SSE	4.4	SSE	4.7	S	5.4	2.63
SSW	6.5	SSW	6.3	SSW	5.8	SW	5.6	SW	5.4	SSW	5.0	SW	5.3	SW	5.6	SW	5.6	WSW	5.8	WSW	5.5	W	5.5	5.38
W	5.0	W	5.1	WNW	4.4	W	4.0	W	3.4	W	3.5	W	2.9	NW	1.6	S	1.8	S	3.6	S	3.2	S	4.3	4.48
SW	5.7	SW	6.0	SW	6.0	SW	5.5	SW	5.5	SW	5.6	WSW	5.5	WSW	5.2	WSW	4.5	WSW	4.0	SW	3.9	SW	3.6	5.03
WSW	4.3	WNW	6.6	W	6.1	SW	3.5	S	4.7	S	6.5	S	7.0	S	7.0	S	7.0	S	6.4	S	6.1	S	6.1	5.49
SE	3.5	ESE	3.6	ESE	3.4	E	3.3	E	3.5	E	4.2	E	4.5	E	4.2	E	4.1	E	4.8	E	2.7	E	3.1	4.68
WSW	6.1	SW	5.5	WSW	5.9	WSW	5.4	SW	3.4	SW	4.5	SW	5.3	SSW	5.3	SW	5.5	SW	6.2	SW	5.7	SW	6.2	4.72
SW	8.1	SW	8.7	SW	8.7	SW	8.1	SW	8.0	SW	7.8	WSW	8.4	WSW	8.4	WSW	9.4	W	8.5	W	8.4	W	7.8	7.64
W	6.0	W	6.0	W	5.4	W	4.3	W	4.5	W	4.5	W	5.2	W	5.0	W	4.6	W	4.8	W	4.5	W	3.5	5.68
NW	3.4	W	2.2	WSW	2.5	SW	1.7	S	0.7	SE	1.6	ESE	2.2	ESE	2.5	E	2.6	ESE	2.7	SE	2.8	E	3.0	2.63
SE	3.0	SE	2.4	SE	2.7	SE	2.5	SE	2.6	SE	3.3	SE	3.6	SSE	4.4	SSE	4.1	SSE	4.0	SE	3.9	SSE	4.0	3.33
SSE	3.8	SSE	3.7	SSE	3.4	SSE	3.3	SE	3.5	SE	3.5	SE	4.0	SE	3.9	SSE	4.6	SE	4.6	SSE	3.8	SE	4.5	4.03
SW	2.4	SW	2.8	WSW	3.2	W	4.4	W	5.0	W	6.5	W	7.0	W	6.1	W	5.5	WSW	5.7	WSW	5.5	SW	5.2	4.62
W	7.6	W	8.0	W	8.1	W	7.6	W	7.9	W	8.5	W	8.4	W	8.8	W	9.0	W	8.7	W	8.5	W	8.5	7.58
WNW	4.6	NW	4.9	NNW	5.6	NW	4.2	NNW	4.3	N	3.6	NNW	3.8	N	4.0	NNW	3.6	NW	3.8	NW	4.1	NW	3.5	5.39
W	0.8	SW	1.0	SSW	2.1	S	2.7	S	4.2	S	4.8	SSW	5.4	SSW	5.3	SSW	5.5	SSW	5.3	SW	5.5	SW	5.5	3.01
SSW	3.1	S	3.9	S	4.4	S	4.7	SSW	4.9	SSW	5.4	SSW	5.8	SSW	5.9	SSW	5.3	SSW	5.7	S	5.8	SSW	5.0	4.77
SSW	3.6	S	4.5	SSW	5.0	SSW	4.1	SSW	5.3	SW	5.0	SW	5.0	SW	5.3	SW	5.0	SW	5.5	SW	6.3	WSW	6.1	5.23
SW	5.8	SW	5.3	SW	5.9	SW	6.5	SW	6.6	SW	7.1	SW	8.1	SW	8.5	SW	9.5	SW	9.8	SW	9.1	SW	9.6	6.96
SW	5.1	SW	5.7	SW	5.4	SSW	5.5	SSW	5.1	SSW	6.5	SSW	6.7	SSW	6.3	SSW	6.1	SSW	7.4	SSW	6.7	SSW	7.8	6.73
SW	8.0	SW	7.8	SW	7.1	SW	6.5	SW	6.9	SW	6.7	SW	7.0	SW	6.0	SSW	6.1	SW	5.8	S	5.2	SSW	6.0	6.91
W	6.6	W	6.7	W	7.3	W	5.7	W	5.1	WSW	4.4	WSW	5.1	WSW	5.7	W	5.5	W	5.5	W	5.5	W	4.9	6.18
SE	4.5	SE	4.4	SE	4.8	ESE	5.0	ESE	5.2	ESE	5.6	ESE	5.5	ESE	6.1	SE	5.8	SE	6.1	SE	6.4	SE	6.4	4.78
SW	5.9	SW	5.4	SSW	4.3	S	3.7	SSE	5.0	SSE	4.9	SE	5.2	SE	6.0	SE	5.2	SE	5.0	SE	4.7	SE	4.5	5.75
	5.39		5.54		5.55		5.14		5.07		5.30		5.71		5.60		5.53		5.74		5.55		5.62	5.54
1912																								
WNW	9.2	WNW	8.0	W	7.2	W	6.9	WSW	7.0	WSW	7.2	SW	7.2	SW	7.0	SW	7.9	SW	7.2	SW	7.1	SW	6.5	6.43
SSW	6.4	SSW	6.8	SSW	6.1	SSW	7.6	SSW	7.5	SW	7.9	SW	8.2	SW	8.9	SW	8.5	WSW	8.3	W	8.0	W	8.0	7.36
W	9.1	W	8.5	W	8.5	W	8.6	W	8.2	W	7.1	W	7.2	W	7.6	WNW	6.9	WNW	5.9	WNW	5.7	WNW	6.3	7.48
W	3.8	W	4.5	WSW	3.9	SW	3.5	SW	4.5	SSW	5.0	SSW	5.3	SSW	5.4	SSW	5.0	SW	4.5	SW	3.5	SW	3.8	5.20
SSE	2.5	SE	3.0	SE	3.5	SE	4.4	SE	4.7	ESE	5.1	ESE	5.3	SE	4.7	SE	4.8	SE	5.1	SE	5.0	SE	5.4	3.89
SSE	5.7	S	4.4	SSE	4.1	S	4.3	SSE	5.2	S	4.2	SSE	4.7	SSE	4.3	SSE	4.7	SSE	5.5	SSE	5.0	SSE	5.0	5.11
S	3.0	S	2.7	SSE	3.0	S	2.9	S	4.0	SSW	4.2	SW	3.5	WSW	4.3	W	3.6	W	3.2	WSW	3.9	SW	3.2	3.89
WSW	1.3	WSW	2.0	SE	1.3	S	3.8	S	4.5	S	4.4	S	4.9	S	4.5	S	4.0	S	4.3	S	4.2	S	4.6	3.53
WSW	4.2	SW	4.5	WSW	4.3	SW	5.0	SW	5.2	WSW	4.2	SW	5.0	SW	6.0	SW	5.2	SW	5.5	SSW	5.4	S	3.3	4.45
SSW	3.5	SSW	4.7	SW	4.5	SW	4.0	SW	4.6	SW	5.1	SW	5.5	SW	5.8	SW	6.4	SW	6.1	SW	5.9	SW	6.0	4.70
WSW	4.0	W	4.2	WSW	4.0	WSW	4.0	SW	3.1	SW	3.4	SSW	3.5	SSW	4.1	SSW	4.0	SSW	3.8	S	3.4	S	3.5	4.65
SSW	5.6	SSW	4.9	SW	4.8	SW	5.1	SW	6.1	SW	6.4	WSW	6.7	WSW	7.2	WSW	7.5	W	7.3	W	7.3	W	6.7	5.45
WSW	8.9	WSW	8.4	WSW	7.9	WSW	7.5	WSW	7.5	SW	7.4	SW	7.5	SW	8.5	SW	8.5	SW	8.4	SW	9.4	SW	9.1	7.45
WSW	11.3	WSW	11.0	WSW	10.6	WSW	10.3	W	13.0	W	12.4	W	11.9	W	12.9	W	13.6	WNW	12.2	WNW	11.8	W	10.4	10.84
W	14.0	W	14.8	W	15.5	W	13.0	W	13.2	W	13.2	W	13.5	W	13.3	W	11.8	W	11.6	W	11.7	WSW	11.6	11.89
W	9.9	W	10.7	W	9.2	W	9.8	W	8.5	W	7.6	W	7.3	WSW	6.6	WSW	6.9	WSW	7.7	W	8.0	WSW	8.0	8.83
SW	7.8	WSW	7.4	WSW	6.8	SW	6.9	SW	6.9	SW	6.6	WSW	7.4	SW	6.4	SW	6.0	WSW	7.0	WSW	7.8	WSW	7.2	7.09
SW	8.2	SW	7.6	SSW	6.8	S	6.6	SSW	6.7	S	5.5	S	5.0	SSE	5.7	S	6.6	SSW	6.6	SW	6.0	SW	6.2	7.05
W	9.8	W	8.8	W	7.9	WSW	6.7	SW	6.1	SW	6.2	SW	5.8	SW	5.8	SW	6.3	SW	6.3	SW	6.3	SW	7.2	8.47
WSW	4.8	W	4.2	SW	3.0	SW	3.6	SW	4.5	SW	4.6	SW	4.7	SW	4.2	SW	4.5	SW	4.9	SW	4.0	SW	3.5	5.33
SSW	3.0	SSW	4.0	S	3.6	S	4.9	SSW	5.2	S	4.5	S	5.0	S	5.5	SSW	5.5	SSW	5.5	S	5.4	S	5.2	4.57
SSW	3.6	SW	3.6	SW	3.1	SW	4.6	SSW	5.6	SSW	5.9	SSW	5.7	SSW	5.6	SSW	5.6	SSW	6.0	SSW	6.3	SSW	5.7	5.12
SW	3.5	SW	3.0	SSW	3.4	SSW	4.9	SSW	5.6	SSW	5.9	SSW	6.2	SSW	5.9	SW	5.9	SW	5.5	SSW	5.8	SSW	5.8	5.30
SW	3.0	SW	3.5	SW	4.1	SW	5.0	SW	5.3	SW	5.5	SW	5.4	SW	5.9	SW	6.0	SW	5.8	SSW	6.1	SSW	6.4	5.13
WSW	9.7	W	9.2	WSW	7.4	SW	6.3	SW	6.1	SW	6.5	SW	6.6	SW	6.4	SSW	5.3	S	6.0	S	7.1	SSW	8.2	7.38
WSW	8.0	WSW	7.2	SW	4.7	SSW	4.8	S	5.2	S	5.7	SSE	5.8	S	6.8	S	6.5	SSW	7.3	SW	8.8	WSW	9.1	8.41
WNW	5.7	WNW	5.2	W	4.7	W	3.7	W	3.5	WSW	4.2	SW	4.3	SW	4.4	SW	4.5	WSW	4.7	WSW	4.0	SW	4.4	4.79
SW	5.8	SW	7.0	SW	6.3	SW	6.9	SW	7.8	SW	7.9	WSW	7.8	WSW	7.0	SW	6.8	SW	6.6	SW	6.2	SW	6.9	6.02
SSW	4.5	SW	4.4	SSW	4.6	SSW	4.4	S	4.4	SSW	5.2	SSW	5.5	SW	7.4	WSW	7.3	WSW	8.0	W	9.6	W	9.8	5.78
WSW	10.6	WSW	10.5	WSW	12.1	W	12.1	W	12.2	W	11.5	W	11.0	W	11.4	W	11.3	W	10.2	W	10.1	W	9.1	9.31
WSW	6.7	WSW	6.5	WSW	5.9	SW	5.8	SW	6.2	SW	6.7	SW	6.6	SW	7.0	SW	7.0	WSW	7.3	SW	6.2	SW	6.2	6.92
	6.36		6.30		5.90		6.06		6.39		6.36		6.45		6.66		6.59		6.59		6.61		6.53	6.38

Zeitangaben nach mittlerer Ortszeit

Niederschlag — Januar.

$h_r = 1.75$ m

Datum	1a	2a	3a	4a	5a	6a	7a	8a	9a	10a	11a	12	1p	2p	3p	4p	5p	6p	7p	8p	9p	10p	11p	Tagessummen	Dauer in Stunden
1	.	0.5	0.7	0.5	0.1	0.1	.	.	.	.	.	.	.	.	.	.	.	.	.	.	.	.	.	1.9	4.5
2	.	.	.	0.0	.	0.6	0.5	0.0	.	.	.	.	.	.	.	.	.	.	.	.	.	0.1	0.0	1.2	3.4
3	.	.	.	.	.	.	.	.	.	.	.	.	0.0	0.3	0.1	0.4	0.1	.	.	.	.	.	.	0.9	3.0
4	.	.	.	.	.	.	.	.	.	.	.	0.0	0.0	.	.	.	.	.	.	.	.	.	.	0.0	0.2
5	0.1	.	.	0.2	1.1	0.5	0.0	0.3	0.6	1.1	1.2	1.6	0.9	0.3	0.0	.	.	0.3	0.8	1.6	1.1	1.5	0.6	.	13.8	16.1
6	.	0.0	0.8	0.4	3.1	0.6	.	.	.	.	.	.	.	0.1	.	0.3	0.8	0.6	0.7	0.0	.	.	.	.	7.4	8.4
7	0.0	0.5	0.6	0.2	0.3	0.5	0.4	0.9	0.8	0.6	0.4	0.3	0.2	0.3	0.1	.	.	.	.	.	.	.	.	6.1	13.7
8	.	.	.	.	.	.	.	.	.	.	.	.	.	.	.	.	.	.	.	.	.	0.1	0.1	0.2	1.2
9	.	.	.	.	.	.	.	.	.	.	0.0	0.5	0.5	0.1	.	.	.	.	.	.	.	.	.	1.1	3.5
16	.	.	.	.	.	.	.	.	.	.	.	.	.	.	.	.	.	.	.	.	.	.	0.1	0.1	1.0
17	0.0	.	.	.	.	.	.	.	.	.	.	.	.	.	.	.	.	.	.	.	.	.	.	0.0	0.5
21	.	.	.	.	.	.	.	.	.	.	.	.	.	.	.	.	.	.	.	.	0.1	.	0.1	0.2	0.5
22	.	0.0	.	.	.	.	.	.	.	.	.	.	.	.	.	.	.	.	.	.	.	.	.	0.0	0.2
23	.	.	.	.	.	.	.	.	.	.	.	0.1	0.4	0.0	.	0.0	.	.	.	.	.	.	.	0.5	2.3
24	.	.	.	.	.	.	.	0.2	0.6	.	.	.	.	.	.	.	.	.	.	.	.	.	.	0.8	2.0
26	.	.	.	.	.	.	.	.	.	.	.	.	.	.	.	.	0.0	0.1	0.0	.	.	.	.	0.0	0.1	2.2
27	.	.	.	.	.	.	.	.	.	0.0	.	.	.	.	.	.	.	.	.	.	.	.	.	.	0.0	0.6
29	.	.	.	.	.	.	.	.	.	.	.	.	.	0.1	0.0	0.5	0.3	0.1	.	.	.	.	.	.	1.0	3.7
31	.	.	.	.	.	.	.	.	.	0.4	0.9	.	0.0	0.0	0.1	.	0.9	0.0	.	.	.	.	.	.	2.3	3.1
Summe	0.1	1.0	2.1	1.3	4.6	2.3	0.9	1.4	2.0	2.1	2.5	2.5	2.0	0.9	0.5	0.9	2.4	1.2	1.5	1.6	1.2	1.5	0.9	0.2	37.6	70.1

Februar

Datum	1a	2a	3a	4a	5a	6a	7a	8a	9a	10a	11a	12	1p	2p	3p	4p	5p	6p	7p	8p	9p	10p	11p	Tagessummen	Dauer in Stunden
1	.	.	.	.	.	.	.	.	0.1	0.3	0.1	.	.	.	.	.	0.2	.	.	.	0.1	.	.	0.2	1.0	3.1
2	0.7	0.8	0.2	.	.	.	.	.	.	.	.	.	.	.	.	.	.	.	.	.	.	.	.	.	1.7	2.2
7	.	.	0.1	0.4	0.6	.	.	.	.	.	.	.	.	.	.	.	.	.	.	.	.	.	.	.	1.1	2.2
11	.	.	.	.	.	.	.	.	.	.	.	.	.	.	.	.	.	.	.	.	.	0.0	0.3	0.3	1.1
12	0.0	0.1	.	.	.	.	.	.	0.2	0.4	0.2	0.1	.	.	.	.	.	.	.	.	.	.	.	1.0	5.1
13	.	.	.	.	.	.	0.0	0.1	0.0	.	.	.	.	.	.	.	.	.	.	.	.	.	.	0.1	1.8
14	.	.	.	.	.	.	.	.	.	.	.	.	.	.	.	.	.	.	0.0	0.1	0.1	.	.	0.2	0.9
15	.	.	.	.	.	.	.	.	.	.	.	.	.	.	.	.	.	.	.	0.1	0.0	0.0	0.0	0.1	4.8
16	0.0	0.0	.	.	.	.	.	.	.	.	.	.	.	.	.	.	.	.	.	.	.	.	.	0.0	2.0
20	.	.	0.0	0.1	0.1	.	.	.	.	.	.	.	.	.	.	.	.	.	.	.	.	.	.	0.2	1.7
21	.	.	.	.	0.5	0.3	0.2	0.0	0.1	0.2	0.4	0.1	0.4	1.0	0.3	0.0	0.2	0.2	0.3	0.1	.	.	.	.	4.3	13.8
22	.	.	.	.	.	0.0	0.0	0.1	0.0	0.0	0.0	0.0	.	.	.	.	.	.	.	.	.	.	.	.	0.1	6.5
23	.	.	.	.	.	0.2	0.9	1.1	0.3	0.1	0.4	.	.	.	.	.	0.1	.	0.9	1.2	0.6	1.2	1.4	2.2	10.6	12.0
24	1.8	0.5	0.1	.	.	.	.	.	.	0.0	0.3	0.0	.	0.8	2.8	1.9	0.1	.	.	.	.	.	.	.	8.3	7.9
27	.	.	.	.	.	0.1	0.1	.	.	.	.	.	1.8	0.0	3.7	.	0.3	.	.	.	.	.	.	.	6.0	2.6
28	.	.	.	.	.	.	.	.	.	0.0	.	0.0	.	.	.	.	0.1	0.0	.	.	.	.	.	.	0.1	0.8
Summe	2.5	1.4	0.4	0.5	1.2	0.6	1.2	1.3	0.7	1.0	1.4	0.2	2.2	1.8	6.8	1.9	1.0	0.2	1.2	1.5	0.8	1.2	1.4	2.7	35.1	68.5

27. II. 2^{19-25}p 2.5 mm.

März

Datum	1a	2a	3a	4a	5a	6a	7a	8a	9a	10a	11a	12	1p	2p	3p	4p	5p	6p	7p	8p	9p	10p	11p	Tagessummen	Dauer in Stunden
1	.	.	.	1.1	1.2	0.1	0.1	.	0.3	.	.	.	.	.	.	.	.	.	.	.	.	.	.	2.8	4.0
2	.	.	.	.	.	.	.	.	0.6	0.7	0.0	.	0.4	.	.	0.3	0.3	.	.	.	.	.	.	2.3	4.2
3	.	.	.	.	.	.	.	.	.	.	.	.	.	.	.	0.2	0.1	0.3	0.2	0.2	.	.	0.1	1.2	4.9
4	0.1	.	.	.	.	.	.	.	.	.	.	.	.	.	.	.	.	.	.	.	.	.	.	0.1	0.2
5	.	.	0.3	1.0	0.2	.	.	.	.	.	.	.	0.2	0.7	.	.	.	0.2	.	.	0.2	.	.	2.8	3.2
6	.	.	.	.	.	.	.	.	.	.	.	.	.	.	.	0.5	0.2	.	.	.	0.1	0.0	.	0.8	1.2
7	.	.	.	.	.	.	.	.	.	.	.	.	.	0.9	0.2	0.0	0.8	0.0	0.6	0.9	1.1	0.5	.	5.0	4.7
8	.	0.0	0.1	.	.	.	.	.	.	.	.	.	.	.	.	.	.	0.0	.	.	.	.	.	0.1	1.0
14	.	.	.	0.0	0.0	.	.	.	.	.	.	.	.	.	.	0.1	0.1	0.2	1.4	0.7	0.0	.	.	2.5	6.0
16	.	.	.	.	.	.	.	.	.	.	0.2	0.2	0.4	1.1	1.4	2.0	2.0	1.4	0.4	0.6	0.4	0.1	0.1	0.1	10.4	13.6
19	.	.	.	0.1	0.4	.	.	.	0.1	.	.	0.1	.	0.6	0.1	.	.	0.1	1.1	0.5	0.2	0.5	0.3	.	4.1	4.9
21	.	.	.	.	.	.	.	.	.	.	.	.	.	.	.	0.0	.	.	.	.	0.1	1.1	0.3	.	1.5	1.8
22	0.0	0.1	.	.	.	.	.	.	.	.	.	.	.	.	.	.	.	.	.	.	.	.	.	.	0.1	0.5
23	.	.	.	.	.	.	.	.	.	.	.	.	.	.	0.1	.	.	.	.	.	.	.	.	.	0.1	0.1
24	.	.	.	.	.	.	.	.	.	.	.	.	.	.	.	.	.	0.0	0.1	0.3	0.1	.	.	.	0.5	3.5
26	.	.	.	.	0.2	.	.	.	.	.	.	.	.	.	.	.	.	.	.	.	.	.	.	.	0.2	0.8
27	.	.	.	.	.	.	.	.	.	.	.	.	.	.	.	.	.	0.5	.	.	.	.	.	.	0.5	0.1
28	.	.	.	.	.	.	.	.	.	.	.	.	.	.	.	.	.	.	.	0.3	0.1	0.1	0.1	0.0	0.6	2.4
29	.	.	.	.	.	.	.	.	.	.	.	.	0.3	0.8	.	.	.	.	0.2	.	0.1	.	.	.	1.4	1.0
30	.	.	.	.	.	.	.	.	.	0.1	0.0	0.0	0.6	0.1	0.5	0.3	0.6	.	.	.	.	.	.	.	2.2	2.4
31	.	0.1	.	0.0	0.0	.	.	.	.	.	.	.	.	.	.	.	.	.	.	.	.	.	.	.	0.1	1.0
Summe	0.1	0.2	0.4	2.2	2.0	0.1	0.1	.	1.0	0.8	0.2	0.3	1.9	4.2	2.3	3.4	4.1	2.7	4.0	3.5	2.4	2.3	0.9	0.2	39.3	61.5

7. III. 1^{23-26}p 0.6 mm; 4^{6-8}p 0.5 mm; 19. III. 1^{15-17}p 0.5 mm.

Zeitangaben nach mittlerer Ortszeit

Niederschlag

$h_r = 1.75$ m

April

Datum	1a	2a	3a	4a	5a	6a	7a	8a	9a	10a	11a	12	1p	2p	3p	4p	5p	6p	7p	8p	9p	10p	11p	Tagessummen	Dauer in Stunden
1	.	.	.	.	.	.	0.3	0.3	0.0	.	.	.	.	.	.	.	.	.	.	.	.	0.1	0.1	0.8	3.7
2	.	.	.	.	.	.	.	0.2	0.3	0.3	0.5	1.0	0.4	0.3	0.1	.	.	.	.	0.1	0.6	0.2	0.0	4.0	9.8
4	.	.	.	.	.	.	.	.	.	.	.	.	.	.	.	.	.	.	0.0	0.1	.	.	.	0.1	1.1
5	.	.	.	.	.	.	0.0	0.8	0.4	0.0	0.1	.	.	.	.	.	.	0.1	0.2	.	0.3	0.0	.	1.9	5.7
6	.	.	.	0.2	0.3	0.4	0.6	0.4	.	.	0.2	0.1	0.3	0.4	0.6	0.0	.	0.1	1.1	.	0.6	0.0	.	5.3	11.6
7	.	.	.	.	.	.	.	0.2	.	.	.	.	.	.	.	0.1	.	0.5	0.4	.	.	.	.	1.2	1.3
8	.	.	.	.	.	.	.	0.2	0.3	0.0	.	.	.	.	.	.	.	.	.	.	.	.	.	0.5	2.0
9	.	0.0	.	.	.	.	.	.	.	.	.	.	.	.	.	.	.	.	0.0	.	.	.	.	0.0	0.3
10	.	.	.	.	0.1	.	.	.	.	.	0.1	.	0.7	.	.	0.1	.	0.0	.	0.2	0.7	0.3	0.4	0.1	2.7	6.1
11	0.5	0.5	0.0	.	.	.	.	0.1	0.1	.	.	.	.	.	.	.	.	.	.	.	.	.	.	0.4	1.6	3.5
12	2.6	0.1	0.1	.	.	0.2	0.9	0.9	0.3	0.3	0.2	.	1.1	.	.	.	.	0.1	0.5	.	.	.	.	.	7.3	8.1
13	.	.	.	.	.	.	.	0.1	.	.	.	.	.	.	.	.	.	0.0	0.4	0.1	.	0.0	0.1	.	0.7	3.0
14	.	.	0.2	0.4	0.7	0.3	0.5	0.4	0.4	0.1	.	.	.	.	.	.	.	.	.	.	.	.	.	.	3.0	8.0
22	.	.	.	.	.	.	.	.	.	.	.	.	.	.	.	0.0	.	.	.	.	.	.	.	.	0.0	0.1
Summe	3.1	0.6	0.3	0.6	1.1	0.9	2.3	3.6	1.8	0.7	1.1	1.1	2.5	0.7	0.7	0.2	.	0.8	2.6	0.5	2.2	0.5	0.6	0.6	29.1	64.3

6. IV. 6^{44-45}p 0.3 mm.

Mai

Datum	1a	2a	3a	4a	5a	6a	7a	8a	9a	10a	11a	12	1p	2p	3p	4p	5p	6p	7p	8p	9p	10p	11p	Tagessummen	Dauer in Stunden
3	.	.	.	.	.	.	.	.	.	.	.	0.0	0.1	0.3	0.7	0.3	0.4	3.0	.	.	.	.	.	4.8	4.6
6	.	.	.	.	.	.	.	.	.	.	.	.	.	.	.	.	.	.	.	.	.	0.1	0.3	0.2	0.6	1.8
7	.	0.1	0.2	0.0	0.4	0.0	.	.	.	.	.	.	0.1	.	.	.	.	0.3	.	0.0	0.2	0.7	.	.	2.0	5.5
9	.	.	.	.	.	.	.	.	.	.	.	.	.	.	0.3	0.4	0.0	0.2	0.5	0.1	.	2.4	.	.	3.9	4.7
10	.	.	.	.	.	.	.	.	.	.	.	.	.	.	.	.	.	1.2	.	.	.	.	.	.	1.2	0.2
12	.	.	.	.	.	.	.	.	.	.	.	.	.	.	.	.	.	.	.	.	.	0.0	5.1	5.7	10.8	2.2
13	0.4	0.0	0.5	.	.	.	.	.	.	.	.	.	.	.	.	.	.	.	.	.	.	.	.	.	0.9	0.8
15	.	.	.	.	.	.	.	.	.	.	.	.	.	.	.	0.2	0.0	0.0	0.1	.	.	.	.	.	0.3	2.2
16	.	.	2.5	1.1	.	.	.	0.0	.	.	0.1	0.1	.	.	.	.	.	.	.	12.1	3.9	0.0	.	.	19.8	4.7
17	0.4	0.2	.	.	.	.	.	.	.	.	.	.	.	.	.	.	.	.	.	.	.	.	.	.	0.6	1.4
21	.	.	.	.	0.2	.	.	.	.	.	.	.	.	.	.	.	.	.	.	.	.	.	.	.	0.2	0.5
22	.	0.8	1.5	0.4	.	.	.	.	.	.	.	.	.	0.3	0.1	0.2	0.1	.	0.2	0.1	0.0	0.1	0.4	1.6	5.8	8.9
23	1.2	0.5	0.1	0.1	.	.	.	.	.	.	.	.	.	.	.	.	.	0.3	.	.	.	.	.	.	2.2	4.2
27	.	.	.	.	.	.	.	.	.	.	0.1	.	.	.	.	.	.	.	.	.	.	.	.	.	0.1	0.2
28	.	0.3	.	.	.	.	.	.	.	.	.	.	.	.	.	.	.	.	.	.	.	.	.	.	0.3	0.2
29	.	.	.	.	.	.	.	.	.	.	.	.	0.3	.	0.8	.	.	0.0	0.0	.	1.1	.	.	.	2.2	0.9
30	.	.	.	.	.	.	.	.	0.0	.	.	.	0.0	0.1	0.1	.	.	.	.	.	.	.	.	.	0.2	0.9
Summe	2.0	1.9	4.8	1.6	0.6	0.0	.	0.0	0.0	.	0.2	0.1	0.5	0.7	2.0	1.1	0.5	5.0	0.8	12.3	5.2	3.3	5.8	7.5	55.9	43.9

3. V. 5^{16-20}p 0.9 mm; 9. V. 9^{27-32}p 1.7 mm; 10. V. 5^{7-10}p 0.6 mm; 12. V. 10^{42-50}p 1.8 mm; 16. V. 7^{15-42}p 11.0 mm; 29. V. 2^{24-25}p 0.7 mm.

Juni

Datum	1a	2a	3a	4a	5a	6a	7a	8a	9a	10a	11a	12	1p	2p	3p	4p	5p	6p	7p	8p	9p	10p	11p	Tagessummen	Dauer in Stunden
2	.	.	.	.	.	.	.	.	.	.	.	.	.	.	5.5	.	0.3	.	.	.	.	.	.	5.8	0.4
5	.	0.0	0.2	.	.	0.3	0.6	0.4	0.3	.	.	.	.	0.2	.	.	.	.	.	.	.	.	.	2.0	3.9
6	.	.	.	0.0	0.1	0.3	0.0	.	.	.	.	.	.	0.2	.	.	.	.	.	.	.	.	.	0.6	2.1
7	0.1	.	.	.	.	.	.	.	.	.	.	.	.	.	.	.	.	.	.	.	.	.	.	0.1	0.1
8	.	.	9.6	2.2	1.2	0.6	.	.	.	.	.	.	0.1	0.6	0.2	0.1	.	.	.	.	.	.	.	14.6	5.1
9	.	.	.	.	.	.	.	.	.	.	.	.	.	.	.	.	.	.	0.0	.	.	.	.	0.0	0.1
10	.	.	0.0	0.0	0.5	.	0.1	0.0	.	.	0.3	0.4	3.1	1.1	0.1	.	0.6	.	.	.	.	.	.	6.2	6.8
14	0.0	0.0	0.3	0.2	0.3	0.1	0.7	0.4	.	.	.	.	.	.	.	.	.	.	.	.	0.4	0.1	.	2.5	6.3
15	.	.	.	.	.	.	.	.	.	.	0.4	0.7	3.0	.	.	1.2	0.2	.	.	.	.	.	.	5.5	2.8
16	0.0	.	.	.	.	.	.	.	.	.	.	0.1	0.3	0.4	0.4	1.5	0.9	0.2	1.0	0.0	.	.	.	4.8	6.5
17	.	.	.	.	.	.	.	.	.	.	0.0	.	.	.	0.4	.	.	0.0	.	.	.	0.1	0.3	.	0.8	1.3
18	.	.	.	.	.	.	.	.	.	.	.	.	.	.	.	.	.	.	.	.	.	0.0	0.2	0.1	0.3	1.9
19	0.4	0.1	0.1	0.0	.	0.2	0.1	0.0	.	.	.	.	.	.	.	.	.	.	.	.	.	.	.	.	0.9	3.5
21	.	.	.	.	.	.	.	.	.	.	.	.	.	.	0.0	.	.	.	.	.	.	.	.	.	0.0	0.2
24	.	.	.	.	.	.	.	.	.	0.6	0.5	.	.	.	.	.	.	.	.	.	.	.	.	.	1.1	1.2
25	.	.	.	.	.	.	.	.	.	.	.	.	.	.	.	.	.	0.5	.	.	.	.	.	.	0.5	0.8
26	.	.	.	.	.	.	.	.	.	.	.	.	.	.	.	.	.	0.3	.	.	.	.	.	.	0.3	0.7
30	.	.	.	.	.	.	1.6	1.3	0.7	0.9	1.1	.	0.5	.	.	8.3	0.1	.	.	.	.	.	.	.	14.5	5.4
Summe	0.5	0.1	10.2	2.4	2.1	1.5	3.1	2.1	1.0	1.5	2.3	1.2	7.0	2.5	6.6	11.1	2.1	1.0	1.0	0.0	0.4	0.2	0.5	0.1	60.5	49.1

2. VI. 2^{30-38}p 5.4 mm; 8. VI. 2^{32-46}a 6.7 mm; 15. VI. 0^{5-15}p 2.3 mm; 16. VI. 6^{30-34}p 0.8 mm; 30. VI. 3^{30-43}p 6.9 mm.

Zeitangaben nach mittlerer Ortszeit

Niederschlag — Juli

$h_r = 1.75$ m

Datum	1a	2a	3a	4a	5a	6a	7a	8a	9a	10a	11a	12	1p	2p	3p	4p	5p	6p	7p	8p	9p	10p	11p	Tagessummen	Dauer in Stunden
1	.	.	.	.	.	.	.	.	.	.	0.0	.	. .	2.7	0.2	.	0.5	.	.	.	.	.	.	3.4	0.9
2	.	.	.	.	.	.	.	.	.	.	0.0	0.0	.	.	.	.	.	.	0.5	0.3	.	.	.	0.8	2.1
3	.	.	.	.	.	.	.	.	.	.	.	0.0	.	.	.	.	.	.	.	.	.	.	.	0.0	0.1
8	.	.	.	.	.	.	.	.	.	.	.	.	.	.	.	.	4.6	1.2	0.0	.	.	.	.	5.8	1.0
9	.	.	.	.	.	.	.	.	.	.	.	0.0	.	.	.	.	.	.	.	.	.	.	.	0.0	0.2
25	.	.	.	.	.	.	.	.	.	.	.	.	.	.	.	.	.	.	.	.	0.0	.	.	0.0	0.2
28	.	.	.	.	.	.	.	.	.	.	.	.	.	.	.	.	.	.	0.1	0.1	.	0.3	0.0	0.6	1.1
29	.	.	.	.	.	.	2.3	1.7	1.0	0.1	0.1	.	.	.	.	.	.	.	.	.	.	.	.	5.2	4.0
Summe	.	.	.	.	.	.	2.3	1.7	1.0	0.1	0.1	0.0	.	2.7	0.2	.	5.1	1.2	0.6	0.4	0.0	0.3	0.0	0.1	15.8	9.6

1. VII. 1^{54}–2^{0}p 2.7 mm; 8. VII. 4^{40-53}p 4.1 mm; 5^{10-12}p 0.5 mm.

August

Datum	1a	2a	3a	4a	5a	6a	7a	8a	9a	10a	11a	12	1p	2p	3p	4p	5p	6p	7p	8p	9p	10p	11p	Tagessummen	Dauer in Stunden
1	.	.	.	0.0	0.3	.	.	.	.	.	.	.	0.3	.	.	0.0	.	.	.	.	.	.	.	0.6	1.8
2	.	0.2	0.8	0.4	0.8	1.6	1.7	1.5	2.4	1.8	0.6	1.1	0.4	0.1	0.0	.	.	.	.	.	.	.	.	13.4	12.2
5	.	.	.	.	.	.	.	.	.	.	.	.	.	.	.	.	2.0	0.4	.	.	.	.	.	2.4	1.1
6	0.1	0.2	.	.	.	.	.	.	.	.	.	.	.	.	.	.	.	.	.	.	.	.	.	0.3	0.7
7	.	.	.	.	.	.	.	.	.	.	.	.	.	.	.	.	0.2	0.4	0.3	1.2	1.5	3.5	0.6	3.7	11.4	8.0
8	2.5	0.3	0.0	0.1	0.1	0.8	1.2	1.7	2.7	1.9	1.3	0.1	.	0.0	.	.	0.0	0.1	.	0.0	.	.	.	0.1	12.9	9.6
9	.	.	.	.	.	.	.	.	.	.	.	.	.	.	.	.	.	1.1	.	.	.	.	.	.	1.1	0.4
12	.	.	.	.	.	.	.	.	.	.	.	.	.	.	.	.	0.4	0.1	.	.	.	.	.	.	0.5	0.6
13	.	.	.	.	.	.	.	.	.	.	.	.	0.0	0.5	.	.	.	.	0.1	1.0	0.1	0.1	.	.	1.8	2.1
14	.	.	.	.	.	.	.	.	.	.	.	.	.	.	.	.	.	.	.	0.2	.	.	.	.	0.2	0.3
15	.	.	.	.	.	0.4	.	.	.	.	.	.	.	.	.	0.4	0.3	.	.	.	.	.	.	.	1.1	1.2
16	0.0	0.1	.	.	.	.	.	.	.	.	.	0.0	0.5	.	0.1	0.2	.	0.3	.	.	.	.	.	0.0	1.2	1.7
17	.	.	.	.	.	.	.	.	.	.	.	.	0.1	.	.	.	.	.	.	.	0.1	0.1	.	.	0.3	1.4
18	.	.	.	0.3	0.3	0.1	0.0	.	.	.	.	.	.	.	.	.	.	.	.	.	.	.	.	.	0.7	2.3
19	.	.	.	.	.	.	.	0.0	.	.	.	.	.	.	.	.	.	.	.	.	.	.	.	0.3	0.3	0.6
20	.	.	.	.	.	.	.	0.0	0.3	.	0.5	0.0	0.1	0.1	0.1	.	.	.	.	.	.	.	.	.	1.1	3.1
21	.	.	.	.	0.0	.	.	.	.	.	1.2	.	.	0.3	0.3	.	.	.	.	.	.	.	.	.	1.8	0.6
22	.	.	.	.	.	.	.	.	.	.	.	.	.	.	.	.	.	0.1	.	0.6	0.0	0.4	.	.	1.1	1.4
23	.	.	0.1	.	.	.	.	.	.	.	.	.	.	.	.	.	.	.	.	.	.	.	.	0.0	0.1	0.5
24	0.3	0.8	0.7	1.2	1.2	0.6	0.2	0.0	.	.	.	.	.	.	.	.	0.0	.	.	.	.	.	0.1	0.8	5.9	9.2
25	2.1	1.1	1.4	0.9	1.1	0.4	0.4	0.0	0.0	.	.	.	.	.	.	.	.	.	.	.	.	.	.	.	7.4	7.6
26	.	.	.	.	.	.	.	.	.	.	.	.	0.4	0.1	1.3	1.8	0.1	0.1	.	.	.	.	.	.	3.8	4.0
27	.	0.1	.	.	.	.	.	.	.	.	.	.	.	0.8	0.3	0.7	0.1	0.2	.	0.1	0.6	0.1	.	.	3.0	5.2
28	.	.	.	.	.	.	.	.	.	.	.	.	0.1	.	.	.	.	.	.	.	.	.	.	.	0.1	0.2
30	.	.	.	.	.	.	.	.	.	.	.	.	.	.	.	.	.	.	3.3	0.3	0.1	1.7	0.5	2.1	8.0	3.5
31	0.8	0.6	0.3	0.6	0.8	0.0	.	.	.	.	.	.	.	.	.	0.1	0.4	0.1	.	.	.	.	.	.	3.7	7.9
Summe	5.8	3.4	3.3	3.5	4.6	3.9	3.5	3.2	5.4	3.7	3.6	1.2	1.6	2.2	2.1	3.2	3.5	2.9	3.7	3.4	2.4	5.9	1.2	7.0	84.2	87.2

7. VIII. 9^{7-11}p 1.1 mm; 9. VIII. 5^{35-36}p 0.2 mm; 21. VIII. 10^{45-49}a 0.8 mm; 30. VIII. 6^{28-34}p 2.7 mm.

September

Datum	1a	2a	3a	4a	5a	6a	7a	8a	9a	10a	11a	12	1p	2p	3p	4p	5p	6p	7p	8p	9p	10p	11p	Tagessummen	Dauer in Stunden
3	.	.	.	.	.	.	.	.	.	.	.	.	.	0.9	0.1	.	0.0	.	.	.	.	.	.	1.0	1.1
4	.	.	.	.	.	.	.	.	.	.	.	.	.	.	0.0	0.1	0.1	1.0	1.4	0.5	0.4	.	.	3.5	4.6
5	.	0.0	0.0	.	.	.	.	.	.	.	.	.	1.5	.	0.4	.	.	.	.	0.1	.	.	.	2.0	1.1
7	.	.	.	0.9	.	.	0.0	.	0.0	0.8	0.9	0.4	0.8	1.8	0.8	.	0.2	.	.	.	.	.	.	6.6	4.8
8	.	.	0.1	.	.	.	.	.	.	.	.	.	.	.	.	.	0.8	0.3	.	.	.	.	.	1.2	0.8
9	.	.	.	.	.	0.0	0.1	0.0	0.4	.	.	0.2	.	0.4	3.6	0.3	.	1.8	0.6	0.0	0.1	.	0.2	0.1	7.8	5.0
10	0.5	0.9	0.3	0.2	1.2	.	.	0.1	0.0	.	0.1	0.0	1.2	.	3.4	0.5	.	1.0	4.7	1.0	.	.	.	.	15.1	9.3
11	.	.	.	0.4	0.0	.	0.1	.	.	.	.	.	.	.	.	.	0.7	1.0	0.1	0.0	.	.	.	.	2.3	3.0
12	.	.	.	.	.	.	.	.	.	.	.	.	.	.	0.1	.	.	.	.	.	.	.	.	.	0.1	0.2
14	.	.	.	.	.	.	.	.	.	.	.	.	.	.	.	.	0.2	0.1	0.2	0.2	0.0	.	.	.	0.7	3.1
15	.	.	.	.	.	.	.	.	.	0.1	0.1	0.1	0.6	0.8	.	.	.	.	.	.	.	.	.	.	1.7	1.8
16	.	0.4	.	.	.	0.2	.	.	.	.	.	.	.	0.0	.	0.0	.	.	.	.	.	.	.	.	0.6	0.7
17	0.5	0.1	0.2	0.1	0.1	0.0	0.4	0.1	.	.	.	.	.	.	.	.	.	0.0	.	.	0.3	.	.	.	1.8	5.7
18	.	.	.	.	.	.	.	.	0.1	.	.	.	.	.	.	.	.	.	.	.	.	.	.	.	0.1	0.2
21	.	.	.	.	.	.	.	.	.	.	.	.	.	.	.	.	.	0.0	0.3	0.0	.	.	.	.	0.3	1.6
22	0.0	.	.	.	.	.	.	0.0	.	.	.	.	.	.	.	.	.	.	.	.	.	.	.	.	0.0	0.4
23	.	.	.	.	.	.	.	.	.	.	.	.	.	.	0.2	0.2	0.3	.	.	.	0.0	0.1	.	.	0.8	2.8
25	.	.	.	.	0.1	0.1	.	.	0.3	.	.	.	.	.	.	.	.	0.2	.	.	.	.	.	.	0.7	1.2
26	.	.	.	.	.	.	.	.	.	.	.	.	.	.	.	0.5	0.0	.	.	.	.	.	.	.	0.5	0.5
27	.	.	.	.	.	.	.	.	.	.	.	.	.	.	.	.	.	0.0	.	.	.	.	.	.	0.0	0.2
Summe	1.0	1.4	0.6	1.6	1.4	0.3	0.6	0.2	0.8	0.9	1.1	0.7	4.1	3.9	8.6	1.6	2.3	5.4	7.3	1.8	0.8	0.1	0.2	0.1	46.8	48.1

7. IX. 1^{0-4}p 1.3 mm; 8. IX. 4^{47-49}p 0.4 mm; 9. IX. 1^{59-2}p 0.2 mm; 2^{47-53}p 3.4 mm; 10. IX. 2^{54-56}p 0.7 mm; 15. IX. 0^{55-56}p 0.3 mm, 1^{2-4}p 0.4 mm.

Zeitangaben nach mittlerer Ortszeit

Niederschlag

$h_r = 1.75$ m

Oktober

Datum	1a	2a	3a	4a	5a	6a	7a	8a	9a	10a	11a	12	1p	2p	3p	4p	5p	6p	7p	8p	9p	10p	11p	Tagessummen	Dauer in Stunden
1	.	.	.	.	0.0	0.0	0.2	1.3	1.4	.	.	0.7	0.4	0.3	0.8	0.1	.	.	.	.	.	.	.	5.2	6.7
2	.	.	.	.	.	.	.	.	.	.	0.0	.	.	0.0	.	0.1	0.1	.	.	.	.	.	.	0.2	1.4
3	.	.	.	.	.	0.3	0.0	.	.	.	.	.	.	.	.	.	.	.	.	.	.	.	.	0.3	0.7
15	.	0.0	0.4	0.4	0.0	0.7	.	.	.	.	.	.	.	.	.	.	.	.	.	.	.	.	.	1.5	2.8
17	.	.	.	.	.	.	.	.	.	.	.	.	.	0.1	0.3	.	.	0.6	0.7	0.0	.	.	.	1.7	2.8
18	.	.	.	.	.	.	.	.	.	0.0	.	.	.	0.1	.	.	.	.	.	.	.	.	.	0.1	0.2
19	.	.	.	.	.	.	.	.	.	.	.	0.8	0.2	0.3	0.4	0.3	.	.	.	.	.	.	.	2.0	5.0
20	.	.	.	.	.	.	.	.	.	.	.	.	.	.	.	0.2	.	.	0.1	.	0.1	0.3	.	0.0	0.7	1.3
23	.	.	0.0	0.8	0.1	1.0	0.9	0.8	0.1	0.6	1.1	1.2	1.1	1.0	0.8	0.5	0.1	.	.	.	.	.	.	10.1	13.0
25	.	.	.	.	.	.	.	.	.	.	.	.	.	.	.	.	.	.	.	.	.	0.0	0.4	0.4	0.8	2.1
26	0.4	0.1	.	0.1	0.1	.	.	.	.	.	.	.	.	.	.	.	.	.	.	.	.	.	.	.	0.7	2.7
27	.	.	.	.	.	.	.	.	.	.	.	.	0.3	0.3	.	0.3	0.3	.	.	.	.	.	0.0	.	1.2	3.5
29	.	.	.	.	.	.	.	.	.	.	.	.	.	.	0.1	.	.	.	.	.	.	.	.	.	0.1	0.5
30	.	.	.	.	0.0	0.0	0.3	0.4	0.9	0.3	0.2	.	.	.	.	.	0.1	.	.	.	.	.	.	.	2.2	5.1
31	.	.	.	.	.	.	.	.	.	.	.	.	.	.	.	.	.	.	.	.	.	0.0	0.3	0.3	0.6	1.2
Summe	0.4	0.1	0.4	1.3	0.2	2.0	1.4	2.5	2.4	0.9	1.3	2.7	2.0	2.1	2.4	1.5	0.6	0.6	0.8	0.0	0.1	0.3	0.7	0.7	27.4	49.0

November

Datum	1a	2a	3a	4a	5a	6a	7a	8a	9a	10a	11a	12	1p	2p	3p	4p	5p	6p	7p	8p	9p	10p	11p	Tagessummen	Dauer in Stunden
1	.	0.6	.	0.7	.	.	.	.	.	.	.	.	.	.	.	.	.	.	.	.	.	0.0	.	1.3	1.4
2	0.1	0.0	0.1	.	0.1	0.0	0.2	0.3	1.6	0.2	.	.	.	.	.	.	0.1	.	.	.	0.1	.	.	.	2.8	6.3
5	.	.	0.4	1.0	0.9	0.9	1.2	1.6	1.7	1.3	1.1	0.8	0.6	0.9	1.7	1.4	0.9	0.3	.	.	.	.	.	.	16.7	15.6
8	.	.	.	.	.	0.1	0.1	1.1	1.8	0.9	1.2	1.4	1.6	0.2	.	0.0	0.2	0.8	0.6	0.1	0.3	0.0	0.3	0.0	10.7	13.1
10	.	.	.	.	0.2	.	.	.	.	0.1	1.7	0.0	.	.	.	.	0.1	0.4	0.5	.	.	.	.	.	3.0	4.0
11	0.1	1.3	0.3	.	.	.	0.3	0.9	0.1	0.0	.	.	.	1.0	1.1	0.1	.	.	.	.	.	.	.	.	5.2	5.9
14	.	.	.	.	.	.	.	.	.	.	.	.	.	0.0	0.3	0.3	0.3	0.3	0.1	0.4	0.5	0.8	0.4	0.3	3.7	10.9
15	0.1	0.0	.	.	0.2	0.3	0.4	0.0	.	.	.	.	.	.	0.1	.	.	.	.	.	.	.	.	.	1.1	4.3
16	0.0	0.0	.	.	.	.	.	.	.	.	.	.	.	.	.	.	.	.	.	.	.	.	.	.	0.0	0.3
19	.	.	.	.	.	.	.	.	.	.	.	.	.	.	0.0	0.3	0.0	0.1	0.1	.	.	.	.	0.0	0.5	2.9
20	.	0.2	0.4	0.9	0.0	.	.	0.1	0.1	0.1	0.1	.	.	.	0.0	0.2	0.2	.	0.0	.	0.0	0.1	0.1	0.1	2.6	8.3
21	0.4	.	0.2	0.0	0.2	0.2	0.6	0.3	0.0	0.1	.	.	.	.	.	.	.	.	.	.	.	.	.	.	2.0	6.9
24	.	.	.	.	.	.	.	.	.	.	.	.	.	.	.	.	.	.	0.1	.	0.3	0.1	0.2	.	0.7	2.9
26	0.1	0.3	0.0	.	.	.	.	.	.	.	.	.	.	.	.	.	.	.	.	.	.	.	.	.	0.4	1.5
29	.	.	.	.	.	.	.	.	.	.	.	.	.	.	.	.	.	.	.	.	.	.	.	0.4	0.4	0.7
30	0.2	.	0.6	0.9	0.2	0.1	.	.	.	.	.	.	.	.	.	.	.	.	.	.	.	.	.	.	2.0	3.6
Summe	1.0	2.4	2.0	3.5	1.8	1.6	2.8	4.3	5.3	2.7	4.1	2.2	2.2	2.1	3.2	2.3	1.8	1.9	1.4	0.5	1.2	1.0	1.0	0.8	53.1	88.6

Dezember

Datum	1a	2a	3a	4a	5a	6a	7a	8a	9a	10a	11a	12	1p	2p	3p	4p	5p	6p	7p	8p	9p	10p	11p	Tagessummen	Dauer in Stunden
1	.	.	.	.	.	.	0.1	0.0	.	.	0.1	.	0.0	0.3	0.1	.	.	.	.	.	.	.	.	0.6	2.7
2	.	.	.	.	.	.	.	.	.	.	.	.	.	.	.	.	.	.	.	.	.	0.0	.	0.0	0.2
3	.	.	.	.	.	.	.	.	.	.	.	.	0.1	.	0.1	.	0.1	0.3	0.0	.	.	.	.	0.6	1.3
4	.	.	.	.	.	0.0	.	.	.	.	.	.	.	.	.	.	.	.	.	.	.	.	.	0.0	0.3
9	.	.	.	.	.	.	.	.	.	.	0.0	0.1	0.2	0.0	.	0.1	0.3	.	0.2	.	.	.	.	0.9	2.1
10	.	.	.	.	.	.	.	.	.	.	.	.	.	.	.	.	.	.	.	.	0.1	0.2	0.1	0.2	0.6	2.7
11	0.6	1.4	0.6	.	0.1	.	.	.	.	.	.	.	.	0.0	0.0	.	.	.	.	0.1	0.0	.	0.0	0.1	2.9	6.8
12	0.4	0.3	.	.	.	.	.	.	.	.	.	.	.	.	.	.	0.0	0.4	0.3	0.2	0.0	0.1	.	.	1.7	5.3
13	.	.	.	.	.	.	.	.	.	.	.	.	.	.	.	.	.	.	.	0.2	0.3	0.0	.	.	0.5	1.7
14	.	.	0.3	0.3	0.2	0.3	0.5	0.1	.	.	.	0.0	0.4	0.1	0.7	*0.4*	*0.1*	.	.	1.5	.	3.4	.	.	8.3	10.0
15	0.0	0.3	0.2	0.6	1.8	2.1	0.5	0.4	0.4	0.3	.	.	.	.	.	.	.	.	.	.	.	.	.	.	6.6	8.6
16	.	.	0.1	0.0	.	.	.	0.2	0.2	0.4	0.4	0.2	0.1	.	.	.	.	.	.	.	.	.	.	.	1.6	7.1
17	.	.	.	.	.	.	.	.	.	.	.	.	.	.	.	.	.	.	.	.	0.3	.	.	.	0.3	0.3
18	.	.	.	.	.	.	.	.	.	.	.	.	.	.	.	.	.	.	.	.	.	0.3	0.4	0.1	0.8	3.0
19	0.2	0.5	1.0	0.2	.	.	.	.	.	.	.	.	.	.	.	.	.	.	.	.	.	.	.	.	1.9	3.1
25	.	.	0.2	.	.	.	.	.	.	.	.	.	.	.	.	.	.	.	.	.	0.3	1.2	1.0	.	2.7	2.8
26	.	.	.	0.1	.	0.0	0.1	.	.	.	.	.	.	.	.	.	.	.	.	1.1	2.1	1.5	0.2	.	5.1	3.6
27	.	.	0.4	0.2	0.0	0.1	.	0.1	.	.	.	.	.	.	0.2	.	0.1	.	.	.	.	.	.	.	1.1	2.9
28	.	.	.	.	.	.	0.3	.	0.1	0.2	1.5	0.6	.	0.1	0.2	0.1	0.3	0.3	.	.	.	.	.	0.6	4.3	6.9
29	0.0	.	0.1	0.0	.	.	.	.	.	.	.	.	.	.	.	.	.	.	.	.	.	.	.	.	0.1	1.3
30	.	.	.	.	.	.	.	.	.	.	.	.	.	0.4	0.8	0.7	0.1	.	0.6	.	.	.	.	.	2.6	2.3
31	.	1.2	.	.	.	.	.	.	.	.	.	.	.	.	.	.	.	.	.	.	.	.	.	.	1.2	0.4
Summe	1.2	3.7	2.9	1.4	2.1	2.5	1.5	0.8	0.7	0.9	2.0	0.9	0.8	0.9	2.1	1.3	1.0	1.0	1.1	3.1	3.1	6.7	1.7	1.0	44.4	75.4

Zeitangaben nach mittlerer Ortszeit

Sonnenscheindauer Januar—April 1912

Januar

Datum	Vormittag 8–9	9–10	10–11	11–12	Nachmittag 12–1	1–2	2–3	3–4	Tagessummen
1	.	.	.	.	.	.	.	.	.
2	.	.	.	.	.	.	.	.	.
3	.	.	.	.	.	.	.	.	.
4	.	.	0.2	.	.	.	.	.	0.2
5	.	.	.	.	.	.	.	.	.
6	.	.	.	.	.	.	.	.	.
7	.	.	.	.	.	.	.	.	.
8	.	.	.	.	.	.	.	.	.
9	.	.	.	.	.	.	.	.	.
10	0.4	1.0	1.0	1.0	1.0	1.0	1.0	0.6	7.0
11	.	0.1	0.7	1.0	1.0	1.0	1.0	0.6	5.4
12	.	.	.	.	0.1	1.0	1.0	0.6	2.7
13	.	0.8	1.0	1.0	1.0	1.0	1.0	0.6	6.4
14	0.6	1.0	1.0	1.0	1.0	1.0	1.0	0.8	7.4
15	0.2	1.0	1.0	1.0	1.0	1.0	0.2	0.2	6.0
16	.	0.6	.	.	0.4	0.7	1.0	0.1	2.8
17	0.2	1.0	1.0	1.0	1.0	1.0	1.0	0.7	6.9
18	0.2	.	0.5	1.0	1.0	0.9	0.2	.	3.8
19	0.1	0.1	.	.	0.6	0.6	.	.	1.4
20	0.2	1.0	1.0	1.0	1.0	1.0	1.0	0.5	6.7
21	.	.	0.2	1.0	1.0	0.9	0.6	.	3.7
22	.	0.2	.	.	.	.	.	.	0.2
23	.	.	.	.	.	.	.	.	.
24	.	.	0.1	0.1	.	0.1	.	.	0.3
25	.	.	.	0.1	0.5	1.0	0.8	.	2.4
26	.	.	.	.	.	.	0.1	.	0.1
27	.	.	.	0.1	.	0.7	1.0	1.0	2.9
28	.	.	.	.	.	.	.	.	.
29	.	.	.	.	.	.	.	.	.
30	0.8	1.0	1.0	1.0	1.0	1.0	1.0	1.0	8.1
31	.	.	.	.	.	.	0.2	.	0.2
Summe	2.7	7.8	8.7	10.3	11.6	13.9	12.5	6.7	74.6
Mittel	0.09	0.25	0.28	0.33	0.37	0.45	0.40	0.22	2.41

Februar

Datum	Vormittag 7–8	8–9	9–10	10–11	11–12	Nachmittag 12–1	1–2	2–3	3–4	4–5	Tagessummen
1	.	.	.	0.1	0.1	.	.	0.1	.	.	0.3
2	0.1	1.0	1.0	1.0	1.0	1.0	1.0	1.0	1.0	0.1	8.2
3	.	.	0.9	1.0	0.9	1.0	1.0	1.0	0.4	0.3	6.5
4	0.2	1.0	1.0	1.0	1.0	1.0	1.0	1.0	1.0	0.4	8.6
5	.	1.0	1.0	1.0	1.0	1.0	1.0	1.0	1.0	0.1	8.1
6	.	.	.	.	0.1	0.1	0.9	0.6	0.2	.	1.9
7	.	.	0.1	0.1	.	.	0.8	0.6	.	.	1.6
8	.	0.9	1.0	1.0	1.0	1.0	1.0	1.0	1.0	0.2	8.1
9	.	.	.	.	.	.	0.1	.	.	.	0.1
10	0.3	0.9	0.9	1.0	1.0	0.9	0.6	0.2	.	.	5.8
11	.	.	.	.	.	.	.	.	.	.	.
12	.	.	.	.	.	.	.	.	.	.	.
13	.	.	.	.	.	.	0.1	.	0.1	.	0.2
14	.	.	.	.	.	.	.	.	.	.	.
15	.	.	.	.	.	.	.	.	.	.	.
16	.	.	.	0.6	1.0	0.9	0.3	.	.	.	2.8
17	.	.	.	.	0.2	.	.	.	.	.	0.2
18	.	0.2	1.0	0.7	0.7	0.8	0.2	0.4	.	.	4.0
19	.	0.4	0.7	1.0	1.0	1.0	1.0	1.0	1.0	0.2	7.3
20	.	.	0.1	0.1	.	0.1	0.2	0.6	0.4	0.1	1.6
21	.	.	.	.	.	.	.	.	.	.	.
22	.	.	.	.	.	.	.	.	.	.	.
23	.	.	.	.	.	.	.	.	.	.	.
24	.	.	.	.	.	.	.	.	.	.	.
25	.	.	.	.	.	.	.	.	.	.	.
26	.	.	0.3	0.4	0.8	0.9	0.9	0.6	.	.	3.9
27	.	0.1	.	0.1	0.1	0.1	0.3	0.4	0.1	0.1	1.3
28	.	.	.	.	.	.	.	.	.	.	.
29	.	0.9	0.9	1.0	1.0	1.0	1.0	1.0	0.9	0.3	8.0
Summe	0.6	6.4	8.9	10.1	10.9	10.8	11.4	10.5	7.1	1.8	78.5
Mittel	0.02	0.22	0.31	0.35	0.38	0.37	0.39	0.36	0.24	0.06	2.71

März

Datum	Vormittag 7–8	8–9	9–10	10–11	11–12	Nachmittag 12–1	1–2	2–3	3–4	4–5	Tagessummen
1	.	0.2	0.1	0.5	.	0.2	.	0.1	.	.	1.1
2	.	.	.	.	0.1	.	.	0.1	.	.	0.2
3	0.5	0.7	0.8	0.3	0.4	.	0.1	.	.	.	2.9
4	.	.	0.1	0.1	0.1	0.1	.	0.7	0.8	0.6	2.6
5	.	.	0.6	0.9	0.8	0.1	0.1	0.4	0.5	0.2	3.6
6	0.1	.	0.7	0.9	0.7	0.3	0.8	0.6	.	.	4.2
7	0.7	0.1	0.7	0.4	.	0.6	0.5	0.3	0.1	0.1	3.5
8	.	0.2	0.1	.	0.9	1.0	1.0	1.0	1.0	0.3	5.5
9	.	0.1	0.7	0.8	0.9	0.3	0.5	0.9	1.0	1.0	6.2
10	0.3	1.0	0.9	0.7	0.9	1.0	0.9	0.9	0.3	0.1	7.0
11	0.6	1.0	1.0	1.0	0.9	0.7	0.6	0.6	0.3	0.1	6.8
12	.	.	0.1	0.8	0.2	.	.	0.1	.	.	1.2
13	1.0	1.0	1.0	1.0	1.0	1.0	1.0	0.9	0.6	.	8.8
14	.	.	.	0.2	0.4	.	0.1	.	.	.	0.7
15	0.5	1.0	1.0	1.0	1.0	1.0	1.0	1.0	0.7	0.2	8.4
16	.	.	.	.	.	.	.	.	.	.	.
17	.	.	.	.	0.4	.	0.4	0.3	0.5	0.1	1.7
18	.	0.2	0.6	1.0	0.7	0.1	0.4	0.1	.	.	3.1
19	0.4	0.1	.	0.1	.	0.1	0.2	0.6	0.6	.	2.1
20	.	0.1	0.5	0.6	0.3	0.1	0.1	.	.	.	1.7
21	0.8	1.0	1.0	1.0	0.7	0.6	0.5	0.2	0.8	0.9	7.5
22	0.8	0.9	0.9	0.6	0.1	0.5	0.3	0.5	.	.	5.0
23	1.0	1.0	0.6	0.1	0.8	0.1	0.4	.	0.4	0.3	5.2
24	.	0.5	0.2	0.1	0.1	0.1	.	.	.	.	1.0
25	.	.	0.8	0.9	0.4	0.1	.	.	.	.	2.2
26	.	.	.	.	0.1	0.1	0.1	0.4	.	0.1	0.8
27	0.2	1.0	1.0	0.9	0.3	0.2	0.3	0.3			4.2
28	0.3	0.1	0.5	0.3	0.1	.	.	.	.	.	1.3
29	1.0	1.0	0.9	0.8	0.8	0.4	0.1	0.4	0.7	0.6	7.9
30	0.3	0.8	0.2	0.4	0.2	0.2	0.3	0.1	0.1	0.2	2.9
31	0.1	0.7	0.1	0.3	0.5	0.9	0.6	0.6	0.8	0.7	5.6
Summe	8.6	12.7	15.1	15.7	13.8	9.8	10.3	11.1	9.2	5.5	114.9
Mittel	0.28	0.41	0.49	0.51	0.45	0.32	0.33	0.36	0.30	0.18	3.71

April

Datum	Vormittag 5–6	6–7	7–8	8–9	9–10	10–11	11–12	Nachmittag 12–1	1–2	2–3	3–4	4–5	5–6	6–7	Tagessummen
1	.	.	.	.	.	.	.	.	.	.	.	.	.	.	.
2	.	.	.	.	.	.	.	.	.	.	.	.	.	.	.
3	.	0.4	1.0	1.0	1.0	1.0	1.0	1.0	1.0	1.0	1.0	1.0	1.0	.	11.4
4	.	0.1	0.1	.	.	.	0.1	0.2	0.1	.	.	.	.	.	0.6
5	.	.	.	.	.	.	.	.	.	.	.	.	.	.	.
6	.	.	.	.	.	.	.	.	.	.	.	.	.	.	.
7	.	0.1	0.4	0.9	0.9	1.0	1.0	1.0	0.5	0.1	0.3	0.1	0.1	.	6.4
8	.	.	.	.	.	0.4	0.2	0.1	.	0.1	0.1	.	.	.	0.9
9	.	.	0.4	0.4	0.6	0.6	0.5	0.8	0.9	0.8	0.7	0.5	0.8	.	7.0
10	.	.	0.2	0.8	0.3	.	0.2	.	0.1	0.2	.	.	.	.	1.8
11	.	0.5	0.2	0.3	0.4	0.9	0.9	0.4	0.2	0.9	0.8	1.0	1.0	0.2	7.7
12	.	.	.	.	.	.	0.2	0.2	0.1	0.2	0.1	0.6	0.1	.	1.5
13	0.4	1.0	1.0	1.0	1.0	1.0	1.0	1.0	1.0	0.6	.	.	.	.	9.0
14	.	.	.	.	.	.	.	.	.	.	.	.	.	.	.
15	0.6	1.0	1.0	1.0	0.9	0.9	1.0	0.9	0.8	0.5	0.1	.	0.1	.	8.8
16	0.6	1.0	1.0	1.0	1.0	1.0	1.0	1.0	1.0	1.0	1.0	1.0	1.0	0.6	13.2
17	0.4	1.0	1.0	1.0	1.0	1.0	1.0	1.0	0.7[1]	0.9	0.7	0.9	1.0	0.5	12.1
18	0.3	1.0	1.0	1.0	1.0	1.0	1.0	1.0	1.0	1.0	1.0	0.2	.	.	10.5
19	0.5	1.0	1.0	1.0	1.0	1.0	0.9	0.9	0.9	0.8	0.9	0.9	0.2	.	11.0
20	.	0.1	0.6	0.8	0.9	0.9	0.8	0.8	0.9	0.8	0.2	.	.	.	6.8
21	1.0	1.0	1.0	1.0	1.0	1.0	1.0	1.0	1.0	1.0	1.0	0.7	1.0	0.8	13.5
22	0.8	1.0	1.0	1.0	1.0	1.0	1.0	0.9	1.0	0.6	0.3	0.1	.	.	9.7
23	0.3	0.9	1.0	1.0	1.0	1.0	1.0	1.0	1.0	1.0	1.0	1.0	1.0	0.8	13.0
24	0.9	1.0	1.0	1.0	1.0	1.0	1.0	1.0	1.0	1.0	1.0	1.0	1.0	0.6	13.5
25	0.6	0.9	0.9	1.0	1.0	1.0	0.9	0.4	0.4	0.4	0.1	0.9	0.9	1.0	10.4
26	0.8	0.6	.	0.1	0.1	0.8	0.9	1.0	0.8	0.7	0.8	0.6	0.1	0.1	7.4
27	0.8	1.0	1.0	1.0	1.0	1.0	1.0	1.0	1.0	1.0	1.0	1.0	0.6	0.6	13.0
28	.	0.6	0.9	1.0	0.9	0.9	0.8	0.7	0.9	0.9	0.2	0.3	0.1	0.6	8.9
29	0.7	0.7	0.8	0.1	0.1	0.2	0.1	0.1	0.1	0.1	0.3	0.1	0.5	0.2	4.1
30	0.6	0.7	0.8	0.6	0.9	1.0	0.8	0.8	0.1	0.2	0.6	0.9	0.8	0.5	9.3
Summe	9.3	15.6	17.3	18.0	18.0	19.6	19.3	18.2	16.5	15.8	13.2	12.8	11.3	6.5	211.5
Mittel	0.31	0.52	0.58	0.60	0.60	0.65	0.64	0.61	0.55	0.53	0.44	0.43	0.28	0.22	7.05

[1]) 17. 4. 1912, 1–2^{p} Sonnenfinsternis. — **Januar:** Außerdem Sonnenschein 4–5^{p} am 27.: 0.1, am 30.: 0.3 Stunden. — **März:** Außerdem Sonnenschein 6–7^{a} am 3.: 0.1, 13.: 0.3, 22.: 0.4, 23.: 0.5, 29.: 0.7, 30.: 0.1, 31.: 0.3 Stunden; 5–6^{p} am 4 : 0.1, 6.: 0.1, 29.: 0.5 Stunden. **April:** Außerdem Sonnenschein am 28. 7–8^{p}: 0.1 Stunden.

Zeitangaben nach wahrer Zeit

Sonnenscheindauer Mai—Juni 1912

Datum	Vormittag								Nachmittag								Tagessummen
	4–5	5–6	6–7	7–8	8–9	9–10	10–11	11–12	12–1	1–2	2–3	3–4	4–5	5–6	6–7	7–8	
Mai																	
1	0.1	1.0	1.0	1.0	1.0	1.0	1.0	1.0	1.0	0.9	0.8	0.9	0.4	0.7	0.6	.	12.4
2	0.1	1.0	1.0	1.0	1.0	1.0	1.0	1.0	1.0	1.0	1.0	1.0	0.9	0.7	0.1	.	12.8
3	.	0.3	0.9	0.1	0.2	0.6	0.2	.	.	.	.	.	.	.	0.2	.	2.5
4	.	.	.	0.1	0.1	0.6	0.6	0.4	0.6	1.0	0.9	0.9	1.0	1.0	0.9	0.2	8.3
5	0.1	1.0	1.0	1.0	0.9	0.8	0.4	0.8	0.9	1.0	1.0	1.0	1.0	1.0	1.0	0.2	13.1
6	0.3	1.0	1.0	1.0	1.0	1.0	1.0	1.0	1.0	0.7	0.2	0.8	0.4	0.1	.	.	10.5
7	.	.	.	.	.	.	0.1	0.1	0.1	0.5	0.2	0.7	.	0.1	.	.	1.8
8	.	.	.	.	.	.	.	0.3	0.1	0.3	0.1	0.1	0.7	0.4	.	.	2.0
9	.	.	0.7	0.8	0.9	0.2	0.2	0.3	0.1	0.6	0.1	.	.	.	.	.	3.9
10	.	.	0.1	0.1	0.1	0.2	0.8	1.0	0.9	0.3	0.3	0.5	0.3	0.1	0.7	0.2	5.6
11	.	.	.	0.1	0.6	0.9	0.9	1.0	0.8	0.1	0.7	0.2	0.1	.	.	.	5.4
12	.	.	0.1	0.1	0.1	0.7	0.1	0.1	0.7	0.3	0.1	0.4	0.4	0.7	0.1	.	3.9
13	.	.	.	0.2	0.1	0.3	0.7	0.7	0.9	0.4	0.8	0.1	0.4	0.5	0.9	0.4	6.4
14	0.2	0.9	0.9	0.8	1.0	1.0	1.0	1.0	1.0	1.0	1.0	0.9	1.0	1.0	1.0	0.3	14.0
15	.	.	0.1	0.1	0.1	0.1	0.2	0.1	0.1	0.1	.	.	.	.	.	.	0.9
16	.	.	.	.	.	.	.	.	0.1	0.1	.	0.5	0.5	0.9	0.1	.	2.2
17	.	.	0.6	1.0	1.0	0.9	0.9	0.8	0.2	0.1	.	.	0.1	.	.	.	5.6
18	.	0.8	0.3	0.6	0.8	0.7	0.5	0.5	0.2	0.6	0.9	0.9	1.0	1.0	0.8	0.2	9.8
19	0.4	0.1	.	0.1	0.3	0.6	0.4	0.6	0.1	0.4	0.1	0.1	0.2	.	0.5	.	3.9
20	.	1.0	1.0	1.0	1.0	1.0	1.0	0.9	0.9	0.9	0.8	0.5	0.2	0.1	0.2	.	10.5
21	.	.	0.3	0.1	0.1	0.1	0.1	0.6	0.9	0.7	0.9	0.9	1.0	0.9	1.0	0.2	7.8
22	.	.	.	.	.	.	.	.	.	.	.	.	.	.	.	.	.
23	.	.	.	.	.	0.1	0.1	0.3	0.1	0.1	0.7	0.8	0.5	.	0.2	0.1	3.0
24	.	.	0.3	1.0	1.0	1.0	0.8	0.5	0.3	0.9	0.8	.	.	.	.	.	6.6
25	.	0.5	0.1	0.1	0.6	0.8	0.1	.	.	.	.	0.1	.	.	.	.	2.3
26	0.3	1.0	1.0	1.0	1.0	1.0	0.8	0.9	0.8	0.1	0.3	0.7	0.5	0.1	.	.	9.5
27	0.1	0.1	.	0.1	0.5	0.3	0.5	0.6	0.5	0.1	0.3	0.4	0.9	0.1	0.2	0.1	4.8
28	.	0.2	0.3	0.2	0.1	.	.	.	0.1	0.1	0.1	0.1	0.1	0.1	0.4	0.4	2.2
29	0.2	0.9	0.1	.	0.1	0.1	.	0.2	0.2	0.9	0.1	0.7	0.2	0.2	0.1	.	4.0
30	0.2	0.1	.	.	.	.	.	.	.	.	.	.	0.1	.	0.5	0.4	1.3
31	.	.	.	.	.	.	.	0.1	0.8	1.0	1.0	1.0	1.0	1.0	1.0	0.8	7.7
Summe	2.0	9.9	10.8	11.6	13.6	15.0	13.4	14.8	14.4	14.2	13.2	14.2	12.9	10.7	10.5	3.5	184.7
Mittel	0.06	0.32	0.35	0.37	0.44	0.48	0.43	0.48	0.46	0.46	0.43	0.46	0.42	0.35	0.34	0.11	5.96
Juni																	
1	0.2	1.0	1.0	1.0	1.0	1.0	0.8	0.9	0.9	1.0	0.8	0.9	0.7	0.9	0.5	.	12.6
2	.	.	0.2	1.0	0.9	0.6	0.6	0.1	.	0.1	0.1	0.2	.	.	0.2	.	4.0
3	.	.	.	.	.	0.6	0.7	0.4	0.9	0.3	0.2	0.1	0.2	0.9	0.7	0.7	5.7
4	0.8	1.0	1.0	1.0	1.0	1.0	0.9	0.5	0.4	0.7	0.7	0.9	0.6	0.8	0.8	0.3	12.4
5	.	.	.	.	0.1	0.7	0.9	0.7	0.3	.	0.7	0.1	0.8	0.9	1.0	0.6	6.8
6	.	.	.	0.1	0.9	1.0	1.0	0.4	.	0.3	1.0	0.9	1.0	1.0	0.1	.	7.7
7	.	0.1	0.9	0.6	1.0	1.0	1.0	0.9	0.8	0.4	0.6	0.8	0.5	.	.	.	8.6
8	.	.	0.1	.	0.1	.	.	.	.	.	.	0.1	0.2	.	0.8	0.5	1.8
9	0.2	1.0	0.8	1.0	1.0	0.8	0.2	0.9	0.8	0.9	1.0	1.0	1.0	0.4	0.1	.	11.1
10	.	.	.	.	.	.	.	.	.	.	.	.	.	.	.	.	.
11	.	.	.	.	.	.	.	.	.	.	.	.	.	.	.	.	.
12	.	.	.	.	.	.	.	.	.	.	.	.	.	.	.	.	.
13	.	.	.	.	.	.	.	0.4	.	0.4	0.6	0.2	0.1	0.2	.	.	1.9
14	.	.	.	.	0.1	0.4	0.5	0.2	0.6	0.7	0.8	1.0	0.6	0.1	0.6	.	5.6
15	.	0.1	0.1	0.1	0.2	0.2	0.1	.	.	0.3	0.3	0.2	.	.	.	.	1.6
16	.	0.2	0.4	0.4	0.5	0.1	.	.	.	.	.	.	.	.	.	.	1.6
17	.	0.1	.	0.3	0.6	0.4	0.2	0.7	0.1	0.1	0.4	0.5	0.1	0.3	0.1	.	3.9
18	.	.	.	0.1	0.1	0.6	0.1	0.1	.	.	.	.	.	.	.	.	1.0
19	.	.	.	.	.	0.1	0.3	0.5	0.9	0.8	0.8	0.6	0.9	1.0	1.0	0.6	7.5
20	0.6	1.0	0.7	0.3	0.3	0.1	0.5	0.9	1.0	0.3	0.6	0.4	0.2	0.3	0.5	.	7.7
21	.	.	0.4	0.1	0.1	0.2	0.6	0.7	0.1	0.1	0.1	0.1	.	.	0.1	.	2.6
22	0.5	1.0	1.0	1.0	1.0	1.0	1.0	0.7	0.4	0.9	0.6	0.3	0.6	0.6	1.0	0.7	12.3
23	0.8	1.0	1.0	1.0	1.0	1.0	1.0	1.0	1.0	1.0	1.0	0.5	0.7	0.8	0.8	0.5	14.1
24	0.8	1.0	1.0	0.3	0.3	.	.	.	.	0.3	.	0.1	0.3	0.1	.	.	4.2
25	.	.	.	.	.	.	.	.	.	.	.	.	.	.	.	.	.
26	.	.	.	.	.	.	.	0.1	0.3	0.4	0.2	0.6	0.2	.	0.1	.	1.9
27	.	0.8	1.0	1.0	1.0	1.0	1.0	1.0	0.9	1.0	1.0	1.0	0.8	1.0	1.0	.	13.5
28	.	1.0	1.0	1.0	1.0	1.0	1.0	0.9	0.7	0.6	0.4	1.0	0.8	1.0	1.0	0.2	12.6
29	.	0.6	1.0	1.0	1.0	1.0	1.0	1.0	1.0	0.9	0.8	1.0	1.0	0.9	1.0	0.1	13.3
30	.	.	.	.	.	.	.	.	.	0.1	0.6	.	0.4	0.4	0.7	.	2.2
Summe	3.9	9.9	11.6	11.3	13.2	13.8	13.4	13.0	11.1	11.6	13.3	12.5	11.7	11.6	12.1	4.2	178.2
Mittel	0.13	0.33	0.39	0.38	0.44	0.46	0.45	0.43	0.37	0.39	0.44	0.42	0.39	0.39	0.40	0.14	5.94

Zeitangaben nach wahrer Zeit

Sonnenscheindauer Juli—August 1912

Datum	Vormittag								Nachmittag								Tages-summen
	4-5	5-6	6-7	7-8	8-9	9-10	10-11	11-12	12-1	1-2	2-3	3-4	4-5	5-6	6-7	7-8	
Juli																	
1	.	.	0.1	0.4	0.4	0.7	0.2	0.6	0.3	0.5	0.8	0.3	0.2	0.4	0.5	.	5.4
2	.	.	0.2	0.4	.	0.1	.	0.1	0.3	0.2	0.8	0.9	0.8	0.3	.	.	4.1
3	.	.	.	.	.	0.1	0.4	0.7	0.5	0.1	0.2	0.3	.	.	.	.	2.3
4	.	.	.	.	.	.	0.1	0.1	0.5	0.8	0.5	0.6	1.0	1.0	1.0	.	5.6
5	.	0.5	1.0	1.0	1.0	0.7	1.0	0.9	1.0	0.6	0.9	1.0	0.7	0.6	1.0	0.3	12.2
6	0.3	1.0	1.0	1.0	1.0	1.0	1.0	1.0	1.0	1.0	1.0	1.0	1.0	1.0	1.0	0.5	14.8
7	.	1.0	1.0	1.0	1.0	1.0	1.0	0.9	0.9	0.9	1.0	0.8	0.8	0.8	0.1	.	12.2
8	.	0.4	0.9	1.0	1.0	0.8	0.8	0.9	1.0	1.0	0.5	0.1	.	.	.	.	8.4
9	.	.	.	0.1	0.5	0.1	0.1	0.4	0.9	0.9	0.8	0.9	0.9	1.0	0.6	.	7.2
10	.	.	1.0	1.0	1.0	0.9	0.8	0.9	0.9	0.8	0.6	0.6	0.7	0.9	0.1	.	10.2
11	.	.	1.0	1.0	1.0	1.0	1.0	1.0	0.9	0.6	0.8	0.6	0.9	0.6	0.2	.	10.6
12	.	0.6	1.0	1.0	1.0	1.0	1.0	1.0	1.0	1.0	1.0	0.9	0.8	0.9	1.0	.	13.2
13	.	0.9	1.0	1.0	0.9	0.9	0.8	0.4	0.8	0.5	0.4	0.7	1.0	1.0	0.5	.	10.8
14	.	0.9	1.0	1.0	1.0	0.9	0.9	0.9	0.9	0.9	0.9	0.8	0.7	0.8	0.5	.	12.1
15	.	0.6	1.0	1.0	1.0	1.0	1.0	1.0	1.0	1.0	1.0	1.0	1.0	1.0	0.8	.	13.4
16	.	0.4	1.0	1.0	1.0	0.9	0.9	0.8	0.9	0.9	0.9	0.4	1.0	1.0	0.6	.	11.7
17	.	0.2	0.8	0.7	0.7	0.8	0.8	0.9	0.9	0.3	0.6	0.7	1.0	1.0	0.2	.	9.6
18	.	.	0.2	1.0	1.0	1.0	1.0	1.0	0.9	0.9	0.9	0.6	0.9	0.6	.	.	10.0
19	.	0.1	0.8	0.8	0.9	0.9	0.9	0.7	0.9	0.9	1.0	1.0	0.8	0.7	.	.	10.4
20	.	.	.	.	.	.	.	.	.	.	.	.	.	.	.	.	.
21	.	.	.	0.6	0.6	0.5	0.7	1.0	0.9	0.9	1.0	0.9	0.6	1.0	0.8	.	9.5
22	.	0.1	1.0	0.9	0.9	0.9	0.9	1.0	0.8	0.7	0.1	0.7	0.8	0.4	0.3	.	9.5
23	.	.	.	0.2	0.1	0.4	0.3	0.6	0.8	0.7	0.1	.	.	0.1	.	.	3.3
24	.	.	0.1	0.5	0.8	1.0	0.9	0.9	1.0	1.0	1.0	1.0	1.0	1.0	0.7	.	10.9
25	.	.	0.8	1.0	1.0	1.0	1.0	0.9	0.8	0.5	0.5	0.5	0.4	1.0	0.1	.	9.5
26	.	0.1	1.0	1.0	1.0	1.0	0.9	1.0	1.0	1.0	1.0	0.5	.	.	.	.	9.5
27	.	.	.	.	0.5	0.3	.	0.1	.	.	.	.	.	.	.	.	0.9
28	.	0.5	1.0	1.0	1.0	1.0	1.0	0.8	0.9	1.0	0.9	0.8	0.6	0.1	.	.	10.6
29	.	.	.	.	.	.	.	.	.	0.2	0.8	0.8	0.3	0.6	.	.	2.7
30	.	.	0.7	0.9	0.9	1.0	0.9	1.0	0.7	0.2	0.1	0.2	0.3	.	.	.	6.9
31	.	.	0.9	0.8	0.5	0.9	0.9	0.8	0.7	0.1	0.2	0.6	0.6	0.7	0.2	.	7.9
Summe	0.3	7.3	18.5	21.3	21.7	21.8	21.2	22.3	23.1	20.1	20.3	19.2	18.8	18.5	10.2	0.8	265.4
Mittel	0.01	0.24	0.60	0.69	0.70	0.70	0.68	0.72	0.75	0.65	0.65	0.62	0.61	0.60	0.33	0.03	8.56
August																	
1	.	.	0.4	0.1	.	.	0.2	0.1	.	.	.	.	.	.	.	.	0.8
2	.	.	.	.	.	.	.	.	.	.	.	.	.	.	.	.	.
3	.	.	.	.	.	0.1	0.7	0.8	0.6	0.6	0.9	0.9	1.0	1.0	.	.	6.6
4	.	0.5	1.0	0.1	0.1	.	0.5	0.7	0.6	0.8	0.8	0.7	0.8	1.0	0.2	.	7.8
5	.	0.6	1.0	0.5	0.8	0.5	0.8	0.8	0.2	.	.	.	.	.	.	.	5.2
6	.	.	0.3	0.9	1.0	0.7	0.8	0.9	0.7	0.7	0.5	0.9	0.9	0.9	0.1	.	9.3
7	.	.	1.0	0.4	0.8	0.1	.	.	0.3	.	.	.	.	.	.	.	2.6
8	.	.	.	.	.	.	.	.	.	.	.	.	.	.	.	.	.
9	.	.	.	0.1	0.2	0.1	0.1	0.4	0.6	0.9	0.8	.	0.1	.	.	.	3.3
10	.	.	0.1	1.0	1.0	1.0	0.9	0.9	0.9	0.7	0.2	.	.	.	.	.	6.7
11	.	.	.	.	.	.	.	0.6	0.8	0.8	0.9	1.0	0.4	0.2	.	.	4.7
12	.	.	0.3	0.3	0.4	0.4	0.3	0.7	0.7	0.1	0.3	0.1	0.1	.	.	.	3.7
13	.	.	.	0.3	.	.	0.5	.	.	.	.	0.1	0.3	.	.	.	1.2
14	.	.	.	0.1	0.6	0.7	0.6	0.1	0.3	0.6	0.7	0.5	0.4	.	.	.	4.6
15	.	.	.	.	0.1	0.1	0.1	0.6	0.3	0.5	0.3	0.5	0.2	.	.	.	2.7
16	.	.	.	.	.	.	.	.	.	.	.	.	.	.	.	.	.
17	.	.	.	.	.	.	0.1	.	.	.	.	.	.	.	.	.	0.1
18	.	.	.	.	.	.	.	0.5	0.9	0.8	1.0	0.9	0.9	0.3	.	.	5.3
19	.	.	.	.	0.1	0.7	0.9	0.6	0.8	0.8	0.2	0.5	0.4	0.7	.	.	5.7
20	.	.	.	.	.	.	.	.	.	.	0.1	0.4	0.8	0.6	.	.	1.9
21	.	.	.	.	0.1	0.2	0.1	0.3	0.5	.	0.1	0.8	0.7	0.5	.	.	3.3
22	.	.	.	.	.	.	0.1	.	0.1	0.2	0.1	.	0.1	.	.	.	0.6
23	.	.	.	0.1	0.7	0.6	0.8	0.7	0.5	0.1	0.5	0.7	0.5	.	.	.	5.2
24	.	.	.	.	.	.	.	.	.	.	.	.	.	.	.	.	.
25	.	.	.	.	.	.	.	.	.	.	.	.	.	.	.	.	.
26	.	.	.	0.6	0.8	0.2	0.1	.	.	.	.	.	.	.	.	.	1.7
27	.	.	0.1	0.1	0.2	0.1	0.3	0.1	.	.	.	.	.	.	.	.	0.9
28	.	.	.	0.2	0.4	0.2	0.4	0 8	0.1	.	.	.	0.1	.	.	.	2.2
29	.	.	0.6	0.6	0.8	0.9	0.9	1.0	1.0	1.0	0.9	0.8	0.4	0.2	.	.	9.1
30	.	.	0.1	0.7	0.9	0.9	1.0	1.0	0.9	0.4	0.5	0.4	0.3	.	.	.	7.1
31	.	.	.	.	.	0.1	0.1	.	0.1	0.2	0.1	.	.	.	.	.	0.6
Summe	.	1.1	4.9	6.1	9.0	7.6	10.3	11.6	10.9	9.2	8.9	9.2	8.4	5.4	0.3	.	102.9
Mittel	.	0.04	0.16	0.20	0.29	0.25	0.33	0.37	0.35	0.30	0.29	0.30	0.27	0.17	0.01	.	3.32

Zeitangaben nach wahrer Zeit

Sonnenscheindauer September—Dezember 1912

September

Datum	Vormittag 6–7	7–8	8–9	9–10	10–11	11–12	Nachmittag 12–1	1–2	2–3	3–4	4–5	5–6	Tagessummen
1	0.4	1.0	0.9	0.9	1.0	0.9	0.9	1.0	0.6	0.4	0.8	0.4	9.2
2	.	0.2	0.1	0.1	0.1	.	0.1	0.1	0.3	0.1	0.1	.	1.2
3	.	.	.	0.1	0.6	0.4	0.8	0.1	.	0.1	.	.	2.1
4	0.2	1.0	1.0	1.0	0.8	0.5	0.1	.	.	.	.	.	4.6
5	.	0.2	0.9	0.6	.	0.4	0.4	0.1	.	0.2	0.2	.	3.0
6	.	.	.	.	.	0.1	.	.	0.1	0.2	0.3	.	0.7
7	.	.	.	.	.	0.1	0.4	0.3	0.1	0.7	.	.	1.6
8	.	0.3	0.8	0.6	0.5	0.6	0.8	0.9	0.5	0.2	0.1	.	5.3
9	.	.	.	0.2	0.5	0.6	0.7	0.6	0.5	0.3	0.5	.	3.9
10	.	.	.	.	.	.	.	0.1	.	.	0.1	.	0.2
11	.	.	1.0	0.6	0.2	0.7	0.8	0.1	0.1	0.6	0.3	.	4.4
12	.	0.3	1.0	0.9	0.9	0.9	0.9	0.8	0.1	0.1	0.2	0.1	6.2
13	.	0.6	1.0	1.0	1.0	0.8	0.8	0.3	.	.	.	.	5.5
14	.	.	.	.	.	.	.	.	.	.	.	.	.
15	.	.	.	.	.	0.1	0.3	.	0.6	0.5	0.5	.	2.0
16	.	0.1	0.2	0.2	0.4	0.8	0.6	0.6	0.6	0.6	0.2	0.3	4.6
17	.	.	.	0.4	0.1	0.1	.	.	.	.	0.1	.	0.7
18	.	.	.	.	.	.	.	.	0.2	.	0.2	.	0.4
19	.	0.8	1.0	1.0	0.9	0.6	0.1	0.1	0.6	0.6	0.1	.	5.8
20	.	0.6	1.0	1.0	0.9	0.6	0.7	0.7	0.6	0.4	0.7	.	7.2
21	.	1.0	0.9	0.9	0.4	0.7	0.9	0.8	1.0	0.1	.	.	6.7
22	.	0.1	0.1	.	0.1	.	.	.	.	.	.	.	0.3
23	.	.	.	.	.	0.2	.	.	.	.	.	.	0.2
24	.	.	0.4	0.3	0.1	0.1	.	.	.	.	.	.	0.9
25	.	.	.	0.1	0.5	0.4	0.1	0.1	0.6	0.5	.	.	2.3
26	.	.	.	.	.	.	.	0.1	0.2	0.5	.	.	0.8
27	.	.	.	.	0.1	0.4	0.7	0.1	.	.	.	.	1.3
28	.	0.4	1.0	1.0	1.0	1.0	0.6	0.2	.	0.1	.	.	5.3
29	.	0.5	1.0	1.0	1.0	1.0	1.0	1.0	1.0	0.9	0.4	.	8.8
30	.	0.6	1.0	1.0	1.0	1.0	1.0	0.9	1.0	1.0	0.2	.	8.7
31													
Summe	0.6	7.7	13.3	12.9	12.1	13.0	12.7	9.0	8.7	8.1	5.0	0.8	103.9
Mittel	0.02	0.26	0.44	0.43	0.40	0.43	0.42	0.30	0.29	0.27	0.17	0.03	3.46

Oktober

Datum	Vormittag 7–8	8–9	9–10	10–11	11–12	Nachmittag 12–1	1–2	2–3	3–4	4–5	Tagessummen
1	.	.	0.3	0.2	.	.	.	.	0.1	.	0.6
2	.	.	.	.	0.1	.	.	.	.	.	0.1
3	.	0.5	0.8	0.6	0.5	0.4	0.3	0.5	0.1	0.4	4.1
4	.	0.8	1.0	1.0	1.0	0.9	0.8	0.7	0.3	0.4	6.9
5	0.7	0.9	0.2	.	0.5	0.6	0.8	0.9	1.0	0.2	5.8
6	0.6	1.0	1.0	1.0	1.0	1.0	1.0	1.0	1.0	0.5	9.1
7	.	0.4	1.0	1.0	1.0	1.0	1.0	1.0	1.0	0.7	8.1
8	0.8	1.0	1.0	1.0	1.0	1.0	1.0	1.0	1.0	0.3	9.1
9	.	.	.	.	.	1.0	0.9	0.9	1.0	0.7	4.5
10	0.5	0.9	0.3	.	.	.	.	.	1.0	.	1.7
11	.	.	.	.	.	0.6	0.3	0.5	0.3	0.2	1.9
12	.	1.0	1.0	1.0	1.0	1.0	1.0	1.0	1.0	0.5	8.5
13	.	.	0.5	0.4	0.4	0.5	0.6	0.6	0.1	.	3.1
14	0.2	1.0	1.0	1.0	1.0	1.0	0.9	0.1	.	.	6.2
15	0.3	0.9	0.9	1.0	0.7	0.4	0.2	0.1	0.1	.	4.6
16	.	.	0.1	0.4	0.7	0.2	0.3	0.1	.	.	1.8
17	.	0.3	0.4	0.1	0.1	.	.	.	.	.	0.9
18	0.1	0.3	0.2	0.4	0.2	0.4	0.1	0.3	0.3	.	2.3
19	.	.	.	.	.	.	.	.	.	.	.
20	.	.	0.1	.	0.1	0.3	0.6	0.5	.	.	1.6
21	.	0.7	0.5	0.7	0.9	0.8	0.9	0.9	0.8	.	6.2
22	.	.	0.7	0.4	0.2	0.5	0.4	.	.	.	2.2
23	.	.	.	.	.	.	.	.	.	.	.
24	.	.	.	.	.	.	.	.	.	.	.
25	.	.	.	.	.	.	.	.	.	.	.
26	.	.	.	.	.	.	.	.	.	.	.
27	.	.	.	.	.	.	.	.	.	.	.
28	.	0.3	0.6	0.5	0.5	0.7	0.6	0.6	0.1	.	3.9
29	.	0.1	.	0.2	0.1	.	.	.	.	.	0.4
30	.	.	.	.	.	.	.	.	.	.	.
31	.	.	0.1	.	.	0.3	0.1	.	0.5	.	1.0
Summe	3.2	10.1	11.7	10.9	11.0	12.6	11.8	10.7	8.7	3.9	94.6
Mittel	0.10	0.33	0.38	0.35	0.35	0.41	0.38	0.35	0.28	0.13	3.05

November

Datum	Vormittag 8–9	9–10	10–11	11–12	Nachmittag 12–1	1–2	2–3	3–4	4–5	Tagessummen
1	0.9	1.0	0.9	0.8	0.8	1.0	1.0	1.0	0.1	7.5
2	.	.	0.2	0.7	0.6	0.7	0.8	0.1	.	3.1
3	0.1	0.2	0.6	0.7	0.5	0.5	0.7	0.2	.	3.5
4	.	.	.	.	.	0.1	.	.	.	0.1
5	.	.	.	.	.	.	.	.	.	.
6	0.1	0.5	0.8	1.0	0.9	0.6	0.2	0.9	0.3	5.3
7	.	.	0.1	.	.	.	.	.	.	0.1
8	.	.	.	.	.	.	.	.	.	.
9	.	.	.	.	0.1	0.1	0.7	0.7	.	1.6
10	.	.	.	.	.	.	.	.	.	.
11	.	.	.	.	.	.	.	.	.	.
12	.	.	0.6	0.4	0.8	0.9	.	.	.	2.7
13	.	.	.	.	.	.	.	.	.	.
14	0.3	1.0	1.0	0.9	0.5	.	.	.	.	3.7
15	.	.	.	.	.	.	.	.	.	.
16	.	.	0.2	0.5	.	.	.	.	.	0.7
17	.	.	.	.	.	.	.	.	.	.
18	.	.	0.1	0.3	0.9	0.7	.	.	.	2.0
19	.	.	.	.	.	.	.	.	.	.
20	.	.	.	.	.	.	.	.	.	.
21	.	.	.	.	.	0.4	0.7	0.3	.	1.4
22	.	.	.	.	0.4	0.7	1.0	0.7	.	2.8
23	.	0.1	0.1	0.2	0.2	0.1	0.8	0.4	.	1.9
24	.	0.2	0.6	.	.	0.1	.	.	.	0.9
25	.	0.3	1.0	0.6	0.7	.	.	.	.	2.6
26	.	.	.	.	0.2	0.1	0.1	0.1	.	0.5
27	.	.	.	.	.	.	.	.	.	.
28	.	.	.	.	.	0.2	.	.	.	0.2
29	.	0.8	1.0	1.0	1.0	1.0	1.0	0.2	.	6.0
30	.	.	.	0.1	0.2	0.7	0.9	0.1	.	2.0
31										
Summe	1.4	4.1	7.2	7.2	7.8	7.9	7.9	4.7	0.4	48.6
Mittel	0.05	0.14	0.24	0.24	0.26	0.26	0.26	0.16	0.01	1.62

Dezember

Datum	Vormittag 8–9	9–10	10–11	11–12	Nachmittag 12–1	1–2	2–3	3–4	Tagessummen
1	.	.	.	.	.	.	.	.	.
2	0.1	0.1	0.1	.	.	.	.	.	0.3
3	0.1	0.8	0.4	0.1	.	.	.	.	1.4
4	.	.	.	0.4	1.0	0.7	0.1	.	2.2
5	0.3	.	0.7	1.0	1.0	1.0	0.9	0.3	5.2
6	.	.	0.6	1.0	1.0	1.0	0.4	.	4.0
7	.	.	.	.	.	0.1	0.1	0.1	0.3
8	0.2	0.6	.	0.4	1.0	1.0	1.0	0.4	4.6
9	.	.	.	.	.	0.1	0.2	.	0.3
10	.	.	.	0.6	0.4	0.1	.	.	1.1
11	.	.	.	.	.	.	.	.	.
12	.	.	.	.	.	.	.	.	.
13	.	1.0	1.0	1.0	1.0	0.4	.	.	4.4
14	.	.	.	.	.	.	.	.	.
15	.	.	0.1	0.3	.	0.1	0.4	.	0.9
16	.	.	.	.	.	.	.	.	.
17	.	0.3	0.9	1.0	0.9	0.1	.	.	3.2
18	.	.	.	.	.	.	.	.	.
19	.	0.3	0.8	0.8	0.9	0.7	0.2	.	3.7
20	.	0.2	0.9	0.2	0.2	0.6	0.7	.	2.8
21	0.5	1.0	1.0	1.0	1.0	1.0	1.0	0.4	6.9
22	0.3	1.0	1.0	1.0	1.0	1.0	0.6	0.1	6.0
23	.	0.3	0.8	0.8	0.9	1.0	0.8	0.3	4.9
24	.	.	.	.	0.1	0.6	0.9	.	1.6
25	.	0.1	0.9	0.7	1.0	1.0	0.6	.	4.3
26	0.3	0.7	0.6	1.0	0.8	0.8	.	.	4.2
27	.	.	.	.	.	.	.	.	.
28	.	.	.	.	.	.	.	.	.
29	.	0.5	0.7	0.3	0.7	0.8	0.7	.	3.7
30	.	0.5	0.1	.	.	.	.	.	0.6
31	.	.	.	.	.	0.2	.	.	0.2
Summe	1.8	7.4	10.6	11.6	12.9	12.3	8.6	1.6	66.8
Mittel	0.06	0.24	0.34	0.37	0.42	0.40	0.28	0.05	2.15

Zeitangaben nach wahrer Zeit

Sonstige

Bewölkung, Zugrichtung und

Die halbfett gesetzten Ziffern bedeuten die auf
Die Tagesmittel sind aus den Beobachtungen

Datum	2ª	4ª	6ª	7ª	8ª	10ª	Mittag
Januar							
1	10	10	10	10	10	10	10
2	10	10	10	10	10	10	10
3	10	10	10	10	10^2 *st* W	10^2 *st* W	10^2 *st* W
4	7	7	10	10	10^1 *st-cu* WNW	9^1 *ci-cu* NW, *st-cu* WNW	10^2 *st-cu*, *nb* WNW
5	10	10	10	10	10^2	10^2	10^2 *nb* W
6	10	10	10	10 *st-cu* W	10^1 *st-cu* WNW	10^1 *st-cu* WNW	10^2
7	10	10	10	10	10	10^2 *nb* E	10^2
8	8	9	10	9	10^2 *nb* W	10^1 *st-cu* WNW	10^1 *st-cu* WNW
9	8	10	10	10^2	10^2	10^2	10^2
10	10	9	3	2^0	1^0	1^0	0
11	0	0	0	0	2^0	4^0	2^0 *ci* NNW
12	9	10	10	10	10^1	9^1	9^1 *a-cu* WNW
13	0	0	0	3^0	5^0 *ci* N	2^0 *ci* N	1^0
14	0	0	0	8^0 *ci-cu*, *a-cu* N	6^0 *ci*, *a-cu* N	1^0	0
15	0	0	0	0	1^0	2^0	6^0 *ci*, *ci-st* NE
16	0	0	0	8^0 *a-cu* NNE	9^0 *ci-st*, *a-st*, *a-cu* NE	7^0 *a-cu* E	9^0 *a-cu* ESE **1.2**
17	1	8	0	0	0	0	0
18	9	10	10	8	6^1 *st-cu*, *fr-cu* ESE	5^1 *st-cu* SE	2^1 *ci* WNW, *st-cu*, *fr-cu* ESE
19	6	0	0	4^1	5^1 *a-cu* ESE	8^1 *a-cu* SE	9^1
20	7	5	3	4^0	4^0 *ci*, *ci-cu* WSW	3^0 *ci* SSW, *a-cu* S	1^0
21	3	10	10	10	10^0	7^0	3^0
22	10	10	10	10 *st-cu*, *fr-st* WSW	10^1 *st-cu*, *fr-st* WSW	9^1 *st-cu* W	10^1
23	10	10	10	10	10^2	10^2	10^2
24	10	10	10	10	10^2	9^2 *st*, *fr-st* E	9^2 *st-cu* SW
25	2	2	10	6^1 *a-cu* WSW	9^1 *a-cu* WSW	10^2 *a-cu* WSW	8^1 *a-cu* WSW
26	4	10	10	10	10^2	10^2	10^2
27	10	10	10	9^1 *st-cu* NNW	10^1 *st-cu* N	10^2 *nb* N	6^2 *st-cu* N
28	0	8	9	9^1 *st-cu* NW	9^1 *st-cu* NW	10^1 *st-cu*, *nb* NNW	10^1 *st*, *nb*, *fr-nb* WSW
29	10	10	10	9^1 *st-cu* WNW	9^1 *st-cu* WNW	10^1 *st-cu* WNW	10^1 *st-cu* W
30	7	0	0	0	0	0	1^0
31	2	8	9	10^1	10^1 *st-cu* W	10^2	10^2 *nb* WSW
Mittel	6.2	7.0	6.9	7.4	7.6	7.3	7.0
Februar							
1	0	2	8	9^1 *st-cu* NW	9^1 *st-cu* NW	9^1 *nb*, *fr-nb* NW	9^1 *st-cu* NW
2	10	10	6	0	2^0 *a-cu* NNE	1^0	1^0
3	9	7	10	10^1 *st-cu* NE	9^1 *st-cu* NE	2^0	1^0
4	0	0	0	0	1^0	1^0	1^0
5	0	0	0	0	1^0	0	0
6	10	10	10	10^1	10^0 *a-cu* WSW, *st*, *fr-st* SSW	9^0 *ci*, *ci-cu*, *a-cu* WSW	9^0 *st-cu* SW
7	10	10	10	9^0 *st-cu* W	9^1 *ci-cu*, *a-cu* W, *st-cu* WSW	7^0 *ci-cu*, *a-cu* WSW, *st-cu*	8^1 *ci-st* **3.4**, *a-cu* WSW,
8	0	0	0	0	0	0 [WSW	0 [*st cu* WSW
9	3	8	7	7^0 *ci-st* SW, *a-cu* SSW	9^0 *ci-st*, *ci-cu* SW, *a-cu* SSW	9^1 *ci-cu*, *a-st* S, *st-cu* S	9^1 *st* SSE
10	0	1	1	0	5^0 *ci* SSW	2^0 *ci* S, *ci-st*, *ci-cu* SSW	2^0 *ci* S
11	8	4	2	10	10^2	10^2	10^2
12	10	10	10	10	10^2	10^2	10^2
13	10	10	10	10	10^2	10^2	10^2
14	10	10	10	10	10	10^2	10^2
15	10	10	10	10	10^2	10^2	10^2
16	10	10	10	10	10^2	10^2 *st-cu* NW	7^1 *ci* NW
17	10	10	10	10^2 *st-cu* W	10^2	10^2 *st-cu* NW	10^1 *st-cu* W
18	8	5	3	2^0 *a-cu* WNW	3^0 *a-cu* WNW	1^0	4^0 *a-cu* WNW
19	6	6	2	3^0 *ci*, *ci-cu* W	8^0 *ci-st*, *ci-cu* W	5^0 *ci*, *ci-st*, *ci-cu* W	1^0
20	10	10	10	8^0 *st-cu* WSW	6^0 *ci-cu* SSW	9^1 *st-cu* SW	9^1 *st-cu* W
21	3	10	10	10^2 *nb* WSW	10^2 *nb* W	10^2 *nb* W	10^2 *nb* W
22	10	10	10	10^2	10^2	10^2	10^2
23	8	10	10	10^2	10^2	10^2	10^2 *st* W
24	10	10	10	10^2	10^2 *st* SW	10^2 *st* W	10^2 *st* SW
25	2	10	10	10^2	10^2	10^2	10^2
26	10	10	10	10^2 *st* SSE	10^2 *st* SSE	9^1 *st-cu* S	3^1 *ci* NNW
27	10	6	10	10^2 *nb* W	10^2 *st-cu* W	10^2 *st-cu* W	10^2 *nb* W
28	10	10	10	10^2 *st-cu* W	10^2 *st-cu* W	10^2 *st-cu* W	10^2 *nb* W
29	10	10	2	4^0 *ci*, *ci-st* NNW	8^0 *ci*, *ci-st* NNW	6^0 *ci*, *ci-st* NNW	3^0 *ci*, *ci-st* WNW
Mittel	7.1	7.6	7.3	7.3	7.9	7.2	6.8

Zeitangaben nach mittlerer Ortszeit

Beobachtungen

relative Geschwindigkeit der Wolken

1000 m Höhe berechnete Geschwindigkeit in m p. s.
zu den geraden Stunden gebildet.

2p	4p	6p	8p	9p	10p	Mn.	Tagesmittel
1912							
10	10	10	10	10	10	10	10.0
10^2 *st-cu* W	10^2 *st-cu* W	10	10	10	10	10	10.0
10^2 *nb* W	10^2 *nb* W	10	9	10	10	3	9.4
10^2 *st-cu, nb* W	10^1 *st-cu, fr-st* W	10	10	10	10	10	8.9
10^2 *nb* WSW	10^2 *st-cu, nb* WSW	10	10	10	10	8	9.8
10^2	10^2 *nb* W	10	10	10	10	10	9.8
10^2 *nb* NE	9^1 *fr-nb* NE	7	10	9	8	3	9.0
9^1 *st-cu* WNW	8^1 *st-cu, fr-nb* NW	9	2	1	10	10	8.3
10^2 *nb* E	10^2	10^2	10^2	10^2	10	10	9.8
0	1^0	2	0	0	0	0	2.8
1^0	6^0 *ci* NNW	2	2	2	2	10	2.4
1^0 *a-cu* WNW	0	0	0	0	0	0	5.2
1^0	1^0	1^0	1^0	0	0	0	0.9
0	0	0	0	0	0	0	0.5
5^0 *ci, ci-st* NE	8^0 *ci-st, ci-cu, a-cu* NE	1^0	0	0	0	0	1.8
7^0 *a-cu* SE	1^0	0	0	0	0	10	3.3
0	0	0	0	0	0	10	2.2
4^1 *ci* NW	7^1 *ci-cu, a-cu* NW	2	4	2	2	4	5.8
4^1 *ci, ci-cu* S, *a-cu* SSW	8^0 *a-st* SSW	2^1	2	2	9	9	5.1
1^0 *ci-cu* S	7^1 *ci* SSW, *a-cu* W	0	0	0	0	0	3.1
5^0 *ci* WNW	9^1	10	10	10	10	10	7.5
10^1	9^2 *st-cu, nb* W	10	10	10	10	10	9.8
10^2	10^2	10	10	10	10	10	10.0
9^1 *a-cu* SW	9^1 *a-cu* W	1	3	3	0	2	7.1
1^1	7^1 *a-cu* SW	2	3	0	0	10	5.1
10^2 *st-cu, st* W	10^2 *st* W	10^2	10	10	10	10	9.5
6^1 *cu* N	2^1 *fr-cu* NNE	1^0	1	0	0	0	5.8
10^1 *st-cu* WSW	10^1 *st-cu* W	10	10	10	9	10	8.1
10^2 *nb* W	10^2 *nb* W	10^2	10^2	10^2	10	10	9.9
1^0 *cu, fr-cu* SE	1^0	1^0	3^0	3^0	7	4	2.7
10^2	9^2 *a-cu* WNW, *nb, fr-nb* W	6^1 *a-cu, nb, fr-nb* WNW	1^0 *fr-cu* NW	0	3	2	6.5
6.3	6.8	5.4	5.2	4.9	5.5	6.3	6.5
1912							
10^1 *st-cu, nb* NW	10^1 *st-cu, nb* W	10^1 *st-cu, nb* W	9^1 *a-cu* W, *fr-nb* WSW	9^1 *a-cu, st-cu* W	8	10	7.4
1^0 *fr-cu* ESE	2^0 *ci* WSW **6.4**	7^1 *st-cu* E	3^0 *ci* WSW	4^0 *ci* WSW	3	5	4.7
1^0 *cu, fr-cu* NW	2^0 *ci-cu* N	1^0	2^0 *ci, ci-cu* NW	3^0 *ci* W	9	2	4.6
1^0	1^0	1^0	1^0	0	0	0	0.7
0	0	1^1	9^0 *st, fr-st* E	10^1	10	10	2.4
3^0 *ci, ci-st, a-cu* W	8^0 *ci, a-cu* SW, *fr-cu* WNW	7^0 *ci-st, a-cu* S	2^0	0	10	10	8.3
2^0 *ci* S. *a-cu, fr-cu* WSW	10^1 *st-cu* WNW	10^1 *st-cu* WSW	3^0 *st-cu* S	0	0	1	6.9
0	0	1^1	2^0	1^0	8	0	0.9
9^1 *a-cu* SSE, *st-cu* SW	9^1 *st-cu* WNW	2^0	1^0	0	0	0	5.1
7^0 *ci, ci-st* S	9^0 *ci-st, ci-cu* SSE	10	2	1	8	8	4.2
10^2	10^2	10	10	10	10	10	8.6
10^2	10^2	10^2	10	10	10	10	10.0
10^2 *st-cu* N	9^1	10^2 *nb, st-cu* SE	10	10	9	10	9.8
10^2	10^2	10	10	10	10	10	10.0
10^2	10^2	10^2	10^2	10	10	10	10.0
9^1 *ci, a-cu* NNW	10^1	10	8	3	9	10	9.5
10^1 *st-cu* WSW	10^2 *st-cu* W	10^2	3	1	4	10	9.0
10^0 *a-cu* WNW	10^0 *a-cu* WNW	10^1 *st, st-cu* W	4	2	3	6	5.9
2^0 *ci* NW	3^0 *ci, ci-cu* W [WSW	6^0 *ci-cu, a-cu* W	10^0	8^0	10	10	5.8
8^1 *st-cu* WSW	5^1 *ci-cu* W, *st-cu, cu, fr-cu*	2^1 *st-cu* W	1^0	1^0	0	1	6.2
10^2 *nb* W	10^2 *nb* W	10^2 *nb* W	10^2	10^2	10	10	8.8
10^2	10^2	10^2	10^2	10^2	10	10	10.0
10^2 *st* W	10^2 *st* W	10^2 *st* W	10^2	10^2	10	10	9.8
10^2 *nb* W	10^2 *nb, fr-nb* N	10^2 *nb* NW	10^1 *st-cu* NW	10^2	10	8	9.8
10^2	10^2	10^2	10^2	10^2	10	10	9.2
4^0 *fr-st* W [SW	9^1 *st-cu* W	10^1 *st-cu* W	9^1 *st-cu* W	9^1 *st-cu* W	10	10	8.8
9^2 *a-cu, st-cu* W, *nb, fr-nb*	10^2 *nb, fr-nb* W	10^2 *st-cu, fr-nb* WNW	10^2 *st-cu* WNW	10^2 *st-cu* WNW	10	10	9.6
10^2 *nb* W	10^2 *nb* NW	10^2 *nb* NW	10^1 *st* NW	10^1	10	10	10.0
4^0 *ci* W	4^0 *ci* W	8^1	9	8^1	9	10	7.2
6.9	7.6	7.8	6.8	6.2	7.6	7.6	7.4

Zeitangaben nach mittlerer Ortszeit

Bewölkung, Zugrichtung und

Die halbfett gesetzten Ziffern bedeuten die auf
Die Tagesmittel sind aus den Beobachtungen

Datum	2ᵃ	4ᵃ	6ᵃ	7ᵃ	8ᵃ	10ᵃ	Mittag
März							
1	8	10	10	10^2 *nb, fr-nb* W	10^2 *nb, fr-nb* W	9^2 *nb, fr-nb* WNW	10^2 *st-cu* WNW
2	10	10	10	10^2 *nb* SW	10^2 *nb* SW	10^2 *nb* SW	10^2 *nb, fr-nb* W
3	2	2	1	8^0 *ci, a-cu* WNW	3^0	7^1 *ci, ci-cu* WSW	8^1 *ci, a-cu* WSW
4	10	10	10	10^1	10^1	9^1 *ci, a-cu* WSW	10^1 *st-cu, st* W
5	10	10	8	3^1 *ci, a-cu* SSW	10^1 *st-cu* SW	3^0 *ci, ci-cu* WSW **3.1**	5^2 *cu, cu-nb, fr-cu* WSW
6	7	10	10	8^1 *ci, a-st, cu, cu-nb, fr-cu*	9^1	4^0 *ci, ci-cu* SSW **4.4**	7^2 *cu, cu-nb, nb* WSW
7	9	10	3	1^0 [SW	8^1 *a-cu* W **4.8**	3^1	8^1 *cu, fr-cu* W
8	10	10	7	10^1 *st* W	9^1 *st-cu* WNW	10^1 *st-cu* WNW	4^1 *cu, fr-cu* W
9	6	9	4	8^0 *ci, ci-st, ci-cu* SSW	7^0 *ci, ci-st, a-st* SSW	9^0	3^0
10	0	0	0	3^0	4^0 *ci* W **1.8**	6^0 *ci* WSW **1.8**	7^1 *ci* WSW, *cu, fr-cu* SE
11	2	2	7	8^0 *ci* SSE	7^0 *ci* SSE, *fr-cu* ESE	3^0 *ci* SE	8^1 *ci* SE, *cu* E
12	10	10	10	9^1 *st-cu* NW	9^1 *st-cu* NW	6^1 *st-cu* NE	9^1 *st-cu* NE
13	0	0	0	0	0	1^0	1^0
14	10	10	10	10^1 *a-cu* W	10^2	9^1 *a-cu* NW	9^1 *a-cu* W, *cu, st-cu* SSW
15	4	4	2	1^0	1^0	2^0 *ci* NW	2^0
16	4	8	8	10^1 *st-cu* WNW	10^2 *st-cu* WNW	10^2 *nb* NNE	10^2 *nb* SE
17	10	10	10	10^2 *st* W	10^2 *st* W	10^2 *st* W	8^2 *a-cu, st-cu, cu* W
18	0	0	2	8^0 *ci* SW	9^0	5^0 *a-cu* SW	9^0 *a-cu* SW
19	10	10	9	8^1 *a-cu* SSW	5^1 *ci* S, *a-cu* SSW	9^1 *a-cu* SSW, *st-cu, st* W	9^2 *a-cu, st-cu, cu, nb* NW
20	0	6	8	9^0 *ci-cu* WSW	9^1 *a-cu, a-st* WSW	8^0 *ci, ci-st* SW	9^1 *ci-st, a-st* SW
21	10	10	8	4^0 *ci* S	5^0 *ci* SW	4^0 *ci* SSW, *cu* SW	6^1 *ci, cu* SSW
22	6	4	2	6^0 *ci, ci-st* SW	8^0 *ci* SSW	7^1 *ci, cu* SW	9^1 *ci, cu, fr-cu* SW
23	0	0	1	2^0 *ci* SW	2^1	9^1 *a-cu* WSW, *st-cu* W	8^1 *ci-cu, cu* W, *a-cu* WSW
24	0	0	7	10	9^1 *a-cu* W	10^1	10^1 *cu, st-cu* SW
25	10	10	10	10^1 *st* W	10^1 *st, st-cu* W	5^1 *a-cu* NW, *cu, fr-cu* WSW	9^1 *cu, st-cu* WSW
26	10	10	10	10^2	10^2	10^2 *st, fr-st* W	10^2 *st, st-cu* W
27	9	6	7	9^1 *ci, a-cu* W	3^1 *a-cu* W	5^0 *ci, ci-st* W	9^2 *cu, st-cu, cu-nb* W
28	0	2	2	9^1 *ci-cu, a-cu* WNW	9^1 *ci, a-cu* NW	8^1 *ci-st, a-st, a-cu* NW, *cu,*	9^2 *cu, cu-nb, st-cu* W
29	4	9	2	2^1 *fr-st* W	5^1 *cu, fr-cu* W	8^1 *cu* WNW [*fr-cu* W	7^2 *cu, cu-nb, nb, fr-cu* W
30	10	10	10	9^0 *ci, ci-st* WNW	8^0 *ci, ci-st, ci-cu* W	10^2 *st-cu, st* W	10^2 *nb* W
31	10	10	10	10^1 *st-cu* W	8^1 *st-cu* WNW	9^2 *st-cu, cu, cu-nb* W	8^1 *cu, st-cu* W
Mittel	6.2	6.8	6.4	7.3	7.3	7.0	7.8
April							
1	10	10	10^2	10^2 *nb* SSW	10^2 *nb* SW	10^2 *nb* SW	10^1 *st-cu, cu* W
2	10	10	9^1 *st-cu* WNW	10^2 *nb* WNW	10^2	10^2 *nb* WNW	10^2 *nb* NW
3	10	10	5^1 *st-cu* NNE	2^0 *a-cu* N, *fr-cu* NNW	3^1 *cu, fr-cu* NNW	2^0 *cu, fr-cu* NNW	1^0 *cu* NNW
4	0	0	10^1 *st-cu* NW	9^1 *a-cu* N, *st-cu* NW	10^1 *st-cu* NW	10^1 *st-cu* WNW	9^0 *a-cu* NNW **3.9**, *st-cu, cu*
5	10	10	10^2	10^2 *nb* W	10^2 *nb* W	10^2 *nb* W	10^2 *nb* W [WNW
6	10	10	10^2 *nb* W	10^2 *nb* W	10^2 *nb* WNW, *fr-nb* W	10^2 *nb* WNW	10^2 *nb* W
7	8	6	8^1 *st-cu* NW	10^1 *st-cu* WNW	6^0 *st-cu, cu* NW	2^0 *cu, fr-cu* NNW	2^0 *fr-cu* NW
8	8	10	10^1	10^1	10^1 *st-cu* SW	10^1 *st-cu* SW	10^1 *st-cu* SW
9	10	10	8^1 *ci, a-cu* SW, *fr-cu* W	9^0 *fr-cu* W	9^1 *st-cu* W	8^1 *st-cu, cu* WNW	9^2 *st-cu* W
10	10	10	10^2 *st-cu* WNW	10^2 *st-cu* WNW	6^1 *fr-cu* W	10^2 *st-cu* W	9^2 *a-cu* SW, *st-cu* W
11	10	10	3^0 *ci* NW	4^0	6^1 *cu, fr-cu* NNW	6^1 *ci* NNW, *cu* NW	8^1 *st-cu, cu* NNW
12	10	10	10^1	10^2	10^2	10^2	9^2 *a-cu* NNW, *st-cu* WNW
13	0	6	1^0	0	0	1^0	1^0
14	10	10	10^2	10^2	10^2	10^2 *st-cu* NNW	10^2 *st-cu* N
15	0	0	*0*	*0*	*0*	7^0 *ci-st* NE	3^0 *cu* NE
16	0	0	1^0	0	0	1^1 *cu* E	1^1
17	0	0	0	0	0	0	1^0 *ci* E **3.0**
18	0	0	0	0	0	0	0
19	0	1	3^0	2^0	3^0	2^0 *ci, ci-st* W	3^0 *ci, ci-st* W, *cu, fr-cu* E
20	0	1	5^1 *a-cu* ENE	6^1 *a-cu* ENE	2^1	1^0	5^1 *cu* ENE
21	10	2	1^0	0	0	4^1 *cu* ESE	3^0 *cu* ESE
22	0	0	1^0	4^0 *ci* ENE	2^0	1^0	3^0 *cu* ENE
23	0	2	4^0 *cu, fr-cu* ENE	3^0 *cu, fr-cu* ENE	1^0	1^0	1^0
24	0	0	1^0	1^0	2^0 *ci* ENE	3^0	1^0
25	7	4	6^0 *ci* N **1.5**	6^0 *ci* N, *a-cu* NNW	3^0 *cu, fr-cu* NNW	1^0 *ci* N, *cu* NNE	7^1 *cu* NNE
26	0	0	3^0 *ci, ci-cu* ENE	8^1 *a-cu* NE	9^1 *a-cu* NE	7^0 *ci, ci-cu* **4.6**, *a-cu* NE	2^0 *cu* NNE
27	2	1	1^0	2^0 *a-cu* W	1^0	3^1 *a-cu* W, *cu* W	5^1 *cu* W
28	10	10	9^1 *st-cu, cu* W	1^0	3^0 *cu* SW	5^1 *cu* NW **3.5**	5^1 *cu* NW
29	2	2	4^0 *cu* N	4^0 *ci* NNE	6^1 *a-cu* NE	9^1 *cu-nb* ENE, *fr-cu* E	9^1 *cu, st-cu* ESE
30	6	4	3^0 *a-cu* NE	3^1 *cu* NE	6^1 *cu, st-cu* NE	1^0 *cu* E	4^1 *cu* N
Mittel	5.1	5.0	5.2	5.1	4.9	5.2	5.4

Zeitangaben nach mittlerer Ortszeit

relative Geschwindigkeit der Wolken

1000 m Höhe berechnete Geschwindigkeit in m p. s.
zu den geraden Stunden gebildet.

2p	4p	6p	8p	9p	10p	Mn.	Tagesmittel
1912							
10^1 *st-cu* SW 9^1 *nb*, *fr-nb* W 10^1 10^2 *nb*, *cu-nb* W 8^2 *cu*, *cu-nb* SW	10^1 *st-cu* SW 10^2 *nb* W 10^1 3^1 *cu* W 5^1 *ci*, *ci-st*, *a-cu* SW	9^1 *ci*, *ci-st* WSW 3^1 *cu-nb*, *cu*, *fr-cu* W 10^1 1^1 9^1 *st-cu*, *nb* W	9^1 *a-cu* WSW 3^1 10 1 10	9^1 *a-cu* WSW 3^0 10 0 8	10 3 10 0 10	10 9 10 4 0	9.6 8.2 7.1 6.8 7.1
7^2 *ci* SW, *cu*, *cu-nb*, *nb* 7^2 *cu*, *cu-nb*, *nb* W [WSW 4^1 *cu*, *fr-cu* W 8^0 *ci* WSW 8^1 *ci* SW, *cu*, *fr-cu* ESE	9^2 *cu-nb*, *nb* WSW 10^2 *cu-nb*, *nb* W 4^1 *cu*, *fr-cu* W 2^0 *cu* S 9^0 *ci*, *ci-st*, *ci-cu* SW	7^2 10^2 10^2 *cu-nb*, *nb* W 1^0 9^1 *fr-cu* SE	10 10 1 1^0 4	10 10 0 0 2	7 10 0 0 10	9 10 0 0 10	7.4 8.2 6.1 3.8 5.2
8^1 *ci* SE, *cu* E 10^2 *st-cu* N 3^0 *ci* NNW, *a-cu* WNW 9^1 *a-cu* W, *cu*, *st-cu* SW 2^0 *cu*, *fr-cu* SE	8^1 *st-cu* ENE 9^1 *st-cu* WSW 7^1 *st-cu* W 10^2 *nb* W 6^1 *st-cu* S	9^1 *st-cu* E 5^1 *st-cu* W 10^2 *st-cu* W 10^2 4^1 *st-cu* S	7^1 2 10 10^2 1	4 0 10 10^2 0	9 0 8 10 0	10 0 9 6 2	6.9 6.9 3.8 9.4 2.8
10^2 *nb* SE 8^2 *a-cu*, *st-cu*, *cu* W 7^0 *ci* SSW, *a-cu* S 8^2 *ci* S, *st-cu*, *nb* SW 10^1 *a-cu*, *a-st*, *st-cu* SW	10^2 *nb* SE 4^1 *a-cu* WSW 10^1 *a-cu*, *a-st* W 7^1 *ci* SW, *a-cu*, *cu*, *st-cu*, 10^1 *a-st*, *st* SW [*nb* WSW	10^2 *nb* SE 2^0 *a-cu* SW 9^1 *st-cu* SSW 10^2 *st-cu*, *nb* W 10^1 *a-cu* SW	10^2 0 7^1 *a-cu* SSW 10^2 10	10^2 0 9^1 10^2 10	10 0 10 10 10	10 0 10 4 10	8.7 6.3 6.0 8.5 8.0
7^1 *a-cu*, *cu* SW 9^1 *a-st*, *cu*, *fr-cu* SW 9^2 *ci-cu*, *a-cu* WSW, *st-cu* 10^1 *cu*, *st-cu* S [W 10^1 *cu*, *st-cu* WNW	3^1 *a-cu* SW, *cu* SSW 9^1 *cu*, *fr cu* SW 7^2 *st-cu* W 10^1 10^1 *st*, *st-cu* W	4^0 8^0 *a-cu* SW 8^2 *st-cu*, *nb* W 10^1 10^1	10 1^0 2^0 *a-cu* WSW 10 10	10 1^1 0 10 10	10 0 0 10 10	10 0 0 10 10	7.5 5.6 3.4 7.4 9.5
9^2 *st-cu* W [W 8^1 *ci*, *ci-st*, *a-cu*, *cu*, *st-cu* 10^2 *st-cu*, *cu*, *st* W [*fr-st* W 7^2 *a-cu* WNW, *nb*, *cu-nb*, 7^2 *a-st*, *nb*, *cu-nb* W 6^1 *cu*, *st-cu* W	8^1 *a-cu*, *cu* W 10^1 *cu*, *st-cu* W 10^2 *st-cu*, *nb* W [*fr-cu* NW 9^2 *a-cu*, *a-st*, *cu*, *cu-nb*, *nb*, 8^2 *a-st*, *nb*, *cu-nb* W 8^0 *cu*, *fr cu* WSW	6^1 *a-cu* W 9^1 *a-cu*, *cu*, *cu-nb*, *fr-st* W 10 [*fr-cu* WNW 8^2 *a-st* NW, *nb*, *cu-nb*, *cu*, 9^1 *nb*, *cu-nb* WSW 10^1	3^0 *a-cu* W 5^0 *ci*, *a-cu* W 10 10 3^1 *a-cu* W 10^1	6^0 *a-cu* W 2 10 3^1 *cu*, *fr-cu* WNW 9^1 *st-cu* W 10^1	3 2 10 2 4 10	8 2 4 9 10 10	8.2 6.4 6.6 6.5 8.3 9.2
8.0	7.9	7.7	6.5	6.0	6.1	6.3	6.9
1912							
10^1 *st-cu*, *cu* WNW 10^2 *nb* NNW 1^0 9^1 *a-cu* NNW, *st-cu*, *cu* NW 10^1 *st-cu* W	10^1 *st-cu*, *cu*, *fr-cu* NW 10^2 *nb* N 2^0 *cu*, *fr cu* NNW 10^1 *st*, *nb* NW 10^2 *nb* W	10^1 *st-cu*, *cu-nb* NNW 10^2 *st-cu*, *nb* N 1^0 10^1 *st-cu*, *st* NW 10^2 *nb* WNW	10^2 *st-cu* N 10^2 0 5^1 10^2	10^1 10^2 0 2 10^2	10 10 0 8 10	10 10 0 4 10	10.0 9.9 3.5 6.5 9.5
10^2 *nb* W 10^1 *st-cu* NW 10^2 *st-cu* WSW 8^1 *fr-cu* W 9^1 *a-st* W	10^2 *nb* W 5^1 *ci*, NW, *st-cu* NNW 9^1 *st-cu* SSW 5^1 *fr-cu* W 10^1 *st-cu* W	10^2 *nb* W 8^1 *st-cu* NW 9^1 *a-cu* WSW, *st-cu* W 5^1 *a-cu* WNW 9^1 *st-cu* W	10^2 *nb* W 1^0 10^1 *st-cu* W 2^1 10^2	10^2 *nb* WNW 2^0 10^1 *st-cu* W 6^1 *st-cu* WNW 10^2	10 4 10 7 10	6 6 7 10 10	9.7 5.5 9.2 7.5 9.5
6^1 *a-cu* NNW, *cu* NW 9^2 *st-cu* NW 4^1 *ci*, *a-cu* NW, *cu* WNW 10^2 *st-cu* N 7^1 *cu* NE	6^1 *ci* NW, *cu* NNW 9^2 *cu*, *cu-nb* N 10^1 *cu* NW 10^2 *st-cu* N 9^1 *cu* NE	1^0 *a-cu* NW 10^2 10^2 9^1 *a-cu* NNE 9^1 *st-cu* ENE	1^0 7 10 10 9	1^0 0 10 10 2	10 0 10 0 0	10 8 8 2 0	6.7 8.6 5.3 8.4 3.5
1^1 6^0 *ci* SE 2^0 *ci*, *ci-st* W, *fr-cu* ESE 7^1 *ci*, *ci-st* W, *cu*, *fr-cu* E 3^1 *cu* E	1^1 7^0 *ci*, *ci-st* E 8^0 *ci*, *ci-st* W 7^0 *ci*, *ci-st* W, *cu*, *fr-cu* E 9^1 *cu-nb*, *cu*, *st-cu* E	0 1^0 9^1 [E 8^1 *ci*, *ci-st* WNW, *cu*, *fr-cu* 9^1 *a-cu* E, *st-cu* E	0 0 9 7 9^1 *st-cu* E	0 0 5 1 9^1 *st-cu* E	0 0 0 0 3	0 0 0 0 10	0.4 1.2 2.2 3.2 4.4
4^0 *cu* E 3^1 *ci*, *ci-cu*, *cu* ENE 1^0 *cu*, *fr-cu* ENE 3^0 *ci* ENE, *cu* E 7^1 *cu*, *cu-nb* N	5^0 *cu* E 9^1 *ci*, *ci-st* E, *cu*, *cu-nb* ENE 1^0 2^0 7^1 *cu-nb*, *cu*, *st-cu* N	1^0 8^1 *ci*, *ci-st* E 2.5 1^0 *ci* E 3^0 *ci* NE 1^0	3^0 3^0 1^0 3^0 1^0	2^0 0 1^0 1^0 0	0 0 0 4 0	0 0 0 5 0	3.3 2.3 1.0 2.1 3.8
7^1 *cu* NNE 2^0 *ci* SW, *cu*, *fr-cu* W 4^1 *cu* NNW 8^1 *st-cu* E 8^1 *cu* N	4^1 *cu* NNE 3^0 *ci* SW, *cu* W 8^1 *cu* WNW 9^1 *st-cu* E 6^1 *cu* N	7^1 *cu* NE 4^0 *ci*, *ci-st* WSW 7^1 *cu* WNW 7^1 *a-cu* NE 3^0 *ci*, *a-cu* NNE, *cu* N	7^1 *st-cu* NE 6^0 *ci* WNW 2^0 *a-cu* W 9^1 *st-cu* ENE 1^2 *cu-nb* NW	1^0 0 1^0 10^1 0	4 0 1 9 2	4 9 2 10 1	4.2 3.2 5.8 6.6 4.2
6.3	7.0	6.3	5.5	4.1	4.1	4.7	5.4

Zeitangaben nach mittlerer Ortszeit

Bewölkung, Zugrichtung und

Die halbfett gesetzten Ziffern bedeuten die auf
Die Tagesmittel sind aus den Beobachtungen

Datum	2ᵃ	4ᵃ	6ᵃ	7ᵃ	8ᵃ	10ᵃ	Mittag
							Mai
1	1	0	0	0	0	1^{0}	1^{0} *cu, fr-cu* ENE
2	0	0	0	0	1^{0}	6^{0} *ci* NW	4^{0} *ci* NW
3	2	4	5^{0} *ci* NW	8^{0} *ci* NW	8^{1} *cu, st-cu* N	10^{0} *ci* WNW	10^{1}
4	10	10	10^{1} *cu, nb* W	10^{1} *cu, nb* W	7^{1} *cu* W	9^{1} *cu, nb* W	9^{1} *st-cu, nb* WNW
5	0	0	3^{0} *ci, ci-st, ci-cu* NW	8^{0} *ci, ci-st, ci-cu* NW	9^{1} *ci, ci-st* NW	9^{1} *cu, fr-cu* NW	9^{1} *cu, fr-cu* NW
6	0	1	3^{0}	2^{0}	5^{0}	8^{0} *ci-cu, a-cu* W	5^{1} *a-cu* W
7	10	10	10^{2}	10^{2} *st-cu, nb* WNW	10^{2} *st-cu, st* WNW	10^{2} *st-cu, st* WNW	10^{2} *st-cu, st, nb* W
8	10	10	10^{2}	10^{2}	10^{2}	10^{2} *st* ENE	10^{2}
9	10	10	9^{1} *a-cu, a-st* W	7^{1} *a-cu, a-st* W	10^{0}	10^{2} *cu, cu-nb* SW	10^{2} *cu, cu-nb, st-cu* SW
10	10	10	10^{2} *st-cu* WNW	10^{2} *st-cu, nb* WNW	10^{2} *st-cu* WNW	8^{2} *cu, cu-nb, st-cu* WNW	9^{2} *cu-nb, cu* WNW
11	0	3	10^{2}	10^{2}	9^{2} *st-cu, st* W	9^{0} *ci, ci-st, ci-cu* N **5.7**, *cu*	3^{0}
12	3	9	10^{1} *st-cu* WNW	9^{1} *ci* W, *st-cu* WNW	10^{1} *nb* WNW	9^{1} *ci* W, *nb* WNW [NW	8^{1} *a-cu, st-cu* W
13	6	10	10^{1} *st-cu* WNW	10^{2} *nb* WNW	9^{2} *st-cu* WNW	8^{1} *a-cu, st-cu* WNW	8^{1} *st-cu* WNW
14	10	10	3^{0} *fr-cu* NW	7^{1} *st-cu, fr-cu* NW	8^{1} *st-cu* WNW	4^{1} *fr-cu* NW	6^{1} *st-cu* NW
15	8	8	9^{1} *a-cu, st-cu* W	9^{1} *a-cu, st-cu* W	9^{1} *a-cu, st-cu* W	9^{1} *a-cu, st-cu* WNW	10^{1} *st-cu* WNW
16	10	10	10^{1}	10^{2} *nb, fr-nb* SE	10^{2} *nb* SE	10^{2} *nb* SE	10^{1} *nb* W
17	10	10	9^{0} *fr-cu* WNW	4^{1} *ci* SSE, *fr-cu* WNW	7^{0} *ci, a-cu* SE, *fr-cu* WNW	8^{1} *ci, a-cu* SE, *cu* NW	9^{1} *st-cu* NW
18	2	8	8^{0} *a-cu* S, *fr-cu* W	8^{1} *a-cu* S, *st-cu* SW, *fr-cu*	7^{1} *cu, fr-cu* W	8^{1} *st-cu* WSW, *cu* W	9^{1} *cu, cu-nb, st-cu* W
19	0	4	10^{1} *st-cu* WNW	10^{1} *st-cu* W [W	9^{1} *cu, fr-cu, st-cu* W	9^{1} *cu, fr-cu* W	9^{1} *cu, st-cu* W [*cu* WSW
20	0	2	3^{0} *fr-cu* W	2^{0} *fr-cu* WSW	1^{0} *ci* W, *st* SSW	1^{0} *cu, fr-cu* S	6^{1} *ci, a-cu* W, *cu, fr-cu, st-*
21	6	10	10^{1}	7^{0} *ci, a-cu, fr-cu* W	10^{1} *st-cu* W	10^{1} *st-cu* W	9^{1} *st-cu, cu-nb* W, *fr-cu* SW
22	10	10	10^{1}	10^{1} *st-cu, nb* SW	10^{1} *st-cu, nb* W	10^{1} *st cu, nb* NE	10^{1} *st-cu, nb* NE
23	10	10	10^{1}	10^{1} *nb* WNW	10^{1} *nb* W	10^{1} *st-cu, cu-nb* NW	9^{1} *st-cu, cu, fr-cu* NW
24	10	7	4^{0}	8^{0} *ci, a-cu* N, *fr-cu* NNW	3^{0}	3^{0} *ci, a-cu, cu, fr-cu* N	9^{1} *cu* N
25	10	6	7^{1} *ci-cu, a-cu* ENE	9^{1} *a-cu* NNW	9^{1} *a-cu* NNE, *cu, st-cu* N	9^{1} *a-cu* NNE, *cu, st-cu* N	10^{1} *cu, st-cu* N
26	10	10	8^{1} *ci-cu, a-cu, a-st* E, *fr-st* N	4^{0} *ci, a-cu* SW, *fr-st* NNW	7^{1} *cu, fr-cu* NNW	7^{1} *cu* NW	8^{1} *cu* NW [WNW
27	7	4	8^{1} *a-cu, cu, st-cu fr-cu* NW	9^{2} *st-cu, nb* NW	9^{2} *cu, st-cu* NW	8^{2} *nb, cu-nb* WNW	9^{2} *nb, cu-nb, cu, fr-cu*
28	10	10	8^{1} *a-cu* W	6^{1} *st-cu, fr-cu* W	9^{1} *cu-nb, fr-cu, st-cu, st* W	10^{2} *st-cu, nb* W	10^{2} *st-cu* W
29	7	10	10^{2} *st-cu, st* W	10^{2} *st-cu, st* W	9^{2} *st-cu* W	10^{2} *cu, st-cu* W	9^{2} *st-cu, cu-nb, nb* W
30	6	4	10^{2} *st-cu, st* W	10^{2} *st-cu, st* W	10^{2} *st-cu, st, fr-st* W	10^{2} *st-cu* W	10^{2} *st-cu* W
31	2	7	10^{2}	10^{2} *st* W	10^{2} *st* W	10^{2}	8^{1} *st-cu, st* W
Mittel	6.1	7.0	7.6	7.6	7.9	8.2	8.3
							Juni
1	0	0	0	0	0	2^{1} *fr-cu* SSW	7^{0} *fr-cu* SSW
2	10	5	9^{0} *ci, ci-st,* WSW	7^{0} *ci* SW	6^{0} *ci, ci-st* SW	9^{0} *ci, ci-st* SW	10^{1} *cu, fr-cu* SE
3	10	10	10^{1} *a-st* SSW, *st-cu* SW	10^{1} *st-cu* SW	10^{1} *st-cu* WSW	9^{1} *cu, st-cu* WSW	7^{1} *ci* SE, *cu, fr-cu* WSW
4	2	1	1^{0}	1^{0}	1^{0}	4^{1} *cu* SSW	7^{1} *ci* SW, *cu* SW
5	10	10	10^{1} *nb, fr-nb* SSE	10^{1} *nb* S	10^{1} *nb* SSW	7^{1} *ci, a-cu* S, *cu* SW	9^{1} *cu, cu-nb* SW
6	10	10	9^{1} *nb, fr-nb* S	9^{1} *a-cu, st-cu* SW	6^{1} *a-cu, st-cu* SW	1^{0} *cu* SW	10^{1} *cu* SW
7	4	6	6^{0} *ci, a-cu* SW	5^{0} *ci, a-cu* SW	3^{0} *ci* SW **1.9**, *a-cu* SSW	1^{0} *ci* SSW u. S **1.9** u. **2.8**	7^{1} *ci, ci-st* SSW, *cu* S
8	10	10	10^{1} *nb* SW	9^{2} *nb* WSW	10^{2} *nb* WSW	10^{1} *st-cu* W	10^{2} *nb* W
9	7	4	2^{0}	6^{0} *a-cu* W, *cu, fr-cu* WSW	5^{0} *fr-cu* W	9^{0} *cu, fr-cu* W	8^{0} *ci, a-cu, a-st* SSW, *fr-*
10	10	10	10^{1}	10^{1} *cu, nb* NE	10^{1} *nb* NNE	10^{1} *nb* NE	10^{1} *nb* NE [*cu* W
11	10	10	10^{2}	10^{2} *nb* NNE	10^{2} *nb* N	10^{2} *cu-nb, nb, st* NNE	10^{2} *nb, st* NNE
12	10	10	10^{2}	10^{2}	10^{2}	10^{2} *cu-nb, nb, st* NE	10^{2} *cu-nb, nb, st* NNW
13	10	9	10^{2}	10^{2}	10^{2}	10^{2} *st-cu, nb, st* NW	9^{2} *st-cu, st* WNW
14	10	10	10^{2}	10^{2} *nb* W	10^{2} *nb* W	9^{1} *cu-nb, st-cu* W	8^{1} *cu, st-cu, fr-cu* W
15	10	10	10^{1}	10^{2} *st-cu, nb* W	8^{1} *st-cu* W	9^{1} *cu, st-cu, fr-cu* W	10^{2} *st-cu* SW
16	9	5	9^{0} *a-cu* W	9^{0} *ci, a-cu* W	9^{0} *ci-st, a-cu* W, *cu* WSW	10^{1} *st-cu* WSW	10^{2} *nb* WSW
17	3	9	10^{1} *nb, fr-nb* WNW	9^{1} *st-cu, fr-nb* WNW	9^{1} *st-cu, fr-nb* W	9^{2} *cu, nb* W	9^{1} *cu, st-cu* W
18	10	10	10^{2} *nb* WNW	10^{1} *st-cu, fr-nb* WNW	9^{1} *a-cu* NW, *fr-nb* WNW	9^{1} *a-cu* NW, *cu* WNW	9^{1} *a-cu* NW, *cu* WNW
19	10	10	10^{2}	10^{2}	10^{2}	10^{2} *nb* W	5^{2} *cu* W [*cu* W
20	2	2	5^{0}	9^{1} *fr-cu* S	9^{0} *fr-cu* S	9^{1} *cu, fr-cu, st-cu, st* S	3^{0} *ci-cu, a-cu* SW, *cu, fr-*
21	10	7	9^{1} *fr-cu, st-cu* WSW	9^{1} *cu, fr-cu* W	9^{1} *fr-cu* W	8^{1} *a-st, cu, fr-cu* W	9^{1} *cu, fr-cu, st-cu* W
22	10	3	1^{0}	1^{0} *fr-cu* WNW	2^{0} *fr-cu* NW	7^{1} *cu, fr-cu* WNW	8^{1} *cu, fr-cu* NW
23	0	1	0	0	0	0	0
24	4	6	2^{0}	7^{0} *ci-st* WSW	9^{1} *st-cu, st* WSW	10^{1} *st-cu, nb* SW	9^{1} *st-cu, fr-nb* W
25	10	7	9^{1} *st-cu, st* W	10	10^{1} *st-cu, nb* W	10^{1} *nb* W	10^{1} *st-cu, cu* E
26	10	10	10^{1} *st-cu* ESE	10^{2} *st-cu* ESE	10^{2}	10^{2} *nb* S	9^{1} *st-cu* SW, *fr-cu* W
27	10	6	3^{0}	1^{0} *a-cu* S	1^{0} *fr-cu* WNW	2^{0} *cu* WNW	3^{1} *cu* WNW
28	2	0	0	0	0	2^{1} *cu* SSW	3^{1} *cu* SW
29	10	9	1^{0}	0	0	0	3^{0} *cu* SSW
30	10	10	10^{2} *nb, fr-nb* WSW	10^{2} *nb, fr-nb* WSW	10^{2} *nb, fr-nb* W	10^{2} *nb* WSW	10^{2} *nb* W
Mittel	7.8	7.0	6.9	7.1	6.9	7.2	7.7

Zeitangaben nach mittlerer Ortszeit

relative Geschwindigkeit der Wolken

1000 m Höhe berechnete Geschwindigkeit in m p. s.
zu den geraden Stunden gebildet.

2p	4p	6p	8p	9p	10p	Mn.	Tagesmittel
1912							
4^1 *cu, fr-cu* ESE	4^1 *cu, fr-cu* SE	3^0 *cu, fr-cu* SE	1^0	0	0	0	1.2
7^0	8^0 *ci* NW	9^0 *ci* NW	10^0	5^0	2	2	3.8
10^1 *cu, nb* W	10^1 *nb* W	10^1 *st-cu* W	10^1 *st-cu* W	5^1	6	8	7.3
6^1 *cu, fr-cu* W	7^1 *cu, fr-cu* NW	3^1 *fr-cu* NW	1^0	0	0	0	6.2
5^1 *ci-cu* WNW, *cu, fr-cu* W	1^1	0	0	0	0	0	2.8
7^1 *ci-cu, a-cu* W	8^1 *ci, a-cu* WNW, *cu, fr-***)	9^1 *st-cu, fr-cu* W	10^1	10	10	10	5.8
10^2 *nb, cu-nb, st-cu* NW	10^2 *nb, cu-nb, st, st-cu* W	9^2 *ci-cu* WNW, *nb, fr-cu,*	10^2	10	10	10	9.9
10^2 [*st-cu* W	9^0 *ci, cu* N	9^0 [*st-cu* NW	9^0 *cu, st-cu* E	7^0	10	4	9.3
9^2 *ci, a-cu* NW, *cu, cu-nb,*	10^2 *nb, st-cu* W	10^2	10^2	10	10	10	9.4
9^2 *cu-nb, nb, fr-cu fr-st**)	7^2 *cu-nb, nb* NW	9^2 *cu-nb, nb* NW	4^1	3	0	0	7.4
9^0 *ci, ci-st* NW	9^0 *ci, ci-st* NW	10^1	10^1	10	8	8	6.8
9^1 *a-cu, st-cu* W	10^1 *st-cu* W	8^1 *ci* W **5.0**, *st-cu, nb* W	3^1 *ci, st-cu* W	9^1 *st-cu* W	10	10	8.2
7^1 *a-cu, st-cu, cu-nb* WNW	7^1 *a-cu, st-cu, cu-nb* WNW	2^0 *cu, st-cu* WNW	1^0	1^0	0	8	6.6
4^1 *st-cu, fr-cu* NW	4^1 *st-cu, fr-cu* NW	1^0 *ci* WNW	2^0	3^0 *ci* WNW	2	2	4.9
9^1 *a-cu, st-cu, nb* W	10^1 *nb* W	10^1 *nb* W	9^1 *st-cu* W	6^1 *st-cu* W	9	10	8.6
10^1 *st-cu* WSW, *fr-nb* WNW	7^1 *ci, a-cu* SW, *cu, fr-cu*	7^1 *a-cu, st-cu, cu, nb* WSW	10^2	10^2 *nb* W	10	10	9.5
10^1 *st-cu* NW	10^1 *st-cu, cu* NW [NW	10^0 *ci, ci-st* SE, *st-cu* NW	8^0	7^0	3	2	8.2
1^1 *cu, fr-cu* W	7^1 *cu, fr-cu* W	5^1 *a-cu* SSW, *cu, fr-cu, st-*	1^0	2^0	0	0	4.5
10^1 *cu, st-cu* W	9^0 *cu, st-cu* W [WSW	9^1 *cu-nb, cu, st-cu* W [*cu* W	7^1 *st-cu, fr-cu, nb* W	0	0	0	5.8
5^0 *ci* W, *cu, fr-cu* WSW	8^0 *ci, a-cu* W, *cu, fr-cu*	8^0 *ci* W **2.3**	3^0 *ci, a-cu* W, *cu, st-cu* WSW	6^0 *cu, fr-cu* WSW	8	3	3.7
5^0 *ci* WSW, *cu, fr-cu* W	1^0 *ci, a-cu* W	4^0 *ci, a-cu* W, *fr-cu* WSW	4^0 *ci* W, *fr-cu* WSW	4^0 *ci* W	6	10	6.8
10^1 *st-cu, nb* NNE	10^1 *nb* NE	10^1 *st-cu, nb* NNE	10^1 *nb* NNE	10^1	10	10	10.0
8^0 *a-cu, cu, fr-cu* W	5^1 *cu* WNW	9^1 *a-cu* W, *st-cu, nb* NW	8^0 *a-cu* W, *cu, fr-cu* WNW	1^0	2	1	7.8
7^2	10^1 *cu, st-cu* N	7^1	9^1	9^0	7	8	6.5
10^2 *cu, st-cu* N	10^2 *cu, st-cu, nb* N	10^2 *st-cu, nb* N	10^2 *st-cu, nb* N	10^2	10	10	9.2
9^1 *cu, st-cu* WNW	9^1 *cu, st-cu* WNW	10^2 *st-cu, st* WNW	10^2 *st-cu, nb, st* WNW	10^2 *st-cu, st* WNW	10	10	9.1
7^2 *a-cu, nb, cu-nb, cu* W	5^2 *ci-cu, cu, fr-cu* W	6^1 *a-cu, a-st* W	7^1 *cu-nb, st-cu* W	2^1 *a-cu* W	9	7	7.4
9^2 *st-cu* W	10^2 *st-cu, st* W	7^1 *cu, st-cu* W	9^1 *ci-cu* W, *st-cu, st* W	8^0 *ci, a-cu* W	8	10	9.0
8^2 *cu-nb, nb, fr-st* W	7^2 *cu-nb, nb* W	7^2 *cu-nb, nb* W	8^2 *cu-nb, nb* W	10^0	8	8	8.5
10^2 *st-cu* W	10^2 *st-cu* NW	9^1 *a-cu* NNW	9^1 *a-cu* NNW	9^1 *a-cu* NNW	9	3	8.3
5^0	0	0	1^0	0	0	0	4.3
7.7	7.5	7.1	6.6	5.7	5.7	5.6	7.0

*) WNW **) *cu* WSW

1912							
7^1 *cu, fr-cu* S	3^1 *cu, fr-cu* S	3^1 *cu, fr-cu* S	3^1	4^0 *st-cu* S	3	4	2.5
9^1 *cu, st-cu, cu-nb* SE	9^2 *ci* SW, *cu-nb* SE	8^1 *a-cu, cu-nb, st-cu, fr-*	8^1 *a-cu* SSW, *cu-nb, st-cu* S	8^1 *a-cu* SSW, *cu-nb, st-cu* S	9	9	8.1
9^1 *cu, cu-nb* WSW	4^1 *cu-nb, fr-cu* WSW	3^1 *cu, fr-cu* WSW [*cu* S	3^1 *cu, fr-cu* WSW	3^0 *fr-cu* WSW	2	2	6.8
6^1 *ci, cu* SW	9^2 *cu* SW	7^2 *ci* W, *ci-cu, a-cu, cu* SW	3^0 *ci, ci-st* W	3^0 *st-cu* SW	8	9	4.6
9^1 *nb, cu-nb* SW	8^1 *ci, cu* SW	4^1 *cu* SW	3^0 *ci, ci-cu* SW	7^0 *ci* SW	3	2	7.2
6^1 *ci, a-cu* SW, *nb* SW	5^0 *ci* SW **2.8**, *cu*	7^0 *ci* SW **2.5**	7^0 *ci, a-cu* SW	8^0 *a-cu* SW	9	10	7.1
8^2 *ci, ci-st* SW, *cu* S	7^1 *ci, ci-st* WSW, *cu* S	10^1 *a-cu* WSW	10^1 *cu, fr-cu* SE	10^2	10	10	7.1
10^2 *nb* W	9^1 *st-cu* W	9^0 *cu, fr-cu* W	2^0 *a-cu, a-st* SW	4^0 *a-cu* SSW	4	6	8.5
3^0 *cu, fr-cu* WSW	4^0 *cu* NNE	8^1 *cu, st-cu* NNE	9^1 *cu, st-cu* NNE	10^1 *st-cu* NNE	10	10	6.5
10^1 *nb* ENE	10^2 *nb* ENE	10^2 *nb* ENE	10^2 *nb* ENE	10^2 *nb* ENE	10	10	10.0
10^2 *cu-nb, nb, st* N	10^2 *nb* N	10^2 *nb* N	10^2 *nb* N	10^2 *nb* N	10	10	10.0
10^2 *cu-nb, nb, st* N	10^2 *cu, cu-nb* N	10^1 *cu, st-cu* N	7^0 *cu, fr-cu, st-cu* E	10^1 *st-cu, nb* NE	10	10	9.8
7^1 *cu, st-cu, fr-cu* W	9^1 *st-cu* WSW	9^1 *ci, ci-st* SW, *st-cu* WSW	10^1 *st-cu, st* W	10^1 *st-cu* W	10	10	9.5
7^1 *cu, st-cu, fr-cu* W	8^1 *cu, st-cu* W	8^1 *cu, st-cu, fr-cu* W	10^1 *st-cu, nb* W	10^1 *st-cu, nb* W	10	10	9.2
10^2 *st-cu* WSW	10^2 *nb* W	9^1 *fr-nb* W	9^1 *fr-nb* WNW	8^1 *st-cu, fr-nb* W	10	10	9.6
10^2 *nb* SW	10^2 *nb* WSW	10^2 *nb* WSW	9^1 *nb, fr-nb* W	9^1 *nb, fr-nb* W	4	10	8.8
8^1 *a-cu, cu, nb* W	9^1 *cu, nb* WNW	8^1 *cu, st-cu, nb* WNW	7^1 *st-cu, nb* WNW	9^1 *st-cu* WNW	10	8	8.4
10^1 *st-cu* WNW	10^1 *st-cu* WNW	10^2 *st-cu* WNW	10^2 *st-cu* WNW	10^2 *st-cu* WNW	10	10	9.6
4^2 *cu* WNW	5^1 *cu, fr-cu* W	1^0	1^0 *st*	0	0	0	5.8
10^2 *nb* W	10^2 *st-cu* W	9^1 *cu, fr-cu, st-cu* W	8^1 *st-cu* WNW	9^2 *st-cu* NW	4	7	6.0
10^2 *st-cu, nb* W	10^2 *st-cu* W	8^1 *st-cu, fr-cu* W	10^2 *st-cu* WNW	10^2 *st-cu* W	10	10	9.0
5^1 *cu, fr-cu* NW	7^1 *cu, st-cu* W	8^1 *cu, fr-cu* NW	1^0	0	0	0	4.8
1^0	7^0 *fr-cu, fr-st* SW	7^0 *fr-st* SW	5^0 *fr-st* SE	5^0	8	2	2.4
9^1 *st-cu* WNW	10^1 *st-cu* W	9^1 *st-cu* W	9^1 *st-cu* W	9^1 *st-cu* W	10	9	7.5
10^1 *st-cu* NE	10^2 *nb* E	10^2 *nb* E	10^1 *st-cu, nb* ESE	10^2 *st-cu* E	10	10	9.6
8^1 *cu, fr-cu, st-cu fr-st*	9^1 *cu* W	9^1 *a-cu* SW, *st-cu, nb* W	8^1 *a-cu, st-cu* WSW	8^1	6	8	9.0
2^1 *cu* WNW [WSW	3^1 *cu* W	1^1	2^0 *ci* NW	1^0	2	2	3.5
3^1 *cu* S	2^1 *cu* S	3^1 *cu* S	1^0	1^0	2	4	1.8
3^1 *cu* SSW	2^1 *cu* S	1^1 *cu* S	3^1 *ci* SSW, *cu, cu-nb* SSE	1^1	4	7	3.6
8^1 *st-cu* WSW, *fr-nb* W	9^2 *cu-nb* WSW, *st-cu* W	6^1 *fr-nb* W	6^1 *a-cu, cu, st-cu* W	1^1	4	3	7.9
7.4	7.6	7.2	6.5	6.6	6.7	7.1	7.1

Zeitangaben nach mittlerer Ortszeit

Bewölkung, Zugrichtung und

Die halbfett gesetzten Ziffern bedeuten die auf
Die Tagesmittel sind aus den Beobachtungen

Datum	2ᵃ	4ᵃ	6ᵃ	7ᵃ	8ᵃ	10ᵃ	Mittag
							Juli
1	10	4	9^1 *a-cu* WSW	9^1 *a-cu* SW	8^1 *a-cu* SW	7^2 *cu, cu-nb* SW	7^2 *cu, cu-nb* SW
2	4	5	9^1 *a-cu* WNW	7^1 *a-cu, a-st* WNW	9^1 *a-cu* W	9^2 *a-cu* W, *st-cu, cu-nb* SW	7^2 *a-cu* SW **2.2**
3	9	10	10^2	10^2	10^2	10^2 *st-cu* NW	7^2 *a-cu* NW
4	2	2	10^2	10^2 *st, st-cu* NE	10^2	10^2 *st-cu* NE	10^2 *st-cu* NE
5	4	3	0	0	0	3^1 *cu* NE	4^1 *cu* NE
6	0	0	0	3^0	3^0	1^1 *cu* SE	7^0 *cu, fr-cu* SE
7	0	0	0	0	0	0	1^0 *cu* SE
8	3	7	4^1	2^0 *a-cu* SE	2^1	7^1 *a-cu* SSW, *cu* SE	3^2
9	2	8	10^2	10^1 *st-cu* W	9^1 *st-cu* WNW	9^1 *st-cu* NW	7^1 *cu* NW
10	10	4	1^0	0	0	2^1 *cu* N	3^2 *cu* SSW
11	3	3	0	0	0	0	2^0 *cu* SW
12	0	2	0	0	0	0	1^0 *cu* SE
13	0	0	0	0	0	1^0 *cu* ESE	5^1 *cu* E
14	2	0	0	0	0	1^1 *cu* NE	1^1 *cu* NE
15	0	0	0	0	0	0	0
16	0	0	0	0	0	0	1^1 *cu* E
17	4	1	1^1	2^1 *a-cu* NE	4^1 *cu, fr-cu* ENE	1^1	5^1 *cu* SE
18	0	4	7^0 *ci, a-cu* ESE	5^0	4^0	2^0 *ci, ci-cu* SW	5^1 *ci* SW, *cu* S
19	7	10	9^1 *a-cu* S	9^1 *a-cu* S	3^1 *a-cu, a-st* S	3^0 *ci* SW	5^1 *ci* SW, *cu* SE
20	10	10	10^2	10^2	10^2	10^2	10^2
21	10	10	10^1	10^1	4^0	6^1 *cu, fr-cu, st-cu* NE	3^0 *cu, fr-cu* NNE
22	3	3	4^0	3^0 *cu, fr-cu* NNE	1^0 *cu, fr-cu* NE	3^0 *fr-cu* NE	7^0 *cu* NE
23	7	7	8^1	9^1 *st-cu, fr-cu* N	9^1 *cu, st-cu* NE	9^1 *cu, fr-cu, st-cu* ENE	5^1 *cu, fr-cu* ENE
24	2	5	4^0	0	0	1^1	1^1
25	3	3	2^1	1^0	1^0	4^1 *cu* SE	4^1 *cu* E
26	9	5	8^1	3^1 *ci* SSE, *cu, fr-cu* E	3^1 *cu, fr-cu* E	2^0 *fr-cu* E	2^1 *cu, fr-cu* E
27	6	8	10^1	10^2	10^1	10^1 *cu, st-cu fr-st* SW	9^1 *st-cu* W, *cu, fr-cu* SW
28	2	0	0	0	0	1^0	7^0 *ci* WSW
29	10	10	10^1 *nb* W	10^2 *nb, fr-nb* W	10^2 *nb* W	10^2 *nb* SW	10^1 *st-cu* SW
30	10	6	3^0 *fr-cu* WSW	8^0 *ci* S	5^0 *ci-st* S	1^1 *cu* WSW	3^1 *cu* W
31	10	8	4^0 *a-cu* W	4^0 *ci* W	7^1 *fr-cu* W	3^1 *cu* W	7^1 *cu* WSW
Mittel	4.6	4.5	4.6	4.4	3.9	4.1	4.8
							August
1	10	10	10^2	5^0 *ci* WSW, *a-cu* SW	9^1 *a-cu, st-cu* SW	10^1 *st-cu* SSW	10^1 *nb* SW
2	10	10	10^2 *nb* SSW	10^2 *nb* SSW	10^2	10^2 *nb* E	10^2 *nb* E
3	10	10	10^2 *st-cu* NNW	10^2 *st-cu* NW	10^2 *st-cu* NW	9^1 *st-cu, cu* NW	7^1 *cu* NW
4	0	0	4^0	7^0 *ci* NE	8^1 *ci-cu, a-cu* NE, *fr-cu*	9^1 *a-st* SW, *cu, fr-cu* WSW	8^1 *cu, fr-cu* E
5	6	5	6^0	8^0 *ci* S	8^0 *ci, a-cu* SSE [NNE	9^0 *ci, a-cu* SSW	9^0 *cu, fr-cu* NE
6	10	9	9^0	2^0	4^0 *a-cu* W, *cu, fr-cu* SW	7^1 *cu, fr-cu* NNW	6^1 *cu, fr-cu* NW
7	8	4	1^0	0	6^0 *ci, ci-st* SW	9^1 *st-cu* SSW	9^1 *st-cu, cu* SSW
8	10	10	10^2 *nb* W	10^2 *nb, fr-nb* W	10^2 *nb, fr-nb* W	10^2 *nb* W	10^2 *nb* W
9	9	10	10^0	9^0 *ci-st* SSW	9^1 *ci-st* SW	10^2 *st-cu* W	9^2 *st-cu* W
10	4	3	3^0	0	0	1^0 *cu, fr-cu* W	3^0 *cu, fr-cu* W
11	3	1	10^1	9^1 *a-cu* W	9^1 *a-cu* W	8^1 *cu* W	8^1 *cu* W
12	10	10	10^1 *fr-cu* W	9^1 *cu, fr-cu* W	9^1 *cu, fr-cu* W	9^1 *cu, st-cu* W	9^1 *cu, st-cu* WNW
13	3	5	7^1 *a-cu* W	7^1 *a-cu* W	9^1 *a-cu* WSW	10^1	10^1
14	10	10	10^1 *st-cu* W	9^1 *a-cu* SW, *st-cu* W	9^1 *cu* W	9^2 *cu, cu-nb* W	10^2 *cu, cu-nb* W
15	6	10	10^2 *st-cu* SW	10^2 *st-cu* SW	10^1 *st-cu* SW	10^1 *st-cu* SW	7^2 *cu, cu-nb* SW
16	10	10	10^1 *st-cu* SW	10^2 *st-cu, nb* W	10^2	10^1 *st-cu* W	10^2 *st-cu, nb* W
17	10	10	9^1 *a-cu* NW	10^2 *st-cu* W	10^2 *st, st-cu* W	10^1 *st, st-cu* WNW	10^1 *st, st-cu* W [**4.8**
18	10	10	10^2 *nb* W	10^2	10^2	10^1 *st-cu* W	7^1 *a-cu* **1.9**, *cu, st-cu* W
19	10	6	10^1 *st-cu* W	10^1 *st-cu* SW	10^1 *st-cu, nb* SSW	7^0 *ci* WSW, *a-cu* SW	3^1 *cu* SSW
20	9	10	10^1 *st-cu* SW	10^1 *st-cu, nb* SW	10^2 *nb* SSW	10^1 *st-cu* SSW	10^2 *st-cu* SSW, *fr-nb* SW
21	10	10	10^1 *a-cu, a-st, st-cu* SW	10^1 *st-cu* SW	8^1 *ci* S	9^1 *a-cu, cu, st-cu* SW	10^2 *cu, cu-nb* W
22	2	10	10^1	10^2 *st-cu* W	10^1 *st-cu* W	10^2 *st-cu* WSW	10^2 *st-cu* WSW
23	10	10	10^1 *st-cu, fr-nb* W	8^1 *a-cu* NW, *fr-nb* W	6^1 *fr-cu* W	7^2 *cu, fr-cu* WNW	8^2 *cu, cu-nb* W
24	10	10	10^2 *nb* SSE	10^2 *nb* SE	10^2	10^2 *nb* N	10^2 *nb* N
25	10	10	10^2 *nb* WSW	10^2 *nb* W	10^2 *nb* W	10^2 *nb* W	10^1 *st-cu* W
26	10	10	10^0	9^0 *fr-st* SSE	7^0 *a-cu* W, *st* SE	10^1 *cu, fr-cu* WSW	10^2 *st-cu, fr-cu* WSW
27	10	8	10^0	10^1	9^1 *st, fr-st* SW	8^1 *cu, fr-cu, st-cu* SW	10^2 *st-cu* SW
28	10	10	10^1 *st-cu* W	9^1 *st-cu, fr-cu* W	9^1 *cu, st-cu, fr-cu* W	9^2 *cu, st-cu, fr-cu* WNW	9^2 *st-cu* W
29	7	10	6^0 *ci* WNW	7^0 *ci* NW	8^0 *ci* W	7^1 *ci-cu* WNW, *fr-cu* W	5^0 *ci* **1.9**, *a-cu* WNW
30	5	5	8^1 *fr-st* SSW	7^0 *ci, ci-st* S	7^1 *ci, ci-cu* WSW, *cu, fr-cu*	5^1 *ci-cu* SW, *cu, fr-cu* SSW	6^0 *ci, ci-st* SSW
31	10	10	10^2 *nb* W	10^2 *st-cu* WSW	10^2 *nb* WSW [W	9^2 *cu-nb, st-cu, fr-cu* SW	9^2 *st-cu, nb* W
Mittel	8.1	8.2	8.8	8.2	8.5	8.7	8.4

Zeitangaben nach mittlerer Ortszeit

relative Geschwindigkeit der Wolken

1000 m Höhe berechnete Geschwindigkeit in m p. s.
zu den geraden Stunden gebildet.

2p	4p	6p	8p	9p	10p	Mn.	Tagesmittel
1912							
10^2	9^2	10^1 *st-cu* W	5^1	0	5	8	7.3
8^2 *a-cu* SW	8^2 *a-cu* SW	10^2 *st-cu, nb, st* SW	10^2	10^1	7	10	8.0
9^2 *a-cu* NW, *st-cu, cu-nb* W	9^2 *a-cu* NW, *st-cu, cu-nb* W	7^1 *ci, a-cu* N	10^0	0	2	2	8.1
6^2 *cu, cu-nb* NE	5^1 *cu* NE	1^1	2^1	0	0	6	5.1
5^1 *cu* NE	4^1 *cu* NE	1^1 *cu* NE	4^0 *fr-cu* NE	5	6	0	3.1
1^1 *cu, fr-cu* SE	1^0	1^0	1^0	0	0	0	1.2
2^0 *cu* SE	3^1 *cu* SE	3^1 *cu* SE	8^1 *st-cu, cu-nb* SE	9^2 *st-cu, cu-nb* SE	7	3	2.1
3^2 *cu* SW	9^2	9^2 *cu-nb* SW, *fr-nb* WNW	9^1 *st-cu, fr-nb* WSW	9^1 *st-cu* WSW	7	3	5.3
3^1 *cu* NW	2^0 *fr-cu* NW	1^0	1^0	1^1	8	10	5.6
6^1 *a-cu* S, *cu* SW	4^1 *cu* SW	7^0 *ci, ci-st* W	7^1 *st-cu* W	9^1 *st-cu* W	4	4	4.8
3^1 *cu* W	1^1 *cu* W	3^0 *a-cu* WSW	2^0	1^0	0	0	1.6
2^0 *ci* NW, *cu* SE	2^0 *cu* E	3^0 *ci* NNW **1.6**, *cu* SE	2^0 *ci* N, *cu* SE	1^0	0	0	0.9
6^1 *cu* E	2^1	0	1^1	0	2	0	1.3
2^1 *cu* NE	2^1 *cu* NE	1^1 *cu* NE	1^0	0	0	0	0.8
0	0	0	1^0	0	0	0	0.1
1^1 *cu, fr-cu* E	2^1 *cu* E	1^1	0	0	0	0	0.4
7^1 *cu* SE	2^1 *cu* SE	2^1 *cu* ESE	3^1	1^1	2	0	2.5
5^1 *ci, ci-st* SSW, *cu* S	2^1	10^0	10^0	1	2	3	4.2
4^1 *cu* ESE	5^1 *cu* SE	8^1 *cu* SE	10^2	10	10	10	6.7
10^2	10^1	10^1	10^2	10	10	10	10.0
3^0 *cu, fr-cu* ENE	4^0 *cu, fr-cu* NE	1^0	0	0	0	0	4.7
8^1 *cu, st-cu* NE	4^1 *cu, fr-cu* NE	9^1 *cu, fr-cu, st-cu* NE	1^0	0	2	3	3.7
9^1 *cu, st-cu, fr-cu* E	9^1 *cu, st-cu* NE	8^1 *st-cu, fr-cu* NE	9^1 *cu, st-cu, fr-cu* NE	9^1 *st-cu* NE	9	7	7.6
0	1^1	2^1 *cu, fr-cu* S	1^1	0	2	4	2.3
7^1 *cu, fr-cu* E	9^2 *cu-nb* NE	8^1 *cu, st-cu, fr-cu* E	6^2 *st-cu, fr-cu* E	6^2 *st-cu* E	8	9	5.2
2^1 *a-cu, fr-cu* E	9^2 *cu, cu-nb, fr-cu* NE	7^1	6^0	0	3	4	5.3
10^1 *cu, st-cu* WSW	10^1 *cu* WSW	9^1	6^0	1^0	4	4	7.7
5^0 *ci, cu* SW	4^0 *cu* WSW	8^1 *cu, cu-nb* WSW	7^1 *ci, a-cu, cu, cu-nb* SW	10^2	10	10	4.5
9^1 *ci, ci-st* SW, *st-cu* SSW	6^1 *cu* WSW	3^1 *cu* WSW	3^2 *cu-nb* WSW	6^2	7	4	7.8
9^1 *cu* W	9^1 *a-cu, cu, st-cu* SW	5^0 *a-cu, cu* SW	5^0 *a-cu* SW	7^1	10	9	6.1
8^1 *a-cu, cu* WSW	5^1 *ci* W, *cu* SW	3^1 *cu* SW	4^0 *ci, ci-cu* W	2^0	8	6	6.3
5.3	4.9	4.9	4.7	3.5	4.4	4.2	4.5
1912							
10^2 *nb* SSW	10^2 *nb, fr-nb* SSW	10^1 *nb* SSW	9^1 *a-cu, st-cu* SW	10^1 *st-cu* SW	10	10	9.5
10^2 *nb* SE	10^2 *nb* N	9^1 *fr-nb* N	10^2 *cu-nb, nb* N	10^2 *nb* N	10	10	9.9
8^1 *st-cu, cu* NW	3^1 *cu, fr-cu* NW	1^0	1^0	0	0	0	6.1
7^0 *cu, fr-cu* E	7^0 *cu, fr-cu* ENE	6^0 *fr-cu* E	6^0	2^0	2	2	4.5
10^2 *st-cu* W	10^2 *st-cu* W	10^2 *st-cu* W	10^2 *st-cu* NW	10^2	10	10	8.1
4^1 *cu* SSW	5^1 *cu* SW	7^0 *ci* SSE	6^0	7^1	6	3	6.6
10^1 *st-cu, cu* SSW	10^2	10^2 *nb* S	10^2 *nb* ESE	10^2	10	10	7.7
10^2 *nb* W	10^2 *nb* W	10^2 *st-cu, cu-nb* W	10^2 *nb* WNW	10^2 *nb* WNW	10	10	10.0
7^0 *ci* WNW, *cu, fr-cu* W	10^2 *st-cu* W	9^2 *st-cu, cu-nb* WNW	10^0	2^0	4	4	8.5
7^1 *cu, fr-cu* W	10^2 *st-cu, nb* W	10^2	7^0	0	0	2	4.2
5^1 *cu* W	7^1	8^1 *cu* W	10^0	0	3	9	6.4
10^1 *cu, st-cu* NW	10^2	9^1	10^1	6	2	7	8.8
10^2 *st-cu, nb* S	10^2	10^2 *st-cu, nb* SW	10^2 *st-cu, nb* SW	10	6	7	8.0
8^2 *ci* S, *cu, cu-nb* W	8^1	4^1 *ci, a-cu* S	6^1 *st-cu, nb* SW	7	4	4	7.6
9^2 *cu-nb, nb* SW	4^1	10^2 *st-cu, nb* W	10	10	10	10	8.5
10^2 *st-cu, nb* W	10^2 *st-cu, nb* W	10^2 *st-cu, nb* W	10	10	10	10	10.0
10^2 *st, st-cu, nb* W	10^1 *st-cu* WNW	9^1 *st-cu, fr-st* WNW	10^1 *st-cu, nb* WNW	10^2	10	10	9.8
4^1 *ci* W, *cu* SSW	2^0 *fr-cu* SW	7^0 *ci, ci-st* W	8^0	7^0	3	8	7.6
8^1 *ci, a-cu* WSW, *cu* SW	9^1 *cu, st-cu* SSW	4^0 *ci* WSW	8^1 *a-cu* WSW	7^1	10	10	7.9
10^2 *nb* SSW	7^1 *ci* SW	3^0	8^0 *a-cu* SW	10^1	10	10	9.0
9^2 *cu, nb* W [WSW	6^2 *a-cu, cu, cu-nb* W	4^1 *a-cu, cu-nb, fr-cu* W	1^0	1^1	2	2	7.0
8^2 *ci, a-cu* SW, *cu-nb, st-cu*	9^1 *cu-nb, st-cu* WSW	10^2 *cu-nb, st-cu, fr-nb* W	10^2 *nb* W	10^2	10	9	8.5
8^2 *a-cu, cu-nb, st-cu* W	4^1	10^2 *cu-nb, st-cu* WSW	9^1 *st-cu* WSW	8^1	10	10	8.5
10^2 *nb* NNW	10^2 *st-cu, nb* NW	10^1 *st-cu* NW	9^1 *st-cu* NW	10^1	10	10	9.9
9^1 *a-cu, st-cu* W	10^1 *st-cu* W	10^1 *st-cu* W	9^1 *st-cu* W	9^1 *st-cu* W	8	10	9.7
10^2 *nb* SSW	10^2 *nb* SW	10^2 *nb* SSW	7^2 *st-cu* W	10^2 *cu-nb* W	10	9	9.5
10^2 *st-cu* SSW	10^2 *st-cu* SW	10^2 *st-cu* SW	10^2 *st-cu* SSW	10^2	10	10	9.5
10^2 *st-cu* W	8^1 *cu, fr-cu* W	9^1 *fr-cu* W	6^1 *cu, fr-cu* W	7^1	4	2	8.2
5^0 *fr-cu* S	7^0 *ci* WSW	7^0 *ci, ci-st* W	3^0	8^1	7	3	5.9
9^1 *st-cu, cu, fr-cu* SW	7^1 *fr-cu* SW	9^2 *st-cu, cu, fr-cu* SSW	9^2 *st-cu, cu-nb* SW	10^2	10	10	7.2
9^2 *st-cu, fr-cu* W	10^2 *a-cu* S, *st-cu, nb* NW	9^2	3	5	2	0	7.8
8.5	8.2	8.2	7.9	7.3	6.9	7.1	8.1

Zeitangaben nach mittlerer Ortszeit

Bewölkung, Zugrichtung und

Die halbfett gesetzten Ziffern bedeuten die auf
Die Tagesmittel sind aus den Beobachtungen

Datum	2ᵃ	4ᵃ	6ᵃ	7ᵃ	8ᵃ	10ᵃ	Mittag
				September			
1	0	0	1^{1}	1^{1}	1^{1}	8^{1} *cu* WNW	7^{1} *cu* SW
2	9	8	9^{1} *st-cu* SW	8^{1} *a-cu* WSW, *st-cu* SW	5^{1} *a-cu* W	10^{1}	9^{1} *a-cu* SSW
3	6	10	10^{1} *st*, *st-cu* ENE	10^{1}	9^{1}	7^{1} *a-cu* N	7^{1} *cu* N
4	0	0	0	3^{0} *ci* N	1^{0} *ci* N	7^{1} *ci*, *ci-st* N **2.4**, *cu*, *fr-cu*	9^{1} *cu*, *fr-cu* W
5	10	6	1^{1}	9^{1} *a-cu* WNW, *st-cu* W	2^{1} *st-cu* W	10^{1} *cu*, *st-cu* W [WSW	2^{0} *cu*, *fr-cu* W
6	4	2	10^{1} *st-cu* W	9^{1} *st-cu* W	10^{1} *st-cu* W	10^{1} *st-cu* W	10^{1} *st-cu* W
7	10	10	10^{1} *st* W	10^{1} *st*, *st-cu* W	10^{1} *st* W	10^{1} *st-cu* W	10^{2}
8	9	8	1^{0}	3^{1} *fr-cu* WNW	7^{1} *fr-cu* WNW	7^{2} *cu*, *fr-cu* WNW	9^{1} *cu* WNW
9	2	10	10^{1} *st-cu*, *nb*, *fr-nb* W	10^{1} *st-cu*, *nb*, *fr-nb* W	10^{2} *nb* W	9^{2} *st-cu* W	8^{2} *cu-nb* W
10	10	10	10^{2} *nb* W	10^{2} *nb* W	10^{2} *nb* W	10^{2} *nb* W	10^{2} *nb* W
11	10	10	10^{1} *st-cu* SW	9^{1} *st-cu*, *fr-nb* SW	2^{0}	7^{2} *a-cu*, *a-st* SW, *cu* SSW	7^{2} *cu* SSW
12	0	0	2^{0}	0	0	0	4^{1} *cu* N
13	0	0	0	1^{0}	1^{0}	1^{1} *cu* N	4^{1} *cu* N
14	0	6	10^{1} *a-cu* NW	10^{1} *fr-nb* WNW	10^{2} *fr-nb* WNW	9^{1} *st-cu* NW, *fr-cu* WNW	10^{2} *st-cu* W
15	10	10	10^{2} *nb* W	10^{2} *nb* W	10^{2} *nb* W	10^{2} *nb* WNW	9^{2} *nb* NW
16	10	10	8^{1} *st-cu*, *fr-st* WNW	10^{2} *fr-nb* NW	8^{1} *fr-st* NNW	9^{2} *st-cu*, *fr-cu* NNW	6^{1} *cu*, *fr-cu* NW
17	10	10	10^{2} *nb* WNW	10^{2} *nb* WNW	10^{2} *nb* NW	9^{2} *st-cu*, *fr-cu* NW	9^{2} *cu*, *st-cu* NW
18	10	10	10^{2} *st-cu* WNW	9^{2} *st-cu* WNW	10^{2} *st-cu* WNW	10^{2} *cu*, *st-cu* NW	10^{2} *st-cu* NW
19	9	8	3^{0} *a-cu* W	1^{0} *ci* NW	1^{0}	1^{1} *ci* NW, *cu*, *fr-cu* N	8^{2} *ci*, *a-cu* NW, *cu*, *fr-cu* N
20	0	0	1^{0}	0	1^{1}	2^{1} *a-cu*, *cu*, *fr-cu* ENE	4^{1} *cu*, *fr-cu* NNE
21	7	10	1	1^{1}	1^{1}	4^{2} *cu*, *fr-cu* E	7^{2} *cu*, *fr-cu* ENE
22	10	7	10^{1} *st-cu* NE	10^{1} *st-cu* NE	9^{1} *st-cu*, *st* NE	10^{1} *cu*, *st-cu* E	10^{2} *st-cu* E
23	10	10	2^{0} *a-cu* N	4^{0}	9^{0}	10^{1}	9^{1} *a-cu* NNE, *cu*, *st-cu* N
24	2	0	2^{1}	4^{1}	8^{1} *a-cu* NE	10^{1} *cu* NE	10^{1} *cu*, *st-cu* NE
25	10	10	10^{2}	10^{2} *st* N	10^{2}	9^{2} *cu*, *st-cu* E	9^{2} *cu* E
26	10	10	10^{1} *st-cu* NE	10^{1}	9^{1} *a-cu* ENE	9^{1} *a-cu* ENE	9^{1} *a-cu* ENE
27	10	10	10^{2}	10^{2}	10^{2}	9^{1}	8^{2} *cu*, *st-cu* NE
28	0	0	0	0	0	0	6^{2} *cu*, *fr-cu* ESE
29	0	0	3^{0}	1^{0}	0	1^{0}	0
30	4	4	6^{0}	0	1^{0}	0	0
Mittel	6.1	6.3	6.0	6.1	5.8	6.9	7.3
				Oktober			
1	10	10	10	10^{2}	10^{2}	9^{1} *a-cu*, *st-cu* SSW	10^{2} *nb*, *fr-nb* SW
2	10	10	10	10^{1} *st-cu*, *fr-nb* W	10^{1} *st-cu*, *fr-nb* W	10^{1} *st-cu* W	10^{1} *st-cu* W
3	2	10	10	9^{1} *fr-nb* NW	4^{1} *fr-nb* NW	3^{1} *ci* SW, *cu*, *fr-cu* NW	7^{1} *ci* SW, *cu* NW
4	0	0	1	0	0	0	2^{1} *cu* N
5	4	0	0	1^{0}	4^{0} *ci* NW, *a-cu* W	10^{0}	9^{0}
6	0	0	0	0	0	0	0
7	0	0	0	0	0	0	0
8	0	0	0	0	0	0	1^{1}
9	8	10	10	10	10	10	7^{0} *fr-st* NW
10	0	0	3	1^{1}	3^{1} *st-cu* E	10^{1} *st-cu* E	10^{1} *st-cu* E
11	10	10	10	10^{1}	10^{1} *st-cu* E	8^{1} *ci-cu*, *a-cu* N, *cu*, *st-cu* [SE	9^{1} *cu*, *st-cu* SE
12	0	0	0	0	0	0	0
13	5	10	4	10^{2} *st-cu* NNW	9^{1} *a-cu* NW	7^{0} *a-cu* NW	8^{0} *a-cu* WNW
14	8	2	6	0	0	0	1^{0}
15	10	10	10	9^{2} *nb* NW	1^{1}	4^{1} *fr-cu* NW	8^{1} *ci*, *cu*, *fr-cu* NW
16	3	10	10	9^{1} *a-cu* NW	9^{1} *a-cu* NW	9^{0} *ci*, *ci-st* NW	9^{1}
17	0	0	0	1^{0} *a-cu* W	7^{0} *a-cu* W	8^{0} *a-cu* W	10^{1} *a-cu* W
18	0	2	7	7^{0} *a-cu* WNW	8^{1} *a-cu* WNW, *fr-nb* W	7^{1} *fr-cu* W	8^{1} *a-cu*, *cu-nb*, *fr-cu* W
19	0	6	9	10^{1} *st-cu* N, *fr-nb* WNW	10^{1} *st-cu* W	10^{2} *st-cu* WNW	10^{2} *nb*, *fr-nb* SW
20	2	8	3	7^{1} *a-cu*, *st-cu* W	8^{1} *a-cu*, *fr-nb* W	10^{1} *st-cu* W	9^{1} *st-cu* W
21	2	0	2	7^{0}	5^{0}	7^{0} *ci*, *ci-st* SW	8^{0} *ci*, *ci-st* SW
22	7	4	4	9^{0}	10^{0}	9^{0}	9^{1} *a-cu* E
23	10	10	10	10^{2}	10^{2} *nb*, *fr-nb* SE	10^{2} *nb* SE	10^{2} *nb* ESE
24	10	10	10	10^{1}	10^{1}	10^{1}	10^{1} *st-cu* SE
25	10	10	10	10^{1}	10^{1}	10^{2}	10^{2}
26	10	10	10	10^{2}	10^{2}	10^{2}	10^{2}
27	10	10	10	10^{2}	10^{2}	10^{2}	10^{2}
28	9	6	3	3^{0} *a-cu* W	8^{0} *ci*, *a-cu* NNW	10^{0}	9^{0} *ci-st* NW
29	8	10	10	9^{1} *a-cu* WSW	9^{1} *st-cu* W	9^{1} *a-cu* WSW	9^{1} *st-cu* WSW
30	10	10	10	10^{2} *st-cu*, *st* SW	10^{2}	10^{2} *st-cu*, *st* SSW	10^{2}
31	7	9	10	10^{1} *st-cu* WSW	10^{1} *st-cu* SW	9^{1} *st-cu* SW	9^{1} *st-cu* WSW
Mittel	5.3	6.0	6.2	6.5	6.6	7.1	7.5

Zeitangaben nach mittlerer Ortszeit

relative Geschwindigkeit der Wolken

1000 m Höhe berechnete Geschwindigkeit in m p. s.
zu den geraden Stunden gebildet.

2p	4p	6p	8p	9p	10p	Mn.	Tages-mittel
1912							
5^1 *cu* SW	7^1 *cu* SW	1^1	6	6	2	2	3.1
9^1 *a-cu* SSW, *st-cu*, *cu* W	8^1 *cu*, *st-cu* SE	10^1	10	9	8	10	8.2
10^2	7^1 *cu*, *st-cu* N	6^1	10	10	8	2	7.8
10^2 *fr-cu*, *st* SW	10^2	10^2	10	10	10	10	6.1
10^2 *st-cu*, *cu-nb* W	10^1 *st-cu* W	5^1 *st-cu* W	7	10	2	2	5.9
10^1 *st-cu* W	9^1 *cu*, *st-cu* W	10^1 *st-cu* W	5	1	10	10	7.8
7^2	9^1 *cu-nb*, *nb* WNW	8^1 *nb*, *fr-nb* WNW	8^1	7^1 *fr-nb* WNW	2	9	8.7
6^1 *cu*, *cu-nb* WNW	8^1 *st-cu*, *cu-nb* WNW	8^1 *st-cu*, *cu-nb* W	10^1	1	10	6	7.6
8^2 *ci*, *cu-nb* W	9^1 *ci*, *ci-st*, *cu-nb*, *st-cu* W	9^2	9	10	9	10	8.4
9^2 *nb*, *fr-nb* W	9^1 *cu-nb*, *st-cu* WNW	10^2 *nb* WNW	10	10	4	7	9.2
9^2 *cu-nb*, *cu* SSW	9^2 *cu-nb*, *cu* SSW	9^2 *nb*, *st-cu* SSW	10	10	8	6	8.0
6^2 *a-cu* NNE, *cu-nb*, *cu* N	8^1 *cu-nb*, *st-cu* NE	7^2 *cu-nb*, *cu*, *st-cu* NE	2^1	4^1	0	0	2.7
9^1 *a-cu*, *cu*, *cu-nb* N	9^1 *a-cu* N	9^1 *a-cu* N	9^1	9^1	9	3	4.2
10^2 *st-cu* W	10^2 *nb* W	10^2 *nb* W	10^2 *nb* W	10^2	9	10	8.2
6^1 *st-cu*, *fr-cu*, *nb* NW	5^1 *a-cu* W, *st-cu*, *fr-cu* NW	7^1 *st-cu*, *fr-cu* NW	1	0	2	2	7.1
8^2 *st-cu*, *cu*, *fr-cu* WNW	8^2 *st-cu*, *cu*, *fr-cu* W	7^2 *st-cu*, *cu*, *fr-cu* W	0	10	10	10	7.4
9^2 *st-cu*, *fr-cu* NW	10^2 *st-cu* WNW	9^2 *a-cu* NNW, *st-cu*, *cu* WNW	9	10	10	10	9.6
10^2 *st-cu* WNW	10^2 *st-cu* WNW	8^2 *st-cu*, *fr-cu* NNW	9	10	10	3	9.2
4^2 *cu*, *fr-cu* NNW	4^2 *a-cu* NNW	1^1	1	0	5	7	4.2
7^2 *st-cu*, *cu*, *fr-cu* NE	9^2 *cu*, *st-cu* NE	10^2 *cu*, *st-cu* NE	0	0	0	0	3.2
3^2 *cu*, *fr-cu* NE	10^1	10^1 *st-cu* NNE	10	10	10	10	6.4
10^2 *st-cu* NE	10^2 *st-cu*, *st* NE	7^1 *a-cu* ENE	3	9	10	10	8.9
10^1 *a-cu* NNE	10^2	10^2	10	10	10	10	9.2
10^2 *st-cu* NE	10^2 *st-cu* NE	10^2 *st-cu* NE	10	10	10	10	7.8
4^1 *cu*, *fr-cu* E	9^2 *nb* E	10^2 *st-cu*, *nb* NE	10	10 *st-cu* ENE	10	10	9.3
9^1 *a-cu* ENE	10^2 *cu-nb*, *nb* NE	5^1	7 *a-cu* NE	8 *a-cu* NE	9	10	9.0
9^2 *cu-nb*, *ma-cu* NE	10^2	10^2	9	10	10	10	9.6
7^2 *cu*, *ma-cu* E	9^2 *cu*, *ma-cu*, *nb* E	1	0	0	0	0	2.5
1^0	1^0	2^0	3	7	3	5	1.5
1^0	1^0 *ci* WNW	5^0	7^0	8^0	10	10	4.2
7.5	8.3	7.5	6.8	7.3	7.0	6.8	6.8
1912							
10^2 *nb*, *fr-nb* SW	9^1 *ci* W, *a-cu* WSW	6^1 *st-cu* WSW	10	1^0	2	10	8.9
10^2 *nb* W	10^2 *nb* W	9^1 *st-cu* W	3	0	2	10	8.8
8^1 *ci* SW, *cu*, *cu-nb* NW	7^1 *cu-nb*, *st-cu* NW	1^1	0	0	0	0	4.8
8^1 *cu* N	4^1 *cu* N	1^0	0	0	2	2	1.5
7^0	3^0	1	0	0	0	0	3.1
0	0	0	0	0	0	0	0.0
0	0	0	0	0	0	0	0.0
0	2^1 *st-cu* NE	10	0	8	8	6	2.1
5^0	2^1	1	0	0	0	0	5.3
10^1 *st-cu* ENE	10^1	10	10	10	10	10	6.6
9^1 *cu*, *st-cu* SE	5^1 *ci* NNW **2.1**	9	0	0	0	0	6.9
1^0	0	2^0 *ci*, *ci-st* W	1^0	0	0	2	0.5
6^0 *a-cu* WNW	9^0 *a-cu* WNW **5.1**	6^0	2^0	0	2	10	6.2
1^0 *ci* N	9^0 *ci* NNW **3.8**	10^1	10	10	10	10	5.9
9^1 *ci*, *ci-st*, *cu*, *fr-cu* NW	9^1 *a-cu*, *fr-cu* NW	2^0	0	0	0	9	6.3
10^1 *a-cu* NNW, *fr-cu* SW	10^1 *a-cu* NW	9^1	3	10	7	3	7.8
10^2 *nb* WSW	9^1 *st-cu* SW	10	10	10	0	3	5.4
8^1 *a-cu*, *cu-nb*, *cu* W	8^1 *a-cu*, *cu*, *fr-cu* WNW	1^1	2^1	7^1	9	2	5.0
10^2	10^1	9^1 *st-cu* SW	8^1 *a-cu* W	8^1	3	6	7.2
8^1 *cu*, *fr-cu* W	10^2 *nb* W	10^1	10	10	10	10	8.0
6^0 *ci* SE, *cu* SSE	1^0	10	10	10	10	10	6.2
10^0 *ci* SW	10^0	10^0	10	9^0	3	10	8.2
10^2 *nb* SE	10^2	10	10	10 *a-cu* SE	10	10	10.0
10^1	10^1 *st-cu* ESE	10^1	10	10	10	10	10.0
10^2 *st* E	10^2	10	10	10	10	10	10.0
10^2	10^2	10	10	10	10	10	10.0
10^2	10^2	10	10	10 *st-cu* W	10	10	10.0
7^0 *a*, *ci-st* W	9^1	5	9	9^0	10	10	8.1
10^1 *st-cu* SW	10^1 *st-cu* SW	10	10	9 *st-cu* WSW	10	10	9.6
10^1 *st-cu*, *st* WSW [WSW	10^1 *st-cu*, *st* WSW	10	10	10	10	10	10.0
9^1 *a-cu*, *a-st*, *st-cu*, *cu-nb*	8^1 *st-cu* W	7	10	10	10	10	9.1
7.5	7.2	6.7	5.7	5.8	5.4	6.5	6.5

Zeitangaben nach mittlerer Ortszeit

Bewölkung, Zugrichtung und

Die halbfett gesetzten Ziffern bedeuten die auf
Die Tagesmittel sind aus den Beobachtungen

Datum	2ª	4ª	6ª	7ª	8ª	10ª	Mittag
							November
1	10	10	2	0	1^{1}	1^{1}	4^{1} *cu* NW
2	10	10	10	10^{2} *st-cu* W	10^{2}	10^{1} *st-cu* W	5^{1} *cu* WNW
3	10	10	10	9^{2} *st-cu, fr-nb* WNW	9^{1} *st-cu, fr-nb* WNW	4^{1} *fr-cu* WNW	5^{1} *fr-cu* WNW
4	0	0	0	3^{1} *fr-cu* NW	6^{1} *st-cu* NW	10^{1} *fr-cu* WNW	10^{2} *st-cu* W
5	10	10	10	10^{2} *nb* SW	10^{2} *nb* SW	10^{2} *nb* W, *fr-nb* SW	10^{2} *fr-nb* SW
6	10	2	8	9^{1} *st-cu, fr-nb* N	7^{1} *st-cu* N	3^{1} *fr-cu* NNE	4^{1} *cu, fr-cu* NNE
7	0	8	8	9^{0} *a-cu* NNE	8^{0} *a-cu* NNE	9^{0} *a-cu* NNE **4.6**	10^{2}
8	9	10	10	10^{2}	10^{2}	10^{2}	10^{2} *nb, fr-nb* SW
9	10	10	10	10^{2} *st-cu* WNW	10^{1} *st-cu* WNW	9^{2} *st-cu* WNW	9^{1} *st-cu* WNW
10	10	10	10	10^{1}	10^{1} *nb* SSW	10^{1} *nb* SSW	10^{2} *nb* SW
11	10	10	10	10 *nb* SW	10^{2} *nb* WSW	10^{2} *st-cu* W	10^{2} *st-cu* W
12	0	0	0	1	4^{0} *a-cu* SW	3^{0} *ci, ci-st* SSW	6^{0} *a-cu* SSW
13	10	10	10	10	10	10	10^{2} *st* WSW
14	0	0	6	4^{0} *a-cu* SW	3^{0}	2^{0} *a-cu* SW	7^{0} *a-cu* SW
15	10	10	10	10	10^{2}	10^{2} *st* WSW	10^{2} *st* SW
16	10	10	10	10	10	10^{1} *st-cu* WNW	10^{1} *st-cu* WNW
17	10	10	10	10	9^{1} *a-cu* W	10^{1} *a-cu* W	10^{1}
18	10	10	9	10 *a-cu* N	9^{1} *a-cu* NNW	9^{1} *a-cu* N	5^{1} *a-cu* N
19	0	0	0	1^{1}	3^{1} *a-cu* NNW	9^{1} *st-cu* NW	9^{1}
20	10	10	10	10 *st-cu* W	10^{2} *st-cu, st* W	10^{2} *st-cu* W	10^{2} *st-cu* W
21	10	10	10	10 *st-cu, st* W.	10^{2} *st-cu, st* W	10^{2}	9^{2} *st-cu, cu* NNW
22	4	10	10	10	10^{2}	10^{2}	9^{1} *st-cu* W
23	10	10	10	9^{1} *a-cu* N	9^{1} *a-cu* N	7^{1} *ci* **0.8**, *a-cu* NW	9^{1} *a-cu* W
24	0	0	0	1^{0}	3^{0} *ci, a-cu* W	8^{0} *a-cu* SW **1.2**	9^{0} *a-cu* SW
25	10	10	10	10^{2} *st-cu* W	10^{1} *st-cu* W	1^{0}	5^{1} *st-cu* W
26	10	10	10	10^{1} *st-cu* W	10^{1} *st-cu* W	10^{1} *st-cu* WSW	9^{1} *st-cu* WSW **6.2**, *fr-cu* [SW
27	10	10	10	8^{0}	9^{1} *st-cu* WSW	9^{1} *st-cu* WSW	10^{1} *st-cu* WSW
28	4	8	9	10	7^{1} *st-cu* SW	10^{2} *st-cu* WSW	10^{2} *st-cu* WSW
29	10	7	6	9^{0}	9^{0}	6^{0} *ci* S	1^{0}
30	10	10	10	10	10^{2} *st-cu* S	10^{2} *st-cu* S	8^{1} *a-cu* SW
Mittel	7.6	7.8	7.9	8.1	8.2	8.0	8.1
							Dezember
1	10	10	10	10	10^{1} *st-cu, fr-cu* SW	10^{2} *st-cu, st* SW	10^{2} *st* SW
2	2	0	0	7^{0}	7^{1} *a-cu* SW	6^{0} *st-cu, fr-cu* SW	10^{1} *st-cu, st* SW
3	2	2	10	1	1	5^{1} *a-cu* NW	10^{1} *st-cu, nb* NW
4	10	10	10	10	10^{2} *st-cu* NW	10^{2} *st-cu* WNW	6^{1} *a-cu, a-st* W
5	10	10	10	9	8^{0}	10^{0}	8^{0}
6	0	0	0	0	1^{0}	9^{0}	9^{0}
7	2	2	0	10	10	10	10^{1}
8	10	10	9	9^{1}	2^{0}	3^{0} *a-cu* NW	2^{0} *a-cu* NW
9	8	10	10	10	10^{1}	10^{1}	10^{2}
10	0	0	2	1^{0}	8^{0}	8^{0} *ci, ci-st* W	8^{0} *ci, ci-st* W
11	10	10	10	10	10^{2}	10^{2}	10^{2}
12	10	10	10	10	9^{1} *st-cu* WSW	10^{2} *st-cu* WSW	10^{2} *st-cu* WSW
13	0	10	9	6	3	0	1^{0}
14	10	10	10	10	10^{2}	10^{2} *nb* SW	10^{2} *nb* SW
15	10	10	10	10 *nb* W	10^{2} *nb* W	9^{2} *nb* WNW	9^{1} *a-cu* WNW, *cu, fr-cu* W
16	10	10	10	10	10^{2} *nb* W	10^{2} *nb* W	10^{2}
17	0	0	0	0	1^{1}	0	2^{0}
18	7	10	9	10	10^{0}	10^{0}	10^{0}
19	10	10	10	10	5^{1} *fr-cu* W	2^{0} *ci* NW	0
20	10	10	8	4	10^{1} *a-cu* W	9^{1} *fr-st* W	9^{1} *a-cu* W
21	0	0	0	0	2^{0}	1^{0}	1^{0}
22	0	0	0	0	0	0	10^{0}
23	8	5	10	10	10^{1} *st-cu* WSW	1^{0} *ci* SW	1^{0} *ci* WSW
24	10	10	8	9	8^{0} *a-cu* SW	9^{0} *a-cu* SW	8^{0} *a-cu* SW
25	10	10	10	10	8^{0} *a-cu* SW	1^{0}	1^{0} *ci* W, *fr-cu* SW
26	5	10	10	1	1^{1}	8^{0} *fr-cu* W	2^{0} *fr-cu* W
27	10	10	10	10	10^{1} *nb* WNW	10^{1} *st, nb* NW	10^{1} *st, fr-nb* NW
28	10	10	10	10	10	10	10
29	10	10	9	3	7^{0} *ci, a-cu* W	4^{0} *ci, a-cu* W	5^{0}
30	6	3	10	9	9^{2} *st-cu* W	8^{1} *a-cu, st-cu* W	10^{2}
31	10	10	10	10	10^{1}	10^{0}	10^{0}
Mittel	6.8	7.2	7.5	7.1	7.1	6.9	7.2

Zeitangaben nach mittlerer Ortszeit

relative Geschwindigkeit der Wolken

1000 m Höhe berechnete Geschwindigkeit in m. p. s.
zu den geraden Stunden gebildet.

2p	4p	6p	8p	9p	10p	Mn.	Tagesmittel
1912							
1^1	1^1	1	0	1	7	3	3.9
7^1 *cu* WNW	9^2 *st-cu* WNW	4	9	1	10	10	8.2
7^2 *cu, fr-cu* WNW	3^2 *cu, cu-nb* NW	3	0	0	0	0	5.5
9^1 *st-cu, fr-cu* W	9^1	10	7	10	10	10	6.2
10^2 *nb* W	10^2 *nb* NW	10^2	10	10	10	10	10.0
8^2 *cu, cu-nb* N	1^1	0	1	0	0	0	4.2
10^2	10^2	10	10	0	7	10	7.7
10^2 *nb* SW	10^2 *nb* SW	10	10	10	10	10	9.9
9^1 *st-cu* WNW	1	2	10	10	10	10	8.5
10^2 *nb* WSW	10^2	10^2	10	10	10	10	10.0
10^2 *st-cu, nb* NW	7^1	1^1	1	4	8	3	7.7
10^1 *a-cu* SSE	10^2 *a-cu* E	1	10	10	9	7	4.8
10^2 *st* WSW	10^2	10	3	10	9	4	8.7
10^1 *st-cu, nb* SW	10^2 *nb* SW	10	10	10	10	10	6.3
10^1 *st-cu* WSW	10^1 *st-cu* W	9	10	10	8	10	9.8
10^1 *st-cu* W	10^1	10	10	10	10	10	10.0
10^2	10^2	10	10	10	10	10	9.9
9^1 *a-cu* NNE	10^1	9 *a-cu* NE	8	1	0	3	7.8
10^2	10^2	10	8 *st-cu* W	10	10	10	6.3
10^2 *st-cu, nb* W	10^2 *st-cu, nb* W	10	10	10	10	10	10.0
3^2 *cu, cu-nb, fr-cu* NNW	8^1 *st-cu* NNW	9^1 *st-cu* NW	10^1 *st-cu* NW	3	9	10	9.1
3^1 *fr-cu* W	0	0	9^0 *a-cu* NE	10	10	10	7.3
6^1 *ci, ci-cu* W	1^0	2^0	1^0	0	0	0	5.8
9^1 *a-cu, st-cu* SW	9^1	10	10	10	10	10	6.0
9^1 *st-cu* W	10^1 *st-cu* W	10	10	10	10	10	8.8
9^1 *st-cu* SW	7^1 *st-cu* SW	10	9	2^0	10	9	9.5
10^1 *st-cu* WSW	9^1 *st-cu* WSW	10	10	7^0	8	2	8.9
9^1 *st-cu* W	9^1 *st-cu* W	10	10	10	10	10	8.3
1^0	1^0	3	6	2	9	10	6.1
7^0 *ci* NW, *fr-cu* SW	3^1	10	10	9	10	10	9.1
8.2	7.3	7.1	7.7	6.7	8.1	7.7	7.8
1912							
10^2	3^1	0	0	10	0	0	6.4
10^1 *st-cu, st* WSW	6^0 *a-cu, st-cu* SW	10	9	10	10	5	5.8
10^1 *st, nb, fr-nb* W	10 *st-cu* W	10	9	8	2	9	6.6
8^1 *a-cu* NW	9^1 *a-cu* NW	2	10	10	10	10	8.8
2^0	2^0	1	1	0	0	0	5.5
10^0 *ci, ci-st* SE	3^0 *ci, ci-st* SE	1	0	0	0	0	2.5
9^1 *a-cu* W, *st-cu* NW	9^1 *st-cu* NW	10	10	10	10	10	7.1
1^0	4^0	7	9	10	9	10	6.6
9^1 *a-cu* W	10	10	7	3	9	7	9.2
9^1 *st-cu* W	9^1 *st-cu* W	10	10	10	10	10	7.0
10^2	10^2	10^2	10	10	10	10	10.0
10^1 *st-cu* WSW	10^1	10	10	10	10	0	9.2
10^1 *st-cu* W	10^1	10	10	10	10	10	6.4
10^2 *nb* WSW	10^2	10	10	10	10	10	10.0
9^1 *a-cu* W, *cu* WNW	10^0 *a-cu, a-st, fr-cu* WNW	3	1	2	6	8	8.1
10^2 *cu, nb* W	10^1	6	0	3	0	0	7.2
10^2 *a-cu* WNW, *st-cu* W	8^1 *st-cu* SW	9	6	9	5	7	3.7
10^1	10^2	10	10	10	10	10	9.5
7^0	7^0	9^1 *a-cu* WNW	10	9	10	10	7.7
1^0 *ci* N	0	0	0	0	2	0	5.3
0	0	0	0	0	0	0	0.3
10^0	7^0	8	8	3	2	10	4.2
3^0 *ci* NW	2^0	1^0	2^0	1^0	9	7	5.3
1^0 *ci, ci-cu* WSW	1	10	10	10	10	8	7.7
1^0 *ci* WNW	10	10	10	10	10	10	7.6
7^0 *ci* WNW	10	10	10	10	10	10	7.9
10^1 *st, fr-nb* WNW	10^1	10	1	0	3	8	8.6
10 *nb* WSW	10	10	6	10	10	10	9.5
6^0 *ci* W	4^0	6	9	9	9	10	7.6
10^2	10^2	10	10	0	6	3	8.1
9^0 *fr-cu* W	8^0 *ci, a-cu* W	3	2	4	3	3	7.0
7.5	7.2	7.0	6.4	6.5	6.6	6.6	7.0

Zeitangaben nach mittlerer Ortszeit

Bodentemperaturen

(beobachtet zu den Haupttterminen, resp. nur um 2p).

Datum	Tiefe 0.02 m			Tiefe 0.05 m			Tiefe 0.10 m			Tiefe 0.20 m			Tiefe 0.50 m			Tiefe 1.00 m			Tiefe in Metern 2.00	4.00	6.00	12.00
	7a	2p	9p	7a	2p	9p	7a	2p	9p	7a	2p	9p	7a	2p	9p	7a	2p	9p	2p			
Januar																						
1	*-0.1*	1.2	1.9	*-0.1*	0.8	1.7	*0.3*	0.4	1.8	*0.6*	0.4	1.5	*2.00*	1.92	2.00	*3.83*	3.82	3.74	6.33	9.83	11.04	10.10
2	3.6	5.3	5.3	3.4	5.0	5.2	3.0	4.6	5.1	2.3	3.6	4.2	2.31	2.69	3.19	3.65	3.69	3.63	6.26	9.78	11.03	.
3	4.7	4.7	3.8	4.8	4.7	4.1	4.7	4.6	4.3	4.3	4.3	4.1	3.67	3.87	3.98	3.80	4.01	4.01	6.24	9.72	11.02	.
4	2.3	3.4	1.9	2.3	3.4	2.1	2.6	3.4	2.5	2.8	3.1	2.9	3.88	3.69	3.68	4.18	4.28	4.32	6.17	9.68	10.98	.
5	2.3	4.5	3.9	2.4	4.3	4.0	2.7	3.9	4.0	2.7	3.2	3.7	3.54	3.48	3.67	4.33	4.35	4.33	6.16	9.62	10.93	.
6	1.7	2.7	1.2	1.7	2.8	1.4	2.0	2.8	1.9	2.4	2.7	2.2	3.70	3.49	3.41	4.33	4.35	4.36	6.17	9.53	10.91	.
7	0.1	0.0	-0.4	0.3	0.2	-0.1	0.8	0.6	0.4	1.2	1.0	0.8	3.05	2.77	2.50	4.33	4.30	4.23	6.17	9.42	10.90	.
8	-0.9	-0.2	-1.7	-0.5	-0.1	-0.9	0.0	0.1	-0.2	0.5	0.5	0.3	2.20	2.00	1.89	4.13	4.04	3.97	6.16	9.43	10.87	10.15
9	-1.2	-0.2	-0.9	-0.7	-0.2	-0.6	-0.3	0.0	-0.2	0.2	0.2	0.1	1.71	1.63	1.58	3.85	3.80	3.72	6.14	9.42	10.84	.
10	-3.2	-2.3	-6.8	-2.3	-2.1	-5.7	-1.4	-1.6	-4.9	0.0	-0.3	-1.5	1.49	1.40	1.31	3.63	3.56	3.51	6.07	9.34	10.80	.
11	-9.1	-4.7	-8.8	-8.1	-4.9	-8.1	-7.2	-4.9	-7.4	-5.6	-3.5	-4.3	1.10	0.89	0.69	3.42	3.38	3.23	6.01	9.31	10.78	.
12	-6.9	-4.4	-8.9	-6.6	-4.5	-8.2	-6.3	-4.5	-7.5	-4.4	-3.5	-4.8	0.97	0.32	0.21	3.21	3.12	3.03	5.95	9.24	10.74	.
13	-12.1	-7.5	-11.4	-11.2	-8.0	-10.7	-10.6	-8.0	-10.2	-7.2	-7.1	-7.4	-0.05	-0.08	-0.09	2.93	2.87	2.81	5.87	9.22	10.73	.
14	-13.3	-8.3	-12.3	-12.6	-8.8	-11.6	-12.1	-9.0	-11.2	-9.0	-8.4	-8.6	-0.12	-0.34	-0.44	2.68	2.60	2.51	5.76	9.13	10.70	.
15	-14.0	-8.6	-12.3	-13.2	-9.1	-11.7	-12.8	-9.3	-11.2	-9.9	-9.1	-8.9	-0.54	-0.70	-0.72	2.37	2.27	2.67	5.66	9.03	10.66	10.20
16	-14.7	-7.8	-12.4	-14.0	-8.4	-11.8	-13.6	-8.8	-11.4	-10.8	-9.0	-9.2	-0.76	-1.01	-0.87	2.05	1.97	1.91	5.53	9.04	10.63	.
17	-11.2	-7.7	-12.5	-10.8	-8.3	-11.8	-10.6	-8.7	-11.4	-9.1	-8.6	-9.2	-0.99	-0.99	-0.92	1.79	1.75	1.70	5.40	9.03	10.59	.
18	*-9.7*	-6.3	-10.4	*-9.4*	-6.7	-9.9	*-9.2*	-7.1	-9.5	*-8.2*	-7.4	-7.9	*-1.01*	-1.00	-0.91	*1.61*	1.52	1.38	5.26	8.93	10.55	.
19	-11.9	-6.7	-8.8	-11.2	-7.0	-8.6	-10.8	-7.4	-8.4	-8.8	-8.0	-7.4	-1.03	-1.09	-0.99	1.39	1.40	1.38	5.14	8.93	10.54	.
20	-9.0	-3.7	-7.1	-8.7	-4.6	-6.8	-8.5	-5.2	-6.6	-7.4	-6.1	-5.8	-0.96	-0.99	-0.91	1.31	1.24	1.18	5.02	8.91	10.51	.
21	-6.3	-3.2	-3.5	-6.3	-3.5	-3.9	-6.3	-3.9	-4.0	-5.9	-4.5	-4.2	-0.96	-0.89	-0.87	1.10	0.84	1.01	4.86	8.83	10.44	.
22	-0.6	-0.1	-0.1	-0.8	-0.3	-0.2	-1.0	-0.4	-0.2	-1.9	-1.1	-0.7	-0.78	-0.67	-0.40	0.99	0.99	0.95	4.75	8.77	10.42	10.15
23	-0.1	0.0	-0.1	-0.2	-0.1	-0.1	-0.1	-0.1	0.0	-0.4	-0.3	-0.3	-0.30	-0.29	-0.31	0.93	0.98	0.90	4.64	8.72	10.36	.
24	-0.1	1.3	-0.1	-0.1	0.1	-0.1	0.0	0.0	0.0	-0.3	-0.1	-0.2	-0.33	-0.30	-0.39	0.92	0.98	0.97	4.55	8.69	10.33	.
25	-0.4	0.9	-0.1	-0.2	0.0	-0.1	0.0	0.1	0.0	-0.2	-0.1	-0.2	-0.28	-0.21	-0.21	0.98	1.00	0.99	4.46	8.63	10.32	.
26	-0.1	0.4	0.2	-0.1	-0.1	-0.1	0.0	0.0	0.0	-0.1	-0.1	-0.1	-0.20	-0.19	-0.11	1.00	1.00	1.05	4.37	8.60	10.28	.
27	-0.3	-0.1	-3.7	-0.1	-0.1	-2.7	0.0	0.0	-1.6	-0.2	-0.1	-0.6	-0.17	-0.12	-0.09	1.00	1.07	1.09	4.34	8.52	10.23	.
28	-6.6	-2.5	-3.4	-6.1	-2.8	-3.2	-5.4	-3.0	-3.0	-4.1	-3.2	-2.7	-0.11	-0.23	-0.67	1.10	1.10	1.10	4.29	8.49	10.22	.
29	-3.1	-0.4	-0.6	-3.1	-0.7	-0.7	-3.0	-0.9	-0.7	-2.8	-1.5	-0.9	-0.72	-0.71	-0.58	1.10	1.11	1.10	4.25	8.42	10.21	10.20
30	-5.6	-0.5	-6.6	-4.9	-1.1	-6.1	-4.1	-1.7	-5.3	-2.6	-2.5	-3.7	-0.53	-0.65	-0.68	1.10	1.10	1.11	4.19	8.37	10.18	.
31	-6.4	-3.0	-4.6	-6.4	-3.4	-4.3	-6.1	-3.7	-3.8	-5.2	-3.9	-3.2	-0.87	-0.99	-0.90	1.10	1.10	1.09	4.16	8.33	10.14	.
Mittel	-4.26	-1.74	-3.88	-3.96	-1.98	-3.53	-3.65	-2.18	-3.18	-2.81	-2.24	-2.32	0.61	0.54	0.55	2.39	2.37	2.35	5.37	9.06	10.29	10.16
Februar																						
1	-5.8	-3.2	-3.8	-5.6	-3.3	-3.8	-5.3	-3.4	-3.6	-4.5	-3.5	-3.3	-0.92	-0.99	-0.95	1.07	1.04	1.01	4.12	8.27	10.12	.
2	-4.0	-2.4	-10.0	-3.9	-3.1	-9.0	-3.6	-3.6	-7.9	-3.1	-3.8	-6.0	-0.87	-0.94	-0.99	0.99	0.99	0.98	4.07	8.22	10.08	.
3	-11.9	-4.6	-12.9	-11.4	-5.7	-12.0	-10.7	-6.7	-11.1	-9.0	-7.4	-9.1	-1.22	-1.65	-1.70	0.96	0.90	0.89	4.03	8.14	10.03	.
4	-16.8	-6.8	-15.5	-15.6	-8.1	-14.5	-14.7	-9.4	-13.6	-12.2	-10.3	-11.5	-2.38	-3.03	-2.96	0.81	0.75	0.68	3.97	8.13	10.02	.
5	-17.9	-8.1	-12.3	-16.9	-9.4	-12.2	-16.3	-10.5	-12.2	-14.1	-11.5	-11.5	-3.79	-4.41	-4.07	0.60	0.50	0.41	3.92	8.03	9.99	10.19
6	-9.1	-1.4	-3.9	-9.4	-2.7	-4.0	-9.6	-4.2	-4.0	-9.6	-6.1	-4.4	-3.86	-3.37	-2.50	0.30	0.18	0.10	3.86	8.00	9.94	.
7	-0.8	1.8	0.0	-1.2	-0.2	-0.1	-1.5	-0.6	-0.1	-2.5	-1.4	-0.8	-1.98	-1.70	-1.30	0.07	0.04	0.06	3.77	7.95	9.92	.
8	-0.1	4.4	-0.1	-0.1	1.7	-0.1	0.0	0.1	0.0	-0.5	-0.3	-0.3	-0.85	-0.71	-0.57	0.11	0.10	0.12	3.68	7.88	9.90	.
9	*-0.2*	0.8	-0.1	*-0.1*	0.1	-0.1	*0.1*	0.1	0.0	*-0.2*	-0.1	-0.1	*-0.46*	-0.45	-0.39	*0.16*	0.17	0.20	3.60	7.86	9.85	.
10	-0.1	4.8	-0.1	-0.1	2.9	-0.1	0.0	0.2	0.0	-0.1	0.0	-0.1	-0.33	-0.29	-0.27	0.22	0.21	0.21	3.55	7.83	9.82	.
11	-0.1	0.0	0.1	-0.1	-0.1	0.0	0.0	0.0	0.0	-0.2	-0.1	-0.1	-0.27	-0.21	-0.20	0.21	0.29	0.29	3.47	7.73	9.77	.
12	-0.1	1.8	0.0	-0.1	1.1	0.0	0.0	0.4	0.0	-0.1	-0.1	-0.2	-0.19	-0.17	-0.14	0.31	0.38	0.32	3.44	7.66	9.72	10.19
13	0.0	3.0	0.0	0.0	2.2	-0.1	0.0	1.0	0.0	-0.1	-0.1	-0.1	-0.10	-0.09	-0.09	0.40	0.45	0.45	3.40	7.61	9.72	.
14	-0.2	1.1	0.0	-0.2	0.8	0.0	0.0	0.6	0.1	-0.1	-0.1	-0.1	-0.08	-0.05	-0.04	0.38	0.50	0.50	3.36	7.60	9.68	.
15	-0.1	1.4	0.2	-0.1	1.1	0.1	0.0	0.8	0.2	-0.1	-0.1	-0.1	0.00	0.01	0.00	0.51	0.56	0.56	3.35	7.56	9.62	.
16	-0.1	5.0	0.0	-0.1	4.4	0.0	0.0	3.1	0.2	-0.1	0.1	0.0	0.00	0.01	0.00	0.59	0.60	0.58	3.34	7.53	9.62	.
17	-0.1	5.4	1.2	-0.1	4.4	1.4	0.0	3.2	1.6	-0.1	0.9	1.1	0.00	0.01	0.03	0.60	0.65	0.68	3.33	7.48	9.58	.
18	-0.4	7.9	2.9	-0.3	6.7	3.2	0.1	5.1	3.3	0.1	2.3	2.5	0.04	0.03	0.04	0.72	0.70	0.73	3.33	7.43	9.56	.
19	0.4	10.2	3.8	0.5	8.3	3.8	0.8	6.2	3.6	0.7	3.0	2.9	0.04	0.04	0.11	0.74	0.73	0.74	3.32	7.41	9.53	10.19
20	3.2	7.1	1.7	3.2	6.7	2.1	3.1	5.9	2.6	2.3	3.8	2.8	0.11	0.21	0.49	0.74	0.76	0.78	3.34	7.32	9.51	.
21	1.3	3.3	2.5	1.1	3.1	2.5	1.1	2.6	2.4	0.8	1.6	1.8	0.31	0.28	0.44	0.77	0.78	0.79	3.29	7.32	9.47	.
22	0.3	2.7	0.8	0.5	2.4	0.9	0.9	2.0	1.2	0.9	1.2	1.2	0.47	0.31	0.45	0.78	0.78	0.78	3.27	7.24	9.42	.
23	1.8	3.0	7.1	1.5	5.1	6.7	1.3	6.4	6.1	0.7	*3.3*	4.5	0.31	0.68	1.18	0.80	0.53	0.80	3.24	7.21	9.41	.
24	6.5	8.3	5.2	6.3	8.0	5.4	6.0	7.3	5.5	4.9	5.6	5.1	1.85	2.10	2.49	0.78	0.74	0.77	3.20	7.21	9.38	.
25	2.0	3.6	1.7	2.1	3.6	1.9	2.5	3.3	2.2	2.7	2.7	2.3	2.50	2.24	2.27	1.07	1.38	1.59	3.15	7.14	9.33	.
26	1.2	10.6	5.2	1.3	9.0	5.2	1.6	7.0	5.2	1.6	4.0	4.6	2.08	1.99	2.79	1.80	1.90	1.97	3.14	7.12	9.31	10.21
27	3.8	9.7	5.8	3.8	8.5	5.9	3.7	6.9	5.9	3.3	4.9	5.3	3.09	3.11	3.69	2.13	2.29	2.40	3.21	7.02	9.29	.
28	4.7	7.7	6.2	4.8	7.2	6.2	4.7	6.4	6.1	4.4	5.1	5.5	3.89	3.90	4.24	2.63	2.80	2.92	3.32	7.03	9.23	.
29	4.4	15.6	7.4	4.9	13.9	7.8	5.3	11.6	8.1	5.3	8.0	7.9	4.50	4.59	5.55	3.12	3.24	3.38	3.44	7.00	9.22	.
Mittel	-1.32	3.20	-0.24	-1.21	2.37	-0.10	-1.05	1.44	0.10	-0.99	0.05	-0.01	0.07	0.05	0.26	0.84	0.86	0.89	3.50	7.58	9.66	10.20

Zeitangaben nach mittlerer Ortszeit

Bodentemperaturen

(beobachtet zu den Haupttterminen, resp. nur um 2p).

Datum	Tiefe 0.02 m			Tiefe 0.05 m			Tiefe 0.10 m			Tiefe 0.20 m			Tiefe 0.50 m			Tiefe 1.00 m			Tiefe in Metern 2.00	4.00	6.00	12.00
	7a	2p	9p	7a	2p	9p	7a	2p	9p	7a	2p	9p	7a	2p	9p	7a	2p	9p	2p			
März																						
1	6.4	11.2	6.0	6.5	10.4	6.5	6.5	9.5	6.9	6.2	7.6	7.1	5.60	5.57	5.99	3.64	3.83	4.00	3.57	6.94	9.20	.
2	6.9	11.0	4.8	6.8	10.4	5.6	6.7	9.6	6.7	6.2	7.9	7.1	5.79	5.82	6.24	4.20	4.32	4.35	3.76	6.84	9.14	.
3	2.3	11.2	7.4	2.7	10.1	7.6	3.5	8.4	7.6	4.3	6.4	7.1	5.71	5.25	5.69	4.53	4.64	4.64	3.94	6.88	9.11	.
4	4.9	9.3	4.1	5.3	9.1	4.8	5.6	8.5	5.7	5.9	7.1	6.4	5.88	5.76	6.09	4.72	4.79	4.83	4.15	6.75	9.07	10.14
5	2.8	7.2	5.7	3.2	7.4	6.0	3.9	7.6	6.3	4.4	6.6	6.2	5.56	5.28	5.68	4.92	4.94	4.93	4.30	6.79	9.03	.
6	3.4	11.1	4.5	3.8	10.5	4.9	4.2	8.9	5.4	4.5	6.5	5.9	5.47	5.24	5.70	4.95	5.01	4.96	4.46	6.81	9.02	.
7	1.2	10.5	4.9	1.9	8.8	5.2	2.8	7.4	5.6	3.7	5.7	5.7	5.29	4.91	5.32	5.03	5.04	4.99	4.61	6.69	8.99	.
8	3.7	12.6	3.5	3.8	11.9	4.5	4.1	9.7	5.6	4.5	6.8	6.4	5.27	4.10	5.79	5.01	5.02	5.01	4.74	6.72	8.96	.
9	0.4	10.5	2.2	1.0	9.0	3.2	1.9	7.5	4.4	3.0	5.3	5.3	5.22	4.69	5.28	5.07	5.10	5.09	4.83	6.69	8.92	.
10	−0.4	12.5	3.4	0.3	10.8	4.2	1.2	8.4	5.0	2.3	4.8	5.5	4.68	4.09	4.88	5.07	5.04	4.95	4.94	6.71	8.91	.
11	0.3	10.4	2.0	0.7	9.0	3.0	1.6	7.5	4.0	2.7	5.1	4.9	4.60	4.17	4.79	4.94	4.92	4.86	5.01	6.70	8.88	10.16
12	1.1	5.8	0.3	1.4	5.6	1.1	2.1	5.3	2.2	2.9	4.3	3.5	4.46	4.13	4.39	4.85	4.84	4.81	5.06	6.71	8.83	.
13	−1.4	11.0	4.6	−0.4	9.0	4.9	0.4	6.4	5.1	1.4	3.3	4.8	3.73	3.26	3.93	4.75	4.71	4.62	5.09	6.71	8.82	.
14	2.4	10.7	6.4	2.7	9.8	6.6	3.1	8.2	6.6	3.4	5.7	6.1	4.10	4.08	4.82	4.53	4.53	4.53	5.13	6.71	8.79	.
15	0.6	14.3	3.9	1.2	12.4	5.0	2.3	10.0	6.0	3.6	6.4	6.7	4.95	4.53	5.46	4.63	4.68	4.72	5.13	6.71	8.74	.
16	0.3	3.6	3.6	0.9	3.7	3.4	1.8	3.7	3.2	3.1	3.4	3.0	5.06	4.45	4.33	4.83	4.88	4.87	5.14	6.72	8.72	.
17	2.4	10.1	1.5	2.6	8.8	2.3	2.8	6.9	3.5	3.1	4.7	4.4	4.17	4.09	4.61	4.83	4.78	4.75	5.16	6.73	8.70	.
18	−0.2	10.4	5.4	0.3	8.8	5.3	1.0	7.1	5.0	1.9	4.5	4.6	4.07	3.64	4.41	4.74	4.72	4.66	5.18	6.74	8.68	10.14
19	3.6	10.6	5.8	3.7	9.5	6.2	3.9	7.9	6.4	4.0	5.8	6.3	4.57	4.54	5.19	4.64	4.67	4.73	5.20	6.69	8.62	.
20	2.3	9.0	4.9	2.6	8.8	5.4	3.0	8.0	6.0	3.7	6.2	6.1	5.10	4.80	5.28	4.81	4.87	4.85	5.21	6.72	8.62	.
21	0.9	11.8	5.2	1.6	10.5	5.6	2.7	9.0	6.0	3.8	6.5	6.3	5.26	4.89	5.59	4.99	5.03	5.05	5.24	6.73	8.60	.
22	3.9	12.0	6.1	4.1	11.2	6.8	4.4	10.0	7.5	4.8	7.5	7.7	5.49	5.43	6.27	5.11	5.15	5.23	5.26	6.76	8.57	.
23	1.6	11.7	4.3	2.1	11.0	5.3	3.0	9.7	6.2	4.3	7.1	6.8	6.01	5.59	6.12	5.33	5.42	5.42	5.32	6.73	8.54	.
24	1.1	10.1	6.7	1.3	9.5	7.0	2.1	8.5	7.2	3.4	6.3	6.8	5.65	5.19	5.79	5.45	5.51	5.44	5.36	6.72	8.50	.
25	5.6	13.9	9.8	5.7	13.2	10.0	5.8	12.0	10.0	5.9	9.0	9.3	5.99	6.10	6.99	5.48	5.54	5.54	5.46	6.75	8.51	10.11
26	9.2	16.7	10.1	9.1	15.2	10.7	8.9	13.4	11.3	8.3	10.5	11.1	7.39	7.58	8.49	5.75	5.87	6.06	5.48	6.78	8.49	.
27	8.3	18.0	7.7	8.5	16.6	8.9	8.7	14.7	10.2	8.8	11.7	11.1	8.45	8.41	9.21	6.27	6.45	6.61	5.56	6.80	8.46	.
28	5.3	10.2	8.4	5.6	10.2	8.6	6.0	10.2	8.7	7.1	9.2	8.6	8.60	8.09	8.27	6.84	6.95	6.97	5.67	6.73	8.42	.
29	3.8	8.9	4.3	4.5	10.0	5.2	5.4	10.4	6.2	6.7	8.9	7.3	7.99	7.58	7.87	7.06	7.06	7.05	5.83	6.71	8.41	.
30	3.0	8.1	2.8	3.4	8.3	3.6	4.2	8.1	4.6	5.1	6.7	5.8	7.08	6.82	6.88	7.05	6.99	6.95	5.97	6.78	8.40	.
31	2.8	13.1	6.7	3.1	12.5	7.3	3.5	11.0	7.9	4.3	7.5	8.1	6.25	6.02	6.90	6.86	6.77	6.67	6.12	6.80	8.41	.
Mittel	2.85	10.89	5.06	3.23	10.06	5.64	3.78	8.82	6.23	4.43	6.61	6.52	5.59	5.29	5.88	5.19	5.23	5.23	5.03	6.75	8.74	10.14
April																						
1	4.9	11.3	6.5	5.2	10.9	7.1	5.5	9.8	7.8	6.1	7.7	8.1	6.90	6.69	7.21	6.52	6.53	6.53	6.17	6.80	8.40	10.05
2	3.2	4.8	2.0	3.9	4.8	2.7	4.6	5.0	3.9	5.8	5.4	4.9	7.06	6.56	6.28	6.58	6.59	6.59	6.24	6.82	8.37	.
3	0.4	7.0	2.8	0.8	11.0	4.1	1.7	13.2	5.4	3.0	5.0	6.8	5.59	5.18	6.23	6.51	6.39	6.24	6.28	6.83	8.70	.
4	0.3	13.0	5.8	0.7	11.0	6.3	1.7	9.0	6.9	3.1	6.1	7.1	5.70	6.22	6.02	6.22	6.19	6.10	6.32	6.72	8.38	.
5	6.0	8.8	8.2	6.0	8.2	8.1	5.9	7.6	7.8	5.8	6.6	7.2	6.17	6.37	6.51	6.10	6.32	6.14	6.75	6.87	8.66	.
6	8.6	10.5	9.0	8.4	10.2	8.9	8.2	9.8	8.8	7.6	8.6	8.6	6.82	6.08	6.52	6.16	6.21	7.49	6.43	6.76	8.32	.
7	5.5	14.9	4.5	5.6	14.2	6.7	5.7	13.0	7.1	6.5	10.0	8.3	7.37	7.10	7.92	6.44	6.54	5.94	6.33	6.90	8.31	.
8	3.6	10.0	8.1	3.8	9.6	8.4	4.2	9.0	8.4	5.2	7.0	8.3	7.15	6.62	7.16	6.69	6.71	6.64	6.34	7.91	8.31	10.02
9	4.1	15.5	4.2	4.6	13.8	5.6	5.4	11.8	7.1	6.3	8.8	8.4	7.26	7.02	7.77	6.68	6.71	6.64	6.41	6.91	8.28	.
10	2.6	9.9	4.2	3.2	8.8	4.7	3.9	8.1	5.6	5.2	7.2	6.5	7.18	6.58	6.97	6.79	6.81	6.75	6.45	6.91	8.28	.
11	0.5	8.7	2.2	1.1	8.6	3.5	2.0	8.2	4.7	3.6	6.5	6.2	6.36	5.76	6.42	6.76	6.69	6.60	6.53	6.96	8.24	.
12	0.7	3.2	0.5	1.1	3.2	1.0	2.0	3.4	1.9	3.2	3.6	3.1	5.78	5.19	5.01	6.54	6.46	6.32	6.56	6.91	8.23	.
13	−0.9	14.3	4.7	−0.1	12.2	5.3	0.6	9.6	5.9	1.5	5.4	6.3	4.33	4.01	5.14	6.19	6.01	5.82	6.55	7.02	8.25	.
14	3.6	7.8	4.6	3.8	7.6	5.0	4.0	7.1	5.5	4.5	5.8	6.0	5.29	5.18	5.61	5.74	5.77	5.73	6.55	6.98	8.21	.
15	6.3	13.6	6.3	4.3	12.6	7.2	2.8	11.0	7.9	2.7	7.4	8.0	5.08	4.95	6.09	5.80	5.79	5.71	6.51	7.07	8.24	9.96
16	1.0	19.2	7.5	1.5	16.8	8.6	2.5	13.8	9.6	4.1	9.0	10.1	5.99	5.67	7.14	5.80	5.85	5.86	6.45	7.02	8.22	.
17	2.4	14.3	8.0	2.9	13.7	8.9	3.7	12.9	9.9	5.3	10.1	10.3	6.99	6.60	7.76	6.03	6.16	6.21	6.43	7.04	8.21	.
18	3.6	21.7	11.0	4.0	19.4	11.6	4.6	16.2	12.2	6.2	11.2	12.1	7.54	7.20	8.66	6.40	6.51	6.54	6.44	7.05	8.21	.
19	5.5	22.8	11.3	5.9	20.6	12.3	6.6	17.4	13.1	7.9	12.6	13.4	8.68	8.40	9.78	6.79	6.92	7.04	6.46	7.12	8.21	.
20	7.2	21.0	13.1	7.4	19.0	13.5	7.7	16.6	13.8	8.8	12.9	13.4	9.60	9.29	10.31	7.31	7.51	7.64	6.55	7.13	8.21	,
21	8.0	24.0	13.3	8.4	22.0	13.9	9.1	19.0	14.6	10.2	14.4	14.9	10.40	10.18	10.40	7.83	8.01	8.12	6.67	7.10	8.21	.
22	8.0	23.4	13.2	8.4	21.6	13.8	9.2	18.9	14.4	10.5	14.8	14.7	11.19	10.80	11.84	8.40	8.55	8.66	6.83	7.12	8.20	9.94
23	8.0	23.6	12.8	8.3	21.8	13.7	8.9	19.2	14.6	10.2	14.7	15.2	11.40	10.95	12.10	8.89	9.01	9.04	6.99	7.12	8.20	.
24	7.3	24.4	13.5	7.8	22.2	14.4	8.6	19.5	15.2	10.2	15.0	15.6	11.67	11.15	12.36	9.22	9.33	9.38	7.18	7.13	8.20	.
25	8.8	22.0	12.5	9.2	20.3	13.5	9.8	18.6	14.5	11.0	15.3	15.0	12.03	11.66	12.61	9.52	9.63	9.70	7.37	7.14	8.20	.
26	6.8	22.3	13.3	7.3	20.3	14.2	8.2	18.1	14.9	10.0	14.2	15.0	12.00	11.32	12.36	9.83	9.92	9.91	7.57	7.15	8.20	.
27	8.2	25.6	13.3	8.6	22.3	14.5	9.3	19.5	15.4	10.8	15.2	15.9	12.07	*11.65*	12.72	10.00	*10.10*	10.21	7.72	7.22	8.19	.
28	10.0	24.2	12.0	10.4	21.2	13.4	10.8	18.6	14.5	11.7	15.2	15.2	12.33	11.98	12.77	10.31	10.43	10.46	7.94	7.30	8.18	.
29	7.2	17.0	10.5	7.8	14.9	11.5	8.7	13.5	12.2	10.4	12.0	12.6	12.18	11.44	11.72	10.56	10.62	10.57	8.07	7.23	8.15	9.77
30	5.8	18.3	8.3	6.6	16.8	10.6	7.8	15.2	11.9	9.4	12.5	12.8	11.25	10.72	11.42	10.55	10.52	10.41	8.24	7.26	*8.19*	.
Mittel	4.91	15.90	8.24	5.23	14.65	9.10	5.79	13.08	9.85	6.89	10.01	10.33	8.31	7.95	8.69	7.44	7.49	7.50	6.78	7.05	8.27	9.95

Zeitangaben nach mittlerer Ortszeit

Bodentemperaturen

(beobachtet zu den Hauptterminen, resp. nur um 2ᵖ).

Datum	Tiefe 0.02 m			Tiefe 0.05 m			Tiefe 0.10 m			Tiefe 0.20 m			Tiefe 0.50 m			Tiefe 1.00 m			Tiefe in Metern 2.00	4.00	6.00	12.00
	7ᵃ	2ᵖ	9ᵖ	7ᵃ	2ᵖ	9ᵖ	7ᵃ	2ᵖ	9ᵖ	7ᵃ	2ᵖ	9ᵖ	7ᵃ	2ᵖ	9ᵖ	7ᵃ	2ᵖ	9ᵖ	2ᵖ			
Mai																						
1	3.7	22.7	8.7	4.7	17.8	11.0	6.0	15.2	12.0	8.1	11.9	12.5	10.73	10.08	10.96	10.39	10.35	10.25	8.36	7.31	8.18	.
2	5.3	25.7	11.5	6.0	19.9	13.5	7.0	16.9	14.2	8.6	13.2	14.3	10.53	10.18	11.38	10.22	10.18	10.11	8.46	7.35	8.19	.
3	8.3	13.9	*9.1*	8.4	13.6	10.5	9.0	13.3	11.4	10.2	12.3	11.3	11.26	11.02	11.36	10.19	10.26	10.31	8.55	7.35	8.16	.
4	7.9	21.2	10.0	8.3	17.3	11.7	8.8	14.7	12.7	9.4	12.2	13.4	10.83	10.65	11.50	10.29	10.26	10.16	8.61	7.40	8.18	.
5	4.7	22.6	10.5	5.5	18.4	12.4	6.7	15.4	13.5	8.4	12.4	14.0	10.93	10.39	11.42	10.21	10.22	10.14	8.68	7.45	8.16	.
6	6.3	25.7	14.9	7.0	21.8	15.6	7.9	18.2	16.1	9.4	14.3	15.7	11.10	10.80	12.31	10.21	10.23	10.21	8.73	7.52	8.18	9.75
7	12.3	18.2	13.6	12.4	16.6	14.3	12.8	15.2	14.8	13.1	14.0	14.7	12.49	12.30	12.75	10.33	10.51	10.60	8.78	7.53	8.17	.
8	12.7	17.7	11.9	12.5	17.0	13.8	12.6	15.7	14.3	12.8	14.2	14.6	12.70	12.51	12.96	10.73	10.83	10.90	8.86	7.53	8.15	.
9	11.7	23.8	14.7	11.4	19.6	15.1	11.7	17.4	15.4	12.2	15.2	15.4	12.67	12.58	13.30	11.01	11.04	11.11	8.95	7.68	8.19	.
10	12.5	20.8	12.2	12.5	20.4	13.8	12.8	18.9	14.9	13.3	16.2	15.7	13.22	13.01	13.82	11.21	11.30	11.33	9.06	7.63	8.17	.
11	9.2	22.2	15.7	9.4	20.8	16.4	9.9	18.8	16.8	11.1	15.8	16.8	13.07	12.59	13.81	11.26	11.53	11.53	9.17	7.72	8.18	.
12	15.3	25.5	19.0	14.6	22.8	19.4	14.4	20.7	19.6	14.4	17.8	19.0	13.90	14.00	15.11	11.63	11.73	11.81	9.29	7.80	8.20	.
13	11.7	17.4	10.2	12.6	16.9	12.1	13.4	16.3	13.6	14.5	15.4	14.9	15.03	14.34	14.54	12.04	12.18	12.27	9.41	7.77	8.20	9.74
14	8.7	23.9	13.8	9.0	20.7	15.1	9.7	18.4	16.2	11.1	15.6	16.7	13.50	13.06	14.17	12.35	12.34	12.23	9.56	7.89	8.21	.
15	11.9	19.7	12.9	11.6	18.9	13.8	12.0	17.4	14.5	12.7	15.6	15.0	13.81	13.51	14.07	12.25	12.28	12.25	9.68	7.91	8.21	.
16	11.5	17.9	13.3	11.6	16.5	13.8	11.9	14.8	14.5	12.5	13.4	15.0	13.52	13.10	13.53	12.30	12.30	12.23	9.80	7.92	8.21	.
17	10.7	16.7	11.5	10.9	17.2	12.8	11.4	16.9	14.0	12.2	15.7	14.7	13.37	13.20	13.87	12.33	12.35	12.34	9.91	7.94	8.22	.
18	10.4	23.3	13.1	10.0	19.7	14.6	10.0	17.2	15.7	11.0	15.0	16.2	13.16	12.81	13.89	12.37	12.34	12.20	10.01	8.02	8.23	.
19	10.6	20.2	14.1	10.7	19.8	15.2	11.0	18.2	15.8	12.0	15.9	16.0	13.57	13.27	14.09	12.31	12.34	12.30	10.10	8.04	8.24	.
20	11.5	27.6	17.8	10.9	24.3	18.6	11.3	21.4	19.1	12.2	17.7	18.7	13.72	13.54	14.89	12.40	12.34	12.41	10.18	8.13	8.27	9.77
21	15.7	25.7	17.9	15.2	23.6	18.8	15.2	21.1	19.5	15.5	18.0	19.3	15.09	14.97	15.84	12.57	12.72	12.81	10.26	8.13	8.28	.
22	14.6	17.7	14.9	15.0	16.9	15.4	15.5	16.4	15.6	16.1	16.0	16.0	15.88	15.43	15.40	13.03	13.20	13.21	10.35	8.20	8.27	.
23	13.1	21.0	14.9	13.2	19.2	16.1	13.6	17.9	16.8	14.2	16.4	17.3	14.89	14.58	15.30	13.33	13.33	13.30	10.47	8.22	8.30	.
24	13.3	27.7	16.9	12.9	24.3	18.0	13.2	21.4	18.8	13.9	18.5	18.9	14.93	14.81	15.92	13.37	13.36	13.34	10.59	8.30	8.29	.
25	14.4	20.1	16.0	14.2	19.0	16.6	14.4	18.2	17.2	15.2	17.4	17.4	15.73	15.49	15.91	13.51	13.59	13.63	10.71	8.32	8.30	.
26	12.3	22.2	15.5	12.3	21.6	16.4	13.2	20.5	17.3	14.5	18.4	17.9	15.54	15.26	16.01	13.72	13.75	13.74	10.85	8.41	8.31	.
27	12.1	20.7	13.4	12.2	20.0	14.7	12.7	19.0	15.9	14.0	17.1	16.8	15.52	15.03	15.60	13.80	13.84	13.78	10.96	8.42	8.31	9.64
28	11.1	17.0	11.9	11.1	16.0	12.9	11.8	15.1	13.9	13.0	14.5	14.6	14.96	14.41	14.51	13.82	13.80	13.73	11.07	8.50	8.31	.
29	11.5	22.1	11.5	11.2	19.3	12.6	11.4	16.5	13.7	12.3	14.5	14.6	13.94	13.66	14.10	13.63	13.54	13.34	11.18	8.53	8.36	.
30	10.9	13.9	12.1	10.7	13.4	12.5	10.9	13.0	13.0	11.6	12.6	13.4	13.57	13.10	13.20	13.33	13.24	13.14	11.24	8.53	8.36	.
31	10.1	25.5	14.2	9.9	21.9	15.3	10.1	18.0	16.3	10.8	14.2	16.6	12.90	12.57	13.69	13.02	12.94	12.72	11.27	8.64	8.40	.
Mittel	10.84	21.30	13.47	10.90	19.20	14.61	11.36	17.36	15.39	12.27	15.21	15.72	13.42	12.78	13.84	12.04	12.07	12.05	9.78	7.94	8.24	9.72
Juni																						
1	12.0	28.8	18.3	11.4	26.1	19.1	11.6	22.7	19.7	12.4	18.4	19.3	13.75	13.70	15.21	12.82	12.85	12.92	11.28	8.72	8.40	.
2	15.3	24.3	17.4	15.0	23.6	18.0	15.0	22.2	18.6	15.5	19.5	18.8	15.43	15.49	16.37	13.09	13.26	13.35	11.28	8.77	8.42	.
3	14.5	24.1	15.5	14.6	23.6	16.7	14.8	22.0	17.8	15.4	19.2	18.4	15.96	15.68	16.56	13.61	13.75	13.81	11.29	8.81	8.44	9.63
4	12.9	26.7	17.6	12.3	24.4	18.7	12.8	22.0	19.6	14.2	19.3	19.9	15.94	15.63	16.80	13.95	14.03	14.04	11.38	8.91	8.48	.
5	14.5	21.0	16.6	14.9	21.3	17.7	15.5	20.9	18.7	16.3	19.3	19.3	16.69	16.34	17.09	14.15	14.26	14.32	11.48	8.92	8.49	.
6	14.4	25.0	19.4	14.5	22.9	20.0	14.9	22.0	20.7	15.6	20.4	20.8	16.61	16.41	17.58	14.45	14.53	14.55	11.59	8.97	8.50	.
7	18.0	33.0	23.9	17.0	30.9	24.4	16.8	28.0	24.7	17.4	23.6	24.2	17.51	17.61	19.23	14.69	14.85	14.96	11.70	9.04	8.51	.
8	20.0	20.8	17.5	19.6	21.0	18.4	19.5	20.9	19.3	20.0	20.5	19.9	19.40	19.01	18.97	15.24	15.46	15.63	11.84	9.06	8.54	.
9	16.7	31.1	20.6	16.1	28.3	21.7	16.0	25.4	22.6	16.7	21.9	23.0	18.10	17.89	19.33	15.80	15.86	15.83	11.98	9.12	8.58	.
10	16.1	19.0	15.9	16.7	18.4	16.4	17.4	18.0	16.9	18.6	18.2	17.6	19.28	18.50	18.12	15.99	16.09	16.13	12.19	9.20	8.59	9.57
11	15.3	18.0	15.5	15.3	17.9	16.0	15.4	17.7	16.5	16.0	17.2	17.0	17.34	16.91	16.99	16.10	16.05	15.89	12.36	9.20	8.60	.
12	14.4	22.4	16.9	14.6	21.3	17.3	14.8	19.8	17.8	15.4	17.9	18.2	16.44	16.28	16.91	15.80	15.69	15.59	12.52	9.24	8.62	.
13	15.9	26.9	18.6	15.9	24.4	19.4	16.0	21.9	20.0	16.3	19.2	20.2	16.76	16.64	*17.11*	15.54	15.53	15.45	12.63	9.32	8.65	.
14	15.6	24.7	15.5	16.1	22.6	16.8	16.6	20.6	18.2	17.3	18.7	19.2	17.59	17.21	17.69	15.59	15.60	15.63	12.71	9.35	8.66	.
15	13.8	17.1	12.4	14.0	17.4	13.3	14.3	16.8	14.3	15.2	16.0	15.5	17.15	16.45	16.37	15.69	15.70	15.65	12.78	9.42	8.69	.
16	12.6	16.0	12.6	12.2	16.0	13.5	12.4	15.8	14.4	13.2	15.4	15.2	15.51	15.15	15.34	15.54	15.44	15.26	12.87	9.52	8.72	.
17	10.9	16.5	12.5	10.7	16.8	13.4	11.0	16.6	14.5	12.0	15.3	15.4	14.68	14.23	14.81	15.10	14.97	14.84	12.90	9.53	8.73	9.55
18	11.0	17.8	14.1	11.0	17.8	14.5	11.3	17.4	15.2	12.2	16.0	15.6	14.47	14.16	14.80	14.69	14.64	14.52	12.91	9.61	8.77	.
19	13.1	27.0	18.7	13.1	25.2	19.4	13.4	22.2	20.0	13.8	17.8	19.8	14.65	14.56	15.99	14.45	14.43	14.34	12.89	9.67	8.79	.
20	17.9	29.5	19.2	17.0	28.0	19.8	16.4	25.8	20.6	16.5	21.7	21.0	16.30	16.42	17.71	14.48	14.62	14.70	12.83	9.73	8.80	.
21	16.3	24.6	18.4	16.0	23.9	19.2	16.0	22.5	19.7	16.6	20.2	20.0	17.48	17.12	17.83	14.98	15.15	15.24	12.82	9.80	8.82	.
22	15.9	29.8	20.0	15.6	27.9	21.0	16.0	25.2	21.8	17.0	21.7	22.1	17.54	17.41	18.67	15.38	15.49	15.53	12.86	9.86	8.83	.
23	15.4	33.6	21.4	15.3	30.2	22.5	15.9	27.0	23.4	17.2	22.6	23.3	18.38	18.01	19.48	15.74	15.86	15.93	12.96	9.91	8.88	.
24	16.5	25.4	19.6	17.2	23.2	21.0	17.6	21.4	21.8	18.6	20.2	22.4	19.24	18.79	19.13	16.16	16.34	16.34	13.10	9.96	8.90	9.54
25	17.8	26.1	17.6	17.6	24.3	18.5	17.6	22.4	19.3	18.2	20.2	19.9	18.80	18.48	18.91	16.53	16.56	16.58	13.17	10.02	8.92	.
26	16.3	25.7	17.6	16.6	23.9	18.8	17.0	21.7	19.6	17.6	19.2	20.2	18.38	17.97	18.52	16.63	16.64	16.61	13.33	10.06	8.94	.
27	16.7	32.2	21.2	16.1	29.5	22.2	16.3	26.6	23.2	17.1	22.4	23.3	18.11	18.02	19.51	16.59	16.60	16.57	13.47	10.12	8.99	.
28	17.8	31.3	22.1	17.6	29.2	23.1	17.8	27.0	23.9	18.7	23.4	23.7	19.31	19.11	20.29	16.72	16.85	16.89	13.59	10.19	9.01	.
29	19.0	33.9	24.2	18.9	30.4	25.3	19.2	28.1	25.8	19.9	24.3	25.2	20.03	19.87	21.11	17.08	17.24	17.28	13.70	10.23	9.02	.
30	18.8	22.0	15.9	20.1	20.6	17.2	20.7	19.8	18.4	21.4	20.2	19.6	21.05	20.41	19.99	17.53	17.67	17.75	13.81	10.30	9.04	.
Mittel	15.51	25.14	17.89	15.43	23.70	18.78	15.67	22.01	19.57	16.41	19.66	19.93	17.26	16.98	17.75	15.34	15.40	15.40	12.54	9.48	8.71	9.57

Zeitangaben nach mittlerer Ortszeit

Bodentemperaturen

(beobachtet zu den Haupttterminen, resp. nur um 2p).

Datum	Tiefe 0.02 m			Tiefe 0.05 m			Tiefe 0.10 m			Tiefe 0.20 m			Tiefe 0.50 m			Tiefe 1.00 m			Tiefe in Metern			
																			2.00	4.00	6.00	12.00
	7a	2p	9p	7a	2p	9p	7a	2p	9p	7a	2p	9p	7a	2p	9p	7a	2p	9p	2p			
Juli																						
1	15.9	19.8	16.3	15.4	21.7	17.5	15.4	21.7	18.8	16.3	20.0	19.9	18.79	18.31	17.45	17.73	17.65	17.50	13.93	10.31	9.06	.
2	17.0	24.4	16.7	16.4	22.8	17.7	16.2	20.8	18.9	16.7	19.2	20.0	18.29	17.99	18.61	17.44	17.36	17.25	14.10	10.36	9.11	9.46
3	15.9	24.7	16.8	15.7	24.4	18.0	15.7	23.2	19.2	16.4	20.4	20.2	18.09	17.70	18.59	17.23	17.16	17.07	14.20	10.42	9.12	.
4	15.6	27.5	17.1	15.5	24.6	18.4	15.6	21.6	19.6	16.4	18.9	20.4	18.01	17.57	18.31	17.06	17.05	16.96	14.27	10.48	9.14	.
5	14.2	30.1	19.4	14.0	27.3	20.3	14.4	24.6	21.3	15.8	20.9	21.8	17.92	17.51	18.71	16.95	16.94	16.86	14.30	10.52	9.18	.
6	15.7	33.7	21.8	15.5	30.9	22.8	16.0	27.7	23.8	17.3	23.1	23.9	18.60	18.31	19.83	16.90	16.95	16.97	14.33	10.62	9.22	.
7	17.3	35.1	24.3	17.2	31.6	24.9	17.8	28.6	25.3	19.0	24.2	24.9	19.74	19.47	20.85	17.15	17.29	17.36	14.39	10.65	9.24	.
8	21.5	37.9	20.6	21.0	33.1	21.9	20.9	30.0	23.0	21.3	25.7	23.9	20.83	20.79	21.83	17.59	17.77	17.89	14.44	10.72	9.28	9.51
9	18.4	29.8	20.1	18.5	27.4	21.4	18.6	25.1	22.6	19.5	22.4	23.4	20.85	20.27	21.03	18.15	18.26	18.27	14.53	10.77	9.31	.
10	18.2	33.8	23.3	18.1	31.7	24.2	18.4	29.2	25.0	19.4	24.8	25.1	20.60	20.33	21.70	18.35	18.38	18.36	14.68	10.83	9.32	.
11	19.0	33.8	23.4	19.0	31.8	24.4	19.4	29.2	25.4	20.6	25.3	25.5	21.38	21.03	22.21	18.53	18.64	18.66	14.82	10.90	9.35	.
12	19.4	38.1	24.4	19.4	33.4	25.7	19.8	30.4	26.7	21.0	26.0	26.7	21.81	21.48	22.74	18.83	18.94	18.96	14.97	10.94	9.40	.
13	20.2	35.2	23.9	20.3	31.8	25.3	20.8	29.5	26.2	21.9	26.1	26.3	22.43	22.06	22.97	19.16	19.28	19.27	15.11	11.01	9.42	.
14	19.2	37.0	23.2	19.5	31.9	25.0	20.1	29.3	26.0	21.5	25.7	26.2	22.51	22.01	22.99	19.46	19.55	19.56	15.25	11.03	9.42	.
15	19.8	37.5	23.1	19.9	32.0	25.0	20.4	29.4	26.0	21.6	25.8	26.2	22.56	22.10	23.04	19.66	19.76	19.76	15.41	11.11	9.48	9.45
16	15.6	38.3	23.7	19.8	32.4	25.5	20.3	29.7	26.4	21.5	25.9	26.5	22.61	22.11	23.12	19.85	19.89	19.88	15.58	11.18	9.50	.
17	20.0	34.1	23.8	20.2	31.7	25.7	20.8	29.8	26.7	22.0	26.3	26.7	22.81	22.40	23.31	19.97	20.05	20.06	15.74	11.22	9.52	.
18	20.8	37.7	23.8	20.9	32.5	25.7	21.2	30.1	26.7	22.2	26.6	26.7	23.11	22.61	23.56	20.36	20.24	20.25	15.89	11.30	9.55	.
19	21.5	38.2	24.4	21.5	32.0	26.2	21.7	29.3	27.0	22.6	26.2	26.9	23.20	22.81	23.66	20.35	20.41	20.43	16.01	11.34	9.60	.
20	19.0	22.0	18.9	20.3	22.1	20.0	21.4	22.2	20.8	22.8	22.2	21.7	23.40	22.64	22.20	20.52	20.57	20.57	16.18	11.42	9.62	.
21	19.0	34.7	21.6	19.1	29.7	23.8	19.2	25.2	24.7	20.0	23.8	24.8	21.42	21.18	22.15	20.45	20.34	20.16	16.32	11.51	9.66	.
22	18.2	34.6	21.5	18.6	30.5	23.7	19.2	28.0	24.6	20.4	24.7	24.8	21.89	21.49	22.34	20.14	20.14	20.08	16.42	11.53	9.69	9.44
23	19.2	38.2	22.4	19.3	31.7	23.8	19.6	28.4	24.3	20.8	24.7	24.3	22.00	21.63	22.42	20.13	20.16	20.13	16.48	11.63	9.74	.
24	19.4	38.1	22.8	19.6	31.5	25.0	20.0	28.3	25.9	21.1	25.0	25.9	22.11	21.73	22.74	20.13	20.16	20.15	16.52	11.59	9.73	.
25	19.8	35.0	23.0	20.2	30.5	25.0	20.7	28.3	25.7	21.8	25.3	25.7	22.54	22.18	23.04	20.20	20.33	20.28	16.59	11.77	9.80	.
26	20.0	39.0	22.7	20.4	32.6	24.8	21.0	29.1	25.8	22.1	25.7	25.9	22.81	22.41	23.31	20.37	20.44	20.44	16.66	11.82	9.80	.
27	21.0	28.7	21.3	21.1	26.6	23.2	21.4	25.4	24.0	22.2	24.1	24.2	22.95	22.51	22.85	20.55	20.61	20.62	16.73	11.90	9.86	.
28	19.2	40.6	22.8	19.6	33.4	25.3	20.1	29.3	26.4	21.1	25.5	26.4	22.35	22.02	23.12	20.63	20.60	20.56	16.81	11.98	9.90	.
29	18.8	24.2	18.8	20.5	22.7	20.3	21.6	22.1	21.6	22.6	22.0	22.6	22.99	22.31	22.20	20.63	20.66	20.66	16.90	12.04	9.92	9.45
30	17.3	29.7	21.2	17.3	28.6	22.3	17.8	27.2	23.3	19.2	24.2	23.7	21.43	21.07	21.93	20.58	20.50	20.36	16.98	12.11	9.95	.
31	18.1	29.1	21.3	18.4	28.0	22.7	19.0	26.6	23.7	20.2	23.9	24.0	21.59	21.28	22.01	20.34	20.31	20.25	17.02	12.19	10.01	.
Mittel	18.65	32.92	21.56	18.78	29.45	23.08	19.18	27.07	24.04	20.24	24.02	24.36	21.34	20.94	21.77	19.21	19.24	19.21	15.53	11.20	9.51	9.46
August																						
1	18.6	23.7	19.6	19.1	23.9	20.3	19.8	23.5	21.0	20.8	22.5	21.6	21.71	21.31	21.48	20.24	20.24	20.17	17.07	12.23	10.02	.
2	17.6	19.8	18.0	18.1	19.6	18.7	18.7	19.6	19.2	19.7	19.6	19.8	20.92	20.42	20.24	20.14	20.07	19.96	17.09	12.31	10.06	.
3	16.9	27.8	18.3	17.0	25.0	19.7	17.3	23.0	21.0	18.1	21.1	22.0	19.75	19.44	20.28	19.79	19.66	19.53	17.10	12.35	10.10	.
4	15.0	29.2	20.0	15.5	27.2	21.2	16.2	24.6	22.2	17.7	21.4	22.5	19.94	19.45	20.35	19.44	19.38	19.30	17.07	12.41	10.13	.
5	17.4	23.8	16.7	17.4	24.3	17.8	17.8	24.2	19.0	18.9	22.4	20.3	20.21	19.95	20.39	19.28	19.29	19.26	17.04	12.43	10.16	9.43
6	14.5	27.6	18.5	14.8	26.2	19.8	15.6	24.2	20.9	17.2	21.2	21.8	19.61	19.15	19.98	19.24	19.21	19.09	16.97	12.51	10.22	.
7	15.9	23.9	16.1	16.2	23.2	17.3	16.8	22.0	18.5	18.1	20.4	19.6	19.77	19.38	19.71	19.05	19.05	19.00	16.95	12.60	10.20	.
8	13.5	16.5	14.3	14.4	16.6	14.8	15.3	16.8	15.4	16.6	16.6	16.3	18.95	18.15	17.89	18.95	18.93	18.74	16.88	12.11	10.26	.
9	13.2	25.0	14.5	13.2	22.4	15.7	13.6	19.7	17.0	14.6	17.2	18.1	17.28	16.95	17.67	18.49	18.30	18.10	16.87	12.70	10.30	.
10	12.6	26.7	16.3	12.7	25.4	17.6	13.2	23.0	18.7	14.4	19.3	19.4	17.20	16.88	17.91	17.24	17.86	17.75	16.82	12.71	10.34	.
11	13.5	24.1	16.0	13.7	22.7	17.1	14.1	20.6	18.0	15.4	18.0	18.7	17.61	17.11	17.73	17.73	17.71	17.64	16.71	12.77	10.40	.
12	14.2	22.1	14.3	14.5	21.6	15.5	15.1	20.3	16.7	16.1	18.3	17.9	17.51	17.25	17.71	17.58	17.56	17.51	16.60	12.82	10.41	9.43
13	12.2	17.2	15.3	12.4	17.7	15.8	13.0	17.7	16.4	14.5	17.1	16.9	17.11	16.64	16.92	17.47	17.45	17.34	16.50	12.91	10.45	.
14	13.8	23.9	14.6	13.8	21.2	16.0	14.2	19.1	17.3	15.0	17.5	18.2	16.62	16.41	17.10	17.24	17.16	17.06	16.44	12.92	10.50	.
15	11.9	22.0	14.4	12.2	20.7	15.2	12.9	18.8	16.0	14.3	16.8	16.9	16.71	16.21	16.69	17.04	17.03	16.93	16.33	13.00	10.54	.
16	13.3	17.5	13.6	13.4	17.3	14.1	13.8	16.4	14.8	14.7	15.6	15.5	16.37	16.01	16.12	16.86	16.81	16.74	16.23	13.01	10.56	.
17	13.2	17.5	15.1	13.1	16.8	15.5	13.3	16.2	16.0	14.1	15.5	16.2	15.80	15.52	15.87	16.64	16.56	16.47	16.15	13.03	10.62	.
18	14.2	28.3	17.9	14.2	25.3	18.7	14.5	21.9	19.4	14.8	18.1	19.6	15.83	15.72	16.81	16.39	16.35	16.29	16.06	13.06	10.65	.
19	15.9	28.0	19.6	15.8	26.1	20.2	16.0	23.6	20.8	16.6	20.3	20.8	17.01	16.91	17.90	16.36	16.44	16.47	15.95	13.10	10.70	9.45
20	17.2	18.8	16.0	17.4	18.9	16.8	17.7	18.9	17.6	18.2	18.6	18.3	18.07	17.83	17.90	16.65	16.77	16.85	15.86	13.11	10.73	.
21	15.4	18.6	11.7	15.4	18.9	13.1	15.7	19.2	14.8	16.4	18.4	16.5	17.43	17.20	17.38	16.94	16.93	16.94	15.80	13.11	10.74	.
22	11.0	20.3	13.8	11.2	18.1	14.5	11.8	16.4	15.2	13.1	15.4	15.8	16.35	15.74	16.01	16.91	16.84	16.68	15.80	13.15	10.81	.
23	11.9	18.4	12.6	12.2	18.1	13.6	12.7	17.2	15.0	13.7	16.1	15.8	15.79	15.46	15.79	16.55	16.46	16.35	15.79	13.15	10.83	.
24	11.8	15.7	13.4	12.0	15.8	13.7	12.8	15.4	14.4	13.8	14.8	14.9	15.50	15.14	15.24	16.25	16.17	16.07	15.72	13.19	10.86	.
25	14.0	19.2	15.1	13.7	18.0	15.6	13.7	17.0	16.1	14.0	16.0	16.2	15.08	15.02	15.51	15.96	15.88	15.83	15.67	13.21	10.91	.
26	14.0	18.8	15.8	13.8	18.5	15.9	14.0	17.6	16.2	14.6	16.4	16.3	15.49	15.38	15.83	15.77	15.75	15.75	15.56	13.20	10.90	9.44
27	12.5	14.7	12.4	12.8	15.1	12.8	13.4	15.4	13.5	14.4	15.2	14.2	15.70	15.35	15.53	15.75	15.76	15.66	15.47	13.20	10.96	.
28	12.8	16.7	12.7	12.5	16.4	13.2	12.8	15.8	14.1	13.3	15.0	14.8	14.75	14.58	14.97	15.66	15.59	15.52	15.39	13.20	10.99	.
29	10.3	23.4	14.7	10.2	21.6	15.2	11.1	18.4	16.0	12.2	15.6	16.3	14.48	14.13	15.07	15.43	15.37	15.26	15.34	13.22	11.01	.
30	13.0	25.2	16.4	13.0	24.4	17.1	13.3	21.5	18.0	14.0	18.0	18.2	15.04	14.93	16.13	15.24	15.24	15.20	15.25	13.22	11.04	.
31	14.9	20.8	13.4	15.0	20.4	14.2	15.3	18.8	15.8	15.8	17.3	16.6	16.15	15.94	16.31	15.33	15.43	15.46	15.17	13.21	11.06	.
Mittel	14.07	21.78	15.52	14.22	20.88	16.34	14.69	19.57	17.26	15.65	17.92	17.94	17.28	16.95	17.43	17.34	17.33	17.26	16.25	12.88	10.56	9.44

Zeitangaben nach mittlerer Ortszeit

Bodentemperaturen

(beobachtet zu den Haupttterminen, resp. nur um 2p).

Datum	Tiefe 0.02 m			Tiefe 0.05 m			Tiefe 0.10 m			Tiefe 0.20 m			Tiefe 0.50 m			Tiefe 1.00 m			Tiefe in Metern 2.00	4.00	6.00	12.00
	7a	2p	9p	7a	2p	9p	7a	2p	9p	7a	2p	9p	7a	2p	9p	7a	2p	9p	2p			
September																						
1	9.7	25.0	13.0	10.0	22.9	13.8	11.2	20.2	15.3	11.0	16.9	16.4	15.60	14.95	15.77	15.56	15.56	15.48	15.10	13.24	11.11	.
2	10.6	19.4	14.3	10.8	18.5	14.5	11.6	16.9	15.2	11.1	15.1	15.6	15.21	14.62	15.09	15.46	15.45	15.36	15.08	13.23	11.13	9.45
3	12.1	17.8	13.2	12.1	18.0	13.5	12.5	18.0	14.4	13.4	16.2	15.2	14.81	14.51	15.08	15.31	15.26	15.19	15.04	13.22	11.13	.
4	9.2	17.9	13.3	9.6	17.8	13.4	10.4	17.3	13.9	12.1	15.8	14.5	14.56	14.10	14.62	15.36	15.13	15.05	15.00	13.23	11.18	.
5	11.1	16.3	9.7	11.1	15.9	10.3	11.8	15.2	11.7	12.8	14.4	13.2	14.37	14.09	14.26	14.98	14.95	14.86	14.95	13.24	11.21	.
6	8.7	13.2	9.8	8.7	12.9	10.3	9.3	12.5	11.4	10.5	12.1	12.2	13.38	12.81	12.98	14.82	14.72	14.56	14.89	13.24	11.22	.
7	10.1	17.1	10.4	10.0	15.3	10.6	10.3	13.8	11.6	11.0	12.7	12.4	*12.94*	12.50	12.91	*14.45*	14.30	14.17	14.81	13.23	11.24	.
8	8.1	19.9	9.8	8.3	17.9	10.4	9.0	15.6	11.6	10.2	13.2	12.7	12.50	12.18	12.81	14.07	13.99	13.89	14.72	13.24	11.29	.
9	8.2	15.1	8.9	8.4	15.5	9.6	8.9	14.5	10.6	10.0	12.5	11.7	12.35	11.97	12.43	13.83	13.75	13.65	14.61	13.23	11.31	9.47
10	9.3	13.7	9.4	9.4	12.9	9.8	9.8	11.9	10.5	10.4	11.2	11.1	12.04	11.79	11.98	13.57	13.48	13.25	14.49	13.23	11.32	.
11	8.8	15.0	9.9	8.8	14.7	10.4	9.2	14.2	11.3	9.8	12.6	12.0	11.56	11.43	12.08	13.16	13.07	13.00	14.37	13.23	11.34	.
12	6.4	19.8	10.4	6.7	18.3	10.8	7.7	16.0	11.9	9.2	13.0	12.7	11.72	11.32	12.20	12.96	12.94	12.89	14.21	13.23	11.36	.
13	6.5	19.7	12.3	6.8	18.6	12.6	7.7	16.4	13.2	9.2	13.4	13.4	11.86	11.46	12.37	12.87	12.89	12.83	14.08	13.23	11.40	.
14	10.0	13.5	11.1	10.0	13.3	11.2	10.4	13.0	11.5	11.0	12.3	11.8	12.34	12.07	12.22	12.85	12.90	12.84	13.96	13.22	11.41	.
15	9.5	12.3	7.7	9.6	12.3	8.5	10.0	12.4	9.8	10.8	11.8	11.2	12.03	11.82	12.08	12.89	12.88	12.82	13.84	13.20	11.41	.
16	8.0	16.1	9.3	8.1	15.4	9.8	8.5	14.4	10.7	9.4	12.3	11.8	11.47	11.26	11.90	12.82	12.78	12.72	13.76	13.19	11.41	9.50
17	10.6	15.7	11.3	10.6	15.2	11.4	10.6	14.1	12.0	10.7	12.7	12.2	11.70	11.72	12.20	12.70	12.67	12.63	13.68	13.19	11.45	.
18	9.7	13.4	9.8	9.6	12.7	10.2	10.0	12.3	10.9	10.8	11.8	11.4	12.07	11.84	12.00	12.68	12.70	12.67	13.59	13.16	11.46	.
19	5.5	14.1	6.6	6.1	13.6	7.6	7.4	12.8	9.4	9.2	11.4	10.9	11.59	11.15	11.57	12.67	12.64	12.59	13.53	13.15	11.48	.
20	3.6	16.6	6.8	4.2	15.0	7.8	5.5	12.6	8.7	7.6	10.2	10.3	10.86	10.26	10.73	12.51	12.46	12.32	13.56	13.13	11.50	.
21	4.2	16.1	10.3	4.7	14.8	10.4	6.0	12.4	10.9	7.6	10.1	11.0	10.37	9.91	10.54	12.22	12.14	12.01	13.37	13.11	11.51	.
22	8.9	13.7	8.8	8.9	13.0	9.3	9.2	12.3	10.4	9.8	11.4	11.2	10.69	10.67	11.08	11.93	11.93	11.89	13.26	13.10	11.53	.
23	8.4	16.3	10.5	8.8	15.2	10.6	9.5	13.6	11.2	10.1	11.8	11.6	10.96	10.87	11.33	11.91	11.92	11.88	13.18	13.10	11.54	9.52
24	5.1	11.0	8.6	5.6	10.6	8.8	6.9	10.3	9.4	8.8	9.8	9.9	11.07	10.49	10.57	11.94	11.94	11.90	13.09	13.04	11.55	.
25	7.6	11.4	8.3	7.8	11.0	8.6	8.2	10.7	9.4	8.8	10.1	9.9	10.31	10.17	10.41	11.84	11.80	11.72	13.00	13.02	11.56	.
26	7.4	14.2	7.3	7.5	13.0	8.0	8.0	11.7	9.1	8.6	10.4	10.0	10.18	10.04	10.48	11.67	11.64	11.58	12.95	13.02	11.57	.
27	6.3	12.1	8.8	6.4	11.9	9.1	7.1	11.4	10.7	8.1	10.0	9.1	10.08	9.78	10.19	11.54	11.53	11.45	12.87	13.00	11.60	.
28	4.2	13.7	6.2	4.8	13.1	7.0	6.2	12.0	8.5	7.8	10.2	9.6	10.01	9.59	10.12	11.42	11.38	11.33	12.78	12.96	11.60	.
29	3.2	15.3	7.2	4.7	14.2	7.6	4.9	12.2	8.4	6.6	9.5	9.8	9.51	9.01	9.67	11.31	11.27	11.17	12.71	12.95	11.61	.
30	3.9	15.0	8.6	4.4	14.0	9.0	5.6	12.2	9.6	7.2	9.6	10.0	9.42	9.02	9.70	11.07	11.05	11.01	12.60	12.93	11.63	9.56
Mittel	7.83	15.68	9.72	8.08	14.92	10.16	8.78	13.76	11.11	9.79	12.15	11.83	11.92	11.58	12.04	13.08	13.04	12.96	13.90	13.15	11.40	9.50
Oktober																						
1	9.4	13.5	9.3	9.4	13.0	9.7	9.4	12.2	10.4	9.3	10.9	10.7	9.80	9.90	10.39	10.94	10.94	10.95	12.51	12.92	11.64	.
2	10.0	12.3	7.3	9.8	12.1	7.9	9.9	11.7	9.0	9.9	10.9	10.0	10.29	10.29	10.51	11.01	11.04	11.07	12.44	12.85	11.64	.
3	6.2	10.8	2.9	6.4	10.2	3.9	7.0	9.8	5.9	7.8	9.3	7.8	9.89	9.52	9.69	11.12	11.12	11.05	12.37	12.83	11.64	.
4	0.2	9.9	1.7	0.8	9.6	2.7	2.4	8.5	4.5	4.5	6.7	6.2	8.54	7.69	8.08	10.99	10.90	10.73	12.30	12.82	11.66	.
5	0.1	9.7	2.4	0.7	9.0	3.2	2.0	7.5	4.6	3.7	5.7	5.9	7.31	6.75	7.19	10.51	10.33	10.12	12.25	12.81	11.66	.
6	−0.1	8.8	1.2	0.5	8.6	2.1	1.8	7.4	3.8	3.4	5.5	5.3	6.71	6.19	6.69	9.92	9.81	9.63	12.11	12.76	11.65	.
7	−0.5	8.6	1.6	0.2	8.4	2.2	0.4	7.2	3.7	3.0	5.0	5.0	6.16	5.68	6.23	9.43	9.32	9.14	11.98	12.72	11.65	9.57
8	0.0	10.6	6.5	0.3	10.2	6.6	1.5	8.4	6.7	2.9	5.6	6.7	5.84	5.47	6.29	9.02	8.92	8.80	11.80	12.70	11.66	.
9	4.7	10.7	4.4	4.8	10.3	5.0	5.1	9.2	6.0	5.6	7.2	6.9	6.65	6.65	7.21	8.72	8.72	8.67	11.63	12.65	11.67	.
10	0.8	7.4	5.7	1.3	7.1	5.8	2.6	6.5	6.0	4.3	5.6	6.1	6.84	6.34	6.59	8.72	8.75	8.72	11.44	12.63	11.67	.
11	5.2	10.8	3.4	5.3	10.2	4.2	5.6	9.0	5.5	5.8	7.2	6.6	6.69	6.77	7.21	8.64	8.64	8.62	11.28	12.61	11.67	.
12	0.4	9.1	2.4	1.0	8.9	3.1	2.4	7.8	4.4	4.1	5.8	5.6	6.74	6.22	6.63	8.64	8.65	8.62	11.15	12.58	11.68	.
13	2.8	10.2	3.8	2.8	9.6	4.4	3.2	8.3	5.4	4.1	6.4	6.2	6.24	6.05	6.60	8.54	8.50	8.43	11.05	12.54	11.70	.
14	1.5	10.6	7.4	1.9	10.3	7.4	3.2	9.0	7.5	4.5	6.6	7.2	6.42	6.12	6.74	8.41	8.38	8.34	10.95	12.53	11.70	9.64
15	8.3	11.4	4.6	8.2	11.1	5.3	7.9	10.4	6.6	7.3	8.8	7.8	7.10	7.41	7.90	8.32	8.35	8.42	10.81	12.45	11.70	.
16	4.8	12.8	7.6	5.0	12.1	7.7	5.5	10.5	8.2	6.1	8.2	8.4	7.51	7.29	7.89	8.52	8.61	8.62	10.72	12.43	11.71	.
17	2.9	10.1	8.3	3.5	9.6	8.4	4.8	8.8	8.4	6.2	7.6	8.2	7.83	7.90	7.78	8.65	8.72	8.72	11.12	12.42	11.71	.
18	4.9	10.1	5.0	5.1	9.8	4.4	5.6	9.2	6.3	6.5	8.0	7.2	7.80	8.11	7.89	8.73	8.78	8.81	10.58	12.33	11.71	.
19	3.2	7.2	5.4	3.4	7.1	5.6	4.2	6.8	6.2	5.3	6.3	6.6	7.44	7.07	7.20	8.82	8.80	8.72	10.55	12.31	11.67	.
20	2.8	10.9	5.7	3.2	9.9	6.0	4.1	8.3	6.2	5.1	6.6	6.4	6.99	6.72	7.29	8.72	8.65	8.55	10.49	12.24	11.69	.
21	2.6	10.9	3.8	3.1	10.1	4.3	4.1	8.6	5.3	5.3	6.8	6.0	7.05	6.32	7.09	8.54	8.42	8.51	10.47	12.22	11.68	9.66
22	1.4	8.3	6.2	1.9	7.9	6.2	3.1	7.0	6.1	4.4	5.5	5.8	6.69	6.32	6.09	8.46	8.42	8.38	10.40	12.14	11.66	.
23	6.4	6.9	4.4	6.4	6.9	5.0	6.5	6.9	5.4	6.4	6.7	5.9	6.69	6.88	6.99	8.28	8.27	8.30	10.46	12.12	11.66	.
24	3.8	8.4	5.3	4.0	7.8	5.4	4.6	7.1	5.8	5.2	6.2	6.1	6.71	6.59	6.79	8.29	8.26	8.22	10.29	12.03	11.65	.
25	4.2	5.3	3.2	4.4	5.5	3.4	5.0	5.4	4.2	5.5	5.5	5.0	6.70	6.51	6.44	8.22	8.17	8.15	10.20	12.04	11.63	.
26	2.8	4.0	3.2	3.1	4.1	3.4	3.8	4.2	3.9	4.3	4.4	4.4	6.12	5.89	5.79	8.11	8.02	7.93	10.16	11.94	11.63	.
27	3.2	5.6	6.6	3.3	5.4	6.2	3.6	5.1	5.8	4.1	4.7	5.4	5.58	5.54	5.65	7.82	7.75	7.66	10.08	11.93	11.63	.
28	5.6	13.2	8.1	5.7	11.6	8.1	6.0	9.7	8.2	6.0	7.6	8.0	6.09	6.29	6.97	7.11	7.60	7.61	9.98	11.88	11.61	9.68
29	7.9	11.7	10.2	8.0	10.9	10.0	8.0	10.0	9.9	7.7	8.7	9.2	7.31	7.48	7.94	7.71	7.80	7.90	9.88	11.82	11.60	.
30	9.5	12.9	10.5	9.3	12.1	10.5	9.2	11.2	10.5	8.9	9.9	10.2	8.28	8.40	8.88	8.04	8.17	8.31	9.83	11.81	11.58	.
31	7.4	10.8	7.3	7.6	10.3	7.5	8.1	9.6	7.9	8.5	8.8	8.3	8.92	8.69	8.72	8.45	8.57	8.67	9.79	11.74	11.58	.
Mittel	3.95	9.79	5.34	4.21	9.35	5.66	4.86	8.43	6.40	5.67	7.05	6.94	7.26	7.07	7.40	8.88	8.88	8.85	11.00	12.38	11.66	9.64

Zeitangaben nach mittlerer Ortszeit

Bodentemperaturen

(beobachtet zu den Hauptterminen, resp. nur um 2p).

Datum	Tiefe 0.02 m			Tiefe 0.05 m			Tiefe 0.10 m			Tiefe 0.20 m			Tiefe 0.50 m			Tiefe 1.00 m			Tiefe in Metern 2.00	4.00	6.00	12.00
	7a	2p	9p	7a	2p	9p	7a	2p	9p	7a	2p	9p	7a	2p	9p	7a	2p	9p	2p			
November																						
1	2.6	7.2	0.6	3.9	7.2	1.5	5.8	6.9	3.1	7.3	6.6	4.9	8.41	7.89	7.54	8.75	8.78	8.78	9.79	11.71	11.56	.
2	2.5	7.8	1.8	2.7	6.9	2.4	3.3	5.8	3.5	4.0	5.1	4.4	6.50	6.16	6.26	8.70	8.58	8.45	9.84	11.67	11.56	.
3	1.7	6.0	0.0	2.1	5.4	0.7	2.9	4.9	2.0	3.8	4.5	3.3	5.91	5.59	5.61	8.27	8.13	8.02	9.86	11.64	11.55	.
4	-2.0	2.7	1.5	-0.9	1.9	1.5	0.7	1.2	1.9	2.0	1.8	2.4	4.88	4.50	4.22	7.83	7.71	7.54	9.83	11.62	11.54	9.75
5	0.8	4.2	2.9	1.0	3.9	3.1	1.9	3.5	3.6	2.7	3.1	3.8	4.21	4.19	4.41	7.32	7.20	7.03	9.76	11.60	11.54	.
6	0.4	5.2	-0.2	0.7	4.6	0.3	1.6	4.1	1.3	2.6	3.3	2.4	4.46	4.13	4.21	6.77	6.70	6.62	9.62	11.52	11.53	.
7	-1.7	0.2	-0.2	-0.9	-0.1	-0.1	0.4	0.5	0.4	1.4	1.3	1.1	3.72	3.42	3.23	6.53	6.44	6.33	9.48	11.51	11.52	.
8	-0.4	0.0	0.0	-0.1	-0.1	0.0	0.4	0.4	0.4	1.0	1.0	1.0	3.01	2.91	2.81	6.18	6.06	5.97	9.30	11.47	11.51	.
9	2.0	6.8	2.4	1.5	6.1	2.6	1.3	4.9	2.6	1.2	3.4	2.8	2.76	2.91	3.49	5.80	5.64	5.54	9.14	11.43	11.50	.
10	3.8	6.1	5.8	3.7	5.6	5.6	3.8	5.0	5.4	3.4	4.2	4.8	3.68	3.90	4.29	*5.53*	5.52	5.53	8.97	11.41	11.46	.
11	4.4	5.8	1.2	4.5	5.7	1.5	4.7	5.5	2.4	4.5	5.0	3.6	4.71	4.80	4.90	5.62	5.70	5.78	8.78	11.34	11.45	.
12	0.0	4.7	0.4	0.3	4.3	0.8	1.2	2.3	1.6	2.1	2.4	2.4	4.29	3.86	3.87	5.75	5.83	5.80	8.62	11.31	11.43	.
13	0.1	2.6	0.3	0.3	2.3	0.5	0.9	2.4	1.2	1.6	2.2	1.9	3.58	3.35	3.40	5.77	5.68	5.63	8.54	11.24	11.43	9.80
14	-0.2	3.2	2.4	0.1	2.8	2.4	0.7	2.4	2.5	1.3	1.8	2.4	3.19	3.00	3.10	5.53	5.45	5.39	8.40	11.23	11.42	.
15	3.4	5.9	3.5	3.3	5.4	3.4	3.2	4.6	3.6	2.8	3.7	3.6	3.33	3.57	3.88	5.32	5.38	5.32	8.29	11.18	11.42	.
16	3.4	5.6	4.3	3.4	5.4	4.4	3.4	5.0	4.5	3.5	4.3	4.4	4.00	4.07	4.32	5.32	5.33	5.33	8.19	11.15	11.39	.
17	3.2	5.6	4.0	3.4	5.3	4.1	3.7	5.0	4.3	3.9	4.4	4.4	4.44	4.41	4.58	5.41	5.48	5.51	8.09	11.03	11.33	.
18	3.2	6.3	0.8	3.4	5.9	1.7	3.6	5.4	3.1	4.0	4.5	4.0	4.58	4.50	4.69	5.57	5.61	5.62	8.03	10.99	11.33	9.80
19	-1.6	1.9	2.1	-0.1	1.3	2.3	1.0	1.4	2.6	2.2	1.8	2.6	4.27	3.68	3.49	5.68	5.69	5.61	7.97	10.92	11.32	.
20	2.8	4.8	3.7	2.7	4.4	3.8	2.7	4.1	3.8	2.7	3.6	3.8	3.58	3.68	3.91	5.52	5.49	5.42	7.95	10.85	11.31	.
21	3.4	5.2	0.9	3.4	5.1	1.9	3.6	4.8	3.0	3.6	4.2	3.6	4.09	4.14	3.33	5.51	5.43	5.52	7.89	10.80	11.28	.
22	0.6	3.8	0.2	0.9	3.6	0.5	1.5	3.3	1.2	2.2	2.8	2.1	3.95	3.66	3.61	5.49	5.48	5.43	7.85	10.75	11.26	.
23	0.2	3.4	0.0	0.4	3.2	0.3	1.0	2.8	1.1	1.6	2.3	1.8	3.22	3.10	3.20	5.36	5.33	5.29	7.78	10.72	11.24	.
24	-1.7	0.6	0.9	-0.6	-0.1	0.5	0.4	0.4	0.5	1.1	1.0	0.9	2.90	2.68	2.51	5.18	5.11	5.04	7.76	10.70	11.24	.
25	2.0	4.4	3.0	1.8	4.0	3.0	1.9	3.4	3.0	1.8	2.7	2.9	2.59	2.78	3.08	4.92	4.88	4.82	7.69	10.63	11.23	9.85
26	2.5	5.0	2.8	2.4	4.7	3.0	2.7	4.1	3.4	2.8	3.4	3.4	3.26	3.35	3.58	4.81	4.83	4.85	7.60	10.58	11.22	.
27	2.0	4.8	3.0	2.3	4.4	3.4	2.8	4.0	3.8	3.1	3.5	3.8	3.69	3.68	3.86	4.90	4.93	4.97	7.50	10.52	11.20	.
28	1.2	3.4	2.0	0.9	3.3	1.9	1.4	2.0	2.2	2.2	2.7	2.6	3.70	3.41	3.46	5.02	5.03	5.03	7.45	10.45	11.16	.
29	-0.9	0.7	-1.1	0.0	0.4	-0.3	0.8	0.7	0.4	1.7	1.3	1.0	3.30	2.99	2.76	5.02	5.00	4.95	7.38	10.43	11.14	.
30	0.0	2.5	0.7	-0.1	1.9	0.8	0.4	1.4	1.2	0.9	1.1	1.4	2.49	2.37	2.40	4.87	4.80	4.72	7.35	10.35	11.13	.
Mittel	1.26	4.21	1.66	1.55	3.82	1.92	2.12	3.41	2.45	2.63	3.10	2.92	4.02	3.89	3.93	5.94	5.91	5.86	8.49	11.09	11.37	9.80
Dezember																						
1	0.4	1.4	-0.2	0.4	1.3	0.1	0.8	1.5	0.6	1.2	1.6	1.2	2.52	2.48	2.50	4.63	4.68	4.52	7.28	10.40	11.11	.
2	-1.3	0.2	0.0	-0.9	-0.1	-0.2	-0.1	0.2	0.0	0.6	0.7	0.4	2.26	2.10	2.04	4.50	4.53	4.39	7.19	10.27	11.08	9.89
3	-0.7	0.4	1.0	-0.4	-0.1	0.5	0.2	0.2	0.3	0.6	0.6	0.4	1.92	1.88	1.89	4.32	4.28	4.24	7.18	10.23	11.06	.
4	1.3	4.2	0.7	1.1	3.8	0.6	1.2	2.0	1.0	1.1	1.9	1.4	1.90	2.05	1.79	4.13	4.11	4.06	7.07	10.21	11.03	.
5	0.8	3.0	-0.5	1.0	2.9	-0.1	1.4	2.4	0.6	1.4	1.8	1.2	2.29	2.29	1.82	4.06	4.06	4.03	6.96	10.14	11.03	.
6	-2.0	0.1	-2.4	-1.1	-0.1	-0.4	0.1	0.2	-0.1	0.7	0.6	0.3	2.09	1.91	1.88	4.03	4.03	4.01	6.87	10.08	11.01	.
7	-2.8	0.2	0.0	-1.9	-0.1	-0.1	-0.6	0.0	0.0	0.4	0.4	0.3	1.69	1.61	1.63	3.93	3.92	3.89	6.78	10.03	10.97	.
8	0.0	0.1	0.0	-0.1	-0.1	-0.1	0.0	0.0	0.0	0.4	0.4	0.4	1.51	1.49	1.47	3.81	3.75	3.73	6.70	9.97	10.94	.
9	0.3	3.1	2.2	-0.1	1.8	2.2	0.1	0.9	1.9	0.4	0.5	1.5	1.47	1.47	1.60	3.63	3.59	3.63	6.64	9.93	10.92	9.93
10	-0.9	0.5	1.6	-0.1	-0.1	1.3	0.4	0.3	1.1	0.9	0.7	0.9	1.81	1.71	1.66	3.60	3.60	3.61	6.55	9.91	10.91	.
11	2.8	3.8	3.6	2.6	3.6	3.4	2.3	3.2	3.3	1.9	2.6	2.9	1.88	2.18	2.51	3.59	3.59	3.62	6.46	9.82	10.89	.
12	3.0	4.8	4.6	3.0	4.5	4.5	3.1	4.0	4.3	3.0	3.4	3.8	2.82	2.97	3.22	3.70	3.74	3.82	6.38	9.79	10.84	.
13	1.8	4.0	3.6	2.1	4.0	3.6	2.6	3.6	3.6	2.9	2.9	3.4	3.47	3.11	3.29	3.93	4.02	4.07	6.35	9.72	10.82	.
14	4.2	6.5	8.2	4.0	6.0	7.8	3.8	5.3	7.0	3.4	4.3	5.6	3.41	3.59	3.99	4.13	4.19	4.18	6.32	9.65	10.81	.
15	7.5	7.3	3.5	6.8	7.2	4.0	6.3	7.1	4.6	5.7	6.4	5.1	4.68	5.06	5.27	4.31	4.43	4.49	6.28	9.55	10.73	.
16	5.2	5.7	1.0	5.1	5.7	1.7	5.0	5.7	2.9	4.8	5.3	4.0	4.87	4.88	4.89	4.77	4.86	4.92	6.28	9.49	10.72	9.91
17	-0.1	1.4	0.1	0.3	0.9	0.3	1.2	1.1	0.9	2.2	1.8	1.4	4.20	3.69	3.39	4.99	5.01	4.92	6.33	9.43	10.70	.
18	0.0	1.4	0.9	0.1	0.9	0.8	0.6	0.8	1.1	1.3	1.2	1.4	2.99	2.73	2.60	4.79	4.70	4.58	6.36	9.43	10.68	.
19	-0.1	1.8	1.3	0.2	1.7	1.1	0.9	1.7	1.1	1.4	1.4	1.2	2.50	2.45	2.42	4.43	4.36	4.30	6.37	9.38	10.63	..
20	0.0	2.8	-0.4	0.3	2.8	0.1	1.0	2.6	0.7	1.4	2.0	1.3	2.35	2.35	2.44	4.18	4.13	3.98	6.36	9.33	10.63	.
21	-1.9	0.2	-1.4	-1.1	-0.1	-0.7	0.0	0.2	0.0	1.0	0.7	0.4	2.17	2.00	1.98	3.95	3.96	3.95	6.31	9.32	10.61	.
22	-2.3	0.2	-1.2	-1.8	-0.1	-0.7	-0.4	0.0	-0.1	0.0	0.4	0.3	1.77	1.65	1.60	3.79	3.77	3.75	6.26	9.24	10.60	.
23	0.0	0.9	-0.2	-0.2	0.1	-0.2	0.0	0.1	0.0	0.4	0.4	0.3	1.52	1.59	1.54	3.66	3.63	3.59	6.18	9.23	10.57	9.97
24	0.0	2.0	1.2	-0.1	0.9	0.9	0.1	0.4	0.6	0.4	0.4	0.4	1.50	1.45	1.44	3.53	3.46	3.44	6.09	9.21	10.52	.
25	3.1	4.8	4.0	2.8	4.4	3.6	2.4	3.6	3.3	1.6	2.5	2.6	1.51	1.83	2.20	3.42	3.38	3.40	*6.02*	*9.16*	*10.50*	.
26	4 4	5.0	4.3	4.6	4.8	3.9	4.6	4.5	3.4	4.0	3.7	3.1	2.79	3.08	3.20	3.44	3.48	3.56	5.96	9.11	10.47	.
27	3.8	4.8	1.9	3.8	4.6	2.6	3.8	4.4	3.3	3.6	3.8	3.6	3.34	3.42	3.59	3.68	3.80	3.85	5.89	9.04	10.44	.
28	2.7	6.5	6.4	2.6	5.7	6.1	2.5	4.6	5.8	2.6	3.4	5.1	3.38	3.30	3.70	3.94	4.02	4.04	5.87	9.03	10.42	.
29	6.4	8.1	5.3	6.4	7.6	5.2	6.4	7.0	5.4	5.8	5.9	5.3	4.39	4.69	4.91	4.12	4.23	4.34	5.87	9.00	10.40	.
30	2.8	4.4	3.8	2.8	4.3	4.2	3.2	4.2	4.4	3.9	4.0	4.2	4.76	4.40	4.37	4.52	4.62	4.66	5.88	8.94	10.37	9.98
31	3.1	5.1	2.3	3.2	4.8	2.6	3.4	4.5	3.0	3.6	4.0	3.5	4.27	4.10	4.13	4.70	4.71	4.71	5.93	8.91	10.33	.
Mittel	1.34	3.05	1.78	1.46	2.69	1.89	1.82	2.46	2.06	2.02	2.25	2.16	2.71	2.69	2.74	4.07	4.08	4.07	6.42	9.58	10.73	9.94

Zeitangaben nach mittlerer Ortszeit

Verdunstung

(Die Tagessumme bezieht sich auf die Zeit von 7ª des Vortages bis 7ª des Messungstages).

Datum	Januar				Februar				März				April				Mai				Juni			
	7ª	2ᵖ	9ᵖ	Summe	7ª	2ᵖ	9ᵖ	Summe	7ª	2ᵖ	9ᵖ	Summe	7ª	2ᵖ	9ᵖ	Summe	7ª	2ᵖ	9ᵖ	Summe	7ª	2ᵖ	9ᵖ	Summe
1	0.0	0.0	0.0	0.2	0.1	0.0	0.1	0.1	0.1	0.0	0.2	1.1	0.4	0.1	0.3	1.4	0.1	0.6	0.6	1.4	0.1	0.6	1.0	0.7
2	0.0	0.0	0.0	0.0	*0.0*	0.0	0.1	*0.1*	0.2	0.0	0.2	0.4	0.2	0.1	0.1	0.6	0.4	1.2	1.0	1.6	0.3	1.0	0.3	1.9
3	0.2	0.1	0.2	0.2	0.0	0.1	0.1	0.1	0.2	0.3	0.3	0.4	0.1	0.3	0.5	0.3	0.6	0.9	0.2	2.8	0.4	0.6	0.8	1.7
4	0.3	0.1	0.1	0.6	0.0	0.0	0.0	0.2	0.0	0.1	0.5	0.6	0.1	0.2	0.5	0.9	0.0	0.6	1.0	1.1	0.4	0.8	1.1	1.8
5	0.1	0.0	0.0	0.3	0.0	0.0	0.1	0.0	0.1	0.3	0.3	0.7	0.5	0.2	0.2	1.2	0.2	0.2	0.6	1.8	0.5	0.4	1.0	2.4
6	0.1	0.2	0.2	0.1	0.1	0.1	0.1	0.2	0.2	0.4	0.4	0.8	0.2	0.1	0.3	0.6	0.3	1.0	0.8	1.1	0.3	0.8	1.2	1.7
7	0.1	*0.0*	*0.0*	0.5	0.0	0.0	0.2	0.2	0.1	0.2	0.2	0.9	0.6	0.8	0.5	1.0	0.2	0.0	0.4	2.0	0.3	0.9	1.2	2.3
8	0.1	0.0	0.1	0.1	0.1	0.1	0.2	0.3	0.0	0.1	0.3	0.4	0.1	0.3	0.5	1.4	0.0	0.1	0.3	0.4	0.3	0.2	0.2	2.4
9	0.0	0.0	0.0	0.1	0.0	0.0	0.2	0.3	0.1	0.4	0.4	0.5	0.8	0.9	0.8	1.6	0.2	0.4	0.4	0.6	0.2	0.8	0.7	0.6
10	0.0	0.0	0.0	0.0	0.0	0.1	0.1	0.2	0.0	0.2	0.3	0.8	0.3	0.2	0.4	2.0	0.1	0.5	0.5	0.9	0.3	0.2	0.1	1.8
11	0.0	0.0	0.1	0.0	0.0	0.0	0.0	0.2	0.1	0.2	0.3	0.6	0.0	0.0	0.4	0.6	0.1	0.5	0.7	1.1	0.1	0.2	0.1	0.4
12	0.0	0.1	0.1	0.1	0.0	0.0	0.0	0.0	0.1	0.2	0.2	0.6	0.2	0.1	0.2	0.6	0.8	0.8	1.0	2.0	0.2	0.3	0.3	0.5
13	0.0	0.0	0.1	0.2	0.0	0.0	0.1	0.0	0.2	0.2	0.2	0.6	0.3	0.3	0.1	0.6	0.3	0.6	0.9	2.1	0.1	0.2	0.4	0.7
14	0.0	0.0	0.0	0.1	0.0	0.0	0.0	0.1	0.2	0.1	0.1	0.6	0.0	0.1	0.2	0.4	0.4	0.6	0.8	1.9	0.1	0.2	0.7	0.7
15	0.0	0.0	0.1	0.0	0.0	0.0	0.1	0.0	0.2	0.2	0.4	0.4	*0.2*	*0.2*	*0.4*	*0.5*	0.2	0.5	0.4	1.6	0.5	0.2	0.2	1.4
16	0.0	0.0	0.1	0.1	0.0	0.0	0.1	0.1	0.2	0.2	0.0	0.8	0.3	0.4	0.6	0.9	0.3	0.0	0.4	1.2	0.4	0.5	0.2	0.8
17	0.0	0.0	0.1	0.1	0.0	0.0	0.0	0.1	0.0	0.0	0.2	0.2	0.2	0.6	0.9	1.2	0.0	0.4	0.4	0.4	0.3	0.4	0.5	1.0
18	0.0	0.1	0.0	0.1	0.2	0.2	0.3	0.2	0.1	0.0	0.0	0.3	0.1	0.6	1.2	1.6	0.2	0.4	0.6	1.0	0.1	0.2	0.2	1.0
19	0.1	0.0	0.1	0.2	0.2	0.2	0.3	0.7	0.2	0.3	0.2	0.2	0.2	1.0	0.9	2.0	0.1	0.4	0.5	1.1	0.0	0.2	0.6	0.4
20	0.1	0.1	0.2	0.2	0.2	0.2	0.3	0.7	0.2	0.5	0.3	0.7	0.3	1.0	0.7	2.2	0.2	0.7	0.9	1.1	0.3	0.7	0.7	1.1
21	0.1	0.0	0.1	0.4	0.1	0.0	0.0	0.6	0.3	0.2	0.6	1.1	0.3	0.9	0.9	2.0	0.4	0.5	0.9	2.0	0.1	0.4	0.8	1.5
22	*0.0*	0.0	0.0	*0.1*	0.1	0.0	0.0	0.1	0.4	0.6	0.7	1.2	0.4	0.9	1.1	2.2	0.2	0.1	0.1	1.6	0.1	0.5	0.7	1.3
23	0.0	0.0	0.0	0.0	0.0	0.0	0.0	0.0	0.2	0.4	0.4	1.5	0.5	1.1	1.2	2.5	0.1	0.2	0.3	0.3	0.2	1.0	1.1	1.4
24	0.0	0.0	0.0	0.0	0.0	0.0	0.0	0.0	0.0	0.2	0.2	0.8	0.3	1.0	1.0	2.6	0.1	0.6	0.6	0.6	0.3	0.2	0.4	2.4
25	0.1	0.0	0.0	0.1	0.0	0.0	0.0	0.0	0.0	0.2	0.4	0.4	0.3	0.9	1.1	2.3	0.3	0.4	0.6	1.5	0.1	0.2	0.3	0.7
26	0.0	0.0	0.0	0.0	0.1	0.0	0.1	0.1	0.0	0.2	0.3	0.6	0.2	0.7	0.9	2.2	0.4	0.5	0.7	1.4	0.1	0.2	0.3	0.6
27	0.3	0.4	0.2	0.3	0.1	0.0	0.3	0.2	0.1	0.5	0.6	0.6	0.2	1.3	1.2	1.8	0.3	0.2	0.4	1.5	0.1	0.6	0.8	0.6
28	0.1	0.1	0.0	0.7	0.3	0.1	*0.0*	0.6	0.6	0.5	0.1	1.7	0.2	0.6	1.0	2.7	0.2	0.4	0.6	0.8	0.4	1.0	1.1	1.8
29	0.1	0.0	0.1	0.2	0.1	0.2	0.8	0.2	0.3	0.4	0.4	0.9	0.1	0.5	0.7	1.7	0.2	0.4	0.4	1.2	0.3	1.2	1.3	2.4
30	0.1	0.0	0.1	0.2					0.4	0.4	0.1	1.2	0.4	0.7	0.6	1.6	0.1	0.1	0.2	0.9	0.4	0.0	0.2	2.9
31	0.1	*0.0*	0.0	0.2					0.3	0.4	0.6	0.8					0.1	0.1	0.5	0.4				
Summe	2.0	1.2	2.0	5.4	1.7	1.3	3.6	5.6	5.1	7.9	9.4	22.4	8.0	16.1	19.4	43.2	7.1	13.9	17.7	39.4	7.3	14.7	18.5	40.9
Mittel	0.06	0.04	0.06	0.17	0.06	0.04	0.12	0.19	0.16	0.25	0.30	0.72	0.27	0.54	0.65	1.44	0.23	0.45	0.57	1.27	0.24	0.49	0.62	1.36

Datum	Juli				August				September				Oktober				November				Dezember			
	7ª	2ᵖ	9ᵖ	Summe	7ª	2ᵖ	9ᵖ	Summe	7ª	2ᵖ	9ᵖ	Summe	7ª	2ᵖ	9ᵖ	Summe	7ª	2ᵖ	9ᵖ	Summe	7ª	2ᵖ	9ᵖ	Summe
1	0.1	0.5	0.3	0.3	0.6	0.8	0.4	2.1	0.1	0.3	0.3	0.4	0.3	0.2	0.6	1.1	0.1	0.5	0.4	0.8	0.5	0.1	0.1	0.6
2	0.0	0.2	0.6	0.8	0.2	0.0	0.0	1.4	0.3	0.2	0.4	0.9	0.6	0.3	0.2	1.4	0.2	0.2	0.2	1.1	0.2	0.2	0.2	0.4
3	0.0	0.2	0.4	0.8	0.1	0.3	0.7	0.1	0.0	0.2	0.1	0.6	0.1	0.2	0.3	0.6	0.1	0.2	0.2	0.5	0.1	0.0	0.2	0.5
4	0.0	0.2	0.8	0.6	0.2	0.7	0.9	1.2	0.1	0.4	0.3	0.4	0.1	0.2	0.2	0.6	0.1	0.0	0.0	0.5	0.0	0.0	0.2	0.2
5	0.2	0.6	0.8	1.2	0.3	0.4	0.3	1.9	0.0	0.2	0.4	0.7	0.2	0.4	0.4	0.6	0.2	0.0	0.0	0.2	0.2	0.1	0.1	0.4
6	0.3	1.0	1.0	1.7	0.1	0.3	0.7	0.8	0.2	0.3	0.5	0.8	0.2	0.4	0.4	1.0	0.1	0.2	0.0	0.1	0.2	0.2	0.2	0.4
7	0.2	1.0	1.0	2.2	0.3	0.4	0.3	1.3	0.2	0.1	0.1	1.0	0.0	0.0	0.2	0.8	0.2	0.0	0.1	0.4	0.0	0.0	0.1	0.4
8	*0.1*	*1.3*	*0.5*	2.1	0.1	0.1	0.3	0.8	0.2	0.4	0.4	0.4	0.1	0.2	0.3	0.3	0.1	*0.0*	*0.0*	0.2	0.0	0.1	0.1	0.1
9	*0.1*	0.1	0.7	*1.9*	0.1	0.4	0.4	0.5	0.0	0.2	0.1	0.8	0.1	0.0	0.3	0.6	*0.0*	0.0	0.2	*0.0*	0.0	0.1	0.1	0.2
10	0.2	0.6	0.7	1.0	0.1	0.4	0.4	0.9	0.1	0.0	0.1	0.4	0.0	0.1	0.1	0.3	0.0	0.0	0.0	0.2	0.0	0.1	0.1	0.2
11	0.3	0.8	0.9	1.6	0.2	0.2	0.6	1.0	0.1	0.2	0.2	0.2	0.1	0.2	0.3	0.3	0.0	0.0	0.0	0.0	0.1	0.0	0.0	0.3
12	0.5	1.5	1.4	2.2	0.4	0.6	0.4	1.2	0.1	0.1	0.2	0.5	0.1	0.1	0.2	0.6	0.2	0.0	0.2	0.2	0.1	0.0	0.1	0.1
13	0.5	1.1	1.3	3.4	0.2	0.2	0.4	1.2	0.1	0.2	0.2	0.4	0.1	0.1	0.1	0.4	0.0	0.0	0.0	0.2	0.1	0.1	0.2	0.2
14	0.6	1.2	1.4	3.0	0.1	0.4	0.6	0.7	0.0	0.1	0.1	0.4	0.1	0.2	0.4	0.3	0.0	0.2	0.2	0.0	0.3	0.0	0.0	0.6
15	0.3	1.1	0.9	2.9	0.2	0.4	0.3	1.2	0.1	0.1	0.3	0.3	0.1	0.3	0.3	0.7	0.0	0.0	0.0	0.4	0.4	0.3	0.6	0.4
16	0.5	1.1	1.1	2.5	0.4	0.2	0.4	1.1	0.1	0.1	0.3	0.5	0.1	0.1	0.2	0.7	0.0	0.0	0.1	0.0	0.5	0.1	0.2	1.4
17	0.3	1.1	0.9	2.5	0.3	0.2	0.4	0.9	0.2	*0.2*	*0.4*	0.6	0.2	0.1	0.1	0.5	0.0	0.0	0.0	0.1	0.1	0.1	0.2	0.4
18	0.6	1.6	1.7	2.6	0.2	0.3	1.0	0.8	*0.2*	0.2	0.3	*0.8*	0.1	0.2	0.2	0.3	0.1	0.0	0.0	0.1	0.1	0.2	0.3	0.4
19	0.7	1.6	1.6	4.0	0.5	0.4	1.0	1.8	0.1	0.2	0.3	0.6	0.0	0.0	0.1	0.4	0.2	0.0	0.0	0.2	0.1	0.2	0.1	0.6
20	0.3	0.1	0.1	3.5	0.3	0.2	0.4	1.7	0.1	0.2	0.3	0.6	0.0	0.1	0.1	0.1	0.1	0.0	0.1	0.1	0.3	0.2	0.0	0.6
21	0.1	0.7	1.2	0.3	0.1	0.4	0.6	0.7	0.1	0.2	0.3	0.6	0.1	0.2	0.3	0.3	0.1	0.0	0.2	0.2	0.0	0.0	0.1	0.2
22	0.3	0.8	0.9	2.2	0.3	0.4	0.4	1.3	0.0	0.0	0.2	0.5	0.1	0.1	0.3	0.6	0.0	0.0	0.0	0.2	0.3	0.0	0.1	0.4
23	0.2	0.6	0.6	1.9	0.1	0.5	0.7	0.9	0.0	0.1	0.1	0.2	0.2	0.0	0.0	0.6	0.1	0.0	0.1	0.1	0.1	0.2	0.0	0.2
24	0.2	0.5	0.9	1.4	0.2	0.0	0.0	1.4	0.1	0.1	0.1	0.3	0.0	0.0	0.1	0.0	0.1	0.0	0.1	0.2	0.2	0.1	0.1	0.4
25	0.2	1.2	1.4	1.6	0.1	0.1	0.1	0.1	0.1	0.2	0.2	0.3	0.1	0.0	0.1	0.2	0.1	0.1	0.3	0.2	0.2	0.2	0.2	0.4
26	0.5	1.4	1.0	3.1	0.0	0.2	0.1	0.2	0.0	0.2	0.1	0.4	0.1	0.0	0.0	0.2	0.2	0.2	0.2	0.6	0.4	0.4	0.2	0.8
27	0.1	0.3	0.5	2.5	0.2	0.5	0.1	0.5	0.0	0.0	0.2	0.3	0.0	0.0	0.0	0.0	0.5	0.6	0.4	0.9	0.2	0.0	0.1	0.8
28	0.3	1.6	1.7	1.1	0.1	0.5	0.4	0.7	0.0	0.4	0.3	0.2	0.0	0.3	0.6	0.0	0.2	0.2	0.2	1.2	0.0	0.0	0.0	0.1
29	0.3	0.1	0.7	3.6	0.1	0.5	1.0	1.0	0.1	0.5	0.3	0.8	0.5	0.5	0.7	1.4	0.1	0.0	0.2	0.5	0.0	0.1	0.1	0.0
30	0.2	0.8	1.0	1.0	0.5	0.6	0.6	2.0	0.3	0.4	0.4	1.1	0.2	0.0	0.2	1.4	0.0	0.1	0.0	0.2	0.3	0.2	0.2	0.5
31	0.4	0.6	0.9	2.2	0.1	0.2	0.1	1.3					0.4	0.2	0.5	0.6					0.0	0.0	0.2	0.4
Summe	8.6	25.5	28.9	61.7	6.7	10.8	14.0	32.7	3.0	6.0	7.5	16.0	4.3	4.7	7.8	16.9	3.1	2.5	3.4	9.6	5.0	3.3	4.4	12.6
Mittel	0.28	0.82	0.93	1.99	0.22	0.35	0.45	1.05	0.10	0.20	0.25	0.53	0.14	0.15	0.25	0.55	0.10	0.08	0.11	0.32	0.16	0.11	0.14	0.41

Zeitangaben nach mittlerer Ortszeit

Photogrammetrische Wolkenmessungen 1912.

Zeit Plattennummer	Wolken Zahl der Messungen	Wolken Form	Wolken Seehöhe km	Wolken Zug aus	Wolken Geschwindigkeit m p. s.	Unterwind Richtung	Unterwind Geschwindigkeit m p. s.	Bemerkungen
12. I. 0^{44}p Nr. 2272	4	a-cu	5.01	?	11	ESE	8	Rückseite eines nach NE abziehenden Maximums.
15. I. 10^{39}a 2274	3	ci-st	6.64	E	9	ESE	5	Vorderrand eines von E aufziehenden ci-Feldes; undeutliche Wolkenformen, NNW-SSE gerichtete Wellen schwach erkennbar. Grenzgebiet zwischen Maximum in Nordrußland und Minimum westlich von Irland.
16. I. 0^{12}p 2275	4	a-cu	3.64	SE	4	E	8	a-cu wogenförmig S 67° W-N 67° E angeordnet, senkrecht dazu gestreift. Vielfach eckige Wolkenballen von rund (200 m)² Fläche. Wetterlage ähnlich wie am Vortage.
18. I. 1^{20}p 2276	4	ci	9.66	WNW	18	E	8	ci-Feder, die von der Hauptzugrichtung (WSW-ENE) nach E (rechts) abbiegt und dabei auf 2 km Länge von 9.3 bis 9.8 km ansteigt; Steigungswinkel 12½°. Teildepression über Süd-England.
1. II. 3^{39}p 3^{49}p 2277/78	4 4	a-cu a-cu	2.89 2.91	W W	15 15	ESE	2	Doppelaufnahme mit 72 Sek. Zeitdifferenz, Wolkenränder verändern sich aber zu rasch, um Doppelpunkte ausmessen zu können. Wolkenballen von (240 m)² Fläche. Hauptstreichrichtung SSW-NNE.
2. II. 4^{24}p 2279	5	ci	9.02	WSW	57	NNE	3	merkwürdig wirbelartig von W über S nach E gedrehte ci-Fäden; anscheinend Steigen in schwach geneigter Schraubenlinie um 100 m. Nordrand eines langgestreckten Minimums (735 mm) mit vielen Ausbuchtungen.
29. II. 10^{56}a 10^{57}a 2284/85	3 3	ci ci	9.86 9.89	WNW WNW	12 12	S	5	Doppelaufnahme mit 73 Sek. Zeitdifferenz. Genaue Zugrichtung W 21° N, 12.0 mps. ci-Locken schließen sich nach vorn zu S-N gerichteten ci-Banden zusammen. Depressionen ziehen im N vorbei.
29. II. 1^{21}p 2286	4	ci	9.41	W	14	S	5	lange, gekrümmte ci-Fäden erstrecken sich von WSW nach ENE und steigen dabei bis 9.65 km an.
5. III. 10^{23}a 10^{24}a 2287/88	4 4	flockige ci flockige ci	6.72 6.72	WSW WSW	20 20	SW	8	Doppelaufnahme mit 67 Sek. Zeitdifferenz. Genaue Zugrichtung S 60° W, 20.2 mps. Lose ci, vielfach wie a-cu (Gewitter-ci), streifig angeordnet von S 75° W nach N 75° E. Die vorderen Enden liegen etwa 50 m tiefer als die 500 m rückwärts befindlichen. Depression zwischen Schottland und Südschweden.
5. III. 10^{30}a 2289	5	ci	6.28	WSW	19	SW	8	nestförmige ci; nach N zu einem parallel der Zugrichtung ziemlich scharf abgegrenzten ci-Band von 6.20 km Höhe vereinigt; senkrecht dazu steigen ci-Büschel unter einem Winkel von 1° bis 6.45 km an. ⌈⌉ 1P.
6. III. 9^{48}a 2290	4	flockige ci	7.29	SSW	34	SW	5	Übergangsform zwischen flockigen ci und a-cu. Böenwetter.
6. III. 10^{2}a 2291	1 3	ci-Faden ci-Feder	6.50 7.03	SSW	28 30	SW	5	ci-Fäden von mindestens 5 km Länge und 100 m Breite von SSE nach NNW gerichtet; 500 m darüber breiten sich in derselben Längserstreckung ci-Federn aus, die nach N ausfließen.
10. III. 8^{9}a 8^{10}a 2293/94	2 2 2 2	ci-Knäuel flockige ci ci-Knäuel flockige ci	8.36 8.56 8.42 8.55	W W	14 14	E E	5 5	Doppelaufnahme mit 65 Sek. Zeitdifferenz. Genaue Zugrichtung S 84° W, 14.3 mps; aufsteigende Bewegung 0.4 mps. Von den ci-Knäueln gehen Streifen nach NNE aus und enden in höheren flockigen ci. Geschwindigkeit und Richtung stimmen in beiden Schichten bis auf 0.1 mps, bezw. 2° überein.
10. III. 9^{56}a 2295	4 1	ci-Knäuel ci-Knäuel	7.68 8.54	WSW	15	E	6	fadenförmige ci, von W nach E gerichtet, enden knäuelförmig. Mindestens zwei Wolkenschichten. Flacher Tiefdruckausläufer erstreckt sich vom Kanal ostwärts.
11. III. 0^{29}p 0^{30}p 2296/97	4 4	ci ci	6.43 6.46	ESE ESE	1 1	E	8	Doppelaufnahme mit 68 Sek. Zeitdifferenz; genaue Zugrichtung E 60° S, 0.7 mps; aufsteigende Bewegung 0.4 mps. Stark zerzauste ci-Nester in der Grenzschicht zweier Luftströmungen; einzelne Wolkenteilchen ziehen aus W.
17. III. 10^{32}a 2298	3 2	a-cu a-cu	3.59 3.65	SW	9	W	3	Wolkenballen von rund (80 m)² Fläche von SSE nach NNW und von SW nach NE gefurcht. Abstand der Ballen etwa 120 m. Mindestens zwei Wolkenschichten.
4. IV. 0^{10}p 2299	3	a-cu	2.66	NNW	10	W	7	Wolkenballen von sehr verschiedener Größe von SE nach NW und von SW nach NE gefurcht.
17. IV. 1^{6}p 2300	3 1 2	ci-Fäden ci-Fäden flockige ci	8.95 9.09 9.23	ESE	26	E	7	ci-Fäden, von E nach W gerichtet, biegen an der Vorderseite nach WNW um. Anscheinend mehrere getrennte Wolkenschichten. Zentrum einer Antizyklone; ringförmige Sonnenfinsternis.
19. IV. 0^{30}p 0^{31}p 2303/04	2 4 2 4	ci-Rippe ci-Feder ci-Rippe ci-Feder	9.66 9.94 9.63 9.82	W W W W	7 8 7 8	E E	7 7	Doppelaufnahme mit 61 Sek. Zeitdifferenz. ci-Rippen vorwiegend von W nach E angeordnet, genaue Zugrichtung und Geschwindigkeit S 88° W 6.7 mps; darüber ci-Federn, welche sich nach SSE erstrecken und aus W 5° N mit 7.5 mps Geschwindigkeit ziehen (entartete Wogen?). Teildepressionen in SW-Deutschland.

Zeitangaben nach mittlerer Ortszeit

Photogrammetrische Wolkenmessungen 1912.

Zeit Plattennummer	Wolken Zahl der Messungen	Wolken Form	Wolken Seehöhe km	Wolken Zug aus	Wolken Geschwindigkeit m p. s.	Unterwind Richtung	Unterwind Geschwindigkeit m p. s.	Bemerkungen
22. IV. 7^{5}a 2305	1 4	ci-Rippe ci-Feder	7.27 7.49	ENE	24	NNE	3	von ci-Rippen, die von S 30° E nach N 30° W gerichtet sind, gehen federförmige ci nach rechts und links aus, deren Endpunkte rund 200 m höher sind als die Rippen; außerdem viele ci-st.
22. IV. 7^{14}a 7^{15}a 2306/07	4 4	ci ci	7.77 7.71	ENE	20	NNE	3	Doppelaufnahme mit 67 Sek. Zeitdifferenz, genaue Zugrichtung und Geschwindigkeit N 71° E, 20.1 mps. Kurze, annähernd parallele ci-Streifen, die sich in der Zugrichtung erstrecken, schließen sich vorn zu flockigen ci zusammen; letztere teilweise wogenförmig von ESE nach WNW angeordnet. Antizyklone im N, Teildepression vor dem Kanal.
22. IV. 6^{15}p 2308	5	ci	7.55	E z. N	19	NE	6	ci haben sich im Laufe des Tages zu größeren Ballen zusammengeschlossen; außerdem ci-Streifen, vorwiegend von ESE nach WNW angeordnet.
25. IV. 6^{8}a 6^{9}a 2309/10	2 4 2 4	ci-st ci-st ci-st ci-st	6.58 6.77 6.59 6.77	N N N N	19 20 19 20	NW NW	4 4	Doppelaufnahme mit 68 Sek. Zeitdifferenz. Genaue Zugrichtung der unteren ci-st W 88° N 19.2 mps, der oberen ci-st N 19.7 mps. Wirr durcheinanderlaufendes Gewebe von gebogenen ci-Fäden; Hauptstreichrichtungen WSW-ENE und N-S. Anscheinend zusammenhängende ci-st-Wolke von mindestens 300 m vertikaler Mächtigkeit. Teildepressionen, die nach SE ziehen, im S und SE. ● tr. $2^{1}/_{4}{}^{p}$.
26. IV. 10^{8}a 2311	4	a-cu	2.43	NE	8	NW	3	Wolken von körniger Struktur (a-cu granosus) mit zusammenhängenden Wülsten, die von S 55° W nach N 55° E gerichtet sind, also ungefähr in der Zugrichtung. Die einzelnen Wolkenballen nur rund (30 m)² groß.
11. V. 10^{10}a 10^{11}a 2313/14	2 5 2 5	flockige ci ci-Band flockige ci ci-Band	9.35 9.62 9.44 9.60	NNW NNW	54 54	WNW WNW	6 6	Doppelaufnahme mit 66 Sek. Zeitdifferenz. Genaue Zugrichtung und Geschwindigkeit W 57° N 53.8 mps. Lange, von NNW nach SSE verlaufende Bänder mit trichterförmigen Erweiterungen mit seitlichen Ausläufern nach ENE, also senkrecht zur Zug- und Streichrichtung. Die gemessenen Punkte liegen teils in den seitlichen Ausläufern, teils in einer etwas tiefer liegenden flockigen Schicht. Antizyklone.
12. V. 6^{20}p 6^{21}p 2315/16	2 3 2 3	ci-st ci-st ci-st ci-st	7.18 7.56 7.04 7.55	W W W W	35 37 35 37	SW SW	4 4	Doppelaufnahme mit 74 Sek. Zeitdifferenz. Genaue Zugrichtung der unteren Schicht S 84° W 34.6 mps, der oberen S 85° W 36.8 mps. Wirr durcheinanderlaufende, gestreifte ci-st; vorwiegende Streifungsrichtung nach E und N. Mehrere Wolkenschichten übereinander. Teildepressionen über Südengland und Nordwestfrankreich ziehen nach ENE. ⌈⌉ und ● $9^{1}/_{2}{}^{p}$.
20. V. 6^{25}p 2317	3	ci-Streifen	10.27	W?	24	E	3	ci-Gebilde von etwa $2^{1}/_{2}$ km Vertikalerstreckung (vergl. folgende Aufnahme); die oberste Schicht besteht aus feinen, manchmal etwas flockigen Streifen, die von NNW nach SSE gerichtet sind. Die nephoskopisch bestimmte Zugrichtung bezieht sich vielleicht auf tiefere ci. Hochdruckrücken von SSW nach NNE.
20. V. 6^{36}p 6^{37}p 2318/19	2 2 2 2	ci-Fäden flockige ci ci-Fäden flockige ci	7.70 8.29 7.72 8.29	W W	19 19	E E	3 3	Doppelaufnahme mit 74 Sek. Zeitdifferenz. Genaue Zugrichtung W 2° N 19.3 mps. Vorwiegend ci-Fäden, die sich von S 57° W nach N 57° E erstrecken; die höheren, flockig endenden Fäden sind von S 20° W nach N 20° E gerichtet.
5. VI. 10^{44}a 10^{45}a 2322/23	1 3 1 3	flockige ci flockige ci flockige ci flockige ci	9.20 9.52 9.36 9.56	SSW SSW	23 23	S S	6 6	Doppelaufnahme mit 73 Sek. Zeitdifferenz. Genaue Zugrichtung S 20° W 23.3 mps. ci teils flockig, teils gestreift. Die Streifen sind anfangs nach NE gerichtet und biegen an der Spitze nach E um. Die Flocken sind anscheinend der Ausgangspunkt der Streifen. Außerdem fr-cu niedriger als 1600 m.
6. VI. 4^{22}p 2324	4	ci-Feder	9.66	SW	27	SW	6	ci gehen fächerförmig von S aus, biegen seitlich nach NW ab und steigen zu diesen seitlichen Ausläufern unter einem Winkel von 9° an. Depression über der Nordsee, Teildepression an der deutschen Ostseeküste. ●° tagsüber mehrfach.
6. VI. 6^{22}p 6^{23}p 2325/26	3 1 3 1	ci flockige ci ci flockige ci	9.27 9.67 9.30 9.67	SW SW	24 24	SW SW	3 3	Doppelaufnahme mit 71 Sek. Zeitdifferenz. Genaue Zugrichtung S 42° W 24.5 mps. Vertikalbewegung + 0.4 mps. Die breiten, von SSW nach NNE gerichteten ci-Bänder zerfallen in skelettförmige ci, von denen anscheinend Streifen nach W in eine 400 m höhere flockige Schicht führen.
6. VI. 7^{14}p 2327	5	ci	8.49	SW	27	SW	2	ci-Knäuel mit streifigen Ausläufern in der Richtung WSW-ENE.
23. VI. 6^{54}p 6^{55}p 2329/30	5 5	ci ci	10.08 9.96	W	10	E	3	Doppelaufnahme mit 73 Sek. Zeitdifferenz. Genaue Zugrichtung W 3° N 10.5 mps. Vertikalbewegung — 0.7 mps. Von dichtem ci-st im W und S gehen breite ci-Bänder mit der Streichrichtung SSE-NNW aus; in diesen Bändern Streifen von SW nach NE, die flockig enden. Diese Endpunkte sind gemessen. Hochdruckrücken von S nach N.

Zeitangaben nach mittlerer Ortszeit

Photogrammetrische Wolkenmessungen 1912.

Zeit Plattennummer	Wolken Zahl der Messungen	Wolken Form	Wolken Seehöhe km	Wolken Zug aus	Wolken Geschwindigkeit m p. s.	Unterwind Richtung	Unterwind Geschwindigkeit m p. s.	Bemerkungen
2. VII. 0^{10}p 2331	4	a-cu	3.84	SW	8	SW	2	vorwiegend wulstförmig in Richtung NW-SE, teilweise in regelmäßigen Abständen von 300 m. Depression über Mitteleuropa, die sich abflacht. ● und ⌈⌉ tagsüber mehrfach.
26. VIII 8^{7}a 2336	3	ci	10.97	W	22	SSE	4	schmale ci-Bänder heben sich schwach von dem dunstig blauen Himmel ab (atmosphär. Trübung). Depression an der deutschen Nordseeküste zieht nach ENE. ●° p.
29. VIII. 7^{8}a 2337	2 4	ci-Fäden flockige ci	8.65 10.33	NW NW	21 25	SSW	2	ci-Fäden erstrecken sich von NNW nach SSE, außerdem eine höhere Schicht mit vorwiegend flockigen ci. Hochdruckgebiet zieht nach E ab.
29. VIII. 7^{12}a 2338	4	ci	10.45	NW	20	SSW	2	netzförmige ci auf dunstig blauem Himmel, wohl übereinstimmend mit den flockigen ci der vorigen Aufnahme.
29. VIII. 11^{51}a 2340	3 1	ci ci-st	9.41 10.60	WNW	18	SSW	6	große, runde ci-Ballen von rund (500 m)² Größe in ci-Wülsten, die von NW nach SE reichen, angeordnet. Darüber ci-st mit Streifung von W nach E.
30. VIII. 7^{16}a 2342	5	ci	9.64	W	20	S	5	ci-Knäuel mit Ausläufern nach verschiedenen Seiten. Teildepressionen, die nach ENE ziehen. ⌈⌉° $6^{1}/_{2}$p.
26. IX. 10^{31}a 2343	3	a-cu	3.22	E	7	NE	3	mattweiße Wolken mit unbestimmten Umrissen. Südseite einer Antizyklone. ● tr. $2^{1}/_{4}$p, ⌈⌉° $3^{3}/_{4}$p.
3. X. 1^{6}p 2344	4	fr-cu	2.27	WNW	7	WNW	5	lose Wolkenfetzen, Übergang zu a-cu. ●° tagsüber mehrfach. Depression über Nieder-Österreich, Maximum rückt von W her vor.
11. X. 4^{0}p 2345	5	ci	9.58	NNW	20	SE	2	ci-Fäden mit Haken; Streifen erstrecken sich vorwiegend nach SSE. Antizyklone.
11. X. 4^{15}p 4^{16}p 2346/47	4 4	flockige ci flockige ci	9.77 9.88	NNW	27	SE	2	Doppelaufnahme mit 80 Sek. Zeitdifferenz. Genaue Zugrichtung W 75° N 27.5 mps. Vertikalbewegung + 1.4 mps. ci-Fäden, die später in flockigen ci übergehen.
13. X. 1^{10}p 2348	3	a-cu	2.29	WNW	11	NNE	2	Übergang von st-cu zu a-cu, mattweiße Ballen mit unbestimmten Umrissen. Rücken hohen Luftdrucks.
14. X. 4^{10}p 2350	3	ci-Feder	9.39	NNW	35	SE	4	ci-Feder, die sich nach S erstreckt; seitliche Ausläufer sind nach rückwärts (WNW) gerichtet. ● tr. $8^{3}/_{4}$p. Die ozeanische Depression bildet einen Ausläufer nach S aus.
21. X. 9^{22}a 9^{23}a 2351/52	4 4	ci-Locke ci-Locke	7.80 7.77	SW	12	S	5	Doppelaufnahme mit 68 Sek. Zeitdifferenz. Genaue Zugrichtung S 44° W 11.9 mps. Vertikalbewegung — 0.4 mps. ci-Fäden von WSW nach ENE angeordnet, mit Locke. Ein ozeanisches Tiefdruckgebiet dringt südostwärts gegen den Kanal vor.
4. XI. 1^{25}p 2353	4	ci	6.00	NNW	28	W	7	lange ci-Streifen. Radiationspunkt NNW, dünne Querstreifen WNW-ESE. Übergang zu ci-st. Antizyklone.
23. XI. 10^{27}a 10^{28}a 2356/57	4 5	ci-Bänder ci-Bänder	7.05 7.14	W	4	SW	4	Doppelaufnahme mit 74 Sek. Zeitdifferenz. Genaue Zugrichtung S 85° W 4.1 mps. ci-Bänder in Richtung SSW-NNE mit Querstreifen SSE-NNW. Schmale Antizyklone (Hochdruckrücken) breitet sich über Kontinental-Europa von W nach E aus.
24. XI. 10^{0}a 10^{1}a 2358/59	3 3	a-cu a-cu	6.54 6.36	SW	8	S	5	Doppelaufnahme mit 71 Sek. Zeitdifferenz. Genaue Zugrichtung S 47° W 7.7 mps. Fast der ganze Himmel mit runden Ballen von (350 m)² Größe bedeckt; Streichrichtung SE-NW. Wogen in Abständen von 1000 m erkennbar. ●sch. $6^{1}/_{4}$p. Ausläufer einer Depression an der norwegischen Küste.
4. XII. 1^{7}p 2364	4	a-cu	3.45	NNW	26	W	4	a-cu polarbandenförmig von SW nach NE angeordnet. Formen sehr unregelmäßig, teilweise skelettartig. Antizyklone.
8. XII. 11^{12}a 11^{14}a 2365/66	3 4	a-cu a-cu	2.98 2.99	NW	10	SW	2	Doppelaufnahme mit 70 Sek. Zeitdifferenz. Wolken veränderten sich zu rasch, um korrespondierende Punkte genügend sicher zu messen. Zierliche Wolkenwülste von rund 50 m Breite in den Richtungen WSW-ENE und SSE-NNW angeordnet. Antizyklone; Teildepression an der ostpreußischen Küste.
10. XII. 10^{58}a 2367	3	ci-Fäden	6.64	WSW	20	SW	4	von WNW nach ESE angeordnete Streifen breiten sich von SW her aus und enden in größeren Schichten. Teildepression über Jütland.

Zeitangaben nach mittlerer Ortszeit

Gewitterbeobachtungen 1912.

Datum	Art des Gewitters	aufgetreten in?	zog vorüber in?	Wirkliche Zugrichtung aus?	Anfang des Gewitters (erster Donner)	Ende des Gewitters	Niederschlag Form und Zeit	Wind-Richtung und Stärke vor d. Gew.	während d. Gew.	nach d. Gew.	Farbe der Blitze	Bemerkungen
Febr. 27	⌈⌐^{1}	WNW	N	WNW	2^{0}p	$2\frac{1}{2}$p	●^{2} △ 2^{16}–$2\frac{1}{2}$p	SW$_4$	W$_8$	WSW	violett	Bö 2^{18}p aus W
» 27	⌈⌐^{0}	—	S	—	3^{36}p	—	●^{0} sch. 3^{36}p, 4p	—	W$_{8-9}$	—	—	Bö 4p aus W
März 5	⌈⌐^{1}	SW	S	WSW	0^{45}p	2p	●^{1} 0^{30}–1^{45}p	SSW$_4$	SSW$_5$	SSW$_4$	weißgelb	—
» 27	⌈⌐^{0}	W?	—	W	5^{25}p	—	●^{2} 5^{0-10}p	—	WNW$_5$	—	—	Bö 5^{0}p aus W
» 29	⌈⌐^{0}	NW	N	WNW	0^{43}p	—	—	—	NW$_4$	—	—	—
» 30	⌈⌐^{0}	W	C	W	2^{29}p	$2\frac{1}{2}$p	●^{1} 2^{25}–$2\frac{1}{2}$p	W$_6$	W$_7$	W$_7$	—	Bö 2^{28}p aus W
Mai 7	⌈⌐^{0}	NW	N	WNW	6^{15}p	—	—	W$_1$	N$_2$	NE$_3$	—	—
» 9	⌊⌐^{0}	E	—	—	10^{10}p	$10\frac{1}{2}$p	—	—	—	—	—	—
» 12	⌈⌐^{1}	W	C	W	9^{40}p	$11\frac{1}{2}$p	●$^{0-1}$ 9^{35}p–$2\frac{1}{2}$a m. U.	NW$_2$	N$_4$	E$_3$, NW$_6$	weiß	⌊⌐ bis $2\frac{1}{2}$a
» 16	⌈⌐^{1}	SW	C	SW	6^{16}p	$7\frac{1}{2}$p	●$^{2-0}$ 7^{18}–$9\frac{1}{2}$p	SE$_2$	SW$_5$	W$_{2-3}$	gelb, blau	Bö 7^{17}p aus SW
» 21	⌊⌐	W, S	—	—	10^{30}p	$1\frac{1}{2}$a	—	—	—	—	—	—
» 29	⌈⌐^{0}	W	S	W	1^{57}p	2p	—	—	—	—	—	—
Juni 2	⌈⌐	SE	C	SE	2^{36}p	$3\frac{1}{2}$p	●^{2} 2^{31}–$2\frac{1}{2}$p	E$_3$	S$_3$	SE$_2$	—	—
» 2	⌈⌐^{0}	SE	C	SE	3^{59}p	$5\frac{1}{2}$p	●^{0} 4^{44-50}p	SE$_2$	SSE$_3$	SW$_2$	gelb	—
» 2	⌊⌐$^{0-1}$	N, E	—	—	9p	$10\frac{1}{2}$p	—	—	—	—	—	—
» 5	⌊⌐	S	—	—	$1\frac{1}{2}$a	$2\frac{1}{2}$a	—	—	—	—	—	—
» 5	⌈⌐^{0}	SW	SE	SW	0^{52}p	2p	● tr. 1^{15}, $1\frac{1}{2}$p	—	SW$_2$	WSW$_4$	gelb	St. Elmsfeuergeräusche
» 6	⌊⌐^{2}	W, S, E	—	—	10^{35}p	$1\frac{1}{2}$p	—	—	—	—	—	—
» 8	⌈⌐^{0}	S	C	SE	2^{0}a	3a	●$^{0-1}$ 2^{10}–$5\frac{1}{2}$a	WNW$_2$	drehend	W$_3$	weiß	schon am 7. Juni 10–11p ⊤ [hörbar
» 9	⌈⌐^{0}	?	—	—	7^{9}p	—	—	—	C	—	—	—
» 15	⌈⌐^{0}	?	—	—	1^{47}p	2p	—	—	W$_6$	—	—	—
» 24	⌈⌐^{0}	SW	—	—	7^{57}p	8p	—	—	NW$_1$	—	—	—
» 24	⌊⌐	N, S, W	—	—	$10\frac{1}{2}$p	$2\frac{1}{2}$a	—	—	—	—	—	—
» 26	⌈⌐^{0}	WSW	S	—	4^{50}p	$5\frac{1}{2}$p	●^{0} 5^{02}–$5\frac{1}{2}$p	ESE$_1$	W$_3$	C	gelb, violett	—
» 29	⌊⌐	W, S	—	—	$10\frac{1}{2}$p	$2\frac{1}{2}$a	—	—	—	—	—	—
» 30	⌈⌐^{0}	WSW	C	WSW	3^{16}p	$3\frac{1}{2}$p	●$^{0-2}$ 3^{10}–4p	W$_4$	SW$_6$	SW$_2$	—	Bö 3^{33}p aus SW
Juli 1	⌊⌐	W, S	—	—	$10\frac{1}{2}$p	$2\frac{1}{2}$a	—	—	—	—	—	—
» 1	⌈⌐^{0}	W	C	W	1^{47}p	$2\frac{1}{2}$p	—	—	WNW$_4$	—	—	—
» 2	⌈⌐^{0}	SW	W	SW	10^{5}a	—	—	—	C	—	—	—
» 2	⌈⌐^{0}	?	—	—	11^{5}a	—	—	—	S$_1$	—	—	—
» 2	⌈⌐^{0}	?	—	—	3^{35}p	—	—	—	C	—	—	—
» 2	⌈⌐	S	SW	SE	5^{55}p	6p	—	—	SSW$_1$	—	—	Bö 6^{5}p
» 2	⌈⌐^{0}	S?	E	SSW?	6p	7p	—	—	S$_3$	—	—	—
» 3	⌈⌐^{0}	W	—	—	2^{10}p	—	—	—	NW$_2$	—	—	—
» 3	⌈⌐^{0}	SW	—	—	4^{25}p	—	—	—	NNW$_2$	—	—	—
» 8	⌈⌐^{2}	W	C	W	3^{25}p	$5\frac{1}{2}$p	●$^{0-2}$ 4–5^{25}p	ESE$_2$	W$_3$, SW$_3$	NW$_2$	gelb	—
» 18	⌊⌐	N, W	—	—	10p	1^{a}	—	—	—	—	—	—
» 25	⌈⌐	NE	C	ENE	4^{20}p	$6\frac{1}{2}$p	—	—	ESE$_3$	—	—	—
» 25	⌊⌐	W, S	—	—	$10\frac{1}{2}$p	$2\frac{1}{2}$a	—	—	—	—	—	—
» 28	⌈⌐^{0}	WSW	NW	SSW	6^{28}p	$7\frac{1}{2}$p	●^{0} 6^{45}–7^{20}p	SSW$_2$	W$_5$	N$_2$	gelb, violett	Bö 6^{35}p
» 28	⌈⌐	SW	S	WSW	8^{56}p	$10\frac{1}{2}$p	●^{0} 9–11^{50}p m. U.	NW$_1$	WSW$_6$	C	—	⌊⌐^{1} $8\frac{1}{2}$p–2^{a}
» 29	⌈⌐^{0}	WNW	N	WSW	7^{42}p	—	—	—	SSE$_3$	—	—	⌊⌐ 8–$8\frac{1}{2}$p
Aug. 15	⌈⌐^{0}	?	—	—	0^{20}p	—	—	—	WSW$_4$	—	—	—
» 15	⌈⌐^{0}	?	—	—	3^{39}p	—	—	—	S$_5$	—	—	—
» 19	⌈⌐^{0}	W?	—	—	7^{48}p	—	—	—	SE$_3$	—	—	—
» 19	⌊⌐	W, S, E	—	—	$10\frac{1}{2}$p	$0\frac{1}{2}$a	—	—	—	—	—	—
» 21	⌈⌐^{0}	—	NW	—	10^{41}a	11^{a}	●$^{1-2}$ 10^{43-53}a	—	W$_4$	—	—	—
» 30	⌈⌐$^{0-1}$	WSW	C	W	6^{23}p	$9\frac{1}{2}$p	●$^{0-2}$ 6^{25}p–$5\frac{1}{2}$a m. U.	NW$_3$	NW$_3$	C	violett, gelb, [rosa	—
Sept. 5	⌈⌐^{0}	W	C	W	$0\frac{1}{2}$p	$0\frac{1}{2}$p	—	—	W$_7$	—	—	—
» 5	⌈⌐^{0}	W	C	W	1^{50}p	—	—	—	W$_6$	—	—	—
» 7	⌈⌐^{0}	NW	N	W	$1\frac{1}{2}$p	—	—	—	W$_3$	—	—	—
» 15	⌈⌐^{0}	NW	C	WNW	1^{0}p	—	—	—	WNW$_6$	—	—	—
» 26	⌈⌐^{0}	NE	E	NNE	4^{5}p	—	—	—	NE$_2$	—	—	—
Nov. 3	⌊⌐^{0}	SW	—	—	$6\frac{1}{2}$p	—	—	—	—	—	—	—
» 10	⌊⌐^{0}	?	—	—	$5\frac{1}{2}$p	—	—	—	—	—	—	—

Zeitangaben nach mittlerer Ortszeit

Wassergehalt der Schneedecke 1912

Datum der Messung	Alte Schneedecke		Frischer Schnee	
	Höhe	Wassergehalt von 1 cm	Höhe	Wassergehalt von 1 cm
	cm	mm	cm	mm
Jan. 1	0.0	—	—	—
» 7*	2.0	1.2	2.0	1.2
» 8	4.5	1.5	*3.0*	—
» 9	5.5	1.5	0.1	—
» 10	7.0	—	1.5	0.9
» 11	7.0	1.4	—	—
» 12	7.0	—	—	—
» 13	7.0	—	—	—
» 14	7.0	—	—	—
» 15	7.0	1.3	—	—
» 16	7.0	—	—	—
» 17	8.0	—	1.0	—
» 18	8.0	1.4	—	—
» 19	7.5	—	—	—
» 20	7.5	—	—	—
» 21	7.5	—	—	—
» 22	6.0	1.7	—	—
» 23	4.0	—	—	—
» 24	3.0	—	—	—

Datum der Messung	Alte Schneedecke		Frischer Schnee	
	Höhe	Wassergehalt von 1 cm	Höhe	Wassergehalt von 1 cm
	cm	mm	cm	mm
Jan. 25	0.0	—	—	—
» 26	0.0	—	—	—
» 27	0.0	—	0.0	—
» 28	0.0	—	—	—
» 29	0.0	—	0.0	—
» 30	0.5	1.8	0.5	1.8
» 31	0.5	—	—	—
Febr. 1	3.5	1.3	2.5	1.0
» 2	7.5	—	4.5	0.6
» 3	6.5	—	—	—
» 4	6.0	—	—	—
» 5	6.0	1.3	—	—
» 6	6.0	—	—	—
» 7	5.0	—	—	—
Nov. 8*	0.0	—	0.0	—
» 30*	3.0	0.8	3.0	0.8
Dez. 1	0.0	—	—	—
» 18*	0.0	—	0.0	—

Ein * beim Datum bedeutet, daß die alte Schneedecke abgeschmolzen ist und sich inzwischen eine neue gebildet hat.

Zusammenstellungen

Wind

Häufigkeit der 16 Windrichtungen.

Monat	N	NNE	NE	ENE	E	ESE	SE	SSE	S	SSW	SW	WSW	W	WNW	NW	NNW	Calm.	Summe
Januar . .	18	5	12	15	216	67	23	18	32	22	53	77	131	33	10	10	2	744
Februar .	19	24	14	4	65	68	51	23	46	36	91	41	83	26	55	23	27	696
März . . .	—	1	15	14	57	50	53	41	77	51	114	91	150	16	6	2	6	744
April . . .	36	14	84	29	171	9	8	5	13	8	25	37	139	52	60	27	3	720
Mai	30	17	23	12	49	20	30	4	18	11	38	38	223	117	79	26	9	744
Juni . . .	47	29	35	6	65	24	63	14	30	22	69	60	136	46	47	24	3	720
Juli	54	43	52	33	146	48	50	7	30	24	45	32	79	25	53	17	6	744
August . .	7	5	3	3	30	9	32	30	79	55	109	68	219	44	37	10	4	744
September	58	49	62	5	68	11	26	13	16	4	38	59	176	51	52	28	4	720
Oktober .	8	3	9	18	134	30	69	19	66	34	104	46	119	28	38	14	5	744
November	25	7	3	—	21	15	52	29	89	66	131	41	184	35	16	6	—	720
Dezember	—	—	—	—	—	2	16	28	92	102	238	107	142	13	4	—	—	744
Jahr . . .	302	197	312	139	1022	353	473	231	588	435	1055	697	1781	486	457	187	69	8784

Windwege für die einzelnen Richtungen.

(in Kilometern)

Monat	N	NNE	NE	ENE	E	ESE	SE	SSE	S	SSW	SW	WSW	W	WNW	NW	NNW	Calm.	Summe
Januar . .	291	52	193	266	4969	1445	282	235	429	261	992	1455	3542	796	188	228	3.6	15628
Februar .	232	281	117	35	1193	1050	716	366	755	664	1599	731	1625	348	481	204	49.0	10446
März . . .	—	10	180	179	1297	970	1002	666	1339	1012	2216	1952	3634	321	78	16	11.0	14883
April . . .	581	208	1379	590	3386	114	152	104	217	132	578	821	4333	1397	1179	500	5.4	15676
Mai	393	212	275	163	727	249	359	70	284	220	635	758	4608	2607	1496	383	16.0	13455
Juni . . .	491	342	504	85	1016	370	1048	196	423	318	1389	1156	3251	657	604	296	5.4	12151
Juli	694	604	760	500	2481	729	772	100	450	350	659	448	1243	336	584	175	11.0	10896
August . .	62	50	21	28	467	133	541	531	1220	893	1978	1393	5251	798	543	120	7.2	14036
September	612	515	768	67	1155	148	380	182	209	53	858	1438	3992	1168	616	324	7.2	12492
Oktober .	107	28	82	249	2591	481	1028	278	1309	657	2186	985	2498	369	499	178	9.0	13534
November	366	117	24	—	253	220	836	436	1554	1302	2857	834	4272	886	322	88	—	14367
Dezember	—	—	—	—	—	37	271	500	1593	1887	5149	2712	4514	358	70	—	—	17091
Jahr . . .	3829	2419	4303	2162	19535	5946	7387	3664	9782	7749	21096	14683	42763	10041	6660	2512	124.8	164655

Mittlere Geschwindigkeit der einzelnen Richtungen.

(in Metern pro Sekunde)

Monat	N	NNE	NE	ENE	E	ESE	SE	SSE	S	SSW	SW	WSW	W	WNW	NW	NNW	Calm.	Summe
Januar . .	4.49	2.88	4.47	4.93	6.39	5.99	3.41	3.62	3.72	3.30	5.20	5.25	7.51	6.70	5.21	6.32	0.50	5.83
Februar .	3.39	3.25	2.32	2.40	5.10	4.29	3.90	4.42	4.56	5.12	4.88	4.95	5.44	3.72	2.43	2.46	0.50	4.17
März . . .	—	2.70	3.33	3.56	6.32	5.39	5.25	4.51	4.83	5.51	5.40	5.96	6.73	5.58	3.58	2.25	0.50	5.56
April . . .	4.48	4.13	4.56	5.34	5.50	3.52	5.29	5.80	4.63	4.60	6.42	6.16	8.66	7.46	5.46	5.14	0.50	6.04
Mai	3.64	3.46	3.32	3.78	4.12	3.46	3.32	4.85	4.39	5.55	4.64	5.54	5.74	6.19	5.26	4.09	0.50	5.02
Juni . . .	2.90	3.28	4.00	3.92	4.34	4.28	4.62	3.88	3.92	4.01	5.59	5.35	6.64	3.97	3.57	3.43	0.50	4.69
Juli	3.57	3.90	4.06	4.21	4.72	4.22	4.29	3.96	4.17	4.05	4.07	3.89	4.37	3.73	3.06	2.86	0.50	4.07
August . .	2.48	2.80	1.93	2.57	4.32	4.11	4.70	4.92	4.29	4.51	5.04	5.69	6.66	5.04	4.08	3.33	0.50	5.24
September	2.93	2.92	3.44	3.72	4.72	3.74	4.06	3.89	3.63	3.65	6.27	6.77	6.30	6.36	3.29	3.21	0.50	4.82
Oktober .	3.71	2.63	2.54	3.84	5.37	4.45	4.14	4.06	5.51	5.37	5.84	5.95	5.83	3.66	3.65	3.54	0.50	5.05
November	4.07	4.64	2.23	—	3.34	4.07	4.47	4.18	4.85	5.48	6.06	5.65	6.45	7.03	5.59	4.08	—	5.54
Dezember	—	—	—	—	—	5.20	4.72	4.96	4.81	5.14	6.01	7.04	8.83	7.64	4.85	—	—	6.38
Jahr . . .	3.52	3.41	3.83	4.25	5.31	4.68	4.34	4.40	4.62	4.95	5.55	5.85	6.67	5.74	4.05	3.73	0.50	5.21

Gesamtdauer des Niederschlags in Stunden

Monat	1a	2a	3a	4a	5a	6a	7a	8a	9a	10a	11a	12	1p	2p	3p	4p	5p	6p	7p	8p	9p	10p	11p	Monatssumme
Jan.	0.9	2.5	2.9	3.9	4.0	4.2	2.6	3.4	3.0	3.5	3.5	3.5	4.2	4.6	3.1	2.6	3.8	3.9	2.4	1.5	1.3	1.0	1.5	2.3	70.1
Febr.	4.0	3.6	2.0	1.5	2.6	3.0	3.9	3.6	4.5	5.4	4.4	2.6	1.9	2.1	2.3	1.3	3.4	1.1	2.1	2.7	2.6	2.0	2.1	3.8	68.5
März	0.3	1.5	0.7	2.4	3.6	1.0	1.0	—	1.5	1.3	1.6	1.4	2.9	2.7	1.8	4.1	4.2	4.9	4.9	5.9	5.4	4.0	2.3	2.1	61.5
Apr.	2.0	1.6	2.1	1.8	2.1	2.6	4.4	6.3	5.6	3.4	3.8	1.7	2.9	2.0	1.4	0.6	—	2.0	4.4	2.3	3.6	3.0	2.6	2.1	64.3
Mai	2.2	3.1	4.1	2.2	1.4	0.7	—	0.3	0.3	—	1.0	0.6	0.7	1.3	1.9	3.3	2.3	3.2	2.9	2.1	2.5	2.1	3.0	2.7	43.9
Juni	1.6	1.2	2.8	2.9	2.9	3.4	3.2	2.4	1.3	1.5	3.2	2.2	3.9	3.1	2.5	2.6	2.1	2.3	0.5	0.1	0.4	0.7	1.6	0.7	49.1
Juli	—	—	—	—	—	—	1.0	1.0	1.0	0.8	0.8	0.7	—	0.2	0.1	—	1.0	0.3	0.8	0.9	0.2	0.3	0.1	0.4	9.6
Aug.	4.5	4.9	4.1	5.4	6.1	6.1	4.2	3.1	2.5	2.0	2.6	2.2	3.2	3.4	2.7	3.0	4.0	3.9	1.8	4.1	3.6	3.3	2.6	3.9	87.2
Sept.	2.2	2.3	1.8	1.7	1.7	1.4	1.4	0.8	1.6	1.0	1.1	1.4	2.0	2.0	3.2	1.7	3.6	5.1	4.8	3.0	2.0	0.8	0.5	1.0	48.1
Okt.	1.0	0.7	0.9	2.3	2.2	3.2	2.9	2.2	2.8	2.1	2.1	2.9	3.6	4.2	4.1	3.6	1.6	0.8	1.0	0.2	0.4	0.6	1.8	1.8	49.0
Nov.	3.7	4.3	4.5	4.1	4.8	3.4	5.7	5.2	5.3	5.0	3.7	2.1	2.0	2.5	3.2	4.3	4.9	4.3	3.2	1.3	3.4	2.5	2.8	2.4	88.6
Dez.	3.3	3.9	5.9	4.2	2.5	2.8	3.6	3.2	2.5	2.6	2.7	2.3	2.4	2.0	3.4	1.8	3.0	1.8	1.8	3.5	4.1	4.9	3.6	3.6	75.4
Jahr	25.7	29.6	31.8	32.4	33.9	31.8	33.9	31.5	31.9	28.6	30.5	23.6	29.7	30.1	29.7	28.9	33.9	33.6	30.6	27.6	29.5	25.2	24.5	26.8	715.3

Zahl der Niederschlagsstunden

Monat	1a	2a	3a	4a	5a	6a	7a	8a	9a	10a	11a	12	1p	2p	3p	4p	5p	6p	7p	8p	9p	10p	11p	Monatssumme
Jan.	3	4	3	5	4	5	3	4	3	4	4	4	6	9	5	4	5	6	3	2	2	1	4	4	97
Febr	4	4	4	2	3	4	5	4	6	7	6	5	2	3	3	2	6	2	3	4	4	2	3	4	92
März	2	3	2	5	6	1	1	—	3	2	3	3	5	6	5	8	7	9	7	7	10	6	5	3	109
Apr.	2	3	3	2	3	3	5	10	7	5	5	2	4	2	2	4	—	6	7	4	4	5	4	3	95
Mai	3	6	5	4	2	1	—	1	1	—	2	2	4	3	5	4	4	7	4	4	4	6	3	3	78
Juni	4	3	5	5	4	5	6	5	2	2	5	3	5	5	6	4	5	4	2	1	1	3	2	1	88
Juli	—	—	—	—	—	—	1	1	1	1	3	3	—	1	1	—	2	1	3	2	1	1	1	1	24
Aug.	6	8	6	7	8	7	5	6	4	2	4	4	7	8	6	5	10	10	3	7	6	6	3	7	145
Sept.	3	4	4	4	4	4	4	4	5	3	2	4	4	5	8	6	8	10	6	7	5	1	1	1	107
Okt.	1	2	2	3	5	5	4	3	3	3	3	3	4	7	5	6	4	1	2	1	1	3	3	3	77
Nov.	7	7	7	5	7	6	6	7	6	7	4	3	2	4	6	6	7	5	6	2	5	4	5	5	129
Dez.	5	5	8	7	4	5	5	5	3	3	4	4	5	6	7	4	7	3	4	5	7	7	6	4	123
Jahr	40	49	49	49	50	46	45	50	44	39	45	40	48	59	59	53	65	64	50	46	50	45	40	39	1164

Häufigkeit der einzelnen Niederschläge nach Stufenwerten der Menge

(unabhängig von der Dauer der Niederschläge)

Monat	0.0 mm	0.0–0.1 mm	0.1–0.2 mm	0.2–0.3 mm	0.3–0.4 mm	0.4–0.5 mm	0.5–0.6 mm	0.6–0.7 mm	0.7–0.8 mm	0.8–0.9 mm	0.9–1.0 mm	0.1–1.0 mm	1.1–2.0 mm	2.1–3.0 mm	3.1–4.0 mm	4.1–5.0 mm	5.1–6.0 mm	6.1–7.0 mm	7.1–8.0 mm	8.1–9.0 mm	9.1–10.0 mm	10.1–15.0 mm	15.1–20.0 mm	Summe
Januar . .	13	11	2	—	—	2	—	1	2	2	—	20	7	—	1	1	2	—	—	—	—	—	—	44
Februar .	7	10	3	3	1	1	—	1	2	1	1	23	4	1	1	—	1	—	—	—	1	—	—	38
März . . .	7	14	13	9	1	5	4	1	3	1	—	51	4	3	—	—	—	—	—	—	—	1	—	66
April . . .	5	11	4	3	—	3	4	1	1	1	—	28	4	3	2	—	—	—	—	—	—	—	—	42
Mai	10	8	4	8	3	1	2	—	2	1	—	29	2	2	2	1	—	—	—	—	—	1	1	48
Juni . . .	13	13	6	7	2	4	4	1	1	—	1	39	3	3	1	1	1	—	—	1	—	1	—	63
Juli	10	5	—	1	—	1	—	—	1	—	—	8	1	1	—	2	—	—	—	—	—	—	—	22
August . .	16	20	4	12	4	4	2	—	2	—	1	49	4	2	3	—	1	—	—	1	1	2	—	79
September	13	18	10	9	5	3	—	—	4	2	1	52	7	3	2	—	—	1	—	—	—	—	—	78
Oktober .	10	6	5	4	2	—	3	2	1	—	—	23	5	2	—	—	—	1	—	—	—	—	—	41
November	7	14	5	4	3	1	3	1	—	2	1	34	8	1	1	—	—	—	—	1	—	—	1	53
Dezember	12	21	4	8	3	1	3	—	2	2	1	45	6	3	1	1	—	1	—	—	—	—	—	69
Jahr . . .	123	151	60	68	24	26	25	8	21	12	6	401	55	24	14	6	5	3	—	3	2	5	2	643

1912 Niederschläge

Häufigkeit der einzelnen Niederschläge mit einer Dauer von:

Monat	0–0.1 St.	0.1–0.2 St.	0.2–0.3 St.	0.3–0.4 St.	0.4–0.5 St.	0.5–0.6 St.	0.6–0.7 St.	0.7–0.8 St.	0.8–0.9 St.	0.9–1.0 St.	0.1–1.0 St.	1.1–2.0 St.	2.1–3.0 St.	3.1–4.0 St.	4.1–5.0 St.	5.1–6.0 St.	6.1–7.0 St.	7.1–8.0 St.	8.1–9.0 St.	9.1–10.0 St.	10.1–15.0 St.	15.1–20.0 St.	Summe
Januar	6	5	4	2	1	2	2	—	2	—	24	8	5	3	1	1	1	—	1	—	—	—	44
Februar	2	6	5	2	2	1	—	—	1	—	19	6	3	7	—	—	2	—	1	—	—	—	38
März	12	4	13	5	10	2	1	1	4	—	52	7	3	2	—	1	—	—	—	—	1	—	66
April	4	7	3	1	3	3	1	1	—	—	23	10	4	—	1	1	1	2	—	—	—	—	42
Mai	8	7	8	2	3	1	1	—	2	—	32	11	3	—	1	—	1	—	—	—	—	—	48
Juni	12	5	6	6	6	6	3	5	3	1	53	3	4	2	1	—	—	—	—	—	—	—	63
Juli	5	7	3	3	2	—	—	—	—	—	20	1	—	1	—	—	—	—	—	—	—	—	22
August	14	15	14	7	1	4	4	—	2	1	62	8	3	—	—	1	2	—	—	2	1	—	79
September	7	19	16	5	4	5	4	1	4	1	66	7	3	2	—	—	—	—	—	—	—	—	78
Oktober	4	4	5	5	2	2	1	1	1	2	27	8	2	2	1	—	—	—	1	—	—	—	41
November	7	4	6	2	2	2	3	—	1	1	28	13	7	1	1	—	—	1	—	—	1	1	53
Dezember	11	6	10	8	5	2	2	3	2	2	51	7	2	6	—	2	—	—	1	—	—	—	69
Jahr	92	89	93	48	41	30	22	12	22	8	457	89	39	26	6	6	7	3	4	2	3	1	643

Zahl der Tage mit 1, 2, 3, ... einzelnen Niederschlägen

Monat	1	2	3	4	5	6	7	8	9	10	Summe
Januar	7	4	3	1	2	1	—	—	—	—	18
Februar	4	3	4	1	1	—	1	—	—	—	14
März	5	6	1	4	—	1	1	1	1	—	20
April	5	3	1	—	3	1	1	—	—	—	14
Mai	6	4	1	2	2	1	1	—	—	—	17
Juni	6	2	—	3	3	2	2	—	—	—	18
Juli	3	—	2	2	1	—	—	—	—	—	8
August	7	4	6	5	—	2	2	—	—	—	26
September	4	4	2	4	1	2	—	1	1	1	20
Oktober	5	1	4	3	2	—	—	—	—	—	15
November	3	3	2	2	3	1	—	—	1	—	15
Dezember	8	5	—	3	1	2	2	1	—	—	22
Jahr	63	39	26	30	19	13	10	3	3	1	207

Zahl der Tage mit einer Niederschlagsdauer von:

Monat	0–0.1 St.	0.1–0.2 St.	0.2–0.3 St.	0.3–0.4 St.	0.4–0.5 St.	0.5–0.6 St.	0.6–0.7 St.	0.7–0.8 St.	0.8–0.9 St.	0.9–1.0 St.	0.1–1.0 St.	1.1–2.0 St.	2.1–3.0 St.	3.1–4.0 St.	4.1–5.0 St.	5.1–6.0 St.	6.1–7.0 St.	7.1–8.0 St.	8.1–9.0 St.	9.1–10.0 St.	10.1–15.0 St.	15.1–20.0 St.	Summe
Januar	—	2	—	—	2	1	—	—	—	1	6	2	3	4	1	—	—	—	1	—	1	1	19
Februar	—	—	—	—	—	—	—	1	1	—	2	4	3	1	1	1	1	1	—	—	2	—	16
März	2	1	—	—	1	—	—	1	—	3	8	2	2	3	4	1	—	—	—	—	1	—	21
April	1	—	1	—	—	—	—	—	—	—	2	3	1	2	—	1	1	1	1	1	1	—	14
Mai	—	3	—	—	1	—	—	1	2	—	7	2	2	—	4	1	—	—	1	—	—	—	17
Juni	2	1	—	1	—	—	1	1	—	—	6	3	2	2	—	2	3	—	—	—	—	—	18
Juli	1	2	—	—	—	—	—	—	1	1	5	1	1	1	—	—	—	—	—	—	—	—	8
August	—	1	1	1	1	3	1	—	—	—	8	6	2	3	—	1	—	3	—	2	1	—	26
September	—	3	—	1	1	—	1	1	—	—	7	5	2	1	3	1	—	—	—	1	—	—	20
Oktober	—	1	—	—	1	—	1	—	—	—	3	3	4	1	1	1	1	—	—	—	1	—	15
November	—	—	1	—	—	—	1	—	—	—	2	2	2	2	1	1	2	—	1	—	2	1	16
Dezember	—	1	2	1	—	—	—	—	—	—	4	3	7	2	—	1	2	1	1	1	—	—	22
Jahr	6	15	5	4	7	4	5	5	4	5	60	36	31	22	15	11	10	6	5	5	9	2	212

Niederschläge 1912

Gesamtdauer der Niederschläge in Stunden mit einer Einzeldauer von:

Monat	0–0.1 St.	0.1–0.2 St.	0.2–0.3 St.	0.3–0.4 St.	0.4–0.5 St.	0.5–0.6 St.	0.6–0.7 St.	0.7–0.8 St.	0.8–0.9 St.	0.9–0.10 St.	0.1–1.0 St.	1.1–2.0 St.	2.1–3.0 St.	3.1–4.0 St.	4.1–5.0 St.	5.1–6.0 St.	6.1–7.0 St.	7.1–8.0 St.	8.1–9.0 St.	9.1–10.0 St.	10.1–15.0 St.	15.1–20.0 St.	Summe
Januar	0.6	1.0	1.2	0.8	0.5	1.2	1.4	—	1.8	—	8.5	13.6	12.2	10.5	4.5	5.2	6.7	—	8.9	—	—	—	70.1
Februar	0.2	1.2	1.5	0.8	1.0	0.6	—	—	0.9	—	6.2	8.3	7.2	24.8	—	—	13.3	—	8.7	—	—	—	68.5
März	1.2	0.8	3.9	2.0	5.0	1.2	0.7	0.8	3.6	—	19.2	10.0	7.6	7.1	—	5.5	—	—	—	—	12.1	—	61.5
April	0.4	1.4	0.9	0.4	1.5	1.8	0.7	0.8	—	—	7.9	14.4	10.2	—	4.3	5.3	7.0	15.2	—	—	—	—	64.3
Mai	0.8	1.4	2.4	0.8	1.5	0.6	0.7	—	1.8	—	10.0	15.9	7.6	—	4.3	—	6.1	—	—	—	—	—	43.9
Juni	1.2	1.0	1.8	2.4	3.0	3.6	2.1	4.0	2.7	1.0	22.8	4.5	9.9	7.0	4.9	—	—	—	—	—	—	—	49.1
Juli	0.5	1.4	0.9	1.2	1.0	—	—	—	—	—	5.0	1.3	—	3.3	—	—	—	—	—	—	—	—	9.6
August	1.4	3.0	4.2	2.8	0.5	2.4	2.8	—	1.8	1.0	19.9	11.0	7.0	—	—	5.1	14.0	—	—	18.6	11.6	—	87.2
September	0.7	3.8	4.8	2.0	2.0	3.0	2.8	0.8	3.6	1.0	24.5	9.6	7.4	6.6	—	—	—	—	—	—	—	—	48.1
Oktober	0.4	0.8	1.5	2.0	1.0	1.2	0.7	0.8	0.9	2.0	11.3	11.8	5.4	7.1	5.0	—	—	—	8.4	—	—	—	49.0
November	0.7	0.8	1.8	0.8	1.0	1.2	2.1	—	0.9	1.0	10.3	18.6	17.1	3.2	4.1	—	—	7.5	—	—	12.2	15.6	88.6
Dezember	1.1	1.2	3.0	3.2	2.5	1.2	1.4	2.4	1.8	2.0	19.8	9.5	5.6	20.6	—	11.6	—	—	8.3	—	—	—	75.4
Jahr	9.2	17.8	27.9	19.2	20.5	18.0	15.4	9.6	19.8	8.0	165.4	128.5	97.2	90.2	27.1	32.7	47.1	22.7	34.3	18.6	35.9	15.6	715.3

Gesamtmenge der Niederschläge (in mm) mit einer Einzeldauer von:

Monat	0–0.1 St.	0.1–0.2 St.	0.2–0.3 St.	0.3–0.4 St.	0.4–0.5 St.	0.5–0.6 St.	0.6–0.7 St.	0.7–0.8 St.	0.8–0.9 St.	0.9–0.10 St.	0.1–1.0 St.	1.1–2.0 St.	2.1–3.0 St.	3.1–4.0 St.	4.1–5.0 St.	5.1–6.0 St.	6.1–7.0 St.	7.1–8.0 St.	8.1–9.0 St.	9.1–10.0 St.	10.1–15.0 St.	15.1–20.0 St.	Summe
Januar	0.2	0.2	0.2	0.2	0.0	0.1	0.2	—	0.9	—	2.0	4.5	5.5	7.8	1.9	5.9	6.0	—	4.0	—	—	—	37.6
Februar	0.3	0.6	3.8	0.2	0.2	0.1	—	—	0.8	—	6.0	3.1	2.6	13.3	—	—	0.2	—	9.9	—	—	—	35.1
März	2.4	1.0	3.4	1.5	3.3	0.6	0.2	0.2	1.5	—	14.1	4 7	4.8	3.0	—	2.5	—	—	—	—	10.2	—	39.3
April	0.2	0.9	1.3	0.1	0.6	1.9	0.1	0.3	—	—	5.4	6.7	3.5	—	1.9	2.8	3.1	5.7	—	—	—	—	29.1
Mai	1.7	1.9	2.1	2.7	0.3	0.3	0.0	—	0.6	—	9.6	23.3	14.3	—	4.7	—	4.0	—	—	—	—	—	55.9
Juni	1.2	0.4	5.9	1.6	3.0	1.2	1.1	2.4	9.1	3.5	29.4	3.8	7.4	18.3	1.6	—	—	—	—	—	—	—	60.5
Juli	0.1	0.2	4.4	0.6	4.7	—	—	—	—	—	10.0	0.8	—	5.0	—	—	—	—	—	—	—	—	15.8
August	1.8	3.4	1.9	2.3	0.1	1.4	4.7	—	0.8	0.1	16.5	8.2	5.2	—	—	3.9	15.0	—	—	22.5	12.9	—	84.2
September	0.6	6.0	3.2	2.7	6.5	1.5	2.2	0.9	2.7	0.1	26.4	8.4	9.7	2.3	—	—	—	—	—	—	—	—	46.8
Oktober	0.2	0.4	0.4	0.6	0.4	0.6	0.3	0.7	0.0	0.9	4.5	5.6	5.7	3.1	2.0	—	—	—	6.5	—	—	—	27.4
November	0.3	0.3	2.0	0.2	0.2	0.3	0.3	—	0.3	0.7	4.6	9.9	7.0	1.6	1.1	—	—	8.4	—	—	3.8	16.7	53.1
Dezember	0.9	3.3	1.2	2.5	2.4	1.2	0.3	1.3	0.5	0.9	14.5	3.1	4.4	12.6	—	3.2	—	—	6.6	—	—	—	44.4
Jahr	9.9	18.6	29.8	15.2	21.7	9.2	9.4	5.8	17.2	6.2	143.0	82.1	70.1	67,0	13.2	18.3	28.3	14.1	27.0	22.5	26.9	16.7	529.2
Mittl. Intensität mm/Stunde	1.08	1.04	1.06	0.79	1.06	0.51	0.61	0.60	0.87	0.78	0.86	0.64	0.72	0.74	0.49	0.56	0.60	0.62	0.79	1.21	0.75	1.07	0.74

Sonnenscheindauer.

Differenz Campbell-Stokes gegen Jordan

(nach Summen der Sonnenscheindauer; d. h.: »Campbell-Stokes« gab mehr an als »Jordan«)

Monat	3–4ª	4–5ª	5–6ª	6–7ª	7–8ª	8–9ª	9–10ª	10–11ª	11–12ª	12ª–1ᵖ	1–2ᵖ	2–3ᵖ	3–4ᵖ	4–5ᵖ	5–6ᵖ	6–7ᵖ	7–8ᵖ	8–9ᵖ	Summe
Januar	—	—	—	—	—	+2.1	+1.4	+0.4	+0.9	+0.2	+0.5	+2.3	+4.9	+0.4	—	—	—	—	+13.1
Februar	—	—	—	—	+0.2	—0.4	—0.5	—0.2	+0.1	+0.4	+0.3	+0.1	+1.0	+1.5	—	—	—	—	+ 2.5
März	—	—	—	+0.3	—1.7	—1.4	—0.7	+0.2	+1.2	+1.2	+0.2	—0.1	+0.3	+0.7	+0.3	—	—	—	+ 0.5
April	—	—	+4.1	—0.3	+0.1	+0.5	+0.1	+0.6	+1.8	+1.8	+0.8	+0.5	—0.4	—0.7	0.0	+3.2	+0.1	—	+12.2
Mai	—	+2.0	+2.4	+0.3	—0.7	—0.5	+0.1	+0.9	+2.6	+2.7	+1.3	+0.6	+0.2	+0.1	+1.0	+3.1	+3.1	—	+19.2
Juni	—	+2.6	+1.7	—0.3	—0.4	—0.4	—0.4	+0.1	+1.5	+1.3	+0.6	+0.1	0.0	—0.9	+0.3	+4.3	+3.6	—	+13.7
Juli	—	+0.2	+2.0	—0.4	—0.4	—0.6	—0.7	0.0	+1.7	+1.5	0.0	—0.3	+0.3	+1.0	+1.2	+4.4	+0.7	—	+10.6
August	—	—	+0.3	—1.0	—1.8	—1.2	—1.4	—0.9	+1.5	+2.0	+0.4	+0.4	—0.3	—0.4	—0.7	+0.1	—	—	— 3.0
September	—	—	—	—0.7	—3.2	—0.1	—0.3	—0.3	+1.3	+1.0	+0.4	+0.4	—0.1	—1.1	0.0	—	—	—	— 2.7
Oktober	—	—	—	—	—0.9	—1.2	—0.2	—0.4	+0.3	+0.4	—0.1	—1.0	0.0	—0.2	—	—	—	—	— 3.3
November	—	—	—	—	—	—0.2	—0.6	0.0	+1.2	+1.3	+1.2	+2.2	+2.2	+0.4	—	—	—	—	+ 7.7
Dezember	—	—	—	—	—	+1.8	+2.6	0.0	+0.2	+0.2	+0.9	+3.2	+1.6	—	—	—	—	—	+10.5
Jahr	—	+4.8	+10.5	—2.1	—8.8	—1.6	—0.6	+0.4	+14.3	+14.0	+6.5	+8.4	+9.7	+0.8	+2.1	+15.1	+7.5	—	+81.0

Zeitangaben nach wahrer Zeit

Jahresmittel.

	1a	2a	3a	4a	5a	6a	7a	8a	9a	10a	11a	12	1p	2p	3p	4p	5p	6p	7p	8p	9p	10p	11p	12	Mittel
Luftdruck	53.23	53.18	53.09	53.02	53.04	53.09	53.19	53.31	53.37	53.40	53.34	53.21	53.06	52.93	52.86	52.83	52.84	52.92	53.02	53.14	53.26	53.29	53.32	53.30	53.14
Temperatur	6.02	5.77	5.53	5.32	5.21	5.36	5.90	6.70	7.94	9.07	10.12	10.86	11.26	11.41	11.32	11.02	10.37	9.63	8.81	8.01	7.47	6.99	6.62	6.32	7.97
Dampfdruck	6.72	6.68	6.64	6.60	6.60	6.64	6.67	6.74	6.81	6.77	6.76	6.70	6.74	6.77	6.76	6.78	6.82	6.89	6.91	6.88	6.86	6.86	6.80	6.76	6.76
Relative Feuchtigkeit .	88.4	89.4	90.3	91.0	91.5	90.9	88.4	85.1	80.1	74.8	70.4	66.8	64.8	65.6	65.9	67.6	70.6	74.2	77.5	80.5	83.2	85.0	86.3	87.5	80.2
Bewölkung		6.42		6.70		6.78	6.85	6.88		6.98		7.19		7.26		7.29		6.91		6.36	5.88	6.18		6.38	6.75

Jahresmittel und Jahressummen.

	0-1a	1-2a	2-3a	3-4a	4-5a	5-6a	6-7a	7-8a	8-9a	9-10a	10-11a	11-12a	0-1p	1-2p	2-3p	3-4p	4-5p	5-6p	6-7p	7-8p	8-9p	9-10p	10-11p	11-12p	Summe
Windgeschwindigkeit (Mittel in m p. s.) . .	5.24	5.28	5.30	5.34	5.28	5.22	5.15	5.07	5.10	5.16	5.32	5.37	5.41	5.40	5.26	5.14	5.05	5.00	4.96	5.02	5.09	5.18	5.22	5.26	5.20
Niederschlagssumme (mm) .	17.7	16.2	27.4	19.9	21.7	15.7	19.7	21.1	22.1	15.3	19.9	13.1	26.8	24.7	37.5	28.5	24.4	23.9	26.0	28.6	19.8	23.3	14.9	21.0	529.2
Niederschlagsdauer (St.)	25.7	29.6	31.8	32.4	33.9	31.8	33.9	31.5	31.9	28.6	30.5	23.6	29.7	30.1	29.7	28.9	33.9	33.6	30.6	27.6	29.5	25.2	24.5	26.8	715.3
Zahl der Regenstunden	40	49	49	49	50	46	45	50	44	39	45	40	48	59	59	53	65	64	50	46	50	45	40	39	1164
Sonnenscheindauer . . .	—	—	—	—	6.2	37.5	64.4	87.7	123.9	144.1	153.2	158.8	155.9	148.2	141.5	114.4	81.6	59.0	39.6	8.6	—	—	—	—	1524.6

Jahresmittel.

	Tiefe 0.02 m			Tiefe 0.05 m			Tiefe 0.10 m				Tiefe 0.20 m			Tiefe 0.50 m			Tiefe 1.00 m				Tiefe in Metern			
																					2.00	4.00	6.00	12.00
	7a	2p	9p	7a	2p	9p	7a	2p	9p		7a	2p	9p	7a	2p	9p	7a	2p	9p		2p			
Bodentemperaturen . .	6.30	13.51	8.01	6.49	12.43	8.63	6.95	11.27	9.27		7.68	9.65	9.69	9.15	8.92	9.36	9.31	9.32	9.30		9.55	9.85	9.93	9.79

	Januar	Datum	Februar	Datum	März	Datum	April	Datum	Mai	Datum	Juni	Datum	Juli	Datum	August	Datum	September	Datum	Oktober	Datum	November	Datum	Dezember	Datum	Jahr	Datum
Luftdruck.																										
Stündliche Extreme Maxim.	mm 769.8	17. 18.	mm 762.3	16. 22.	mm 764.3	13.	mm 765.7	3. 4. 22.	mm 763.3	8. 9.	mm 759.6	27. 28.	mm 761.2	5. 15.	mm 756.0	17.	mm 767.0	22.	mm 769.8	5.	mm 767.9	7.	mm 766.4	4.	mm 769.8	17. 18. I 5. X
Stündliche Extreme Minim.	725.6	7.	734.3	2.	734.9	19.	733.8	9.	743.9	16.	740.8	2.	744.6	19.	735.1	27.	745.6	7.	735.2	1.	731.6	11. 12.	739.5	27.	725.6	7. I
Stündliche Extreme Diff.	44.2		28.0		29.4		31.9		19.4		18.8		16.6		20.9		21.4		34.6		36.3		26.9		44.2	
Absolute Extreme (nach den Kurven) Maxim.	770.0	17.	762.4	16. 22.	764.4	13.	765.8	22.	763.4	9.	759.6	27. 28.	761.3	15.	756.0	17.	767.0	22.	769.9	5.	768.0	7.	766.5	4.	770.0	17. I
Absolute Extreme (nach den Kurven) Minim.	725.4	7.	734.1	2.	734.8	19.	733.8	9.	743.7	16.	740.6	2.	744.5	19.	735.0	27.	745.5	7.	735.1	1.	731.6	11. 12.	739.5	27.	725.4	7. I
Absolute Extreme (nach den Kurven) Diff.	44.6		28.3		29.6		32.0		19.7		19.0		16.8		21.0		21.5		34.8		36.4		27.0		44.6	
Temperatur.																										
Extreme nach den stündl. Werten Maxim.	°C. 7.6	2.	°C. 17.2	29.	°C. 18.7	27.	°C. 20.2	27.	°C. 26.6	12.	°C. 29.7	7.	°C. 32.2	28.	°C. 26.0	30.	°C. 18.1	4.	°C. 15.7	28.	°C. 7.9	10.	°C. 11.5	14.	°C. 32.2	28. VII
Extreme nach den stündl. Werten Minim.	−15.8	13.	−19.2	5.	−3.2	13.	−4.2	13.	−2.3	1.	6.9	17.	8.8	5.	8.6	13.	2.3	21.	−2.5	4. 7.	−4.6	7.	−3.4	7.	−19.2	5. II
Extreme nach den stündl. Werten Diff.	23.4		36.4		21.9		24.4		28.9		22.8		23.4		17.4		15.8		18.2		12.5		14.9		51.4	
Extreme nach den Kurven Maxim.	7.6	2.	17.4	29.	19.6	27.	20.3	20.	26.7	12.	29.7	7.	32.2	28.	26.6	30.	18.6	4.	15.8	4.	7.9	10. 27.	11.8	14.	32.2	28. VII
Extreme nach den Kurven Minim.	−15.9	13.	−19.3	5.	−3.2	13.	−4.2	13.	−2.3	1.	6.9	17.	8.8	5.	8.4	13.	2.2	20. 21.	−2.5		−4.6	7.	−3.4	7.	−19.3	5. II
Extreme nach den Kurven Diff.	23.5		36.7		22.8		24.5		29.0		22.8		23.4		18.2		16.4		18.3		12.5		15.2		51.5	
Extreme nach den Extrem-Therm. Maxim.	7.5	2.	17.5	29.	19.5	27.	20.4	20.	26.5	12.	29.7	7.	32.2	28.	26.8	30.	18.7	3.	16.0	28.	8.4	1.	11.8	14.	32.2	28. VII
Extreme nach den Extrem-Therm. Minim.	−16.1	14.	−19.2	5.	−3.2	13.	−4.4	13.	−2.4	1.	7.2	17. 18.	8.8	5.	8.1	13.	1.9	20.	−2.6	7.	−4.5	7.	−3.4	7.	−19.2	5. II
Extreme nach den Extrem-Therm. Diff.	23.6		36.7		22.7		24.8		28.9		22.5		23.4		18.7		16.8		18.6		12.9		15.2		51.4	
Dampfdruck.																										
Maximum	mm 7.3	2.	mm 9.3	24.	mm 9.7	26.	mm 9.2	6.	mm 12.0	12.	mm 14.7	8. 24.	mm 15.7	21.	mm 13.8	2.	mm 10.8	4. 5.	mm 11.4	1.	mm 7.9	10.	mm 9.4	15. 28.	mm 15.7	21. VII
Minimum	1.0	13. 16.	0.7	4. 5.	2.7	12.	2.3	3.	2.3	1.	6.0	4.	6.9	5.	6.5	29.	5.0	19.	2.9	4.	3.1	1. 7.	3.0	6.	0.7	4. 5. II
Differenz	6.3		8.6		7.0		6.9		9.7		8.7		8.8		7.3		5.8		8.5		4.8		6.4		15.0	
Relative Feuchtigkeit.																										
Tabelle: Minimum	pCt. 47	19.	pCt. 39	4.	pCt. 39	9.	pCt. 23	23.	pCt. 19	2.	pCt. 29	23.	pCt. 24	18. 28.	pCt. 36	29.	pCt. 42	21.	pCt. 39	4. 8.	pCt. 49	1.	pCt. 60	6.	pCt. 19	2. V
Kurve: Minimum	45	19.	37	4.	37	9.	23	23.	19	2.	28	23.	23	28.	36	29.	42	21.	38	8.	47	1.	58	6.	19	2. V
Wind.																										
Maximum	m. p. s. 13.8	3.	m. p. s. 13.2	27.	m. p. s. 11.6	27. 30.	m. p. s. 15.3	6.	m. p. s. 14.8	13.	m. p. s. 11.5	15.	m. p. s. 8.2	28.	m. p. s. 11.4	8.	m. p. s. 10.8	17.	m. p. s. 13.3	1.	m. p. s. 11.7	1.	m. p. s. 15.5	15.	m. p. s. 15.5	15. XII

Januar

Datum	12–1	1–2	2–3	3–4	4–5	5–6	6–7	7–8	8–9	9–10	10–11	11–12
1	248	-345	-649	- 621	- 373	-511	32	111	234	400	540	517
2	158	140	152	96	99	178	146	152	137	114	128	140
3	175	140	114	102	76	70	79	96	88	137	134	73
4	137	134	137	140	137	143	152	181	207	213	248	228
5	0	174	269	- 69	- 745	-649	-235	-483	-980	-1173	-745	-1007
6	190	332	-745	-1118	-1408	-828	20	161	184	216	178	187
7	[1]	[1]	[1]	[1]	[1]	[1]	[1]	[1]	[1]	[1]	758	837
8	140	123	140	149	146	140	190	193	102	114	204	260
9	196	245	245	266	266	304	283	315	286	474	521	427
10	**280**	**225**	**315**	**324**	**312**	**383**	**432**	**540**	**540**	**654**	**628**	**593**
11	**442**	**363**	**363**	**300**	**284**	**300**	**411**	**397**	**806**	**790**	**1059**	**743**
12	**427**	**379**	**316**	**316**	**316**	**300**	**300**	**269**	**280**	**204**	**263**	**295**
13	**327**	**312**	**310**	**307**	**304**	**336**	**342**	**350**	**359**	**383**	**380**	**403**
14	**362**	**330**	**298**	**301**	**304**	**294**	**318**	**330**	**330**	**339**	**330**	**336**
15	**263**	**254**	**292**	**283**	**263**	**292**	**312**	**327**	**368**	**418**	**409**	**397**
16	**330**	**336**	**304**	**277**	**292**	**324**	**324**	**321**	**347**	**350**	**333**	**254**
17	**395**	**237**	**253**	**332**	**205**	**190**	**174**	**79**	**174**	**126**	**131**	**231**
18	102	79	88	120	79	85	88	32	85	143	280	169
19	**301**	**254**	**272**	**280**	**266**	**280**	**280**	**292**	**321**	**371**	**383**	**342**
20	**336**	**272**	**225**	**216**	**225**	**225**	**213**	**219**	**234**	**257**	**260**	**257**
21	295	274	254	149	219	321	330	321	280	263	213	257
22	93	85	149	181	140	114	146	199	225	181	143	131
23	164	161	196	193	222	231	251	257	161	152	213	237
24	315	330	207	169	96	50	114	- 29	-207	79	205	221
25	415	420	491	508	464	467	447	403	388	289	485	283
26	292	350	371	374	385	458	432	283	371	502	415	277
27	47	96	85	35	38	102	105	137	169	395	237	207
28	[2]	[2]	[2]	[2]	[2]	[2]	[2]	[2]	[2]	312	345	391
29	190	187	225	266	225	292	289	356	353	336	231	292
30	**345**	**488**	**558**	**561**	**602**	**679**	**616**	**648**	**648**	**727**	**695**	**569**
31	333	330	292	260	263	193	277	330	286	96	137	193
Mittel der Normaltage	**346**	**314**	**319**	**318**	**307**	**328**	**338**	**343**	**401**	**420**	**443**	**402**

[1]) Nachfüllung versagte wegen Kabelbruchs. [2]) Uhr stand.

Februar

Datum	12–1	1–2	2–3	3–4	4–5	5–6	6–7	7–8	8–9	9–10	10–11	11–12
1	204	201	207	201	204	193	204	228	318	286	347	435
2	131	-359	190	221	284	316	363	383	435	397	584	616
3	**632**	**537**	**474**	**474**	**348**	**316**	**474**	**470**	**526**	**578**	**596**	***679***
4	426	395	411	458	442	458	[1]	[1]	[1]	774	1027	711
5	458	[2]	[2]	[2]	[2]	[2]	[2]	[2]	540	496	479	493
6	**350**	**362**	**321**	**310**	**239**	**237**	**245**	**321**	**336**	**385**	**415**	**453**
7	289	204	774	-483	-621	190	300	*316*	*316*	336	330	359
8	467	409	458	438	418	423	[2]	[2]	[2]	[2]	569	520
9	**394**	**292**	**359**	**362**	**350**	**356**	**365**	**406**	***441***	**505**	**456**	**467**
10	**409**	**394**	**327**	**347**	**330**	**365**	**409**	**356**	**415**	**553**	**506**	**506**
11	553	506	632	442	474	395	474	822	837	632	600	790
12	134	228	161	213	298	213	190	161	210	175	187	-304
13	569	395	316	142	158	174	142	201	216	190	161	82
14	166	146	93	126	161	155	190	181	117	164	161	199
15	339	350	420	380	187	199	266	292	274	175	175	187
16	225	193	143	105	120	137	190	199	342	310	277	248
17	199	175	164	152	213	345	266	298	248	274	400	415
18	**546**	**540**	**526**	**479**	**429**	**397**	**365**	**391**	**426**	**415**	**336**	**330**
19	**365**	**339**	**321**	**274**	**254**	**254**	**277**	**283**	**304**	**321**	**342**	**336**
20	286	204	123	126	- 70	149	181	210	234	239	237	237
21	356	312	292	245	- 47	-483	-138	-55	-166	-21	169	67
22	222	158	199	213	219	187	257	292	228	245	272	292
23	371	380	342	251	239	239	117	-39	- 78	199	166	187
24	-248	- 14	95	158	126	95	111	95	175	128	96	158
25	388	409	388	365	380	438	526	600	616	632	616	537
26	228	[2]	[2]	[2]	[2]	[2]	[2]	117	108	178	164	184
27	181	184	175	178	228	123	70	88	149	155	149	184
28	216	175	178	79	128	175	187	193	146	126	96	64
29	**161**	**204**	**175**	**193**	**222**	**280**	**324**	**356**	**444**	**450**	**391**	**321**
Mittel der Normaltage	**408**	**381**	**358**	**348**	**310**	**315**	**351**	**369**	**413**	**458**	**435**	**442**

[1]) Wasser im Ausflußrohr eingefroren. [2]) Uhr stand!

Zeitangaben nach mittlerer Ortszeit

Potentialgefälle

pro Meter.
halbfett gedruckt.

12–1	1–2	2–3	3–4	4–5	5–6	6–7	7–8	8–9	9–10	10–11	11–12	Mittel	Datum
1912													
441	330	415	286	388	292	301	377	345	339	315	237	.	1
152	169	175	204	213	108	222	166	146	146	146	222	.	2
117	149	-248	158	- 83	16	142	142	142	152	190	175	.	3
213	193	312	312	269	237	315	312	330	251	175	161	.	4
-511	-152	29	*61*	70	-221	-497	-1560	-386	-276	-497	142	.	5
228	126	128	-69	-235	-414	160	269	269	140	[1])	[1])	.	6
743	980	885	300	300	395	300	269	205	187	85	152	.	7
263	228	269	298	301	359	470	403	388	508	380	196	.	8
578	526	432	342	385	362	333	388	385	231	263	152	.	9
632	**632**	**632**	**616**	**616**	**711**	**711**	**964**	**853**	**616**	**632**	**600**	**560**	10
585	**585**	**521**	**474**	**473**	**569**	**604**	**490**	**664**	**616**	**569**	**474**	**537**	11
280	**289**	**318**	**394**	**479**	**517**	**558**	**534**	**453**	**438**	**400**	**353**	**362**	12
426	**409**	**403**	**420**	**400**	**438**	**371**	**385**	**388**	**380**	**339**	**359**	**368**	13
269	**327**	**345**	**423**	**458**	**496**	**482**	**435**	**380**	**342**	**318**	**298**	**352**	14
400	**409**	**400**	**415**	**409**	**420**	**426**	**423**	**385**	**385**	**359**	**350**	**361**	15
292	**318**	**304**	**391**	**429**	**496**	**453**	**307**	**315**	**482**	**461**	**569**	**359**	16
242	**295**	**374**	**403**	**383**	**347**	**292**	**277**	**269**	**248**	**245**	**140**	**252**	17
161	199	210	295	307	254	312	333	345	333	315	307	.	18
353	**298**	**336**	**292**	**365**	**400**	**365**	**336**	**339**	**330**	**315**	**312**	**320**	19
310	**347**	**330**	**353**	**394**	**394**	**380**	**368**	**359**	**353**	**342**	**330**	**300**	20
292	301	263	260	237	231	225	225	88	126	93	96	.	21
146	161	131	152	196	239	222	298	321	213	187	204	.	22
- 42	-179	164	158	196	426	604	632	506	403	263	248	.	23
253	269	292	239	245	251	277	301	347	374	394	435	.	24
456	458	400	339	242	315	345	350	333	333	321	292	.	25
377	380	394	359	277	122	222	324	321	172	193	32	.	26
207	193	225	274	225	318	345	418	464	461	[2])	[2])	.	27
257	239	394	362	286	315	234	272	283	318	388	318	.	28
347	482	441	458	363	205	248	272	272	286	432	432	.	29
482	**485**	**409**	**371**	**380**	**409**	**391**	**321**	**385**	**380**	**394**	**415**	**498**	30
190	184	234	320	*-300*	95	316	284	269	219	234	225	.	31
388	**399**	**397**	**414**	**435**	**472**	**458**	**440**	**435**	**415**	**398**	**382**	**388**	Mittel der Normaltage

[1]) Nachfüllung versagte wegen Kabelbruchs. [2]) Uhr stand.

1912													
409	482	505	467	- 69	142	363	316	395	508	423	263	.	1
474	348	316	553	493	*482*	*569*	564	476	632	758	790	.	2
600	**553**	**427**	**395**	**474**	**664**	**664**	**616**	**474**	**442**	**395**	**395**	**508**	3
521	490	442	458	474	474	521	569	474	442	427	411	.	4
365	493	526	546	628	628	526	464	438	458	418	394	.	5
447	**543**	**593**	**514**	**491**	**406**	**380**	**444**	**458**	**391**	**385**	**336**	**390**	6
380	493	596	526	423	408	412	467	493	555	502	526	.	7
380	473	453	423	482	418	406	426	403	377	388	441	.	8
429	**423**	**377**	**356**	**409**	**476**	**473**	**482**	**526**	**467**	**441**	**412**	**418**	9
496	**485**	**496**	**467**	**432**	**476**	**456**	**418**	**380**	**558**	**474**	**553**	**442**	10
616	411	467	444	380	400	286	219	158	175	117	114	.	11
143	286	336	408	423	330	336	117	248	377	493	555	.	12
201	301	237	248	272	210	231	131	184	219	207	277	.	13
146	126	175	201	199	245	219	231	123	321	371	467	.	14
269	164	149	190	175	216	263	149	225	242	304	219	.	15
257	307	333	427	316	411	473	409	453	327	228	178	.	16
350	295	254	222	277	269	222	298	383	450	529	555	.	17
342	**356**	**336**	**350**	**374**	**385**	**412**	**438**	**418**	**374**	**456**	**453**	**411**	18
371	**353**	**330**	**342**	**304**	**266**	**272**	**304**	**391**	**423**	**394**	**333**	**323**	19
292	234	239	257	234	242	274	286	330	350	356	374	.	20
- 31	*-1518*	- 55	0	47	190	248	-104	365	520	400	310	.	21
350	274	222	234	321	371	374	380	429	444	333	350	.	22
161	166	216	152	105	76	47	-207	-138	-745	-925	-1159	.	23
123	0	*-1104*	-690	-138	*102*	117	178	146	152	190	292	.	24
474	427	411	379	363	237	190	348	332	234	307	196	.	25
225	263	225	237	263	204	175	193	245	251	222	210	.	26
-607	- 69	*0*	32	0	95	158	95	221	204	222	242	.	27
105	181	117	79	120	137	190	280	193	146	158	161	.	28
333	**307**	**307**	**283**	**292**	**318**	**321**	**292**	**342**	**359**	**327**	**307**	**304**	29
431	**431**	**409**	**387**	**399**	**427**	**425**	**428**	**427**	**431**	**410**	**398**	**400**	Mittel der Normaltage

Zeitangaben nach mittlerer Ortszeit

Luftelektrisches

In Volt
Normaltage sind

März

Datum	12–1	1–2	2–3	3–4	4–5	5–6	6–7	7–8	8–9	9–10	10–11	11–12
1	242	199	187	– 78	345	47	63	105	31	173	205	158
2	155	61	128	123	126	111	105	76	–235	–110	79	126
3	166	161	204	251	269	277	269	266	245	210	207	257
4	–41	111	95	79	79	79	79	149	152	158	190	196
5	222	172	102	–593	–69	79	111	117	126	257	295	277
6	199	219	175	172	158	199	196	178	108	161	231	193
7	158	174	142	158	142	111	95	155	166	172	166	134
8	63	32	63	111	126	142	158	216	251	164	169	169
9	**161**	**181**	**184**	**146**	**175**	**219**	**248**	**237**	**237**	**274**	**248**	**248**
10	**158**	**166**	**166**	**134**	**128**	**146**	**161**	**190**	**199**	**204**	**204**	**222**
11	**134**	**137**	**152**	**169**	**181**	**228**	**254**	**342**	**362**	**420**	**380**	**345**
12	**312**	**391**	**277**	**193**	**239**	**339**	**339**	**321**	**385**	**304**	**266**	**298**
13	**175**	**169**	**99**	**146**	**166**	**204**	**193**	**239**	**336**	**391**	**336**	**307**
14	204	196	193	178	184	210	242	292	324	345	380	321
15	**248**	**272**	**286**	**272**	**242**	**263**	**277**	**286**	**301**	**315**	**321**	**283**
16	117	102	105	123	123	146	164	175	126	126	–78	–164
17	63	63	126	111	79	95	111	111	79	131	102	152
18	187	190	201	190	175	187	199	228	222	225	234	248
19	158	128	140	82	–42	120	169	234	225	169	178	207
20	**111**	**111**	**126**	**126**	**158**	**142**	**158**	**190**	**221**	**283**	**312**	**315**
21	161	123	123	126	128	137	187	266	385	336	222	216
22	**111**	**111**	**126**	**126**	**95**	**79**	**142**	**221**	**237**	**274**	**216**	**193**
23	277	231	213	166	175	164	166	193	190	158	111	149
24	222	225	204	254	269	304	269	272	307	269	196	210
25	190	210	199	196	164	190	222	219	193	207	204	190
26	248	237	196	181	216	222	196	193	146	111	210	228
27	269	239	204	187	190	213	228	245	175	204	210	228
28	178	169	166	175	166	169	199	210	213	187	187	149
29	111	142	126	126	126	190	205	283	263	245	131	38
30	178	164	140	140	175	164	187	248	280	216	190	*–207*
31	105	137	149	128	108	123	140	164	210	204	190	184
Mittel der Normaltage	**176**	**192**	**177**	**164**	**173**	**202**	**222**	**254**	**285**	**308**	**285**	**276**

April

1	210	199	187	164	137	93	–621	–828	–358	128	207	228
2	67	114	99	88	76	102	166	– 65	111	–856	– 593	190
3	**158**	**142**	**158**	**174**	**190**	**190**	**221**	**269**	**274**	**242**	**207**	**184**
4	225	219	187	184	181	175	210	242	251	321	292	[1])
5	175	181	190	199	193	152	155	64	67	91	70	58
6	146	88	70	76	120	152	126	96	105	126	149	204
7	212	205	142	158	158	126	126	– 41	212	269	254	175
8	301	304	263	251	204	175	219	146	73	*131*	277	242
9	158	–235	111	111	126	142	126	91	–120	–966	–1794	–1932
10	117	149	111	105	16	63	79	172	239	239	– 331	205
11	111	379	205	111	111	158	269	312	304	234	237	254
12	*–1518*	126	142	142	126	79	16	363	158	307	234	411
13	242	204	210	190	175	204	251	310	312	286	251	272
14	239	210	–442	–580	–207	–207	111	73	47	76	152	213
15	**442**	**506**	**474**	**411**	**379**	**411**	**569**	**458**	**300**	**251**	**312**	**342**
16	**181**	**161**	**108**	**88**	**196**	**301**	**447**	**411**	**237**	**231**	**242**	**237**
17	**292**	**327**	**277**	**269**	**225**	**216**	**283**	**263**	**321**	**286**	**216**	**199**
18	**131**	**108**	**108**	**128**	**140**	**152**	**175**	**196**	**234**	**242**	**204**	**193**
19	**99**	**96**	**99**	**117**	**137**	**166**	**204**	**245**	**304**	**269**	**178**	**149**
20	**213**	**239**	**310**	**339**	**418**	**391**	**438**	**564**	**476**	**496**	**442**	**126**
21	**161**	**161**	**166**	**152**	**158**	**161**	**164**	**184**	**178**	**169**	**131**	**111**
22	409	312	228	234	219	283	283	444	420	400	333	310
23	**356**	**269**	**260**	**248**	**239**	**330**	**394**	**444**	**409**	**467**	**178**	**108**
24	**199**	**199**	**251**	**251**	**277**	**283**	**304**	**283**	**359**	**269**	**187**	**169**
25	467	473	312	134	225	193	274	283	242	210	126	210
26	**365**	**307**	**292**	**245**	**295**	**409**	**537**	**727**	**521**	**363**	**283**	**225**
27	**169**	**164**	**164**	**175**	**181**	**204**	**254**	**330**	**298**	**216**	**143**	**111**
28	**181**	**164**	**146**	**152**	**158**	**172**	**190**	**207**	**204**	**234**	**207**	**196**
29	169	158	166	161	216	269	324	429	418	342	345	283
30	**248**	**312**	**350**	**301**	**254**	**274**	**432**	**391**	**330**	**321**	**315**	**312**
Mittel der Normaltage	**228**	**225**	**226**	**218**	**232**	**261**	**329**	**355**	**318**	**290**	**232**	**190**

[1]) Registrierung wegen Eichung unterbrochen.

Zeitangaben nach mittlerer Ortszeit

Potentialgefälle

pro Meter.
halbfett gedruckt.

1912

12–1	1–2	2–3	3–4	4–5	5–6	6–7	7–8	8–9	9–10	10–11	11–12	Mittel	Datum
190	210	210	190	175	155	196	164	166	158	204	199	.	1
-276	158	187	128	29	175	175	219	263	193	175	164	.	2
216	228	239	- 26	- 26	100	108	88	160	196	204	-290	.	3
175	155	183	213	204	184	178	210	216	228	254	263	.	4
-690	*- 552*	158	158	234	592	158	205	205	190	175	190	.	5
332	158	210	*1738*	*1656*	1264	111	142	- 32	-32	126	142	.	6
161	- 345	790	190	*361*	174	*- 552*	*-828*	*395*	*632*	111	79	.	7
204	149	114	146	161	158	137	164	210	239	266	149	.	8
280	**295**	**254**	**187**	**190**	**178**	**169**	**184**	**184**	**166**	**158**	**149**	**206**	9
219	**199**	**199**	**193**	**190**	**172**	**166**	**172**	**172**	**158**	**161**	**161**	**177**	10
298	**324**	**374**	**371**	**458**	**555**	**531**	**531**	**505**	**420**	**397**	**292**	**340**	11
339	**283**	**353**	**314**	**277**	**295**	**388**	**330**	**234**	**207**	**254**	**169**	**296**	12
336	**362**	**292**	**254**	**228**	**169**	**158**	**190**	**231**	**169**	**210**	**166**	**230**	13
225	242	204	120	61	108	190	- 97	32	111	152	199	.	14
248	**222**	**207**	**178**	**178**	**178**	**199**	**216**	**190**	**166**	**169**	**152**	**236**	15
- 13	- 143	63	-276	-759	-483	-1132	-483	-332	16	47	63	.	16
143	140	131	128	140	134	137	143	137	128	137	161	.	17
234	242	277	269	266	164	164	204	199	199	190	164	.	18
166	158	95	221	-345	632	*- 414*	-580	-235	*395*	-55	126	.	19
242	**213**	**193**	**190**	**175**	**190**	**169**	**196**	**225**	**225**	**175**	**199**	**194**	20
178	193	187	210	181	190	199	292	234	632	-16	63	.	21
210	**184**	**193**	**178**	**152**	**190**	**175**	**204**	**213**	**219**	**207**	**234**	**179**	22
152	149	*-1104*	316	95	316	126	158	190	266	274	216	.	23
166	169	131	146	158	146	105	64	169	228	187	164	.	24
190	184	164	190	175	175	158	187	234	274	277	263	.	25
190	190	219	184	269	248	239	310	307	339	312	330	.	26
204	184	196	169	155	*307*	222	234	181	178	166	166	.	27
108	47	- 18	29	152	131	126	73	131	58	28	79	.	28
0	0	237	253	205	*-207*	537	126	- 83	178	164	196	.	29
474	*-1518*	*553*	*316*	*-207*	790	32	237	221	228	155	196	.	30
184	175	199	219	222	219	239	234	234	239	231	234	.	31
272	**260**	**258**	**233**	**231**	**241**	**244**	**253**	**244**	**216**	**216**	**190**	**232**	Mittel der Normaltage

1912

193	[1])	190	213	187	193	193	190	199	184	123	32	.	1
- 828	142	76	70	58	79	174	-28	-290	-276	79	126	.	2
204	**190**	**199**	**175**	**175**	**184**	**210**	**257**	**321**	**356**	**420**	**234**	**222**	3
301	274	245	164	201	245	234	222	242	210	193	175	.	4
88	82	123	93	79	117	128	105	85	149	210	193	.	5
99	79	41	93	140	146	-152	111	-483	-345	190	190	.	6
137	64	47	- 179	332	-235	-248	253	316	266	283	310	.	7
225	146	158	175	146	166	193	207	155	190	- 110	126	.	8
-1794	-1380	-1104	-1573	-552	-207	-110	174	204	181	158	99	.	9
- 497	111	263	237	95	253	79	95	16	-828	-1242	95	.	10
225	219	237	234	222	216	158	128	146	152	47	*-828*	.	11
869	348	126	126	253	205	853	411	190	228	204	239	.	12
257	239	272	272	164	187	0	174	142	117	- 31	228	.	13
199	222	333	350	385	476	584	474	553	490	569	506	.	14
266	**277**	**321**	**336**	**280**	**254**	**301**	**429**	**292**	**216**	**169**	**164**	**340**	15
234	**263**	**295**	**289**	**292**	**277**	**257**	**327**	**295**	**204**	**222**	**263**	**252**	16
187	**184**	**178**	**181**	**196**	**196**	**210**	**219**	**219**	**193**	**158**	**140**	**226**	17
199	**184**	**146**	**152**	**166**	**193**	**193**	**204**	**196**	**187**	**161**	**126**	**172**	18
126	**126**	**128**	**134**	**152**	**155**	**193**	**222**	**216**	**210**	**193**	**175**	**171**	19
166	**155**	**149**	**187**	**222**	**228**	**207**	**283**	**184**	**178**	**166**	**166**	**281**	20
140	**117**	**114**	**105**	**131**	**146**	**152**	**429**	**572**	**409**	**385**	**438**	**210**	21
295	251	- 83	79	363	284	380	356	383	345	339	400	.	22
102	**123**	**96**	**117**	**134**	**126**	**169**	**181**	**222**	**222**	**327**	**327**	**244**	23
175	**199**	**216**	**228**	**216**	**184**	**172**	**222**	**438**	**526**	**438**	**415**	**269**	24
283	158	207	272	164	251	356	371	388	388	420	391	.	25
187	**134**	**152**	**152**	**166**	**161**	**187**	**193**	**181**	**190**	**181**	**187**	**277**	26
140	**149**	**140**	**137**	**120**	**146**	**161**	**210**	**254**	**283**	**204**	**140**	**187**	27
193	**199**	**193**	**190**	**190**	**137**	**161**	**222**	**234**	**222**	**239**	**201**	**191**	28
321	415	420	482	388	342	248	339	315	362	304	263	.	29
204	**228**	**304**	**190**	**204**	**266**	**310**	**342**	**388**	**432**	**479**	**426**	**317**	30
180	**181**	**188**	**184**	**189**	**189**	**206**	**267**	**287**	**273**	**267**	**243**	**240**	Mittel der Normaltage

[1]) Registrierung unterbrochen.

Zeitangaben nach mittlerer Ortszeit

Luftelektrisches

In Volt
Normaltage sind

Mai

Datum	12–1	1–2	2–3	3–4	4–5	5–6	6–7	7–8	8–9	9–10	10–11	11–12
1	**406**	**432**	**356**	**301**	**371**	**473**	**491**	**383**	**274**	**260**	**248**	**181**
2	**126**	**117**	**117**	**108**	**99**	**120**	**155**	**263**	**222**	**161**	**146**	**114**
3	134	134	134	146	134	126	126	131	126	99	82	-649
4	205	126	95	95	95	111	126	181	196	210	199	196
5	**263**	**187**	**169**	**149**	**146**	**158**	**219**	**272**	**272**	**204**	**196**	**199**
6	108	117	140	123	111	117	146	158	158	137	120	114
7	79	-41	-207	-83	-124	-138	*32*	99	131	152	105	91
8	158	126	126	174	221	395	379	342	277	248	307	327
9	175	120	105	91	85	108	134	187	234	216	169	146
10	0	47	63	79	63	47	126	123	111	99	47	61
11	**219**	**204**	**234**	**286**	**239**	**204**	**239**	**207**	**204**	**210**	**237**	**269**
12	187	181	204	175	137	117	146	105	120	181	164	196
13	*0*	379	*316*	95	32	47	63	117	82	102	55	93
14	**134**	**117**	**117**	**105**	**102**	**128**	**152**	**190**	**213**	**210**	**216**	**178**
15	166	187	277	292	257	213	234	204	199	213	234	242
16	190	161	348	79	47	47	79	117	134	88	73	196
17	-138	-41	111	142	126	158	174	146	64	-26	3	35
18	**149**	**152**	**169**	**166**	**131**	**137**	**158**	**166**	**164**	**166**	**134**	**120**
19	137	[1]	[1]	[1]	*131*	117	76	93	*204*	225	175	152
20	**207**	**204**	**187**	**158**	**146**	**158**	**175**	**248**	**204**	**169**	**137**	**128**
21	126	137	131	134	50	128	149	91	85	93	128	149
22	[2]	[2]	[2]	[2]	[2]	[2]	[2]	[2]	[2]	114	53	26
23	[3]	[3]	[3]	[3]	[3]	[3]	[3]	[3]	*65*	*-12*	*- 35*	*- 70*
24	280	374	409	490	395	490	332	239	339	239	199	216
25	196	175	169	128	155	155	140	166	158	137	99	88
26	**131**	**91**	**99**	**91**	**88**	**99**	**134**	**155**	**149**	**137**	**108**	**99**
27	149	137	123	131	146	149	161	178	190	140	-193	63
28	178	166	363	190	190	174	190	199	178	155	158	117
29	126	140	164	123	111	181	172	164	184	155	126	190
30	187	199	196	175	169	134	123	134	108	99	64	64
31	342	280	251	248	216	181	126	117	126	134	178	166
Mittel der Normaltage	**204**	**188**	**181**	**170**	**165**	**185**	**215**	**236**	**213**	**190**	**178**	**161**

[1]) Nadel klebt am Farbband. [2]) Uhr stand. [3]) Nadel festgeraten.

Juni

Datum	12–1	1–2	2–3	3–4	4–5	5–6	6–7	7–8	8–9	9–10	10–11	11–12
1	99	70	96	58	70	70	38	196	169	164	158	111
2	178	149	126	128	137	175	184	196	201	152	108	111
3	140	123	96	67	93	99	128	158	161	152	131	120
4	**263**	**298**	**286**	**277**	**277**	**307**	**321**	**283**	**269**	**228**	**181**	**158**
5	131	128	695	111	126	-152	-373	-345	-207	23	146	126
6	204	234	210	137	76	316	190	146	193	[1]	[1]	149
7	**131**	**196**	**239**	**204**	**204**	**263**	**225**	**213**	**269**	**248**	**204**	**137**
8	175	207	*948*	-414	-276	-110	205	221	187	193	164	137
9	146	134	175	178	213	207	172	166	166	155	146	137
10	161	117	111	102	161	178	339	269	385	295	204	263
11	234	164	149	99	91	140	149	219	178	193	280	155
12	204	146	128	134	164	158	169	178	213	204	225	242
13	219	126	140	161	222	216	178	134	120	184	126	137
14	175	102	50	76	91	76	47	-138	142	190	126	79
15	108	105	105	88	82	105	96	88	204	-13	221	158
16	111	123	134	137	140	149	169	169	169	158	166	70
17	96	117	146	169	146	169	222	292	280	239	126	210
18	237	221	221	174	174	174	205	245	248	228	175	146
19	304	330	312	474	111	269	79	187	181	228	228	219
20	149	178	155	146	155	196	251	263	237	190	196	201
21	[2]	[2]	[2]	[2]	[2]	[2]	[2]	[2]	210	161	149	158
22	**120**	**88**	**126**	**169**	**321**	**272**	**304**	**266**	**248**	**199**	**193**	**146**
23	**330**	**274**	**272**	**254**	**292**	**280**	**257**	**164**	**164**	**199**	**257**	**327**
24	219	210	187	178	161	161	245	184	345	-69	-152	63
25	193	137	134	137	120	105	111	123	126	131	152	169
26	274	219	204	234	196	175	175	190	134	117	169	187
27	**239**	**225**	**164**	**128**	**131**	**169**	**207**	**193**	**204**	**178**	**158**	**146**
28	**137**	**102**	**88**	**93**	**105**	**131**	**161**	**131**	**178**	**175**	**166**	**143**
29	**131**	**123**	**117**	**126**	**137**	**155**	**190**	**222**	**222**	**219**	**193**	**166**
30	166	166	164	108	117	93	73	- 97	-109	-73	-221	95
Mittel der Normaltage	**193**	**187**	**185**	**179**	**210**	**225**	**238**	**210**	**222**	**207**	**193**	**175**

[1]) Registrierung unterbrochen [2]) Registrierung versehentlich unterbrochen.

Zeitangaben nach mittlerer Ortszeit.

Potentialgefälle

pro Meter.
halbfett gedruckt.

1912

12-1	1-2	2-3	3-4	4-5	5-6	6-7	7-8	8-9	9-10	10-11	11-12	Mittel	Datum
149	**155**	**178**	**193**	**166**	**137**	**128**	**108**	**96**	**99**	**111**	**134**	**243**	1
108	**120**	**120**	**120**	**117**	**140**	**161**	**146**	**164**	**166**	**161**	**143**	**142**	2
- 14	- 69	-455	-317	- 41	*-828*	*0*	205	237	205	174	221	.	3
137	- 34	- 8	9	93	117	181	201	228	280	251	242	.	4
199	**190**	**222**	**204**	**169**	**190**	**175**	**312**	**345**	**295**	**108**	**137**	**208**	5
105	105	111	131	152	70	88	93	82	*-621*	*- 483*	221	.	6
61	146	175	152	*-414*	*-483*	711	- 28	237	- 83	363	190	.	7
193	356	423	348	316	234	254	225	210	201	231	175	.	8
120	146	178	-235	79	50	-69	221	316	*0*	79	126	.	9
99	-152	- 55	79	- 55	*237*	131	213	216	277	216	251	.	10
248	**219**	**234**	**219**	**184**	**184**	**190**	**207**	**248**	**301**	**307**	**213**	**229**	11
216	190	204	190	216	225	219	254	225	*-662*	*-1380*	*790*	.	12
58	- 39	- 5	12	47	73	149	199	196	175	158	152	.	13
184	**199**	**216**	**216**	**228**	**219**	**266**	**219**	**222**	**231**	**219**	**181**	**186**	14
219	190	199	232	-248	332	348	205	221	204	178	193	.	15
53	-138	20	175	207	304	284	*-138*	*0*	-138	32	-55	.	16
117	158	184	128	187	210	222	204	225	228	184	164	.	17
134	**175**	**190**	**149**	**146**	**149**	**178**	**164**	**181**	**190**	**175**	**137**	**158**	18
131	146	146	134	131	128	149	134	190	134	190	283	.	19
105	**105**	**108**	**111**	**134**	**161**	**149**	**204**	**292**	**137**	**105**	**126**	**161**	20
134	126	140	146	175	199	196	[1])	[1])	[1])	[1])	[1])	.	21
7	39	42	95	148	14	123	211	202	113	81	[2])	.	22
- 55	32	58	99	152	96	158	228	260	234	204	239	.	23
[3])	161	137	210	272	237	266	301	237	304	245	213	.	24
79	96	99	117	126	108	117	108	105	146	146	146	.	25
114	**117**	**111**	**111**	**120**	**137**	**149**	**216**	**228**	**239**	**199**	**158**	**137**	26
95	16	123	111	134	79	137	181	207	222	196	187	.	27
143	149	146	111	137	169	169	228	184	193	207	164	.	28
-276	-138	*-276*	-373	869	869	348	284	*316*	263	274	277	.	29
- 8	15	93	99	155	234	239	231	234	280	254	350		30
193	204	216	216	204	204	216	242	204	277	283	128	.	31
155	**160**	**172**	**165**	**158**	**165**	**174**	**197**	**222**	**207**	**173**	**154**	**183**	Mittel der Normaltage

[1]) Uhr stand. [2]) Nadel festgeraten. [3]) Registrierung unterbrochen.

1912

108	111	134	131	134	126	172	164	114	105	105	117	.	1
117	105	-1104	63	79	-414	158	234	204	257	274	181	.	2
114	114	23	93	126	166	193	175	178	248	213	228	.	3
169	**137**	**134**	**126**	**137**	**128**	**137**	**146**	**149**	**152**	**131**	**123**	**201**	4
140	*316*	- 97	284	126	142	193	237	225	222	216	219	.	5
120	274	190	169	184	181	164	164	181	184	213	193	.	6
108	**108**	**105**	**108**	**123**	**146**	**152**	**146**	**164**	**184**	**237**	**175**	**179**	7
178	146	137	64	88	93	105	88	108	111	137	140	.	8
193	181	155	169	158	174	-276	-621	348	277	277	196	.	9
-304	47	295	245	242	292	231	245	274	184	187	219	.	10
158	158	146	134	102	96	120	175	321	234	237	263	.	11
207	164	146	126	123	152	169	248	295	251	181	216	.	12
120	114	161	166	149	146	137	178	295	324	263	254	.	13
111	108	111	111	126	126	140	146	29	96	123	152	.	14
474	*95*	*79*	*-414*	-276	47	108	93	96	108	102	126	.	15
178	134	- 166	-414	-580	32	- 97	32	63	175	181	114	.	16
164	88	*- 276*	126	142	126	237	234	231	207	395	-28	.	17
149	96	67	117	128	213	245	187	128	120	175	175	.	18
207	190	213	184	207	207	190	219	219	245	237	152	.	19
228	219	143	152	140	102	[1])	[1])	[1])	[1])	[1])	[1])	.	20
137	117	- 55	111	105	146	187	166	128	123	93	114	.	21
143	**140**	**155**	**131**	**155**	**143**	**199**	**205**	**221**	**312**	**266**	**312**	**201**	22
324	**283**	**234**	**228**	**216**	**216**	**213**	**207**	**216**	**251**	**260**	**219**	**247**	23
155	216	175	187	216	184	193	239	251	222	219	204	.	24
213	166	140	178	114	117	67	155	193	169	149	263	.	25
164	175	146	161	*0*	*-690*	0	174	190	204	196	207	.	26
155	**172**	**161**	**146**	**137**	**149**	**158**	**178**	**248**	**196**	**155**	**196**	**175**	27
146	**161**	**140**	**128**	**134**	**126**	**134**	**149**	**149**	**149**	**152**	**143**	**138**	28
155	**149**	**169**	**169**	**164**	**158**	**155**	**161**	**175**	**181**	**175**	**196**	**167**	29
79	126	1027	-632	58	263	321	356	412	412	336	310	.	30
171	**164**	**157**	**148**	**152**	**152**	**164**	**170**	**189**	**204**	**197**	**195**	**187**	Mittel der Normaltage

[1]) Registrierung versehentlich unterbrochen.

Zeitangaben nach mittlerer Ortszeit

Luftelektrisches

In Volt
Normaltage sind

Juli

Datum	12–1	1–2	2–3	3–4	4–5	5–6	6–7	7–8	8–9	9–10	10–11	11–12
1	336	298	222	251	222	210	225	272	304	304	108	234
2	199	210	213	239	216	248	315	342	385	242	*-1140*	316
3	380	353	321	274	204	175	216	175	175	146	137	204
4	385	277	269	266	394	368	263	274	257	324	301	234
5	**266**	**213**	**196**	**184**	**225**	**301**	**304**	**394**	**414**	**385**	**301**	**336**
6	**374**	**222**	**216**	**187**	**184**	**204**	**219**	**239**	**224**	**181**	**172**	**164**
7	**199**	**181**	**166**	**178**	**187**	**181**	**213**	**251**	**237**	**216**	**175**	**140**
8	169	134	117	117	120	152	181	222	339	239	187	140
9	[1])	[1])	[1])	[1])	[1])	[1])	[1])	117	175	184	128	158
10	**166**	**158**	**161**	**120**	**105**	**143**	**181**	**219**	**234**	**164**	**164**	**152**
11	**174**	**142**	**142**	**174**	**158**	**158**	**174**	**181**	**187**	**196**	**172**	**143**
12	**161**	**149**	**143**	**146**	**143**	**137**	**169**	**210**	**237**	**210**	**175**	**158**
13	**274**	**260**	**272**	**231**	**219**	**234**	**248**	**251**	**251**	**228**	**190**	**178**
14	**190**	**190**	**205**	**205**	**253**	**284**	**316**	**356**	**450**	**453**	**272**	**222**
15	**490**	**379**	**316**	**269**	**269**	**300**	**316**	**380**	**467**	**546**	**400**	**447**
16	**537**	**395**	**316**	**269**	**284**	**284**	**253**	**345**	**441**	**438**	**383**	**356**
17	**569**	**251**	**248**	**251**	**277**	**426**	**356**	**371**	**304**	**248**	**190**	**146**
18	**169**	**166**	**158**	**123**	**120**	**134**	**164**	**213**	**210**	**225**	**140**	**111**
19	140	131	120	123	123	126	146	175	181	155	76	105
20	96	79	29	175	239	196	219	102	47	44	67	73
21	204	181	175	274	324	269	254	321	403	391	324	292
22	**254**	**213**	**254**	**266**	**368**	**248**	**193**	**207**	**231**	**201**	**204**	**164**
23	207	172	216	193	199	231	248	257	225	164	196	146
24	**330**	**292**	**216**	**213**	**239**	**251**	**310**	**321**	**280**	**216**	**187**	**169**
25	204	225	245	263	225	260	219	196	146	131	91	76
26	79	63	32	79	79	111	126	158	205	152	105	108
27	193	158	181	193	178	187	213	277	254	196	178	149
28	140	161	149	164	155	158	181	193	210	239	190	161
29	174	126	158	190	190	111	79	95	253	*123*	158	210
30	**295**	**239**	**199**	**196**	**222**	**245**	**292**	**330**	**321**	**327**	**272**	**204**
31	**242**	**248**	**231**	**213**	**242**	**272**	**312**	**339**	**350**	**391**	**362**	**222**
Mittel der Normaltage	**293**	**231**	**215**	**202**	**218**	**238**	**251**	**288**	**302**	**289**	**235**	**207**

[1]) Schlechte Isolation.

August

Datum	12–1	1–2	2–3	3–4	4–5	5–6	6–7	7–8	8–9	9–10	10–11	11–12
1	225	187	169	137	111	166	234	304	324	342	321	263
2	152	146	99	91	47	3	– 5	20	[1])	[1])	88	– 3
3	**222**	**134**	**158**	**149**	**175**	**169**	**234**	**222**	**254**	**237**	**193**	**190**
4	**292**	**193**	**204**	**245**	**225**	**199**	**210**	**178**	**166**	**184**	**169**	**175**
5	222	193	172	175	181	193	248	286	295	283	359	266
6	175	79	210	237	239	260	263	277	350	269	251	251
7	222	257	295	274	274	272	280	336	324	336	307	234
8	-759	-55	79	95	47	47	63	-331	-1035	-856	-607	– 28
9	76	152	187	222	245	283	277	266	321	225	199	225
10	**216**	**193**	**158**	**158**	**164**	**219**	**248**	**301**	**350**	**298**	**248**	**239**
11	**251**	**196**	**172**	**166**	**181**	**166**	**204**	**166**	**128**	**123**	**111**	**91**
12	158	166	158	134	158	187	213	201	196	184	161	169
13	225	213	199	213	219	204	254	283	321	321	333	234
14	225	201	187	137	105	174	190	187	239	260	254	187
15	237	187	184	204	193	-169	47	204	251	237	251	-469
16	117	102	134	164	164	164	161	91	99	131	166	190
17	114	99	140	149	131	158	193	158	126	105	134	152
18	143	128	91	15	20	126	85	58	146	228	251	321
19	222	190	190	187	187	164	149	140	152	277	266	196
20	178	187	164	178	254	225	225	315	363	158	142	131
21	210	204	166	234	263	307	301	272	272	216	-138	– 83
22	207	213	140	143	158	166	120	114	158	164	178	*161*
23	187	190	105	85	117	155	161	193	234	257	257	231
24	140	-69	63	– 55	-97	– 28	47	111	175	199	204	239
25	38	64	-88	– 5	-26	70	123	263	257	196	178	175
26	187	166	175	178	193	237	356	342	298	327	234	158
27	225	152	196	166	172	190	263	380	371	321	269	210
28	193	216	161	126	111	199	225	228	225	181	187	210
29	**237**	**257**	**330**	**298**	**283**	**280**	**283**	**225**	**219**	**231**	**201**	**190**
30	227	266	260	242	219	216	234	251	272	304	286	242
31	*0*	-41	-28	-152	126	174	158	199	213	234	225	204
Mittel der Normaltage	**244**	**195**	**204**	**203**	**206**	**207**	**236**	**218**	**223**	**215**	**184**	**177**

[1]) Isolation schlecht.

Zeitangaben nach mittlerer Ortszeit

Potentialgefälle

pro Meter.
halbfett gedruckt.

1912

12–1	1–2	2–3	3–4	4–5	5–6	6–7	7–8	8–9	9–10	10–11	11–12	Mittel	Datum
234	-276	758	174	*-317*	363	-138	221	237	257	266	219	.	1
-179	-270	184	169	149	237	2212	-1932	248	254	292	365	.	2
269	103	0	158	-483	1027	196	239	237	277	307	350	.	3
254	315	248	263	251	225	263	304	348	350	321	298	.	4
213	**228**	**251**	**228**	**207**	**248**	**193**	**161**	**187**	**199**	**172**	**321**	**255**	5
166	**161**	**161**	**164**	**175**	**166**	**175**	**196**	**222**	**248**	**245**	**207**	**203**	6
134	**137**	**137**	**134**	**143**	**134**	**146**	**190**	**353**	**257**	**269**	**204**	**190**	7
146	161	128	-1063	-925	158	205	95	79	166	207	175	.	8
155	178	169	158	155	190	207	237	242	251	222	169	.	9
140	**137**	**143**	**161**	**207**	*321*	**336**	**333**	**277**	**379**	**300**	**190**	**204**	10
120	**120**	**128**	**175**	**149**	**146**	**158**	**166**	**178**	**164**	**155**	**158**	**159**	11
155	**158**	**164**	**166**	**193**	**178**	**161**	**207**	**216**	**210**	**219**	**248**	**180**	12
161	**175**	**263**	**234**	**248**	**234**	**257**	**339**	**415**	**409**	**411**	**221**	**258**	13
193	**175**	**175**	**181**	**199**	**199**	**228**	**491**	**600**	**521**	**458**	**521**	**306**	14
368	**312**	**339**	**345**	**403**	**391**	**339**	**467**	**613**	**695**	**474**	**427**	**406**	15
199	**181**	**193**	**339**	**239**	**336**	**453**	**363**	**506**	**546**	**508**	**429**	**358**	16
169	**193**	**204**	**175**	**158**	**193**	**199**	**193**	**204**	**178**	**178**	**175**	**244**	17
93	**88**	**91**	**105**	**131**	**134**	**128**	**126**	**123**	**137**	**146**	**152**	**141**	18
88	70	76	99	131	126	126	161	134	126	131	117	.	19
73	64	55	108	79	96	73	64	99	146	158	193	.	20
330	213	184	277	272	213	234	266	348	251	310	315	.	21
128	**128**	**196**	**158**	**146**	**146**	**178**	**292**	**339**	**283**	**269**	**245**	**221**	22
155	*161*	254	359	429	324	277	263	234	234	304	251	.	23
161	**152**	**146**	**181**	**166**	**146**	**196**	**248**	**164**	**128**	**96**	**120**	**205**	24
82	88	88	- 414	237	95	379	632	727	111	95	95	.	25
137	131	131	108	18	149	196	181	196	222	204	213	.	26
164	166	199	146	149	163	146	175	143	155	201	117	.	27
131	105	99	99	114	128	*1027*	- *455*	379	*790*	0	205	.	28
266	336	342	216	181	73	210	158	237	251	286	257	.	29
187	**166**	**166**	**199**	**207**	**178**	**193**	**196**	**196**	**193**	**210**	**237**	**228**	30
204	**190**	**219**	**237**	**216**	**242**	**222**	**201**	**231**	**210**	**228**	**225**	**252**	31
174	**169**	**186**	**199**	**199**	**212**	**223**	**261**	**301**	**297**	**271**	**255**	**238**	Mittel der Normaltage

1912

12–1	1–2	2–3	3–4	4–5	5–6	6–7	7–8	8–9	9–10	10–11	11–12	Mittel	Datum
201	149	175	248	312	283	231	254	193	184	190	166	.	1
99	161	146	239	295	228	269	237	207	222	234	239	.	2
181	**166**	**196**	**175**	**213**	**225**	**277**	**307**	**269**	**234**	**234**	**362**	**216**	3
146	**140**	**146**	**166**	**166**	**196**	**204**	**216**	**210**	**222**	**216**	**219**	**195**	4
187	32	53	67	169	131	187	292	394	371	286	190	.	5
245	239	169	184	193	219	216	242	219	164	146	175	.	6
[1])	204	196	123	175	117	82	569	-414	-373	-110	-759	.	7
82	58	155	137	175	178	190	149	166	178	146	23	.	8
239	219	216	204	178	-359	142	310	251	219	193	207	.	9
222	**193**	**166**	**204**	**152**	**251**	**242**	**269**	**321**	**315**	**301**	**301**	**239**	10
105	**111**	**146**	**134**	**126**	**146**	**152**	**193**	**204**	**193**	**193**	**161**	**159**	11
164	137	149	120	-317	- 14	174	239	237	251	219	219	.	12
131	166	88	207	216	222	143	15	216	149	307	251	.	13
169	175	164	161	120	155	166	474	- 83	123	190	248	.	14
-235	- 55	*-138*	*474*	-276	111	181	237	263	219	149	155	.	15
79	142	205	474	95	158	126	126	158	143	111	120	.	16
117	128	146	181	190	175	199	266	219	166	155	128	.	17
272	201	184	158	161	169	164	164	196	251	269	266	.	18
164	175	158	149	169	178	181	126	158	175	199	140	.	19
231	96	204	245	286	[2])	[2])	[2])	[2])	231	269	210	.	20
174	*-276*	*237*	-304	111	126	126	207	260	239	231	196	.	21
210	199	169	158	181	181	29	-897	363	- 21	79	164	.	22
187	166	187	201	234	134	117	161	190	228	239	245	.	23
277	187	193	175	111	128	105	149	123	169	114	- 10	.	24
146	152	242	178	161	204	175	187	193	251	263	216	.	25
164	123	102	117	123	193	283	327	225	166	219	263	.	26
161	- *65*	-455	-290	32	70	225	196	- 26	155	146	175	.	27
187	131	166	181	175	196	184	181	166	196	204	207	.	28
181	**181**	**181**	**193**	**193**	**184**	**204**	**201**	**251**	**333**	**336**	**304**	**241**	29
239	193	234	234	158	70	*0*	*0*	16	*474*	*521*	*-414*	.	30
269	158	149	120	-193	32	204	126	245	292	263	269	.	31
167	**158**	**167**	**174**	**170**	**200**	**216**	**237**	**251**	**259**	**256**	**269**	**210**	Mittel der Normaltage

[1]) Registrierung wegen Eichung unterbrochen. [2]) Registrierung unterbrochen.

Zeitangaben nach mittlerer Ortszeit

Luftelektrisches

In Volt
Normaltage sind

September

Datum	12-1	1-2	2-3	3-4	4-5	5-6	6-7	7-8	8-9	9-10	10-11	11-12
1	**272**	**269**	**263**	**283**	**277**	**272**	**304**	**333**	**336**	**301**	**251**	**222**
2	166	181	175	178	143	137	166	184	155	134	210	207
3	237	222	248	274	263	216	274	324	339	277	298	196
4	239	245	251	277	286	324	336	350	374	350	272	272
5	175	158	134	164	199	239	263	263	269	269	134	181
6	178	178	175	193	190	181	210	207	201	152	164	175
7	184	181	131	-138	47	126	142	123	102	-110	47	-207
8	146	137	105	117	120	134	164	184	204	222	196	193
9	164	175	175	190	178	126	251	199	-69	253	221	190
10	82	-662	-152	- 69	-83	47	63	47	70	93	- 3	99
11	333	377	298	266	316	253	[1])	[1])	415	330	304	266
12	131	155	155	234	199	234	350	409	534	400	333	263
13	**248**	**190**	**187**	**216**	**239**	**321**	**383**	**336**	**321**	**266**	**225**	**190**
14	228	207	222	219	234	257	219	237	175	216	234	204
15	123	120	105	76	85	91	93	117	117	111	120	155
16	219	32	-138	111	16	-345	126	193	222	178	164	204
17	187	102	70	38	73	88	82	105	126	166	172	193
18	85	82	67	50	82	105	120	146	175	155	184	178
19	**286**	**251**	**187**	**164**	**178**	**245**	**292**	**292**	**269**	**260**	**237**	**204**
20	365	327	204	184	216	234	345	400	409	520	400	315
21	[2])	[2])	[2])	[2])	[2])	[2])	[2])	[2])	[2])	506	395	316
22	222	234	193	190	190	187	219	269	277	298	327	204
23	307	237	280	324	254	231	333	304	178	175	213	193
24	295	283	324	274	251	280	242	292	263	263	239	277
25	225	196	196	152	155	146	216	263	295	350	286	315
26	190	140	175	169	216	234	254	274	371	394	409	307
27	397	409	304	204	210	263	453	575	506	332	379	332
28	**429**	**359**	**336**	**318**	**321**	**272**	**210**	**263**	**292**	**234**	**190**	**216**
29	**175**	**158**	**143**	**146**	**143**	**137**	**149**	**169**	**190**	**199**	**190**	**201**
30	**105**	**99**	**105**	**99**	**99**	**102**	**128**	**158**	**152**	**166**	**184**	**196**
Mittel der Normaltage	**252**	**221**	**204**	**204**	**210**	**225**	**244**	**258**	**260**	**238**	**213**	**205**

[1]) Registrierung unterbrochen. [2]) Wassernachfüllung hat versagt.

Oktober

Datum	12-1	1-2	2-3	3-4	4-5	5-6	6-7	7-8	8-9	9-10	10-11	11-12
1	272	169	137	169	184	175	169	76	-193	158	126	63
2	146	131	111	126	123	111	128	114	47	76	99	134
3	131	134	149	117	105	-104	-39	237	283	204	204	178
4	**178**	**137**	**126**	**126**	**128**	**146**	**254**	**327**	**304**	**321**	**213**	**187**
5	**117**	**96**	**105**	**123**	**155**	**169**	**196**	**228**	**234**	**239**	**181**	**207**
6	**152**	**137**	**134**	**128**	**152**	**175**	**204**	**210**	**237**	**239**	**175**	**178**
7	**207**	**196**	**196**	**199**	**199**	**225**	**248**	**274**	**304**	**295**	**254**	**225**
8	**172**	**175**	**178**	**164**	**199**	**222**	**190**	**190**	**274**	**286**	**254**	**286**
9	123	166	321	339	426	447	511	379	395	442	205	155
10	251	245	222	219	216	231	245	336	365	353	295	228
11	108	105	93	96	146	152	158	175	146	134	131	93
12	**96**	**105**	**96**	**85**	**102**	**120**	**82**	**134**	**199**	**228**	**222**	**228**
13	**137**	**126**	**108**	**149**	**149**	**166**	**169**	**161**	**190**	**219**	**266**	**274**
14	190	158	137	131	123	134	158	193	169	210	228	204
15	190	149	102	76	- 5	- 55	73	126	175	181	178	164
16	**158**	**131**	**128**	**137**	**158**	**193**	**204**	**225**	**222**	**201**	**207**	**216**
17	181	201	231	228	222	219	263	228	228	219	204	213
18	108	88	105	117	123	143	105	175	204	64	169	108
19	263	248	283	237	222	201	190	207	213	166	166	-234
20	111	95	111	126	111	142	158	174	95	237	237	169
21	**253**	**300**	**316**	**269**	**269**	**237**	**221**	**205**	**228**	**231**	**213**	**193**
22	**190**	**190**	**193**	**190**	**184**	**184**	**190**	**196**	**245**	**242**	**277**	**237**
23	158	131	88	-52	85	18	58	-166	-290	-193	-359	-386
24	327	298	295	298	374	330	283	409	415	333	280	234
25	91	64	58	61	64	70	73	91	131	105	131	155
26	-55	79	126	126	79	126	205	205	102	[1])	[1])	47
27	161	193	166	73	99	158	196	216	193	196	169	181
28	**137**	**190**	**237**	**263**	**274**	**295**	**307**	**304**	**298**	**266**	**280**	**301**
29	169	166	172	190	164	155	128	199	204	204	263	283
30	155	131	96	114	146	166	175	169	190	120	123	152
31	146	137	126	149	207	181	207	237	216	219	196	213
Mittel der Normaltage	**163**	**162**	**165**	**167**	**179**	**194**	**206**	**223**	**249**	**252**	**231**	**230**

[1]) Registrierung unterbrochen.

Zeitangaben nach mittlerer Ortszeit

Potentialgefälle

pro Meter.
halbfett gedruckt.

1912

12–1	1–2	2–3	3–4	4–5	5–6	6–7	7–8	8–9	9–10	10–11	11–12	Mittel	Datum
196	**210**	**181**	**193**	**196**	**204**	**143**	**120**	**108**	**128**	**149**	**175**	**224**	1
213	216	184	184	196	29	292	166	93	178	225	199	.	2
164	348	– 41	158	111	126	210	196	199	181	225	251	.	3
272	263	274	245	175	178	88	187	175	164	204	190	.	4
395	174	*–276*	111	174	32	205	332	174	219	204	161	.	5
175	137	149	204	181	[1])	178	181	196	204	210	169	.	6
–414	*632*	*316*	111	–138	174	190	158	142	178	169	149	.	7
190	178	166	178	*–552*	0	47	269	307	307	234	219	.	8
221	205	–966	1027	95	*1185*	*– 345*	316	221	216	140	88	.	9
–208	– 14	*–345*	*790*	427	*158*	*–1380*	*–1035*	63	225	286	280	.	10
213	184	149	253	–276	*395*	0	16	63	93	123	149	.	11
216	207	–483	– 14	269	205	213	219	350	228	298	280	.	12
166	**190**	**187**	**193**	**225**	**292**	**251**	**304**	**330**	**283**	**239**	**213**	**250**	13
199	158	137	55	99	178	210	152	199	225	234	161	.	14
–414	*–966*	–276	– 28	111	142	158	190	284	336	272	260	.	15
199	140	193	164	187	[1])	207	251	239	219	152	108	.	16
204	201	111	143	137	131	164	164	117	134	140	96	.	17
196	222	228	239	[1])	181	213	196	274	234	222	292	.	18
196	**234**	**254**	**225**	**239**	**266**	**339**	**409**	**473**	**350**	**327**	**310**	**270**	19
245	283	245	266	310	345	453	[2])	[2])	[2])	[2])	[2])	.	20
332	332	237	*221*	248	– 91	– 41	142	221	216	295	222	.	21
140	152	207	228	286	225	301	336	301	380	438	420	.	22
178	178	111	88	126	137	216	225	178	105	248	312	.	23
353	356	353	350	269	327	292	292	321	312	318	222	.	24
350	353	342	409	336	– 69	111	332	395	467	339	283	.	25
263	131	–152	553	*–483*	394	363	269	284	350	380	365	.	26
253	283	283	225	181	128	315	450	467	420	485	423	.	27
175	**193**	**199**	**161**	**181**	**164**	**213**	**272**	**277**	**251**	**228**	**204**	**248**	28
190	**164**	**175**	**166**	**187**	**175**	**169**	**158**	**166**	**126**	**102**	**105**	**162**	29
210	**234**	**204**	**204**	**239**	**263**	**269**	**254**	**269**	**298**	**318**	**307**	**194**	30
189	**204**	**200**	**190**	**211**	**227**	**231**	**253**	**271**	**239**	**227**	**219**	**225**	Mittel der Normaltage

[1]) Registrierung unterbrochen. [2]) Wassernachfüllung hat versagt.

1912

32	47	16	95	166	158	161	187	175	204	199	175	.	1
131	128	143	134	111	213	213	222	193	187	187	164	.	2
178	190	158	152	175	234	234	216	210	234	242	196	.	3
149	**149**	**158**	**196**	**210**	**196**	**152**	**193**	**140**	**152**	**146**	**137**	**184**	4
222	**222**	**219**	**201**	**196**	**155**	**149**	**158**	**158**	**131**	**140**	**158**	**173**	5
175	**184**	**181**	**181**	**175**	**178**	**178**	**199**	**201**	**277**	**272**	**175**	**187**	6
237	**234**	**263**	**263**	**312**	**342**	**277**	**239**	**193**	**181**	**164**	**164**	**237**	7
321	**353**	**350**	**336**	**263**	**307**	**269**	**380**	**277**	**213**	**228**	**166**	**252**	8
274	234	304	263	207	146	228	219	295	274	321	292	.	9
169	149	237	263	315	342	409	409	403	257	228	158	.	10
99	117	123	123	131	134	161	166	155	131	114	102	.	11
193	**237**	**242**	**242**	**298**	**362**	**292**	**266**	**274**	**222**	**190**	**164**	**195**	12
254	**242**	**298**	**187**	**210**	**280**	**239**	**257**	**248**	**260**	**216**	**210**	**209**	13
187	181	164	175	169	187	199	190	190	155	178	181	.	14
164	161	175	199	199	216	207	292	304	237	196	187		15
222	**222**	**204**	**190**	**190**	**219**	**234**	**234**	**228**	**204**	**204**	**196**	**197**	16
210	70	88	152	149	137	–276	–69	79	114	117	111	.	17
158	–166	363	79	196	199	222	292	286	304	269	245	.	18
–483	–221	16	63	111	269	300	284	174	142	142	111	.	19
187	175	164	166	108	216	196	–14	205	190	237	190	.	20
190	**166**	**181**	**187**	**161**	**184**	**184**	**187**	**196**	**196**	**190**	**193**	**215**	21
225	**184**	**196**	**216**	**239**	**245**	**248**	**242**	**204**	**213**	**187**	**161**	**212**	22
–193	–110	–497	–14	63	248	266	315	321	280	277	321	.	23
216	225	245	210	207	225	237	204	143	111	88	96	.	24
93	117	166	175	152	149	137	128	123	88	–221	–143	.	25
61	76	102	140	79	55	117	146	158	[1])	111	137	.	26
131	128	164	274	254	108	219	365	301	254	88	105	.	27
339	**388**	**441**	**429**	**438**	**400**	**394**	**356**	**304**	**260**	**234**	**207**	**306**	28
190	184	155	166	184	184	158	204	204	193	146	158	.	29
204	207	201	228	242	161	193	219	204	207	155	134	.	30
242	161	216	213	204	210	131	239	178	120	6	35	.	31
230	**235**	**248**	**239**	**245**	**261**	**238**	**246**	**220**	**210**	**197**	**176**	**215**	Mittel der Normaltage

[1]) Registrierung unterbrochen.

Zeitangaben nach mittlerer Ortszeit

Luftelektrisches

In Volt
Normaltage sind

November

Datum	12–1	1–2	2–3	3–4	4–5	5–6	6–7	7–8	8–9	9–10	10–11	11–12
1	73	– 65	91	–247	58	96	134	128	146	158	161	152
2	181	169	117	76	–110	0	0	– 69	–1035	– 345	111	126
3	79	73	67	61	61	79	120	164	178	219	201	196
4	**190**	**190**	**207**	**219**	**245**	**277**	**272**	**251**	**237**	**219**	**219**	**164**
5	128	76	–469	–842	–966	–883	–1118	–1449	–1711	–2153	–1684	– 28
6	**199**	**164**	**166**	**178**	**155**	**175**	**196**	**254**	**269**	**272**	**286**	**307**
7	359	315	385	438	555	569	569	569	569	490	584	409
8	336	295	342	403	441	438	391	350	263	– 304	– 800	–856
9	158	395	348	316	253	221	300	321	339	312	219	199
10	427	269	237	190	126	190	190	253	237	205	– 345	111
11	95	–152	– 55	111	47	142	– 193	– 193	0	111	158	190
12	**237**	**231**	**175**	**169**	**137**	**146**	**166**	**213**	**213**	**234**	**263**	**216**
13	272	286	379	142	221	411	363	371	339	280	222	187
14	143	149	169	187	213	228	228	242	251	286	257	242
15	111	111	142	174	0	–138	– 193	152	166	131	152	187
16	166	126	169	175	204	166	216	295	269	292	207	199
17	123	123	166	231	207	207	184	172	175	187	166	152
18	**204**	**199**	**196**	**222**	**242**	**231**	**228**	**193**	**172**	**204**	**204**	**207**
19	216	213	204	204	210	222	254	280	280	166	137	169
20	143	93	93	–138	16	47	79	18	64	64	58	96
21	–73	– 18	–164	– 68	–170	– 31	– 208	– 166	3	15	161	131
22	140	134	131	166	204	164	222	339	266	266	239	204
23	**234**	**254**	**274**	**257**	**286**	**283**	**225**	**234**	**239**	**213**	**216**	**216**
24	307	283	310	307	307	350	307	304	321	336	336	350
25	143	204	242	251	228	193	169	193	204	213	228	251
26	29	– 14	32	16	79	158	158	181	181	178	158	166
27	**172**	**140**	**105**	**117**	**126**	**146**	**137**	**146**	**158**	**213**	**196**	**222**
28	204	204	184	210	210	199	158	166	207	184	137	137
29	**155**	**164**	**181**	**184**	**210**	**207**	**201**	**234**	**277**	**368**	**423**	**350**
30	174	158	–110	284	– 55	95	126	95	95	131	137	196
Mittel der Normaltage	**199**	**192**	**186**	**192**	**200**	**209**	**204**	**218**	**224**	**246**	**258**	**240**

Dezember

Datum	12–1	1–2	2–3	3–4	4–5	5–6	6–7	7–8	8–9	9–10	10–11	11–12
1	169	158	158	158	158	91	166	146	152	161	70	76
2	140	149	169	164	166	164	155	181	196	204	187	187
3	131	146	149	175	152	131	146	222	219	237	251	266
4	149	117	119	152	131	102	111	158	204	187	196	234
5	**184**	**166**	**178**	**204**	**187**	**234**	**277**	**362**	**406**	**423**	**420**	**391**
6	**239**	**213**	**231**	**225**	**239**	**222**	**219**	**257**	**251**	**301**	**272**	**283**
7	277	274	251	222	219	222	324	412	345	216	190	175
8	**234**	**234**	**237**	**280**	**292**	**350**	**312**	**283**	**283**	**277**	**295**	**301**
9	254	234	222	216	222	234	245	228	207	131	207	193
10	348	269	237	237	237	221	284	304	350	321	333	307
11	123	–172	79	63	47	111	111	126	126	169	137	204
12	193	166	146	190	222	228	248	251	239	184	187	193
13	219	187	166	158	146	155	193	222	213	239	245	251
14	111	82	– 8	38	53	–15	13	50	70	44	44	53
15	79	79	237	– 55	–359	–55	0	–28	–179	–469	158	190
16	222	175	88	117	131	152	149	35	20	–166	–235	–276
17	178	187	187	184	158	143	137	161	172	187	207	225
18	158	158	149	149	175	193	187	204	216	219	222	251
19	0	–497	–621	– 14	63	111	142	175	175	187	219	237
20	**228**	**263**	**274**	**272**	**269**	**283**	**292**	**295**	**307**	**295**	**310**	**304**
21	**406**	**450**	**400**	**388**	**400**	**345**	**345**	**415**	**438**	**397**	**429**	**549**
22	**380**	**356**	**365**	**362**	**377**	**345**	**324**	**333**	**350**	**368**	**380**	**380**
23	**254**	**274**	**301**	**295**	**234**	**216**	**239**	**277**	**292**	**298**	**342**	**350**
24	365	330	257	315	315	315	342	350	380	388	400	409
25	187	166	67	82	108	114	126	134	158	175	190	207
26	111	79	95	111	95	63	63	169	213	207	204	239
27	95	79	–345	–414	47	32	47	146	155	190	96	166
28	312	371	327	251	272	310	333	371	356	345	58	15
29	175	79	91	76	123	178	283	345	368	383	409	435
30	155	137	137	169	225	234	210	193	210	219	210	140
31	131	–276	158	237	237	221	253	269	380	415	409	438
Mittel der Normaltage	**275**	**279**	**284**	**289**	**285**	**285**	**287**	**317**	**332**	**337**	**350**	**365**

Zeitangaben nach mittlerer Ortszeit

Potentialgefälle

pro Meter.
halbfett gedruckt.

1912

12–1	1–2	2–3	3–4	4–5	5–6	6–7	7–8	8–9	9–10	10–11	11–12	Mittel	Datum
149	146	137	178	239	245	263	283	272	199	228	196	.	1
158	158	181	169	95	190	190	190	142	193	117	88	.	2
181	187	169	172	137	178	187	222	234	237	219	190	.	3
155	**204**	**201**	**228**	**280**	**298**	**324**	**345**	**277**	**222**	**225**	**175**	**234**	4
190	32	– 69	–138	–166	142	178	234	158	178	190	184	.	5
201	**234**	**228**	**295**	**336**	**380**	**418**	**453**	**426**	**406**	**438**	**394**	**285**	6
371	391	350	365	385	418	420	456	482	409	353	333	.	7
–276	95	178	204	283	474	395	142	237	253	332	158	.	8
175	175	245	263	269	280	374	330	277	385	537	442	.	9
32	47	111	126	126	126	237	126	142	269	284	221	.	10
[1])	*–552*	*–276*	[2])	166	263	385	380	333	371	312	266	.	11
210	**204**	**234**	**199**	**228**	**304**	**263**	**298**	**321**	**196**	**204**	**254**	**221**	12
207	187	161	184	178	207	269	301	248	216	222	187	.	13
228	123	6	–187	–281	–322	–704	–235	–317	–676	–428	–262	.	14
207	245	88	95	253	363	342	164	280	222	231	222	.	15
146	134	146	126	166	108	82	166	140	111	99	99	.	16
181	134	178	193	193	204	207	207	213	216	245	234	.	17
216	**228**	**222**	**239**	**207**	**237**	**228**	**254**	**231**	**199**	**207**	**204**	**216**	18
134	158	166	219	41	26	70	137	190	158	146	164	.	19
.88	53	–104	18	–166	79	47	16	0	6	105	– 3	.	20
155	187	184	207	222	251	286	254	222	269	242	187	.	21
187	225	178	193	187	219	248	216	207	213	204	213	.	22
219	**204**	**199**	**269**	**286**	**307**	**304**	**310**	**345**	**333**	**289**	**277**	**261**	23
388	391	394	467	272	266	423	327	3	– 44	– 47	102	.	24
272	251	219	207	210	239	245	257	234	216	190	164	.	25
190	196	204	201	254	231	263	251	283	280	222	175	.	26
210	**207**	**216**	**248**	**181**	**187**	**187**	**187**	**190**	**187**	**187**	**161**	**176**	27
216	210	184	175	190	204	172	181	158	207	158	152	.	28
269	**245**	**199**	**199**	**222**	**216**	**263**	**301**	**315**	**330**	**280**	***234***	**251**	29
210	239	280	292	266	277	263	292	272	219	187	169	.	30
211	**218**	**214**	**240**	**249**	**276**	**284**	**307**	**301**	**268**	**261**	**243**	**235**	Mittel der Normaltage

[1]) Registrierung unterbrochen. [2]) Isolation schlecht.

1912

61	58	38	120	152	207	207	164	123	164	175	146	.	1
178	228	260	237	295	257	161	164	41	137	76	134	.	2
161	102	93	–216	16	16	95	126	158	178	169	120	.	3
330	312	342	280	257	277	327	374	391	385	356	225	.	4
412	**388**	**371**	**333**	**321**	**345**	**321**	**315**	**301**	**283**	**266**	**248**	**306**	5
295	**342**	**356**	**394**	**383**	**342**	**371**	**359**	**353**	**333**	**327**	**280**	**295**	6
245	380	380	385	330	283	272	193	213	274	283	283	.	7
391	**368**	**423**	**403**	**333**	**403**	**409**	**467**	**488**	**452**	**383**	**310**	**342**	8
216	286	365	228	142	363	300	411	553	553	490	442	.	9
321	339	423	461	502	441	397	237	99	128	175	137	.	10
365	272	350	225	263	190	263	181	301	266	222	263	.	11
216	248	277	269	216	–78	29	105	140	143	216	222	.	12
274	225	201	158	146	134	114	64	140	225	207	164	.	13
117	55	73	140	64	111	123	– 166	– 55	–276	95	95	.	14
149	175	196	207	216	210	213	213	201	263	310	242	.	15
–110	111	178	169	216	204	219	199	225	193	164	190	.	16
242	228	228	234	237	245	274	280	*0*	219	187	166	.	17
315	342	336	283	254	272	298	295	– 235	–276	237	–207	.	18
242	231	257	266	289	336	368	368	228	342	347	321	.	19
397	**473**	**429**	**426**	**429**	**482**	**613**	**553**	**537**	**456**	**467**	**403**	**377**	20
485	**409**	**394**	**380**	**353**	**269**	**391**	**409**	**420**	**458**	**415**	**394**	**406**	21
397	**412**	**415**	**409**	**429**	**456**	**438**	**435**	**415**	**383**	**339**	**283**	**380**	22
336	**339**	**365**	**420**	**438**	**438**	**467**	**485**	**482**	**438**	**420**	**418**	**351**	23
438	432	400	345	283	164	201	274	245	216	225	201	.	24
219	201	219	219	234	216	178	158	– 195	–177	–193	79	.	25
263	251	272	286	292	324	327	–1311	–1242	–317	–166	63	.	26
175	248	108	193	213	327	263	187	330	336	301	298	.	27
272	312	245	190	193	213	169	242	245	181	193	274	.	28
429	371	324	298	292	409	488	397	260	222	64	149	.	29
158	134	–359	–166	–193	174	–179	205	126	190	172	187	.	30
438	444	429	380	371	380	383	402	345	295	280	234	.	31
388	**390**	**393**	**395**	**384**	**391**	**430**	**432**	**428**	**400**	**374**	**334**	**351**	Mittel der Normaltage

Zeitangaben nach mittlerer Ortszeit

1912

Monatsmittel des luftelektrischen Potentialgefälles für jede Stunde. (Ausgeglichene Werte.)

Monat	Zahl der Normaltage	0-1a	1-2a	2-3a	3-4a	4-5a	5-6a	6-7a	7-8a	8-9a	9-10a	10-11a	11a-Mg	Mg-1p	1-2p	2-3p	3-4p	4-5p	5-6p	6-7p	7-8p	8-9p	9-10p	10-11p	11p-Mn	Mittel
Januar ..	11	347	323	318	316	315	325	337	356	391	421	427	409	394	396	402	415	439	459	457	443	431	416	398	372	388
Februar .	7	414	382	361	341	321	323	348	376	413	441	442	438	434	426	409	396	403	420	426	427	428	425	412	393	400
März ...	8	177	184	178	170	178	200	225	254	283	296	288	277	270	262	252	239	234	239	246	248	239	223	210	197	232
April ...	14	230	226	224	224	238	271	318	339	320	282	236	198	183	182	185	186	188	193	217	257	278	275	262	247	240
Mai	8	205	190	180	172	171	188	213	225	213	193	177	164	158	162	167	165	162	166	178	198	212	202	177	156	183
Juni....	7	193	188	184	188	206	224	228	220	215	207	192	178	170	164	156	151	151	155	162	173	188	198	198	193	187
Juli....	16	273	242	216	209	219	236	257	282	295	279	242	206	181	174	185	196	202	212	230	262	290	292	274	263	238
August ..	5	236	210	202	204	206	214	224	224	220	209	190	176	167	162	166	171	178	196	217	235	250	256	260	258	209
September	6	247	224	208	206	212	226	243	255	254	237	217	203	197	199	198	198	210	224	236	252	258	244	228	221	225
Oktober .	11	162	163	165	170	180	193	207	225	243	246	236	230	231	237	242	243	248	251	246	238	224	209	195	178	215
November	7	198	192	189	192	200	206	209	216	228	244	250	237	220	215	222	236	254	271	288	300	294	274	258	246	235
Dezember	7	284	279	284	287	286	286	294	313	330	339	350	367	383	390	393	392	388	399	421	430	422	400	370	336	351
Jahr ...	107	247	234	226	223	228	241	259	274	284	283	271	257	249	247	248	249	255	265	277	289	293	284	270	255	259

Täglicher Gang des luftelektrischen Potentialgefälles nach Abweichungen vom Monatsmittel.

(Ausgeglichene Werte.)

Januar ..	11	−41	−65	−70	−72	−73	−63	−51	−32	+ 3	+33	+39	+21	+ 6	+ 8	+14	+27	+51	+71	+69	+55	+43	+28	+10	−16	388
Februar .	7	+14	−18	−39	−59	−79	−77	−52	−24	+13	+41	+42	+38	+34	+26	+ 9	− 4	+ 3	+20	+26	+27	+28	+25	+12	− 7	400
März ...	8	−55	−48	−54	−62	−54	−32	− 7	+22	+51	+64	+56	+45	+38	+30	+20	+ 7	+ 2	+ 7	+14	+16	+ 7	− 9	−22	−35	232
April ...	14	−10	−14	−16	−16	− 2	+31	+78	+99	+80	+42	− 4	−42	−57	−58	−55	−54	−52	−47	−24	+17	+38	+35	+22	+ 7	240
Mai	8	+22	+ 7	− 3	−11	−12	+ 5	+30	+42	+30	+10	− 6	−19	−25	−21	−16	−18	−21	−17	− 5	+15	+29	+19	− 6	−27	183
Juni ...	7	+ 6	+ 1	− 3	+ 1	+19	+37	+41	+33	+28	+20	+ 5	− 9	−17	−23	−31	−36	−36	−32	−25	−14	+ 1	+11	+11	+ 6	187
Juli....	16	+35	+ 4	−22	−29	−19	− 2	+19	+44	+57	+41	+ 4	−32	−57	−64	−53	−42	−36	−26	− 8	+24	+52	+54	+36	+25	238
August ..	5	+27	+ 1	− 7	− 5	− 3	+ 5	+15	+15	+11	0	−19	−33	−42	−47	−43	−38	−31	−22	+ 8	+26	+41	+47	+51	+49	209
September	6	+22	− 1	−17	−19	−13	+ 1	+18	+30	+29	+12	− 8	−22	−28	−26	−27	−27	−15	− 1	+11	+27	+33	+19	+ 3	− 4	225
Oktober .	11	−53	−52	−50	−45	−35	−22	− 8	+10	+28	+31	+21	+15	+16	+22	+27	+28	+33	+36	+31	+23	+ 9	− 6	−20	−37	215
November	7	−37	−43	−46	−43	−35	−29	−26	−19	− 7	+ 9	+15	+ 2	−15	−20	−13	+ 1	+19	+36	+53	+65	+59	+39	+23	+11	235
Dezember	7	−67	−72	−67	−64	−65	−65	−57	−38	−21	−12	− 1	+16	+32	+39	+44	+41	+37	+48	+70	+79	+71	+49	+19	−15	351
Jahr ...	107	−12	−25	−33	−36	−31	−18	0	+15	+25	+24	+12	− 2	−10	−12	−11	−10	− 4	+ 6	+18	+30	+34	+25	+11	− 4	259

Täglicher Gang des luftelektrischen Potentialgefälles.

1 Teilstrich = 25 Volt/Meter.

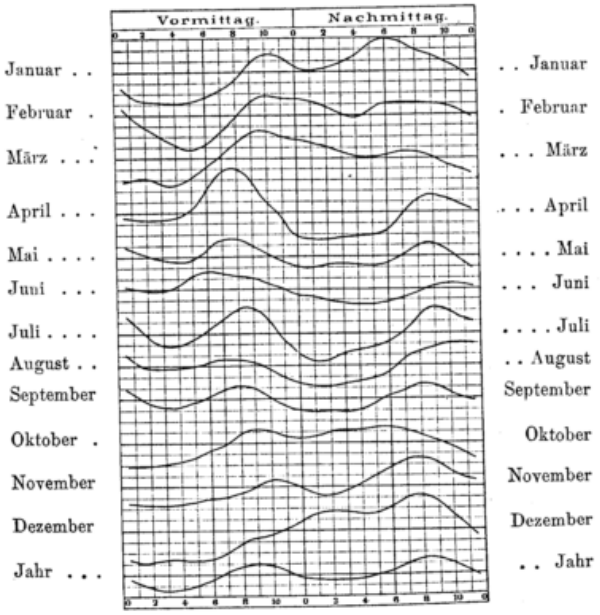

Abgeschlossen am 28. Juli 1913.

1633.

I 7 A16